

INTEGRALE RICOSTRUZIONE PARCHI EOLICI

"Faeto-Celle"

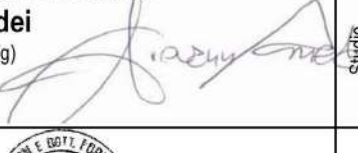
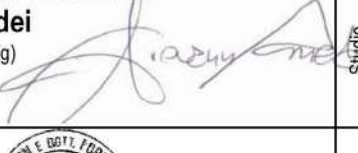
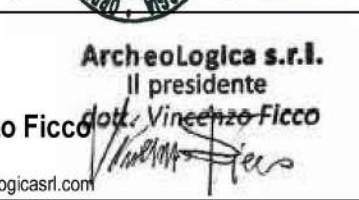
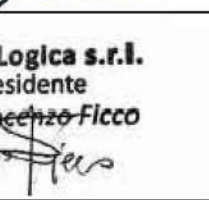
ADEGUAMENTO TECNICO IMPIANTO EOLICO MEDIANTE INTERVENTO DI REPOWERING DELLE TORRI ESISTENTI E RIDUZIONE NUMERICA DEGLI AEROGENERATORI



Edison Rinnovabili SpA
Foro Buonaparte, 31 - 20121 Milano



RI
A

Progettazione Coordinamento	 VEGA sas LANDSCAPE ECOLOGY & URBAN PLANNING Via dell'Carri, 48 - 71121 Foggia - Tel. 0881.756251 - Fax 1784412324 mail: info@studiovega.org - website: www.studiovega.org	Studi Ambientali e Paesaggistici	Arch. Antonio Demaio Via N. delle Carri, 48 - 71121 Foggia (FG) Tel. 0881.756251 Fax 1784412324 E-Mail: sit.vega@gmail.com		
Studio Geologico-Idrologico	Studio di Geologia Tecnica & Ambientale Dott.sa Geol. Giovanna Amedei Via Pietro Nenni, 4 - 71012 Rodi Garganico (Fg) Tel./Fax 0884.965793 Cell. 347.6262259 E-Mail: giovannaamedei@tiscali.it	Studio Acustico	Arch. Denora Marianna Via Savona, 3 70022 Altamura (BA) Tel./Fax 080.9162455 Cell. 3315600322 E-Mail: info@studiodioprogettazioneacustica.it		
Studi Naturalistici e Forestali	Dott. Forestale Luigi Lupo Via Mario Pagano 47 - 71121 Foggia E-Mail: luigilupo@libero.it	Studio Idraulico	Studio di ingegneria Dott.sa Ing. Antonella Laura Giordano Viale degli Aviatori, 73 - 71121 Foggia (Fg) Tel./Fax 0881.070126 Cell. 347.6262259 E-Mail: lauragiordano@gmail.com		
Progettazione elettrica	 STUDIO INGEGNERIA ELETTRICA MEZZINA dott. ing. Antonio Via T. Solis 128 71016 San Severo (FG) Tel. 0882.228072 Fax 0882.243651 e-mail: info@studiomezzina.net	Studio archeologico	 ArcheoLogica s.r.l. Il presidente Dott. Vincenzo Ficco dott. Vincenzo Ficco Tel. 0881.750334 E-Mail: info@archeologicasrl.com		
Opera	Progetto di Integrale Ricostruzione di n. 1 impianto eolico composto da 14 aerogeneratori da 6,6 MW per una potenza complessiva di 92,4 MW nei Comuni di Faeto e Celle di San Vito e relative opere di connessione alla località "Monte S.Vito - Ciuccia - Crepacore" con smantellamento di n. 60 aerogeneratori di potenza in esercizio pari a 33,75 MW.				
Oggetto	Nome Elaborato: VIA_02_R2P8522-RGTC_Relazione geotecnica	Folder: VIA_02_Relazioni tecniche e di progetto			
	Descrizione Elaborato: Relazione geotecnica				
00	Novembre 2023	Emissione per progetto definitivo	VEGA	Arch. A. Demaio	Edison Rinnovabili SpA
Rev.	Data	Oggetto della revisione	Elaborazione	Verifica	Approvazione
Scala:	----	Integrale Ricostruzione Faeto - Celle			
Formato:		Codice progetto AU R2P8522			



Progetto di Integrale Ricostruzione di n. 1 impianto eolico composto da 14 aerogeneratori da 6,6 MW per una potenza complessiva di 92,4 MW nei comuni di Faeto e Celle San Vito e relative opere di connessione alla località “Monte S. Vito – Ciuccia - Crepacore” con smantellamento di n. 60 aerogeneratori di potenza in esercizio pari a 33,75 MW”

INDICE

1- Premessa e Inquadramento Normativo	Pag. 2
2- Inquadramento Area d'intervento	Pag. 6
 2.1 -Ubicazione area d'intervento	Pag. 6
3- Inquadramento Geologico, Geomorfologico e Idrogeologico	Pag. 9
 Regionale	
 3.1 – Caratteri Geologici	Pag. 9
 4 – Caratterizzazione dei litotipi locali e assetto litostratigrafico	Pag. 12
 4.1 - Geolitologia	Pag. 12
 4.2 – Geomorfologia e Compatibilità al PAI	Pag. 18
 4.3 – Risultati Verifiche di Stabilità	Pag. 22
 5 – Pianificazione ed esecuzione delle indagini	Pag. 53
 5.1 – Metodologia di Indagini adottate	Pag. 53
 6 – Successione Litostratigrafica	Pag. 55
 7 – Sismicità	Pag. 58
 7.1 – Inquadramento Sismico	Pag. 58
 8 – Caratteri Fisico – Meccanici geotecnici del terreno	Pag. 68
 9 – Conclusioni	Pag. 69

APPENDICE

Risultati Verifiche di Stabilità	Appendice 1
Risultati Sondaggi Geognostici	Appendice 2
Calcolo Portanza Pali	Appendice 3



Progetto di Integrale Ricostruzione di n. 1 impianto eolico composto da 14 aerogeneratori da 6,6 MW per una potenza complessiva di 92,4 MW nei comuni di Faeto e Celle San Vito e relative opere di connessione alla località “Monte S. Vito – Ciuccia - Crepacore” con smantellamento di n. 60 aerogeneratori di potenza in esercizio pari a 33,75 MW”

I - PREMESSA

Su incarico della Società Edison Rinnovabili S.P.A. con sede in Foro Buonaparte n.31 - Milano, la scrivente, *Dott.ssa Giovanna Amedei*, Geologa, iscritta all'O.R.G. della Puglia al n. 438 e con studio professionale in Rodi Garganico, alla Via Pietro Nenni n. 4, ha eseguito gli studi e redatto la presente relazione volta alla definizione del quadro geologico, geologico-tecnico ed ambientale dei terreni interessati dal “*Progetto di Integrale Ricostruzione di n. 1 impianto eolico composto da 14 aerogeneratori da 6,6 MW per una potenza complessiva di 92,4 MW nei comuni di Faeto e Celle San Vito e relative opere di connessione alla località “Monte S. Vito – Ciuccia - Crepacore” con smantellamento di n. 60 aerogeneratori di potenza in esercizio pari a 33,75 MW”*

In particolare la Società intende attuare un intervento di Repowering con riduzione numerica degli aerogeneratori (Wind Turbine Generator ovvero WTG) relativamente agli impianti eolici al momento in esercizio, realizzati a partire dal 1997 nei comuni di Faeto e Celle di San Vito che accolgono in totale 60 aerogeneratori suddivisibili in 2 macro gruppi di impianti: nel co-



Progetto di Integrale Ricostruzione di n. 1 impianto eolico composto da 14 aerogeneratori da 6,6 MW per una potenza complessiva di 92,4 MW nei comuni di Faeto e Celle San Vito e relative opere di connessione alla località “Monte S. Vito – Ciuccia - Crepacore” con smantellamento di n. 60 aerogeneratori di potenza in esercizio pari a 33,75 MW”

mune di Celle di San Vito vi sono 9 WTG monopala da 0,350 MW in località “Monte San Vito” mentre nei comuni di Faeto e Celle S.V. 51 aerogeneratori tripala da 0,600 MW costruiti in due fasi successive nelle località “Monte San Vito – Ciuccia”.

Il progetto di Integrale Ricostruzione prevede n. 14 nuove WTG della potenza fino a 6,6 MW/WTG per un totale di 92,4 MW in sostituzione alle n. 60 macchine esistenti in esercizio. Il tutto secondo le caratteristiche tecniche riportate nella Relazione Descrittiva ed elaborati a firma dei progettisti.

È stata così programmata una campagna di studi nel rispetto del DM. 17.01.2018 - *Aggiornamento delle «Norme Tecniche per le Costruzioni»*, che ha previsto uno schema di lavoro come di seguito riportato:

- Inquadramento geologico dell'area, per la definizione delle caratteristiche geologiche, tettonico/strutturali generali, geomorfologiche e idrogeologiche generali - [pericolosità geologica del territorio];
- Rilevamento geologico di dettaglio, di un'area sufficientemente ampia, entro la quale ricade l'intervento in oggetto, per la definizione geologica, geomorfologica, idrogeologica locali, con particolare riferimento alla caratterizzazione della natura e del tipo di strut-



Progetto di Integrale Ricostruzione di n. 1 impianto eolico composto da 14 aerogeneratori da 6,6 MW per una potenza complessiva di 92,4 MW nei comuni di Faeto e Celle San Vito e relative opere di connessione alla località “Monte S. Vito – Ciuccia - Crepacore” con smantellamento di n. 60 aerogeneratori di potenza in esercizio pari a 33,75 MW”

ture sedimentarie dei corpi geologici presenti - [controllo litologico di dettaglio];

➤ Indagini geognostiche in sito, per la definizione delle caratteristiche geotecniche dei terreni di fondazione interessati dalle opere in progetto - [accertamento litotecnico].

➤ Analisi delle indagini geognostiche, con l'interpretazione delle indagini di campagna e la valutazione delle proprietà elastiche e meccaniche dei terreni investigati [definizione portanza del terreno di fondazione].

Durante la fase preliminare di studio è stata effettuata una ricerca bibliografica alla quale è seguita un esame fotointerpretativo e un successivo rilievo di superficie per verificare lo stato dei luoghi e l'idoneità delle indagini geognostiche in questo caso già eseguite.

La campagna di indagini già eseguita e riscontrabile nella relazione geologica è consistita in:

➤ n. 2 misure della Vs30 con la tecnica MASW;

Le considerazioni tecniche conclusive sono state ponderate in funzione della conoscenza geologica della zona e dell'attendibilità dei dati ottenuti, operando con un giusto grado di cautela nella definizione delle principali caratteristiche fisico-meccaniche dei terreni,



Progetto di Integrale Ricostruzione di n. 1 impianto eolico composto da 14 aerogeneratori da 6,6 MW per una potenza complessiva di 92,4 MW nei comuni di Faeto e Celle San Vito e relative opere di connessione alla località “Monte S. Vito – Ciuccia - Crepacore” con smantellamento di n. 60 aerogeneratori di potenza in esercizio pari a 33,75 MW”

avvalendosi anche di studi pregressi realizzati nello stesso ambito di riferimento

Dal punto di vista Legislativo, invece, si sono tenute in debito conto le indicazioni programmatiche e tecniche, oltre che le norme, contenute nei seguenti provvedimenti:

*Decreto Ministeriale 14.01.2008 (G.U. 4 febbraio 2009 n. 29 – Suppl. Ord.)
“Norme tecniche per le costruzioni”*

*Consiglio Superiore dei Lavori Pubblici, Istruzioni per l’applicazione delle
“Norme Tecniche per le Costruzioni” di cui al D.M. 14 gennaio 2008, Circolare
2 febbraio 2009;*

*Consiglio Superiore dei Lavori Pubblici, Pericolosità sismica e Criteri generali
per la classificazione sismica del territorio nazionale, Allegato al voto n. 36 del
27.07.2007*

*Circolare del Ministero delle Infrastrutture e dei Trasporti del 2 febbraio 2009,
n. 617 (G.U. del 26 febbraio 2009, n. 47);*

*“Istruzioni per l’applicazione delle Norme Tecniche delle Costruzioni di cui al
D.M. 14 gennaio 2008”. Eurocodice 7 – “Progettazione geotecnica” –ENV 1997
–1;*

*D.G.R. 2 marzo 2004, n. 153 -L.R. 20/00 -O.P.C.M. 3274/03 –Individuazione delle
zone sismiche del territorio regionale e delle tipologie di edifici ed opere strategici e rilevanti -Approvazione del programma temporale e delle indicazioni per
le verifiche tecniche da effettuarsi sugli stessi*



Progetto di Integrale Ricostruzione di n. 1 impianto eolico composto da 14 aerogeneratori da 6,6 MW per una potenza complessiva di 92,4 MW nei comuni di Faeto e Celle San Vito e relative opere di connessione alla località “Monte S. Vito – Ciuccia - Crepacore” con smantellamento di n. 60 aerogeneratori di potenza in esercizio pari a 33,75 MW”

2- INQUADRAMENTO GEOGRAFICO

Le aree interessate dalla proposta di integrale ricostruzione dell'impianto di produzione di energia e relative opere di connessione denominato “R2P8522-IR_Edison_FaetoCelle” ricade nei comuni di Faeto e Celle di San Vito in località “San Vito – Ciuccia” in provincia di Foggia.

In particolare, il nuovo impianto, sfruttando le direttive dei parchi esistenti, si sviluppa lungo le diverse direttive Nord Sud avente la SP 134 come asse direttore principale da cui si accede ai siti degli aerogeneratori proposti e risulta sul crinale a sud del centro abitato Volturino (Fig. 1a, 1b).

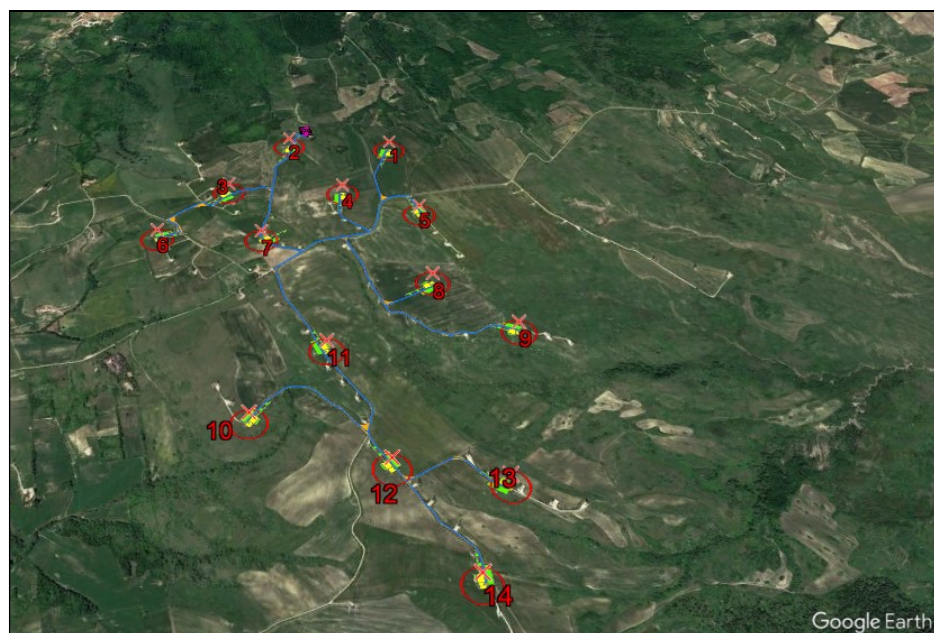


Fig. 1a: aerofotogrammetria area d'intervento



Progetto di Integrale Ricostruzione di n. 1 impianto eolico composto da 14 aerogeneratori da 6,6 MW per una potenza complessiva di 92,4 MW nei comuni di Faeto e Celle San Vito e relative opere di connessione alla località “Monte S. Vito – Ciuccia - Crepacore” con smantellamento di n. 60 aerogeneratori di potenza in esercizio pari a 33,75 MW”



*Fig. 1b: Inquadramento geografico dell'area di intervento
con le wtg del nuovo impianto (pallini blu)*

In termini di coordinate il nuovo impianto è individuabile nel modo seguente:



Progetto di Integrale Ricostruzione di n. 1 impianto eolico composto da 14 aerogeneratori da 6,6 MW per una potenza complessiva di 92,4 MW nei comuni di Faeto e Celle San Vito e relative opere di connessione alla località “Monte S. Vito – Ciuccia - Crepacore” con smantellamento di n. 60 aerogeneratori di potenza in esercizio pari a 33,75 MW”

WTG DI PROGETTO			
Nome	Coordinate WGS84 - UTM 33N		Comune
	X	Y	
1	515361	4573236	Celle di San Vito
2	514821	4573266	Celle di San Vito
3	514522	4572869	Faeto
4	515107	4572861	Celle di San Vito
5	515492	4572695	Celle di San Vito
6	514194	4572505	Faeto
7	514707	4572498	Celle di San Vito
8	515527	4572194	Faeto
9	515893	4571874	Faeto
10	514710	4571345	Faeto
11	515030	4571756	Faeto
12	515294	4571114	Faeto
13	515757	4571034	Faeto
14	515603	4570594	Faeto



Progetto di Integrale Ricostruzione di n. 1 impianto eolico composto da 14 aerogeneratori da 6,6 MW per una potenza complessiva di 92,4 MW nei comuni di Faeto e Celle San Vito e relative opere di connessione alla località “Monte S. Vito – Ciuccia - Crepacore” con smantellamento di n. 60 aerogeneratori di potenza in esercizio pari a 33,75 MW”

3- CENNI GEOLOGICI E GEOMORFOLOGICI GENERALI

3.1 – Geologia Generale

L'area della Provincia di Foggia, cui appartengono i comuni di Celle di San Vito e Faeto, può essere suddivisa in tre grandi elementi geologico-strutturali: Avampaese apulo (Promontorio del Gargano e Isole Tremiti); Fossa bradanica (rappresentata dal Tavoliere di Puglia) e Catena appenninica (cui appartiene il Subappennino Dauno o Monti della Daunia) – Fig. 2

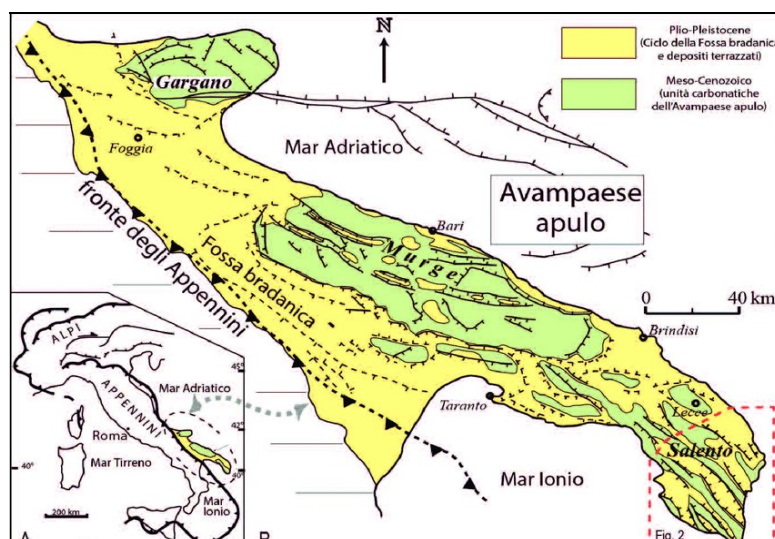


Fig. 2: Schema dei principali domini geodinamici: 1) Limite delle Unità Appenniniche Alloctone, 2) Catena Appenninica ed Arco Calabro; 3) Avanfossa; 4) Avampaese Apulo-Garganico; 5) Bacini Plio-Pleistocenici. (da: Zezza et al., 1994)



Progetto di Integrale Ricostruzione di n. 1 impianto eolico composto da 14 aerogeneratori da 6,6 MW per una potenza complessiva di 92,4 MW nei comuni di Faeto e Celle San Vito e relative opere di connessione alla località “Monte S. Vito – Ciuccia - Crepacore” con smantellamento di n. 60 aerogeneratori di potenza in esercizio pari a 33,75 MW”

In particolare i territori del comune di Celle San Vito e Faeto appartengono al dominio della catena sudappenninica, una porzione di orogeno caratterizzata da una serie di unità tettoniche sovrapposte verso est a partire dall’Oligocene superiore (Mostardini & Merlini, 1986). Le unità tettoniche derivano da successioni sedimentarie riferibili a contesti paleogeografici differenti che, deformate, accostate e sovrapposte tettonicamente durante differenti fasi orogenetiche, costituiscono in affioramento i rilievi montuosi dell’Appennino meridionale (Patacca e Scandone, 2007).

L’evoluzione geodinamica della catena sudappenninica è stata condizionata dalla subduzione verso ovest della porzione sud-occidentale della Placca Adria e dalla presenza di strutture di svincolo che si sono sviluppate in direzione antiappenninica suddividendo l’avampaese apulo in bassi ed alti strutturali (Doglioni et al., 1994). In particolare lungo il Fiume Ofanto vi è una delle suddette strutture di importanza litosferica, identificabile con la linea del Vulture (Giannandrea et al., 2004; 2006).

Nei Monti della Daunia i lineamenti tettonici più importanti sono rappresentati dalle strutturepressive che sovrappongono la catena al dominio di avanfossa plio-quaternaria (la più avanzata è sepolta; l’altra, leggermente più arretrata, è in corrispondenza del limite tra il fronte appenninico affiorante e la Fossa bradanica) e da



Progetto di Integrale Ricostruzione di n. 1 impianto eolico composto da 14 aerogeneratori da 6,6 MW per una potenza complessiva di 92,4 MW nei comuni di Faeto e Celle San Vito e relative opere di connessione alla località “Monte S. Vito – Ciuccia - Crepacore” con smantellamento di n. 60 aerogeneratori di potenza in esercizio pari a 33,75 MW”

una struttura più arretrata grossomodo parallela al fronte della catena che mette a contatto le due principali unità tettoniche affioranti nell'Appennino dauno (l'unità del Fortore e l'unità della Daunia). Per quanto riguarda i depositi che costituiscono il substrato quelli più antichi, a prevalente componente argillosa e in generale assetto caotico, vengono riferiti essenzialmente a due unità stratigrafiche: il Gruppo delle Argille Variegate e il Flysch Rosso entrambe di età Cretacico - Miocene inferiore. Su queste unità, riferibili ad un ambiente di mare profondo di margine passivo, poggiano le unità turbiditiche dell'avanfossa miocenica sudappenninica che da un punto di vista stratigrafico sono riconducibili essenzialmente al flysch numidico, al flysch di San Bartolomeo, al flysch di Faeto e alle marne argillose del Toppo Capuana (Crostella & Vezzani, 1964). Su queste unità poggiano in discontinuità depositi messiniani (argilliti policrome del Calaggio; molasse di Anzano; tripoli; evaporiti del M. Castello; arenarie di Deliceto) e del Pliocene; questi ultimi sono rappresentati da depositi di wedge-top basin, raggruppati nel supersistema di Ariano Irpino (Ciaranfi et al., 2011).



Progetto di Integrale Ricostruzione di n. 1 impianto eolico composto da 14 aerogeneratori da 6,6 MW per una potenza complessiva di 92,4 MW nei comuni di Faeto e Celle San Vito e relative opere di connessione alla località “Monte S. Vito – Ciuccia - Crepacore” con smantellamento di n. 60 aerogeneratori di potenza in esercizio pari a 33,75 MW”

4- CARATTERIZZAZIONE DEI LITOTIPI LOCALI E ASSETTO LITOSTRATIGRAFICO

4.1 - Geolitologia

Dal punto di vista geologico i Comuni di Celle San Vito e Faeto rientrano nel Foglio n. 174 “Ariano Irpino” della Carta Geologica d’Italia a Scala 1:100.000.

Nei comuni di Celle di San Vito e Faeto affiorano i litotipi appartenenti all’ Unità Tettonica della Daunia (Figura 3). Essa rappresenta l’unità tettonica più esterna della catena appenninica; vi sono state distinte tre unità litostratigrafiche rappresentate dalla più antica da: Flysch Rosso, flysch di Faeto, Marne argillose del Toppo Capauna



Progetto di Integrale Ricostruzione di n. 1 impianto eolico composto da 14 aerogeneratori da 6,6 MW per una potenza complessiva di 92,4 MW nei comuni di Faeto e Celle San Vito e relative opere di connessione alla località “Monte S. Vito – Ciuccia - Crepacore” con smantellamento di n. 60 aerogeneratori di potenza in esercizio pari a 33,75 MW”

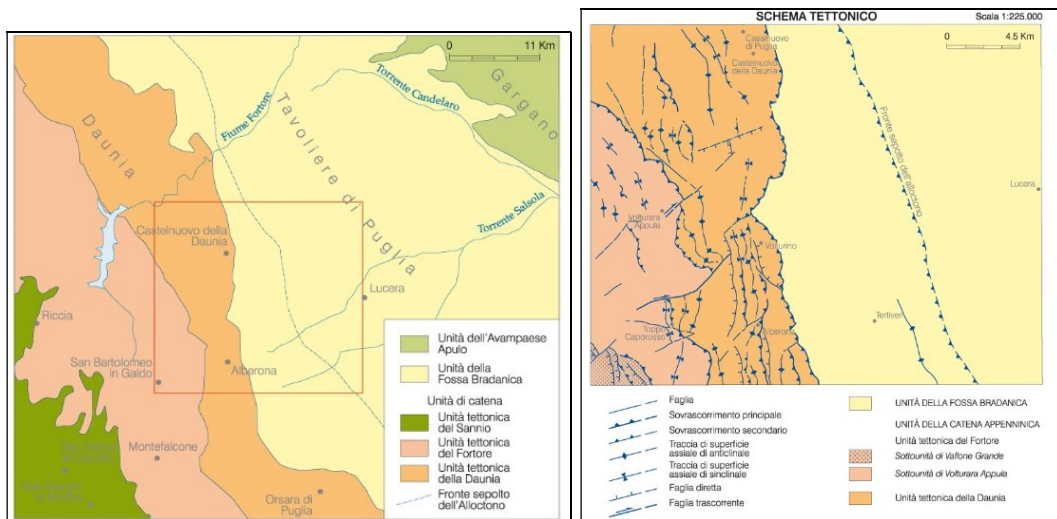


Fig. 3: Schema tettonico di inquadramento dalla cartografia ufficiale 1:50000 Foglio 407(Progetto CARG)

L’area di diretto interesse progettuale è caratterizzata da formazioni geologiche relativamente recenti che vanno dal periodo Miocenico a quello Olocenico attuale.

Il rilevamento geologico di dettaglio, esteso su di un’area sufficientemente ampia, ha evidenziato che i terreni dell’area progettuale sono ascrivibili (Fig. 4) alla **Formazione della Daunia (bcd)** nei suoi componenti Calcareo – Marnoso e Argilloso Marnoso.

La Formazione della Daunia costituisce la porzione esterna della catena appenninica, al confine apulo-molisano, è caratterizzata localmente da predominanza di affioramenti argillosi variamente



Progetto di Integrale Ricostruzione di n. 1 impianto eolico composto da 14 aerogeneratori da 6,6 MW per una potenza complessiva di 92,4 MW nei comuni di Faeto e Celle San Vito e relative opere di connessione alla località “Monte S. Vito – Ciuccia - Crepacore” con smantellamento di n. 60 aerogeneratori di potenza in esercizio pari a 33,75 MW”

costipati e fogliettati alternanti a strati calcarenitici e calcareo – marnosi e arenarie di varia natura, alle marne e argille marnose si intercalano calcareniti e brecciole calcaree dal caratteristico colore biancastro. Tale formazione poggia, con contatto tettonico, sui terreni plio-pleistocenici dell’avanfossa e sul complesso indifferenziato delle argille varicolori. La Formazione della Daunia, a volte, passa verso l’alto in alcune zone gradualmente alle marne di Toppo Capuana, costituite prevalentemente da argille e marne argillose grigio – bluastre. Localmente le argille prevalgono sulle marne e le arenarie scompaiono del tutto in altre zone la Formazione della Daunia viene ricoperta trasgressivamente dai terreni del ciclo pliocenico e passa al Flysch di San Bartolomeo costituito essenzialmente da arenarie in facies pelitiche di età Serravalliana, i quali sedimenti rappresentano il riempimento della parte mediana del bacino Irpino e viene ricoperta tettonicamente dallo stesso e dal complesso indifferenziato delle argille varicolori.

Alcuni autori evidenziano che la mancanza di facies eterogenee tra il Flysch di S. Bartolomeo e quello di Faeto può testimoniare la presenza di una soglia separante le aree di sedimentazione dei due flysch. Infatti mentre il flysch di S. Bartolomeo è legato al Bacino Irpino (evoluzione di quello lagonegrese-molisano), il flysch di



Progetto di Integrale Ricostruzione di n. 1 impianto eolico composto da 14 aerogeneratori da 6,6 MW per una potenza complessiva di 92,4 MW nei comuni di Faeto e Celle San Vito e relative opere di connessione alla località “Monte S. Vito – Ciuccia - Crepacore” con smantellamento di n. 60 aerogeneratori di potenza in esercizio pari a 33,75 MW”

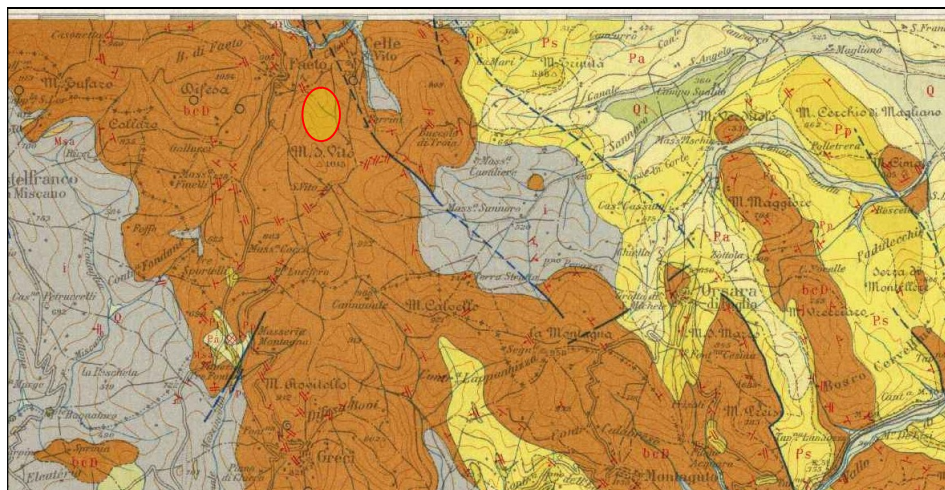
Faeto è legato a quello apulo ed i due bacini erano separati dalla piattaforma interna.

Nell'area di progetto affiora soprattutto la componente calcareo-marnosa della Formazione. Gli strati si presentano in più punti fortemente tettonizzati e ripiegati a causa degli intensi fenomeni tettonici che hanno interessato la Formazione in epoche remote.

Gli strati superficiali risultano alterati almeno per i primi 2-3,50 m.



**Progetto di Integrale Ricostruzione di n. 1 impianto eolico composto da
14 aerogeneratori da 6,6 MW per una potenza complessiva di 92,4 MW nei comuni di Faeto e
Celle San Vito e relative opere di connessione alla località “Monte S. Vito – Ciuccia - Crepa-
core” con smantellamento di n. 60 aerogeneratori di potenza in esercizio pari a 33,75 MW”**



LEGENDA

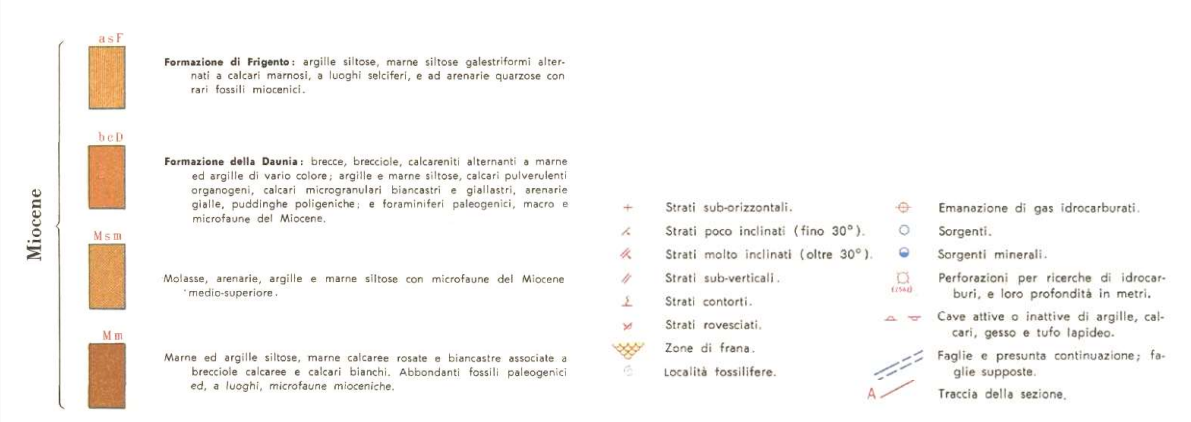


Fig. 4: Stralcio Carta Geologica dell'Area d'Intervento

Dal punto di vista tettonico analisi micropaleontologiche hanno evidenziato locali disturbi attribuibili a presunte faglie dirette a direzione NO-SE che coinvolgono la formazione affiorante ma risultano distanti dall'area d'intervento.



Progetto di Integrale Ricostruzione di n. 1 impianto eolico composto da 14 aerogeneratori da 6,6 MW per una potenza complessiva di 92,4 MW nei comuni di Faeto e Celle San Vito e relative opere di connessione alla località “Monte S. Vito – Ciuccia - Crepacore” con smantellamento di n. 60 aerogeneratori di potenza in esercizio pari a 33,75 MW”

Infatti la consultazione di ITHACA – Catalogo delle Faglie Capaci, redatto dall'ISPRA - Dipartimento per il Servizio Geologico d'Italia evidenzia come l'area di intervento non sia interessata direttamente o indirettamente da faglie (Fig. 5)

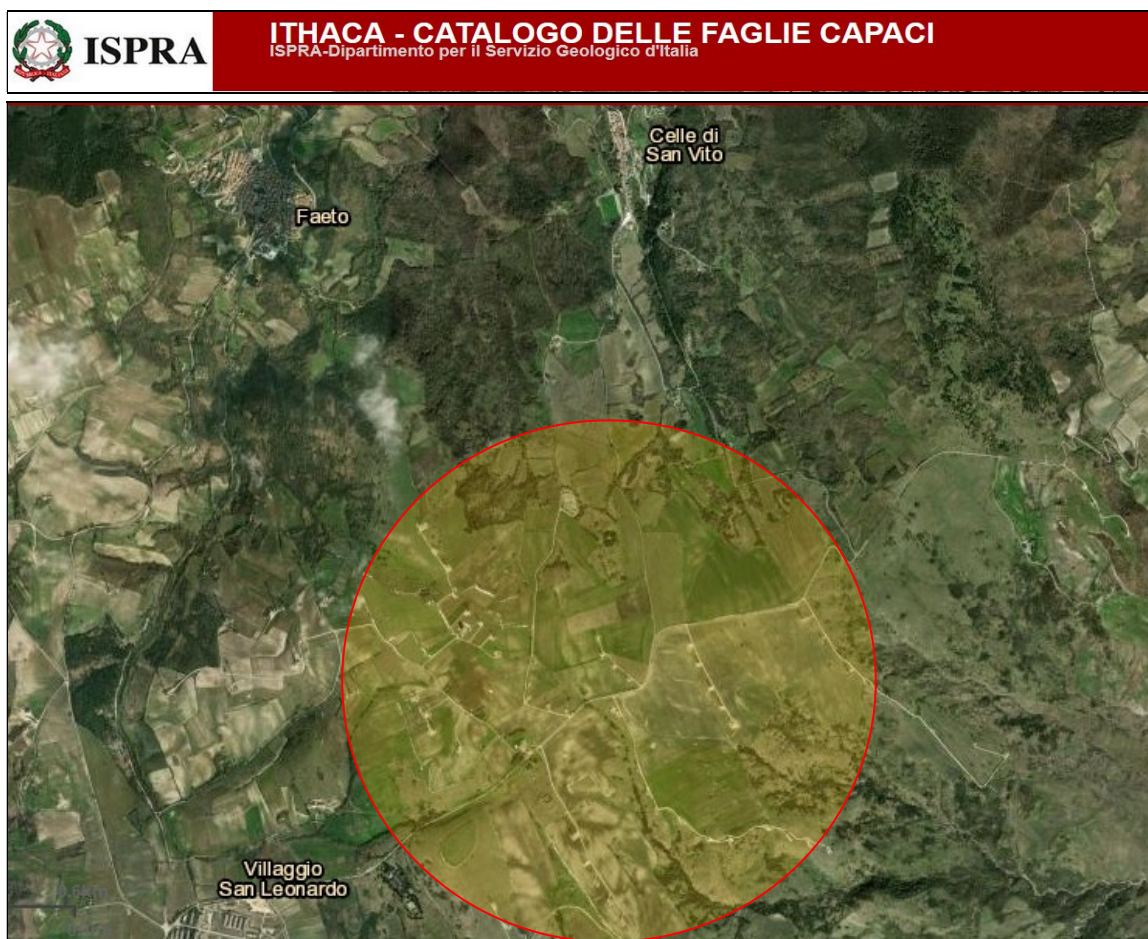


Fig. 5: Faglie ricadenti nei pressi dell'area d'intervento

(Tratta da: <http://sgi.isprambiente.it/ithaca/viewer/index.html>)



Area d'intervento



Progetto di Integrale Ricostruzione di n. 1 impianto eolico composto da 14 aerogeneratori da 6,6 MW per una potenza complessiva di 92,4 MW nei comuni di Faeto e Celle San Vito e relative opere di connessione alla località “Monte S. Vito – Ciuccia - Crepacore” con smantellamento di n. 60 aerogeneratori di potenza in esercizio pari a 33,75 MW”

4.2 – Geomorfologia e Compatibilità al PAI

L’area di intervento è disposta sull’altopiano cavallo del crinale geomorfologico spartiacque tra il versante esposto verso la piana del Tavoliere ed il versante esposto verso l’entroterra del subappennino dauno-irpino.

In particolare, il nuovo impianto, sfruttando le direttrici dei parchi esistenti, si sviluppa lungo le diverse direttrice Nord Sud avendo la SP 134 come asse direttore principale da cui si accede ai siti degli aerogeneratori proposti e risulta sul crinale a sud del centro abitato Volturino ad una altitudine media compresa tra i 750 ed 850 mt slm.

I rilievi morfologici, condotti tramite aerofotointerpretazione e rilevamenti di campagna, hanno consentito di evidenziare aree caratterizzate da un’intensa attività franosa. La gran parte dei movimenti rilevati possono essere classificati come frane quiescenti, che attualmente non sono attive ma che sono ancora potenzialmente riattivabili. Altri dissesti sono stati classificati come inattivi o naturalmente stabilizzati, nel senso che l’agente morfogenetico che ha provocato il dissesto ha esaurito la propria attività. Queste frane si presentano con una morfologia molto degradata: la zona di alimentazione è di difficile identificazione, la zona di accumulo può anche mancare perché ormai morfologicamente cancellata dall’attività e-



Progetto di Integrale Ricostruzione di n. 1 impianto eolico composto da 14 aerogeneratori da 6,6 MW per una potenza complessiva di 92,4 MW nei comuni di Faeto e Celle San Vito e relative opere di connessione alla località “Monte S. Vito – Ciuccia - Crepacore” con smantellamento di n. 60 aerogeneratori di potenza in esercizio pari a 33,75 MW”

rosiva o antropica. La stabilità e la dinamica evolutiva dei versanti dipendono da fattori legati al clima, alle condizioni idrogeologiche, alla sismicità e variano notevolmente in funzione della natura litologica e della storia tettonica delle varie unità affioranti nell'area. Dove affiorano terreni fliscoidi a diverso contenuto pelitico (Flysch della Daunia) la tipologia di frana prevalente è strettamente connessa alla natura litologica ed al grado di fratturazione. In particolare dove le predette formazioni sono essenzialmente lapidee, i pendii sono caratterizzati da movimenti di massa che imprimono improvvise accelerazioni alla dinamica morfogenetica dei versanti e che si producono essenzialmente mediante crolli, ribaltamenti e scorrimenti traslazionali, essenzialmente in corrispondenza di scarpate verticali. Tali tipologie di frana hanno come principale causa i frequenti ed intensi terremoti e i periodici eventi critici di pioggia. Gli scorrimenti traslazionali avvengono lungo superfici di scorimento coincidenti con sottili livelli argillosi presenti fra gli strati lapidei, mentre i ribaltamenti ed i crolli sono fortemente condizionati dal tipo e grado di fratturazione dell'ammasso roccioso. Dove prevale la frazione pelitica, la propensione al dissesto è notevole ed è determinata dalle caratteristiche geomecaniche delle argille. I dissetti tipici di questi terreni sono rappresentati da frane per scorimento traslazionale e per colamento.



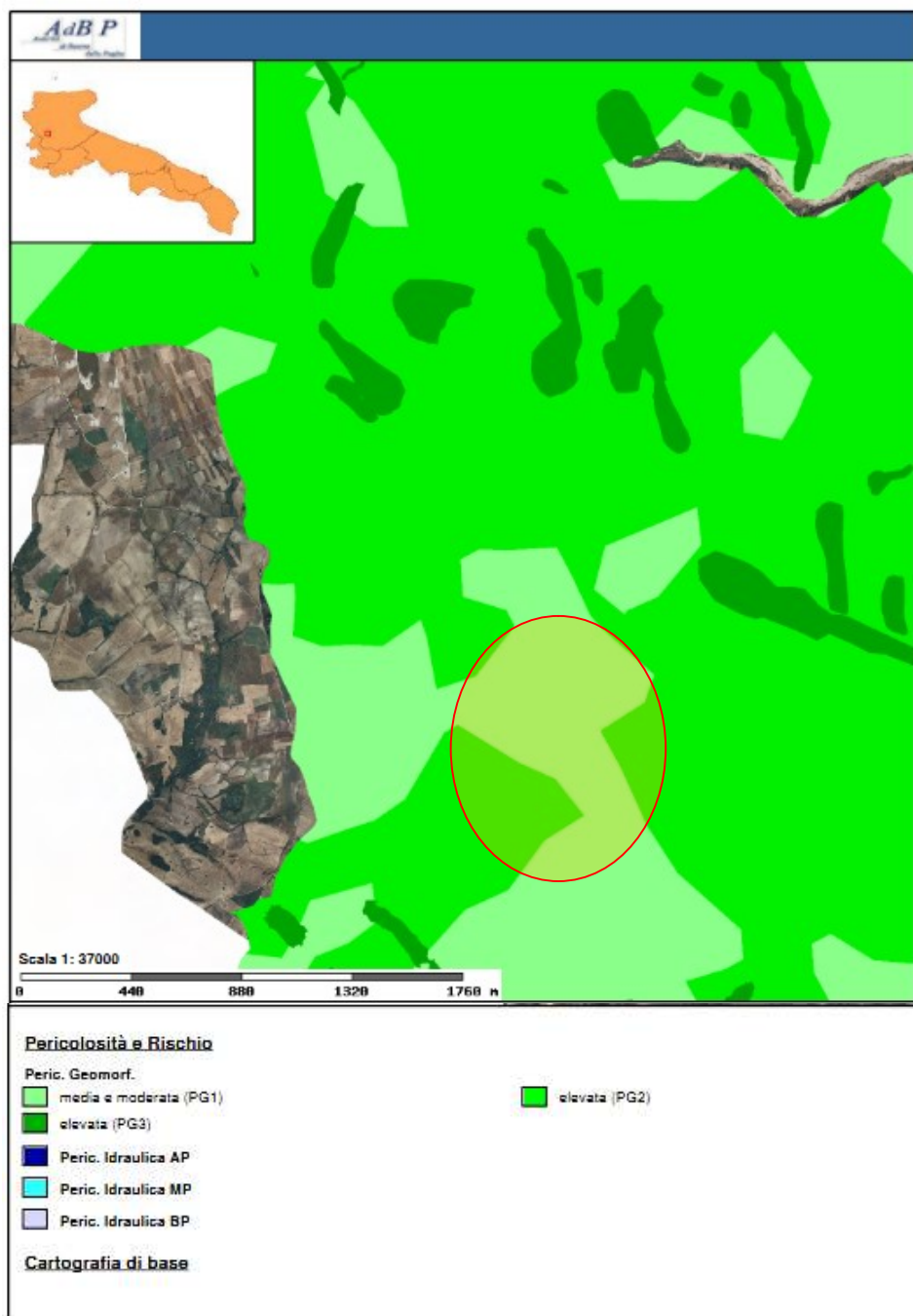
Progetto di Integrale Ricostruzione di n. 1 impianto eolico composto da 14 aerogeneratori da 6,6 MW per una potenza complessiva di 92,4 MW nei comuni di Faeto e Celle San Vito e relative opere di connessione alla località “Monte S. Vito – Ciuccia - Crepacore” con smantellamento di n. 60 aerogeneratori di potenza in esercizio pari a 33,75 MW”

Nell'area di studio i dissesti sono stati rilevati sui versanti maggiormente inclinati e in presenza di un substrato rappresentato dai livelli più argillosi della Formazione della Daunia.

Tali criticità sono riscontrabili anche dalla consultazione della cartografia PAI dell'Autorità di Bacino Distrettuale dell'Appennino Meridionale Sede di Puglia, dalla quale si rileva come l'area d'intervento presenti instabilità geomorfologico media e moderata (PG1) ed elevata (PG2) con relativo vincolo (Fig. 6).



Progetto di Integrale Ricostruzione di n. 1 impianto eolico composto da 14 aerogeneratori da 6,6 MW per una potenza complessiva di 92,4 MW nei comuni di Faeto e Celle San Vito e relative opere di connessione alla località “Monte S. Vito – Ciuccia - Crepacore” con smantellamento di n. 60 aerogeneratori di potenza in esercizio pari a 33,75 MW”



*Fig. 6: Cartografia PAI dell'area d'intervento
– Tratta da <http://www.distrettoappenninomeridionale.it>*



Progetto di Integrale Ricostruzione di n. 1 impianto eolico composto da 14 aerogeneratori da 6,6 MW per una potenza complessiva di 92,4 MW nei comuni di Faeto e Celle San Vito e relative opere di connessione alla località “Monte S. Vito – Ciuccia - Crepacore” con smantellamento di n. 60 aerogeneratori di potenza in esercizio pari a 33,75 MW”

Come previsto dal TITOLO III – ASSETTO GEOMORFOLOGICO - ARTICOLO 11 Disposizioni generali - ARTICOLO 14 Interventi consentiti nelle aree a pericolosità geomorfologica elevata (P.G.2) e ARTICOLO 15 Aree a pericolosità geomorfologica media e moderata (P.G.1) delle NTA del PAI, è stato redatto uno studio di compatibilità geologica e geotecnica che ha analizzato compiutamente gli effetti sulla stabilità dell'area interessata, eseguendo le verifiche di stabilità su ogni singolo aerogeneratore.

4.3 Risultati Verifiche di Stabilità

In base alle caratteristiche topografiche e di pendenza del terreno l'impianto da realizzarsi, anche in relazione alla tipologia fondale da usarsi, non apporta alcuna grandi variazione all'assetto idro- morfologico esistente.

Ad ogni modo al fine di scongiurare ogni possibile interferenza sono state eseguite delle verifiche di stabilità pre e post operam, le cui analisi sono riportate in appendice – allegato 1.

Le verifiche hanno interessato ogni singolo aerogeneratore in modo da valutare la singola interferenza rispetto alle condizioni geomorfologiche dell'area.



Progetto di Integrale Ricostruzione di n. 1 impianto eolico composto da 14 aerogeneratori da 6,6 MW per una potenza complessiva di 92,4 MW nei comuni di Faeto e Celle San Vito e relative opere di connessione alla località “Monte S. Vito – Ciuccia - Crepacore” con smantellamento di n. 60 aerogeneratori di potenza in esercizio pari a 33,75 MW”

Le verifiche di stabilità sono state eseguite applicando il Metodo di Fellenius, noto anche come metodo ordinario o metodo svedese che fa riferimento a frane con superficie di scivolamento circolare. Rappresenta in qualche modo il precursore dei metodi delle strisce e si basa sull'ipotesi semplificativa che la forza risultante di interfaccia (composizione della forza normale E e tangenziale T) agisca parallelamente al tratto di superficie di scivolamento posta a base della striscia. In tali condizioni, la forza normale N agente sulla base della striscia può essere ricavata dall'equilibrio della striscia, in funzione dei soli carichi esterni. Nota N, la forza tangenziale di base S deriva come diretta conseguenza della condizione di Mohr-Coulomb:

$$S = L c' + (N - Nu) \operatorname{tg} f$$

Imponendo l'equilibrio globale del corpo in frana (alla rotazione) si ottiene una formula esplicita molto semplice che fornisce direttamente il fattore di sicurezza cercato F.

In modo accurato sono state considerate nel calcolo le forze in gioco, considerando superfici di scivolamento non circolari ed in presenza di azioni (sismiche o di altra origine) orizzontali.



Progetto di Integrale Ricostruzione di n. 1 impianto eolico composto da 14 aerogeneratori da 6,6 MW per una potenza complessiva di 92,4 MW nei comuni di Faeto e Celle San Vito e relative opere di connessione alla località “Monte S. Vito – Ciuccia - Crepacore” con smantellamento di n. 60 aerogeneratori di potenza in esercizio pari a 33,75 MW”

Per ogni aerogeneratore sono state considerate n. 221 superfici di potenziali scivolamenti; in tutte le condizioni, pre e post operam, le verifiche eseguite hanno dato un fattore di sicurezza ampiamente superiore a quello previsto dalla norma, evidenziando come la realizzazione dell'impianto non modifica, in senso negativo, la locale stabilità.

Nelle Fig. 7a, 7b, 7c, 7d, 7e, 7f, 7g, 7h, 7i, 7l, 7m, 7n, 7o, 7p i risultati delle Verifiche mentre in Appendice, Allegato 1, la relative Relazioni di Calcolo



Progetto di Integrale Ricostruzione di n. 1 impianto eolico composto da 14 aerogeneratori da 6,6 MW per una potenza complessiva di 92,4 MW nei comuni di Faeto e Celle San Vito e relative opere di connessione alla località “Monte S. Vito – Ciuccia - Crepacore” con smantellamento di n. 60 aerogeneratori di potenza in esercizio pari a 33,75 MW”

Risultati Verifica di stabilità aerogeneratore WTG1

Le verifiche di stabilità dell'aerogeneratore WTG1, eseguite lungo il profilo del terreno indicato (Fig. 7a)

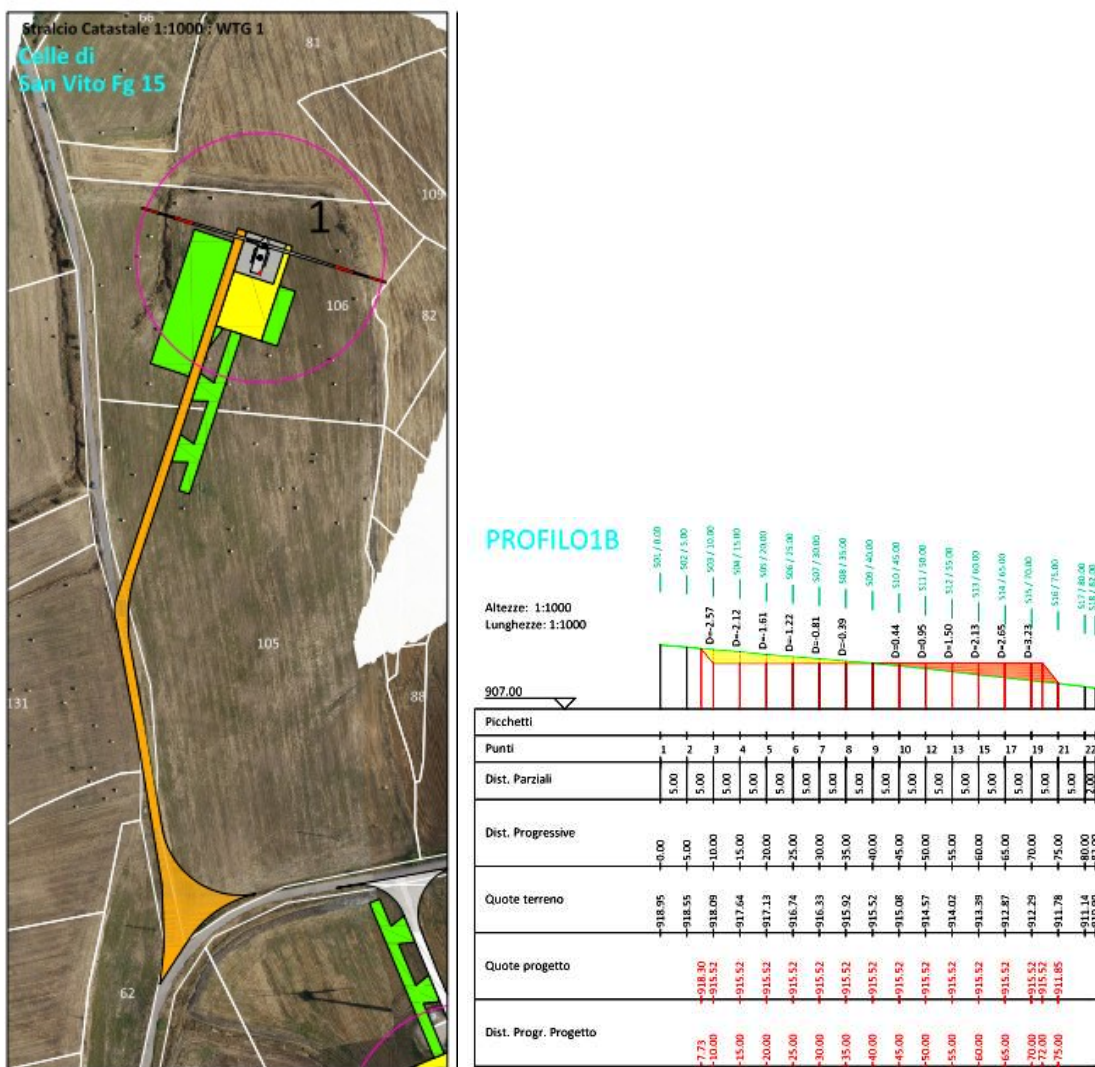


Fig. 7a: Posizione WTG1 - Profilo terreno WTG1



Progetto di Integrale Ricostruzione di n. 1 impianto eolico composto da 14 aerogeneratori da 6,6 MW per una potenza complessiva di 92,4 MW nei comuni di Faeto e Celle San Vito e relative opere di connessione alla località “Monte S. Vito – Ciuccia - Crepacore” con smantellamento di n. 60 aerogeneratori di potenza in esercizio pari a 33,75 MW”

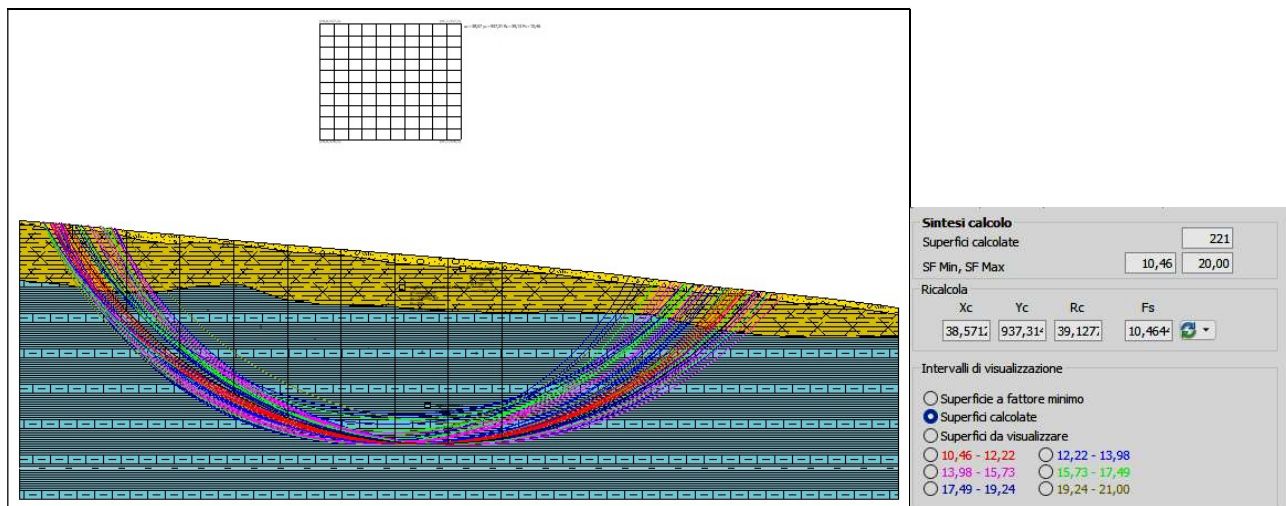


Fig. 7a: Risultati Pre Operam

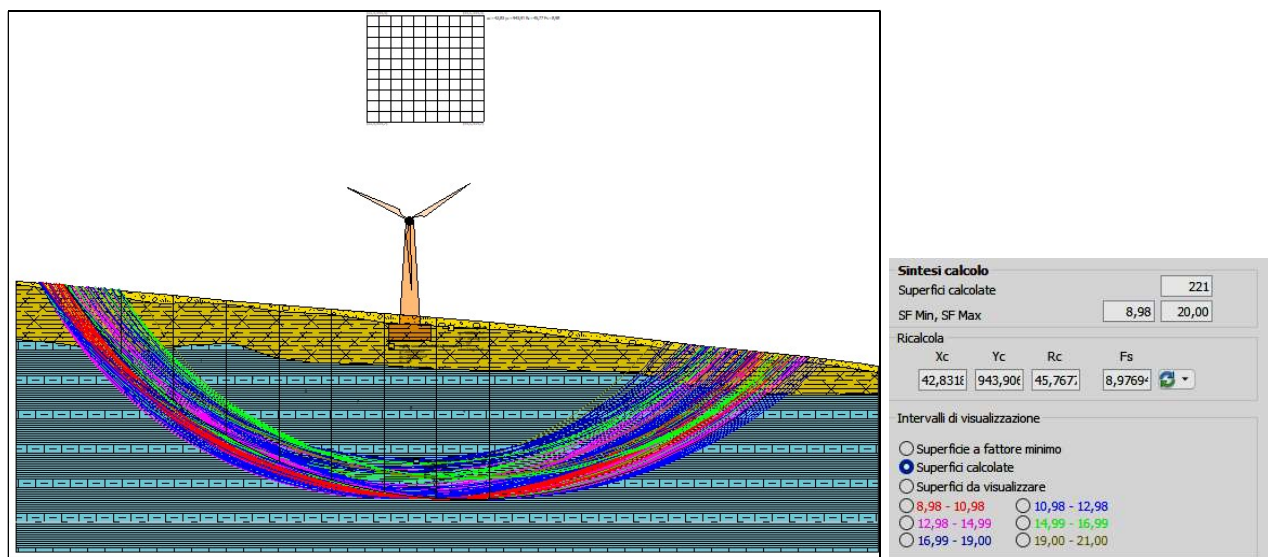


Fig. 7a: Risultati Post Operam



**Progetto di Integrale Ricostruzione di n. 1 impianto eolico composto da
14 aerogeneratori da 6,6 MW per una potenza complessiva di 92,4 MW nei comuni di Faeto e
Celle San Vito e relative opere di connessione alla località “Monte S. Vito – Ciuccia - Crepa-
core” con smantellamento di n. 60 aerogeneratori di potenza in esercizio pari a 33,75 MW”**

Risultati Verifica di stabilità aerogeneratore WTG2

Le verifiche di stabilità dell'aerogeneratore WTG2, eseguite lungo il profilo del terreno indicato (Fig. 7b)

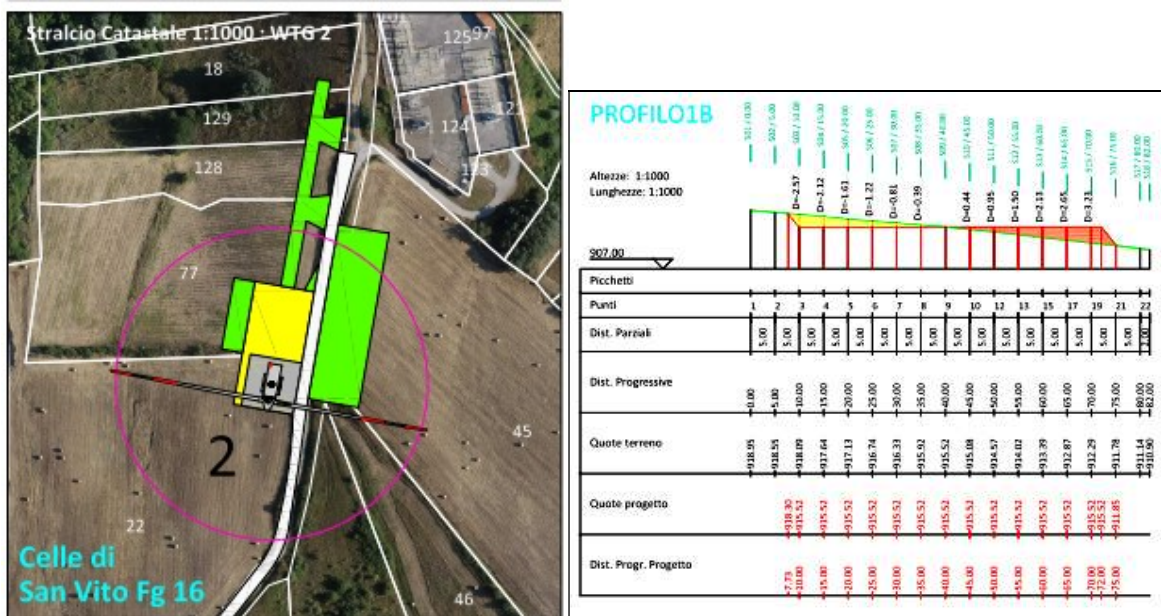


Fig. 7b: Posizione WTG2 - Profilo terreno WTG2



Progetto di Integrale Ricostruzione di n. 1 impianto eolico composto da 14 aerogeneratori da 6,6 MW per una potenza complessiva di 92,4 MW nei comuni di Faeto e Celle San Vito e relative opere di connessione alla località “Monte S. Vito – Ciuccia - Crepacore” con smantellamento di n. 60 aerogeneratori di potenza in esercizio pari a 33,75 MW”

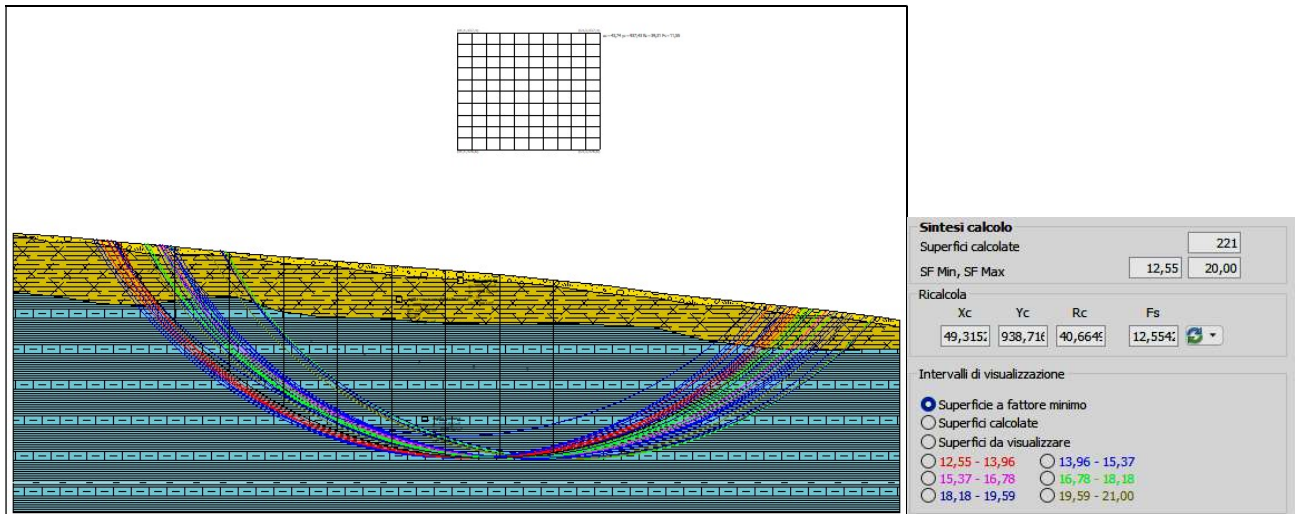


Fig. 7b: Risultati Pre Operam

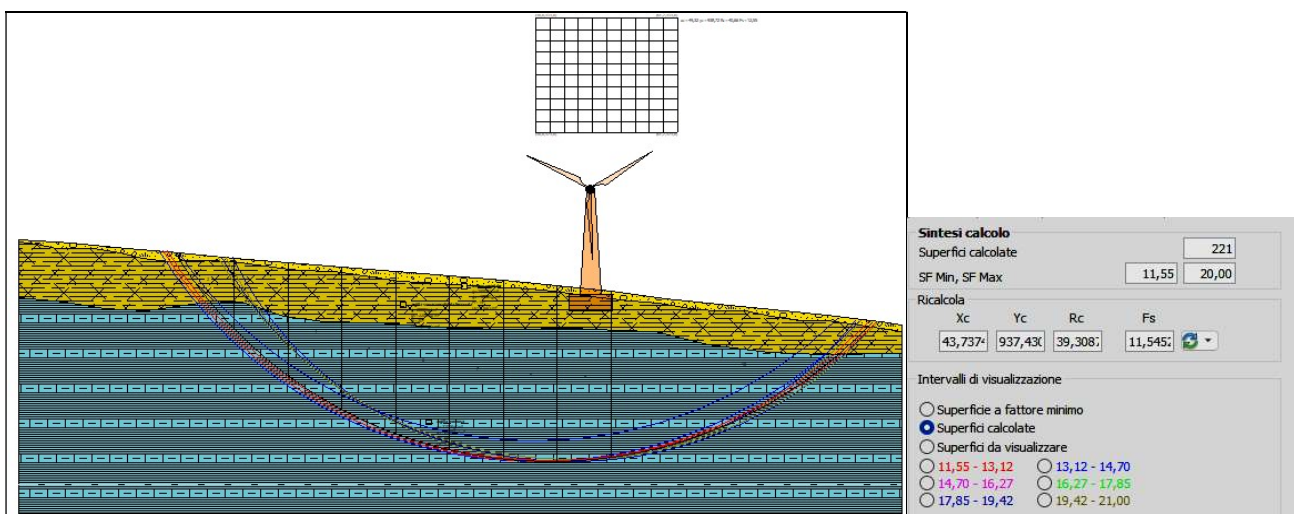


Fig. 7b: Risultati Post Operam



Progetto di Integrale Ricostruzione di n. 1 impianto eolico composto da 14 aerogeneratori da 6,6 MW per una potenza complessiva di 92,4 MW nei comuni di Faeto e Celle San Vito e relative opere di connessione alla località "Monte S. Vito - Ciuccia - Crepacore" con smantellamento di n. 60 aerogeneratori di potenza in esercizio pari a 33,75 MW

Risultati Verifica di stabilità aerogeneratore WTG3

Le verifiche di stabilità dell'aerogeneratore WTG3, eseguite lungo il profilo del terreno indicato (Fig. 7c)

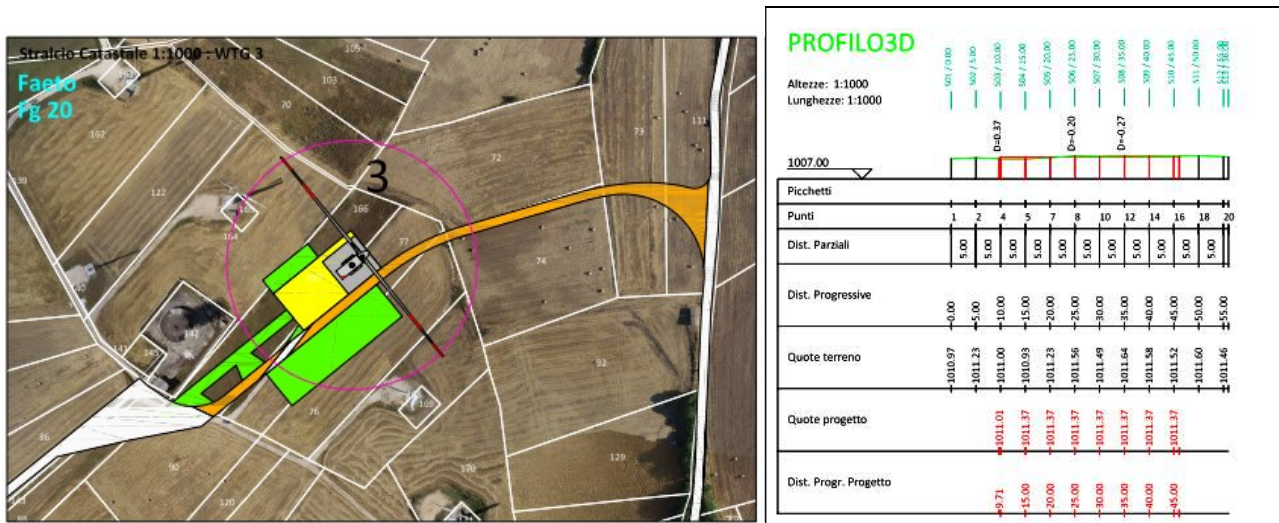


Fig. 7c: Posizione WTG3 - Profilo terreno WTG3



**Progetto di Integrale Ricostruzione di n. 1 impianto eolico composto da
14 aerogeneratori da 6,6 MW per una potenza complessiva di 92,4 MW nei comuni di Faeto e
Celle San Vito e relative opere di connessione alla località “Monte S. Vito – Ciuccia - Crepa-
core” con smantellamento di n. 60 aerogeneratori di potenza in esercizio pari a 33,75 MW”**

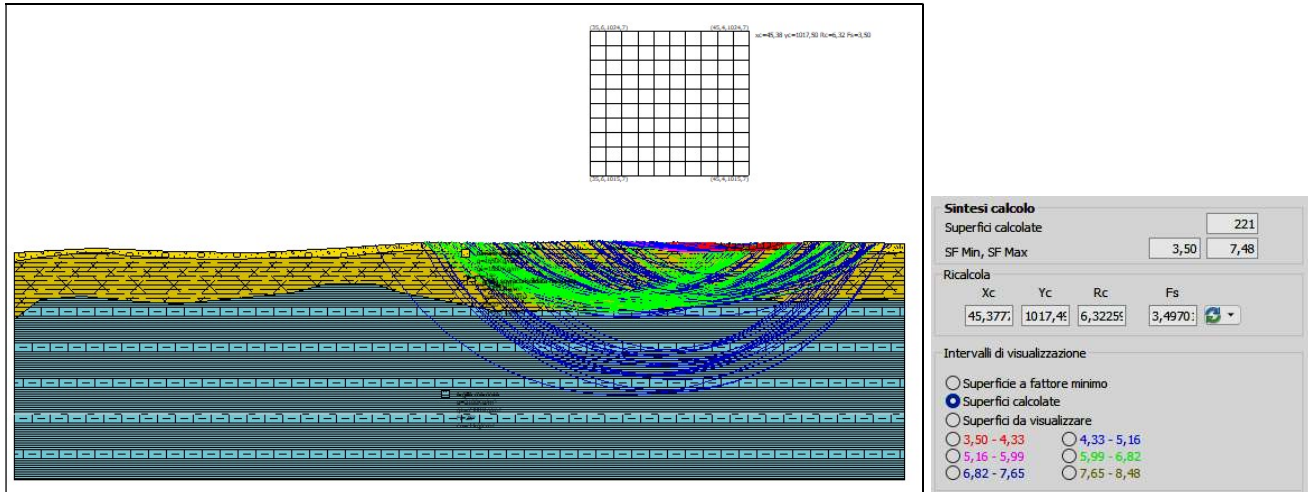


Fig. 7c: Risultati Pre Operam

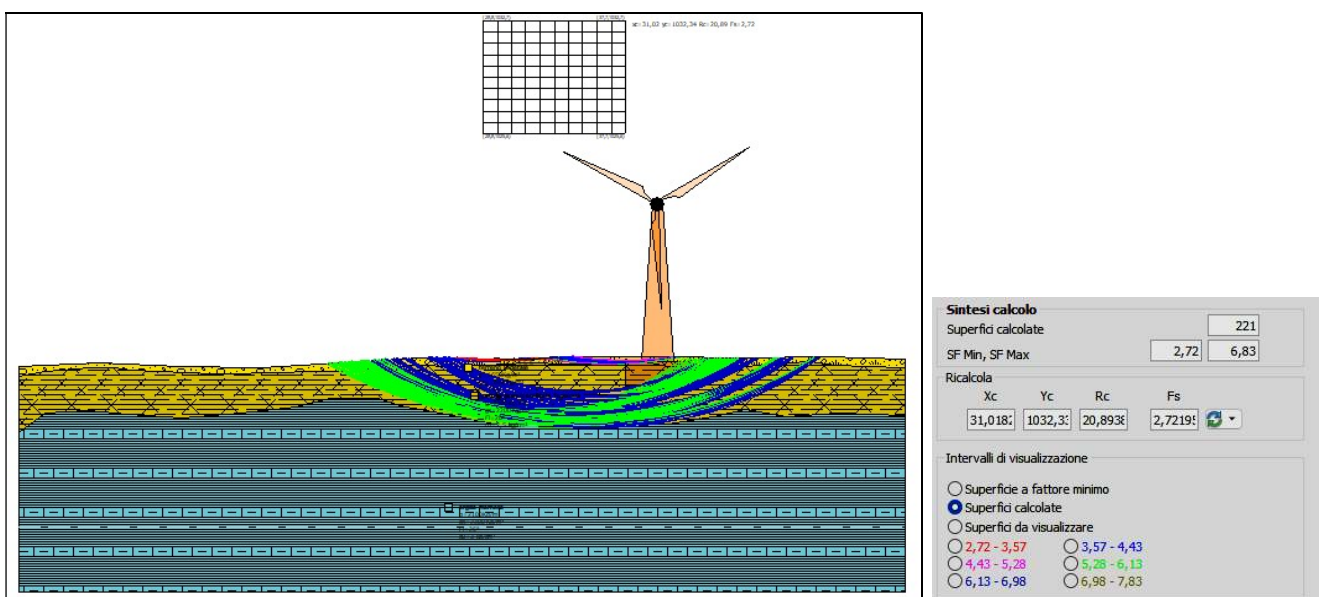


Fig. 7c: Risultati Post Operam



Progetto di Integrale Ricostruzione di n. 1 impianto eolico composto da 14 aerogeneratori da 6,6 MW per una potenza complessiva di 92,4 MW nei comuni di Faeto e Celle San Vito e relative opere di connessione alla località “Monte S. Vito – Ciuccia - Crepacore” con smantellamento di n. 60 aerogeneratori di potenza in esercizio pari a 33,75 MW”

Risultati Verifica di stabilità aerogeneratore WTG4

Le verifiche di stabilità dell'aerogeneratore WTG4, eseguite lungo il profilo del terreno indicato (Fig. 7d)

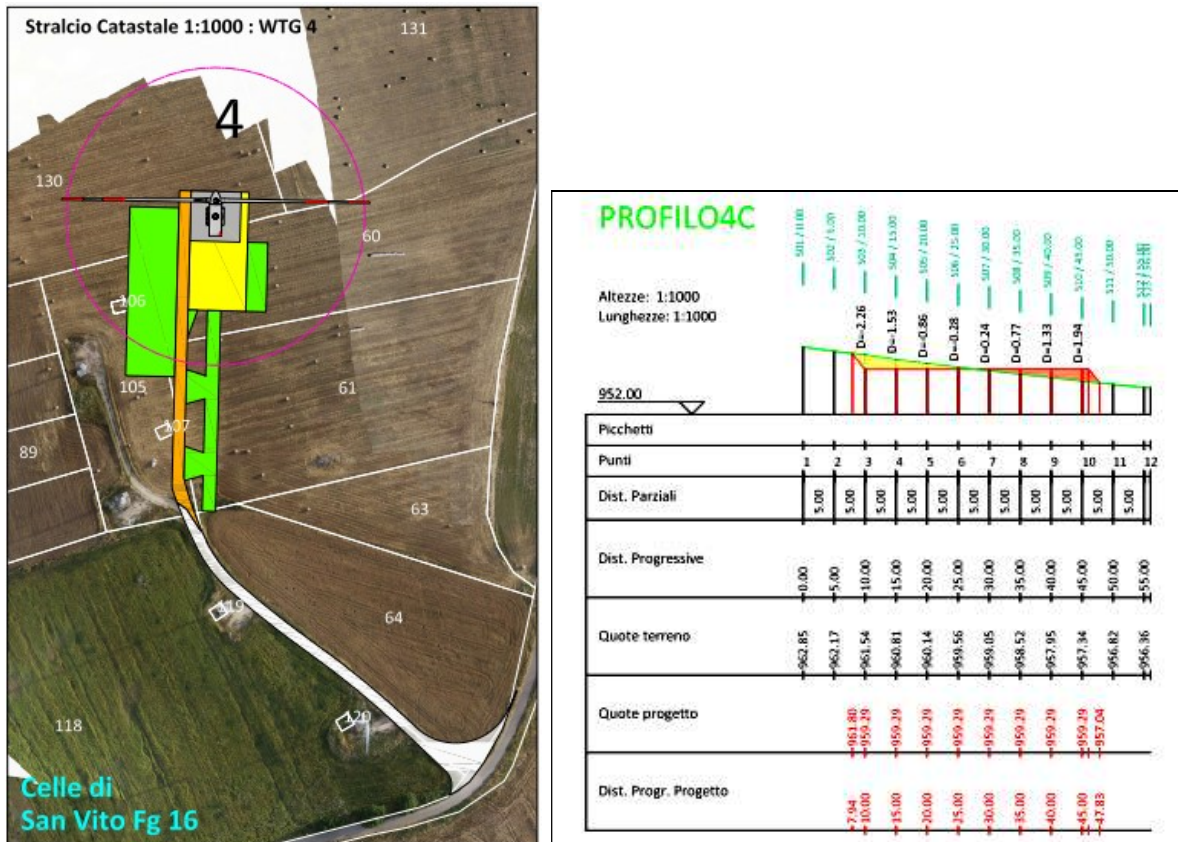


Fig. 7d: Posizione WTG4 - Profilo terreno WTG4



**Progetto di Integrale Ricostruzione di n. 1 impianto eolico composto da
14 aerogeneratori da 6,6 MW per una potenza complessiva di 92,4 MW nei comuni di Faeto e
Celle San Vito e relative opere di connessione alla località “Monte S. Vito – Ciuccia - Crepa-
core” con smantellamento di n. 60 aerogeneratori di potenza in esercizio pari a 33,75 MW”**

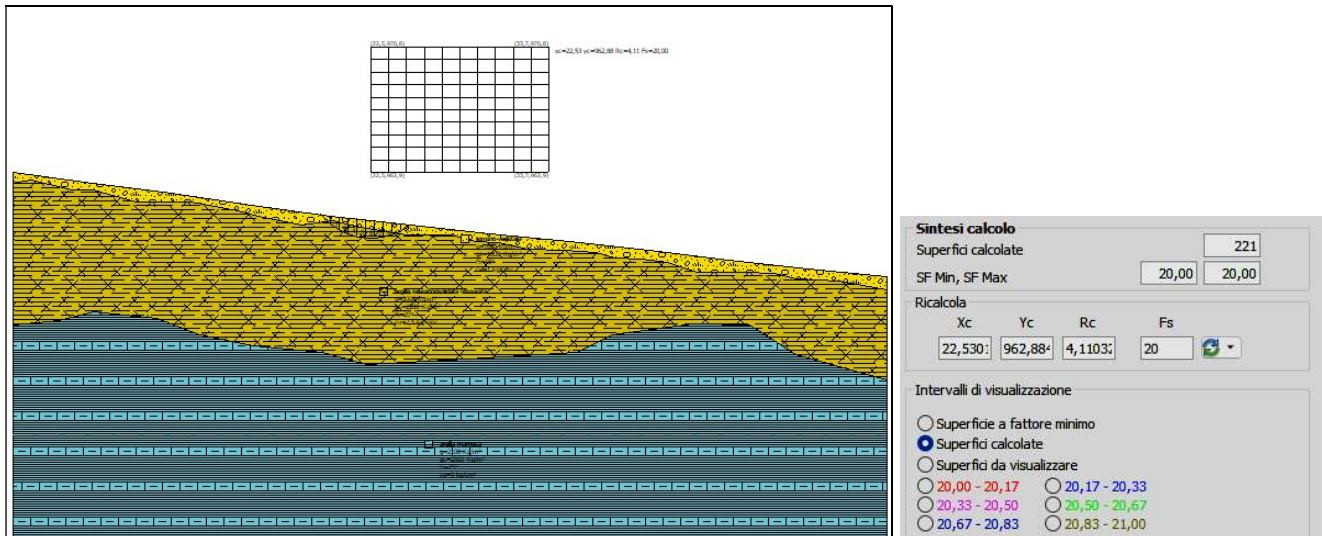


Fig. 7d: Risultati Pre Operam

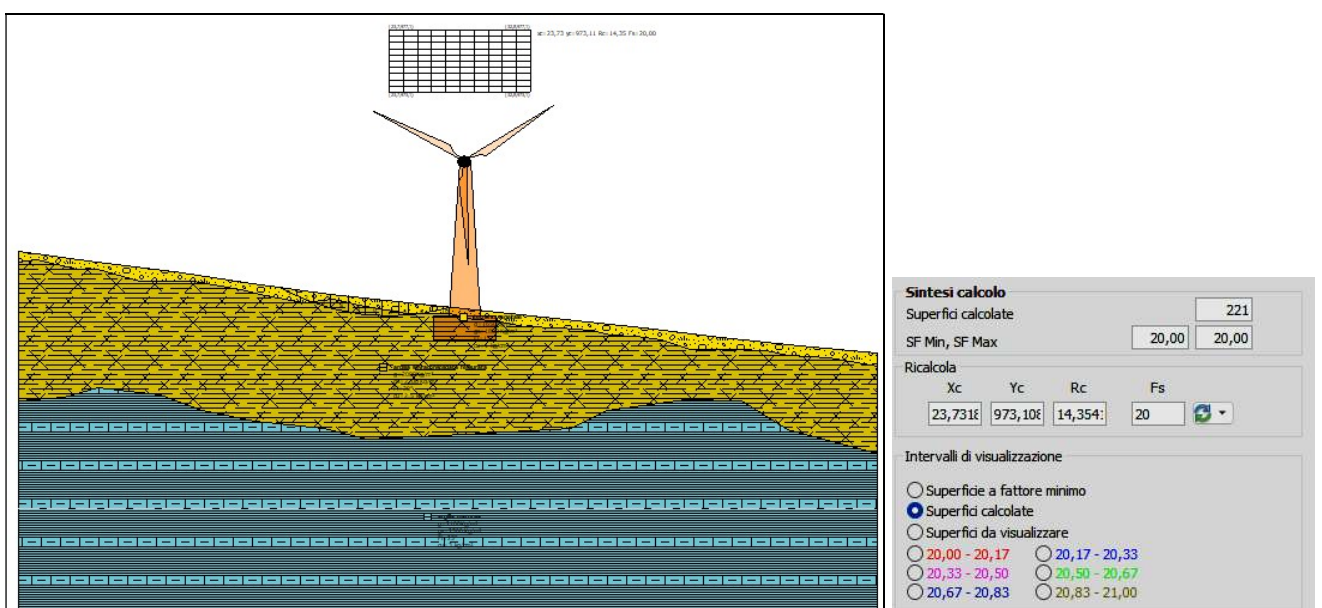


Fig. 7d: Risultati Post Operam



Progetto di Integrale Ricostruzione di n. 1 impianto eolico composto da 14 aerogeneratori da 6,6 MW per una potenza complessiva di 92,4 MW nei comuni di Faeto e Celle San Vito e relative opere di connessione alla località “Monte S. Vito – Ciuccia - Crepacore” con smantellamento di n. 60 aerogeneratori di potenza in esercizio pari a 33,75 MW”

Risultati Verifica di stabilità aerogeneratore WTG5

Le verifiche di stabilità dell'aerogeneratore WTG5, eseguite lungo il profilo del terreno indicato (Fig. 7e)

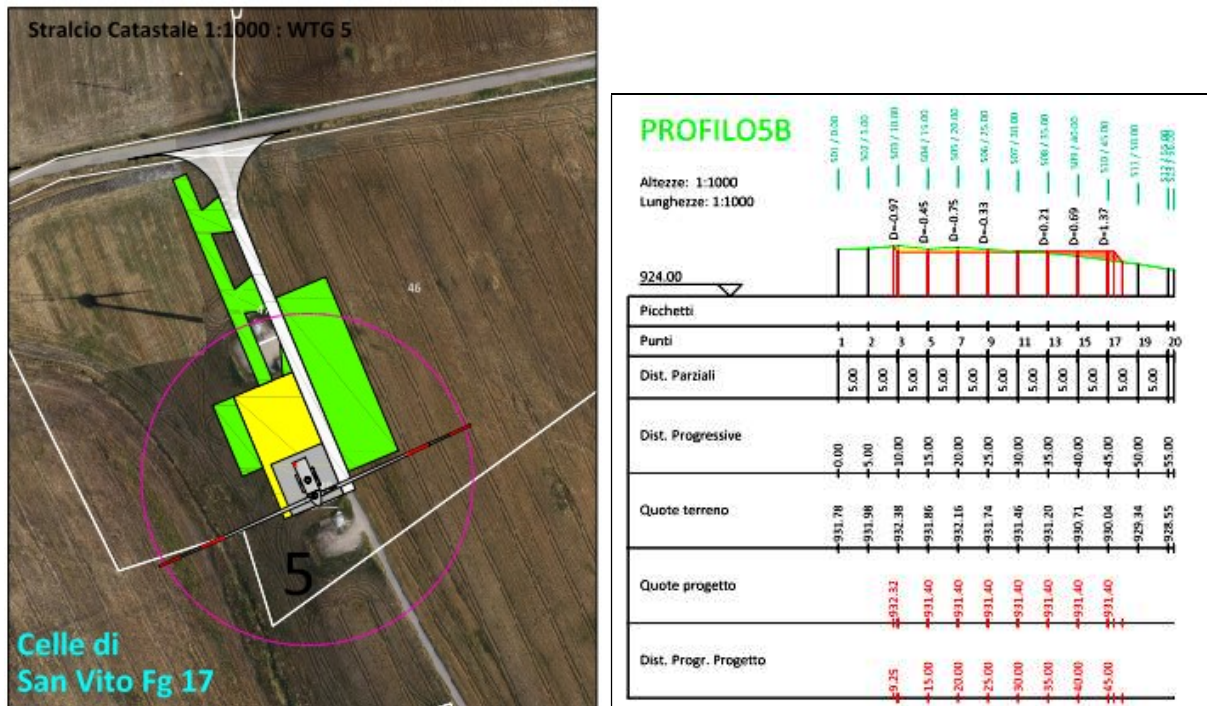


Fig. 7e: Posizione WTG5 - Profilo terreno WTG5



**Progetto di Integrale Ricostruzione di n. 1 impianto eolico composto da
14 aerogeneratori da 6,6 MW per una potenza complessiva di 92,4 MW nei comuni di Faeto e
Celle San Vito e relative opere di connessione alla località “Monte S. Vito – Ciuccia - Crepa-
core” con smantellamento di n. 60 aerogeneratori di potenza in esercizio pari a 33,75 MW”**

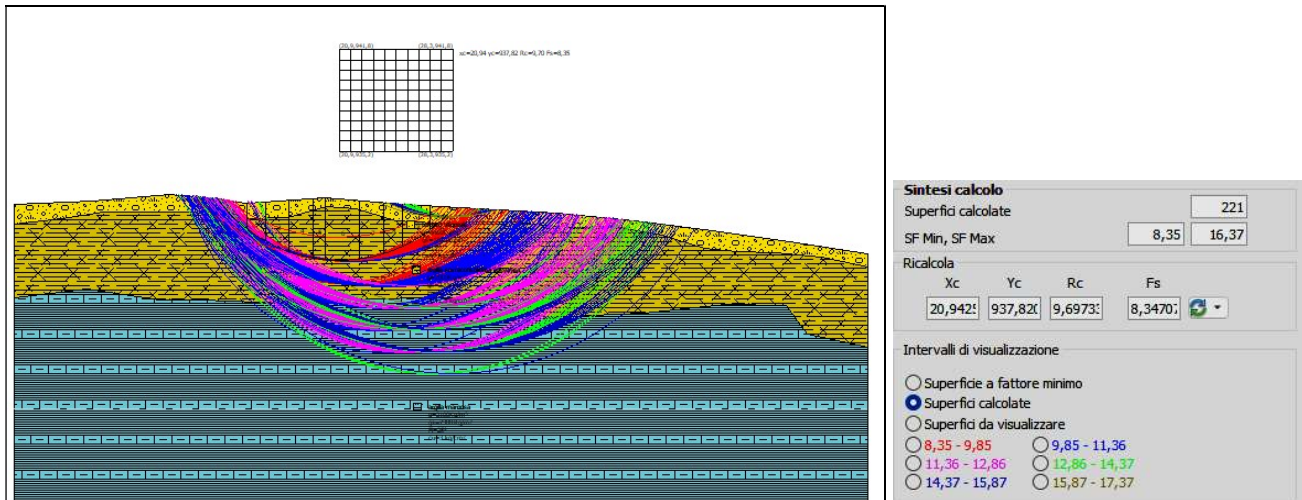


Fig. 7e: Risultati Pre Operam

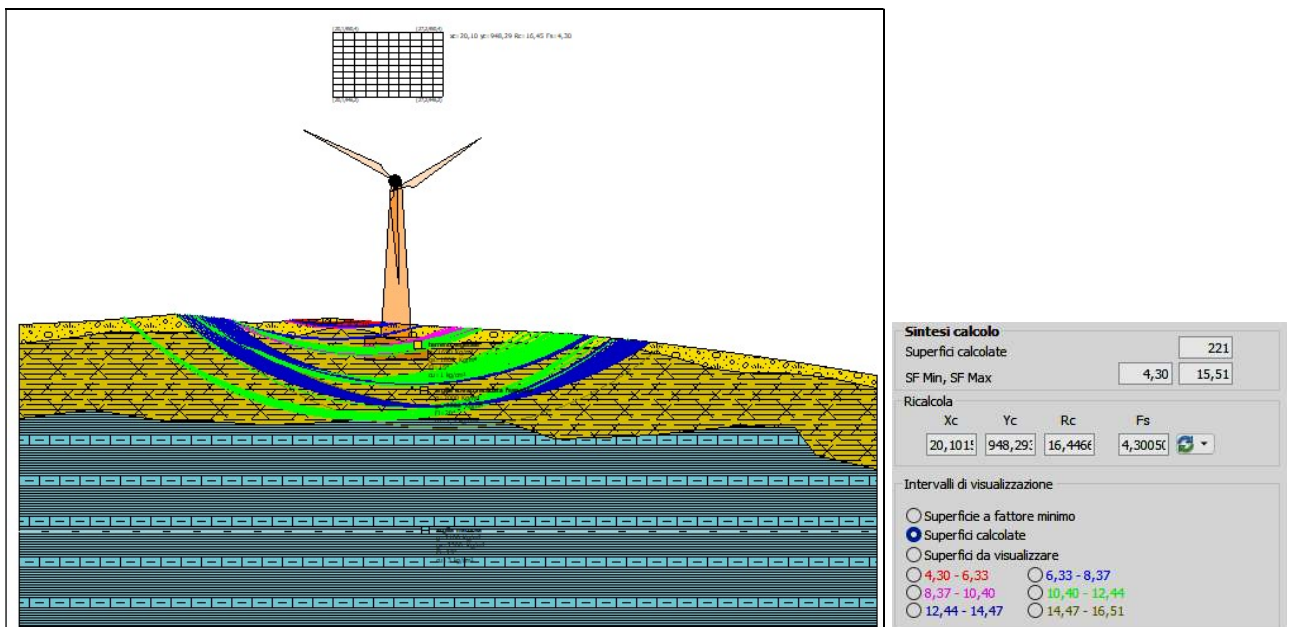


Fig. 7e: Risultati Post Operam



Progetto di Integrale Ricostruzione di n. 1 impianto eolico composto da
14 aerogeneratori da 6,6 MW per una potenza complessiva di 92,4 MW nei comuni di Faeto e
Celle San Vito e relative opere di connessione alla località “Monte S. Vito – Ciuccia - Crepacore” con smantellamento di n. 60 aerogeneratori di potenza in esercizio pari a 33,75 MW”

Risultati Verifica di stabilità – aerogeneratore WTG6

Le verifiche di stabilità dell'aerogeneratore WTG6, eseguite lungo il profilo del terreno indicato (Fig. 7f)

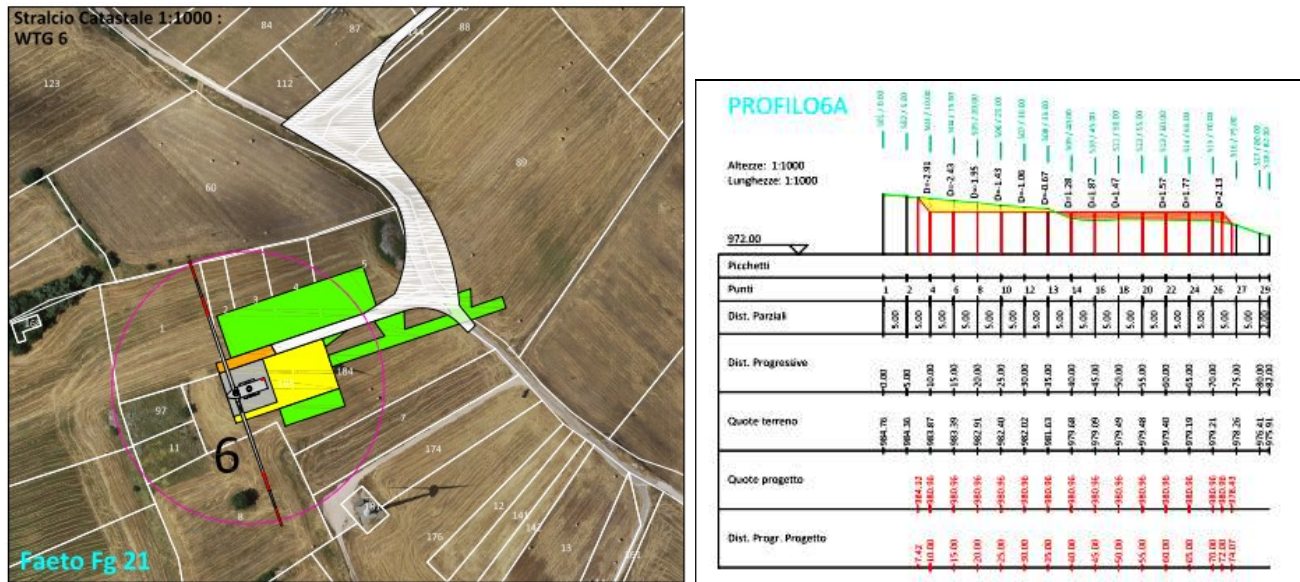


Fig. 7f: Posizione WTG6 - Profilo terreno WTG6



Progetto di Integrale Ricostruzione di n. 1 impianto eolico composto da 14 aerogeneratori da 6,6 MW per una potenza complessiva di 92,4 MW nei comuni di Faeto e Celle San Vito e relative opere di connessione alla località “Monte S. Vito – Ciuccia - Crepacore” con smantellamento di n. 60 aerogeneratori di potenza in esercizio pari a 33,75 MW”

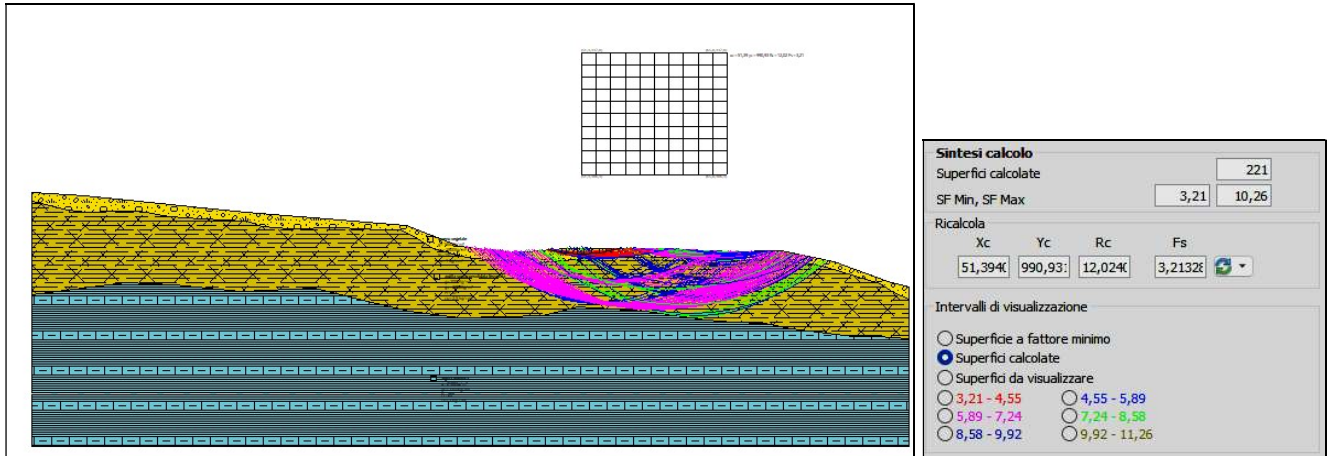


Fig. 7f: Risultati Pre Operam

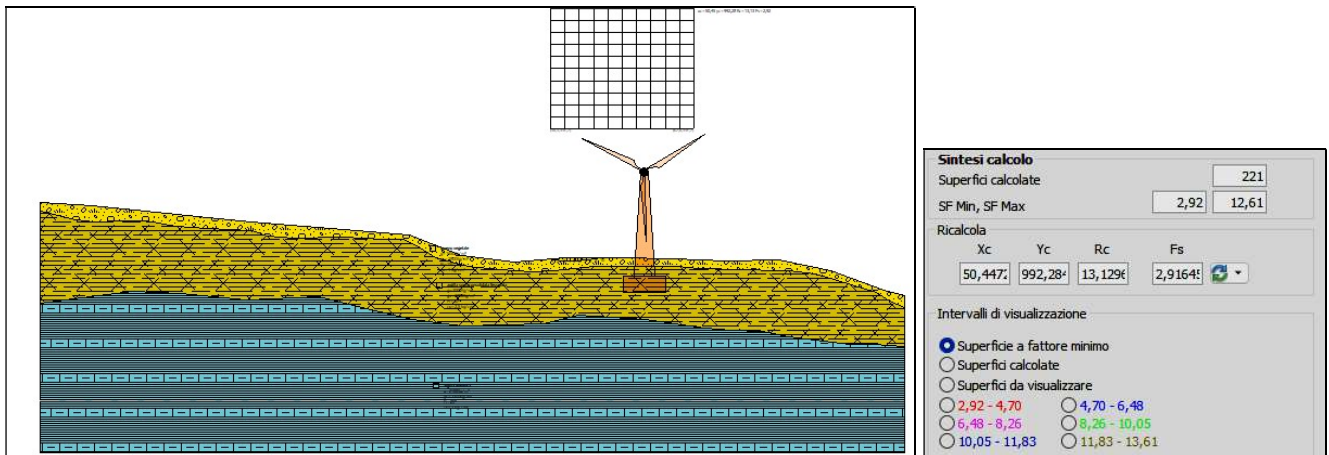


Fig. 7f: Risultati Post Operam



**Progetto di Integrale Ricostruzione di n. 1 impianto eolico composto da
14 aerogeneratori da 6,6 MW per una potenza complessiva di 92,4 MW nei comuni di Faeto e
Celle San Vito e relative opere di connessione alla località “Monte S. Vito – Ciuccia - Crepa-
core” con smantellamento di n. 60 aerogeneratori di potenza in esercizio pari a 33,75 MW”**

Risultati Verifica di stabilità - aerogeneratore WTG7

Le verifiche di stabilità dell'aerogeneratore WTG7, eseguite lungo il profilo del terreno indicato (Fig. 7g)

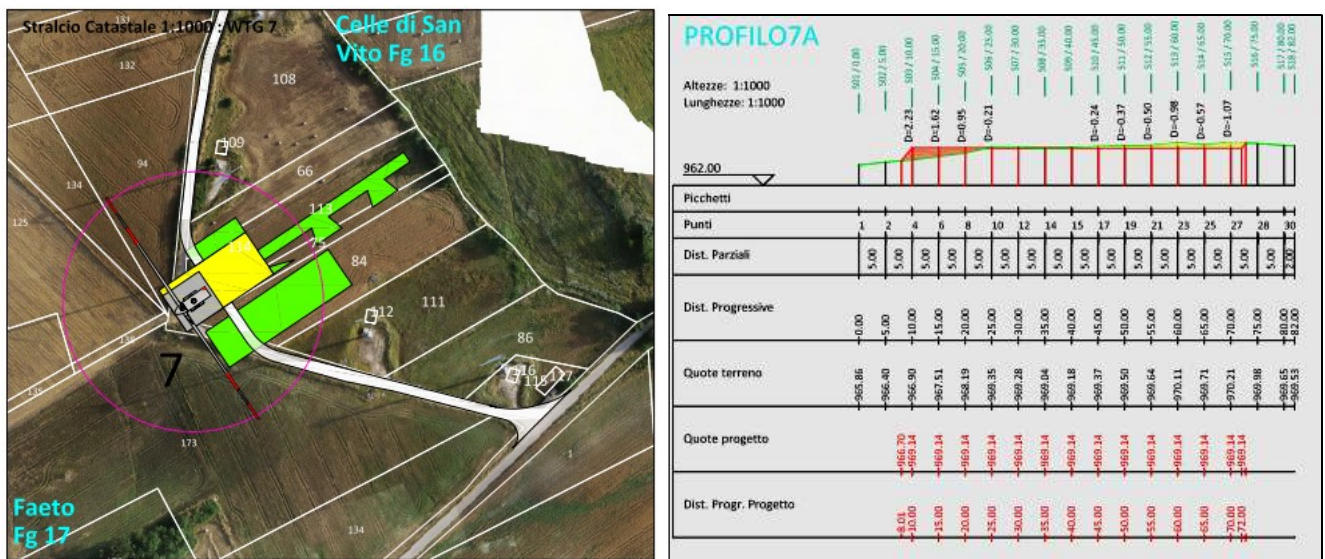


Fig. 7g: Posizione WTG7 - Profilo terreno WTG7



Progetto di Integrale Ricostruzione di n. 1 impianto eolico composto da 14 aerogeneratori da 6,6 MW per una potenza complessiva di 92,4 MW nei comuni di Faeto e Celle San Vito e relative opere di connessione alla località “Monte S. Vito – Ciuccia - Crepacore” con smantellamento di n. 60 aerogeneratori di potenza in esercizio pari a 33,75 MW”

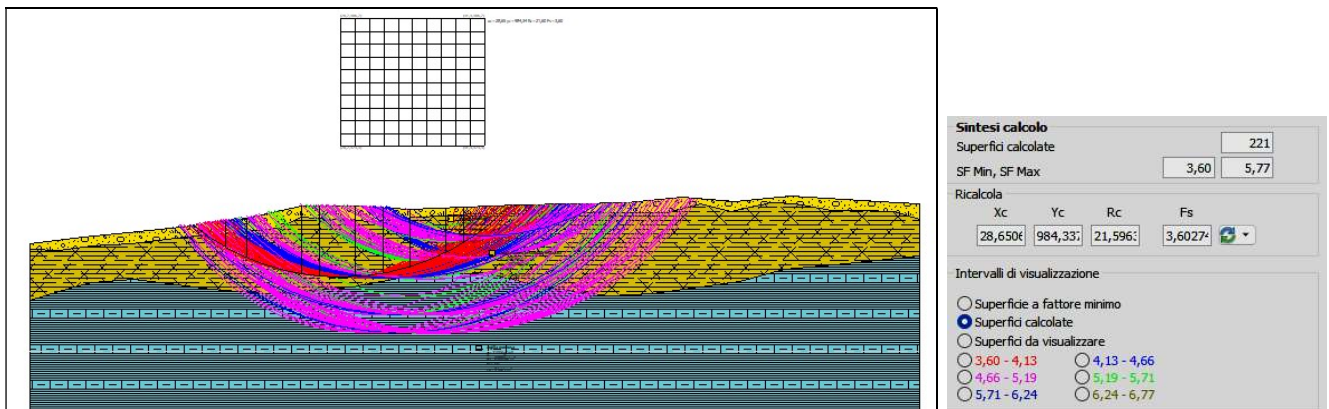


Fig. 7g: Risultati Pre Operam

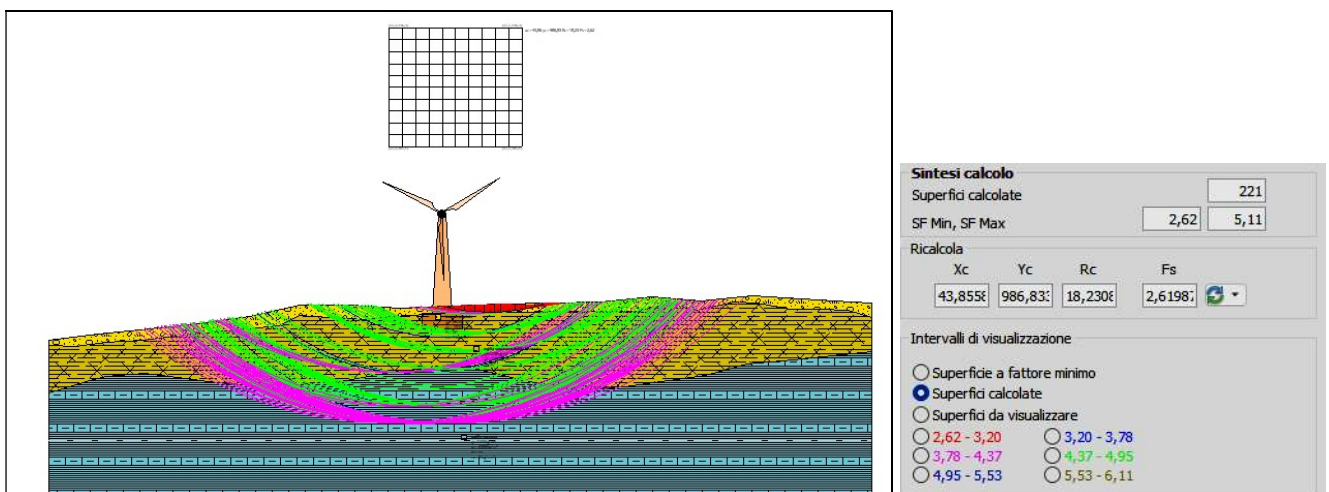


Fig. 7g: Risultati Post Operam



Progetto di Integrale Ricostruzione di n. 1 impianto eolico composto da 14 aerogeneratori da 6,6 MW per una potenza complessiva di 92,4 MW nei comuni di Faeto e Celle San Vito e relative opere di connessione alla località "Monte S. Vito - Ciuccia - Crepacore" con smantellamento di n. 60 aerogeneratori di potenza in esercizio pari a 33,75 MW

Risultati Verifica di stabilità – aerogeneratore WTG8

Le verifiche di stabilità dell'aerogeneratore WTG8, eseguite lungo il profilo del terreno indicato (Fig. 7h)

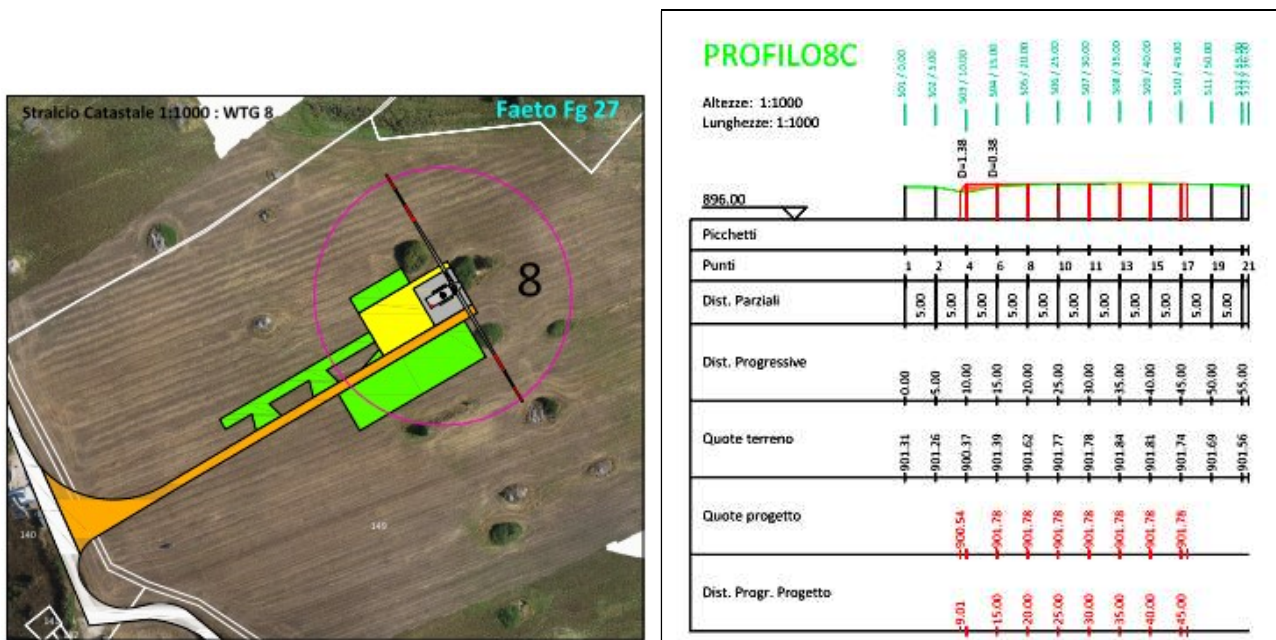


Fig. 7h: Posizione WTG8 - Profilo terreno WTG8



**Progetto di Integrale Ricostruzione di n. 1 impianto eolico composto da
14 aerogeneratori da 6,6 MW per una potenza complessiva di 92,4 MW nei comuni di Faeto e
Celle San Vito e relative opere di connessione alla località “Monte S. Vito – Ciuccia - Crepa-
core” con smantellamento di n. 60 aerogeneratori di potenza in esercizio pari a 33,75 MW”**

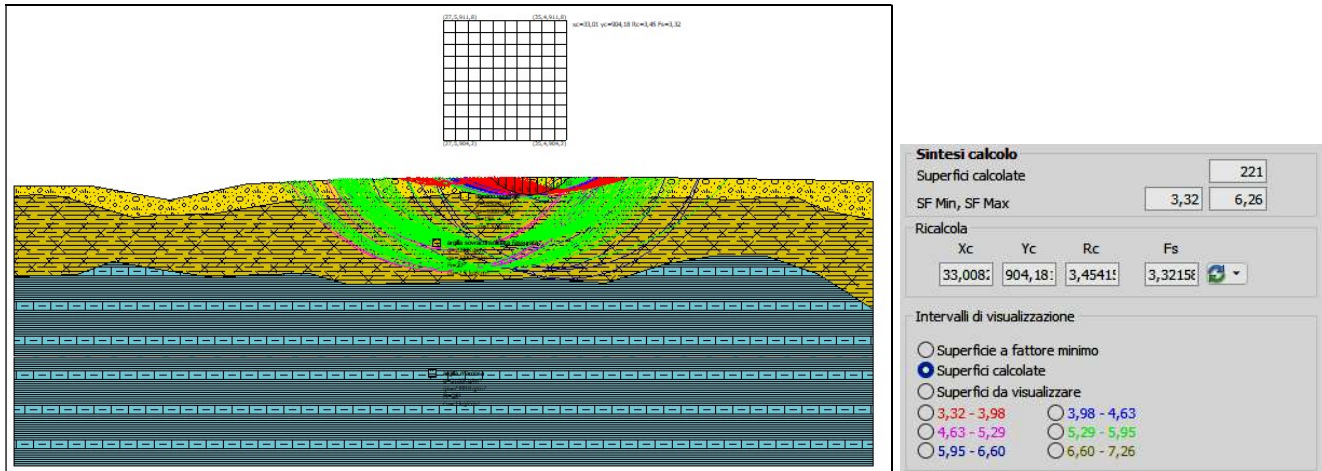


Fig. 7h: Risultati Pre Operam

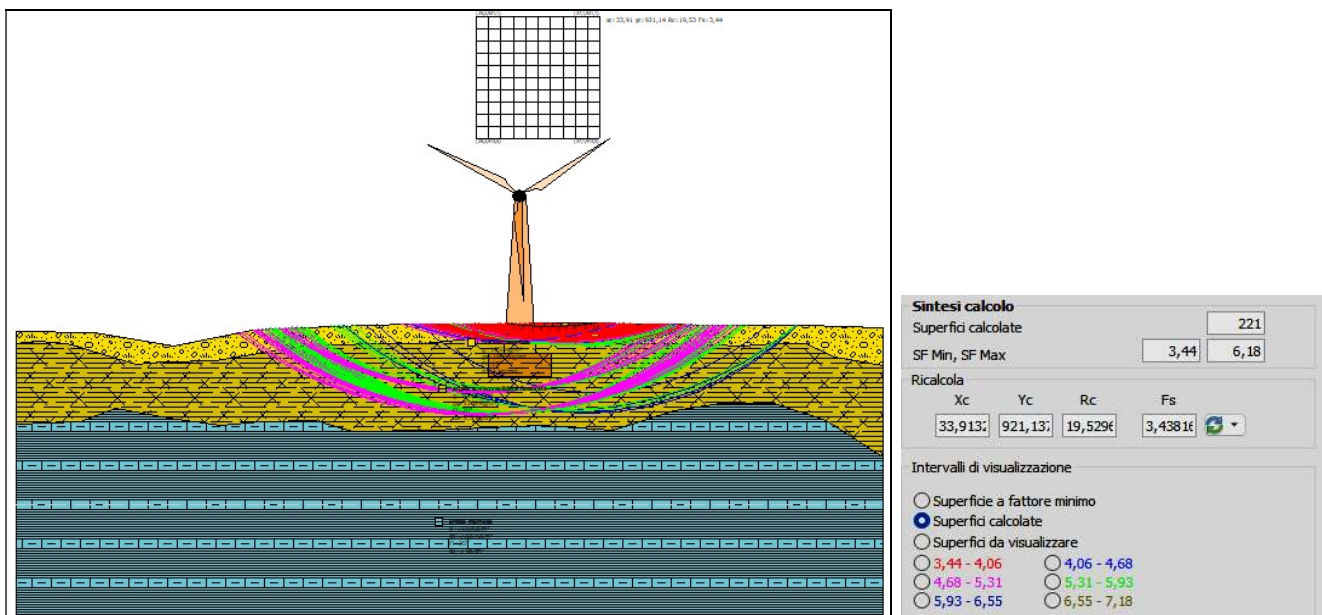


Fig. 7h: Risultati Post Operam



Progetto di Integrale Ricostruzione di n. 1 impianto eolico composto da 14 aerogeneratori da 6,6 MW per una potenza complessiva di 92,4 MW nei comuni di Faeto e Celle San Vito e relative opere di connessione alla località “Monte S. Vito – Ciuccia - Crepacore” con smantellamento di n. 60 aerogeneratori di potenza in esercizio pari a 33,75 MW”

Risultati Verifica di stabilità - aerogeneratore WTG9

Le verifiche di stabilità dell'aerogeneratore WTG9, eseguite lungo il profilo del terreno indicato (Fig. 7i)

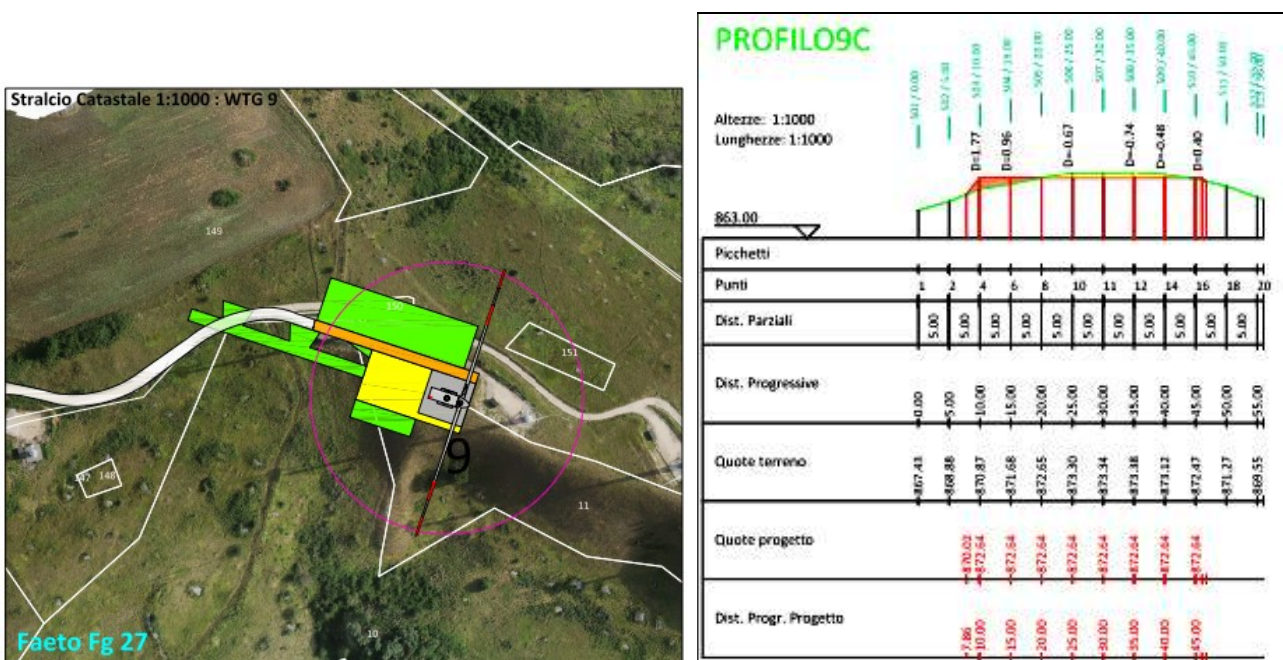


Fig. 7i: Posizione WTG9 - Profilo terreno WTG9



Progetto di Integrale Ricostruzione di n. 1 impianto eolico composto da 14 aerogeneratori da 6,6 MW per una potenza complessiva di 92,4 MW nei comuni di Faeto e Celle San Vito e relative opere di connessione alla località “Monte S. Vito – Ciuccia - Crepacore” con smantellamento di n. 60 aerogeneratori di potenza in esercizio pari a 33,75 MW”

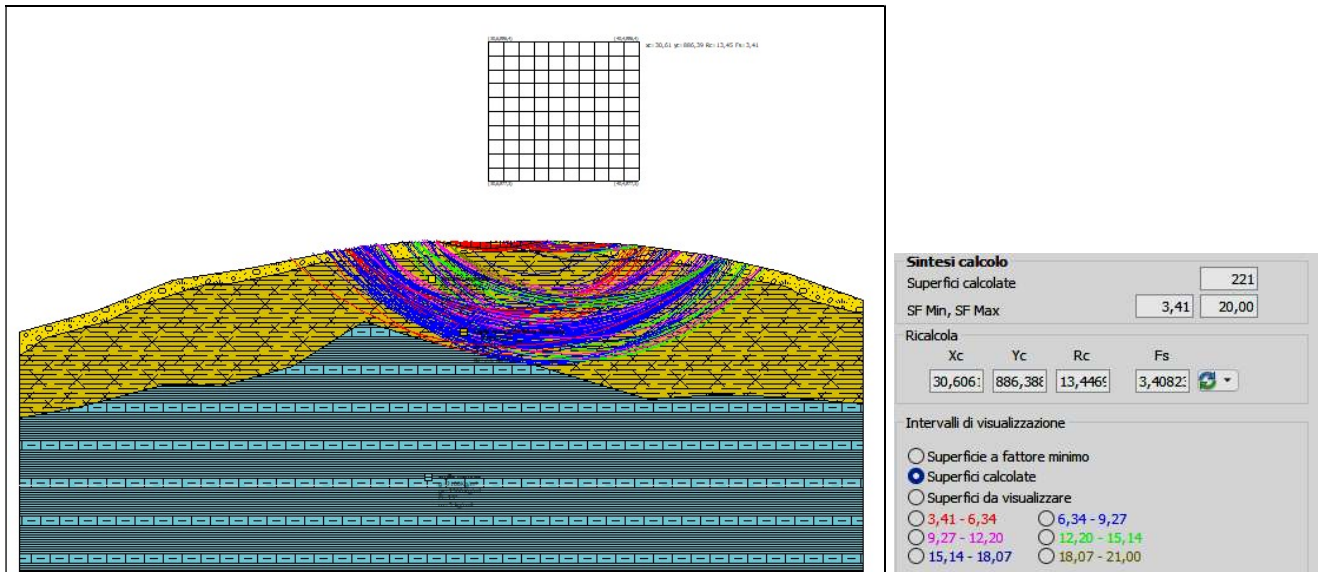


Fig. 7i: Risultati Pre Operam

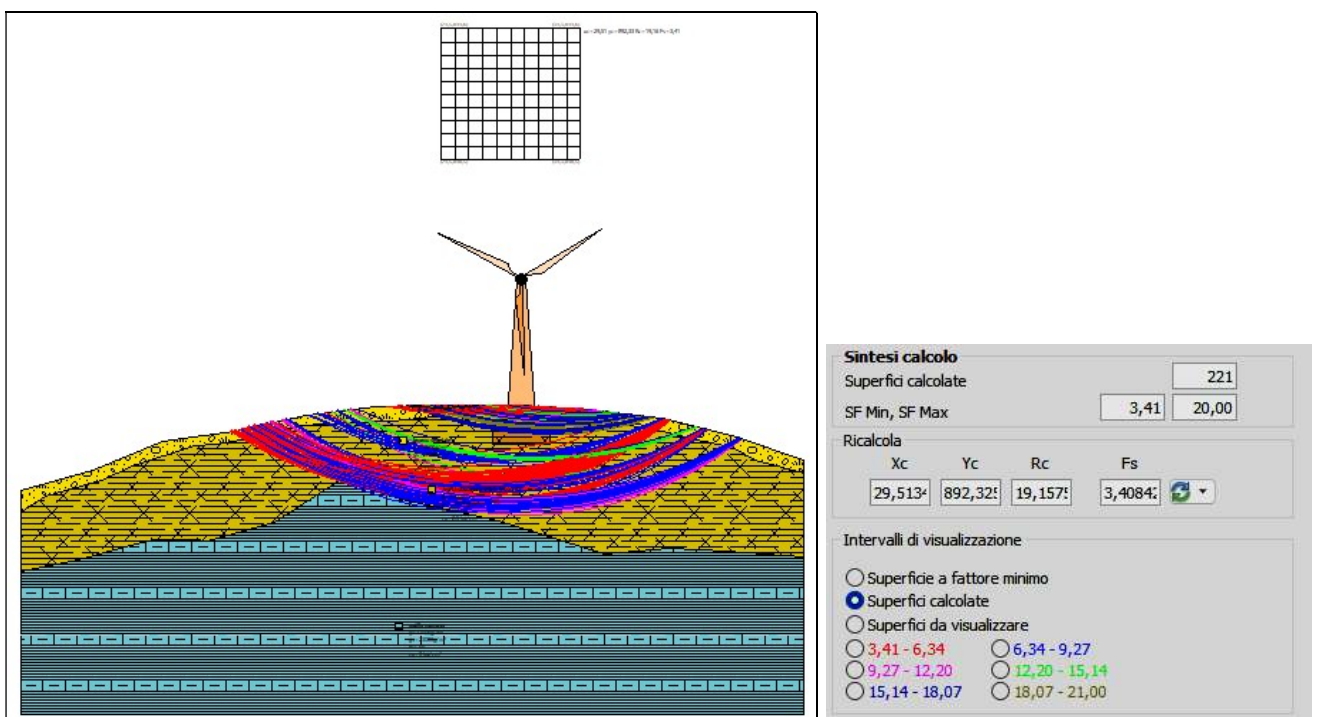


Fig. 7i: Risultati Post Operam



Progetto di Integrale Ricostruzione di n. 1 impianto eolico composto da 14 aerogeneratori da 6,6 MW per una potenza complessiva di 92,4 MW nei comuni di Faeto e Celle San Vito e relative opere di connessione alla località “Monte S. Vito – Ciuccia - Crepacore” con smantellamento di n. 60 aerogeneratori di potenza in esercizio pari a 33,75 MW”

Risultati Verifica di stabilità – aerogeneratore WTG10

Le verifiche di stabilità dell'aerogeneratore WTG10, eseguite lungo il profilo del terreno indicato (Fig. 71)

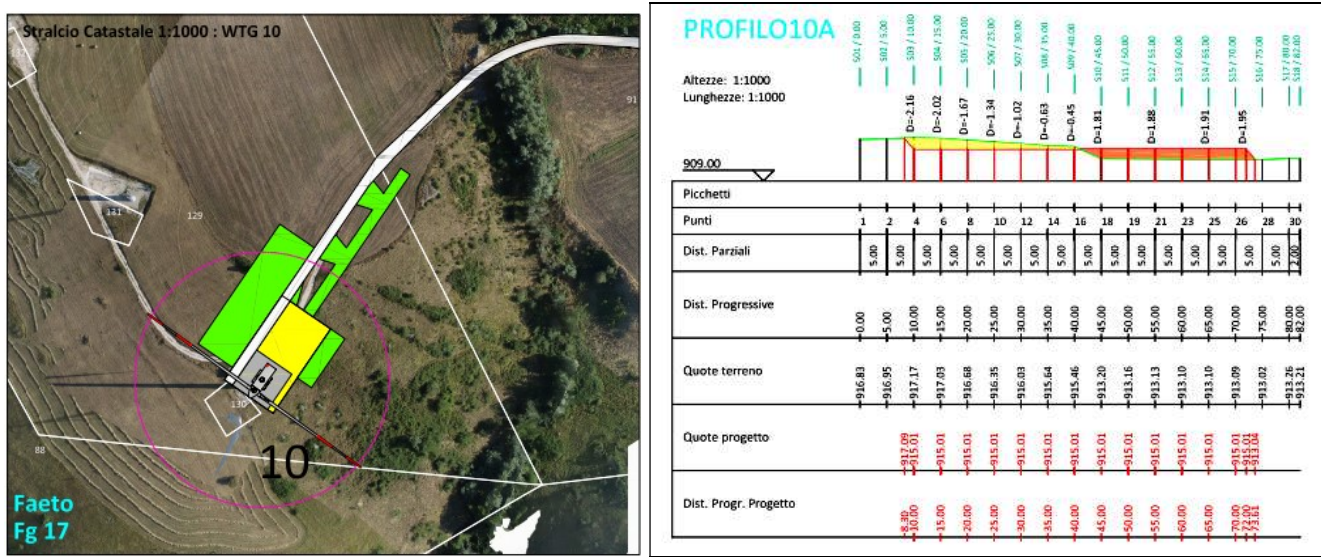


Fig. 71: Posizione WTG10 - Profilo terreno WTG10



Progetto di Integrale Ricostruzione di n. 1 impianto eolico composto da 14 aerogeneratori da 6,6 MW per una potenza complessiva di 92,4 MW nei comuni di Faeto e Celle San Vito e relative opere di connessione alla località “Monte S. Vito – Ciuccia - Crepacore” con smantellamento di n. 60 aerogeneratori di potenza in esercizio pari a 33,75 MW”

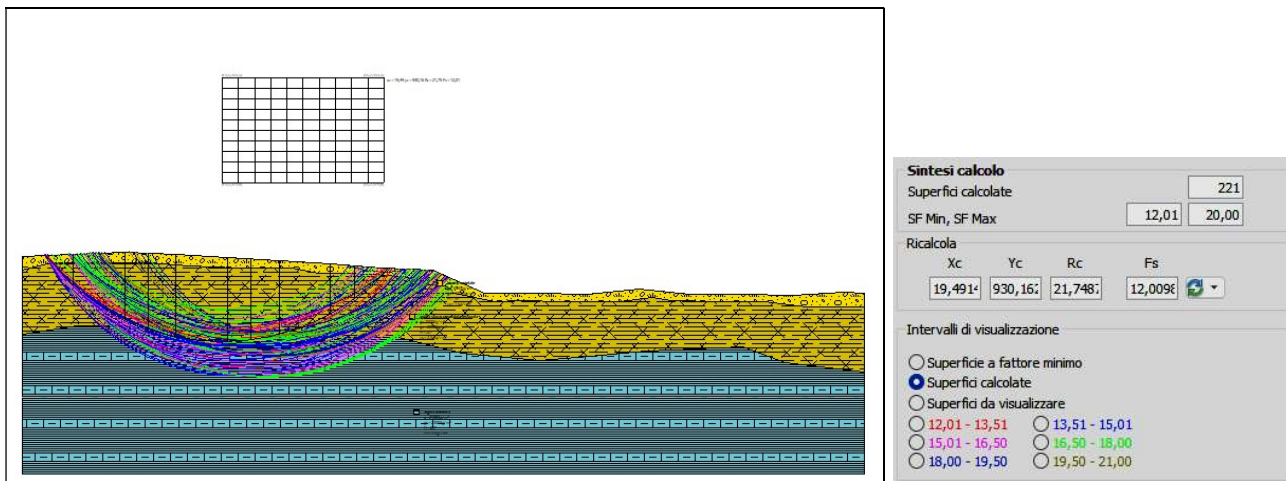


Fig. 7l: Risultati Pre Operam

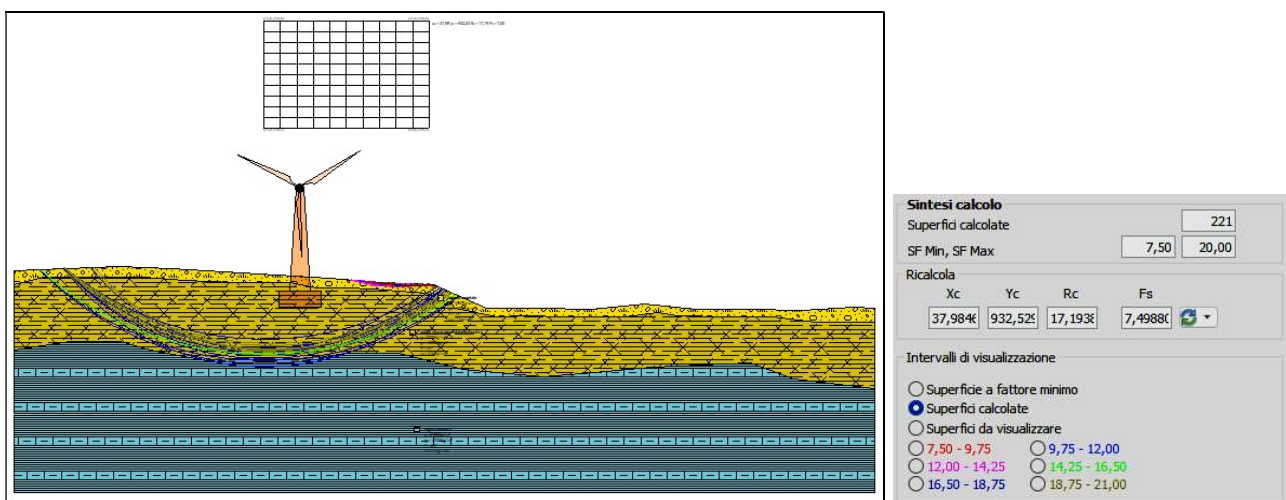


Fig. 7l: Risultati Post Operam



Progetto di Integrale Ricostruzione di n. 1 impianto eolico composto da 14 aerogeneratori da 6,6 MW per una potenza complessiva di 92,4 MW nei comuni di Faeto e Celle San Vito e relative opere di connessione alla località “Monte S. Vito – Ciuccia - Crepacore” con smantellamento di n. 60 aerogeneratori di potenza in esercizio pari a 33,75 MW”

Risultati Verifica di stabilità aerogeneratore WTG11

Le verifiche di stabilità dell'aerogeneratore WTG11, eseguite lungo il profilo del terreno indicato (Fig. 7m)

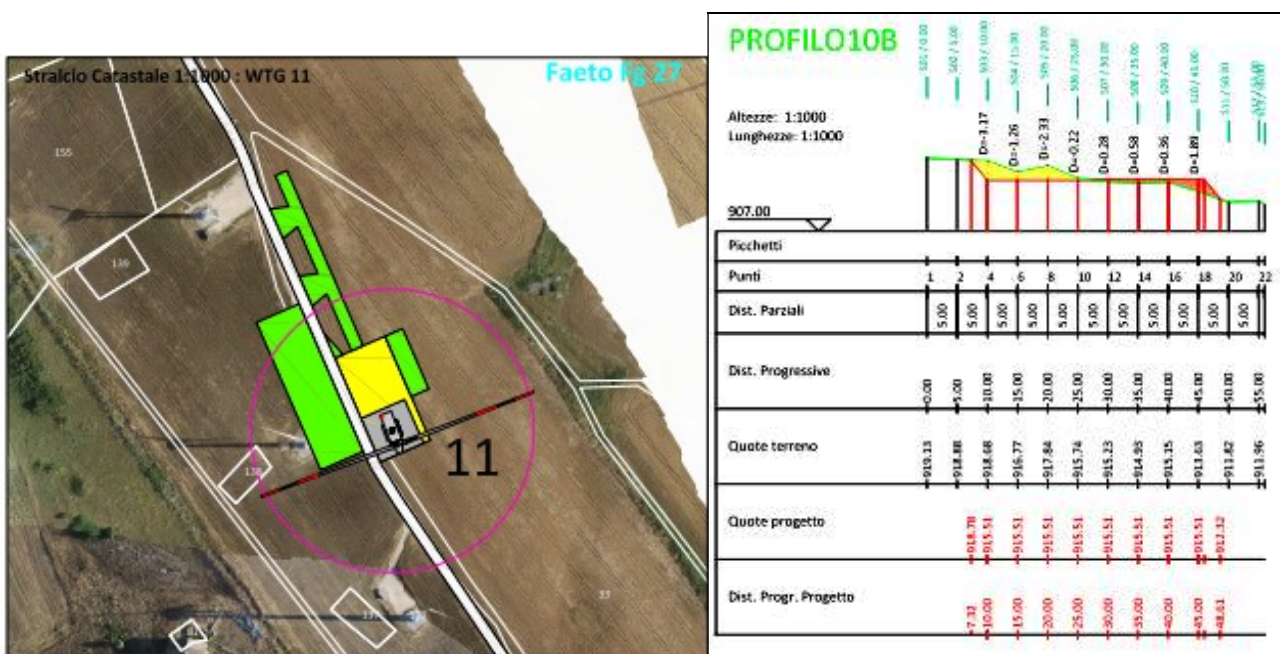


Fig. 7m: Posizione WTG11 - Profilo terreno WTG11



Progetto di Integrale Ricostruzione di n. 1 impianto eolico composto da 14 aerogeneratori da 6,6 MW per una potenza complessiva di 92,4 MW nei comuni di Faeto e Celle San Vito e relative opere di connessione alla località “Monte S. Vito – Ciuccia - Crepacore” con smantellamento di n. 60 aerogeneratori di potenza in esercizio pari a 33,75 MW”

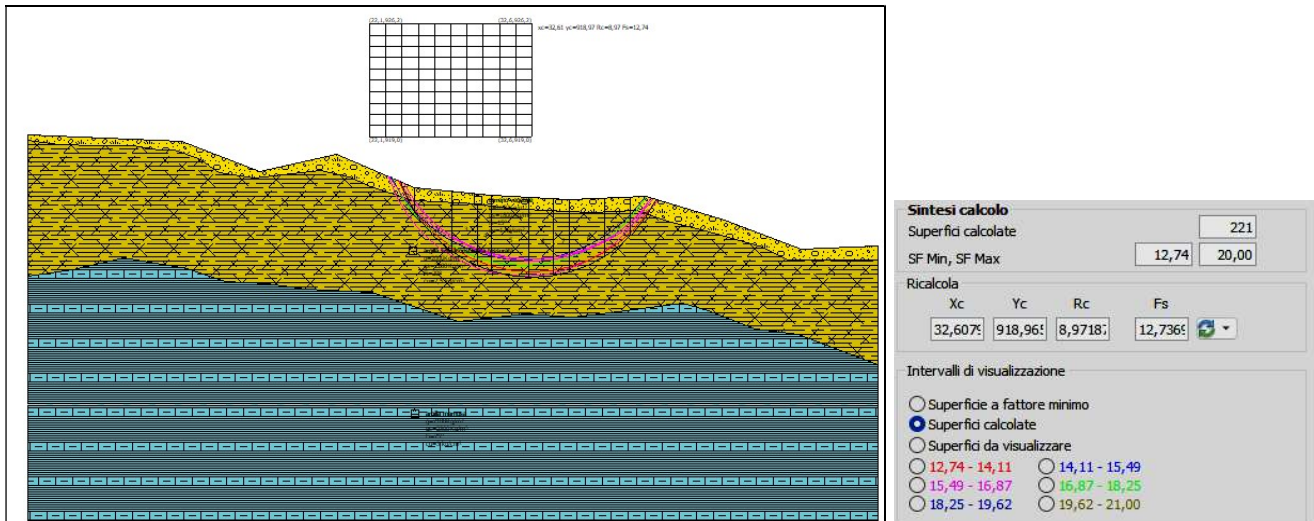


Fig. 7m: Risultati Pre Operam

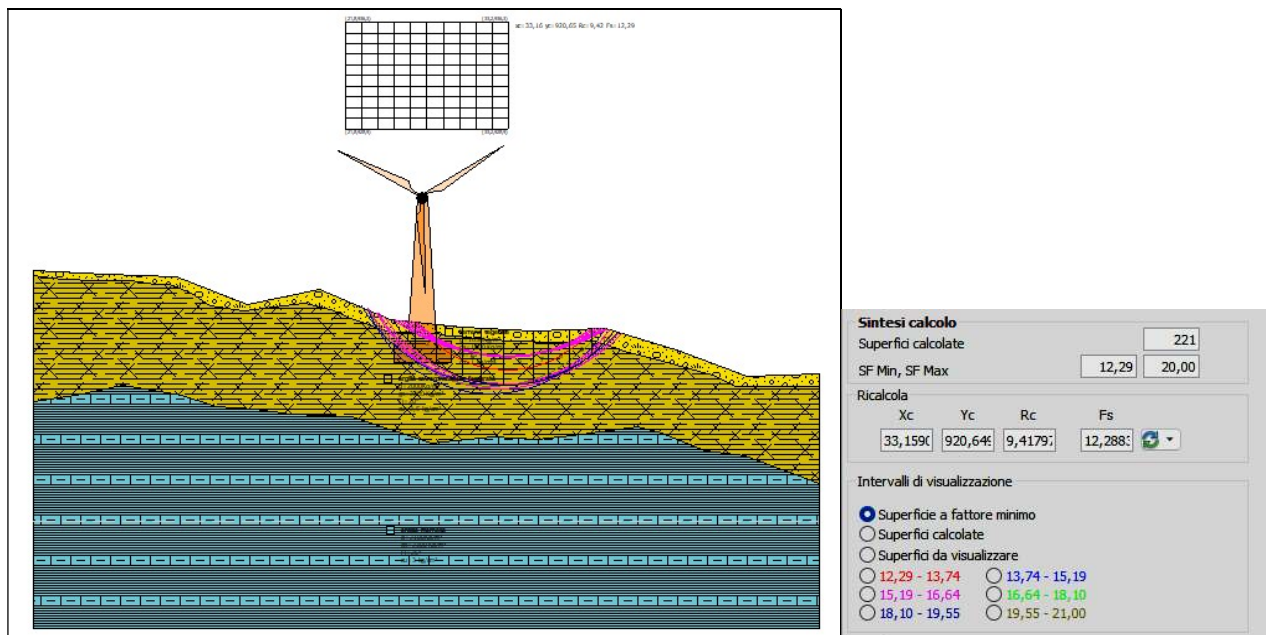


Fig. 7m: Risultati Post Operam



Progetto di Integrale Ricostruzione di n. 1 impianto eolico composto da 14 aerogeneratori da 6,6 MW per una potenza complessiva di 92,4 MW nei comuni di Faeto e Celle San Vito e relative opere di connessione alla località “Monte S. Vito – Ciuccia - Crepacore” con smantellamento di n. 60 aerogeneratori di potenza in esercizio pari a 33,75 MW”

Risultati Verifica di stabilità – aerogeneratore WTG12

Le verifiche di stabilità dell'aerogeneratore WTG12, eseguite lungo il profilo del terreno indicato (Fig. 7n)

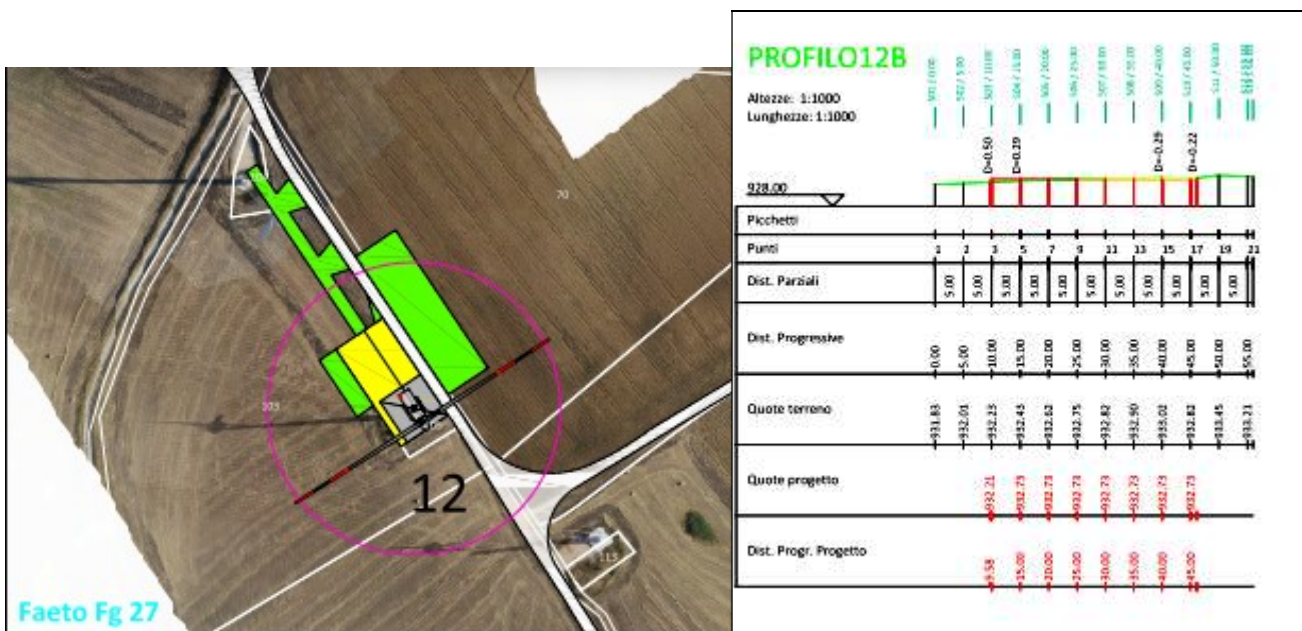


Fig. 7n: Posizione WTG12 - Profilo terreno WTG12



Progetto di Integrale Ricostruzione di n. 1 impianto eolico composto da 14 aerogeneratori da 6,6 MW per una potenza complessiva di 92,4 MW nei comuni di Faeto e Celle San Vito e relative opere di connessione alla località “Monte S. Vito – Ciuccia - Crepacore” con smantellamento di n. 60 aerogeneratori di potenza in esercizio pari a 33,75 MW”

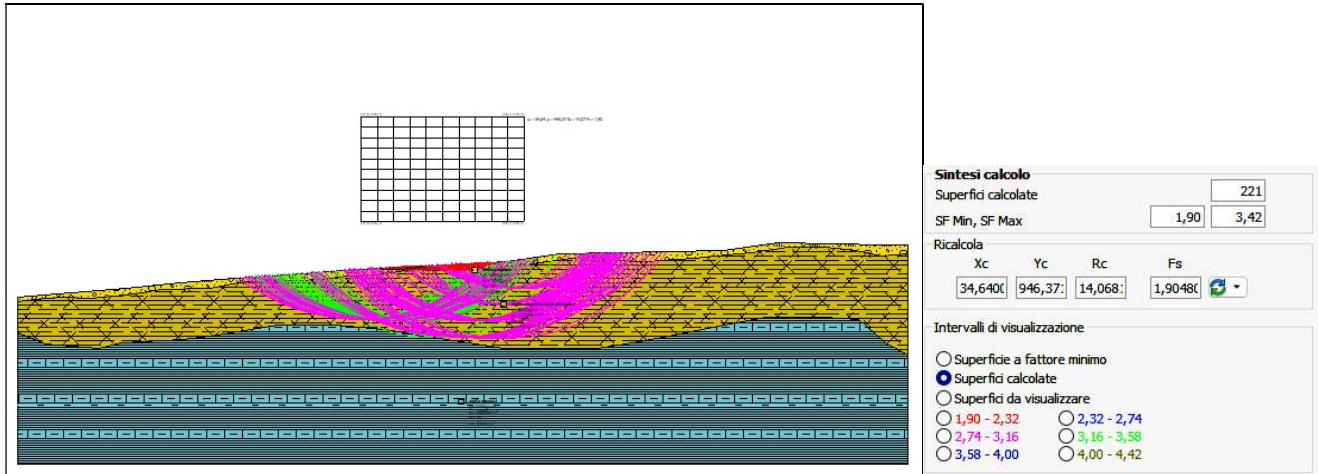


Fig. 7n: Risultati Pre Operam

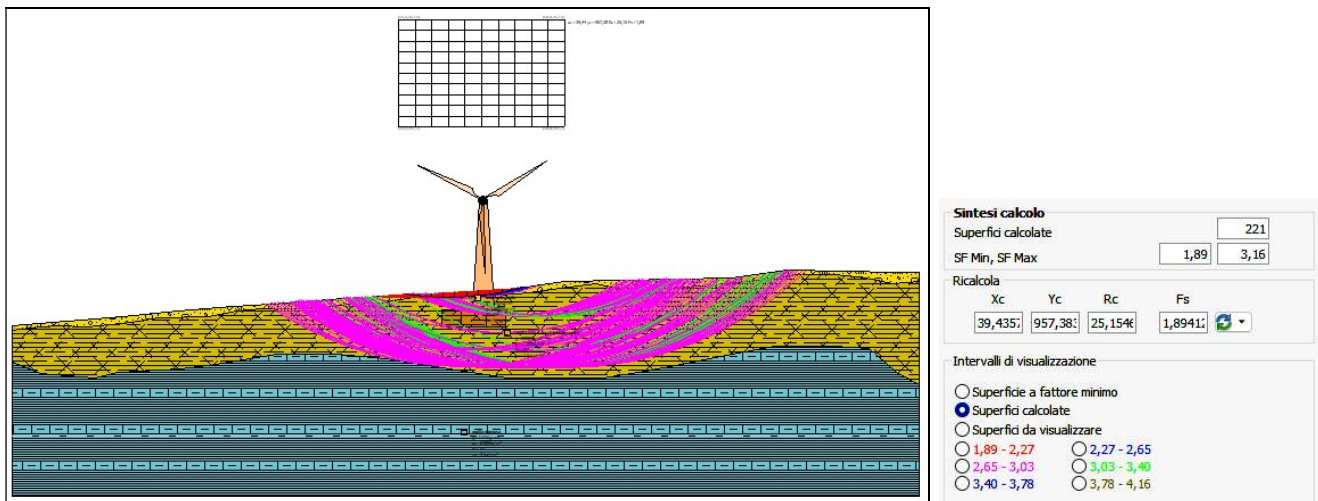


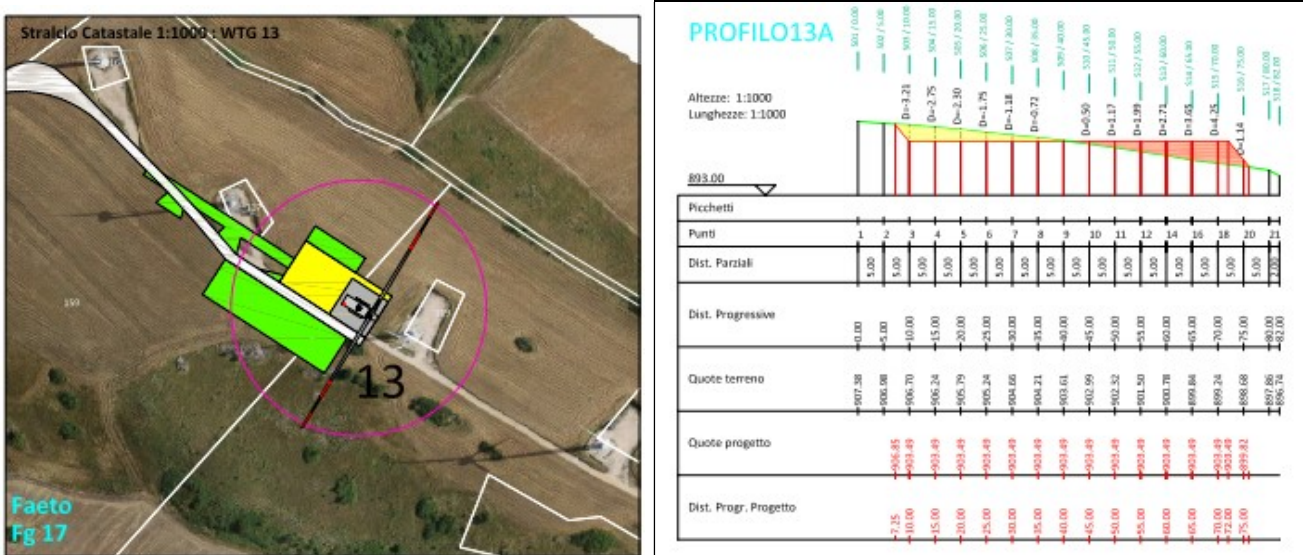
Fig. 7n: Risultati Post Operam



Progetto di Integrale Ricostruzione di n. 1 impianto eolico composto da 14 aerogeneratori da 6,6 MW per una potenza complessiva di 92,4 MW nei comuni di Faeto e Celle San Vito e relative opere di connessione alla località “Monte S. Vito – Ciuccia - Crepacore” con smantellamento di n. 60 aerogeneratori di potenza in esercizio pari a 33,75 MW”

Risultati Verifica di stabilità – aerogeneratore WTG13

Le verifiche di stabilità dell'aerogeneratore WTG13, eseguite lungo il profilo del terreno indicato (Fig. 70)





Progetto di Integrale Ricostruzione di n. 1 impianto eolico composto da 14 aerogeneratori da 6,6 MW per una potenza complessiva di 92,4 MW nei comuni di Faeto e Celle San Vito e relative opere di connessione alla località “Monte S. Vito – Ciuccia - Crepacore” con smantellamento di n. 60 aerogeneratori di potenza in esercizio pari a 33,75 MW”

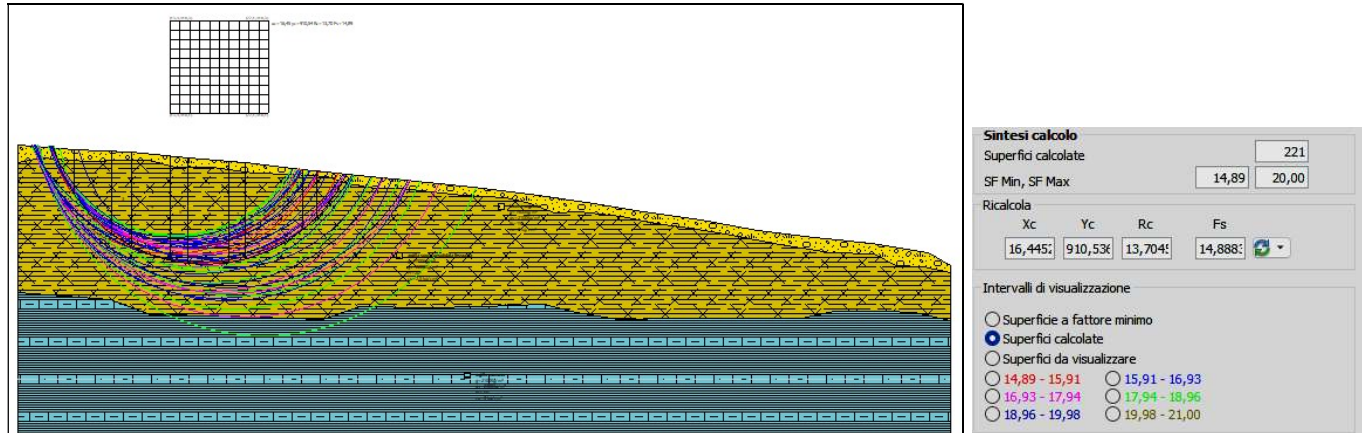


Fig. 7o: Risultati Pre Operam

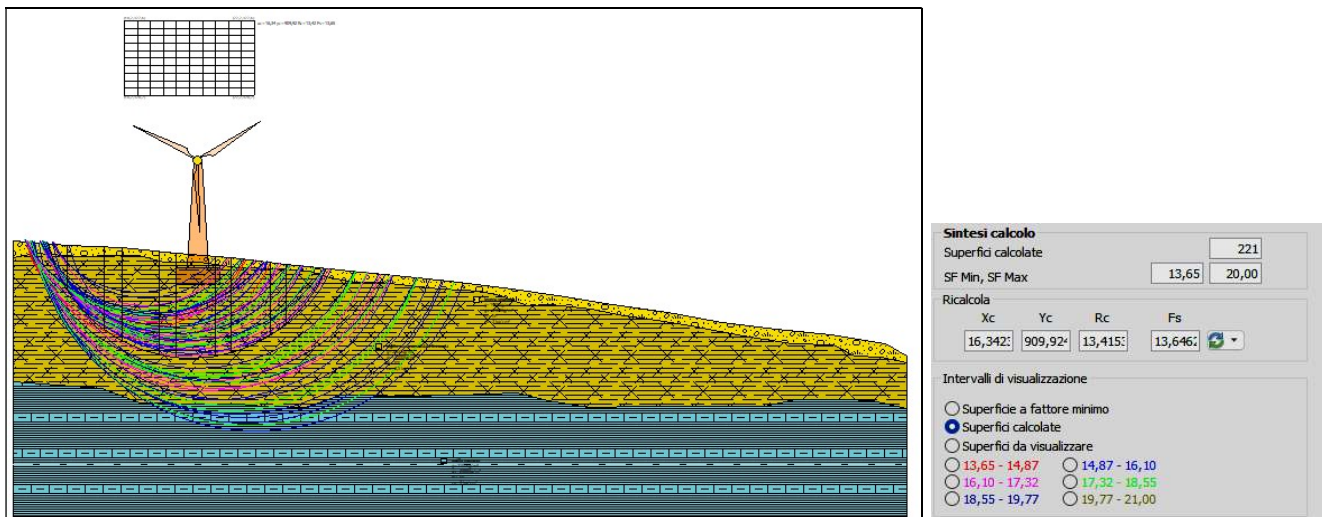


Fig. 7o: Risultati Post Operam



Progetto di Integrale Ricostruzione di n. 1 impianto eolico composto da 14 aerogeneratori da 6,6 MW per una potenza complessiva di 92,4 MW nei comuni di Faeto e Celle San Vito e relative opere di connessione alla località “Monte S. Vito – Ciuccia - Crepacore” con smantellamento di n. 60 aerogeneratori di potenza in esercizio pari a 33,75 MW”

Risultati Verifica di stabilità – aerogeneratore WTG14

Le verifiche di stabilità dell'aerogeneratore WTG14, eseguite lungo il profilo del terreno indicato (Fig. 7p)

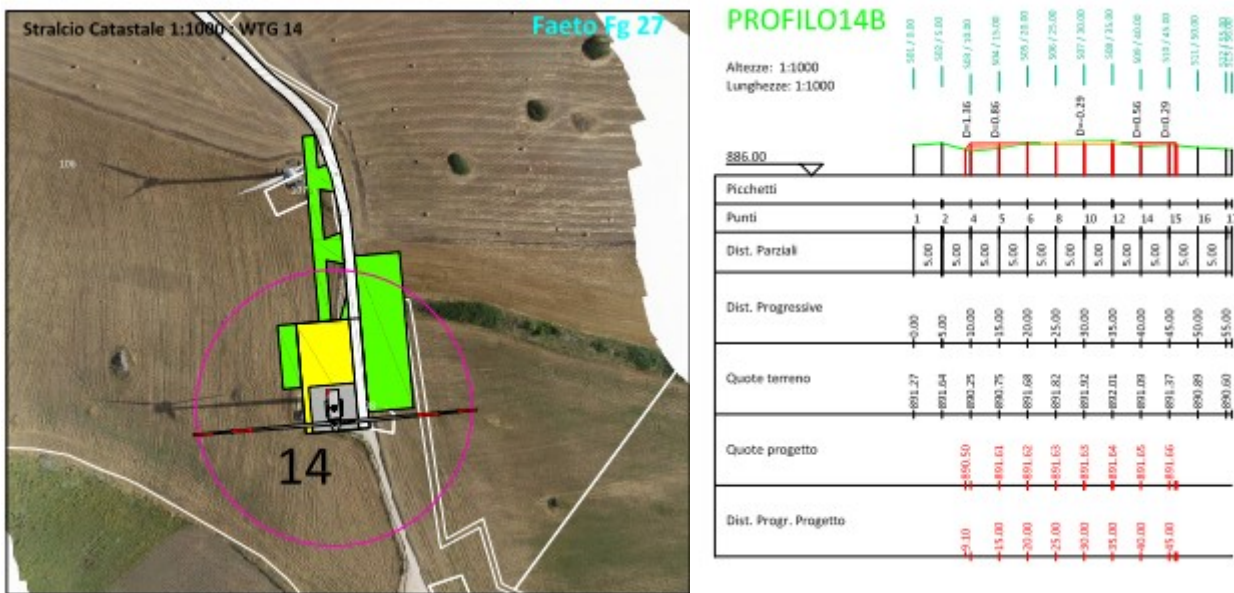


Fig. 7p: Posizione WTG1 - Profilo terreno WTG1



Progetto di Integrale Ricostruzione di n. 1 impianto eolico composto da 14 aerogeneratori da 6,6 MW per una potenza complessiva di 92,4 MW nei comuni di Faeto e Celle San Vito e relative opere di connessione alla località “Monte S. Vito – Ciuccia - Crepacore” con smantellamento di n. 60 aerogeneratori di potenza in esercizio pari a 33,75 MW”

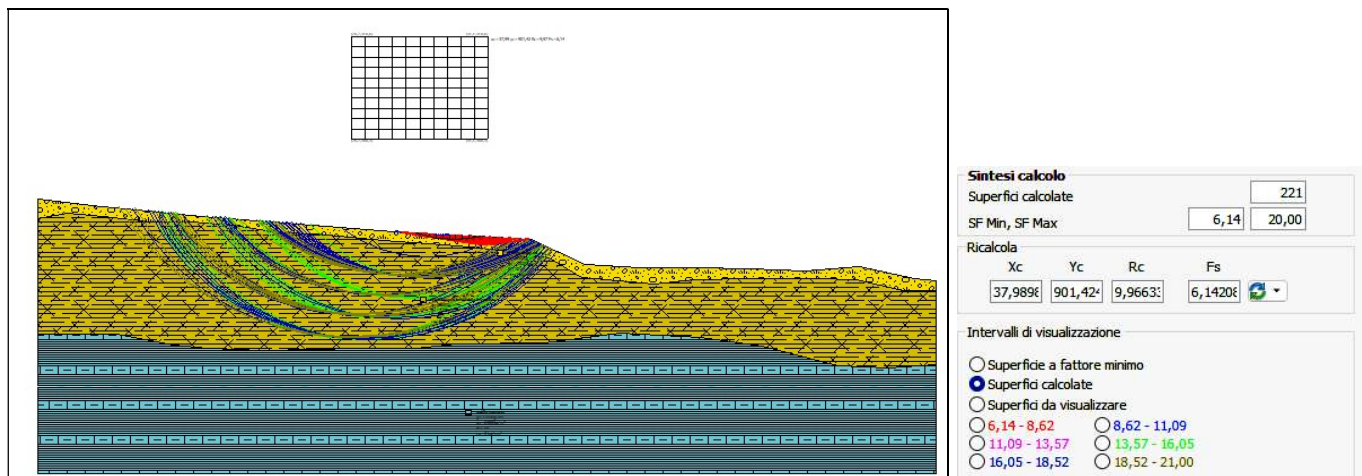


Fig. 7o: Risultati Pre Operam

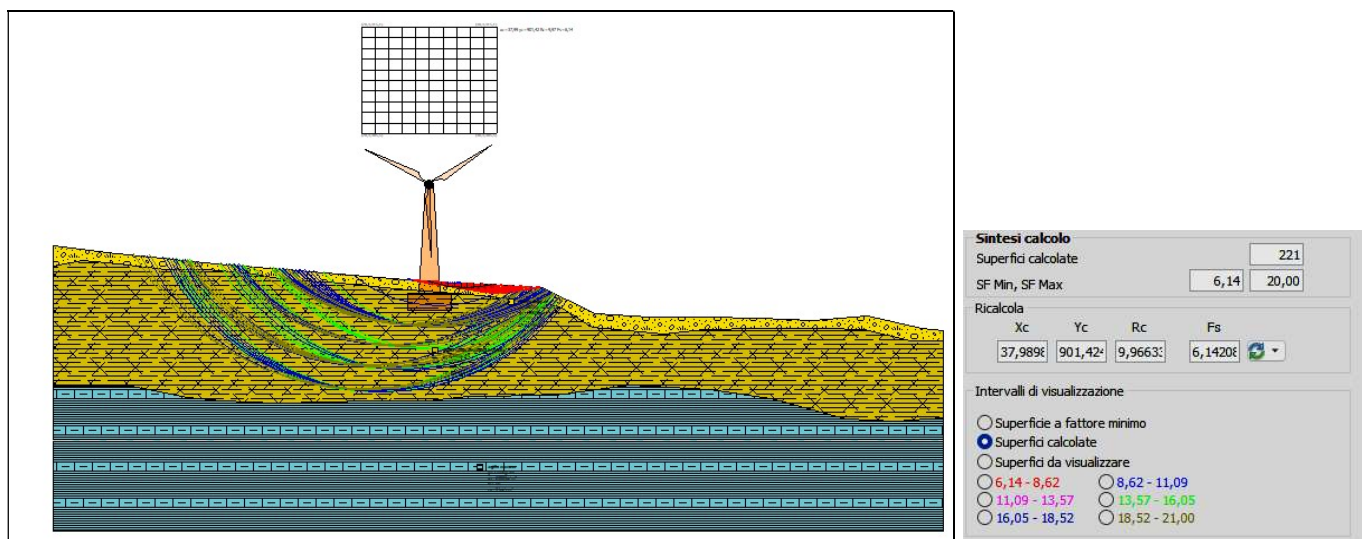


Fig. 7o: Risultati Pre Operam



Progetto di Integrale Ricostruzione di n. 1 impianto eolico composto da 14 aerogeneratori da 6,6 MW per una potenza complessiva di 92,4 MW nei comuni di Faeto e Celle San Vito e relative opere di connessione alla località “Monte S. Vito – Ciuccia - Crepacore” con smantellamento di n. 60 aerogeneratori di potenza in esercizio pari a 33,75 MW”

5. PIANIFICAZIONE DELLE INDAGINI

Ai fini della definizione del quadro geologico dell'area sono non sono state eseguite nuove indagini ma sono state considerate le indagini eseguite per il posizionamento degli aerogeneratori, messe a disposizione della scrivente da parte della stessa committenza.

Nello specifico si sono considerate le seguenti indagini e prove:

- n. 7 sondaggi geognostici;
- n. 19 prove SPT (Standard Penetration Test)
- Prove di laboratorio

Le indagini sono state realizzate secondo le ubicazioni riportate in Appendice – Allegato 2 nel quale sono riportate anche le stratigrafie corrispondenti.



Progetto di Integrale Ricostruzione di n. 1 impianto eolico composto da 14 aerogeneratori da 6,6 MW per una potenza complessiva di 92,4 MW nei comuni di Faeto e Celle San Vito e relative opere di connessione alla località “Monte S. Vito – Ciuccia - Crepacore” con smantellamento di n. 60 aerogeneratori di potenza in esercizio pari a 33,75 MW”

5.1 Metodologie di indagini adottate

I sondaggi geognostici, spinti fino ad una profondità di metri 15 dal p.c., sono stati realizzati con sonda a rotazione MK 900 CMV con carotiere del diametro di 101 mm. Le stratigrafie sono state elaborate durante i sondaggi in base all'esame della campionatura prelevata.

Si è ritenuto opportuno, ai fini della definizione dei parametri geotecnici dei terreni, eseguire la prova Standard Penetration Test (SPT). Tale prova, effettuata nel foro di sondaggio, consiste nel misurare il numero dei colpi (NSPT) necessario per infiggere il campionatore standard per 30 cm di profondità (dopo aver effettuato un avanzamento preliminare di 15 cm necessario all'attraversamento di possibili detriti presenti sul fondo del foro di sondaggio) battendo con un maglio di peso di 63,5 Kg e con un'altezza di caduta di 76,2 cm. Qualora la resistenza del terreno è tale che il numero dei colpi è superiore a 50 senza aver ancora raggiunto i 30 cm, la prova è da considerarsi terminata. La prova SPT è particolarmente utilizzata in terreni granulari e consente, attraverso opportune formule di correlazione, di ottenere i parametri geotecnici dei terreni.

Le prove SPT eseguite hanno fornito i seguenti risultati:

- SPT n. 1 (sondaggio n.1) NSPT = 11
- SPT n. 2 (sondaggio n. 2) NSPT = 9



Progetto di Integrale Ricostruzione di n. 1 impianto eolico composto da 14 aerogeneratori da 6,6 MW per una potenza complessiva di 92,4 MW nei comuni di Faeto e Celle San Vito e relative opere di connessione alla località “Monte S. Vito – Ciuccia - Crepacore” con smantellamento di n. 60 aerogeneratori di potenza in esercizio pari a 33,75 MW”

6- SUCCESSIONE LITOSTRATIGRAFICA

Il rivelamento di campagna unito ai risultati delle indagini pregresse ha confermato i dati rinvenibili in letteratura e cioè la presenza di una sequenza flysciode costituita da argilla e calcareniti appartenenti alla Formazione della Daunia.

L’analisi delle stratigrafie delle indagini pregresse, consente di definire che i terreni in esame, nella loro variabilità granulometrica e nei rapporti geometrici verticali, pur nella tipica eterogeneità, mostrano una sostanziale uniformità che permette di inquadrarli nelle unità litotecnica rappresentante nella Fig. 8:

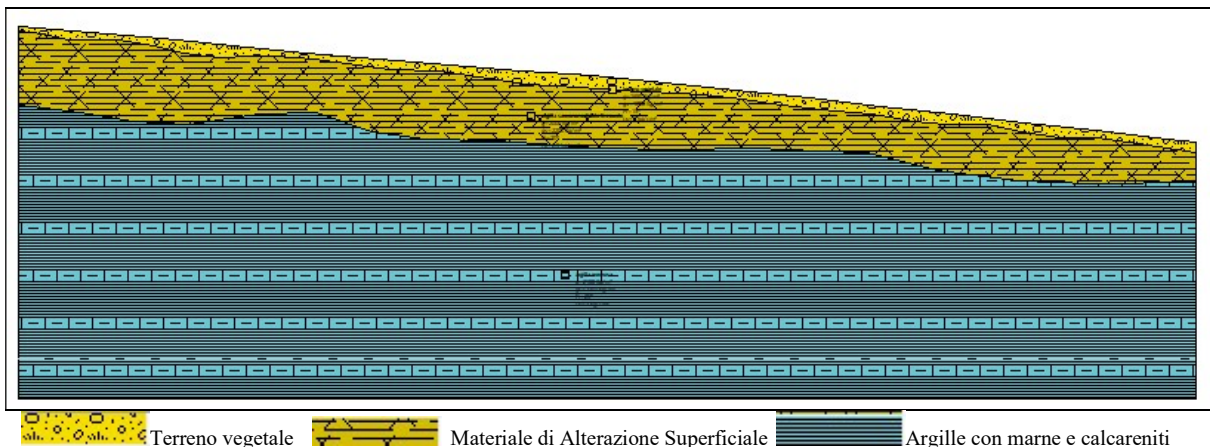


Fig. 8: Sezione rappresentativa delle unità litotecniche dell’area di progetto



Progetto di Integrale Ricostruzione di n. 1 impianto eolico composto da 14 aerogeneratori da 6,6 MW per una potenza complessiva di 92,4 MW nei comuni di Faeto e Celle San Vito e relative opere di connessione alla località “Monte S. Vito – Ciuccia - Crepacore” con smantellamento di n. 60 aerogeneratori di potenza in esercizio pari a 33,75 MW”

In base ai risultati delle prove SPT opportunamente integrati con le conoscenze di indagini eseguite in zone limitrofe su terreni simili si può ragionevolmente ipotizzare quanto segue:

A) Materiale di alterazione superficiale:

si tratta di materiale di natura essenzialmente argillosa molto compressibile alternato a livelli arenacei e calcarenitici dallo spessore variabile tra i 2 e i 3,50 m. La loro scarsa coerenza e irregolarità, sia in senso orizzontale che verticale, determinano spinte variazioni delle proprietà fisico-meccaniche con la creazione al loro interno di diversi piani di scivolamento

B) Argilla grigio-azzurra con livelli di marne e calcareniti

Si tratta di uno strato caratterizzato da materiale di natura essenzialmente argillosa con livelli calcarenitici. Dove scarseggia la componente litica la presenza di acqua può rendere il materiale localmente instabile, seppur il comportamento è condizionato dalle caratteristiche geotecniche del terreno stesso.

Dal punto di vista geotecnico si possono assumere i seguenti valori dei principali parametri:



Progetto di Integrale Ricostruzione di n. 1 impianto eolico composto da 14 aerogeneratori da 6,6 MW per una potenza complessiva di 92,4 MW nei comuni di Faeto e Celle San Vito e relative opere di connessione alla località “Monte S. Vito – Ciuccia - Crepacore” con smantellamento di n. 60 aerogeneratori di potenza in esercizio pari a 33,75 MW”

<i>Descrizione Litologica</i>	<i>Materiale di Alterazione Superficiale</i>	<i>Argilla grigia-azzurra con livelli di Marne e Calcarenitri</i>
<i>Peso volume medio</i>	$\gamma_m = 1,75-1,85 \text{ g/cm}^3$	$\gamma_m = 1,90-2,05 \text{ g/cm}^3$
<i>Angolo di resistenza al taglio medio (tensioni efficaci, a lungotermine)</i>	$\varphi_m = 18^\circ-20^\circ$	$\varphi_m = 21^\circ-26^\circ$
<i>Coesione drenata media (tensioni efficaci, a lungo termine)</i>	$C = 0,05-0,1 \text{ kg/cm}^2$	$C = 0,2-0,5 \text{ kg/cm}^2$
<i>Coesione non drenata</i>	$C_u = 0,5-0,8 \text{ kg/cm}^2$	$C_u = 0,8-1,0 \text{ kg/cm}^2$
<i>Modulo di Poisson</i>	$\nu = 0,25$	$\nu = 0,35$

Da tali elementi, che andranno opportunamente verificati con ulteriori ed eventuali indagini geognostiche mirate, ed in relazione agli aspetti legati alle scelte progettuali previste per le strutture fondazionali dell'impianto, di tipo profondo, non si evidenziano particolari problemi e/o criticità di ordine geotecnico che possano compromettere la stabilità delle opere.



Progetto di Integrale Ricostruzione di n. 1 impianto eolico composto da 14 aerogeneratori da 6,6 MW per una potenza complessiva di 92,4 MW nei comuni di Faeto e Celle San Vito e relative opere di connessione alla località “Monte S. Vito – Ciuccia - Crepacore” con smantellamento di n. 60 aerogeneratori di potenza in esercizio pari a 33,75 MW”

7 SISMICITA'

7.1: Inquadramento Sismico

Con l'introduzione dell'O.P.C.M. n. 3274 del 20 Marzo 2003 e s.m.i. sono stati rivisti i criteri per l'individuazione delle zone sismiche e sono state definite le nuove norme tecniche per la progettazione di nuovi opere, per le opere di fondazione, per le strutture di sostegno, ecc. Nel 2003 sono stati emanati i criteri di nuova classificazione sismica del territorio nazionale, basati sugli studi e le elaborazioni più recenti relative alla pericolosità sismica del territorio, ossia sull'analisi della probabilità che il territorio venga interessato in un certo intervallo di tempo (generalmente 50 anni) da un evento che superi una determinata soglia di intensità o magnitudo. A tal fine è stata pubblicata l'Ordinanza del Presidente del Consiglio dei Ministri n. 3274 del 20 marzo 2003, sulla Gazzetta Ufficiale n. 105 dell'8 maggio 2003.

Il Decreto 17 gennaio 2018 - Aggiornamento delle "Norme tecniche per le costruzioni" - fornisce le indicazioni per la progettazione e la verifica di nuove strutture secondo criteri antisismici.

Ai sensi del decreto, le azioni sismiche di progetto si definiscono a partire dalla "pericolosità sismica di base" del sito di costruzione. La pericolosità sismica è definita in termini di acce-



Progetto di Integrale Ricostruzione di n. 1 impianto eolico composto da 14 aerogeneratori da 6,6 MW per una potenza complessiva di 92,4 MW nei comuni di Faeto e Celle San Vito e relative opere di connessione alla località “Monte S. Vito – Ciuccia - Crepacore” con smantellamento di n. 60 aerogeneratori di potenza in esercizio pari a 33,75 MW”

lerazione orizzontale massima attesa ag in condizioni di campo libero su sito di riferimento con superficie topografica orizzontale, nonché di ordinate dello spettro di risposta elastico in accelerazione ad essa corrispondente $Se(T)$, con riferimento a prefissate probabilità di eccedenza PVR nel periodo di riferimento VR. In alternativa è ammesso l'uso di accelerogrammi, purché correttamente commisurati alla pericolosità sismica del sito.

Le forme spettrali sono definite, per ciascuna delle probabilità di superamento nel periodo di riferimento PVR, a partire dai valori dei seguenti parametri su sito di riferimento rigido orizzontale:

ag = accelerazione orizzontale massima al sito;

F_0 = valore massimo di fattore di amplificazione dello spettro in accelerazione orizzontale;

T^*C = periodo di inizio del tratto a velocità costante dello spettro in accelerazione orizzontale.

Per l'area in esame, sulla base delle indagini eseguite, si verifica l'assoluta stabilità dell'area; ai fini della determinazione dell'azione sismica di progetto e della categoria di sottosuolo (Ordinanza P.C.M. n.3274 del 20/03/03 e aggiornamenti, modifi-



Progetto di Integrale Ricostruzione di n. 1 impianto eolico composto da 14 aerogeneratori da 6,6 MW per una potenza complessiva di 92,4 MW nei comuni di Faeto e Celle San Vito e relative opere di connessione alla località “Monte S. Vito – Ciuccia - Crepacore” con smantellamento di n. 60 aerogeneratori di potenza in esercizio pari a 33,75 MW”

che, integrazioni, sostituzioni del D.M. 14/09/2005 “Norme Tecniche per le Costruzioni” D.M. Infrastrutture del 17/01/2018), si potranno prendere in considerazione i seguenti elementi di valutazione:

- In base alla localizzazione geografica del sito di progetto vengono definiti i parametri di riferimento del moto sismico in superficie, successivamente correlati con gli stati limite e la vita nominale dell’opera. Ciò al fine di definire gli obiettivi da raggiungere in termini di sicurezza e prestazioni delle opere o parti di essa.
 - Individuazione del sito
 - Regione Puglia, Provincia di Foggia, Comune di Faeto e Celle San Vito;
 - La velocità media di propagazione potrà essere assunta mediamente di 350 m/s, entro 30 m di profondità delle onde di taglio (VS,eq) per deformazioni di taglio $\gamma < 10^{-6}$, dello strato iesimo, per un totale di N strati presente nei 30 m superiori;
 - Sulla base del valore VS,eq avendo considerato l’insieme delle indagini effettuate durante la campagna geognostica, considerando in modo cautelativo i risultati peggiori riscontrati, non considerando l’aumento delle caratteristiche geotecnici,



Progetto di Integrale Ricostruzione di n. 1 impianto eolico composto da 14 aerogeneratori da 6,6 MW per una potenza complessiva di 92,4 MW nei comuni di Faeto e Celle San Vito e relative opere di connessione alla località “Monte S. Vito – Ciuccia - Crepacore” con smantellamento di n. 60 aerogeneratori di potenza in esercizio pari a 33,75 MW”

che dei terreni con la profondità, si ipotizza un sottosuolo riferibile alla categoria “C”:

CATEGORIE SUOLI DI FONDAZIONE	
Tab. 3.2.II - D.M. 17 gennaio 2018 “Nuove Norme Tecniche per le Costruzioni”.	
A	Ammassi rocciosi affioranti o terreni molto rigidi, caratterizzati da valori di velocità delle onde di taglio superiori a 800 m/s, eventualmente comprendenti in superficie terreni di caratteristiche meccaniche più scadenti con spessore massimo pari a 3 m.
B	Rocce tenere e depositi di terreni a grana grossa molto addensati o terreni a grana fine molto consistenti, caratterizzati da un miglioramento delle proprietà meccaniche con la profondità e da valori di velocità equivalenti compresi tra 360 m/s e 800 m/s.
C	Depositi di terreni a grana grossa mediamente addensati o terreni a grana fine mediamente consistenti, con profondità del substrato superiori a 30 m., caratterizzati da un miglioramento delle proprietà meccaniche con la profondità e valori di velocità equivalenti compresi tra 180 m/s e 360 m/s.
D	Depositi di terreni a grana grossa scarsamente addensati o terreni a grana fine scarsamente consistenti, con profondità del substrato superiori a 30 m, caratterizzati da un miglioramento delle proprietà meccaniche con la profondità e da valori di velocità equivalenti compresi tra 100 e 180 m/s.
E	Terreni con caratteristiche e valori di velocità equivalenti riconducibili a quelle definiti per le categorie C o D, con profondità del substrato non superiore a 30 m.

- Le condizioni topografiche del sito che si colloca su un’area perfettamente pianeggiante con inclinazione media $i < 15^\circ$ (max 2°), sono riferibili alla categoria “T1”, per cui il coefficiente di amplificazione topografica (ST) è pari a 1,0 (valori massimi del coefficiente tab. 3.2. III Norme Tecniche per le Costruzioni 2018).



Progetto di Integrale Ricostruzione di n. 1 impianto eolico composto da 14 aerogeneratori da 6,6 MW per una potenza complessiva di 92,4 MW nei comuni di Faeto e Celle San Vito e relative opere di connessione alla località “Monte S. Vito – Ciuccia - Crepacore” con smantellamento di n. 60 aerogeneratori di potenza in esercizio pari a 33,75 MW”

CARATTERISTICHE DELLA SUPERFICIE TOPOGRAFICA	
Categoria Topografica	Ubicazione dell'opera o dell'intervento
T ₁	Superficie pianeggiante, pendii e rilievi isolati con inclinazione media $i \leq 15^\circ$
T ₂	Pendii con inclinazione media $i > 15^\circ$
T ₃	Rilievi con larghezza in cresta molto minore che alla base e inclinazione media $15^\circ \leq i \leq 30^\circ$
T ₄	Rilievi con larghezza in cresta molto minore che alla base e inclinazione media $i > 30^\circ$

VALORI MASSIMI DEL COEFFICIENTE DI AMPLIFICAZIONE TOPOGRAFICA		
Categoria Topografica	Ubicazione dell'opera o dell'intervento	S _T
T ₁	-	1,0
T ₂	In corrispondenza della sommità del pendio	1,2
T ₃	In corrispondenza della cresta del rilievo	1,2
T ₄	In corrispondenza della cresta del rilievo	1,4

Per il calcolo dei parametri sopra citati sono stati considerati i seguenti parametri:

- Classe d'uso: classe nella quale sono suddivise le opere, con riferimento alle conseguenze di una interruzione di operatività o di un eventuale collasso; per le opere in progetto è la II (tab. 2.4.II) il cui uso prevede normali affollamenti), per cui il coefficiente d'uso risulta CU=1,0

VALORI DEL COEFFICIENTE D'USO Cu.				
CLASSE D'USO	I	II	III	IV
COEFFICIENTE C _U	0,7	1,0	1,5	2,0

- Vita nominale dell'opera VN: intesa come il numero di an-



Progetto di Integrale Ricostruzione di n. 1 impianto eolico composto da 14 aerogeneratori da 6,6 MW per una potenza complessiva di 92,4 MW nei comuni di Faeto e Celle San Vito e relative opere di connessione alla località “Monte S. Vito – Ciuccia - Crepacore” con smantellamento di n. 60 aerogeneratori di potenza in esercizio pari a 33,75 MW”

ni nel quale la struttura, purché soggetta alla necessaria manutenzione, mantiene gli specifici livelli prestazionali di progetto (da questo valore viene calcolato il Periodo di riferimento per l’azione sismica VR come:

VR=VN*CU (dove CU è il coefficiente d’uso);

- Probabilità di superamento nel periodo di riferimento PVR: in funzione dello stato limite di riferimento.

Nel caso dell’opera in oggetto sono considerati i seguenti valori:

Classe d’uso “II”: Costruzioni il cui uso preveda normali affollamenti, senza contenuti pericolosi per l’ambiente e senza funzioni pubbliche e sociali essenziali. Industrie con attività non pericolose per l’ambiente.

Vita nominale VN: 50 anni: costruzioni con livelli di prestazione ordinari. Coefficiente d’uso CU: 1 relativo alla classe d’uso II.

Periodo di riferimento per l’azione sismica: VR=VN*CU= 50*1 = 50 anni

In funzione della probabilità di superamento nel periodo di riferimento PVR vengono calcolati i valori ag, F0, T*C e del periodo di ritorno:

$$T_R = -\frac{V_R}{\ln(1-P_{VR})}$$



Progetto di Integrale Ricostruzione di n. 1 impianto eolico composto da 14 aerogeneratori da 6,6 MW per una potenza complessiva di 92,4 MW nei comuni di Faeto e Celle San Vito e relative opere di connessione alla località “Monte S. Vito – Ciuccia - Crepacore” con smantellamento di n. 60 aerogeneratori di potenza in esercizio pari a 33,75 MW”

SPETTRI DI RISPOSTA SECONDO LE NTC 2018

S.L. Stato limite	TR Tempo ritor- no [anni]	ag [m/s ²]	F0 [-]	TC* [sec]
S.L.O. - SLE	30,0	0,48	2,41	0,29
S.L.D. - SLE	50,0	0,59	2,49	0,33
S.L.V. - SLO	475,0	1,55	2,55	0,44
S.L.C. - SLO	975,0	2,04	2,57	0,46

Dove:

- SLE = stati limite di esercizio
 - SLO = stato limite di operatività: a seguito del terremoto la costruzione nel suo complesso, includendo gli elementi strutturali, quelli non strutturali e le apparecchiature rilevanti in relazione alla sua funzione, non deve subire danni ed interruzioni d'uso significativi;
 - SLD = stato limite di danno: a seguito del terremoto la costruzione nel suo complesso, includendo gli elementi strutturali, quelli non strutturali e le apparecchiature rilevanti alla sua funzione, subisce danni tali da non mettere a rischio gli utenti e da non compromettere significativamente la capacità di resistenza e di rigidezza nei confronti delle azioni verticali ed orizzontali,



Progetto di Integrale Ricostruzione di n. 1 impianto eolico composto da 14 aerogeneratori da 6,6 MW per una potenza complessiva di 92,4 MW nei comuni di Faeto e Celle San Vito e relative opere di connessione alla località “Monte S. Vito – Ciuccia - Crepacore” con smantellamento di n. 60 aerogeneratori di potenza in esercizio pari a 33,75 MW”

mantenendosi immediatamente utilizzabile pur nell'interruzione d'uso di parte delle apparecchiature.

- SLU = stati limite ultimi
 - o SLV = stato limite di salvaguardia della vita: a seguito del terremoto la costruzione subisce rotture e crolli dei componenti non strutturali ed impiantistici e significativi danni dei componenti strutturali cui si associa una perdita significativa di rigidezza nei confronti delle azioni orizzontali; la costruzione conserva invece una parte della resistenza e rigidezza per azioni verticali e un margine di sicurezza nei confronti del collasso per azioni sismiche orizzontali;
 - o SLC = stato limite di prevenzione del collasso: a seguito del terremoto la costruzione subisce gravi rotture e crolli dei componenti non strutturali ed impiantistici e danni molto gravi dei componenti strutturali; la costruzione conserva ancora un margine di sicurezza per azioni verticali ed un esiguo margine di sicurezza nei confronti del collasso per azioni orizzontali.

COEFFICIENTI SISMICI (Per Stabilità Pendii e Fondazioni)



Progetto di Integrale Ricostruzione di n. 1 impianto eolico composto da 14 aerogeneratori da 6,6 MW per una potenza complessiva di 92,4 MW nei comuni di Faeto e Celle San Vito e relative opere di connessione alla località “Monte S. Vito – Ciuccia - Crepacore” con smantellamento di n. 60 aerogeneratori di potenza in esercizio pari a 33,75 MW”

S.L. Stato limite	amax [m/s ²]	beta [-]	kh [-]	kv [sec]
S.L.O.	0,72	1,0	0,0734	0,0367
S.L.D.	0,885	0,47	0,0424	0,0212
S.L.V.	2,2601	0,38	0,0876	0,0438
S.L.C.	2,8136	1,0	0,2868	0,1435

Dove:

β = coefficiente di riduzione dell’accelerazione massima

attesa al sito = 0,2 amax = accelerazione orizzontale massima attesa al sito

ag = accelerazione orizzontale massima attesa su sito di riferimento rigido (ag/g)g = accelerazione di gravità

Ss = coefficiente di amplificazione stratigrafica = 1,5
(SLO)-1,5 (SLD)-1,48 (SLV)-1,42 (SLC) St = coefficiente di amplificazione topografica = 1,0

Si ottengono i seguenti parametri sismici:



**Progetto di Integrale Ricostruzione di n. 1 impianto eolico composto da
14 aerogeneratori da 6,6 MW per una potenza complessiva di 92,4 MW nei comuni di Faeto e
Celle San Vito e relative opere di connessione alla località “Monte S. Vito – Ciuccia - Crepacore” con smantellamento di n. 60 aerogeneratori di potenza in esercizio pari a 33,75 MW”**

Dati Generali																																	
Località		Dati opera																															
Indirizzo Faeto		Tipo opera: 2 - Opere ordinarie Classe d'uso: Classe II V. Nominale: 50 V. Rif.: 50																															
Lat. Long. 41.323396 15.162688																																	
Parametri sismici su sito di riferimento																																	
<table border="1" style="width: 100%; border-collapse: collapse;"> <thead> <tr> <th>SL</th> <th>TR [Anni]</th> <th>ag [m/s²]</th> <th>F0 [-]</th> <th>TC* [sec.]</th> <th></th> </tr> </thead> <tbody> <tr> <td>SLO</td> <td>30.00</td> <td>0.481</td> <td>2.409</td> <td>0.291</td> <td></td> </tr> <tr> <td>SLD</td> <td>50.00</td> <td>0.598</td> <td>2.483</td> <td>0.331</td> <td></td> </tr> <tr> <td>SLV</td> <td>475.00</td> <td>1.569</td> <td>2.539</td> <td>0.440</td> <td></td> </tr> <tr> <td>SLC</td> <td>975.00</td> <td>2.079</td> <td>2.552</td> <td>0.455</td> <td></td> </tr> </tbody> </table>	SL	TR [Anni]	ag [m/s ²]	F0 [-]	TC* [sec.]		SLO	30.00	0.481	2.409	0.291		SLD	50.00	0.598	2.483	0.331		SLV	475.00	1.569	2.539	0.440		SLC	975.00	2.079	2.552	0.455		Categoria sottosuolo: C Categoria topografica: T2		
SL	TR [Anni]	ag [m/s ²]	F0 [-]	TC* [sec.]																													
SLO	30.00	0.481	2.409	0.291																													
SLD	50.00	0.598	2.483	0.331																													
SLV	475.00	1.569	2.539	0.440																													
SLC	975.00	2.079	2.552	0.455																													
Coefficients sismici orizzontali e verticali																																	
Opera: Muri di sostegno (NTC 2018)		<table border="1" style="width: 100%; border-collapse: collapse;"> <thead> <tr> <th>SL</th> <th>amax [m/s²]</th> <th>Beta</th> <th>khk [-]</th> <th>kvk [-]</th> <th>Khi [-]</th> </tr> </thead> <tbody> <tr> <td>SLO</td> <td>0.8658</td> <td>1.0</td> <td>0.0883</td> <td>0.0441</td> <td>0.0</td> </tr> <tr> <td>SLD</td> <td>1.0764</td> <td>0.47</td> <td>0.0516</td> <td>0.0258</td> <td>0.0</td> </tr> <tr> <td>SLV</td> <td>2.7418</td> <td>0.38</td> <td>0.1063</td> <td>0.0531</td> <td>0.0</td> </tr> <tr> <td>SLC</td> <td>3.4313</td> <td>1.0</td> <td>0.3499</td> <td>0.175</td> <td>0.0</td> </tr> </tbody> </table>	SL	amax [m/s ²]	Beta	khk [-]	kvk [-]	Khi [-]	SLO	0.8658	1.0	0.0883	0.0441	0.0	SLD	1.0764	0.47	0.0516	0.0258	0.0	SLV	2.7418	0.38	0.1063	0.0531	0.0	SLC	3.4313	1.0	0.3499	0.175	0.0	Stato limite di riferimento: SLO
SL	amax [m/s ²]	Beta	khk [-]	kvk [-]	Khi [-]																												
SLO	0.8658	1.0	0.0883	0.0441	0.0																												
SLD	1.0764	0.47	0.0516	0.0258	0.0																												
SLV	2.7418	0.38	0.1063	0.0531	0.0																												
SLC	3.4313	1.0	0.3499	0.175	0.0																												

Dati Generali																																	
Località		Dati opera																															
Indirizzo Celle San Vito		Tipo opera: 2 - Opere ordinarie Classe d'uso: Classe II V. Nominale: 50 V. Rif.: 50																															
Lat. Long. 41.322318 15.180547																																	
Parametri sismici su sito di riferimento																																	
<table border="1" style="width: 100%; border-collapse: collapse;"> <thead> <tr> <th>SL</th> <th>TR [Anni]</th> <th>ag [m/s²]</th> <th>F0 [-]</th> <th>TC* [sec.]</th> <th></th> </tr> </thead> <tbody> <tr> <td>SLO</td> <td>30.00</td> <td>0.481</td> <td>2.408</td> <td>0.291</td> <td></td> </tr> <tr> <td>SLD</td> <td>50.00</td> <td>0.588</td> <td>2.488</td> <td>0.331</td> <td></td> </tr> <tr> <td>SLV</td> <td>475.00</td> <td>1.549</td> <td>2.551</td> <td>0.442</td> <td></td> </tr> <tr> <td>SLC</td> <td>975.00</td> <td>2.040</td> <td>2.567</td> <td>0.459</td> <td></td> </tr> </tbody> </table>	SL	TR [Anni]	ag [m/s ²]	F0 [-]	TC* [sec.]		SLO	30.00	0.481	2.408	0.291		SLD	50.00	0.588	2.488	0.331		SLV	475.00	1.549	2.551	0.442		SLC	975.00	2.040	2.567	0.459		Categoria sottosuolo: C Categoria topografica: T2		
SL	TR [Anni]	ag [m/s ²]	F0 [-]	TC* [sec.]																													
SLO	30.00	0.481	2.408	0.291																													
SLD	50.00	0.588	2.488	0.331																													
SLV	475.00	1.549	2.551	0.442																													
SLC	975.00	2.040	2.567	0.459																													
Coefficients sismici orizzontali e verticali																																	
Opera: Muri di sostegno (NTC 2018)		<table border="1" style="width: 100%; border-collapse: collapse;"> <thead> <tr> <th>SL</th> <th>amax [m/s²]</th> <th>Beta</th> <th>khk [-]</th> <th>kvk [-]</th> <th>Khi [-]</th> </tr> </thead> <tbody> <tr> <td>SLO</td> <td>0.8658</td> <td>1.0</td> <td>0.0883</td> <td>0.0441</td> <td>0.0</td> </tr> <tr> <td>SLD</td> <td>1.0584</td> <td>0.47</td> <td>0.0507</td> <td>0.0254</td> <td>0.0</td> </tr> <tr> <td>SLV</td> <td>2.7105</td> <td>0.38</td> <td>0.105</td> <td>0.0525</td> <td>0.0</td> </tr> <tr> <td>SLC</td> <td>3.3772</td> <td>1.0</td> <td>0.3444</td> <td>0.1722</td> <td>0.0</td> </tr> </tbody> </table>	SL	amax [m/s ²]	Beta	khk [-]	kvk [-]	Khi [-]	SLO	0.8658	1.0	0.0883	0.0441	0.0	SLD	1.0584	0.47	0.0507	0.0254	0.0	SLV	2.7105	0.38	0.105	0.0525	0.0	SLC	3.3772	1.0	0.3444	0.1722	0.0	Stato limite di riferimento: SLO
SL	amax [m/s ²]	Beta	khk [-]	kvk [-]	Khi [-]																												
SLO	0.8658	1.0	0.0883	0.0441	0.0																												
SLD	1.0584	0.47	0.0507	0.0254	0.0																												
SLV	2.7105	0.38	0.105	0.0525	0.0																												
SLC	3.3772	1.0	0.3444	0.1722	0.0																												



Progetto di Integrale Ricostruzione di n. 1 impianto eolico composto da 14 aerogeneratori da 6,6 MW per una potenza complessiva di 92,4 MW nei comuni di Faeto e Celle San Vito e relative opere di connessione alla località “Monte S. Vito – Ciuccia - Crepacore” con smantellamento di n. 60 aerogeneratori di potenza in esercizio pari a 33,75 MW”

8 - CARATTERI FISICO-MECCANICI-GEOTECNICI DEL TERRENO

Sulla base dei report delle indagini sismiche effettuate sul sito interessato dall'impianto, stabilita la litologia delle formazioni geolitologiche presenti nel sottosuolo e considerando che la falda acquifera non è stata intercettata nel corso dell'indagine diretta del terreno, fino ad una profondità di 20,0 m dal p.c. si passa al calcolo della portanza.

Il carico limite verticale, attesa la categoria di suolo di tipo B, verrà calcolata attraverso la formula di **Berezantzev** in funzione della geometria del palo, delle caratteristiche del terreno e dell'interfaccia palo-terreno, applicata agli Stati Limite Ultimi, ai sensi del Nuovo Testo Unico per le Costruzioni (NCT 2018).

In appendice all'allegato 3 si riportano i risultati dei calcoli eseguiti con il programma MP della Geostru, licenziato alla scrivente.



Progetto di Integrale Ricostruzione di n. 1 impianto eolico composto da 14 aerogeneratori da 6,6 MW per una potenza complessiva di 92,4 MW nei comuni di Faeto e Celle San Vito e relative opere di connessione alla località “Monte S. Vito – Ciuccia - Crepacore” con smantellamento di n. 60 aerogeneratori di potenza in esercizio pari a 33,75 MW”

9 - CONCLUSIONI

Lo studio geologico e geotecnico eseguito per il “Progetto di Integrale Ricostruzione di n. 1 impianto eolico composto da 14 aerogeneratori da 6,6 MW per una potenza complessiva di 92,4 MW nei comuni di Faeto e Celle San Vito e relative opere di connessione alla località “Monte S. Vito – Ciuccia - Crepacore” con smantellamento di n. 60 aerogeneratori di potenza in esercizio pari a 33,75 MW” ha permesso la ricostruzione di un modello geotecnico del terreno sulla base del quale sono state realizzate le verifiche della fondazione dell’impianto.

Il risultato di tali verifiche, a cui si rimanda per ogni ulteriore dettaglio, garantisce la fattibilità geotecnico-strutturale dell’impianto con la mancanza di instabilità e cedimenti contenute all’ordine dei mm.

Tanto in adempimento all’incarico conferitomi

Rodi Garganico Dicembre 2023





Progetto di Integrale Ricostruzione di n. 1 impianto eolico composto da 14 aerogeneratori da 6,6 MW per una potenza complessiva di 92,4 MW nei comuni di Faeto e Celle San Vito e relative opere di connessione alla località “Monte S. Vito – Ciuccia - Crepacore” con smantellamento di n. 60 aerogeneratori di potenza in esercizio pari a 33,75 MW”

APPENDICE

APPENDICE 1

RISULTATI VERIFICHE DI STABILITÀ'

Relazione di calcolo

Definizione

Per pendio s'intende una porzione di versante naturale il cui profilo originario è stato modificato da interventi artificiali rilevanti rispetto alla stabilità. Per frana s'intende una situazione di instabilità che interessa versanti naturali e coinvolgono volumi considerevoli di terreno.

Introduzione all'analisi di stabilità

La risoluzione di un problema di stabilità richiede la presa in conto delle equazioni di campo e dei legami costitutivi. Le prime sono di equilibrio, le seconde descrivono il comportamento del terreno. Tali equazioni risultano particolarmente complesse in quanto i terreni sono dei sistemi multifase, che possono essere ricondotti a sistemi monofase solo in condizioni di terreno secco, o di analisi in condizioni drenate.

Nella maggior parte dei casi ci si trova a dover trattare un materiale che se saturo è per lo meno bifase, ciò rende la trattazione delle equazioni di equilibrio notevolmente complicata. Inoltre è praticamente impossibile definire una legge costitutiva di validità generale, in quanto i terreni presentano un comportamento non-lineare già a piccole deformazioni, sono anisotropi ed inoltre il loro comportamento dipende non solo dallo sforzo deviatorico ma anche da quello normale. A causa delle suddette difficoltà vengono introdotte delle ipotesi semplificative:

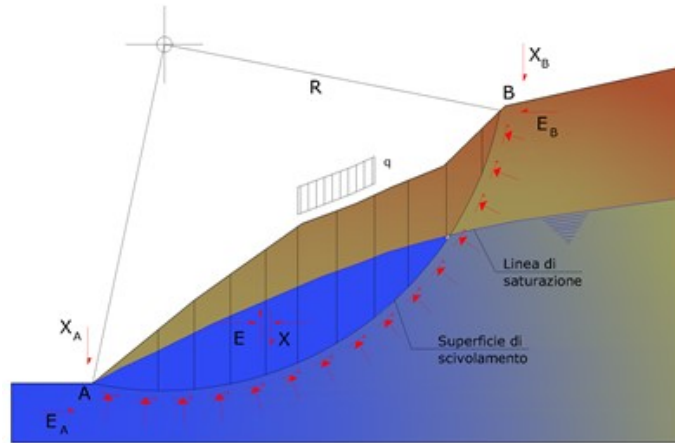
1. Si usano leggi costitutive semplificate: modello rigido perfettamente plastico. Si assume che la resistenza del materiale sia espressa unicamente dai parametri coesione (c) e angolo di resistenza al taglio (ϕ), costanti per il terreno e caratteristici dello stato plastico; quindi si suppone valido il criterio di rottura di Mohr-Coulomb.
2. In alcuni casi vengono soddisfatte solo in parte le equazioni di equilibrio.

Metodo equilibrio limite (LEM)

Il metodo dell'equilibrio limite consiste nello studiare l'equilibrio di un corpo rigido, costituito dal pendio e da una superficie di scorrimento di forma qualsiasi (linea retta, arco di cerchio, spirale logaritmica); da tale equilibrio vengono calcolate le tensioni da taglio (τ) e confrontate con la resistenza disponibile (τ_f), valutata secondo il criterio di rottura di Coulomb, da tale confronto ne scaturisce la prima indicazione sulla stabilità attraverso il coefficiente di sicurezza:

$$F = \tau_f / \tau$$

Tra i metodi dell'equilibrio limite alcuni considerano l'equilibrio globale del corpo rigido (Culman), altri a causa della non omogeneità dividono il corpo in conci considerando l'equilibrio di ciascuno (Fellenius, Bishop, Janbu ecc.). Di seguito vengono discussi i metodi dell'equilibrio limite dei conci.



Metodo dei conci

La massa interessata dallo scivolamento viene suddivisa in un numero conveniente di conci. Se il numero dei conci è pari a n , il problema presenta le seguenti incognite:

- n valori delle forze normali N_i agenti sulla base di ciascun concio;
- n valori delle forze di taglio alla base del concio T_i ;
- $(n-1)$ forze normali E_i agenti sull'interfaccia dei conci;
- $(n-1)$ forze tangenziali X_i agenti sull'interfaccia dei conci;
- n valori della coordinata a_i che individua il punto di applicazione delle E_i ;
- $(n-1)$ valori della coordinata che individua il punto di applicazione delle X_i ;
- una incognita costituita dal fattore di sicurezza F .

Complessivamente le incognite sono $(6n-2)$.

Mentre le equazioni a disposizione sono:

- equazioni di equilibrio dei momenti n ;
- equazioni di equilibrio alla traslazione verticale n ;
- equazioni di equilibrio alla traslazione orizzontale n ;
- equazioni relative al criterio di rottura n .

Totale numero di equazioni $4n$.

Il problema è staticamente indeterminato ed il grado di indeterminazione è pari a :

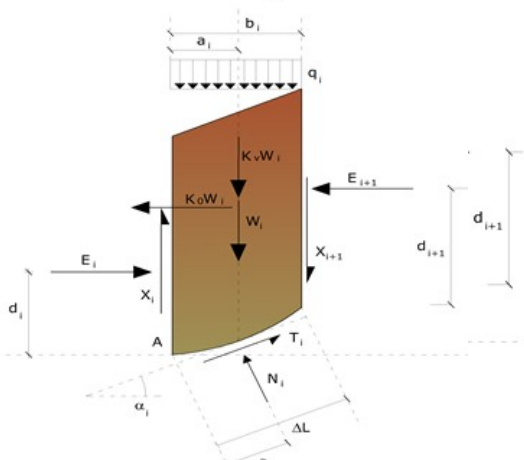
$$i = (6n - 2) - (4n) = 2n - 2$$

Il grado di indeterminazione si riduce ulteriormente a $(n-2)$ in quanto si fa l'assunzione che N_i sia applicato nel punto medio della striscia. Ciò equivale ad ipotizzare che le tensioni normali totali siano uniformemente distribuite.

I diversi metodi che si basano sulla teoria dell'equilibrio limite si differenziano per il modo in cui vengono eliminate le $(n-2)$ indeterminazioni.

Metodo di Fellenius (1927)

Con questo metodo (valido solo per superfici di scorrimento di forma circolare) vengono trascurate le forze di interstriscia pertanto le incognite si riducono a:



- n valori delle forze normali N_i ;
- n valori delle forze da taglio T_i ;
- 1 fattore di sicurezza.

Incognite ($2n+1$).

Le equazioni a disposizione sono:

- n equazioni di equilibrio alla traslazione verticale;
- n equazioni relative al criterio di rottura;
- equazione di equilibrio dei momenti globali.

$$F = \frac{\sum \{ c_i \times l_i + (W_i \times \cos \alpha_i - u_i \times l_i) \times \tan \varphi_i \}}{\Sigma W_i \times \sin \alpha_i}$$

Questa equazione è semplice da risolvere ma si è trovato che fornisce risultati conservativi (fattori di sicurezza bassi) soprattutto per superfici profonde.

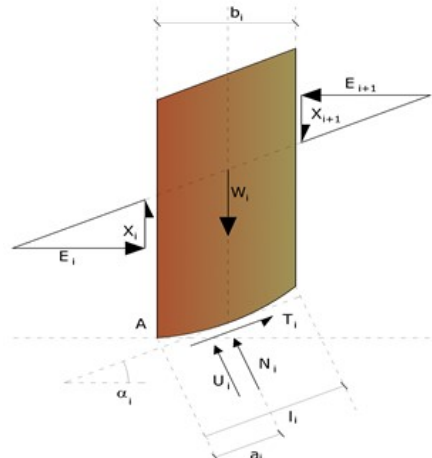
Metodo di Bishop (1955)

Con tale metodo non viene trascurato nessun contributo di forze agenti sui blocchi e fu il primo a descrivere i problemi legati ai metodi convenzionali. Le equazioni usate per risolvere il problema sono:

$$\sum F_y = 0, \quad \sum M_0 = 0 \quad \text{Criterio di rottura}$$

$$F = \frac{\sum \{ c_i \times b_i + (W_i - u_i \times b_i + \Delta X_i) \times \tan \varphi_i \} \times \frac{\sec \alpha_i}{1 + \tan \alpha_i \times \tan \varphi_i / F}}{\Sigma W_i \times \sin \alpha_i}$$

I valori di F e di ΔX per ogni elemento che soddisfano questa equazione danno una soluzione rigorosa al problema. Come prima approssimazione conviene porre $\Delta X = 0$ ed iterare per il calcolo del fattore di sicurezza, tale procedimento è noto come metodo di **Bishop ordinario**, gli errori commessi rispetto al metodo completo sono di circa 1 %.

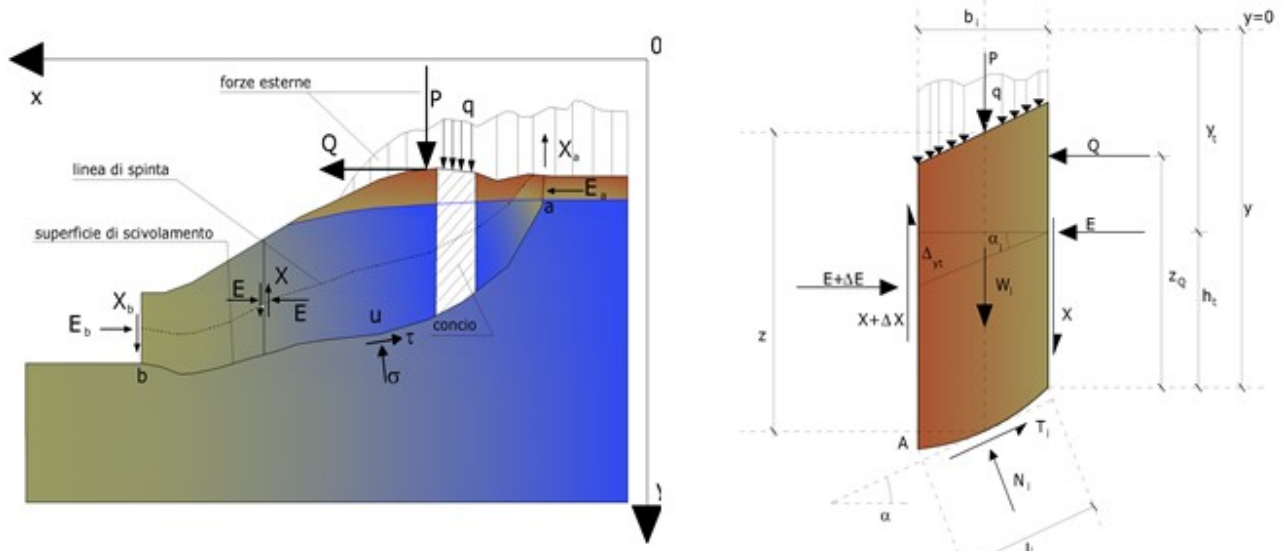


Metodo di Janbu (1967)

Janbu estese il metodo di Bishop a superfici di scorrimento di forma qualsiasi.

Quando vengono trattate superfici di scorrimento di forma qualsiasi il braccio delle forze cambia (nel caso delle superfici circolari resta costante e pari al raggio). A tal motivo risulta più conveniente valutare l'equazione del momento rispetto allo spigolo di ogni blocco.

$$F = \frac{\sum \{ c_i \times b + (W_i - u_i \times b_i + \Delta X_i) \times \tan \varphi_i \} \times \frac{\sec^2 \alpha_i}{1 + \tan \alpha_i \times \tan \varphi_i / F}}{\Sigma W_i \times \tan \alpha_i}$$

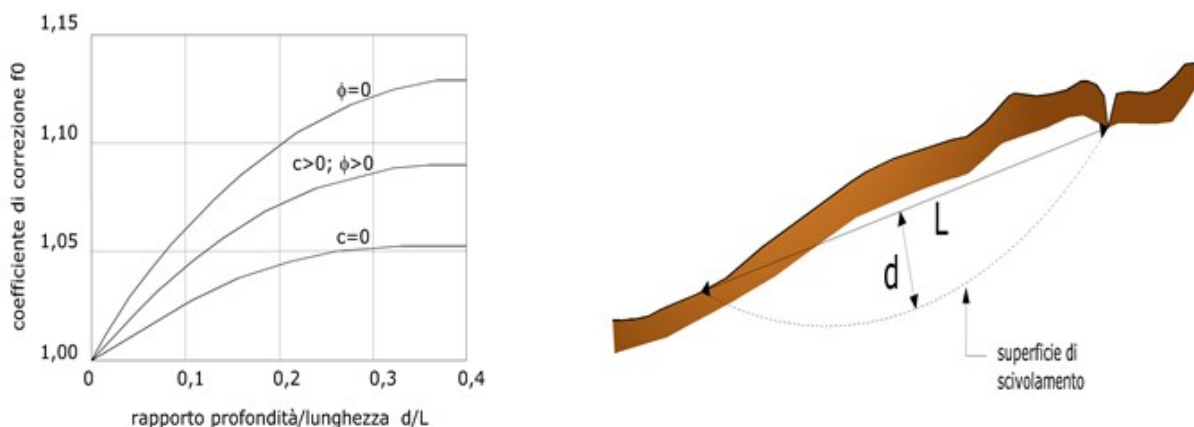


Azioni sul concio i -esimo secondo le ipotesi di Janbu e rappresentazione d'insieme dell'ammasso

Assumendo $\Delta X_i = 0$ si ottiene il metodo ordinario. Janbu propose inoltre un metodo per la correzione del fattore di sicurezza ottenuto con il metodo ordinario secondo la seguente:

$$F_{\text{corretto}} = f_0 \cdot F$$

dove f_0 è riportato in grafici funzione di geometria e parametri geotecnici. Tale correzione è molto attendibile per pendii poco inclinati.



Metodo di Bell (1968)

Le forze agenti sul corpo che scivola includono il peso effettivo del terreno, W , le forze sismiche pseudostatiche orizzontali e verticali $K_x W$ e $K_z W$, le forze orizzontali e verticali X e Z applicate esternamente al profilo del pendio, infine, la risultante degli sforzi totali normali e di taglio σ e τ agenti sulla superficie potenziale di scivolamento.

Lo sforzo totale normale può includere un eccesso di pressione dei pori u che deve essere specificata con l'introduzione dei parametri di forza efficace.

In pratica questo metodo può essere considerato come un'estensione del metodo del cerchio di attrito per sezioni omogenee precedentemente descritto da Taylor.

In accordo con la legge della resistenza di Mohr-Coulomb in termini di tensione efficace, la forza di taglio agente sulla base dell' i -esimo concio è data da:

$$T_i = \frac{c_i L_i + (N_i - u_{ci} L_i) \tan \Phi_i}{F}$$

in cui:

F = il fattore di sicurezza;

c_i = la coesione efficace (o totale) alla base dell'i-esimo concio;

ϕ_i = l'angolo di attrito efficace (= 0 con la coesione totale) alla base dell'i-esimo concio;

L_i = la lunghezza della base dell'i-esimo concio;

u_{ci} = la pressione dei pori al centro della base dell'i-esimo concio.

L'equilibrio risulta uguagliando a zero la somma delle forze orizzontali, la somma delle forze verticali e la somma dei momenti rispetto all'origine.

Viene adottata la seguente assunzione sulla variazione della tensione normale agente sulla potenziale superficie di scorrimento:

$$\sigma_{ci} = \left[C_1 (1 - K_z) \frac{W_i \cos \alpha_i}{L_i} \right] + C_2 f(x_{ci}, y_{ci}, z_{ci})$$

in cui il primo termine dell'equazione include l'espressione:

$W_i \cos \alpha_i / L_i$ = valore dello sforzo normale totale associato con il metodo ordinario dei conci

Il secondo termine dell'equazione include la funzione:

$$f = \sin 2\pi \left(\frac{x_n - x_{ci}}{x_n - x_0} \right)$$

dove x_0 ed x_n sono rispettivamente le ascisse del primo e dell'ultimo punto della superficie di scorrimento, mentre x_{ci} rappresenta l'ascissa del punto medio della base del concio i-esimo.

Una parte sensibile di riduzione del peso associata con una accelerazione verticale del terreno $K_z g$ può essere trasmessa direttamente alla base e ciò è incluso nel fattore $(1 - K_z)$.

Lo sforzo normale totale alla base di un concio è dato da:

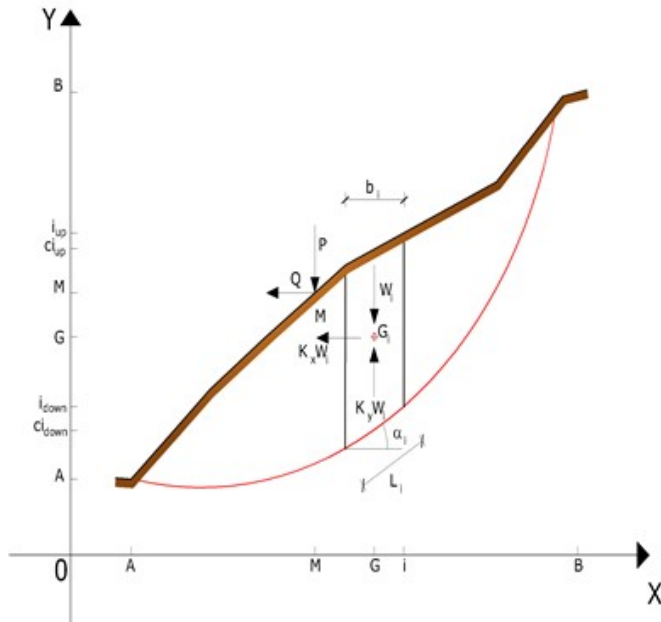
$$N_i = \sigma_{ci} L_i$$

La soluzione delle equazioni di equilibrio si ricava risolvendo un sistema lineare di tre equazioni ottenute moltiplicando le equazioni di equilibrio per il fattore di sicurezza F , sostituendo l'espressione di N_i e moltiplicando ciascun termine della coesione per un coefficiente arbitrario C_3 . Qualsiasi coppia di valori del fattore di sicurezza nell'intorno di una stima fisicamente ragionevole può essere usata per iniziare una soluzione iterativa.

Il numero necessario di iterazioni dipende sia dalla stima iniziale sia dalla desiderata precisione della soluzione; normalmente, il processo converge rapidamente.

Metodo di Sarma (1973)

Il metodo di Sarma è un semplice, ma accurato metodo per l'analisi di stabilità dei pendii, che permette di determinare l'accelerazione sismica orizzontale richiesta affinché l'ammasso di terreno, delimitato dalla superficie di scivolamento e dal



profilo topografico, raggiunga lo stato di equilibrio limite (accelerazione critica K_C) e, nello stesso tempo, consente di ricavare l'usuale fattore di sicurezza ottenuto come per gli altri metodi più comuni della geotecnica.

Si tratta di un metodo basato sul principio dell'equilibrio limite e delle strisce, pertanto viene considerato l'equilibrio di una potenziale massa di terreno in scivolamento suddivisa in n strisce verticali di spessore sufficientemente piccolo da ritenere ammissibile l'assunzione che lo sforzo normale N_i agisce nel punto medio della base della striscia.

Le equazioni da prendere in considerazione sono:

- L'equazione di equilibrio alla traslazione orizzontale del singolo concio;
- L'equazione di equilibrio alla traslazione verticale del singolo concio;
- L'equazione di equilibrio dei momenti.

Condizioni di equilibrio alla traslazione orizzontale e verticale:

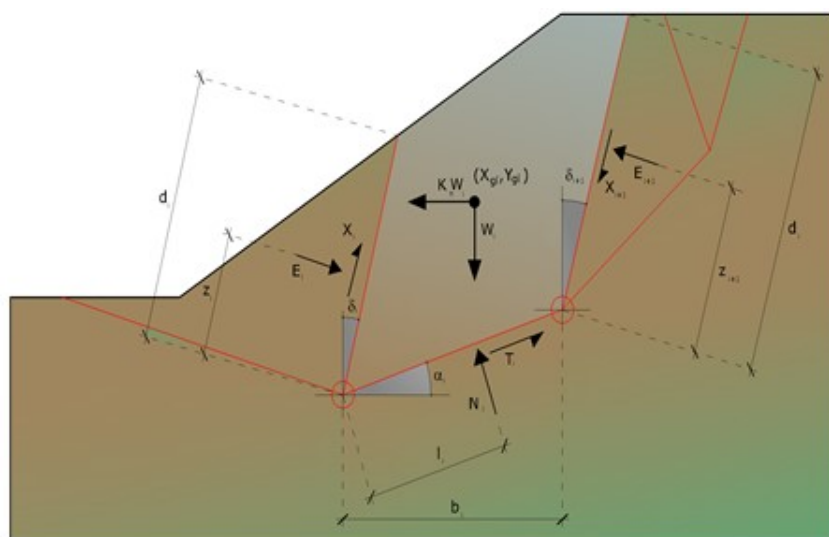
$$\begin{aligned} N_i \cos \alpha_i + T_i \sin \alpha_i &= W_i - \Delta X_i \\ T_i \cos \alpha_i - N_i \sin \alpha_i &= K W_i + \Delta E_i \end{aligned}$$

Viene, inoltre, assunto che in assenza di forze esterne sulla superficie libera dell'ammasso si ha:

$$\begin{aligned} \sum \Delta E_i &= 0 \\ \sum \Delta X_i &= 0 \end{aligned}$$

dove E_i e X_i rappresentano, rispettivamente, le forze orizzontale e verticale sulla faccia i -esima del concio generico i .

L'equazione di equilibrio dei momenti viene scritta scegliendo come punto di riferimento il baricentro dell'intero ammasso; sicché, dopo aver eseguito una serie di posizioni e trasformazioni trigonometriche ed algebriche, nel **metodo di Sarma** la soluzione del problema passa attraverso la risoluzione di due equazioni:



Azioni sull'iesimo concio, metodo di Sarma

$$\sum \Delta X_i \cdot \tan(\psi_i - \alpha_i) + \sum \Delta E_i = \sum \Delta_i - K \cdot \sum W_i$$

$$\sum \Delta X_i \cdot [(y_{mi} - y_G) \cdot \tan(\psi_i - \alpha') + (x_i' - x_G)] = \sum W_i \cdot (x_{mi} - x_G) + \sum \Delta_i \cdot (y_{mi} - y_G)$$

Ma l'approccio risolutivo, in questo caso, è completamente capovolto: il problema infatti impone di trovare un valore di **K** (accelerazione sismica) corrispondente ad un determinato fattore di sicurezza; ed in particolare, trovare il valore dell'accelerazione **K** corrispondente al fattore di sicurezza **F = 1**, ossia l'accelerazione critica.

Si ha pertanto:

$$\begin{aligned} K = K_c & \quad \text{Accelerazione critica se } F=1 \\ F = F_s & \quad \text{Fattore di sicurezza in condizioni statiche se } K=0 \end{aligned}$$

La seconda parte del problema del Metodo di Sarma è quella di trovare una distribuzione di forze interne X_i ed E_i tale da verificare l'equilibrio del concio e quello globale dell'intero ammasso, senza violazione del criterio di rottura.

E' stato trovato che una soluzione accettabile del problema si può ottenere assumendo la seguente distribuzione per le forze X_i :

$$\Delta X_i = \lambda \cdot \Delta Q_i = \lambda \cdot (Q_{i+1} - Q_i)$$

dove Q_i è una funzione nota, in cui vengono presi in considerazione i parametri geotecnici medi sulla i -esima faccia del concio i , e λ rappresenta un'incognita.

La soluzione completa del problema si ottiene pertanto, dopo alcune iterazioni, con i valori di K_c , λ e F , che permettono di ottenere anche la distribuzione delle forze di interstriscia.

Metodo di Spencer (1967)

Il metodo è basato sull'assunzione:

1. le forze d'interfaccia lungo le superfici di divisione dei singoli conci sono orientate parallelamente fra loro ed inclinate rispetto all'orizzontale di un angolo θ ;
2. tutti i momenti sono nulli $M_i = 0$ con $i=1.....n$.

Sostanzialmente il metodo soddisfa tutte le equazioni della statica ed equivale al metodo di Morgenstern e Price quando la funzione $f(x) = 1$. Imponendo l'equilibrio dei momenti rispetto al centro dell'arco descritto dalla superficie di scivolamento si ha:

$$1) \quad \sum Q_i R \cos(\alpha - \theta) = 0$$

dove:

$$Q_i = \frac{\frac{c}{F_s} (W \cos \alpha - \gamma_w h l \sec \alpha) \frac{\tan \alpha}{F_s} - W \sin \alpha}{\cos(\alpha - \theta) \left[\frac{F_s + \tan \alpha \tan(\alpha - \theta)}{F_s} \right]}$$

forza d'interazione fra i conci;

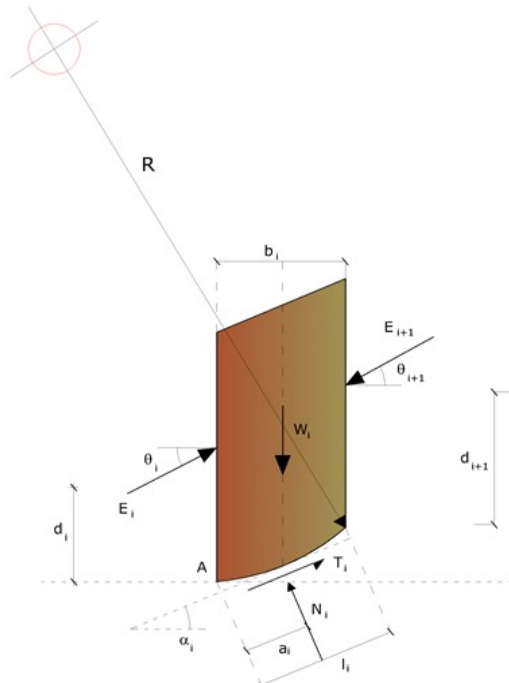
R = raggio dell'arco di cerchio;

θ = angolo d'inclinazione della forza Q_i rispetto all'orizzontale.

Imponendo l'equilibrio delle forze orizzontali e verticali si ha rispettivamente:

$$\begin{aligned} \sum (Q_i \cos \theta) &= 0 \\ \sum (Q_i \sin \theta) &= 0 \end{aligned}$$

Con l'assunzione delle forze Q_i parallele fra loro, si può anche scrivere:



$$2) \quad \sum Q_i = 0$$

Il metodo propone di calcolare due coefficienti di sicurezza: il primo (F_{sm}) ottenibile dalla 1), legato all'equilibrio dei momenti; il secondo (F_{sf}) dalla 2) legato all'equilibrio delle forze. In pratica si procede risolvendo la 1) e la 2) per un dato intervallo di valori dell'angolo θ , considerando come valore unico del coefficiente di sicurezza quello per cui si abbia:

$$F_{sm} = F_{sf}$$

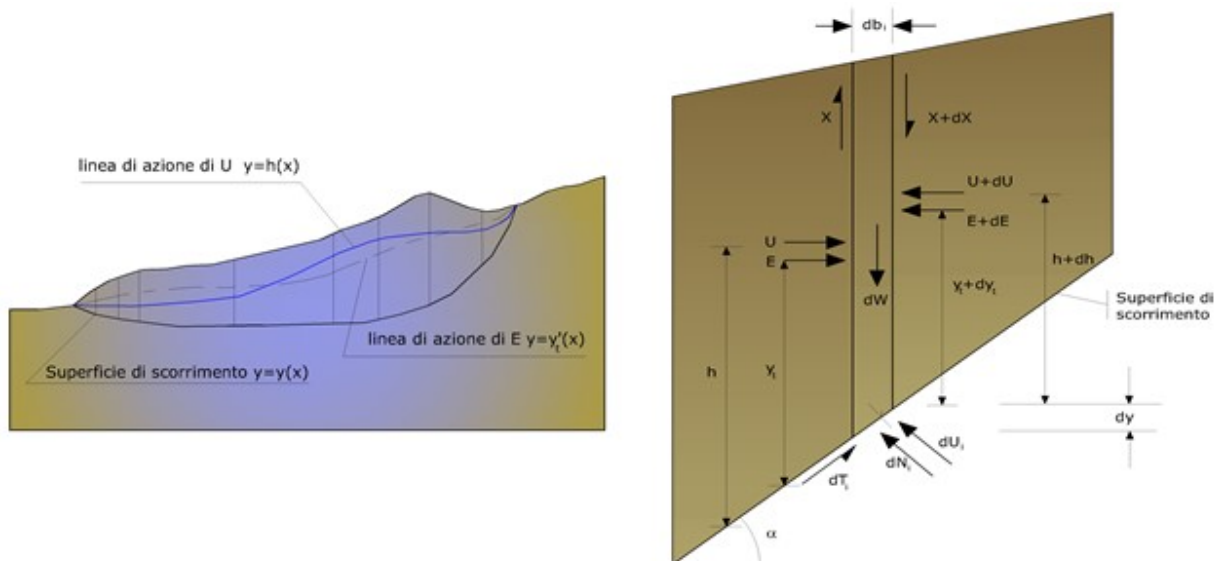
Metodo di Morgenstern e Price (1965)

Si stabilisce una relazione tra le componenti delle forze di interfaccia del tipo $X = \lambda f(x)E$, dove λ è un fattore di scala e $f(x)$, funzione della posizione di E e di X , definisce una relazione tra la variazione della forza X e della forza E all'interno della massa scivolante. La funzione $f(x)$ è scelta arbitrariamente (costante, sinusoidale, semisinusoide, trapezia, spezzata...) e influenza poco il risultato, ma va verificato che i valori ricavati per le incognite siano fisicamente accettabili.

La particolarità del metodo è che la massa viene suddivisa in strisce infinitesime alle quali vengono imposte le equazioni di equilibrio alla traslazione orizzontale e verticale e di rottura sulla base delle strisce stesse. Si perviene ad una prima equazione differenziale che lega le forze d'interfaccia incognite E , X , il coefficiente di sicurezza F_s , il peso della striscia infinitesima dW e la risultante delle pressioni neutre alla base dU .

Si ottiene la cosiddetta “**equazione delle forze**”:

$$\begin{aligned} c' \sec^2 \frac{\alpha}{F_s} + \operatorname{tg} \varphi' \left(\frac{dW}{dx} - \frac{dX}{dx} - \operatorname{tg} \alpha \frac{dE}{dx} - \sec \alpha \frac{dU}{dx} \right) &= \\ &= \frac{dE}{dx} - \operatorname{tg} \alpha \left(\frac{dX}{dx} - \frac{dW}{dx} \right) \end{aligned}$$



Azioni sul concio i -esimo secondo le ipotesi di Morgenster e Price e rappresentazione d'insieme dell'ammasso

Una seconda equazione, detta “**equazione dei momenti**”, viene scritta imponendo la condizione di equilibrio alla rotazione rispetto alla mezzeria della base:

$$X = \frac{d(E_\gamma)}{dx} - \gamma \frac{dE}{dx}$$

queste due equazioni vengono estese per integrazione a tutta la massa interessata dallo scivolamento.

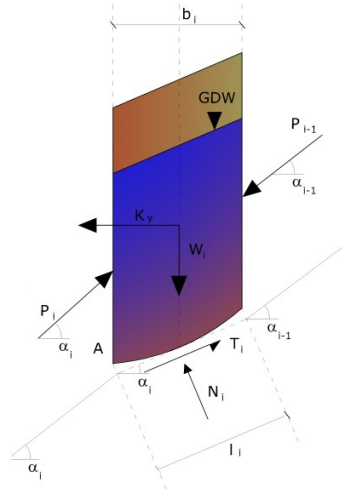
Il metodo di calcolo soddisfa tutte le equazioni di equilibrio ed è applicabile a superfici di qualsiasi forma, ma implica necessariamente l'uso di un calcolatore.

Metodo di Zeng e Liang (2002)

Zeng e Liang hanno effettuato una serie di analisi parametriche su un modello bidimensionale sviluppato con codice agli elementi finiti, che riproduce il caso di pali immersi in un terreno in movimento (drilled shafts). Il modello bidimensionale riproduce un striscia di terreno di spessore unitario e ipotizza che il fenomeno avvenga in condizioni di deformazione piana nella direzione parallela all'asse dei pali. Il modello è stato utilizzato per indagare l'influenza sulla formazione dell'effetto arco di alcuni parametri come l'interasse fra i pali, il diametro e la forma dei pali, e le proprietà meccaniche del terreno. Gli autori individuano nel rapporto tra l'interasse e il diametro dei i pali (s/d) il parametro adimensionale determinante per la formazione dell'effetto arco. Il problema risulta essere staticamente indeterminato, con grado di indeterminatezza pari a $(8n-4)$, ma nonostante ciò è possibile ottenere una soluzione riducendo il numero delle incognite e assumendo quindi delle ipotesi semplificative, in modo da rendere determinato il problema.

Le assunzioni che rendono il problema determinato sono:

- K_y sono assunte orizzontali per ridurre il numero totale delle incognite da $(n-1)$ a $(7n-3)$;
- Le forze normali alla base della striscia agiscono nel punto medio, riducendo le incognite da n a $(6n-3)$;
- La posizione delle spinte laterali è ad un terzo dell'altezza media dell'inter-striscia e riduce le incognite da $(n-1)$ a $(5n-2)$;
- Le forze (P_{i-1}) e P_i si assumono parallele all'inclinazione della base della striscia (α_i), riducendo il numero di incognite da $(n-1)$ a $(4n-1)$;
- Si assume un'unica costante di snervamento per tutte le strisce, riducendo le incognite da (n) a $(3n-1)$;



Il numero totale di incognite quindi è ridotto a $(3n)$, da calcolare utilizzando il fattore di trasferimento di carico. Inoltre si deve tener presente che la forza di stabilizzazione trasmessa sul terreno a valle dei pali risulta ridotta di una quantità R , chiamato fattore di riduzione, calcolabile come:

$$R = \frac{1}{s/d} + \left(1 - \frac{1}{s/d}\right) \cdot R_p$$

Il fattore R dipende quindi dal rapporto fra l'interasse presente fra i pali e il diametro dei pali stessi e dal fattore R_p che tiene conto dell'effetto arco.

Valutazione dell'azione sismica

La stabilità dei pendii nei confronti dell'azione sismica viene verificata con il metodo pseudo-statico. Per i terreni che sotto l'azione di un carico ciclico possono sviluppare pressioni interstiziali elevate viene considerato un aumento in percento delle pressioni neutre che tiene conto di questo fattore di perdita di resistenza.

Ai fini della valutazione dell'azione sismica vengono considerate le seguenti forze:

$$\begin{aligned} F_H &= K_x W \\ F_V &= K_y W \end{aligned}$$

Essendo:

- F_H e F_V rispettivamente la componente orizzontale e verticale della forza d'inerzia applicata al baricentro del concio;
- W peso concio;
- K_x coefficiente sismico orizzontale;
- K_y coefficiente sismico verticale.

Ricerca della superficie di scorrimento critica

In presenza di mezzi omogenei non si hanno a disposizione metodi per individuare la superficie di scorrimento critica ed occorre esaminarne un numero elevato di potenziali superfici.

Nel caso vengano ipotizzate superfici di forma circolare, la ricerca diventa più semplice, in quanto dopo aver posizionato una maglia dei centri costituita da m righe e n colonne saranno esaminate tutte le superfici aventi per centro il generico nodo della maglia $m \times n$ e raggio variabile in un determinato range di valori tale da esaminare superfici cinematicamente ammissibili.

Stabilizzazione di pendii con l'utilizzo di pali

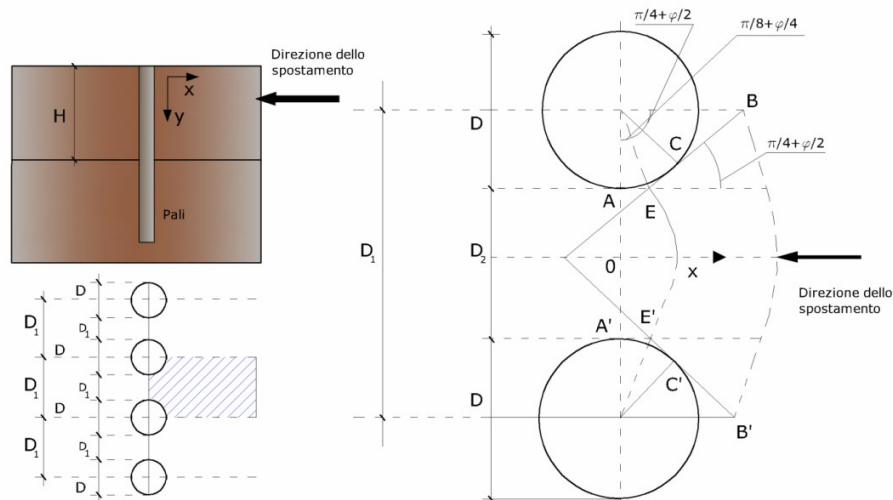
La realizzazione di una cortina di pali, su pendio, serve a fare aumentare la resistenza al taglio su determinate superfici di scorrimento. L'intervento può essere conseguente ad una stabilità già accertata, per la quale si conosce la superficie di scorrimento oppure, agendo preventivamente, viene progettato in relazione alle ipotetiche superfici di rottura che responsabilmente possono essere assunte come quelle più probabili. In ogni caso si opera considerando una massa di terreno in movimento su un ammasso stabile sul quale attestare, per una certa lunghezza, l'allineamento di pali.

Il terreno, nelle due zone, ha una influenza diversa sull'elemento monoassiale (palo): di tipo sollecitativi nella parte superiore (palo passivo – terreno attivo) e di tipo resistivo nella zona sottostante (palo attivo – terreno passivo). Da questa interferenza, fra "sbarramento" e massa in movimento, scaturiscono le azioni stabilizzanti che devono perseguire le seguenti finalità:

1. conferire al pendio un coefficiente di sicurezza maggiore di quello posseduto;
2. essere assorbite dal manufatto garantendone l'integrità (le tensioni interne, derivanti dalle sollecitazioni massime trasmesse sulle varie sezioni del singolo palo, devono risultare inferiori a quelle ammissibili del materiale) e risultare inferiori al carico limite sopportabile dal terreno, calcolato, lateralmente considerando l'interazione (palo–terreno).

Carico limite relativo all'interazione fra i pali ed il terreno laterale

Nei vari tipi di terreno che non hanno un comportamento omogeneo, le deformazioni in corrispondenza della zona di contatto non sono legate fra di loro. Quindi, non potendo associare al materiale un modello di comportamento perfettamente elastico (ipotesi che potrebbe essere assunta per i materiali lapidei poco fratturati), generalmente si procede imponendo che il movimento di massa sia nello stato iniziale e che il terreno in adiacenza ai pali sia nella fase massima consentita di plasticizzazione, oltre la quale si potrebbe verificare l'effetto indesiderato che il materiale possa defluire, attraverso la cortina di pali, nello spazio intercorrente fra un elemento e l'altro.



Imponendo inoltre che il carico assorbito dal terreno sia uguale a quello associato alla condizione limite ipotizzata e che fra due pali consecutivi, a seguito della spinta attiva, si instauri una sorta di effetto arco, gli autori T. Ito e T. Matsui (1975) hanno ricavato la relazione che permette di determinare il carico limite. A questa si è pervenuto facendo riferimento allo schema statico, disegnato nella figura precedente e alle ipotesi anzidette, che schematicamente si ribadiscono.

- Sotto l'azione della spinta attiva del terreno si formano due superfici di scorrimento localizzate in corrispondenza delle linee AEB ed A'E'B;
- Le direzioni EB ed E'B' formano con l'asse x rispettivamente angoli +(45 + φ/2) e -(45 + φ/2);

- Il volume di terreno, compreso nella zona delimitata dai vertici AEBB'E'A' ha un comportamento plasticò, e quindi è consentita l'applicazione del criterio di rottura di Mohr-coulomb;
- La pressione attiva del terreno agisce sul piano A-A';
- I pali sono dotati di elevata rigidezza a flessione e taglio.

Detta espressione, riferita alla generica profondità Z, relativamente ad un spessore di terreno unitario, è la seguente:

$$P(Z) = C \cdot D_1 (D_1/D_2)^{k1} \left[1/\left(N_\phi \tan\varphi\right) \left(e^{k2} - 2(N_\phi)^{1/2} \tan\varphi - 1 \right) + K_3 \right] - C \left[D_1 \cdot K_3 - D_2 / \left(N_\phi \right)^{1/2} \right] + \gamma Z / N_\phi \left[D_1 (D_1/D_2)^{k1} \cdot e^{k2} - D_2 \right]$$

dove i simboli utilizzati assumono il significato che segue:

C = coesione terreno;

φ = angolo di attrito terreno;

γ = peso specifico terreno;

D₁ = interasse tra i pali;

D₂ = spazio libero fra due pali consecutivi;

N_φ = $\tan^2(\pi/4 + \varphi/2)$

$$\begin{aligned} K_1 &= \left(N_\phi \right)^{1/2} \tan\varphi + N_\phi - 1 \\ K_2 &= (D_1 - D_2) / D_2 \cdot N_\phi \tan(\pi/8 + \varphi/4) \\ K_3 &= \left[2 \tan\varphi + 2 \left(N_\phi \right)^{1/2} + 1 / \left(N_\phi \right)^{1/2} \right] / \left[\left(N_\phi \right)^{1/2} \tan\varphi + N_\phi - 1 \right] \end{aligned}$$

La forza totale, relativamente ad uno strato di terreno in movimento di spessore H, è stata ottenuta integrando l'espressione precedente.

In presenza di terreni granulari (condizione drenata), nei quali si può assumere c = 0, l'espressione diventa:

$$P = 1/2 \gamma \cdot H^2 / N_\phi \left[D_1 (D_1/D_2)^{k1} \cdot e^{k2} - D_2 \right]$$

Per terreni coesivi (condizioni non drenate), con φ = 0 e C ≠ 0, si ha:

$$\begin{aligned} P(z) &= C \left[D_1 \left(3 \ln(D_1/D_2) + (D_1 - D_2) / D_2 \tan\pi/8 \right) - 2(D_1 - D_2) \right] + \gamma \cdot Z(D_1 - D_2) \\ P &= \int_0^H P(Z) dZ \\ P &= C \cdot H \left[D_1 \left(3 \ln(D_1/D_2) + (D_1 - D_2) / D_2 \tan\pi/8 \right) - 2(D_1 - D_2) \right] + 1/2 \gamma H^2 (D_1 - D_2) \end{aligned}$$

Il dimensionamento della cortina di pali, che come già detto deve conferire al pendio un incremento del coefficiente di sicurezza e garantire l'integrità del meccanismo palo-terreno, è abbastanza problematica. Infatti tenuto conto della complessità dell'espressione del carico P, influenzata da diversi fattori legati sia alle caratteristiche meccaniche del terreno sia alla geometria del manufatto, non è facile con una sola elaborazione pervenire alla soluzione ottimale. Per raggiungere lo scopo è necessario pertanto eseguire diversi tentativi finalizzati:

- A trovare, sul profilo topografico del pendio, la posizione che garantisca, a parità di altre condizioni, una distribuzione dei coefficienti di sicurezza più confortante;
- A determinare la disposizione planimetrica dei pali, caratterizzata dal rapporto fra interasse e distanza fra i pali (D₂/D₁), che consenta di sfruttare al meglio la resistenza del complesso palo-terreno; sperimentalmente è stato riscontrato che, escludendo i casi limiti (D₂ = 0 P → ∞ e D₂ = D₁ P → valore minimo), i valori più idonei allo scopo sono quelli per i quali tale rapporto risulta compreso fra 0,60 e 0,80;

- A valutare la possibilità di inserire più file di pali ed eventualmente, in caso affermativo, valutare, per le file successive, la posizione che dia più garanzie in termini di sicurezza e di spreco di materiali;
- Ad adottare il tipo di vincolo più idoneo che consente di ottenere una distribuzione più regolare delle sollecitazioni; sperimentalmente è stato constatato che quello che assolve, in maniera più soddisfacente, allo scopo è il vincolo che impedisce le rotazioni alla testa del palo.

Metodo del carico limite di Broms

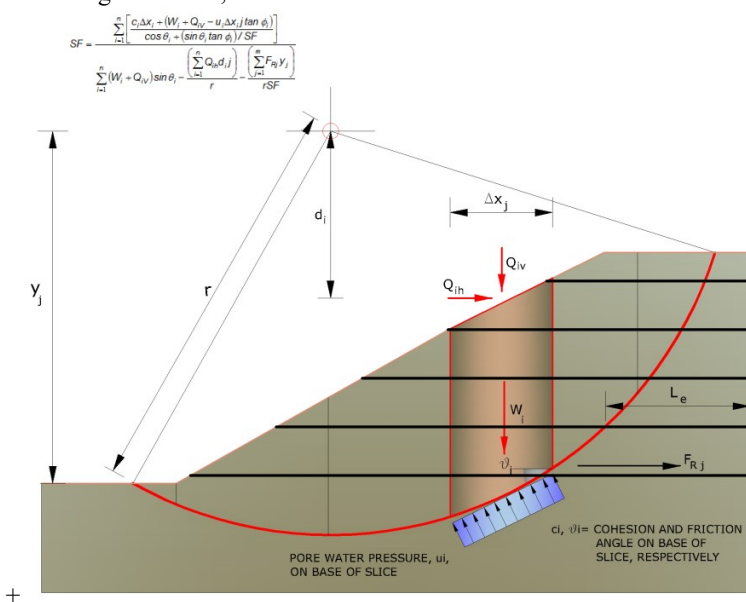
Nel caso in cui il palo sia caricato ortogonalmente all'asse, configurazione di carico presente se un palo inibisce il movimento di una massa in frana, la resistenza può essere affidata al suo carico limite orizzontale.

Il problema di calcolo del carico limite orizzontale è stato affrontato da Broms sia per il mezzo puramente coesivo che per il mezzo incoerente, il metodo di calcolo seguito è basato su alcune ipotesi semplificative per quanto attiene alla reazione esercitata dal terreno per unità di lunghezza di palo in condizioni limite e porta in conto anche la resistenza a rottura del palo (*Momento di plasticizzazione*).

Elemento Rinforzo

I Rinforzi sono degli elementi orizzontali, la loro messa in opera conferisce al terreno un incremento della resistenza allo scorrimento .

Se l'elemento di rinforzo interseca la superficie di scorrimento, la forza resistente sviluppata dall'elemento entra nell'equazione di equilibrio del singolo concio, in caso contrario l'elemento di rinforzo non ne influenza la stabilità.



Le verifiche di natura interna hanno lo scopo di valutare il livello di stabilità dell'ammasso rinforzato, quelle calcolate sono la verifica a rottura dell'elemento di rinforzo per trazione e la verifica a sfilamento (*Pullout*). Il parametro che fornisce la resistenza a trazione del rinforzo, T_{Allow} , si calcola dalla resistenza nominale del materiale con cui è realizzato il rinforzo ridotto da opportuni coefficienti che tengono conto dell'aggressività del terreno, danneggiamento per effetto creep e danneggiamento per installazione.

L'altro parametro è la resistenza a sfilamento (*Pullout*) che viene calcolata attraverso la seguente relazione:

$$T_{Pullout} = 2 \cdot L_e \cdot \sigma_v \cdot f_b \cdot \tan(\delta)$$

Per geosintetico a maglie chiuse:

$$f_b = \frac{\tan(\delta)}{\tan(\phi)}$$

dove:

δ Rappresenta l'angolo di attrito tra terreno e rinforzo;

$T_{Pullout}$ Resistenza mobilitata da un rinforzo ancorato per una lunghezza L_e all'interno della parte stabile del terreno;

- L_e Lunghezza di ancoraggio del rinforzo all'interno della parte stabile;
 f_b Coefficiente di *Pullout*;
 σ_v Tensione verticale, calcolata alla profondità media del tratto di rinforzo ancorato al terreno.

Ai fini della verifica si sceglie il valore minimo tra T_{Allow} e $T_{Pullout}$, la verifica interna verrà soddisfatta se la forza trasmessa dal rinforzo generata a tergo del tratto rinforzato non supera il valore della T' .

Ancoraggi

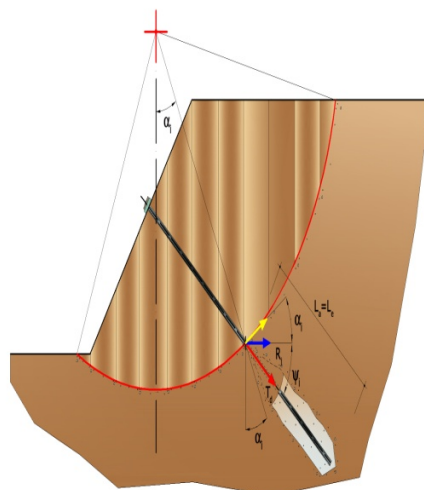
Gli ancoraggi, tiranti o chiodi, sono degli elementi strutturali in grado di sostenere forze di trazione in virtù di un'adeguata connessione al terreno.

Gli elementi caratterizzanti un tirante sono:

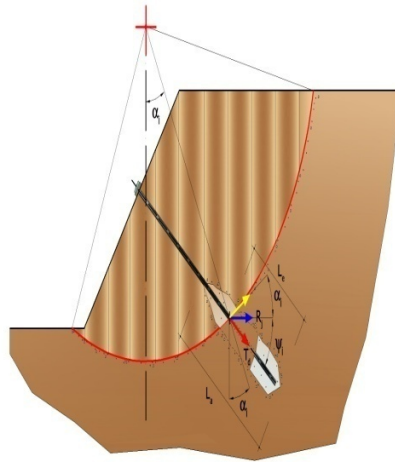
- **testata:** indica l'insieme degli elementi che hanno la funzione di trasmettere alla struttura ancorata la forza di trazione del tirante;
- **fondazione:** indica la parte del tirante che realizza la connessione con il terreno, trasmettendo al terreno stesso la forza di trazione del tirante.

Il tratto compreso tra la testata e la fondazione prende il nome di parte libera, mentre la fondazione (o bulbo) viene realizzata iniettando nel terreno, per un tratto terminale, tramite valvole a perdere, la malta, in genere cementizia. L'anima dell'ancoraggio è costituita da un'armatura, realizzata con barre, fili o trefoli.

Il tirante interviene nella stabilità in misura maggiore o minore efficacia a seconda se sarà totalmente o parzialmente (caso in cui è intercettato dalla superficie di scorrimento) ancorato alla parte stabile del terreno.



Bulbo completamente ancorato



Bulbo parzialmente ancorato

Le relazioni che esprimono la misura di sicurezza lungo una ipotetica superficie di scorrimento si modificheranno in presenza di ancoraggi (tirante attivo, passivo e chiodi) nel modo seguente:

- per i tiranti di *tipo attivo*, la loro resistenza si detrae dalle azioni (denominatore);

$$F_s = \frac{R_d}{E_d - \sum_{i,j} R_{i,j} \cdot \frac{1}{\cos \alpha_i}}$$

- per tiranti di *tipo passivo e per i chiodi*, il loro contributo si somma alle resistenze (numeratore)

$$F_s = \frac{R_d + \sum_{i,j} R_{i,j} \cdot \frac{1}{\cos \alpha_i}}{E_d}$$

Con R_j si indica la resistenza dell'ancoraggio e viene calcolata dalla seguente espressione:

$$R_j = T_d \cdot \cos \Psi_i \cdot \left(\frac{1}{i} \right) \cdot \left(\frac{L_e}{L_a} \right)$$

dove:

T_d tiro esercizio;

Ψ_i inclinazione del tirante rispetto all'orizzontale;

i interasse;

L_e lunghezza efficace;

L_a lunghezza d'ancoraggio.

I due indici (i, j) riportati in sommatoria rappresentano rispettivamente l' i -esimo concio e il j -esimo ancoraggio intercettato dalla superficie di scorrimento dell' i -esimo concio.

VERIFICA DI STABILITA' PRE OPERAM – AEROGENERATORE WTG1

Analisi di stabilità dei pendii con: FELLENIUS (1936)

Lat./Long.	41,322318/15,180547
Calcolo eseguito secondo	NTC 2018
Numero di strati	3,0
Numero dei conci	10,0
Grado di sicurezza ritenuto accettabile	1,3
Coefficiente parziale resistenza	1,0
Parametri geotecnici da usare. Angolo di attrito:	Picco
Analisi	Condizione drenata
Superficie di forma circolare	

Maglia dei Centri

Ascissa vertice sinistro inferiore xi	28,03 m
Ordinata vertice sinistro inferiore yi	926,51 m
Ascissa vertice destro superiore xs	41,21 m
Ordinata vertice destro superiore ys	937,32 m
Passo di ricerca	10,0
Numero di celle lungo x	10,0
Numero di celle lungo y	10,0

Coefficienti sismici [N.T.C.]

Dati generali

Tipo opera:	2 - Opere ordinarie
Classe d'uso:	Classe II
Vita nominale:	50,0 [anni]
Vita di riferimento:	50,0 [anni]

Parametri sismici su sito di riferimento

Categoria sottosuolo:	C
Categoria topografica:	T1

S.L. Stato limite	TR Tempo ritorno [anni]	ag [m/s ²]	F0 [-]	TC* [sec]
S.L.O.	30,0	0,48	2,41	0,29
S.L.D.	50,0	0,59	2,49	0,33
S.L.V.	475,0	1,55	2,55	0,44
S.L.C.	975,0	2,04	2,57	0,46

Coefficienti sismici orizzontali e verticali

Opera:	Classe II
--------	-----------

S.L. Stato limite	amax [m/s ²]	beta [-]	kh [-]	kv [sec]
S.L.O.	0,72	1,0	0,0734	0,0367
S.L.D.	0,885	0,47	0,0424	0,0212
S.L.V.	2,2601	0,38	0,0876	0,0438
S.L.C.	2,8136	1,0	0,2869	0,1435

Coefficiente azione sismica orizzontale 0,073

Coefficiente azione sismica verticale 0,037

Vertici profilo

Nr	X (m)	y (m)
1	0,0	918,95
2	5,0	918,55
3	10,0	918,09
4	15,0	917,64
5	20,0	917,13
6	25,0	916,74
7	30,0	916,33
8	35,0	915,92
9	40,0	915,52
10	45,0	915,08
11	50,0	914,57
12	55,0	914,02
13	60,0	913,39
14	65,0	912,87
15	70,0	912,29
16	75,0	911,78
17	80,0	911,14
18	82,0	910,9

Vertici strato1

N	X (m)	y (m)
1	0,0	918,67
2	1,69	918,48
3	3,54	918,07
4	5,29	918,07
5	6,94	918,07
6	9,41	917,66
7	11,46	917,14
8	13,93	916,84
9	16,4	916,94
10	17,84	916,94
11	20,62	916,73
12	23,61	916,32
13	25,87	916,01
14	29,27	915,91
15	32,77	915,39
16	35,34	914,98
17	39,04	914,78
18	43,26	914,47
19	46,15	914,37
20	49,64	914,06
21	53,14	913,54
22	56,85	913,13
23	59,42	912,93
24	62,3	912,41
25	64,57	912,2
26	67,45	912,2
27	69,82	911,69
28	72,49	911,28
29	75,06	911,28

30	77,95	910,87
31	82,0	910,27

Vertici strato2

N	X (m)	y (m)
1	0,0	913,46
2	4,36	913,03
3	7,97	912,41
4	11,88	912,2
5	16,82	912,93
6	20,73	913,03
7	24,64	911,69
8	28,34	911,18
9	33,18	911,07
10	40,38	910,56
11	45,73	910,46
12	51,19	910,56
13	55,82	910,35
14	59,01	910,25
15	63,95	909,01
16	69,61	908,29
17	74,65	908,09
18	82,0	908,2

Coefficienti parziali azioni

Sfavorevoli: Permanenti, variabili	1,0	0,0
Favorevoli: Permanent, variabili	1,0	0,0

Coefficienti parziali per i parametri geotecnici del terreno

Tangente angolo di resistenza al taglio	1,25
Coesione efficace	1,25
Coesione non drenata	1,4
Riduzione parametri geotecnici terreno	No

Stratigrafia

Descrizione Litologica	Materiale di Alterazione Superficiale	Argilla grigia-azzurra con livelli di Marne e Calcarenti
Peso volume medio	$\gamma_m = 1,75 - 1,85 \text{ g/cm}^3$	$\gamma_m = 1,90 - 2,05 \text{ g/cm}^3$
<i>Angolo di resistenza al taglio medio (tensioni efficaci, a lungotermine)</i>	$\varphi_m = 18^\circ - 20^\circ$	$\varphi_m = 21^\circ - 26^\circ$
<i>Coesione drenata media (tensioni efficaci, a lungo termine)</i>	$C = 0,05 - 0,1 \text{ kg/cm}^2$	$C = 0,2 - 0,5 \text{ kg/cm}^2$
<i>Coesione non drenata</i>	$C_u = 0,5 - 0,8 \text{ kg/cm}^2$	$C_u = 0,8 - 1,0 \text{ kg/cm}^2$
<i>Modulo di Poisson</i>	$v = 0,25$	$v = 0,35$

Risultati analisi pendio

Fs minimo individuato	10,46
Ascissa centro superficie	38,57 m
Ordinata centro superficie	937,31 m
Raggio superficie	39,13 m

Numero di superfici esaminate....(221)

N°	Xo	Yo	Ro	Fs
1	28,0	926,5	10,7	20,00
2	28,7	927,0	11,3	20,00
3	29,4	926,5	11,0	20,00
4	30,0	927,0	11,6	20,00
5	30,7	926,5	11,1	20,00
6	31,3	927,0	28,8	19,05
7	32,0	926,5	11,3	20,00
8	32,6	927,0	11,9	20,00
9	33,3	926,5	11,4	20,00
10	34,0	927,0	12,0	20,00
11	34,6	926,5	11,6	20,00
12	35,3	927,0	12,2	20,00
13	35,9	926,5	11,7	20,00
14	36,6	927,0	12,3	20,00
15	37,3	926,5	11,9	20,00
16	37,9	927,0	12,5	20,00
17	38,6	926,5	12,0	20,00
18	39,2	927,0	12,6	20,00
19	39,9	926,5	12,2	20,00
20	40,5	927,0	12,8	20,00
21	41,2	926,5	12,3	20,00
22	28,0	927,6	11,7	20,00
23	28,7	928,1	12,3	20,00
24	29,4	927,6	12,0	20,00
25	30,0	928,1	12,6	20,00
26	30,7	927,6	12,2	20,00
27	31,3	928,1	12,8	20,00
28	32,0	927,6	29,3	17,68
29	32,6	928,1	13,0	20,00
30	33,3	927,6	12,5	20,00
31	34,0	928,1	13,1	20,00
32	34,6	927,6	12,6	20,00
33	35,3	928,1	13,3	20,00
34	35,9	927,6	12,8	20,00
35	36,6	928,1	13,4	20,00
36	37,3	927,6	12,9	20,00
37	37,9	928,1	13,6	20,00
38	38,6	927,6	13,1	20,00
39	39,2	928,1	13,7	20,00
40	39,9	927,6	13,2	20,00
41	40,5	928,1	13,9	20,00
42	41,2	927,6	13,4	20,00
43	28,0	928,7	12,7	20,00
44	28,7	929,2	13,3	20,00
45	29,4	928,7	13,0	20,00

				Slope
46	30,0	929,2	13,6	20,00
47	30,7	928,7	13,2	20,00
48	31,3	929,2	13,9	20,00
49	32,0	928,7	30,4	17,72
50	32,6	929,2	31,0	16,51
51	33,3	928,7	13,6	20,00
52	34,0	929,2	14,2	20,00
53	34,6	928,7	13,7	20,00
54	35,3	929,2	14,3	20,00
55	35,9	928,7	13,9	20,00
56	36,6	929,2	14,5	20,00
57	37,3	928,7	30,5	19,49
58	37,9	929,2	31,0	18,08
59	38,6	928,7	14,2	20,00
60	39,2	929,2	14,8	20,00
61	39,9	928,7	14,3	20,00
62	40,5	929,2	14,9	20,00
63	41,2	928,7	14,5	20,00
64	28,0	929,8	13,7	20,00
65	28,7	930,3	14,3	20,00
66	29,4	929,8	14,0	20,00
67	30,0	930,3	14,6	20,00
68	30,7	929,8	14,2	20,00
69	31,3	930,3	14,9	20,00
70	32,0	929,8	14,5	20,00
71	32,6	930,3	15,1	20,00
72	33,3	929,8	31,5	15,42
73	34,0	930,3	32,1	14,42
74	34,6	929,8	14,8	20,00
75	35,3	930,3	15,4	20,00
76	35,9	929,8	14,9	20,00
77	36,6	930,3	15,6	20,00
78	37,3	929,8	31,6	19,73
79	37,9	930,3	32,1	18,29
80	38,6	929,8	15,2	20,00
81	39,2	930,3	15,9	20,00
82	39,9	929,8	15,4	20,00
83	40,5	930,3	16,0	20,00
84	41,2	929,8	15,5	20,00
85	28,0	930,8	14,7	20,00
86	28,7	931,4	15,3	20,00
87	29,4	930,8	15,0	20,00
88	30,0	931,4	15,6	20,00
89	30,7	930,8	15,2	20,00
90	31,3	931,4	15,9	20,00
91	32,0	930,8	32,1	19,47
92	32,6	931,4	16,1	20,00
93	33,3	930,8	32,6	15,59
94	34,0	931,4	33,1	14,58
95	34,6	930,8	15,9	20,00
96	35,3	931,4	16,5	20,00
97	35,9	930,8	16,0	20,00
98	36,6	931,4	16,6	20,00
99	37,3	930,8	16,2	20,00
100	37,9	931,4	16,8	20,00
101	38,6	930,8	32,6	17,03
102	39,2	931,4	16,9	20,00

103	39,9	930,8	16,5	20,00
104	40,5	931,4	17,1	20,00
105	41,2	930,8	16,6	20,00
106	28,0	931,9	15,7	20,00
107	28,7	932,5	16,3	20,00
108	29,4	931,9	16,0	20,00
109	30,0	932,5	16,6	20,00
110	30,7	931,9	16,2	20,00
111	31,3	932,5	16,9	20,00
112	32,0	931,9	16,5	20,00
113	32,6	932,5	17,1	20,00
114	33,3	931,9	16,8	20,00
115	34,0	932,5	17,4	20,00
116	34,6	931,9	16,9	20,00
117	35,3	932,5	34,2	12,86
118	35,9	931,9	17,1	20,00
119	36,6	932,5	17,7	20,00
120	37,3	931,9	17,2	20,00
121	37,9	932,5	34,3	19,13
122	38,6	931,9	33,7	17,36
123	39,2	932,5	34,3	16,22
124	39,9	931,9	33,7	14,92
125	40,5	932,5	18,1	20,00
126	41,2	931,9	17,7	20,00
127	28,0	933,0	16,7	20,00
128	28,7	933,5	17,3	20,00
129	29,4	933,0	17,0	20,00
130	30,0	933,5	17,6	20,00
131	30,7	933,0	17,2	20,00
132	31,3	933,5	17,9	20,00
133	32,0	933,0	17,5	20,00
134	32,6	933,5	18,2	20,00
135	33,3	933,0	17,8	20,00
136	34,0	933,5	34,9	15,75
137	34,6	933,0	18,0	20,00
138	35,3	933,5	35,3	13,08
139	35,9	933,0	18,2	20,00
140	36,6	933,5	18,8	20,00
141	37,3	933,0	18,3	20,00
142	37,9	933,5	35,3	19,72
143	38,6	933,0	18,5	20,00
144	39,2	933,5	19,1	20,00
145	39,9	933,0	18,6	20,00
146	40,5	933,5	35,4	14,34
147	41,2	933,0	18,8	20,00
148	28,0	934,1	17,7	20,00
149	28,7	934,6	18,4	20,00
150	29,4	934,1	18,0	20,00
151	30,0	934,6	18,6	20,00
152	30,7	934,1	18,3	20,00
153	31,3	934,6	18,9	20,00
154	32,0	934,1	18,5	20,00
155	32,6	934,6	19,2	20,00
156	33,3	934,1	18,8	20,00
157	34,0	934,6	35,4	17,15
158	34,6	934,1	35,7	14,37
159	35,3	934,6	19,7	20,00

160	35,9	934,1	35,9	12,35
161	36,6	934,6	19,8	20,00
162	37,3	934,1	19,4	20,00
163	37,9	934,6	20,0	20,00
164	38,6	934,1	19,5	20,00
165	39,2	934,6	36,4	17,06
166	39,9	934,1	35,9	15,58
167	40,5	934,6	36,5	14,72
168	41,2	934,1	35,9	13,53
169	28,0	935,2	18,7	20,00
170	28,7	935,7	19,4	20,00
171	29,4	935,2	19,0	20,00
172	30,0	935,7	19,6	20,00
173	30,7	935,2	19,3	20,00
174	31,3	935,7	19,9	20,00
175	32,0	935,2	19,5	20,00
176	32,6	935,7	20,2	20,00
177	33,3	935,2	19,8	20,00
178	34,0	935,7	20,4	20,00
179	34,6	935,2	20,1	20,00
180	35,3	935,7	35,0	18,33
181	35,9	935,2	36,9	12,62
182	36,6	935,7	37,5	12,00
183	37,3	935,2	37,0	11,15
184	37,9	935,7	37,5	10,68
185	38,6	935,2	37,0	18,89
186	39,2	935,7	37,5	17,60
187	39,9	935,2	20,8	20,00
188	40,5	935,7	35,5	19,25
189	41,2	935,2	20,9	20,00
190	28,0	936,2	21,2	20,00
191	28,7	936,8	20,4	20,00
192	29,4	936,2	20,0	20,00
193	30,0	936,8	20,7	20,00
194	30,7	936,2	20,3	20,00
195	31,3	936,8	20,9	20,00
196	32,0	936,2	20,6	20,00
197	32,6	936,8	21,2	20,00
198	33,3	936,2	20,8	20,00
199	34,0	936,8	21,5	20,00
200	34,6	936,2	36,7	16,89
201	35,3	936,8	37,5	15,37
202	35,9	936,2	35,8	16,52
203	36,6	936,8	22,0	20,00
204	37,3	936,2	38,0	11,36
205	37,9	936,8	38,6	10,89
206	38,6	936,2	21,7	20,00
207	39,2	936,8	38,6	18,24
208	39,9	936,2	21,8	20,00
209	40,5	936,8	38,6	15,59
210	41,2	936,2	22,0	20,00
211	28,0	937,3	22,2	20,00
212	29,4	937,3	21,0	20,00
213	30,7	937,3	21,3	20,00
214	32,0	937,3	21,6	20,00
215	33,3	937,3	21,8	20,00
216	34,6	937,3	37,3	18,38

217	35,9	937,3	36,4	17,93
218	37,3	937,3	39,1	11,72
219	38,6	937,3	39,1	10,46
220	39,9	937,3	39,1	17,13
221	41,2	937,3	39,2	14,70

VERIFICA DI STABILITÀ' POST OPERAM – AEROGENERATORE WTG1

Analisi di stabilità dei pendii con: FELLENIUS (1936)

Lat./Long.	41,322318/15,180547
Calcolo eseguito secondo	NTC 2018
Numero di strati	3,0
Numero dei conci	10,0
Grado di sicurezza ritenuto accettabile	1,3
Coefficiente parziale resistenza	1,0
Parametri geotecnici da usare. Angolo di attrito:	Picco
Analisi	Condizione drenata
Superficie di forma circolare	

Maglia dei Centri

Ascissa vertice sinistro inferiore xi	33,38 m
Ordinata vertice sinistro inferiore yi	934,23 m
Ascissa vertice destro superiore xs	44,5 m
Ordinata vertice destro superiore ys	944,42 m
Passo di ricerca	10,0
Numero di celle lungo x	10,0
Numero di celle lungo y	10,0

Coefficienti sismici [N.T.C.]

Dati generali

Tipo opera:	2 - Opere ordinarie
Classe d'uso:	Classe II
Vita nominale:	50,0 [anni]
Vita di riferimento:	50,0 [anni]

Parametri sismici su sito di riferimento

Categoria sottosuolo:	C
Categoria topografica:	T1

S.L. Stato limite	TR Tempo ritorno [anni]	ag [m/s ²]	F0 [-]	TC* [sec]
S.L.O.	30,0	0,48	2,41	0,29
S.L.D.	50,0	0,59	2,49	0,33
S.L.V.	475,0	1,55	2,55	0,44
S.L.C.	975,0	2,04	2,57	0,46

Coefficienti sismici orizzontali e verticali

Opera:	Classe II
--------	-----------

S.L. Stato limite	amax [m/s ²]	beta [-]	kh [-]	kv [sec]
S.L.O.	0,72	1,0	0,0734	0,0367
S.L.D.	0,885	0,47	0,0424	0,0212
S.L.V.	2,2601	0,38	0,0876	0,0438
S.L.C.	2,8136	1,0	0,2869	0,1435

Coefficiente azione sismica orizzontale 0,073
 Coefficiente azione sismica verticale 0,037

Vertici profilo

Nr	X (m)	y (m)
1	0,0	918,95
2	5,0	918,55
3	10,0	918,09
4	15,0	917,64
5	20,0	917,13
6	25,0	916,74
7	30,0	916,33
8	35,0	915,92
9	40,0	915,52
10	45,0	915,08
11	50,0	914,57
12	55,0	914,02
13	60,0	913,39
14	65,0	912,87
15	70,0	912,29
16	75,0	911,78
17	80,0	911,14
18	82,0	910,9

Vertici strato1

N	X (m)	y (m)
1	0,0	918,67
2	1,69	918,48
3	3,54	918,07
4	5,29	918,07
5	6,94	918,07
6	9,41	917,66
7	11,46	917,14
8	13,93	916,84
9	16,4	916,94
10	17,84	916,94
11	20,62	916,73
12	23,61	916,32
13	25,87	916,01
14	29,27	915,91
15	32,77	915,39
16	35,34	914,98
17	39,04	914,78
18	43,26	914,47
19	46,15	914,37
20	49,64	914,06
21	53,14	913,54
22	56,85	913,13
23	59,42	912,93
24	62,3	912,41
25	64,57	912,2
26	67,45	912,2
27	69,82	911,69
28	72,49	911,28

29	75,06	911,28
30	77,95	910,87
31	82,0	910,27

Vertici strato2

N	X (m)	y (m)
1	0,0	913,46
2	4,36	913,03
3	7,97	912,41
4	11,88	912,2
5	16,82	912,93
6	20,73	913,03
7	24,64	911,69
8	28,34	911,18
9	33,18	911,07
10	40,38	910,56
11	45,73	910,46
12	51,19	910,56
13	55,82	910,35
14	59,01	910,25
15	63,95	909,01
16	69,61	908,29
17	74,65	908,09
18	82,0	908,2

Coefficienti parziali azioni

Sfavorevoli: Permanenti, variabili	1,0	0,0
Favorevoli: Permanenti, variabili	1,0	0,0

Coefficienti parziali per i parametri geotecnici del terreno

Tangente angolo di resistenza al taglio	1,25
Coesione efficace	1,25
Coesione non drenata	1,4
Riduzione parametri geotecnici terreno	No

Stratigrafia

Descrizione Litologica	Materiale di Alterazione Superficiale	Argilla grigia-azzurra con livelli di Marne e Calcarenti
Peso volume medio	$\gamma_m = 1,75-1,85 \text{ g/cm}^3$	$\gamma_m = 1,90 - 2,05 \text{ g/cm}^3$
Angolo di resistenza al taglio medio (tensioni efficaci, a lungo termine)	$\varphi_m = 18^\circ - 20^\circ$	$\varphi_m = 21^\circ - 26^\circ$
Coesione drenata media (tensioni efficaci, a lungo termine)	$C = 0,05 - 0,1 \text{ kg/cm}^2$	$C = 0,2 - 0,5 \text{ kg/cm}^2$
Coesione non drenata	$C_u = 0,5 - 0,8 \text{ kg/cm}^2$	$C_u = 0,8 - 1,0 \text{ kg/cm}^2$
Modulo di Poisson	$v = 0,25$	$v = 0,35$

Risultati analisi pendio

Fs minimo individuato	8,98
Ascissa centro superficie	42,83 m
Ordinata centro superficie	943,91 m
Raggio superficie	45,77 m

Numero di superfici esaminate....(221)

N°	Xo	Yo	Ro	Fs
1	33,4	934,2	19,0	20,00
2	33,9	934,7	35,4	17,41
3	34,5	934,2	33,6	19,55
4	35,1	934,7	36,4	13,88
5	35,6	934,2	36,0	12,80
6	36,2	934,7	36,5	12,24
7	36,7	934,2	19,5	20,00
8	37,3	934,7	36,5	11,05
9	37,8	934,2	19,6	20,00
10	38,4	934,7	20,2	20,00
11	38,9	934,2	36,0	17,50
12	39,5	934,7	20,3	20,00
13	40,1	934,2	19,9	20,00
14	40,6	934,7	20,4	20,00
15	41,2	934,2	20,0	20,00
16	41,7	934,7	36,6	13,07
17	42,3	934,2	20,1	20,00
18	42,8	934,7	20,7	20,00
19	43,4	934,2	20,2	20,00
20	43,9	934,7	20,8	20,00
21	44,5	934,2	20,4	20,00
22	33,4	935,2	19,9	20,00
23	33,9	935,8	35,9	18,91
24	34,5	935,2	20,1	20,00
25	35,1	935,8	36,9	14,92
26	35,6	935,2	37,0	13,05
27	36,2	935,8	37,5	12,51
28	36,7	935,2	20,5	20,00
29	37,3	935,8	37,6	11,24
30	37,8	935,2	37,1	10,67
31	38,4	935,8	21,2	20,00
32	38,9	935,2	37,1	18,02
33	39,5	935,8	21,3	20,00
34	40,1	935,2	37,1	15,77
35	40,6	935,8	35,6	19,13
36	41,2	935,2	37,1	14,03
37	41,7	935,8	37,6	13,42
38	42,3	935,2	21,1	20,00
39	42,8	935,8	21,7	20,00
40	43,4	935,2	21,2	20,00
41	43,9	935,8	21,8	20,00
42	44,5	935,2	37,1	19,81
43	33,4	936,3	20,9	20,00
44	33,9	936,8	21,5	20,00

				Slope
45	34,5	936,3	21,1	20,00
46	35,1	936,8	37,4	16,08
47	35,6	936,3	35,5	17,80
48	36,2	936,8	38,3	13,11
49	36,7	936,3	21,5	20,00
50	37,3	936,8	38,6	11,56
51	37,8	936,3	38,1	10,86
52	38,4	936,8	22,2	20,00
53	38,9	936,3	38,1	18,62
54	39,5	936,8	22,3	20,00
55	40,1	936,3	38,1	16,25
56	40,6	936,8	36,6	19,36
57	41,2	936,3	38,1	14,38
58	41,7	936,8	22,6	20,00
59	42,3	936,3	22,1	20,00
60	42,8	936,8	22,7	20,00
61	43,4	936,3	38,1	11,63
62	43,9	936,8	22,8	20,00
63	44,5	936,3	22,4	20,00
64	33,4	937,3	21,8	20,00
65	33,9	937,8	22,4	20,00
66	34,5	937,3	22,0	20,00
67	35,1	937,8	37,9	17,35
68	35,6	937,3	36,1	19,29
69	36,2	937,8	36,8	17,70
70	36,7	937,3	39,0	12,38
71	37,3	937,8	39,6	11,82
72	37,8	937,3	39,1	11,07
73	38,4	937,8	23,2	20,00
74	38,9	937,3	39,1	10,17
75	39,5	937,8	39,6	9,86
76	40,1	937,3	39,1	16,76
77	40,6	937,8	37,6	19,69
78	41,2	937,3	39,1	14,75
79	41,7	937,8	37,6	17,55
80	42,3	937,3	23,1	20,00
81	42,8	937,8	23,7	20,00
82	43,4	937,3	39,2	11,85
83	43,9	937,8	23,8	20,00
84	44,5	937,3	23,4	20,00
85	33,4	938,3	22,8	20,00
86	33,9	938,8	23,4	20,00
87	34,5	938,3	23,0	20,00
88	35,1	938,8	23,6	20,00
89	35,6	938,3	23,2	20,00
90	36,2	938,8	39,3	15,00
91	36,7	938,3	39,5	13,20
92	37,3	938,8	38,2	15,19
93	37,8	938,3	23,6	20,00
94	38,4	938,8	24,2	20,00
95	38,9	938,3	40,1	10,37
96	39,5	938,8	40,6	10,05
97	40,1	938,3	40,1	17,29
98	40,6	938,8	24,5	20,00
99	41,2	938,3	40,1	15,16
100	41,7	938,8	38,7	17,89
101	42,3	938,3	38,2	16,76

				Slope
102	42,8	938,8	24,7	20,00
103	43,4	938,3	40,2	12,09
104	43,9	938,8	24,9	20,00
105	44,5	938,3	40,2	11,06
106	33,4	939,3	23,7	20,00
107	33,9	939,8	24,3	20,00
108	34,5	939,3	24,0	20,00
109	35,1	939,8	24,6	20,00
110	35,6	939,3	24,2	20,00
111	36,2	939,8	39,9	16,08
112	36,7	939,3	38,1	17,58
113	37,3	939,8	40,8	13,29
114	37,8	939,3	40,9	11,84
115	38,4	939,8	25,2	20,00
116	38,9	939,3	41,1	10,58
117	39,5	939,8	41,7	10,25
118	40,1	939,3	41,2	9,75
119	40,6	939,8	25,5	20,00
120	41,2	939,3	41,2	15,60
121	41,7	939,8	39,7	18,26
122	42,3	939,3	41,2	13,86
123	42,8	939,8	39,7	16,27
124	43,4	939,3	41,2	12,46
125	43,9	939,8	25,9	20,00
126	44,5	939,3	41,2	11,28
127	33,4	940,3	24,7	20,00
128	33,9	940,8	25,3	20,00
129	34,5	940,3	24,9	20,00
130	35,1	940,8	25,5	20,00
131	35,6	940,3	39,7	18,65
132	36,2	940,8	25,7	20,00
133	36,7	940,3	38,7	18,97
134	37,3	940,8	41,3	14,16
135	37,8	940,3	41,5	12,58
136	38,4	940,8	42,2	11,94
137	38,9	940,3	42,2	10,89
138	39,5	940,8	42,7	10,46
139	40,1	940,3	42,2	9,95
140	40,6	940,8	26,5	20,00
141	41,2	940,3	42,2	16,08
142	41,7	940,8	40,7	18,65
143	42,3	940,3	42,2	14,25
144	42,8	940,8	42,7	13,66
145	43,4	940,3	42,2	12,79
146	43,9	940,8	26,9	20,00
147	44,5	940,3	42,2	11,53
148	33,4	941,4	25,7	20,00
149	33,9	941,9	26,3	20,00
150	34,5	941,4	25,9	20,00
151	35,1	941,9	26,5	20,00
152	35,6	941,4	26,1	20,00
153	36,2	941,9	26,7	20,00
154	36,7	941,4	41,2	16,10
155	37,3	941,9	40,0	18,79
156	37,8	941,4	42,0	13,37
157	38,4	941,9	42,8	12,66
158	38,9	941,4	42,9	11,35

				Slope
159	39,5	941,9	27,4	20,00
160	40,1	941,4	43,2	10,15
161	40,6	941,9	27,5	20,00
162	41,2	941,4	43,2	9,40
163	41,7	941,9	41,7	19,28
164	42,3	941,4	43,2	14,66
165	42,8	941,9	43,7	14,05
166	43,4	941,4	43,2	13,12
167	43,9	941,9	41,8	15,20
168	44,5	941,4	43,2	11,88
169	33,4	942,4	26,6	20,00
170	33,9	942,9	27,2	20,00
171	34,5	942,4	26,9	20,00
172	35,1	942,9	27,4	20,00
173	35,6	942,4	27,1	20,00
174	36,2	942,9	27,7	20,00
175	36,7	942,4	41,7	17,10
176	37,3	942,9	42,5	15,99
177	37,8	942,4	40,7	17,44
178	38,4	942,9	41,4	16,28
179	38,9	942,4	41,5	14,34
180	39,5	942,9	44,2	11,43
181	40,1	942,4	27,9	20,00
182	40,6	942,9	28,5	20,00
183	41,2	942,4	44,2	9,60
184	41,7	942,9	42,7	19,84
185	42,3	942,4	44,2	15,09
186	42,8	942,9	44,7	14,44
187	43,4	942,4	44,2	13,48
188	43,9	942,9	42,8	15,52
189	44,5	942,4	44,3	12,20
190	33,4	943,4	27,6	20,00
191	33,9	943,9	28,2	20,00
192	34,5	943,4	27,8	20,00
193	35,1	943,9	28,4	20,00
194	35,6	943,4	28,0	20,00
195	36,2	943,9	28,6	20,00
196	36,7	943,4	42,4	18,36
197	37,3	943,9	43,1	17,11
198	37,8	943,4	41,4	18,70
199	38,4	943,9	42,1	17,40
200	38,9	943,4	44,1	12,63
201	39,5	943,9	29,3	20,00
202	40,1	943,4	28,9	20,00
203	40,6	943,9	45,6	10,43
204	41,2	943,4	45,2	9,81
205	41,7	943,9	29,7	20,00
206	42,3	943,4	43,2	18,81
207	42,8	943,9	45,8	8,98
208	43,4	943,4	43,3	16,57
209	43,9	943,9	43,8	15,87
210	44,5	943,4	45,3	12,53
211	33,4	944,4	28,6	20,00
212	34,5	944,4	28,8	20,00
213	35,6	944,4	29,0	20,00
214	36,7	944,4	29,2	20,00
215	37,8	944,4	29,4	20,00

216	38,9	944,4	42,8	16,27
217	40,1	944,4	45,5	11,42
218	41,2	944,4	46,3	10,03
219	42,3	944,4	44,3	19,35
220	43,4	944,4	44,3	16,95
221	44,5	944,4	46,3	12,88

VERIFICA DI STABILITÀ' PRE OPERAM – AEROGENERATORE WTG2

Analisi di stabilità dei pendii con: FELLENIUS (1936)

Lat./Long.	41,322318/15,180547
Calcolo eseguito secondo	NTC 2018
Numero di strati	3,0
Numero dei conci	10,0
Grado di sicurezza ritenuto accettabile	1,3
Coefficiente parziale resistenza	1,0
Parametri geotecnici da usare. Angolo di attrito:	Picco
Analisi	Condizione drenata
Superficie di forma circolare	

Maglia dei Centri

Ascissa vertice sinistro inferiore xi	48,0 m
Ordinata vertice sinistro inferiore yi	928,99 m
Ascissa vertice destro superiore xs	61,17 m
Ordinata vertice destro superiore ys	939,8 m
Passo di ricerca	10,0
Numero di celle lungo x	10,0
Numero di celle lungo y	10,0

Coefficienti sismici [N.T.C.]

Dati generali

Tipo opera:	2 - Opere ordinarie
Classe d'uso:	Classe II
Vita nominale:	50,0 [anni]
Vita di riferimento:	50,0 [anni]

Parametri sismici su sito di riferimento

Categoria sottosuolo:	C
Categoria topografica:	T1

S.L. Stato limite	TR Tempo ritorno [anni]	ag [m/s ²]	F0 [-]	TC* [sec]
S.L.O.	30,0	0,48	2,41	0,29
S.L.D.	50,0	0,59	2,49	0,33
S.L.V.	475,0	1,55	2,55	0,44
S.L.C.	975,0	2,04	2,57	0,46

Coefficienti sismici orizzontali e verticali

Opera:	Classe II
--------	-----------

S.L. Stato limite	amax [m/s ²]	beta [-]	kh [-]	kv [sec]
S.L.O.	0,72	1,0	0,0734	0,0367
S.L.D.	0,885	0,47	0,0424	0,0212
S.L.V.	2,2601	0,38	0,0876	0,0438
S.L.C.	2,8136	1,0	0,2869	0,1435

Coefficiente azione sismica orizzontale	0,073
Coefficiente azione sismica verticale	0,037

Vertici profilo

Nr	X (m)	y (m)
1	0,0	918,95
2	5,0	918,55
3	10,0	918,09
4	15,0	917,64
5	20,0	917,13
6	25,0	916,74
7	30,0	916,33
8	35,0	915,92
9	40,0	915,52
10	45,0	915,08
11	50,0	914,57
12	55,0	914,02
13	60,0	913,39
14	65,0	912,87
15	70,0	912,29
16	75,0	911,78
17	80,0	911,14
18	82,0	910,9

Vertici strato1

N	X (m)	y (m)
1	0,0	918,67
2	1,69	918,48
3	3,54	918,07
4	5,29	918,07
5	6,94	918,07
6	9,41	917,66
7	11,46	917,14
8	13,93	916,84
9	16,4	916,94
10	17,84	916,94
11	20,62	916,73
12	23,61	916,32
13	25,87	916,01
14	29,27	915,91
15	32,77	915,39
16	35,34	914,98
17	39,04	914,78
18	43,26	914,47
19	46,15	914,37
20	49,64	914,06
21	53,14	913,54
22	56,85	913,13
23	59,42	912,93
24	62,3	912,41
25	64,57	912,2
26	67,45	912,2
27	69,82	911,69
28	72,49	911,28
29	75,06	911,28
30	77,95	910,87
31	82,0	910,27

Vertici strato2

N	X (m)	y (m)
1	0,0	913,46
2	4,36	913,03
3	7,97	912,41
4	11,88	912,2
5	16,82	912,93
6	20,73	913,03
7	24,64	911,69
8	28,34	911,18
9	33,18	911,07
10	40,38	910,56
11	45,73	910,46
12	51,19	910,56
13	55,82	910,35
14	59,01	910,25
15	63,95	909,01
16	69,61	908,29
17	74,65	908,09
18	82,0	908,2

Coefficienti parziali azioni

Sfavorevoli: Permanenti, variabili	1,0	1,0
Favorevoli: Permanenti, variabili	1,0	1,0

Coefficienti parziali per i parametri geotecnici del terreno

Tangente angolo di resistenza al taglio	1,25
Coesione efficace	1,25
Coesione non drenata	1,4
Riduzione parametri geotecnici terreno	No

Stratigrafia

Descrizione Litologica	Materiale di Alterazione Superficiale	Argilla grigia-azzurra con livelli di Marne e Calcareniti
Peso volume medio	$\gamma_m = 1,75 - 1,85 \text{ g/cm}^3$	$\gamma_m = 1,90 - 2,05 \text{ g/cm}^3$
Angolo di resistenza al taglio medio (tensioni efficaci, a lungotermine)	$\varphi_m = 18^\circ - 20^\circ$	$\varphi_m = 21^\circ - 26^\circ$
Coesione drenata media (tensioni efficaci, a lungo termine)	$C = 0,05 - 0,1 \text{ kg/cm}^2$	$C = 0,2 - 0,5 \text{ kg/cm}^2$
Coesione non drenata	$C_u = 0,5 - 0,8 \text{ kg/cm}^2$	$C_u = 0,8 - 1,0 \text{ kg/cm}^2$
Modulo di Poisson	$\nu = 0,25$	$\nu = 0,35$

Risultati analisi pendio

Fs minimo individuato	12,55
Ascissa centro superficie	49,32 m
Ordinata centro superficie	938,72 m
Raggio superficie	40,66 m

Numero di superfici esaminate....(221)

N°	Xo	Yo	Ro	Fs
1	48,0	929,0	15,6	20,00
2	48,7	929,5	16,2	20,00
3	49,3	929,0	15,7	20,00
4	50,0	929,5	16,3	20,00
5	50,6	929,0	15,9	20,00
6	51,3	929,5	16,5	20,00
7	51,9	929,0	16,0	20,00
8	52,6	929,5	16,6	20,00
9	53,3	929,0	16,1	20,00
10	53,9	929,5	16,7	20,00
11	54,6	929,0	16,2	20,00
12	55,2	929,5	16,7	20,00
13	55,9	929,0	16,2	20,00
14	56,6	929,5	16,7	20,00
15	57,2	929,0	16,2	20,00
16	57,9	929,5	16,7	20,00
17	58,5	929,0	16,2	20,00
18	59,2	929,5	16,7	20,00
19	59,9	929,0	16,2	20,00
20	60,5	929,5	16,7	20,00
21	61,2	929,0	16,2	20,00
22	48,0	930,1	16,6	20,00
23	48,7	930,6	17,2	20,00
24	49,3	930,1	16,8	20,00
25	50,0	930,6	17,4	20,00
26	50,6	930,1	16,9	20,00
27	51,3	930,6	17,6	20,00
28	51,9	930,1	17,1	20,00
29	52,6	930,6	17,7	20,00
30	53,3	930,1	17,2	20,00
31	53,9	930,6	17,8	20,00
32	54,6	930,1	17,2	20,00
33	55,2	930,6	17,8	20,00
34	55,9	930,1	17,2	20,00
35	56,6	930,6	17,7	20,00
36	57,2	930,1	17,2	20,00
37	57,9	930,6	17,7	20,00
38	58,5	930,1	17,2	20,00
39	59,2	930,6	17,7	20,00
40	59,9	930,1	17,2	20,00
41	60,5	930,6	17,7	20,00
42	61,2	930,1	17,2	20,00
43	48,0	931,2	17,7	20,00
44	48,7	931,7	18,3	20,00
45	49,3	931,2	17,9	20,00
46	50,0	931,7	18,5	20,00
47	50,6	931,2	18,0	20,00
48	51,3	931,7	18,6	20,00
49	51,9	931,2	18,2	20,00
50	52,6	931,7	18,8	20,00
51	53,3	931,2	18,3	20,00
52	53,9	931,7	18,8	20,00
53	54,6	931,2	18,3	20,00

54	55,2	931,7	18,8	20,00
55	55,9	931,2	18,3	20,00
56	56,6	931,7	18,8	20,00
57	57,2	931,2	18,3	20,00
58	57,9	931,7	18,8	20,00
59	58,5	931,2	18,2	20,00
60	59,2	931,7	18,8	20,00
61	59,9	931,2	18,2	20,00
62	60,5	931,7	18,8	20,00
63	61,2	931,2	18,2	20,00
64	48,0	932,2	18,8	20,00
65	48,7	932,8	19,4	20,00
66	49,3	932,2	18,9	20,00
67	50,0	932,8	19,5	20,00
68	50,6	932,2	34,2	19,13
69	51,3	932,8	19,7	20,00
70	51,9	932,2	19,2	20,00
71	52,6	932,8	19,8	20,00
72	53,3	932,2	19,3	20,00
73	53,9	932,8	19,8	20,00
74	54,6	932,2	19,3	20,00
75	55,2	932,8	19,8	20,00
76	55,9	932,2	19,3	20,00
77	56,6	932,8	19,8	20,00
78	57,2	932,2	19,3	20,00
79	57,9	932,8	19,8	20,00
80	58,5	932,2	19,3	20,00
81	59,2	932,8	19,8	20,00
82	59,9	932,2	19,3	20,00
83	60,5	932,8	19,8	20,00
84	61,2	932,2	19,3	20,00
85	48,0	933,3	19,9	20,00
86	48,7	933,9	20,5	20,00
87	49,3	933,3	20,0	20,00
88	50,0	933,9	20,6	20,00
89	50,6	933,3	35,3	19,60
90	51,3	933,9	20,8	20,00
91	51,9	933,3	20,3	20,00
92	52,6	933,9	20,9	20,00
93	53,3	933,3	20,4	20,00
94	53,9	933,9	20,9	20,00
95	54,6	933,3	20,3	20,00
96	55,2	933,9	20,9	20,00
97	55,9	933,3	20,3	20,00
98	56,6	933,9	20,9	20,00
99	57,2	933,3	20,3	20,00
100	57,9	933,9	20,9	20,00
101	58,5	933,3	20,3	20,00
102	59,2	933,9	20,9	20,00
103	59,9	933,3	20,3	20,00
104	60,5	933,9	20,9	20,00
105	61,2	933,3	20,3	20,00
106	48,0	934,4	20,9	20,00
107	48,7	934,9	21,5	20,00
108	49,3	934,4	21,1	20,00
109	50,0	934,9	21,7	20,00
110	50,6	934,4	21,2	20,00
111	51,3	934,9	36,9	18,83
112	51,9	934,4	21,4	20,00

113	52,6	934,9	21,9	20,00
114	53,3	934,4	21,4	20,00
115	53,9	934,9	21,9	20,00
116	54,6	934,4	21,4	20,00
117	55,2	934,9	21,9	20,00
118	55,9	934,4	21,4	20,00
119	56,6	934,9	21,9	20,00
120	57,2	934,4	21,4	20,00
121	57,9	934,9	21,9	20,00
122	58,5	934,4	21,4	20,00
123	59,2	934,9	21,9	20,00
124	59,9	934,4	21,4	20,00
125	60,5	934,9	21,9	20,00
126	61,2	934,4	21,4	20,00
127	48,0	935,5	22,0	20,00
128	48,7	936,0	22,6	20,00
129	49,3	935,5	22,2	20,00
130	50,0	936,0	22,8	20,00
131	50,6	935,5	22,3	20,00
132	51,3	936,0	37,8	19,86
133	51,9	935,5	22,4	20,00
134	52,6	936,0	22,9	20,00
135	53,3	935,5	22,4	20,00
136	53,9	936,0	22,9	20,00
137	54,6	935,5	22,4	20,00
138	55,2	936,0	22,9	20,00
139	55,9	935,5	22,4	20,00
140	56,6	936,0	22,9	20,00
141	57,2	935,5	22,4	20,00
142	57,9	936,0	22,9	20,00
143	58,5	935,5	22,4	20,00
144	59,2	936,0	23,0	20,00
145	59,9	935,5	22,4	20,00
146	60,5	936,0	23,0	20,00
147	61,2	935,5	22,4	20,00
148	48,0	936,6	23,1	20,00
149	48,7	937,1	23,7	20,00
150	49,3	936,6	23,2	20,00
151	50,0	937,1	23,8	20,00
152	50,6	936,6	23,4	20,00
153	51,3	937,1	23,9	20,00
154	51,9	936,6	23,4	20,00
155	52,6	937,1	24,0	20,00
156	53,3	936,6	23,5	20,00
157	53,9	937,1	24,0	20,00
158	54,6	936,6	23,5	20,00
159	55,2	937,1	24,0	20,00
160	55,9	936,6	23,5	20,00
161	56,6	937,1	24,0	20,00
162	57,2	936,6	23,5	20,00
163	57,9	937,1	24,0	20,00
164	58,5	936,6	23,5	20,00
165	59,2	937,1	24,0	20,00
166	59,9	936,6	23,5	20,00
167	60,5	937,1	24,0	20,00
168	61,2	936,6	23,5	20,00
169	48,0	937,6	24,1	20,00
170	48,7	938,2	24,8	20,00
171	49,3	937,6	24,3	20,00

172	50,0	938,2	24,9	20,00
173	50,6	937,6	24,4	20,00
174	51,3	938,2	25,0	20,00
175	51,9	937,6	24,5	20,00
176	52,6	938,2	25,0	20,00
177	53,3	937,6	24,5	20,00
178	53,9	938,2	25,0	20,00
179	54,6	937,6	24,5	20,00
180	55,2	938,2	25,0	20,00
181	55,9	937,6	24,5	20,00
182	56,6	938,2	25,0	20,00
183	57,2	937,6	24,5	20,00
184	57,9	938,2	25,0	20,00
185	58,5	937,6	24,5	20,00
186	59,2	938,2	25,1	20,00
187	59,9	937,6	24,5	20,00
188	60,5	938,2	25,1	20,00
189	61,2	937,6	24,5	20,00
190	48,0	938,7	40,6	14,25
191	48,7	939,3	41,2	13,55
192	49,3	938,7	40,7	12,55
193	50,0	939,3	25,9	20,00
194	50,6	938,7	25,5	20,00
195	51,3	939,3	26,0	20,00
196	51,9	938,7	25,5	20,00
197	52,6	939,3	26,1	20,00
198	53,3	938,7	25,6	20,00
199	53,9	939,3	26,1	20,00
200	54,6	938,7	25,6	20,00
201	55,2	939,3	26,1	20,00
202	55,9	938,7	25,6	20,00
203	56,6	939,3	26,1	20,00
204	57,2	938,7	25,6	20,00
205	57,9	939,3	26,1	20,00
206	58,5	938,7	25,6	20,00
207	59,2	939,3	26,1	20,00
208	59,9	938,7	25,6	20,00
209	60,5	939,3	26,1	20,00
210	61,2	938,7	25,6	20,00
211	48,0	939,8	39,8	18,52
212	49,3	939,8	41,7	12,92
213	50,6	939,8	26,5	20,00
214	51,9	939,8	26,5	20,00
215	53,3	939,8	26,6	20,00
216	54,6	939,8	26,6	20,00
217	55,9	939,8	26,6	20,00
218	57,2	939,8	26,6	20,00
219	58,5	939,8	26,6	20,00
220	59,9	939,8	26,6	20,00
221	61,2	939,8	26,7	20,00

VERIFICA DI STABILITÀ POST OPERAM – AEROGENERATORE WTG2

Analisi di stabilità dei pendii con: FELLENIUS (1936)

Lat./Long.	41,322318/15,180547
Calcolo eseguito secondo	NTC 2018
Numero di strati	3,0
Numero dei conci	10,0
Grado di sicurezza ritenuto accettabile	1,3
Coefficiente parziale resistenza	1,0
Parametri geotecnici da usare. Angolo di attrito:	Picco
Analisi	Condizione drenata
Superficie di forma circolare	

Maglia dei Centri

Ascissa vertice sinistro inferiore xi	41,1 m
Ordinata vertice sinistro inferiore yi	926,62 m
Ascissa vertice destro superiore xs	54,28 m
Ordinata vertice destro superiore ys	937,43 m
Passo di ricerca	10,0
Numero di celle lungo x	10,0
Numero di celle lungo y	10,0

Coefficienti sismici [N.T.C.]

Dati generali

Tipo opera:	2 - Opere ordinarie
Classe d'uso:	Classe II
Vita nominale:	50,0 [anni]
Vita di riferimento:	50,0 [anni]

Parametri sismici su sito di riferimento

Categoria sottosuolo:	C
Categoria topografica:	T1

S.L. Stato limite	TR Tempo ritorno [anni]	ag [m/s ²]	F0 [-]	TC* [sec]
S.L.O.	30,0	0,48	2,41	0,29
S.L.D.	50,0	0,59	2,49	0,33
S.L.V.	475,0	1,55	2,55	0,44
S.L.C.	975,0	2,04	2,57	0,46

Coefficienti sismici orizzontali e verticali

Opera:	Classe II
--------	-----------

S.L. Stato limite	amax [m/s ²]	beta [-]	kh [-]	kv [sec]
S.L.O.	0,72	1,0	0,0734	0,0367
S.L.D.	0,885	0,47	0,0424	0,0212
S.L.V.	2,2601	0,38	0,0876	0,0438
S.L.C.	2,8136	1,0	0,2869	0,1435

Coefficiente azione sismica orizzontale	0,073
Coefficiente azione sismica verticale	0,037

Vertici profilo

Nr	X (m)	y (m)
1	0,0	918,95
2	5,0	918,55
3	10,0	918,09
4	15,0	917,64
5	20,0	917,13
6	25,0	916,74
7	30,0	916,33
8	35,0	915,92
9	40,0	915,52
10	45,0	915,08
11	50,0	914,57
12	55,0	914,02
13	60,0	913,39
14	65,0	912,87
15	70,0	912,29
16	75,0	911,78
17	80,0	911,14
18	82,0	910,9

Vertici strato1

N	X (m)	y (m)
1	0,0	918,67
2	1,69	918,48
3	3,54	918,07
4	5,29	918,07
5	6,94	918,07
6	9,41	917,66
7	11,46	917,14
8	13,93	916,84
9	16,4	916,94
10	17,84	916,94
11	20,62	916,73
12	23,61	916,32
13	25,87	916,01
14	29,27	915,91
15	32,77	915,39
16	35,34	914,98
17	39,04	914,78
18	43,26	914,47
19	46,15	914,37
20	49,64	914,06
21	53,14	913,54
22	56,85	913,13
23	59,42	912,93
24	62,3	912,41
25	64,57	912,2
26	67,45	912,2
27	69,82	911,69
28	72,49	911,28
29	75,06	911,28
30	77,95	910,87
31	82,0	910,27

Vertici strato2

N	X	y

	(m)	(m)
1	0,0	913,46
2	4,36	913,03
3	7,97	912,41
4	11,88	912,2
5	16,82	912,93
6	20,73	913,03
7	24,64	911,69
8	28,34	911,18
9	33,18	911,07
10	40,38	910,56
11	45,73	910,46
12	51,19	910,56
13	55,82	910,35
14	59,01	910,25
15	63,95	909,01
16	69,61	908,29
17	74,65	908,09
18	82,0	908,2

Coefficienti parziali azioni

Sfavorevoli: Permanenti, variabili	1,0	1,0
Favorevoli: Permanenti, variabili	1,0	1,0

Coefficienti parziali per i parametri geotecnici del terreno

Tangente angolo di resistenza al taglio	1,25
Coesione efficace	1,25
Coesione non drenata	1,4
Riduzione parametri geotecnici terreno	No

Stratigrafia

Descrizione Litologica	Materiale di Alterazione Superficiale	Argilla grigia-azzurra con livelli di Marne e Calcareni
Peso volume medio	$\gamma_m = 1,75 - 1,85 \text{ g/cm}^3$	$\gamma_m = 1,90 - 2,05 \text{ g/cm}^3$
Angolo di resistenza al taglio medio (tensioni efficaci, a lungotermine)	$\varphi_m = 18^\circ - 20^\circ$	$\varphi_m = 21^\circ - 26^\circ$
Coesione drenata media (tensioni efficaci, a lungo termine)	$C = 0,05 - 0,1 \text{ kg/cm}^2$	$C = 0,2 - 0,5 \text{ kg/cm}^2$
Coesione non drenata	$C_u = 0,5 - 0,8 \text{ kg/cm}^2$	$C_u = 0,8 - 1,0 \text{ kg/cm}^2$
Modulo di Poisson	$\nu = 0.25$	$\nu = 0.35$

Risultati analisi pendio

Fs minimo individuato	11,55
Ascissa centro superficie	43,74 m
Ordinata centro superficie	937,43 m
Raggio superficie	39,31 m

Numero di superfici esaminate....(221)

N°	Xo	Yo	Ro	Fs
1	41,1	926,6	12,4	20,00
2	41,8	927,2	13,0	20,00
3	42,4	926,6	12,6	20,00
4	43,1	927,2	13,2	20,00
5	43,7	926,6	12,7	20,00
6	44,4	927,2	13,3	20,00
7	45,1	926,6	12,9	20,00
8	45,7	927,2	13,5	20,00
9	46,4	926,6	13,0	20,00
10	47,0	927,2	13,6	20,00
11	47,7	926,6	13,2	20,00
12	48,3	927,2	13,8	20,00
13	49,0	926,6	13,3	20,00
14	49,7	927,2	13,9	20,00
15	50,3	926,6	13,5	20,00
16	51,0	927,2	14,1	20,00
17	51,6	926,6	13,6	20,00
18	52,3	927,2	14,2	20,00
19	53,0	926,6	13,7	20,00
20	53,6	927,2	14,3	20,00
21	54,3	926,6	13,8	20,00
22	41,1	927,7	13,5	20,00
23	41,8	928,2	14,1	20,00
24	42,4	927,7	13,7	20,00
25	43,1	928,2	14,3	20,00
26	43,7	927,7	13,8	20,00
27	44,4	928,2	14,4	20,00
28	45,1	927,7	14,0	20,00
29	45,7	928,2	14,6	20,00
30	46,4	927,7	14,1	20,00
31	47,0	928,2	14,7	20,00
32	47,7	927,7	14,3	20,00
33	48,3	928,2	14,9	20,00
34	49,0	927,7	14,4	20,00
35	49,7	928,2	15,0	20,00
36	50,3	927,7	14,6	20,00
37	51,0	928,2	15,2	20,00
38	51,6	927,7	14,7	20,00
39	52,3	928,2	15,3	20,00
40	53,0	927,7	14,8	20,00
41	53,6	928,2	15,4	20,00
42	54,3	927,7	14,9	20,00
43	41,1	928,8	14,6	20,00
44	41,8	929,3	15,2	20,00
45	42,4	928,8	14,7	20,00
46	43,1	929,3	15,3	20,00
47	43,7	928,8	14,9	20,00
48	44,4	929,3	15,5	20,00
49	45,1	928,8	15,0	20,00
50	45,7	929,3	15,6	20,00
51	46,4	928,8	15,2	20,00
52	47,0	929,3	15,8	20,00
53	47,7	928,8	15,3	20,00
54	48,3	929,3	15,9	20,00
55	49,0	928,8	15,5	20,00

56	49,7	929,3	16,1	20,00
57	50,3	928,8	15,6	20,00
58	51,0	929,3	16,2	20,00
59	51,6	928,8	15,8	20,00
60	52,3	929,3	16,4	20,00
61	53,0	928,8	15,9	20,00
62	53,6	929,3	16,5	20,00
63	54,3	928,8	16,0	20,00
64	41,1	929,9	15,6	20,00
65	41,8	930,4	16,3	20,00
66	42,4	929,9	15,8	20,00
67	43,1	930,4	16,4	20,00
68	43,7	929,9	15,9	20,00
69	44,4	930,4	32,3	18,69
70	45,1	929,9	16,1	20,00
71	45,7	930,4	16,7	20,00
72	46,4	929,9	16,2	20,00
73	47,0	930,4	16,9	20,00
74	47,7	929,9	16,4	20,00
75	48,3	930,4	17,0	20,00
76	49,0	929,9	16,5	20,00
77	49,7	930,4	17,2	20,00
78	50,3	929,9	16,7	20,00
79	51,0	930,4	17,3	20,00
80	51,6	929,9	16,8	20,00
81	52,3	930,4	17,5	20,00
82	53,0	929,9	17,0	20,00
83	53,6	930,4	17,6	20,00
84	54,3	929,9	17,0	20,00
85	41,1	930,9	16,7	20,00
86	41,8	931,5	17,3	20,00
87	42,4	930,9	16,9	20,00
88	43,1	931,5	17,5	20,00
89	43,7	930,9	17,0	20,00
90	44,4	931,5	33,4	18,82
91	45,1	930,9	17,2	20,00
92	45,7	931,5	17,8	20,00
93	46,4	930,9	17,3	20,00
94	47,0	931,5	17,9	20,00
95	47,7	930,9	17,5	20,00
96	48,3	931,5	18,1	20,00
97	49,0	930,9	17,6	20,00
98	49,7	931,5	18,2	20,00
99	50,3	930,9	17,8	20,00
100	51,0	931,5	18,4	20,00
101	51,6	930,9	17,9	20,00
102	52,3	931,5	18,5	20,00
103	53,0	930,9	18,0	20,00
104	53,6	931,5	18,6	20,00
105	54,3	930,9	18,1	20,00
106	41,1	932,0	17,8	20,00
107	41,8	932,6	18,4	20,00
108	42,4	932,0	17,9	20,00
109	43,1	932,6	18,6	20,00
110	43,7	932,0	18,1	20,00
111	44,4	932,6	34,5	19,07
112	45,1	932,0	18,2	20,00
113	45,7	932,6	34,5	16,27
114	46,4	932,0	18,4	20,00

115	47,0	932,6	19,0	20,00
116	47,7	932,0	18,5	20,00
117	48,3	932,6	19,2	20,00
118	49,0	932,0	18,7	20,00
119	49,7	932,6	19,3	20,00
120	50,3	932,0	34,0	19,71
121	51,0	932,6	19,5	20,00
122	51,6	932,0	19,0	20,00
123	52,3	932,6	19,6	20,00
124	53,0	932,0	19,1	20,00
125	53,6	932,6	19,6	20,00
126	54,3	932,0	19,1	20,00
127	41,1	933,1	35,0	13,44
128	41,8	933,6	35,5	12,82
129	42,4	933,1	19,0	20,00
130	43,1	933,6	19,6	20,00
131	43,7	933,1	19,2	20,00
132	44,4	933,6	19,8	20,00
133	45,1	933,1	35,0	17,72
134	45,7	933,6	35,6	16,51
135	46,4	933,1	19,5	20,00
136	47,0	933,6	20,1	20,00
137	47,7	933,1	19,6	20,00
138	48,3	933,6	20,2	20,00
139	49,0	933,1	19,8	20,00
140	49,7	933,6	20,4	20,00
141	50,3	933,1	19,9	20,00
142	51,0	933,6	35,6	18,94
143	51,6	933,1	20,1	20,00
144	52,3	933,6	20,7	20,00
145	53,0	933,1	20,2	20,00
146	53,6	933,6	20,7	20,00
147	54,3	933,1	20,1	20,00
148	41,1	934,2	36,0	13,79
149	41,8	934,7	20,5	20,00
150	42,4	934,2	20,1	20,00
151	43,1	934,7	20,7	20,00
152	43,7	934,2	20,2	20,00
153	44,4	934,7	36,6	19,86
154	45,1	934,2	20,4	20,00
155	45,7	934,7	21,0	20,00
156	46,4	934,2	20,5	20,00
157	47,0	934,7	36,7	14,39
158	47,7	934,2	20,7	20,00
159	48,3	934,7	21,3	20,00
160	49,0	934,2	20,8	20,00
161	49,7	934,7	21,5	20,00
162	50,3	934,2	21,0	20,00
163	51,0	934,7	21,6	20,00
164	51,6	934,2	36,2	17,72
165	52,3	934,7	21,7	20,00
166	53,0	934,2	21,2	20,00
167	53,6	934,7	21,7	20,00
168	54,3	934,2	21,2	20,00
169	41,1	935,3	21,0	20,00
170	41,8	935,8	21,6	20,00
171	42,4	935,3	21,2	20,00
172	43,1	935,8	21,8	20,00
173	43,7	935,3	21,3	20,00

174	44,4	935,8	21,9	20,00
175	45,1	935,3	37,2	18,41
176	45,7	935,8	37,7	17,10
177	46,4	935,3	37,2	15,69
178	47,0	935,8	37,7	14,78
179	47,7	935,3	37,2	13,64
180	48,3	935,8	22,4	20,00
181	49,0	935,3	21,9	20,00
182	49,7	935,8	22,5	20,00
183	50,3	935,3	22,1	20,00
184	51,0	935,8	37,8	19,99
185	51,6	935,3	37,1	18,68
186	52,3	935,8	22,7	20,00
187	53,0	935,3	22,2	20,00
188	53,6	935,8	22,8	20,00
189	54,3	935,3	22,2	20,00
190	41,1	936,3	38,2	14,51
191	41,8	936,9	38,7	13,72
192	42,4	936,3	38,2	12,63
193	43,1	936,9	38,8	12,07
194	43,7	936,3	22,4	20,00
195	44,4	936,9	23,0	20,00
196	45,1	936,3	22,5	20,00
197	45,7	936,9	23,1	20,00
198	46,4	936,3	22,7	20,00
199	47,0	936,9	23,3	20,00
200	47,7	936,3	38,3	13,96
201	48,3	936,9	38,8	13,19
202	49,0	936,3	23,0	20,00
203	49,7	936,9	23,6	20,00
204	50,3	936,3	23,1	20,00
205	51,0	936,9	23,7	20,00
206	51,6	936,3	23,2	20,00
207	52,3	936,9	23,8	20,00
208	53,0	936,3	23,3	20,00
209	53,6	936,9	23,8	20,00
210	54,3	936,3	23,3	20,00
211	41,1	937,4	37,3	18,54
212	42,4	937,4	39,3	13,03
213	43,7	937,4	39,3	11,55
214	45,1	937,4	23,6	20,00
215	46,4	937,4	39,3	16,42
216	47,7	937,4	39,4	14,28
217	49,0	937,4	24,1	20,00
218	50,3	937,4	24,2	20,00
219	51,6	937,4	24,3	20,00
220	53,0	937,4	24,3	20,00
221	54,3	937,4	24,3	20,00

VERIFICA DI STABILITA' PRE OPERAM – AEROGENERATORE WTG3

Analisi di stabilità dei pendii con: FELLENIUS (1936)

Lat./Long.	41,322318/15,180547
Calcolo eseguito secondo	NTC 2018
Numero di strati	3,0
Numero dei conci	10,0
Grado di sicurezza ritenuto accettabile	1,3
Coefficiente parziale resistenza	1,0
Parametri geotecnici da usare. Angolo di attrito:	Picco
Analisi	Condizione drenata
Superficie di forma circolare	

Maglia dei Centri

Ascissa vertice sinistro inferiore xi	35,58 m
Ordinata vertice sinistro inferiore yi	1015,7 m
Ascissa vertice destro superiore xs	45,38 m
Ordinata vertice destro superiore ys	1024,68 m
Passo di ricerca	10,0
Numero di celle lungo x	10,0
Numero di celle lungo y	10,0

Coefficienti sismici [N.T.C.]

Dati generali

Tipo opera:	2 - Opere ordinarie
Classe d'uso:	Classe II
Vita nominale:	50,0 [anni]
Vita di riferimento:	50,0 [anni]

Parametri sismici su sito di riferimento

Categoria sottosuolo:	C
Categoria topografica:	T1

S.L. Stato limite	TR Tempo ritorno [anni]	ag [m/s ²]	F0 [-]	TC* [sec]
S.L.O.	30,0	0,48	2,41	0,29
S.L.D.	50,0	0,59	2,49	0,33
S.L.V.	475,0	1,55	2,55	0,44
S.L.C.	975,0	2,04	2,57	0,46

Coefficienti sismici orizzontali e verticali

Opera:	Classe II
--------	-----------

S.L. Stato limite	amax [m/s ²]	beta [-]	kh [-]	kv [sec]
S.L.O.	0,72	1,0	0,0734	0,0367
S.L.D.	0,885	0,47	0,0424	0,0212
S.L.V.	2,2601	0,38	0,0876	0,0438
S.L.C.	2,8136	1,0	0,2869	0,1435

Coefficiente azione sismica orizzontale	0,0734
Coefficiente azione sismica verticale	0,0367

Vertici profilo

Nr	X (m)	y (m)
1	0,0	1010,97
2	5,0	1011,23
3	10,0	1011,0
4	15,0	1010,93
5	20,0	1011,23
6	25,0	1011,56
7	30,0	1011,49
8	35,0	1011,64
9	40,0	1011,58
10	45,0	1011,52
11	50,0	1011,6
12	55,0	1011,46

Vertici strato1

N	X (m)	y (m)
1	0,0	1010,42
2	1,62	1010,67
3	4,45	1010,94
4	5,89	1010,94
5	7,0	1010,74
6	12,11	1010,53
7	13,07	1010,53
8	15,77	1010,6
9	18,39	1010,67
10	20,25	1010,67
11	22,67	1010,94
12	24,6	1011,08
13	27,02	1011,01
14	29,02	1011,08
15	31,5	1011,22
16	34,13	1011,15
17	36,34	1011,15
18	38,82	1011,29
19	40,34	1011,01
20	42,0	1011,01
21	45,17	1011,01
22	46,62	1011,15
23	49,11	1011,29
24	50,62	1011,08
25	52,63	1011,01
26	55,0	1010,92

Vertici strato2

N	X (m)	y (m)
1	0,0	1006,83
2	1,62	1008,04
3	4,24	1008,25
4	6,72	1007,97
5	10,11	1007,77
6	13,76	1008,11
7	17,22	1008,46
8	19,29	1009,01
9	22,25	1009,01
10	23,63	1008,53

11	26,46	1007,97
12	29,57	1007,35
13	32,06	1007,35
14	34,33	1007,35
15	37,03	1007,42
16	40,34	1007,42
17	43,1	1007,84
18	45,1	1008,32
19	47,66	1007,84
20	50,9	1008,11
21	55,0	1007,96

Coefficienti parziali azioni

Sfavorevoli: Permanenti, variabili	1,0	1,0
Favorevoli: Permanenti, variabili	1,0	1,0

Coefficienti parziali per i parametri geotecnici del terreno

Tangente angolo di resistenza al taglio	1,25
Coesione efficace	1,25
Coesione non drenata	1,4
Riduzione parametri geotecnici terreno	No

Stratigrafia

Descrizione Litologica	Materiale di Alterazione Superficiale	Argilla grigia-azzurra con livelli di Marne e Calcarenit
Peso volume medio	$\gamma_m = 1,75 - 1,85 \text{ g/cm}^3$	$\gamma_m = 1,90 - 2,05 \text{ g/cm}^3$
Angolo di resistenza al taglio medio (tensioni efficaci, a lungo termine)	$\varphi_m = 18^\circ - 20^\circ$	$\varphi_m = 21^\circ - 26^\circ$
Coesione drenata media (tensioni efficaci, a lungo termine)	$C = 0,05 - 0,1 \text{ kg/cm}^2$	$C = 0,2 - 0,5 \text{ kg/cm}^2$
Coesione non drenata	$C_u = 0,5 - 0,8 \text{ kg/cm}^2$	$C_u = 0,8 - 1,0 \text{ kg/cm}^2$
Modulo di Poisson	$\nu = 0,25$	$\nu = 0,35$

Risultati analisi pendio

Fs minimo individuato	3,5
Ascissa centro superficie	45,38 m
Ordinata centro superficie	1017,5 m
Raggio superficie	6,32 m

Numero di superfici esaminate...(221)

N°	Xo	Yo	Ro	Fs
1	35,6	1015,7	7,6	6,30
2	36,1	1016,2	8,1	6,69
3	36,6	1015,7	7,6	6,60
4	37,0	1016,2	8,0	6,89

5	37,5	1015,7	7,6	7,03
6	38,0	1016,2	8,0	7,01
7	38,5	1015,7	7,5	7,36
8	39,0	1016,2	12,8	7,21
9	39,5	1015,7	12,4	7,26
10	40,0	1016,2	12,8	7,31
11	40,5	1015,7	7,5	7,48
12	41,0	1016,2	11,3	7,43
13	41,5	1015,7	11,9	7,36
14	41,9	1016,2	5,2	7,03
15	42,4	1015,7	7,9	7,16
16	42,9	1016,2	7,9	6,86
17	43,4	1015,7	7,4	6,92
18	43,9	1016,2	7,5	6,89
19	44,4	1015,7	6,9	6,71
20	44,9	1016,2	7,8	6,62
21	45,4	1015,7	6,4	6,38
22	35,6	1016,6	8,5	6,31
23	36,1	1017,1	9,0	6,48
24	36,6	1016,6	8,5	7,01
25	37,0	1017,1	8,9	6,76
26	37,5	1016,6	8,5	6,96
27	38,0	1017,1	8,9	7,04
28	38,5	1016,6	13,3	7,16
29	39,0	1017,1	12,5	7,31
30	39,5	1016,6	12,0	7,12
31	40,0	1017,1	14,8	7,17
32	40,5	1016,6	14,2	6,87
33	41,0	1017,1	14,0	6,86
34	41,5	1016,6	12,3	7,39
35	41,9	1017,1	6,0	4,51
36	42,4	1016,6	8,5	7,00
37	42,9	1017,1	8,6	6,96
38	43,4	1016,6	8,0	7,02
39	43,9	1017,1	9,0	6,94
40	44,4	1016,6	8,4	6,79
41	44,9	1017,1	8,4	6,73
42	45,4	1016,6	5,6	5,75
43	35,6	1017,5	9,4	6,34
44	36,1	1017,9	9,9	6,37
45	36,6	1017,5	9,4	6,71
46	37,0	1017,9	9,8	7,10
47	37,5	1017,5	9,4	6,87
48	38,0	1017,9	9,8	6,98
49	38,5	1017,5	14,2	6,99
50	39,0	1017,9	9,8	7,22
51	39,5	1017,5	12,9	7,21
52	40,0	1017,9	14,1	7,32
53	40,5	1017,5	13,5	7,23
54	41,0	1017,9	10,2	6,89
55	41,5	1017,5	6,5	4,56
56	41,9	1017,9	6,7	4,53
57	42,4	1017,5	9,1	7,09
58	42,9	1017,9	9,2	7,06
59	43,4	1017,5	9,5	6,99
60	43,9	1017,9	9,6	6,82
61	44,4	1017,5	9,0	6,76
62	44,9	1017,9	6,9	3,72
63	45,4	1017,5	6,3	3,50

64	35,6	1018,4	10,3	6,42
65	36,1	1018,8	10,8	6,42
66	36,6	1018,4	10,3	6,56
67	37,0	1018,8	10,7	6,80
68	37,5	1018,4	11,5	7,19
69	38,0	1018,8	10,7	6,93
70	38,5	1018,4	15,1	7,06
71	39,0	1018,8	10,5	7,23
72	39,5	1018,4	13,5	7,26
73	40,0	1018,8	11,3	6,72
74	40,5	1018,4	10,7	6,79
75	41,0	1018,8	7,8	4,52
76	41,5	1018,4	7,3	4,50
77	41,9	1018,8	11,3	7,06
78	42,4	1018,4	10,7	7,18
79	42,9	1018,8	10,7	6,80
80	43,4	1018,4	10,2	6,77
81	43,9	1018,8	10,2	6,93
82	44,4	1018,4	7,4	3,92
83	44,9	1018,8	7,6	3,73
84	45,4	1018,4	9,8	6,74
85	35,6	1019,3	11,2	6,33
86	36,1	1019,7	11,7	6,50
87	36,6	1019,3	11,2	6,51
88	37,0	1019,7	11,6	6,63
89	37,5	1019,3	17,2	7,08
90	38,0	1019,7	12,8	7,04
91	38,5	1019,3	11,1	6,99
92	39,0	1019,7	15,8	7,31
93	39,5	1019,3	11,8	6,77
94	40,0	1019,7	11,9	6,78
95	40,5	1019,3	11,4	6,83
96	41,0	1019,7	8,6	4,53
97	41,5	1019,3	8,1	4,51
98	41,9	1019,7	11,9	6,86
99	42,4	1019,3	11,3	6,85
100	42,9	1019,7	10,6	7,33
101	43,4	1019,3	10,8	6,87
102	43,9	1019,7	8,7	4,10
103	44,4	1019,3	8,2	3,92
104	44,9	1019,7	11,1	6,79
105	45,4	1019,3	11,1	6,74
106	35,6	1020,2	12,1	6,27
107	36,1	1020,6	12,6	6,60
108	36,6	1020,2	12,1	6,53
109	37,0	1020,6	12,5	6,56
110	37,5	1020,2	12,1	6,84
111	38,0	1020,6	13,5	7,05
112	38,5	1020,2	11,8	7,06
113	39,0	1020,6	13,0	6,98
114	39,5	1020,2	12,5	6,82
115	40,0	1020,6	12,6	6,84
116	40,5	1020,2	9,1	6,06
117	41,0	1020,6	9,4	4,51
118	41,5	1020,2	8,9	4,54
119	41,9	1020,6	12,6	6,74
120	42,4	1020,2	12,0	6,75
121	42,9	1020,6	13,6	7,15
122	43,4	1020,2	9,2	6,62

123	43,9	1020,6	9,5	4,13
124	44,4	1020,2	9,0	3,94
125	44,9	1020,6	12,4	6,83
126	45,4	1020,2	10,5	6,80
127	35,6	1021,1	13,0	6,22
128	36,1	1021,5	13,5	6,49
129	36,6	1021,1	13,0	6,56
130	37,0	1021,5	13,4	6,54
131	37,5	1021,1	12,9	6,78
132	38,0	1021,5	14,2	6,86
133	38,5	1021,1	13,6	6,46
134	39,0	1021,5	13,7	6,95
135	39,5	1021,1	13,2	6,85
136	40,0	1021,5	10,4	6,14
137	40,5	1021,1	9,9	4,51
138	41,0	1021,5	10,2	4,52
139	41,5	1021,1	13,2	6,87
140	41,9	1021,5	13,2	6,83
141	42,4	1021,1	12,7	6,85
142	42,9	1021,5	10,5	6,84
143	43,4	1021,1	10,0	4,24
144	43,9	1021,5	10,3	4,17
145	44,4	1021,1	9,8	4,01
146	44,9	1021,5	13,1	6,92
147	45,4	1021,1	11,9	6,85
148	35,6	1022,0	13,9	6,29
149	36,1	1022,4	14,3	6,47
150	36,6	1022,0	13,9	6,61
151	37,0	1022,4	14,1	6,60
152	37,5	1022,0	13,6	6,83
153	38,0	1022,4	14,8	6,37
154	38,5	1022,0	14,3	6,51
155	39,0	1022,4	14,4	6,96
156	39,5	1022,0	13,8	6,83
157	40,0	1022,4	11,2	4,52
158	40,5	1022,0	10,7	4,53
159	41,0	1022,4	14,4	6,71
160	41,5	1022,0	13,8	6,93
161	41,9	1022,4	13,9	6,91
162	42,4	1022,0	13,4	6,94
163	42,9	1022,4	11,3	4,38
164	43,4	1022,0	10,8	4,30
165	43,9	1022,4	11,1	4,26
166	44,4	1022,0	13,7	6,88
167	44,9	1022,4	13,2	6,91
168	45,4	1022,0	10,9	3,56
169	35,6	1022,9	14,8	6,33
170	36,1	1023,3	15,2	6,47
171	36,6	1022,9	14,7	6,67
172	37,0	1023,3	16,0	6,42
173	37,5	1022,9	15,4	6,24
174	38,0	1023,3	15,5	6,43
175	38,5	1022,9	15,0	6,55
176	39,0	1023,3	16,1	6,95
177	39,5	1022,9	14,6	6,89
178	40,0	1023,3	12,0	4,54
179	40,5	1022,9	11,5	4,53
180	41,0	1023,3	15,1	6,78
181	41,5	1022,9	15,3	6,92

182	41,9	1023,3	15,4	6,89
183	42,4	1022,9	11,9	5,68
184	42,9	1023,3	12,2	4,43
185	43,4	1022,9	11,6	4,34
186	43,9	1023,3	13,8	7,00
187	44,4	1022,9	14,4	6,97
188	44,9	1023,3	12,2	3,71
189	45,4	1022,9	11,7	3,54
190	35,6	1023,8	15,7	6,36
191	36,1	1024,2	16,0	6,52
192	36,6	1023,8	16,5	6,56
193	37,0	1024,2	16,7	6,20
194	37,5	1023,8	16,1	6,29
195	38,0	1024,2	16,3	6,48
196	38,5	1023,8	15,7	6,60
197	39,0	1024,2	16,8	6,22
198	39,5	1023,8	16,2	6,36
199	40,0	1024,2	12,9	4,50
200	40,5	1023,8	15,7	6,62
201	41,0	1024,2	16,6	6,63
202	41,5	1023,8	16,0	6,71
203	41,9	1024,2	13,2	5,79
204	42,4	1023,8	12,7	4,47
205	42,9	1024,2	13,0	4,46
206	43,4	1023,8	12,4	4,42
207	43,9	1024,2	16,3	6,96
208	44,4	1023,8	15,1	7,05
209	44,9	1024,2	13,1	3,72
210	45,4	1023,8	12,5	3,53
211	35,6	1024,7	16,5	6,41
212	36,6	1024,7	17,2	6,14
213	37,5	1024,7	16,8	6,33
214	38,5	1024,7	16,4	6,66
215	39,5	1024,7	13,4	4,54
216	40,5	1024,7	16,4	6,68
217	41,5	1024,7	16,7	6,59
218	42,4	1024,7	13,5	4,51
219	43,4	1024,7	16,3	6,90
220	44,4	1024,7	13,6	3,85
221	45,4	1024,7	13,3	3,52

VERIFICA DI STABILITÀ POST OPERAM – AEROGENERATORE WTG3

Analisi di stabilità dei pendii con: FELLENIUS (1936)

Lat./Long.	41,322318/15,180547
Calcolo eseguito secondo	NTC 2018
Numero di strati	3,0
Numero dei conci	10,0
Grado di sicurezza ritenuto accettabile	1,3
Coefficiente parziale resistenza	1,0
Parametri geotecnici da usare. Angolo di attrito:	Picco
Analisi	Condizione drenata
Superficie di forma circolare	

Maglia dei Centri

Ascissa vertice sinistro inferiore xi	28,81 m
Ordinata vertice sinistro inferiore yi	1025,61 m
Ascissa vertice destro superiore xs	37,65 m
Ordinata vertice destro superiore ys	1032,69 m
Passo di ricerca	10,0
Numero di celle lungo x	10,0
Numero di celle lungo y	10,0

Coefficienti sismici [N.T.C.]

Dati generali

Tipo opera:	2 - Opere ordinarie
Classe d'uso:	Classe II
Vita nominale:	50,0 [anni]
Vita di riferimento:	50,0 [anni]

Parametri sismici su sito di riferimento

Categoria sottosuolo:	C
Categoria topografica:	T1

S.L. Stato limite	TR Tempo ritorno [anni]	ag [m/s ²]	F0 [-]	TC* [sec]
S.L.O.	30,0	0,48	2,41	0,29
S.L.D.	50,0	0,59	2,49	0,33
S.L.V.	475,0	1,55	2,55	0,44
S.L.C.	975,0	2,04	2,57	0,46

Coefficienti sismici orizzontali e verticali

Opera: Classe II

S.L. Stato limite	amax [m/s ²]	beta [-]	kh [-]	kv [sec]
S.L.O.	0,72	1,0	0,0734	0,0367
S.L.D.	0,885	0,47	0,0424	0,0212
S.L.V.	2,2601	0,38	0,0876	0,0438
S.L.C.	2,8136	1,0	0,2869	0,1435

Coefficiente azione sismica orizzontale 0,0734
 Coefficiente azione sismica verticale 0,0367

Vertici profilo

Nr	X (m)	y (m)
1	0,0	1010,97
2	5,0	1011,23
3	10,0	1011,0
4	15,0	1010,93
5	20,0	1011,23
6	25,0	1011,56
7	30,0	1011,49
8	35,0	1011,64
9	40,0	1011,58
10	45,0	1011,52
11	50,0	1011,6
12	55,0	1011,46

Vertici strato1

N	X (m)	y (m)
1	0,0	1010,42
2	1,62	1010,67
3	4,45	1010,94
4	5,89	1010,94
5	7,0	1010,74
6	12,11	1010,53
7	13,07	1010,53
8	15,77	1010,6
9	18,39	1010,67
10	20,25	1010,67
11	22,67	1010,94
12	24,6	1011,08
13	27,02	1011,01
14	29,02	1011,08
15	31,5	1011,22
16	34,13	1011,15
17	36,34	1011,15
18	38,82	1011,29
19	40,34	1011,01
20	42,0	1011,01
21	45,17	1011,01
22	46,62	1011,15
23	49,11	1011,29
24	50,62	1011,08
25	52,63	1011,01
26	55,0	1010,92

Vertici strato2

N	X (m)	y (m)
1	0,0	1006,83
2	1,62	1008,04
3	4,24	1008,25
4	6,72	1007,97
5	10,11	1007,77
6	13,76	1008,11
7	17,22	1008,46
8	19,29	1009,01
9	22,25	1009,01
10	23,63	1008,53

11	26,46	1007,97
12	29,57	1007,35
13	32,06	1007,35
14	34,33	1007,35
15	37,03	1007,42
16	40,34	1007,42
17	43,1	1007,84
18	45,1	1008,32
19	47,66	1007,84
20	50,9	1008,11
21	55,0	1007,96

Coefficienti parziali azioni

Sfavorevoli: Permanenti, variabili	1,0	1,0
Favorevoli: Permanenti, variabili	1,0	1,0

Coefficienti parziali per i parametri geotecnici del terreno

Tangente angolo di resistenza al taglio	1,25
Coesione efficace	1,25
Coesione non drenata	1,4
Riduzione parametri geotecnici terreno	No

Stratigrafia

Descrizione Litologica	Materiale di Alterazione Superficiale	Argilla grigia-azzurra con livelli di Marne e Calcareniti
Peso volume medio	$\gamma_m = 1,75 - 1,85 \text{ g/cm}^3$	$\gamma_m = 1,90 - 2,05 \text{ g/cm}^3$
Angolo di resistenza al taglio medio (tensioni efficaci, a lungotermine)	$\varphi_m = 18^\circ - 20^\circ$	$\varphi_m = 21^\circ - 26^\circ$
Coesione drenata media (tensioni efficaci, a lungo termine)	$C = 0,05 - 0,1 \text{ kg/cm}^2$	$C = 0,2 - 0,5 \text{ kg/cm}^2$
Coesione non drenata	$C_u = 0,5 - 0,8 \text{ kg/cm}^2$	$C_u = 0,8 - 1,0 \text{ kg/cm}^2$
Modulo di Poisson	$\nu = 0.25$	$\nu = 0.35$

Risultati analisi pendio

Fs minimo individuato	2,72
Ascissa centro superficie	31,02 m
Ordinata centro superficie	1032,34 m
Raggio superficie	20,89 m

Numero di superfici esaminate....(221)

N°	Xo	Yo	Ro	Fs
1	28,8	1025,6	14,3	4,25
2	29,2	1026,0	14,6	3,96
3	29,7	1025,6	14,2	3,59
4	30,1	1026,0	14,6	3,24

5	30,6	1025,6	17,7	5,56
6	31,0	1026,0	18,0	5,63
7	31,5	1025,6	17,7	5,70
8	31,9	1026,0	18,0	5,80
9	32,3	1025,6	17,6	5,94
10	32,8	1026,0	18,0	6,02
11	33,2	1025,6	17,6	6,11
12	33,7	1026,0	18,0	6,16
13	34,1	1025,6	16,4	6,14
14	34,6	1026,0	17,9	6,26
15	35,0	1025,6	16,3	6,34
16	35,4	1026,0	17,6	6,49
17	35,9	1025,6	17,2	6,52
18	36,3	1026,0	17,3	6,72
19	36,8	1025,6	17,9	6,23
20	37,2	1026,0	18,0	6,32
21	37,7	1025,6	17,5	6,37
22	28,8	1026,3	15,0	4,24
23	29,2	1026,7	15,3	3,93
24	29,7	1026,3	14,9	3,57
25	30,1	1026,7	15,3	3,23
26	30,6	1026,3	18,4	5,54
27	31,0	1026,7	18,7	5,60
28	31,5	1026,3	18,4	5,67
29	31,9	1026,7	18,7	5,76
30	32,3	1026,3	18,3	5,84
31	32,8	1026,7	18,7	6,03
32	33,2	1026,3	18,3	6,12
33	33,7	1026,7	18,7	6,14
34	34,1	1026,3	17,1	6,17
35	34,6	1026,7	18,5	6,28
36	35,0	1026,3	16,9	6,39
37	35,4	1026,7	19,3	6,51
38	35,9	1026,3	17,8	6,57
39	36,3	1026,7	17,9	6,78
40	36,8	1026,3	18,5	6,27
41	37,2	1026,7	18,6	6,37
42	37,7	1026,3	18,1	6,49
43	28,8	1027,0	15,7	4,23
44	29,2	1027,4	16,0	3,91
45	29,7	1027,0	15,7	3,58
46	30,1	1027,4	16,0	3,20
47	30,6	1027,0	19,1	6,03
48	31,0	1027,4	19,4	5,60
49	31,5	1027,0	19,1	5,64
50	31,9	1027,4	19,4	5,72
51	32,3	1027,0	19,1	5,88
52	32,8	1027,4	19,4	6,06
53	33,2	1027,0	19,0	6,12
54	33,7	1027,4	19,4	6,13
55	34,1	1027,0	17,8	6,20
56	34,6	1027,4	19,1	6,32
57	35,0	1027,0	17,6	6,45
58	35,4	1027,4	19,9	6,21
59	35,9	1027,0	19,4	6,62
60	36,3	1027,4	18,5	6,83
61	36,8	1027,0	19,1	6,30
62	37,2	1027,4	19,2	6,40
63	37,7	1027,0	19,6	6,15

64	28,8	1027,7	16,4	4,22
65	29,2	1028,1	16,7	3,90
66	29,7	1027,7	16,4	3,55
67	30,1	1028,1	16,7	3,20
68	30,6	1027,7	16,3	2,92
69	31,0	1028,1	20,2	5,58
70	31,5	1027,7	19,8	5,65
71	31,9	1028,1	20,1	5,69
72	32,3	1027,7	19,8	5,87
73	32,8	1028,1	20,1	6,06
74	33,2	1027,7	19,7	6,10
75	33,7	1028,1	20,0	6,14
76	34,1	1027,7	18,4	6,25
77	34,6	1028,1	19,7	6,35
78	35,0	1027,7	20,4	6,07
79	35,4	1028,1	20,5	6,23
80	35,9	1027,7	20,0	6,64
81	36,3	1028,1	19,1	6,67
82	36,8	1027,7	19,6	6,35
83	37,2	1028,1	19,8	6,44
84	37,7	1027,7	20,2	6,18
85	28,8	1028,4	17,1	4,21
86	29,2	1028,8	17,4	3,87
87	29,7	1028,4	17,1	3,58
88	30,1	1028,8	17,4	3,21
89	30,6	1028,4	17,0	2,93
90	31,0	1028,8	20,9	5,97
91	31,5	1028,4	20,5	5,63
92	31,9	1028,8	20,8	5,71
93	32,3	1028,4	20,5	5,86
94	32,8	1028,8	20,8	5,98
95	33,2	1028,4	20,4	6,09
96	33,7	1028,8	20,6	6,18
97	34,1	1028,4	20,2	6,29
98	34,6	1028,8	21,4	6,03
99	35,0	1028,4	20,9	6,10
100	35,4	1028,8	21,1	6,26
101	35,9	1028,4	20,6	6,65
102	36,3	1028,8	21,7	6,67
103	36,8	1028,4	20,2	6,39
104	37,2	1028,8	20,4	6,49
105	37,7	1028,4	20,8	6,21
106	28,8	1029,2	17,8	4,18
107	29,2	1029,5	18,1	3,87
108	29,7	1029,2	17,8	3,54
109	30,1	1029,5	18,1	3,19
110	30,6	1029,2	17,7	2,92
111	31,0	1029,5	21,6	5,89
112	31,5	1029,2	21,2	5,61
113	31,9	1029,5	21,5	5,72
114	32,3	1029,2	21,2	5,84
115	32,8	1029,5	21,5	5,96
116	33,2	1029,2	21,1	6,11
117	33,7	1029,5	21,2	6,21
118	34,1	1029,2	20,8	6,33
119	34,6	1029,5	22,0	6,06
120	35,0	1029,2	21,5	6,13
121	35,4	1029,5	21,6	6,29
122	35,9	1029,2	20,2	6,36

123	36,3	1029,5	20,4	6,54
124	36,8	1029,2	21,7	6,41
125	37,2	1029,5	21,0	6,54
126	37,7	1029,2	17,9	6,05
127	28,8	1029,9	18,5	4,15
128	29,2	1030,2	18,9	3,88
129	29,7	1029,9	18,5	3,52
130	30,1	1030,2	18,8	3,21
131	30,6	1029,9	18,4	2,90
132	31,0	1030,2	22,3	5,81
133	31,5	1029,9	21,9	5,98
134	31,9	1030,2	22,2	5,71
135	32,3	1029,9	21,9	5,83
136	32,8	1030,2	22,1	5,97
137	33,2	1029,9	21,7	6,14
138	33,7	1030,2	21,8	6,24
139	34,1	1029,9	22,5	6,03
140	34,6	1030,2	22,6	6,08
141	35,0	1029,9	22,1	6,15
142	35,4	1030,2	22,2	6,32
143	35,9	1029,9	20,8	6,41
144	36,3	1030,2	22,8	6,21
145	36,8	1029,9	22,3	6,43
146	37,2	1030,2	19,0	5,70
147	37,7	1029,9	18,6	4,36
148	28,8	1030,6	19,2	4,17
149	29,2	1030,9	19,6	3,85
150	29,7	1030,6	19,2	3,55
151	30,1	1030,9	19,5	3,20
152	30,6	1030,6	19,1	2,90
153	31,0	1030,9	23,0	5,74
154	31,5	1030,6	22,6	5,96
155	31,9	1030,9	23,0	5,71
156	32,3	1030,6	22,6	5,82
157	32,8	1030,9	22,7	6,00
158	33,2	1030,6	23,4	6,05
159	33,7	1030,9	23,5	5,86
160	34,1	1030,6	23,1	6,05
161	34,6	1030,9	23,2	6,11
162	35,0	1030,6	22,7	6,18
163	35,4	1030,9	23,8	6,29
164	35,9	1030,6	21,4	6,45
165	36,3	1030,9	23,4	6,23
166	36,8	1030,6	22,9	6,45
167	37,2	1030,9	19,7	4,21
168	37,7	1030,6	19,3	4,39
169	28,8	1031,3	19,9	4,12
170	29,2	1031,6	20,3	3,83
171	29,7	1031,3	19,9	3,52
172	30,1	1031,6	20,2	3,19
173	30,6	1031,3	19,9	2,90
174	31,0	1031,6	23,7	5,67
175	31,5	1031,3	23,3	5,92
176	31,9	1031,6	23,6	6,06
177	32,3	1031,3	23,2	5,85
178	32,8	1031,6	23,4	6,03
179	33,2	1031,3	24,0	6,08
180	33,7	1031,6	24,1	5,89
181	34,1	1031,3	23,6	6,07

182	34,6	1031,6	23,8	6,14
183	35,0	1031,3	23,3	6,22
184	35,4	1031,6	24,4	6,32
185	35,9	1031,3	23,9	5,97
186	36,3	1031,6	24,0	6,26
187	36,8	1031,3	20,1	5,39
188	37,2	1031,6	20,3	4,22
189	37,7	1031,3	19,9	4,43
190	28,8	1032,0	20,6	4,12
191	29,2	1032,3	21,0	3,85
192	29,7	1032,0	20,6	3,51
193	30,1	1032,3	20,9	3,20
194	30,6	1032,0	20,6	2,91
195	31,0	1032,3	20,9	2,72
196	31,5	1032,0	24,0	5,87
197	31,9	1032,3	24,3	6,08
198	32,3	1032,0	23,8	5,87
199	32,8	1032,3	24,0	6,07
200	33,2	1032,0	24,6	5,65
201	33,7	1032,3	24,7	5,91
202	34,1	1032,0	24,2	6,10
203	34,6	1032,3	24,4	6,17
204	35,0	1032,0	23,9	6,25
205	35,4	1032,3	25,0	6,15
206	35,9	1032,0	24,5	6,00
207	36,3	1032,3	21,2	5,12
208	36,8	1032,0	20,7	4,01
209	37,2	1032,3	21,0	4,24
210	37,7	1032,0	20,6	4,45
211	28,8	1032,7	21,4	4,12
212	29,7	1032,7	21,3	3,52
213	30,6	1032,7	21,3	2,92
214	31,5	1032,7	24,7	5,85
215	32,3	1032,7	24,4	5,90
216	33,2	1032,7	25,2	5,67
217	34,1	1032,7	24,8	6,12
218	35,0	1032,7	24,5	6,28
219	35,9	1032,7	25,1	6,03
220	36,8	1032,7	21,4	4,02
221	37,7	1032,7	21,3	4,47

VERIFICA DI STABILITÀ' PRE OPERAM – AEROGENERATORE WTG4

Analisi di stabilità dei pendii con: FELLENIUS (1936)

Lat./Long.	41,322318/15,180547
Calcolo eseguito secondo	NTC 2018
Numero di strati	3,0
Numero dei conci	10,0
Grado di sicurezza ritenuto accettabile	1,3
Coefficiente parziale resistenza	1,0
Parametri geotecnici da usare. Angolo di attrito:	Picco
Analisi	Condizione drenata
Superficie di forma circolare	

Maglia dei Centri

Ascissa vertice sinistro inferiore xi	22,53 m
Ordinata vertice sinistro inferiore yi	962,88 m
Ascissa vertice destro superiore xs	33,71 m
Ordinata vertice destro superiore ys	970,75 m
Passo di ricerca	10,0
Numero di celle lungo x	10,0
Numero di celle lungo y	10,0

Coefficienti sismici [N.T.C.]

Dati generali

Tipo opera:	2 - Opere ordinarie
Classe d'uso:	Classe II
Vita nominale:	50,0 [anni]
Vita di riferimento:	50,0 [anni]

Parametri sismici su sito di riferimento

Categoria sottosuolo:	C
Categoria topografica:	T1

S.L. Stato limite	TR Tempo ritorno [anni]	ag [m/s ²]	F0 [-]	TC* [sec]
S.L.O.	30,0	0,48	2,41	0,29
S.L.D.	50,0	0,59	2,49	0,33
S.L.V.	475,0	1,55	2,55	0,44
S.L.C.	975,0	2,04	2,57	0,46

Coefficienti sismici orizzontali e verticali

Opera:	Classe II
--------	-----------

S.L. Stato limite	amax [m/s ²]	beta [-]	kh [-]	kv [sec]
S.L.O.	0,72	1,0	0,0734	0,0367
S.L.D.	0,885	0,47	0,0424	0,0212
S.L.V.	2,2601	0,38	0,0876	0,0438
S.L.C.	2,8136	1,0	0,2869	0,1435

Coefficiente azione sismica orizzontale 0,0734

Coefficiente azione sismica verticale

0,0367

Vertici profilo

Nr	X (m)	y (m)
1	0,0	962,85
2	5,0	962,17
3	10,0	961,54
4	15,0	960,81
5	20,0	960,14
6	25,0	959,56
7	30,0	959,05
8	35,0	958,52
9	40,0	957,95
10	45,0	957,34
11	50,0	956,82
12	55,0	956,36

Vertici strato1

N	X (m)	y (m)
1	0,0	962,16
2	1,13	962,37
3	3,76	961,75
4	5,07	961,75
5	7,76	960,99
6	9,42	960,99
7	11,21	960,99
8	14,18	960,44
9	15,42	960,09
10	18,18	959,54
11	20,11	959,81
12	21,84	959,4
13	24,81	958,92
14	27,57	958,92
15	29,09	958,5
16	30,54	958,43
17	32,4	958,02
18	34,68	957,95
19	36,68	957,81
20	37,85	957,47
21	39,58	957,4
22	41,17	957,19
23	43,03	956,57
24	46,0	956,57
25	47,86	956,5
26	49,31	956,16
27	51,94	956,02
28	55,0	955,48

Vertici strato2

N	X (m)	y (m)
1	0,0	953,29
2	2,93	953,53
3	5,07	954,08
4	9,07	953,67
5	11,76	952,64
6	15,14	951,94

7	19,49	951,53
8	22,25	950,77
9	28,6	951,12
10	35,44	951,53
11	37,72	952,64
12	42,75	953,33
13	46,34	953,26
14	49,24	951,39
15	55,0	949,86

Coefficienti parziali azioni

Sfavorevoli: Permanenti, variabili	1,0	1,0
Favorevoli: Permanenti, variabili	1,0	1,0

Coefficienti parziali per i parametri geotecnici del terreno

Tangente angolo di resistenza al taglio	1,25
Coesione efficace	1,25
Coesione non drenata	1,4
Riduzione parametri geotecnici terreno	No

Stratigrafia

Descrizione Litologica	Materiale di Alterazione Superficiale	Argilla grigia-azzurra con livelli di Marne e Calcarenit
Peso volume medio	$\gamma_m = 1,75 - 1,85 \text{ g/cm}^3$	$\gamma_m = 1,90 - 2,05 \text{ g/cm}^3$
Angolo di resistenza al taglio medio (tensioni efficaci, a lungotermine)	$\varphi_m = 18^\circ - 20^\circ$	$\varphi_m = 21^\circ - 26^\circ$
Coesione drenata media (tensioni efficaci, a lungo termine)	$C = 0,05 - 0,1 \text{ kg/cm}^2$	$C = 0,2 - 0,5 \text{ kg/cm}^2$
Coesione non drenata	$C_u = 0,5 - 0,8 \text{ kg/cm}^2$	$C_u = 0,8 - 1,0 \text{ kg/cm}^2$
Modulo di Poisson	$\nu = 0.25$	$\nu = 0.35$

Risultati analisi pendio

Fs minimo individuato	20,0
Ascissa centro superficie	22,53 m
Ordinata centro superficie	962,88 m
Raggio superficie	4,11 m

Numero di superfici esaminate....(221)

N°	Xo	Yo	Ro	Fs
1	22,5	962,9	4,1	20,00
2	23,1	963,3	4,6	20,00
3	23,6	962,9	4,2	20,00
4	24,2	963,3	4,7	20,00
5	24,8	962,9	4,4	20,00
6	25,3	963,3	4,8	20,00
7	25,9	962,9	4,5	20,00

8	26,4	963,3	4,9	20,00
9	27,0	962,9	4,6	20,00
10	27,6	963,3	5,0	20,00
11	28,1	962,9	4,7	20,00
12	28,7	963,3	5,2	20,00
13	29,2	962,9	4,8	20,00
14	29,8	963,3	5,3	20,00
15	30,4	962,9	5,0	20,00
16	30,9	963,3	5,4	20,00
17	31,5	962,9	5,1	20,00
18	32,0	963,3	5,5	20,00
19	32,6	962,9	5,2	20,00
20	33,2	963,3	5,7	20,00
21	33,7	962,9	5,3	20,00
22	22,5	963,7	4,9	20,00
23	23,1	964,1	5,3	20,00
24	23,6	963,7	5,0	20,00
25	24,2	964,1	5,5	20,00
26	24,8	963,7	5,1	20,00
27	25,3	964,1	5,6	20,00
28	25,9	963,7	5,3	20,00
29	26,4	964,1	5,7	20,00
30	27,0	963,7	5,4	20,00
31	27,6	964,1	5,8	20,00
32	28,1	963,7	5,5	20,00
33	28,7	964,1	6,0	20,00
34	29,2	963,7	5,6	20,00
35	29,8	964,1	6,1	20,00
36	30,4	963,7	5,7	20,00
37	30,9	964,1	6,2	20,00
38	31,5	963,7	5,9	20,00
39	32,0	964,1	6,3	20,00
40	32,6	963,7	6,0	20,00
41	33,2	964,1	6,4	20,00
42	33,7	963,7	6,1	20,00
43	22,5	964,5	5,7	20,00
44	23,1	964,9	6,1	20,00
45	23,6	964,5	5,8	20,00
46	24,2	964,9	6,2	20,00
47	24,8	964,5	5,9	20,00
48	25,3	964,9	6,4	20,00
49	25,9	964,5	6,0	20,00
50	26,4	964,9	6,5	20,00
51	27,0	964,5	6,2	20,00
52	27,6	964,9	6,6	20,00
53	28,1	964,5	6,3	20,00
54	28,7	964,9	6,7	20,00
55	29,2	964,5	6,4	20,00
56	29,8	964,9	6,9	20,00
57	30,4	964,5	6,5	20,00
58	30,9	964,9	7,0	20,00
59	31,5	964,5	6,6	20,00
60	32,0	964,9	7,1	20,00
61	32,6	964,5	6,8	20,00
62	33,2	964,9	7,2	20,00
63	33,7	964,5	6,9	20,00
64	22,5	965,2	6,5	20,00
65	23,1	965,6	6,9	20,00
66	23,6	965,2	6,6	20,00

67	24,2	965,6	7,0	20,00
68	24,8	965,2	6,7	20,00
69	25,3	965,6	7,2	20,00
70	25,9	965,2	6,8	20,00
71	26,4	965,6	7,3	20,00
72	27,0	965,2	6,9	20,00
73	27,6	965,6	7,4	20,00
74	28,1	965,2	7,1	20,00
75	28,7	965,6	7,5	20,00
76	29,2	965,2	7,2	20,00
77	29,8	965,6	7,6	20,00
78	30,4	965,2	7,3	20,00
79	30,9	965,6	7,8	20,00
80	31,5	965,2	7,4	20,00
81	32,0	965,6	7,9	20,00
82	32,6	965,2	7,6	20,00
83	33,2	965,6	8,0	20,00
84	33,7	965,2	7,7	20,00
85	22,5	966,0	7,2	20,00
86	23,1	966,4	7,7	20,00
87	23,6	966,0	7,4	20,00
88	24,2	966,4	7,8	20,00
89	24,8	966,0	7,5	20,00
90	25,3	966,4	7,9	20,00
91	25,9	966,0	7,6	20,00
92	26,4	966,4	8,1	20,00
93	27,0	966,0	7,7	20,00
94	27,6	966,4	8,2	20,00
95	28,1	966,0	7,8	20,00
96	28,7	966,4	8,3	20,00
97	29,2	966,0	8,0	20,00
98	29,8	966,4	8,4	20,00
99	30,4	966,0	8,1	20,00
100	30,9	966,4	8,5	20,00
101	31,5	966,0	8,2	20,00
102	32,0	966,4	8,7	20,00
103	32,6	966,0	8,3	20,00
104	33,2	966,4	8,8	20,00
105	33,7	966,0	8,5	20,00
106	22,5	966,8	8,0	20,00
107	23,1	967,2	8,5	20,00
108	23,6	966,8	8,1	20,00
109	24,2	967,2	8,6	20,00
110	24,8	966,8	8,3	20,00
111	25,3	967,2	8,7	20,00
112	25,9	966,8	8,4	20,00
113	26,4	967,2	8,8	20,00
114	27,0	966,8	8,5	20,00
115	27,6	967,2	9,0	20,00
116	28,1	966,8	8,6	20,00
117	28,7	967,2	9,1	20,00
118	29,2	966,8	8,8	20,00
119	29,8	967,2	9,2	20,00
120	30,4	966,8	8,9	20,00
121	30,9	967,2	9,3	20,00
122	31,5	966,8	9,0	20,00
123	32,0	967,2	9,4	20,00
124	32,6	966,8	9,1	20,00
125	33,2	967,2	9,6	20,00

126	33,7	966,8	9,2	20,00
127	22,5	967,6	8,8	20,00
128	23,1	968,0	9,3	20,00
129	23,6	967,6	8,9	20,00
130	24,2	968,0	9,4	20,00
131	24,8	967,6	9,0	20,00
132	25,3	968,0	9,5	20,00
133	25,9	967,6	9,2	20,00
134	26,4	968,0	9,6	20,00
135	27,0	967,6	9,3	20,00
136	27,6	968,0	9,7	20,00
137	28,1	967,6	9,4	20,00
138	28,7	968,0	9,9	20,00
139	29,2	967,6	9,5	20,00
140	29,8	968,0	10,0	20,00
141	30,4	967,6	9,7	20,00
142	30,9	968,0	10,1	20,00
143	31,5	967,6	9,8	20,00
144	32,0	968,0	10,2	20,00
145	32,6	967,6	9,9	20,00
146	33,2	968,0	10,3	20,00
147	33,7	967,6	10,0	20,00
148	22,5	968,4	9,6	20,00
149	23,1	968,8	10,0	20,00
150	23,6	968,4	9,7	20,00
151	24,2	968,8	10,2	20,00
152	24,8	968,4	9,8	20,00
153	25,3	968,8	10,3	20,00
154	25,9	968,4	9,9	20,00
155	26,4	968,8	10,4	20,00
156	27,0	968,4	10,1	20,00
157	27,6	968,8	10,5	20,00
158	28,1	968,4	10,2	20,00
159	28,7	968,8	10,6	20,00
160	29,2	968,4	10,3	20,00
161	29,8	968,8	10,8	20,00
162	30,4	968,4	10,4	20,00
163	30,9	968,8	10,9	20,00
164	31,5	968,4	10,6	20,00
165	32,0	968,8	11,0	20,00
166	32,6	968,4	10,7	20,00
167	33,2	968,8	11,1	20,00
168	33,7	968,4	10,8	20,00
169	22,5	969,2	10,4	20,00
170	23,1	969,6	10,8	20,00
171	23,6	969,2	10,5	20,00
172	24,2	969,6	10,9	20,00
173	24,8	969,2	10,6	20,00
174	25,3	969,6	11,1	20,00
175	25,9	969,2	10,7	20,00
176	26,4	969,6	11,2	20,00
177	27,0	969,2	10,9	20,00
178	27,6	969,6	11,3	20,00
179	28,1	969,2	11,0	20,00
180	28,7	969,6	11,4	20,00
181	29,2	969,2	11,1	20,00
182	29,8	969,6	11,5	20,00
183	30,4	969,2	11,2	20,00
184	30,9	969,6	11,7	20,00

185	31,5	969,2	11,3	20,00
186	32,0	969,6	11,8	20,00
187	32,6	969,2	11,5	20,00
188	33,2	969,6	11,9	20,00
189	33,7	969,2	11,6	20,00
190	22,5	970,0	11,1	20,00
191	23,1	970,4	11,6	20,00
192	23,6	970,0	11,3	20,00
193	24,2	970,4	11,7	20,00
194	24,8	970,0	11,4	20,00
195	25,3	970,4	11,8	20,00
196	25,9	970,0	11,5	20,00
197	26,4	970,4	12,0	20,00
198	27,0	970,0	11,6	20,00
199	27,6	970,4	12,1	20,00
200	28,1	970,0	11,8	20,00
201	28,7	970,4	12,2	20,00
202	29,2	970,0	11,9	20,00
203	29,8	970,4	12,3	20,00
204	30,4	970,0	12,0	20,00
205	30,9	970,4	12,5	20,00
206	31,5	970,0	12,1	20,00
207	32,0	970,4	12,6	20,00
208	32,6	970,0	12,2	20,00
209	33,2	970,4	12,7	20,00
210	33,7	970,0	12,4	20,00
211	22,5	970,8	11,9	20,00
212	23,6	970,8	12,0	20,00
213	24,8	970,8	12,2	20,00
214	25,9	970,8	12,3	20,00
215	27,0	970,8	12,4	20,00
216	28,1	970,8	12,5	20,00
217	29,2	970,8	12,7	20,00
218	30,4	970,8	12,8	20,00
219	31,5	970,8	12,9	20,00
220	32,6	970,8	13,0	20,00
221	33,7	970,8	13,1	20,00

VERIFICA DI STABILITÀ POST OPERAM – AEROGENERATORE WTG4

Analisi di stabilità dei pendii con: FELLENIUS (1936)

Lat./Long.	41,322318/15,180547
Calcolo eseguito secondo	NTC 2018
Numero di strati	3,0
Numero dei conci	10,0
Grado di sicurezza ritenuto accettabile	1,3
Coefficiente parziale resistenza	1,0
Parametri geotecnici da usare. Angolo di attrito:	Picco
Analisi	Condizione drenata
Superficie di forma circolare	

Maglia dei Centri

Ascissa vertice sinistro inferiore xi	23,73 m
Ordinata vertice sinistro inferiore yi	973,11 m
Ascissa vertice destro superiore xs	32,81 m
Ordinata vertice destro superiore ys	977,11 m
Passo di ricerca	10,0
Numero di celle lungo x	10,0
Numero di celle lungo y	10,0

Coefficienti sismici [N.T.C.]

Dati generali

Tipo opera:	2 - Opere ordinarie
Classe d'uso:	Classe II
Vita nominale:	50,0 [anni]
Vita di riferimento:	50,0 [anni]

Parametri sismici su sito di riferimento

Categoria sottosuolo:	C
Categoria topografica:	T1

S.L. Stato limite	TR Tempo ritorno [anni]	ag [m/s ²]	F0 [-]	TC* [sec]
S.L.O.	30,0	0,48	2,41	0,29
S.L.D.	50,0	0,59	2,49	0,33
S.L.V.	475,0	1,55	2,55	0,44
S.L.C.	975,0	2,04	2,57	0,46

Coefficienti sismici orizzontali e verticali

Opera:	Classe II
--------	-----------

S.L. Stato limite	amax [m/s ²]	beta [-]	kh [-]	kv [sec]
S.L.O.	0,72	1,0	0,0734	0,0367
S.L.D.	0,885	0,47	0,0424	0,0212
S.L.V.	2,2601	0,38	0,0876	0,0438
S.L.C.	2,8136	1,0	0,2869	0,1435

Coefficiente azione sismica orizzontale 0,0734

Coefficiente azione sismica verticale 0,0367

Vertici profilo

Nr	X (m)	y (m)
1	0,0	962,85
2	5,0	962,17
3	10,0	961,54
4	15,0	960,81
5	20,0	960,14
6	25,0	959,56
7	30,0	959,05
8	35,0	958,52
9	40,0	957,95
10	45,0	957,34
11	50,0	956,82
12	55,0	956,36

Vertici strato1

N	X (m)	y (m)
1	0,0	962,16
2	1,13	962,37
3	3,76	961,75
4	5,07	961,75
5	7,76	960,99
6	9,42	960,99
7	11,21	960,99
8	14,18	960,44
9	15,42	960,09
10	18,18	959,54
11	20,11	959,81
12	21,84	959,4
13	24,81	958,92
14	27,57	958,92
15	29,09	958,5
16	30,54	958,43
17	32,4	958,02
18	34,68	957,95
19	36,68	957,81
20	37,85	957,47
21	39,58	957,4
22	41,17	957,19
23	43,03	956,57
24	46,0	956,57
25	47,86	956,5
26	49,31	956,16
27	51,94	956,02
28	55,0	955,48

Vertici strato2

N	X (m)	y (m)
1	0,0	953,29
2	2,93	953,53
3	5,07	954,08
4	9,07	953,67
5	11,76	952,64
6	15,14	951,94

7	19,49	951,53
8	22,25	950,77
9	28,6	951,12
10	35,44	951,53
11	37,72	952,64
12	42,75	953,33
13	46,34	953,26
14	49,24	951,39
15	55,0	949,86

Coefficienti parziali azioni

Sfavorevoli: Permanenti, variabili	1,0	1,0
Favorevoli: Permanenti, variabili	1,0	1,0

Coefficienti parziali per i parametri geotecnici del terreno

Tangente angolo di resistenza al taglio	1,25
Coesione efficace	1,25
Coesione non drenata	1,4
Riduzione parametri geotecnici terreno	No

Stratigrafia

Descrizione Litologica	Materiale di Alterazione Superficiale	Argilla grigia-azzurra con livelli di Marne e Calcareniti
Peso volume medio	$\gamma_m = 1,75 - 1,85 \text{ g/cm}^3$	$\gamma_m = 1,90 - 2,05 \text{ g/cm}^3$
Angolo di resistenza al taglio medio (tensioni efficaci, a lungotermine)	$\varphi_m = 18^\circ - 20^\circ$	$\varphi_m = 21^\circ - 26^\circ$
Coesione drenata media (tensioni efficaci, a lungo termine)	$C = 0,05 - 0,1 \text{ kg/cm}^2$	$C = 0,2 - 0,5 \text{ kg/cm}^2$
Coesione non drenata	$C_u = 0,5 - 0,8 \text{ kg/cm}^2$	$C_u = 0,8 - 1,0 \text{ kg/cm}^2$
Modulo di Poisson	$\nu = 0,25$	$\nu = 0,35$

Risultati analisi pendio

Fs minimo individuato	20,0
Ascissa centro superficie	23,73 m
Ordinata centro superficie	973,11 m
Raggio superficie	14,35 m

Numero di superfici esaminate....(221)

N°	Xo	Yo	Ro	Fs
1	23,7	973,1	14,4	20,00
2	24,2	973,3	14,6	20,00
3	24,6	973,1	14,5	20,00
4	25,1	973,3	14,7	20,00
5	25,5	973,1	14,6	20,00
6	26,0	973,3	14,8	20,00
7	26,5	973,1	14,7	20,00

8	26,9	973,3	14,9	20,00
9	27,4	973,1	14,8	20,00
10	27,8	973,3	15,0	20,00
11	28,3	973,1	14,9	20,00
12	28,7	973,3	15,1	20,00
13	29,2	973,1	15,0	20,00
14	29,6	973,3	15,2	20,00
15	30,1	973,1	15,1	20,00
16	30,5	973,3	15,3	20,00
17	31,0	973,1	15,2	20,00
18	31,4	973,3	15,4	20,00
19	31,9	973,1	15,3	20,00
20	32,4	973,3	15,5	20,00
21	32,8	973,1	15,4	20,00
22	23,7	973,5	14,7	20,00
23	24,2	973,7	15,0	20,00
24	24,6	973,5	14,9	20,00
25	25,1	973,7	15,1	20,00
26	25,5	973,5	15,0	20,00
27	26,0	973,7	15,2	20,00
28	26,5	973,5	15,1	20,00
29	26,9	973,7	15,3	20,00
30	27,4	973,5	15,2	20,00
31	27,8	973,7	15,4	20,00
32	28,3	973,5	15,3	20,00
33	28,7	973,7	15,5	20,00
34	29,2	973,5	15,4	20,00
35	29,6	973,7	15,6	20,00
36	30,1	973,5	15,5	20,00
37	30,5	973,7	15,7	20,00
38	31,0	973,5	15,6	20,00
39	31,4	973,7	15,8	20,00
40	31,9	973,5	15,7	20,00
41	32,4	973,7	15,9	20,00
42	32,8	973,5	15,8	20,00
43	23,7	973,9	15,1	20,00
44	24,2	974,1	15,4	20,00
45	24,6	973,9	15,3	20,00
46	25,1	974,1	15,5	20,00
47	25,5	973,9	15,4	20,00
48	26,0	974,1	15,6	20,00
49	26,5	973,9	15,5	20,00
50	26,9	974,1	15,7	20,00
51	27,4	973,9	15,6	20,00
52	27,8	974,1	15,8	20,00
53	28,3	973,9	15,7	20,00
54	28,7	974,1	15,9	20,00
55	29,2	973,9	15,8	20,00
56	29,6	974,1	16,0	20,00
57	30,1	973,9	15,9	20,00
58	30,5	974,1	16,1	20,00
59	31,0	973,9	16,0	20,00
60	31,4	974,1	16,2	20,00
61	31,9	973,9	16,1	20,00
62	32,4	974,1	16,3	20,00
63	32,8	973,9	16,2	20,00
64	23,7	974,3	15,5	20,00
65	24,2	974,5	15,8	20,00
66	24,6	974,3	15,7	20,00

67	25,1	974,5	15,9	20,00
68	25,5	974,3	15,8	20,00
69	26,0	974,5	16,0	20,00
70	26,5	974,3	15,9	20,00
71	26,9	974,5	16,1	20,00
72	27,4	974,3	16,0	20,00
73	27,8	974,5	16,2	20,00
74	28,3	974,3	16,1	20,00
75	28,7	974,5	16,3	20,00
76	29,2	974,3	16,2	20,00
77	29,6	974,5	16,4	20,00
78	30,1	974,3	16,3	20,00
79	30,5	974,5	16,5	20,00
80	31,0	974,3	16,4	20,00
81	31,4	974,5	16,6	20,00
82	31,9	974,3	16,5	20,00
83	32,4	974,5	16,7	20,00
84	32,8	974,3	16,6	20,00
85	23,7	974,7	15,9	20,00
86	24,2	974,9	16,1	20,00
87	24,6	974,7	16,0	20,00
88	25,1	974,9	16,3	20,00
89	25,5	974,7	16,2	20,00
90	26,0	974,9	16,4	20,00
91	26,5	974,7	16,3	20,00
92	26,9	974,9	16,5	20,00
93	27,4	974,7	16,4	20,00
94	27,8	974,9	16,6	20,00
95	28,3	974,7	16,5	20,00
96	28,7	974,9	16,7	20,00
97	29,2	974,7	16,6	20,00
98	29,6	974,9	16,8	20,00
99	30,1	974,7	16,7	20,00
100	30,5	974,9	16,9	20,00
101	31,0	974,7	16,8	20,00
102	31,4	974,9	17,0	20,00
103	31,9	974,7	16,9	20,00
104	32,4	974,9	17,1	20,00
105	32,8	974,7	17,0	20,00
106	23,7	975,1	16,2	20,00
107	24,2	975,3	16,5	20,00
108	24,6	975,1	16,4	20,00
109	25,1	975,3	16,7	20,00
110	25,5	975,1	16,6	20,00
111	26,0	975,3	16,8	20,00
112	26,5	975,1	16,7	20,00
113	26,9	975,3	16,9	20,00
114	27,4	975,1	16,8	20,00
115	27,8	975,3	17,0	20,00
116	28,3	975,1	16,9	20,00
117	28,7	975,3	17,1	20,00
118	29,2	975,1	17,0	20,00
119	29,6	975,3	17,2	20,00
120	30,1	975,1	17,1	20,00
121	30,5	975,3	17,3	20,00
122	31,0	975,1	17,2	20,00
123	31,4	975,3	17,4	20,00
124	31,9	975,1	17,3	20,00
125	32,4	975,3	17,5	20,00

126	32,8	975,1	17,4	20,00
127	23,7	975,5	16,6	20,00
128	24,2	975,7	16,9	20,00
129	24,6	975,5	16,8	20,00
130	25,1	975,7	17,1	20,00
131	25,5	975,5	17,0	20,00
132	26,0	975,7	17,2	20,00
133	26,5	975,5	17,1	20,00
134	26,9	975,7	17,3	20,00
135	27,4	975,5	17,2	20,00
136	27,8	975,7	17,4	20,00
137	28,3	975,5	17,3	20,00
138	28,7	975,7	17,5	20,00
139	29,2	975,5	17,4	20,00
140	29,6	975,7	17,6	20,00
141	30,1	975,5	17,5	20,00
142	30,5	975,7	17,7	20,00
143	31,0	975,5	17,6	20,00
144	31,4	975,7	17,8	20,00
145	31,9	975,5	17,7	20,00
146	32,4	975,7	17,9	20,00
147	32,8	975,5	17,8	20,00
148	23,7	975,9	17,0	20,00
149	24,2	976,1	17,3	20,00
150	24,6	975,9	17,2	20,00
151	25,1	976,1	17,4	20,00
152	25,5	975,9	17,3	20,00
153	26,0	976,1	17,6	20,00
154	26,5	975,9	17,5	20,00
155	26,9	976,1	17,7	20,00
156	27,4	975,9	17,6	20,00
157	27,8	976,1	17,8	20,00
158	28,3	975,9	17,7	20,00
159	28,7	976,1	17,9	20,00
160	29,2	975,9	17,8	20,00
161	29,6	976,1	18,0	20,00
162	30,1	975,9	17,9	20,00
163	30,5	976,1	18,1	20,00
164	31,0	975,9	18,0	20,00
165	31,4	976,1	18,2	20,00
166	31,9	975,9	18,1	20,00
167	32,4	976,1	18,3	20,00
168	32,8	975,9	18,2	20,00
169	23,7	976,3	17,4	20,00
170	24,2	976,5	17,6	20,00
171	24,6	976,3	17,5	20,00
172	25,1	976,5	17,8	20,00
173	25,5	976,3	17,7	20,00
174	26,0	976,5	18,0	20,00
175	26,5	976,3	17,9	20,00
176	26,9	976,5	18,1	20,00
177	27,4	976,3	18,0	20,00
178	27,8	976,5	18,2	20,00
179	28,3	976,3	18,1	20,00
180	28,7	976,5	18,3	20,00
181	29,2	976,3	18,2	20,00
182	29,6	976,5	18,4	20,00
183	30,1	976,3	18,3	20,00
184	30,5	976,5	18,5	20,00

185	31,0	976,3	18,4	20,00
186	31,4	976,5	18,6	20,00
187	31,9	976,3	18,5	20,00
188	32,4	976,5	18,7	20,00
189	32,8	976,3	18,6	20,00
190	23,7	976,7	17,7	20,00
191	24,2	976,9	18,0	20,00
192	24,6	976,7	17,9	20,00
193	25,1	976,9	18,2	20,00
194	25,5	976,7	18,1	20,00
195	26,0	976,9	18,4	20,00
196	26,5	976,7	18,3	20,00
197	26,9	976,9	18,5	20,00
198	27,4	976,7	18,4	20,00
199	27,8	976,9	18,6	20,00
200	28,3	976,7	18,5	20,00
201	28,7	976,9	18,7	20,00
202	29,2	976,7	18,6	20,00
203	29,6	976,9	18,8	20,00
204	30,1	976,7	18,7	20,00
205	30,5	976,9	18,9	20,00
206	31,0	976,7	18,8	20,00
207	31,4	976,9	19,0	20,00
208	31,9	976,7	18,9	20,00
209	32,4	976,9	19,1	20,00
210	32,8	976,7	19,0	20,00
211	23,7	977,1	18,1	20,00
212	24,6	977,1	18,3	20,00
213	25,5	977,1	18,5	20,00
214	26,5	977,1	18,6	20,00
215	27,4	977,1	18,8	20,00
216	28,3	977,1	18,9	20,00
217	29,2	977,1	19,0	20,00
218	30,1	977,1	19,1	20,00
219	31,0	977,1	19,2	20,00
220	31,9	977,1	19,3	20,00
221	32,8	977,1	19,4	20,00

VERIFICA DI STABILITÀ' PRE OPERAM – AEROGENERATORE WTGS

Analisi di stabilità dei pendii con: FELLENIUS (1936)

Lat./Long.	41,322318/15,180547
Calcolo eseguito secondo	NTC 2018
Numero di strati	3,0
Numero dei conci	10,0
Grado di sicurezza ritenuto accettabile	1,3
Coefficiente parziale resistenza	1,0
Parametri geotecnici da usare. Angolo di attrito:	Picco
Analisi	Condizione drenata
Superficie di forma circolare	

Maglia dei Centri

Ascissa vertice sinistro inferiore xi	20,94 m
Ordinata vertice sinistro inferiore yi	935,2 m
Ascissa vertice destro superiore xs	28,26 m
Ordinata vertice destro superiore ys	941,76 m
Passo di ricerca	10,0
Numero di celle lungo x	10,0
Numero di celle lungo y	10,0

Coefficienti sismici [N.T.C.]

Dati generali

Tipo opera:	2 - Opere ordinarie
Classe d'uso:	Classe II
Vita nominale:	50,0 [anni]
Vita di riferimento:	50,0 [anni]

Parametri sismici su sito di riferimento

Categoria sottosuolo:	C
Categoria topografica:	T1

S.L. Stato limite	TR Tempo ritorno [anni]	ag [m/s ²]	F0 [-]	TC* [sec]
S.L.O.	30,0	0,48	2,41	0,29
S.L.D.	50,0	0,59	2,49	0,33
S.L.V.	475,0	1,55	2,55	0,44
S.L.C.	975,0	2,04	2,57	0,46

Coefficienti sismici orizzontali e verticali

Opera:	Classe II
--------	-----------

S.L. Stato limite	amax [m/s ²]	beta [-]	kh [-]	kv [sec]
S.L.O.	0,72	1,0	0,0734	0,0367
S.L.D.	0,885	0,47	0,0424	0,0212
S.L.V.	2,2601	0,38	0,0876	0,0438
S.L.C.	2,8136	1,0	0,2869	0,1435

Coefficiente azione sismica orizzontale 0,0734

Coefficiente azione sismica verticale

0,0367

Vertici profilo

Nr	X (m)	y (m)
1	0,0	931,78
2	5,0	931,98
3	10,0	932,38
4	15,0	931,85
5	20,0	932,16
6	25,0	931,74
7	30,0	931,46
8	35,0	931,2
9	40,0	930,71
10	45,0	930,04
11	50,0	929,34
12	55,0	928,55

Vertici strato1

N	X (m)	y (m)
1	0,0	930,51
2	3,06	930,85
3	5,76	931,26
4	8,52	931,26
5	11,55	931,26
6	14,39	930,85
7	17,63	930,92
8	20,11	931,61
9	22,05	931,47
10	24,6	930,71
11	27,09	930,57
12	29,57	930,64
13	32,19	930,64
14	35,71	930,3
15	38,61	930,37
16	41,72	929,74
17	44,48	928,92
18	46,55	928,71
19	49,04	928,64
20	52,0	928,36
21	55,0	927,68

Vertici strato2

N	X (m)	y (m)
1	0,0	925,73
2	4,65	926,29
3	9,35	925,6
4	11,97	925,6
5	15,7	925,4
6	18,39	925,47
7	21,7	925,67
8	28,05	925,74
9	30,81	925,67
10	34,33	924,43
11	37,16	924,57
12	40,61	924,71

13	45,86	925,26
14	49,73	925,19
15	51,11	923,39
16	55,0	922,51

Coefficienti parziali azioni

Sfavorevoli: Permanenti, variabili	1,0	1,0
Favorevoli: Permanenti, variabili	1,0	1,0

Coefficienti parziali per i parametri geotecnici del terreno

Tangente angolo di resistenza al taglio	1,25
Coesione efficace	1,25
Coesione non drenata	1,4
Riduzione parametri geotecnici terreno	No

Stratigrafia

Descrizione Litologica	Materiale di Alterazione Superficiale	Argilla grigia-azzurra con livelli di Marne e Calcarenti
Peso volume medio	$\gamma_m = 1,75 - 1,85 \text{ g/cm}^3$	$\gamma_m = 1,90 - 2,05 \text{ g/cm}^3$
Angolo di resistenza al taglio medio (tensioni efficaci, a lungotermine)	$\varphi_m = 18^\circ - 20^\circ$	$\varphi_m = 21^\circ - 26^\circ$
Coesione drenata media (tensioni efficaci, a lungo termine)	$C = 0,05 - 0,1 \text{ kg/cm}^2$	$C = 0,2 - 0,5 \text{ kg/cm}^2$
Coesione non drenata	$C_u = 0,5 - 0,8 \text{ kg/cm}^2$	$C_u = 0,8 - 1,0 \text{ kg/cm}^2$
Modulo di Poisson	$\nu = 0.25$	$\nu = 0.35$

Risultati analisi pendio

Fs minimo individuato	8,35
Ascissa centro superficie	20,94 m
Ordinata centro superficie	937,82 m
Raggio superficie	9,7 m

Numero di superfici esaminate....(221)

N°	Xo	Yo	Ro	Fs
1	20,9	935,2	8,6	8,67
2	21,3	935,5	8,9	8,86
3	21,7	935,2	8,6	8,82
4	22,0	935,5	9,0	9,18
5	22,4	935,2	11,5	10,00
6	22,8	935,5	10,5	10,23
7	23,1	935,2	10,2	10,35
8	23,5	935,5	10,5	10,91
9	23,9	935,2	13,0	11,09
10	24,2	935,5	11,9	11,17
11	24,6	935,2	11,6	11,01
12	25,0	935,5	11,9	12,00

13	25,3	935,2	13,0	11,54
14	25,7	935,5	13,3	11,31
15	26,1	935,2	13,0	11,40
16	26,4	935,5	13,3	12,56
17	26,8	935,2	11,5	13,64
18	27,2	935,5	11,9	13,79
19	27,5	935,2	4,3	12,38
20	27,9	935,5	4,6	13,30
21	28,3	935,2	4,3	13,66
22	20,9	935,9	7,7	8,76
23	21,3	936,2	9,6	9,35
24	21,7	935,9	9,3	8,98
25	22,0	936,2	9,6	9,17
26	22,4	935,9	9,3	9,42
27	22,8	936,2	11,1	10,36
28	23,1	935,9	10,8	9,90
29	23,5	936,2	11,2	11,07
30	23,9	935,9	9,4	10,95
31	24,2	936,2	12,6	11,48
32	24,6	935,9	12,2	11,59
33	25,0	936,2	12,6	11,98
34	25,3	935,9	13,7	11,76
35	25,7	936,2	14,0	11,30
36	26,1	935,9	13,6	10,96
37	26,4	936,2	14,0	12,49
38	26,8	935,9	15,1	13,59
39	27,2	936,2	15,4	13,77
40	27,5	935,9	5,0	14,23
41	27,9	936,2	5,3	13,90
42	28,3	935,9	4,9	13,49
43	20,9	936,5	8,4	8,54
44	21,3	936,8	8,8	8,99
45	21,7	936,5	9,9	9,37
46	22,0	936,8	10,3	9,37
47	22,4	936,5	10,0	9,31
48	22,8	936,8	10,3	9,69
49	23,1	936,5	11,5	10,82
50	23,5	936,8	13,2	11,16
51	23,9	936,5	11,5	11,27
52	24,2	936,8	10,4	11,32
53	24,6	936,5	12,9	12,01
54	25,0	936,8	13,2	12,27
55	25,3	936,5	14,3	12,09
56	25,7	936,8	14,6	11,46
57	26,1	936,5	14,3	11,51
58	26,4	936,8	14,6	12,66
59	26,8	936,5	14,3	13,86
60	27,2	936,8	16,1	14,15
61	27,5	936,5	5,6	13,98
62	27,9	936,8	5,9	15,64
63	28,3	936,5	5,6	13,81
64	20,9	937,2	9,0	8,48
65	21,3	937,5	9,4	8,77
66	21,7	937,2	10,6	9,85
67	22,0	937,5	10,9	9,72
68	22,4	937,2	10,6	9,37
69	22,8	937,5	11,0	9,84
70	23,1	937,2	10,7	10,38
71	23,5	937,5	11,0	10,35

72	23,9	937,2	13,6	11,14
73	24,2	937,5	12,5	11,57
74	24,6	937,2	12,1	11,85
75	25,0	937,5	13,9	12,73
76	25,3	937,2	13,5	12,47
77	25,7	937,5	13,9	12,54
78	26,1	937,2	15,0	12,04
79	26,4	937,5	13,8	12,82
80	26,8	937,2	14,9	13,79
81	27,2	937,5	15,3	14,28
82	27,5	937,2	13,5	14,86
83	27,9	937,5	6,6	14,89
84	28,3	937,2	6,2	13,69
85	20,9	937,8	9,7	8,35
86	21,3	938,1	10,1	8,71
87	21,7	937,8	9,8	9,50
88	22,0	938,1	11,6	10,14
89	22,4	937,8	11,3	9,78
90	22,8	938,1	11,6	9,85
91	23,1	937,8	11,3	10,18
92	23,5	938,1	11,7	10,25
93	23,9	937,8	14,2	11,04
94	24,2	938,1	13,1	11,68
95	24,6	937,8	12,8	11,56
96	25,0	938,1	11,7	12,31
97	25,3	937,8	14,2	12,70
98	25,7	938,1	14,5	12,49
99	26,1	937,8	14,2	12,46
100	26,4	938,1	14,5	12,53
101	26,8	937,8	15,6	13,99
102	27,2	938,1	15,9	14,29
103	27,5	937,8	15,6	15,54
104	27,9	938,1	7,2	14,53
105	28,3	937,8	6,9	13,77
106	20,9	938,5	10,3	8,86
107	21,3	938,8	10,7	8,96
108	21,7	938,5	10,4	9,40
109	22,0	938,8	12,2	9,77
110	22,4	938,5	11,9	10,15
111	22,8	938,8	12,3	9,98
112	23,1	938,5	12,0	9,75
113	23,5	938,8	12,3	10,46
114	23,9	938,5	12,0	10,85
115	24,2	938,8	12,4	11,40
116	24,6	938,5	13,4	12,12
117	25,0	938,8	13,8	12,48
118	25,3	938,5	12,0	12,81
119	25,7	938,8	15,2	12,60
120	26,1	938,5	14,8	12,21
121	26,4	938,8	15,2	12,80
122	26,8	938,5	16,3	13,80
123	27,2	938,8	16,6	14,51
124	27,5	938,5	16,2	14,56
125	27,9	938,8	7,9	14,69
126	28,3	938,5	17,7	15,60
127	20,9	939,1	11,0	8,79
128	21,3	939,5	11,4	9,56
129	21,7	939,1	11,1	9,39
130	22,0	939,5	11,4	9,80

131	22,4	939,1	12,6	10,10
132	22,8	939,5	12,9	10,18
133	23,1	939,1	12,6	9,71
134	23,5	939,5	13,0	10,67
135	23,9	939,1	12,7	10,57
136	24,2	939,5	13,0	10,95
137	24,6	939,1	12,7	12,34
138	25,0	939,5	14,4	12,67
139	25,3	939,1	14,1	12,93
140	25,7	939,5	15,8	12,79
141	26,1	939,1	15,5	12,67
142	26,4	939,5	15,8	12,96
143	26,8	939,1	15,5	14,30
144	27,2	939,5	17,2	14,93
145	27,5	939,1	16,9	14,69
146	27,9	939,5	17,2	14,82
147	28,3	939,1	8,2	14,90
148	20,9	939,8	11,7	8,81
149	21,3	940,1	12,0	9,60
150	21,7	939,8	11,7	9,47
151	22,0	940,1	12,1	9,77
152	22,4	939,8	13,2	10,02
153	22,8	940,1	13,6	9,97
154	23,1	939,8	13,3	10,37
155	23,5	940,1	13,6	10,59
156	23,9	939,8	13,3	10,77
157	24,2	940,1	13,7	10,66
158	24,6	939,8	13,3	11,60
159	25,0	940,1	13,6	12,07
160	25,3	939,8	14,7	12,91
161	25,7	940,1	15,0	12,65
162	26,1	939,8	14,7	13,12
163	26,4	940,1	16,5	13,27
164	26,8	939,8	16,1	13,60
165	27,2	940,1	16,4	14,88
166	27,5	939,8	17,6	14,98
167	27,9	940,1	17,9	15,67
168	28,3	939,8	8,8	14,99
169	20,9	940,4	12,3	8,88
170	21,3	940,8	12,7	9,68
171	21,7	940,4	12,4	10,03
172	22,0	940,8	12,7	9,85
173	22,4	940,4	13,9	9,97
174	22,8	940,8	14,2	10,27
175	23,1	940,4	13,9	10,76
176	23,5	940,8	14,3	10,86
177	23,9	940,4	14,0	10,92
178	24,2	940,8	14,3	10,86
179	24,6	940,4	14,0	11,14
180	25,0	940,8	14,3	11,85
181	25,3	940,4	16,8	13,00
182	25,7	940,8	15,7	12,60
183	26,1	940,4	15,4	12,74
184	26,4	940,8	15,7	12,67
185	26,8	940,4	16,8	13,78
186	27,2	940,8	17,1	14,87
187	27,5	940,4	18,2	15,41
188	27,9	940,8	15,6	16,11
189	28,3	940,4	9,5	14,95

190	20,9	941,1	13,0	9,21
191	21,3	941,4	13,3	9,79
192	21,7	941,1	13,0	10,04
193	22,0	941,4	13,4	9,93
194	22,4	941,1	14,5	9,98
195	22,8	941,4	14,9	10,42
196	23,1	941,1	14,6	10,72
197	23,5	941,4	14,9	11,18
198	23,9	941,1	14,6	11,15
199	24,2	941,4	15,0	10,96
200	24,6	941,1	14,6	10,87
201	25,0	941,4	15,0	11,53
202	25,3	941,1	14,6	12,78
203	25,7	941,4	16,4	12,65
204	26,1	941,1	16,0	12,50
205	26,4	941,4	16,3	12,38
206	26,8	941,1	17,4	14,09
207	27,2	941,4	17,8	14,99
208	27,5	941,1	17,4	15,35
209	27,9	941,4	10,5	16,37
210	28,3	941,1	10,1	15,19
211	20,9	941,8	12,1	9,28
212	21,7	941,8	13,7	10,07
213	22,4	941,8	15,2	10,04
214	23,1	941,8	15,2	10,78
215	23,9	941,8	15,3	11,09
216	24,6	941,8	15,3	11,00
217	25,3	941,8	15,3	12,28
218	26,1	941,8	16,7	12,40
219	26,8	941,8	16,7	13,92
220	27,5	941,8	18,1	15,38
221	28,3	941,8	10,8	16,12

VERIFICA DI STABILITÀ POST OPERAM – AEROGENERATORE WTG5

Analisi di stabilità dei pendii con: FELLENIUS (1936)

Lat./Long.	41,322318/15,180547
Calcolo eseguito secondo	NTC 2018
Numero di strati	3,0
Numero dei conci	10,0
Grado di sicurezza ritenuto accettabile	1,3
Coefficiente parziale resistenza	1,0
Parametri geotecnici da usare. Angolo di attrito:	Picco
Analisi	Condizione drenata
Superficie di forma circolare	

Maglia dei Centri

Ascissa vertice sinistro inferiore xi	20,1 m
Ordinata vertice sinistro inferiore yi	946,23 m
Ascissa vertice destro superiore xs	27,21 m
Ordinata vertice destro superiore ys	950,36 m
Passo di ricerca	10,0
Numero di celle lungo x	10,0
Numero di celle lungo y	10,0

Coefficienti sismici [N.T.C.]

Dati generali

Tipo opera:	2 - Opere ordinarie
Classe d'uso:	Classe II
Vita nominale:	50,0 [anni]
Vita di riferimento:	50,0 [anni]

Parametri sismici su sito di riferimento

Categoria sottosuolo:	C
Categoria topografica:	T1

S.L. Stato limite	TR Tempo ritorno [anni]	ag [m/s ²]	F0 [-]	TC* [sec]
S.L.O.	30,0	0,48	2,41	0,29
S.L.D.	50,0	0,59	2,49	0,33
S.L.V.	475,0	1,55	2,55	0,44
S.L.C.	975,0	2,04	2,57	0,46

Coefficienti sismici orizzontali e verticali

Opera:	Classe II
--------	-----------

S.L. Stato limite	amax [m/s ²]	beta [-]	kh [-]	kv [sec]
S.L.O.	0,72	1,0	0,0734	0,0367
S.L.D.	0,885	0,47	0,0424	0,0212
S.L.V.	2,2601	0,38	0,0876	0,0438
S.L.C.	2,8136	1,0	0,2869	0,1435

Coefficiente azione sismica orizzontale	0,0734
Coefficiente azione sismica verticale	0,0367

Vertici profilo

Nr	X (m)	y (m)
1	0,0	931,78
2	5,0	931,98
3	10,0	932,38
4	15,0	931,85
5	20,0	932,16
6	25,0	931,74
7	30,0	931,46
8	35,0	931,2
9	40,0	930,71
10	45,0	930,04
11	50,0	929,34
12	55,0	928,55

Vertici strato1

N	X (m)	y (m)
1	0,0	930,51
2	3,06	930,85
3	5,76	931,26
4	8,52	931,26
5	11,55	931,26
6	14,39	930,85
7	17,63	930,92
8	20,11	931,61
9	22,05	931,47
10	24,6	930,71
11	27,09	930,57
12	29,57	930,64
13	32,19	930,64
14	35,71	930,3
15	38,61	930,37
16	41,72	929,74
17	44,48	928,92
18	46,55	928,71
19	49,04	928,64
20	52,0	928,36
21	55,0	927,68

Vertici strato2

N	X (m)	y (m)
1	0,0	925,73
2	4,65	926,29
3	9,35	925,6
4	11,97	925,6
5	15,7	925,4
6	18,39	925,47
7	21,7	925,67
8	28,05	925,74
9	30,81	925,67
10	34,33	924,43
11	37,16	924,57
12	40,61	924,71
13	45,86	925,26
14	49,73	925,19

15	51,11	923,39
16	55,0	922,51

Coefficienti parziali azioni

Sfavorevoli: Permanenti, variabili	1,0	1,0
Favorevoli: Permanenti, variabili	1,0	1,0

Coefficienti parziali per i parametri geotecnici del terreno

Tangente angolo di resistenza al taglio	1,25
Coesione efficace	1,25
Coesione non drenata	1,4
Riduzione parametri geotecnici terreno	No

Stratigrafia

Descrizione Litologica	Materiale di Alterazione Superficiale	Argilla grigia-azzurra con livelli di Marne e Calcareni
<i>Peso volume medio</i>	$\gamma_m = 1,75 - 1,85 \text{ g/cm}^3$	$\gamma_m = 1,90 - 2,05 \text{ g/cm}^3$
<i>Angolo di resistenza al taglio medio (tensioni efficaci, a lungotermine)</i>	$\varphi_m = 18^\circ - 20^\circ$	$\varphi_m = 21^\circ - 26^\circ$
<i>Coesione drenata media (tensioni efficaci, a lungo termine)</i>	$C = 0,05 - 0,1 \text{ kg/cm}^2$	$C = 0,2 - 0,5 \text{ kg/cm}^2$
<i>Coesione non drenata</i>	$C_u = 0,5 - 0,8 \text{ kg/cm}^2$	$C_u = 0,8 - 1,0 \text{ kg/cm}^2$
<i>Modulo di Poisson</i>	$\nu = 0,25$	$\nu = 0,35$

Risultati analisi pendio

Fs minimo individuato	4,3
Ascissa centro superficie	20,1 m
Ordinata centro superficie	948,29 m
Raggio superficie	16,45 m

Numero di superfici esaminate....(221)

N°	Xo	Yo	Ro	Fs
1	20,1	946,2	14,6	4,35
2	20,5	946,4	14,9	7,12
3	20,8	946,2	16,1	8,96
4	21,2	946,4	16,4	9,28
5	21,5	946,2	16,3	10,19
6	21,9	946,4	16,6	10,67
7	22,2	946,2	18,0	11,18
8	22,6	946,4	18,3	11,19
9	22,9	946,2	18,2	11,31
10	23,3	946,4	18,5	11,72
11	23,7	946,2	18,3	11,58
12	24,0	946,4	18,5	12,11
13	24,4	946,2	19,8	11,67
14	24,7	946,4	18,5	12,23

15	25,1	946,2	18,3	12,71
16	25,4	946,4	19,9	12,89
17	25,8	946,2	19,7	12,60
18	26,1	946,4	19,9	12,52
19	26,5	946,2	19,7	12,49
20	26,9	946,4	19,9	13,65
21	27,2	946,2	21,1	15,51
22	20,1	946,6	14,9	4,37
23	20,5	946,8	15,2	4,98
24	20,8	946,6	15,1	8,46
25	21,2	946,8	16,8	9,33
26	21,5	946,6	16,7	10,31
27	21,9	946,8	17,0	10,22
28	22,2	946,6	17,0	11,07
29	22,6	946,8	18,7	11,29
30	22,9	946,6	18,6	11,38
31	23,3	946,8	18,9	11,75
32	23,7	946,6	18,7	11,64
33	24,0	946,8	18,9	11,81
34	24,4	946,6	20,2	11,77
35	24,7	946,8	19,0	12,15
36	25,1	946,6	18,7	12,82
37	25,4	946,8	20,4	13,06
38	25,8	946,6	20,1	12,70
39	26,1	946,8	20,3	12,55
40	26,5	946,6	20,1	12,35
41	26,9	946,8	20,3	13,55
42	27,2	946,6	20,1	15,47
43	20,1	947,1	15,3	4,33
44	20,5	947,3	15,6	4,98
45	20,8	947,1	15,5	8,61
46	21,2	947,3	17,1	9,39
47	21,5	947,1	17,1	10,41
48	21,9	947,3	17,4	10,27
49	22,2	947,1	18,7	11,06
50	22,6	947,3	19,0	11,39
51	22,9	947,1	19,0	11,46
52	23,3	947,3	19,3	11,79
53	23,7	947,1	19,1	12,25
54	24,0	947,3	19,4	11,81
55	24,4	947,1	19,2	11,82
56	24,7	947,3	19,4	12,09
57	25,1	947,1	19,1	12,71
58	25,4	947,3	20,8	13,24
59	25,8	947,1	20,5	12,79
60	26,1	947,3	20,7	12,58
61	26,5	947,1	20,5	12,21
62	26,9	947,3	20,7	13,46
63	27,2	947,1	20,5	15,19
64	20,1	947,5	15,7	4,33
65	20,5	947,7	16,0	4,97
66	20,8	947,5	15,9	7,06
67	21,2	947,7	17,5	9,43
68	21,5	947,5	17,4	9,76
69	21,9	947,7	17,7	10,33
70	22,2	947,5	21,8	11,02
71	22,6	947,7	19,3	11,48
72	22,9	947,5	19,3	11,55
73	23,3	947,7	19,6	11,85

74	23,7	947,5	19,5	12,11
75	24,0	947,7	19,8	11,53
76	24,4	947,5	19,6	11,83
77	24,7	947,7	19,8	12,05
78	25,1	947,5	19,6	12,64
79	25,4	947,7	19,7	13,31
80	25,8	947,5	21,0	12,91
81	26,1	947,7	21,1	12,63
82	26,5	947,5	20,9	12,24
83	26,9	947,7	21,1	13,40
84	27,2	947,5	20,9	14,98
85	20,1	947,9	16,1	4,31
86	20,5	948,1	16,4	4,99
87	20,8	947,9	16,3	5,75
88	21,2	948,1	17,8	9,50
89	21,5	947,9	17,8	9,79
90	21,9	948,1	18,1	10,36
91	22,2	947,9	18,0	10,84
92	22,6	948,1	22,4	11,13
93	22,9	947,9	19,7	11,63
94	23,3	948,1	20,0	11,93
95	23,7	947,9	19,9	12,11
96	24,0	948,1	20,2	12,06
97	24,4	947,9	20,0	11,83
98	24,7	948,1	20,2	12,01
99	25,1	947,9	20,0	12,56
100	25,4	948,1	20,2	13,22
101	25,8	947,9	21,4	13,02
102	26,1	948,1	21,6	12,71
103	26,5	947,9	21,3	12,61
104	26,9	948,1	21,5	13,37
105	27,2	947,9	21,3	14,79
106	20,1	948,3	16,4	4,30
107	20,5	948,5	16,7	4,99
108	20,8	948,3	16,6	5,77
109	21,2	948,5	16,9	8,85
110	21,5	948,3	18,1	9,86
111	21,9	948,5	18,4	10,44
112	22,2	948,3	18,4	10,90
113	22,6	948,5	22,7	11,18
114	22,9	948,3	20,0	11,38
115	23,3	948,5	20,3	11,68
116	23,7	948,3	20,3	11,84
117	24,0	948,5	20,6	12,00
118	24,4	948,3	20,4	11,86
119	24,7	948,5	20,6	12,01
120	25,1	948,3	20,4	12,53
121	25,4	948,5	20,6	13,14
122	25,8	948,3	21,8	13,17
123	26,1	948,5	22,0	12,79
124	26,5	948,3	21,7	12,75
125	26,9	948,5	21,9	13,34
126	27,2	948,3	21,7	14,18
127	20,1	948,7	16,8	4,32
128	20,5	948,9	17,1	4,98
129	20,8	948,7	17,0	5,79
130	21,2	948,9	17,3	6,65
131	21,5	948,7	18,5	9,92
132	21,9	948,9	18,8	10,48

133	22,2	948,7	18,7	10,97
134	22,6	948,9	23,0	11,23
135	22,9	948,7	20,3	11,43
136	23,3	948,9	20,7	11,73
137	23,7	948,7	20,6	11,89
138	24,0	948,9	21,0	11,99
139	24,4	948,7	20,8	11,92
140	24,7	948,9	21,0	12,00
141	25,1	948,7	20,8	12,50
142	25,4	948,9	21,0	13,08
143	25,8	948,7	22,2	13,32
144	26,1	948,9	22,4	12,97
145	26,5	948,7	22,2	12,88
146	26,9	948,9	22,4	13,67
147	27,2	948,7	22,1	14,11
148	20,1	949,1	18,4	7,90
149	20,5	949,3	17,5	4,98
150	20,8	949,1	17,4	5,81
151	21,2	949,3	17,7	6,67
152	21,5	949,1	18,9	9,98
153	21,9	949,3	19,2	10,56
154	22,2	949,1	19,1	11,02
155	22,6	949,3	23,3	11,27
156	22,9	949,1	23,4	11,20
157	23,3	949,3	21,0	11,79
158	23,7	949,1	21,0	11,95
159	24,0	949,3	21,3	12,05
160	24,4	949,1	21,2	11,63
161	24,7	949,3	21,4	12,01
162	25,1	949,1	21,2	12,51
163	25,4	949,3	21,4	13,04
164	25,8	949,1	22,6	13,31
165	26,1	949,3	22,8	13,18
166	26,5	949,1	22,6	13,03
167	26,9	949,3	22,8	13,75
168	27,2	949,1	22,5	14,05
169	20,1	949,5	18,7	7,94
170	20,5	949,7	17,9	5,01
171	20,8	949,5	17,8	5,82
172	21,2	949,7	18,1	6,69
173	21,5	949,5	19,2	10,05
174	21,9	949,7	19,5	10,61
175	22,2	949,5	19,5	11,11
176	22,6	949,7	23,7	11,33
177	22,9	949,5	23,7	11,26
178	23,3	949,7	24,0	11,65
179	23,7	949,5	21,3	12,00
180	24,0	949,7	21,6	12,12
181	24,4	949,5	21,6	12,20
182	24,7	949,7	21,8	12,03
183	25,1	949,5	21,6	12,53
184	25,4	949,7	21,8	13,04
185	25,8	949,5	23,0	13,30
186	26,1	949,7	23,2	13,41
187	26,5	949,5	23,0	13,20
188	26,9	949,7	23,2	13,88
189	27,2	949,5	23,0	14,03
190	20,1	949,9	19,1	7,30
191	20,5	950,1	18,3	5,01

192	20,8	949,9	18,2	5,82
193	21,2	950,1	18,4	6,74
194	21,5	949,9	18,4	7,75
195	21,9	950,1	19,9	10,67
196	22,2	949,9	19,8	11,16
197	22,6	950,1	24,0	11,37
198	22,9	949,9	24,0	11,31
199	23,3	950,1	24,4	11,70
200	23,7	949,9	21,7	12,05
201	24,0	950,1	22,0	12,16
202	24,4	949,9	22,0	11,75
203	24,7	950,1	22,2	12,30
204	25,1	949,9	22,0	12,58
205	25,4	950,1	22,2	13,02
206	25,8	949,9	23,4	13,29
207	26,1	950,1	23,6	13,64
208	26,5	949,9	23,4	13,37
209	26,9	950,1	23,6	14,02
210	27,2	949,9	23,4	14,02
211	20,1	950,4	19,5	7,35
212	20,8	950,4	18,5	5,88
213	21,5	950,4	18,7	7,78
214	22,2	950,4	20,2	11,24
215	22,9	950,4	24,3	11,36
216	23,7	950,4	22,0	12,10
217	24,4	950,4	22,3	11,83
218	25,1	950,4	22,4	12,61
219	25,8	950,4	23,8	13,28
220	26,5	950,4	23,8	13,56
221	27,2	950,4	23,8	14,41

VERIFICA DI STABILITÀ' PRE OPERAM – AEROGENERATORE WTG6

Analisi di stabilità dei pendii con: FELLENIUS (1936)

Lat./Long.	41,322318/15,180547
Calcolo eseguito secondo	NTC 2018
Numero di strati	3,0
Numero dei conci	10,0
Grado di sicurezza ritenuto accettabile	1,3
Coefficiente parziale resistenza	1,0
Parametri geotecnici da usare. Angolo di attrito:	Picco
Analisi	Condizione drenata
Superficie di forma circolare	

Maglia dei Centri

Ascissa vertice sinistro inferiore xi	51,39 m
Ordinata vertice sinistro inferiore yi	986,36 m
Ascissa vertice destro superiore xs	64,98 m
Ordinata vertice destro superiore ys	997,79 m
Passo di ricerca	10,0
Numero di celle lungo x	10,0
Numero di celle lungo y	10,0

Coefficienti sismici [N.T.C.]

Dati generali

Tipo opera:	2 - Opere ordinarie
Classe d'uso:	Classe II
Vita nominale:	50,0 [anni]
Vita di riferimento:	50,0 [anni]

Parametri sismici su sito di riferimento

Categoria sottosuolo:	C
Categoria topografica:	T1

S.L. Stato limite	TR Tempo ritorno [anni]	ag [m/s ²]	F0 [-]	TC* [sec]
S.L.O.	30,0	0,48	2,41	0,29
S.L.D.	50,0	0,59	2,49	0,33
S.L.V.	475,0	1,55	2,55	0,44
S.L.C.	975,0	2,04	2,57	0,46

Coefficienti sismici orizzontali e verticali

Opera:	Classe II
--------	-----------

S.L. Stato limite	amax [m/s ²]	beta [-]	kh [-]	kv [sec]
S.L.O.	0,72	1,0	0,0734	0,0367
S.L.D.	0,885	0,47	0,0424	0,0212
S.L.V.	2,2601	0,38	0,0876	0,0438
S.L.C.	2,8136	1,0	0,2869	0,1435

Coefficiente azione sismica orizzontale 0,0734

Coefficiente azione sismica verticale

0,0367

Vertici profilo

Nr	X (m)	y (m)
1	0,0	984,76
2	5,0	984,36
3	10,0	983,87
4	15,0	983,39
5	20,0	982,91
6	25,0	982,4
7	30,0	982,02
8	35,0	981,63
9	40,0	979,68
10	45,0	979,09
11	50,0	979,49
12	55,0	979,48
13	60,0	979,4
14	65,0	979,19
15	70,0	979,21
16	75,0	978,26
17	80,0	976,41
18	82,0	975,91

Vertici strato1

N	X (m)	y (m)
1	0,0	983,9
2	3,44	983,07
3	5,08	982,86
4	7,76	982,97
5	10,13	982,97
6	12,91	982,45
7	15,89	982,25
8	20,11	982,04
9	21,55	981,53
10	24,02	981,32
11	28,75	981,42
12	32,46	981,22
13	34,41	981,22
14	35,75	980,6
15	37,5	979,47
16	40,59	978,64
17	43,57	978,34
18	46,66	978,13
19	48,72	978,23
20	52,53	978,64
21	55,3	978,64
22	58,39	978,64
23	60,45	978,64
24	62,41	978,44
25	65,7	978,34
26	70,95	978,23
27	73,42	977,92
28	75,27	977,41
29	77,22	976,79
30	79,28	976,17
31	80,52	975,35

32	82,0	974,76
Vertici strato2		
N	X (m)	y (m)
1	0,0	975,13
2	4,78	975,76
3	8,79	976,28
4	13,32	976,07
5	19,59	975,45
6	26,49	975,76
7	30,91	974,63
8	35,34	973,6
9	39,97	972,98
10	44,09	973,09
11	47,79	973,19
12	50,98	974,01
13	57,36	973,6
14	63,02	972,78
15	65,49	972,57
16	68,48	972,47
17	70,95	971,95
18	76,71	971,23
19	78,97	971,23
20	82,0	970,99

Coefficienti parziali azioni

Sfavorevoli: Permanenti, variabili	1,0	1,0
Favorevoli: Permanenti, variabili	1,0	1,0

Coefficienti parziali per i parametri geotecnici del terreno

Tangente angolo di resistenza al taglio	1,25
Coesione efficace	1,25
Coesione non drenata	1,4
Riduzione parametri geotecnici terreno	No

Stratigrafia

Descrizione Litologica	Materiale di Alterazione	Argilla grigia-azzurra con livelli di Marne e Calcarenit
	Superficiale	
Peso volume medio	$\gamma_m = 1,75-1,85 \text{ g/cm}^3$	$\gamma_m = 1,90 - 2,05 \text{ g/cm}^3$
<i>Angolo di resistenza al taglio medio (tensioni efficaci, a lungotermine)</i>	$\varphi_m = 18^\circ - 20^\circ$	$\varphi_m = 21^\circ - 26^\circ$
<i>Coesione drenata media (tensioni efficaci, a lungo termine)</i>	$C = 0,05 - 0,1 \text{ kg/cm}^2$	$C = 0,2 - 0,5 \text{ kg/cm}^2$
<i>Coesione non drenata</i>	$C_u = 0,5 - 0,8 \text{ kg/cm}^2$	$C_u = 0,8 - 1,0 \text{ kg/cm}^2$
Modulo di Poisson	$\nu = 0.25$	$\nu = 0.35$

Risultati analisi pendio

Fs minimo individuato	3,21
Ascissa centro superficie	51,39 m
Ordinata centro superficie	990,93 m
Raggio superficie	12,02 m

Numero di superfici esaminate....(221)

N°	Xo	Yo	Ro	Fs
1	51,4	986,4	10,3	4,92
2	52,1	986,9	8,3	4,21
3	52,8	986,4	12,0	5,27
4	53,4	986,9	12,6	5,39
5	54,1	986,4	12,1	5,89
6	54,8	986,9	10,8	6,17
7	55,5	986,4	12,3	6,15
8	56,1	986,9	13,0	6,38
9	56,8	986,4	12,5	6,59
10	57,5	986,9	13,1	6,85
11	58,2	986,4	7,2	4,82
12	58,9	986,9	7,9	5,13
13	59,5	986,4	7,6	5,61
14	60,2	986,9	8,3	6,14
15	60,9	986,4	11,3	8,53
16	61,6	986,9	13,7	8,18
17	62,3	986,4	13,2	8,28
18	62,9	986,9	10,6	8,94
19	63,6	986,4	10,2	8,85
20	64,3	986,9	10,9	9,50
21	65,0	986,4	10,5	9,69
22	51,4	987,5	8,7	3,22
23	52,1	988,1	9,4	3,46
24	52,8	987,5	13,0	5,33
25	53,4	988,1	11,7	5,57
26	54,1	987,5	13,2	5,68
27	54,8	988,1	13,9	6,00
28	55,5	987,5	13,4	6,16
29	56,1	988,1	14,1	6,30
30	56,8	987,5	13,6	6,48
31	57,5	988,1	14,3	6,71
32	58,2	987,5	13,8	7,09
33	58,9	988,1	9,0	5,14
34	59,5	987,5	8,6	5,67
35	60,2	988,1	9,4	6,13
36	60,9	987,5	12,4	8,44
37	61,6	988,1	13,1	8,50
38	62,3	987,5	14,4	8,64
39	62,9	988,1	11,7	9,06
40	63,6	987,5	11,3	9,07
41	64,3	988,1	11,9	10,20
42	65,0	987,5	9,8	9,31
43	51,4	988,6	9,8	3,22
44	52,1	989,2	10,5	3,44
45	52,8	988,6	12,1	5,30
46	53,4	989,2	12,8	5,55
47	54,1	988,6	14,3	5,59

48	54,8	989,2	15,0	5,88
49	55,5	988,6	12,6	6,41
50	56,1	989,2	13,3	6,93
51	56,8	988,6	14,7	6,30
52	57,5	989,2	15,4	6,60
53	58,2	988,6	14,9	7,06
54	58,9	989,2	10,1	5,16
55	59,5	988,6	9,7	5,67
56	60,2	989,2	10,4	6,17
57	60,9	988,6	15,3	8,09
58	61,6	989,2	14,2	8,55
59	62,3	988,6	13,8	8,87
60	62,9	989,2	14,5	9,39
61	63,6	988,6	12,4	9,30
62	64,3	989,2	12,8	9,89
63	65,0	988,6	10,8	9,74
64	51,4	989,8	10,9	3,21
65	52,1	990,4	11,6	3,42
66	52,8	989,8	11,2	5,07
67	53,4	990,4	13,9	5,50
68	54,1	989,8	15,5	5,74
69	54,8	990,4	16,1	5,83
70	55,5	989,8	15,6	6,18
71	56,1	990,4	16,3	6,72
72	56,8	989,8	15,8	6,30
73	57,5	990,4	16,5	6,50
74	58,2	989,8	16,0	6,74
75	58,9	990,4	11,2	5,12
76	59,5	989,8	10,8	5,63
77	60,2	990,4	11,5	6,15
78	60,9	989,8	11,2	6,57
79	61,6	990,4	17,0	8,25
80	62,3	989,8	14,9	9,00
81	62,9	990,4	15,5	9,67
82	63,6	989,8	13,3	9,50
83	64,3	990,4	13,7	10,08
84	65,0	989,8	11,7	9,59
85	51,4	990,9	12,0	3,21
86	52,1	991,5	12,7	3,41
87	52,8	990,9	12,3	5,11
88	53,4	991,5	15,0	5,47
89	54,1	990,9	14,6	5,79
90	54,8	991,5	17,2	5,98
91	55,5	990,9	16,8	6,03
92	56,1	991,5	17,4	6,11
93	56,8	990,9	15,0	6,92
94	57,5	991,5	17,6	6,42
95	58,2	990,9	17,1	6,57
96	58,9	991,5	12,3	5,11
97	59,5	990,9	11,9	5,62
98	60,2	991,5	12,6	6,14
99	60,9	990,9	12,3	6,58
100	61,6	991,5	18,2	8,44
101	62,3	990,9	16,0	9,03
102	62,9	991,5	16,4	9,59
103	63,6	990,9	14,3	9,69
104	64,3	991,5	13,2	7,88
105	65,0	990,9	12,7	9,30
106	51,4	992,1	13,1	3,21

107	52,1	992,6	13,8	3,42
108	52,8	992,1	13,4	3,62
109	53,4	992,6	14,1	5,70
110	54,1	992,1	15,7	5,78
111	54,8	992,6	18,3	6,07
112	55,5	992,1	17,9	5,93
113	56,1	992,6	18,5	5,91
114	56,8	992,1	18,1	6,81
115	57,5	992,6	18,7	6,91
116	58,2	992,1	18,2	6,44
117	58,9	992,6	13,4	5,03
118	59,5	992,1	13,0	5,62
119	60,2	992,6	13,7	6,09
120	60,9	992,1	13,3	6,60
121	61,6	992,6	19,3	8,59
122	62,3	992,1	17,0	9,12
123	62,9	992,6	14,1	6,61
124	63,6	992,1	13,6	6,24
125	64,3	992,6	14,2	5,81
126	65,0	992,1	13,7	5,47
127	51,4	993,2	14,2	3,23
128	52,1	993,8	14,9	3,42
129	52,8	993,2	14,5	3,62
130	53,4	993,8	15,2	5,33
131	54,1	993,2	16,8	5,77
132	54,8	993,8	17,5	6,06
133	55,5	993,2	19,0	6,01
134	56,1	993,8	19,6	6,02
135	56,8	993,2	19,2	6,66
136	57,5	993,8	19,8	6,71
137	58,2	993,2	19,4	6,92
138	58,9	993,8	20,0	6,81
139	59,5	993,2	14,1	5,57
140	60,2	993,8	14,8	6,07
141	60,9	993,2	14,4	6,56
142	61,6	993,8	15,1	6,96
143	62,3	993,2	14,6	6,85
144	62,9	993,8	15,1	6,96
145	63,6	993,2	14,6	6,48
146	64,3	993,8	15,1	6,02
147	65,0	993,2	14,7	5,31
148	51,4	994,4	15,3	3,24
149	52,1	994,9	16,0	3,43
150	52,8	994,4	15,6	3,62
151	53,4	994,9	16,3	5,38
152	54,1	994,4	17,9	6,06
153	54,8	994,9	18,6	6,00
154	55,5	994,4	20,1	6,03
155	56,1	994,9	20,7	6,01
156	56,8	994,4	20,3	6,39
157	57,5	994,9	20,9	6,58
158	58,2	994,4	20,5	6,79
159	58,9	994,9	19,3	7,27
160	59,5	994,4	15,2	5,52
161	60,2	994,9	15,9	6,09
162	60,9	994,4	15,5	6,55
163	61,6	994,9	16,1	7,07
164	62,3	994,4	15,6	7,31
165	62,9	994,9	16,1	7,45

166	63,6	994,4	15,6	6,74
167	64,3	994,9	16,1	6,36
168	65,0	994,4	15,7	5,36
169	51,4	995,5	16,4	3,27
170	52,1	996,1	17,1	3,44
171	52,8	995,5	16,7	3,62
172	53,4	996,1	17,4	3,84
173	54,1	995,5	19,0	6,00
174	54,8	996,1	21,7	6,27
175	55,5	995,5	21,2	6,07
176	56,1	996,1	21,9	6,19
177	56,8	995,5	21,4	6,29
178	57,5	996,1	22,1	6,48
179	58,2	995,5	21,6	6,71
180	58,9	996,1	22,2	7,13
181	59,5	995,5	16,3	5,46
182	60,2	996,1	17,0	6,06
183	60,9	995,5	16,5	6,57
184	61,6	996,1	17,0	7,22
185	62,3	995,5	16,6	7,72
186	62,9	996,1	17,1	8,28
187	63,6	995,5	16,6	7,17
188	64,3	996,1	17,1	6,45
189	65,0	995,5	16,7	5,43
190	51,4	996,6	17,5	3,30
191	52,1	997,2	18,2	3,44
192	52,8	996,6	17,8	3,63
193	53,4	997,2	18,5	3,83
194	54,1	996,6	20,1	5,97
195	54,8	997,2	20,8	6,23
196	55,5	996,6	22,3	6,19
197	56,1	997,2	23,0	6,26
198	56,8	996,6	22,5	6,23
199	57,5	997,2	23,2	6,36
200	58,2	996,6	22,7	6,71
201	58,9	997,2	23,4	7,09
202	59,5	996,6	17,4	5,40
203	60,2	997,2	18,0	5,94
204	60,9	996,6	17,5	6,64
205	61,6	997,2	18,0	7,52
206	62,3	996,6	17,6	8,02
207	62,9	997,2	18,1	8,87
208	63,6	996,6	17,6	8,01
209	64,3	997,2	18,2	7,10
210	65,0	996,6	17,7	5,56
211	51,4	997,8	18,6	3,32
212	52,8	997,8	18,9	3,63
213	54,1	997,8	19,2	5,37
214	55,5	997,8	23,4	6,34
215	56,8	997,8	23,6	6,36
216	58,2	997,8	23,8	6,72
217	59,5	997,8	22,1	7,32
218	60,9	997,8	23,6	8,19
219	62,3	997,8	21,7	9,56
220	63,6	997,8	20,0	10,26
221	65,0	997,8	18,7	5,84

VERIFICA DI STABILITÀ' POST OPERAM – AEROGENERATORE WTG6

Analisi di stabilità dei pendii con: FELLENIUS (1936)

Lat./Long.	41,322318/15,180547
Calcolo eseguito secondo	NTC 2018
Numero di strati	3,0
Numero dei conci	10,0
Grado di sicurezza ritenuto accettabile	1,3
Coefficiente parziale resistenza	1,0
Parametri geotecnici da usare. Angolo di attrito:	Picco
Analisi	Condizione drenata
Superficie di forma circolare	

Maglia dei Centri

Ascissa vertice sinistro inferiore xi	51,39 m
Ordinata vertice sinistro inferiore yi	986,36 m
Ascissa vertice destro superiore xs	64,98 m
Ordinata vertice destro superiore ys	997,79 m
Passo di ricerca	10,0
Numero di celle lungo x	10,0
Numero di celle lungo y	10,0

Coefficienti sismici [N.T.C.]

Dati generali

Tipo opera:	2 - Opere ordinarie
Classe d'uso:	Classe II
Vita nominale:	50,0 [anni]
Vita di riferimento:	50,0 [anni]

Parametri sismici su sito di riferimento

Categoria sottosuolo:	C
Categoria topografica:	T1

S.L. Stato limite	TR Tempo ritorno [anni]	ag [m/s ²]	F0 [-]	TC* [sec]
S.L.O.	30,0	0,48	2,41	0,29
S.L.D.	50,0	0,59	2,49	0,33
S.L.V.	475,0	1,55	2,55	0,44
S.L.C.	975,0	2,04	2,57	0,46

Coefficienti sismici orizzontali e verticali

Opera: Classe II

S.L. Stato limite	amax [m/s ²]	beta [-]	kh [-]	kv [sec]
S.L.O.	0,72	1,0	0,0734	0,0367
S.L.D.	0,885	0,47	0,0424	0,0212
S.L.V.	2,2601	0,38	0,0876	0,0438
S.L.C.	2,8136	1,0	0,2869	0,1435

Coefficiente azione sismica orizzontale 0,0734
 Coefficiente azione sismica verticale 0,0367

Vertici profilo

Nr	X (m)	y (m)
1	0,0	984,76
2	5,0	984,36
3	10,0	983,87
4	15,0	983,39
5	20,0	982,91
6	25,0	982,4
7	30,0	982,02
8	35,0	981,63
9	40,0	979,68
10	45,0	979,09
11	50,0	979,49
12	55,0	979,48
13	60,0	979,4
14	65,0	979,19
15	70,0	979,21
16	75,0	978,26
17	80,0	976,41
18	82,0	975,91

Vertici strato1

N	X (m)	y (m)
1	0,0	983,9
2	3,44	983,07
3	5,08	982,86
4	7,76	982,97
5	10,13	982,97
6	12,91	982,45
7	15,89	982,25
8	20,11	982,04
9	21,55	981,53
10	24,02	981,32
11	28,75	981,42
12	32,46	981,22
13	34,41	981,22
14	35,75	980,6
15	37,5	979,47
16	40,59	978,64
17	43,57	978,34
18	46,66	978,13
19	48,72	978,23
20	52,53	978,64
21	55,3	978,64
22	58,39	978,64
23	60,45	978,64
24	62,41	978,44
25	65,7	978,34
26	70,95	978,23
27	73,42	977,92
28	75,27	977,41
29	77,22	976,79
30	79,28	976,17
31	80,52	975,35
32	82,0	974,76

Vertici strato2

N	X (m)	y (m)
1	0,0	975,13
2	4,78	975,76
3	8,79	976,28
4	13,32	976,07
5	19,59	975,45
6	26,49	975,76
7	30,91	974,63
8	35,34	973,6
9	39,97	972,98
10	44,09	973,09
11	47,79	973,19
12	50,98	974,01
13	57,36	973,6
14	63,02	972,78
15	65,49	972,57
16	68,48	972,47
17	70,95	971,95
18	76,71	971,23
19	78,97	971,23
20	82,0	970,99

Coefficienti parziali azioni

Sfavorevoli: Permanenti, variabili	1,0	1,0
Favorevoli: Permanent, variabili	1,0	1,0

Coefficienti parziali per i parametri geotecnici del terreno

Tangente angolo di resistenza al taglio	1,25
Coesione efficace	1,25
Coesione non drenata	1,4
Riduzione parametri geotecnici terreno	No

Stratigrafia

Descrizione Litologica	Materiale di Alterazione Superficiale	Argilla grigia-azzurra con livelli di Marne e Calcareniti
<i>Peso volume medio</i>	$\gamma_m = 1,75 - 1,85 \text{ g/cm}^3$	$\gamma_m = 1,90 - 2,05 \text{ g/cm}^3$
<i>Angolo di resistenza al taglio medio (tensioni efficaci, a lungotermine)</i>	$\varphi_m = 18^\circ - 20^\circ$	$\varphi_m = 21^\circ - 26^\circ$
<i>Coesione drenata media (tensioni efficaci, a lungo termine)</i>	$C = 0,05 - 0,1 \text{ kg/cm}^2$	$C = 0,2 - 0,5 \text{ kg/cm}^2$
<i>Coesione non drenata</i>	$C_u = 0,5 - 0,8 \text{ kg/cm}^2$	$C_u = 0,8 - 1,0 \text{ kg/cm}^2$
<i>Modulo di Poisson</i>	$\nu = 0.25$	$\nu = 0.35$

Risultati analisi pendio

Fs minimo individuato	3,01
Ascissa centro superficie	51,39 m

Ordinata centro superficie 990,93 m
 Raggio superficie 12,02 m

Numero di superfici esaminate...(221)

N°	Xo	Yo	Ro	Fs
1	51,4	986,4	10,3	4,92
2	52,1	986,9	8,3	4,21
3	52,8	986,4	12,0	5,27
4	53,4	986,9	12,6	5,39
5	54,1	986,4	12,1	5,89
6	54,8	986,9	10,8	6,17
7	55,5	986,4	12,3	6,15
8	56,1	986,9	13,0	6,38
9	56,8	986,4	12,5	6,59
10	57,5	986,9	13,1	6,85
11	58,2	986,4	7,2	4,82
12	58,9	986,9	7,9	5,13
13	59,5	986,4	7,6	5,61
14	60,2	986,9	8,3	6,14
15	60,9	986,4	11,3	8,53
16	61,6	986,9	13,7	8,18
17	62,3	986,4	13,2	8,28
18	62,9	986,9	10,6	8,94
19	63,6	986,4	10,2	8,85
20	64,3	986,9	10,9	9,50
21	65,0	986,4	10,5	9,69
22	51,4	987,5	8,7	3,22
23	52,1	988,1	9,4	3,46
24	52,8	987,5	13,0	5,33
25	53,4	988,1	11,7	5,57
26	54,1	987,5	13,2	5,68
27	54,8	988,1	13,9	6,00
28	55,5	987,5	13,4	6,16
29	56,1	988,1	14,1	6,30
30	56,8	987,5	13,6	6,48
31	57,5	988,1	14,3	6,71
32	58,2	987,5	13,8	7,09
33	58,9	988,1	9,0	5,14
34	59,5	987,5	8,6	5,67
35	60,2	988,1	9,4	6,13
36	60,9	987,5	12,4	8,44
37	61,6	988,1	13,1	8,50
38	62,3	987,5	14,4	8,64
39	62,9	988,1	11,7	9,06
40	63,6	987,5	11,3	9,07
41	64,3	988,1	11,9	10,20
42	65,0	987,5	9,8	9,31
43	51,4	988,6	9,8	3,22
44	52,1	989,2	10,5	3,44
45	52,8	988,6	12,1	5,30
46	53,4	989,2	12,8	5,55
47	54,1	988,6	14,3	5,59
48	54,8	989,2	15,0	5,88
49	55,5	988,6	12,6	6,41
50	56,1	989,2	13,3	6,93
51	56,8	988,6	14,7	6,30

52	57,5	989,2	15,4	6,60
53	58,2	988,6	14,9	7,06
54	58,9	989,2	10,1	5,16
55	59,5	988,6	9,7	5,67
56	60,2	989,2	10,4	6,17
57	60,9	988,6	15,3	8,09
58	61,6	989,2	14,2	8,55
59	62,3	988,6	13,8	8,87
60	62,9	989,2	14,5	9,39
61	63,6	988,6	12,4	9,30
62	64,3	989,2	12,8	9,89
63	65,0	988,6	10,8	9,74
64	51,4	989,8	10,9	3,21
65	52,1	990,4	11,6	3,42
66	52,8	989,8	11,2	5,07
67	53,4	990,4	13,9	5,50
68	54,1	989,8	15,5	5,74
69	54,8	990,4	16,1	5,83
70	55,5	989,8	15,6	6,18
71	56,1	990,4	16,3	6,72
72	56,8	989,8	15,8	6,30
73	57,5	990,4	16,5	6,50
74	58,2	989,8	16,0	6,74
75	58,9	990,4	11,2	5,12
76	59,5	989,8	10,8	5,63
77	60,2	990,4	11,5	6,15
78	60,9	989,8	11,2	6,57
79	61,6	990,4	17,0	8,25
80	62,3	989,8	14,9	9,00
81	62,9	990,4	15,5	9,67
82	63,6	989,8	13,3	9,50
83	64,3	990,4	13,7	10,08
84	65,0	989,8	11,7	9,59
85	51,4	990,9	12,0	3,21
86	52,1	991,5	12,7	3,41
87	52,8	990,9	12,3	5,11
88	53,4	991,5	15,0	5,47
89	54,1	990,9	14,6	5,79
90	54,8	991,5	17,2	5,98
91	55,5	990,9	16,8	6,03
92	56,1	991,5	17,4	6,11
93	56,8	990,9	15,0	6,92
94	57,5	991,5	17,6	6,42
95	58,2	990,9	17,1	6,57
96	58,9	991,5	12,3	5,11
97	59,5	990,9	11,9	5,62
98	60,2	991,5	12,6	6,14
99	60,9	990,9	12,3	6,58
100	61,6	991,5	18,2	8,44
101	62,3	990,9	16,0	9,03
102	62,9	991,5	16,4	9,59
103	63,6	990,9	14,3	9,69
104	64,3	991,5	13,2	7,88
105	65,0	990,9	12,7	9,30
106	51,4	992,1	13,1	3,21
107	52,1	992,6	13,8	3,42
108	52,8	992,1	13,4	3,62
109	53,4	992,6	14,1	5,70
110	54,1	992,1	15,7	5,78

111	54,8	992,6	18,3	6,07
112	55,5	992,1	17,9	5,93
113	56,1	992,6	18,5	5,91
114	56,8	992,1	18,1	6,81
115	57,5	992,6	18,7	6,91
116	58,2	992,1	18,2	6,44
117	58,9	992,6	13,4	5,03
118	59,5	992,1	13,0	5,62
119	60,2	992,6	13,7	6,09
120	60,9	992,1	13,3	6,60
121	61,6	992,6	19,3	8,59
122	62,3	992,1	17,0	9,12
123	62,9	992,6	14,1	6,61
124	63,6	992,1	13,6	6,24
125	64,3	992,6	14,2	5,81
126	65,0	992,1	13,7	5,47
127	51,4	993,2	14,2	3,23
128	52,1	993,8	14,9	3,42
129	52,8	993,2	14,5	3,62
130	53,4	993,8	15,2	5,33
131	54,1	993,2	16,8	5,77
132	54,8	993,8	17,5	6,06
133	55,5	993,2	19,0	6,01
134	56,1	993,8	19,6	6,02
135	56,8	993,2	19,2	6,66
136	57,5	993,8	19,8	6,71
137	58,2	993,2	19,4	6,92
138	58,9	993,8	20,0	6,81
139	59,5	993,2	14,1	5,57
140	60,2	993,8	14,8	6,07
141	60,9	993,2	14,4	6,56
142	61,6	993,8	15,1	6,96
143	62,3	993,2	14,6	6,85
144	62,9	993,8	15,1	6,96
145	63,6	993,2	14,6	6,48
146	64,3	993,8	15,1	6,02
147	65,0	993,2	14,7	5,31
148	51,4	994,4	15,3	3,24
149	52,1	994,9	16,0	3,43
150	52,8	994,4	15,6	3,62
151	53,4	994,9	16,3	5,38
152	54,1	994,4	17,9	6,06
153	54,8	994,9	18,6	6,00
154	55,5	994,4	20,1	6,03
155	56,1	994,9	20,7	6,01
156	56,8	994,4	20,3	6,39
157	57,5	994,9	20,9	6,58
158	58,2	994,4	20,5	6,79
159	58,9	994,9	19,3	7,27
160	59,5	994,4	15,2	5,52
161	60,2	994,9	15,9	6,09
162	60,9	994,4	15,5	6,55
163	61,6	994,9	16,1	7,07
164	62,3	994,4	15,6	7,31
165	62,9	994,9	16,1	7,45
166	63,6	994,4	15,6	6,74
167	64,3	994,9	16,1	6,36
168	65,0	994,4	15,7	5,36
169	51,4	995,5	16,4	3,27

170	52,1	996,1	17,1	3,44
171	52,8	995,5	16,7	3,62
172	53,4	996,1	17,4	3,84
173	54,1	995,5	19,0	6,00
174	54,8	996,1	21,7	6,27
175	55,5	995,5	21,2	6,07
176	56,1	996,1	21,9	6,19
177	56,8	995,5	21,4	6,29
178	57,5	996,1	22,1	6,48
179	58,2	995,5	21,6	6,71
180	58,9	996,1	22,2	7,13
181	59,5	995,5	16,3	5,46
182	60,2	996,1	17,0	6,06
183	60,9	995,5	16,5	6,57
184	61,6	996,1	17,0	7,22
185	62,3	995,5	16,6	7,72
186	62,9	996,1	17,1	8,28
187	63,6	995,5	16,6	7,17
188	64,3	996,1	17,1	6,45
189	65,0	995,5	16,7	5,43
190	51,4	996,6	17,5	3,30
191	52,1	997,2	18,2	3,44
192	52,8	996,6	17,8	3,63
193	53,4	997,2	18,5	3,83
194	54,1	996,6	20,1	5,97
195	54,8	997,2	20,8	6,23
196	55,5	996,6	22,3	6,19
197	56,1	997,2	23,0	6,26
198	56,8	996,6	22,5	6,23
199	57,5	997,2	23,2	6,36
200	58,2	996,6	22,7	6,71
201	58,9	997,2	23,4	7,09
202	59,5	996,6	17,4	5,40
203	60,2	997,2	18,0	5,94
204	60,9	996,6	17,5	6,64
205	61,6	997,2	18,0	7,52
206	62,3	996,6	17,6	8,02
207	62,9	997,2	18,1	8,87
208	63,6	996,6	17,6	8,01
209	64,3	997,2	18,2	7,10
210	65,0	996,6	17,7	5,56
211	51,4	997,8	18,6	3,32
212	52,8	997,8	18,9	3,63
213	54,1	997,8	19,2	5,37
214	55,5	997,8	23,4	6,34
215	56,8	997,8	23,6	6,36
216	58,2	997,8	23,8	6,72
217	59,5	997,8	22,1	7,32
218	60,9	997,8	23,6	8,19
219	62,3	997,8	21,7	9,56
220	63,6	997,8	20,0	10,26
221	65,0	997,8	18,7	5,84

VERIFICA DI STABILITÀ' PRE OPERAM – AEROGENERATORE WTG7

Analisi di stabilità dei pendii con: FELLENIUS (1936)

Lat./Long.	41,322318/15,180547
Calcolo eseguito secondo	NTC 2018
Numero di strati	3,0
Numero dei conci	10,0
Grado di sicurezza ritenuto accettabile	1,3
Coefficiente parziale resistenza	1,0
Parametri geotecnici da usare. Angolo di attrito:	Picco
Analisi	Condizione drenata
Superficie di forma circolare	

Maglia dei Centri

Ascissa vertice sinistro inferiore xi	33,9 m
Ordinata vertice sinistro inferiore yi	985,06 m
Ascissa vertice destro superiore xs	47,17 m
Ordinata vertice destro superiore ys	996,89 m
Passo di ricerca	10,0
Numero di celle lungo x	10,0
Numero di celle lungo y	10,0

Coefficienti sismici [N.T.C.]

Dati generali

Tipo opera:	2 - Opere ordinarie
Classe d'uso:	Classe II
Vita nominale:	50,0 [anni]
Vita di riferimento:	50,0 [anni]

Parametri sismici su sito di riferimento

Categoria sottosuolo:	C
Categoria topografica:	T1

S.L. Stato limite	TR Tempo ritorno [anni]	ag [m/s ²]	F0 [-]	TC* [sec]
S.L.O.	30,0	0,48	2,41	0,29
S.L.D.	50,0	0,59	2,49	0,33
S.L.V.	475,0	1,55	2,55	0,44
S.L.C.	975,0	2,04	2,57	0,46

Coefficienti sismici orizzontali e verticali

Opera:	Classe II
--------	-----------

S.L. Stato limite	amax [m/s ²]	beta [-]	kh [-]	kv [sec]
S.L.O.	0,72	1,0	0,0734	0,0367
S.L.D.	0,885	0,47	0,0424	0,0212
S.L.V.	2,2601	0,38	0,0876	0,0438
S.L.C.	2,8136	1,0	0,2869	0,1435

Coefficiente azione sismica orizzontale	0,0734
Coefficiente azione sismica verticale	0,0367

Vertici profilo

Nr	X (m)	y (m)
1	0,0	965,86
2	5,0	966,4
3	10,0	966,9
4	15,0	967,51
5	20,0	968,19
6	25,0	969,35
7	30,0	969,28
8	35,0	969,04
9	40,0	969,18
10	45,0	969,37
11	50,0	969,5
12	55,0	969,64
13	60,0	970,11
14	65,0	969,71
15	70,0	970,21
16	75,0	969,98
17	80,0	969,65
18	82,0	969,53

Vertici strato1

N	X (m)	y (m)
1	0,0	965,32
2	2,72	965,2
3	5,7	965,61
4	9,41	965,81
5	13,42	966,33
6	17,54	966,74
7	22,99	967,25
8	24,95	968,28
9	27,93	968,08
10	31,74	967,87
11	34,21	968,18
12	41,1	968,59
13	46,15	968,59
14	50,67	968,7
15	53,45	968,7
16	58,7	968,7
17	61,79	969,52
18	64,57	968,8
19	68,27	969,62
20	70,54	969,52
21	73,83	968,9
22	76,71	968,9
23	79,59	968,8
24	82,0	968,11

Vertici strato2

N	X (m)	y (m)
1	0,0	960,53
2	3,75	961,7
3	5,7	962,21
4	9,61	962,52

5	13,63	962,01
6	16,71	961,59
7	21,76	961,18
8	29,68	961,8
9	35,13	962,83
10	41,82	963,14
11	47,38	961,8
12	53,35	960,98
13	57,36	961,18
14	65,39	962,31
15	69,51	963,45
16	74,14	963,86
17	82,0	964,64

Coefficienti parziali azioni

Sfavorevoli: Permanenti, variabili	1,0	1,0
Favorevoli: Permanenti, variabili	1,0	1,0

Coefficienti parziali per i parametri geotecnici del terreno

Tangente angolo di resistenza al taglio	1,25
Coesione efficace	1,25
Coesione non drenata	1,4
Riduzione parametri geotecnici terreno	No

Stratigrafia

Descrizione Litologica	Materiale di Alterazione Superficiale	Argilla grigia-azzurra con livelli di Marne e Calcarenit
Peso volume medio	$\gamma_m = 1,75 - 1,85 \text{ g/cm}^3$	$\gamma_m = 1,90 - 2,05 \text{ g/cm}^3$
Angolo di resistenza al taglio medio (tensioni efficaci, a lungotermine)	$\varphi_m = 18^\circ - 20^\circ$	$\varphi_m = 21^\circ - 26^\circ$
Coesione drenata media (tensioni efficaci, a lungo termine)	$C = 0,05 - 0,1 \text{ kg/cm}^2$	$C = 0,2 - 0,5 \text{ kg/cm}^2$
Coesione non drenata	$C_u = 0,5 - 0,8 \text{ kg/cm}^2$	$C_u = 0,8 - 1,0 \text{ kg/cm}^2$
Modulo di Poisson	$\nu = 0,25$	$\nu = 0,35$

Risultati analisi pendio

Fs minimo individuato	3,6
Ascissa centro superficie	28,65 m
Ordinata centro superficie	984,34 m
Raggio superficie	21,6 m

Numero di superfici esaminate....(221)

N°	Xo	Yo	Ro	Fs
1	28,7	974,9	12,1	4,13
2	29,3	975,5	12,7	4,31

3	30,0	974,9	15,6	4,75
4	30,6	975,5	12,8	4,68
5	31,3	974,9	12,2	4,95
6	32,0	975,5	12,8	4,88
7	32,6	974,9	15,6	5,37
8	33,3	975,5	16,2	5,47
9	34,0	974,9	17,3	5,24
10	34,6	975,5	16,2	5,63
11	35,3	974,9	10,6	5,77
12	36,0	975,5	11,3	5,71
13	36,6	974,9	10,7	5,62
14	37,3	975,5	11,3	5,36
15	37,9	974,9	10,7	5,18
16	38,6	975,5	9,6	5,03
17	39,3	974,9	8,9	4,79
18	39,9	975,5	9,4	4,57
19	40,6	974,9	10,4	4,61
20	41,3	975,5	9,2	4,86
21	41,9	974,9	10,3	4,65
22	28,7	976,1	13,3	4,00
23	29,3	976,6	13,9	4,10
24	30,0	976,1	13,4	4,56
25	30,6	976,6	19,1	4,67
26	31,3	976,1	13,4	4,65
27	32,0	976,6	14,0	4,82
28	32,6	976,1	16,8	5,15
29	33,3	976,6	19,1	5,08
30	34,0	976,1	16,8	5,37
31	34,6	976,6	14,1	5,57
32	35,3	976,1	15,2	5,64
33	36,0	976,6	19,1	5,44
34	36,6	976,1	11,9	5,34
35	37,3	976,6	12,5	5,42
36	37,9	976,1	11,9	4,99
37	38,6	976,6	10,7	4,98
38	39,3	976,1	10,1	4,99
39	39,9	976,6	10,6	4,74
40	40,6	976,1	11,6	4,65
41	41,3	976,6	12,1	4,63
42	41,9	976,1	9,7	4,65
43	28,7	977,2	14,5	3,88
44	29,3	977,8	15,1	4,03
45	30,0	977,2	14,5	4,28
46	30,6	977,8	15,1	4,55
47	31,3	977,2	19,7	4,77
48	32,0	977,8	15,2	4,67
49	32,6	977,2	19,7	4,89
50	33,3	977,8	15,2	5,01
51	34,0	977,2	19,7	5,07
52	34,6	977,8	20,3	4,96
53	35,3	977,2	19,7	5,28
54	36,0	977,8	20,3	5,21
55	36,6	977,2	13,0	5,31
56	37,3	977,8	13,7	5,11
57	37,9	977,2	13,1	5,21
58	38,6	977,8	13,6	5,01
59	39,3	977,2	11,2	4,97
60	39,9	977,8	11,7	4,77
61	40,6	977,2	11,0	4,62

62	41,3	977,8	13,3	4,64
63	41,9	977,2	12,6	4,76
64	28,7	978,4	15,7	3,86
65	29,3	979,0	16,3	3,95
66	30,0	978,4	15,7	4,08
67	30,6	979,0	16,3	4,11
68	31,3	978,4	19,2	4,75
69	32,0	979,0	21,5	4,70
70	32,6	978,4	15,8	4,70
71	33,3	979,0	16,4	4,82
72	34,0	978,4	20,9	4,96
73	34,6	979,0	16,4	5,24
74	35,3	978,4	15,9	5,32
75	36,0	979,0	19,8	5,46
76	36,6	978,4	14,2	5,26
77	37,3	979,0	14,8	5,19
78	37,9	978,4	10,9	5,27
79	38,6	979,0	14,7	4,97
80	39,3	978,4	12,4	4,94
81	39,9	979,0	12,9	4,80
82	40,6	978,4	12,2	4,57
83	41,3	979,0	12,7	4,64
84	41,9	978,4	13,8	4,60
85	28,7	979,6	16,9	3,82
86	29,3	980,2	17,5	3,87
87	30,0	979,6	16,9	3,98
88	30,6	980,2	17,5	4,07
89	31,3	979,6	16,9	4,54
90	32,0	980,2	17,5	4,61
91	32,6	979,6	17,0	4,52
92	33,3	980,2	17,6	4,78
93	34,0	979,6	20,4	4,99
94	34,6	980,2	22,7	4,97
95	35,3	979,6	17,0	5,22
96	36,0	980,2	21,0	5,36
97	36,6	979,6	15,4	5,41
98	37,3	980,2	16,0	5,23
99	37,9	979,6	15,4	5,15
100	38,6	980,2	15,9	5,16
101	39,3	979,6	15,3	4,94
102	39,9	980,2	14,0	4,83
103	40,6	979,6	13,4	4,73
104	41,3	980,2	13,9	4,64
105	41,9	979,6	15,0	4,56
106	28,7	980,8	18,0	3,79
107	29,3	981,4	18,7	3,80
108	30,0	980,8	18,1	3,85
109	30,6	981,4	18,7	3,97
110	31,3	980,8	18,1	4,36
111	32,0	981,4	18,7	4,41
112	32,6	980,8	18,2	4,61
113	33,3	981,4	18,8	4,66
114	34,0	980,8	23,2	4,84
115	34,6	981,4	18,8	4,90
116	35,3	980,8	23,3	4,74
117	36,0	981,4	22,2	5,15
118	36,6	980,8	21,6	5,36
119	37,3	981,4	23,9	5,10
120	37,9	980,8	16,6	5,13

121	38,6	981,4	15,4	5,19
122	39,3	980,8	16,4	4,93
123	39,9	981,4	15,2	4,86
124	40,6	980,8	14,5	4,76
125	41,3	981,4	15,0	4,65
126	41,9	980,8	16,1	4,62
127	28,7	982,0	19,2	3,75
128	29,3	982,6	19,8	3,73
129	30,0	982,0	19,3	3,83
130	30,6	982,6	19,9	4,01
131	31,3	982,0	19,3	4,21
132	32,0	982,6	19,9	4,25
133	32,6	982,0	19,3	4,48
134	33,3	982,6	21,6	4,73
135	34,0	982,0	19,4	4,80
136	34,6	982,6	23,3	4,81
137	35,3	982,0	24,4	4,98
138	36,0	982,6	25,0	4,89
139	36,6	982,0	24,4	5,00
140	37,3	982,6	25,0	4,99
141	37,9	982,0	24,4	5,09
142	38,6	982,6	18,2	4,99
143	39,3	982,0	15,9	4,89
144	39,9	982,6	16,4	4,89
145	40,6	982,0	15,7	4,79
146	41,3	982,6	16,2	4,77
147	41,9	982,0	15,5	4,63
148	28,7	983,2	20,4	3,67
149	29,3	983,7	21,0	3,72
150	30,0	983,2	20,4	3,84
151	30,6	983,7	21,1	3,95
152	31,3	983,2	20,5	4,02
153	32,0	983,7	21,1	4,15
154	32,6	983,2	20,5	4,36
155	33,3	983,7	21,1	4,57
156	34,0	983,2	25,6	4,63
157	34,6	983,7	21,2	4,76
158	35,3	983,2	23,9	4,92
159	36,0	983,7	24,5	4,93
160	36,6	983,2	24,0	5,09
161	37,3	983,7	21,2	5,22
162	37,9	983,2	18,9	5,10
163	38,6	983,7	26,2	4,98
164	39,3	983,2	17,1	4,84
165	39,9	983,7	19,3	4,87
166	40,6	983,2	18,6	4,81
167	41,3	983,7	17,4	4,78
168	41,9	983,2	16,7	4,66
169	28,7	984,3	21,6	3,60
170	29,3	984,9	22,2	3,69
171	30,0	984,3	21,6	3,81
172	30,6	984,9	22,2	3,90
173	31,3	984,3	21,7	4,00
174	32,0	984,9	22,3	4,07
175	32,6	984,3	21,7	4,24
176	33,3	984,9	22,3	4,42
177	34,0	984,3	26,8	4,52
178	34,6	984,9	25,7	4,72
179	35,3	984,3	25,1	4,81

				Slope
180	36,0	984,9	27,4	4,84
181	36,6	984,3	26,8	4,79
182	37,3	984,9	22,4	5,11
183	37,9	984,3	26,8	4,84
184	38,6	984,9	27,4	4,86
185	39,3	984,3	18,2	5,12
186	39,9	984,9	20,4	4,84
187	40,6	984,3	19,8	4,75
188	41,3	984,9	18,5	4,79
189	41,9	984,3	17,9	4,67
190	28,7	985,5	22,8	3,67
191	29,3	986,1	23,4	3,65
192	30,0	985,5	22,8	3,78
193	30,6	986,1	23,4	3,85
194	31,3	985,5	22,8	3,93
195	32,0	986,1	23,5	4,06
196	32,6	985,5	22,9	4,24
197	33,3	986,1	23,5	4,35
198	34,0	985,5	26,3	4,59
199	34,6	986,1	26,9	4,64
200	35,3	985,5	28,0	4,74
201	36,0	986,1	26,9	4,78
202	36,6	985,5	28,0	4,70
203	37,3	986,1	28,6	4,68
204	37,9	985,5	28,0	4,80
205	38,6	986,1	26,9	4,96
206	39,3	985,5	19,4	5,09
207	39,9	986,1	19,9	4,83
208	40,6	985,5	20,9	4,74
209	41,3	986,1	19,7	4,81
210	41,9	985,5	19,0	4,66
211	28,7	986,7	24,0	3,63
212	30,0	986,7	24,0	3,76
213	31,3	986,7	24,0	3,91
214	32,6	986,7	24,1	4,14
215	34,0	986,7	24,1	4,48
216	35,3	986,7	27,5	4,70
217	36,6	986,7	24,2	4,93
218	37,9	986,7	27,5	5,03
219	39,3	986,7	27,4	4,94
220	40,6	986,7	22,1	4,76
221	41,9	986,7	20,2	4,65

VERIFICA DI STABILITÀ POST OPERAM – AEROGENERATORE WTG7

Analisi di stabilità dei pendii con: FELLENIUS (1936)

Lat./Long.	41,322318/15,180547
Calcolo eseguito secondo	NTC 2018
Numero di strati	3,0
Numero dei conci	10,0
Grado di sicurezza ritenuto accettabile	1,3
Coefficiente parziale resistenza	1,0
Parametri geotecnici da usare. Angolo di attrito:	Picco
Analisi	Condizione drenata
Superficie di forma circolare	

Maglia dei Centri

Ascissa vertice sinistro inferiore xi	33,9 m
Ordinata vertice sinistro inferiore yi	985,06 m
Ascissa vertice destro superiore xs	47,17 m
Ordinata vertice destro superiore ys	996,89 m
Passo di ricerca	10,0
Numero di celle lungo x	10,0
Numero di celle lungo y	10,0

Coefficienti sismici [N.T.C.]

Dati generali

Tipo opera:	2 - Opere ordinarie
Classe d'uso:	Classe II
Vita nominale:	50,0 [anni]
Vita di riferimento:	50,0 [anni]

Parametri sismici su sito di riferimento

Categoria sottosuolo:	C
Categoria topografica:	T1

S.L. Stato limite	TR Tempo ritorno [anni]	ag [m/s ²]	F0 [-]	TC* [sec]
S.L.O.	30,0	0,48	2,41	0,29
S.L.D.	50,0	0,59	2,49	0,33
S.L.V.	475,0	1,55	2,55	0,44
S.L.C.	975,0	2,04	2,57	0,46

Coefficienti sismici orizzontali e verticali

Opera:	Classe II
--------	-----------

S.L. Stato limite	amax [m/s ²]	beta [-]	kh [-]	kv [sec]
S.L.O.	0,72	1,0	0,0734	0,0367
S.L.D.	0,885	0,47	0,0424	0,0212
S.L.V.	2,2601	0,38	0,0876	0,0438
S.L.C.	2,8136	1,0	0,2869	0,1435

Coefficiente azione sismica orizzontale	0,0734
Coefficiente azione sismica verticale	0,0367

Vertici profilo

Nr	X (m)	y (m)
1	0,0	965,86
2	5,0	966,4
3	10,0	966,9
4	15,0	967,51
5	20,0	968,19
6	25,0	969,35
7	30,0	969,28
8	35,0	969,04
9	40,0	969,18
10	45,0	969,37
11	50,0	969,5
12	55,0	969,64
13	60,0	970,11
14	65,0	969,71
15	70,0	970,21
16	75,0	969,98
17	80,0	969,65
18	82,0	969,53

Vertici strato1

N	X (m)	y (m)
1	0,0	965,32
2	2,72	965,2
3	5,7	965,61
4	9,41	965,81
5	13,42	966,33
6	17,54	966,74
7	22,99	967,25
8	24,95	968,28
9	27,93	968,08
10	31,74	967,87
11	34,21	968,18
12	41,1	968,59
13	46,15	968,59
14	50,67	968,7
15	53,45	968,7
16	58,7	968,7
17	61,79	969,52
18	64,57	968,8
19	68,27	969,62
20	70,54	969,52
21	73,83	968,9
22	76,71	968,9
23	79,59	968,8
24	82,0	968,11

Vertici strato2

N	X (m)	y (m)
1	0,0	960,53
2	3,75	961,7
3	5,7	962,21
4	9,61	962,52
5	13,63	962,01
6	16,71	961,59

7	21,76	961,18
8	29,68	961,8
9	35,13	962,83
10	41,82	963,14
11	47,38	961,8
12	53,35	960,98
13	57,36	961,18
14	65,39	962,31
15	69,51	963,45
16	74,14	963,86
17	82,0	964,64

Coefficienti parziali azioni

Sfavorevoli: Permanenti, variabili	1,0	1,0
Favorevoli: Permanenti, variabili	1,0	1,0

Coefficienti parziali per i parametri geotecnici del terreno

Tangente angolo di resistenza al taglio	1,25
Coesione efficace	1,25
Coesione non drenata	1,4
Riduzione parametri geotecnici terreno	No

Stratigrafia

Descrizione Litologica	Materiale di Alterazione Superficiale	Argilla grigia-azzurra con livelli di Marne e Calcareniti
Peso volume medio	$\gamma_m = 1,75-1,85 \text{ g/cm}^3$	$\gamma_m = 1,90 - 2,05 \text{ g/cm}^3$
Angolo di resistenza al taglio medio (tensioni efficaci, a lungotermine)	$\varphi_m = 18^\circ - 20^\circ$	$\varphi_m = 21^\circ - 26^\circ$
Coesione drenata media (tensioni efficaci, a lungo termine)	$C = 0,05 - 0,1 \text{ kg/cm}^2$	$C = 0,2 - 0,5 \text{ kg/cm}^2$
Coesione non drenata	$C_u = 0,5 - 0,8 \text{ kg/cm}^2$	$C_u = 0,8 - 1,0 \text{ kg/cm}^2$
Modulo di Poisson	$\nu = 0.25$	$\nu = 0.35$

Risultati analisi pendio

Fs minimo individuato	2,62
Ascissa centro superficie	43,86 m
Ordinata centro superficie	986,83 m
Raggio superficie	18,23 m

Numero di superfici esaminate....(221)

N°	Xo	Yo	Ro	Fs
1	33,9	985,1	22,5	4,64
2	34,6	985,6	26,4	4,67
3	35,2	985,1	25,8	4,77
4	35,9	985,6	28,1	4,78

5	36,6	985,1	27,5	4,74
6	37,2	985,6	23,1	5,04
7	37,9	985,1	27,5	4,77
8	38,5	985,6	28,1	4,84
9	39,2	985,1	18,9	5,11
10	39,9	985,6	19,4	4,83
11	40,5	985,1	20,5	4,73
12	41,2	985,6	19,2	4,81
13	41,9	985,1	18,6	4,66
14	42,5	985,6	19,1	4,63
15	43,2	985,1	16,6	4,39
16	43,9	985,6	17,1	3,22
17	44,5	985,1	16,4	2,64
18	45,2	985,6	16,9	2,68
19	45,8	985,1	16,2	2,72
20	46,5	985,6	16,6	2,75
21	47,2	985,1	16,0	2,78
22	33,9	986,2	23,6	4,50
23	34,6	986,8	29,3	4,60
24	35,2	986,2	28,7	4,67
25	35,9	986,8	26,0	4,78
26	36,6	986,2	23,7	4,95
27	37,2	986,8	29,3	4,63
28	37,9	986,2	28,7	4,74
29	38,5	986,8	29,3	4,76
30	39,2	986,2	28,7	4,98
31	39,9	986,8	20,6	4,82
32	40,5	986,2	21,7	4,75
33	41,2	986,8	20,4	4,84
34	41,9	986,2	19,7	4,66
35	42,5	986,8	20,2	4,68
36	43,2	986,2	17,8	4,40
37	43,9	986,8	18,2	2,62
38	44,5	986,2	17,5	2,65
39	45,2	986,8	18,0	2,68
40	45,8	986,2	17,3	2,71
41	46,5	986,8	17,8	2,75
42	47,2	986,2	17,1	2,78
43	33,9	987,4	24,8	4,42
44	34,6	988,0	28,8	4,56
45	35,2	987,4	28,2	4,64
46	35,9	988,0	30,5	4,57
47	36,6	987,4	29,9	4,65
48	37,2	988,0	25,5	4,84
49	37,9	987,4	28,2	4,96
50	38,5	988,0	30,5	4,83
51	39,2	987,4	28,1	4,85
52	39,9	988,0	28,7	4,94
53	40,5	987,4	22,8	4,77
54	41,2	988,0	21,6	4,85
55	41,9	987,4	20,9	4,76
56	42,5	988,0	21,4	4,69
57	43,2	987,4	18,9	4,39
58	43,9	988,0	19,4	2,62
59	44,5	987,4	18,7	2,64
60	45,2	988,0	19,2	2,68
61	45,8	987,4	18,5	2,71
62	46,5	988,0	19,0	2,75
63	47,2	987,4	18,3	2,78

64	33,9	988,6	26,0	4,34
65	34,6	989,2	31,7	4,46
66	35,2	988,6	31,1	4,52
67	35,9	989,2	28,3	4,72
68	36,6	988,6	29,4	4,79
69	37,2	989,2	31,7	4,52
70	37,9	988,6	31,1	4,64
71	38,5	989,2	31,6	4,78
72	39,2	988,6	29,3	4,83
73	39,9	989,2	29,9	4,87
74	40,5	988,6	24,0	4,85
75	41,2	989,2	24,5	4,78
76	41,9	988,6	22,1	4,75
77	42,5	989,2	24,4	4,70
78	43,2	988,6	20,1	4,40
79	43,9	989,2	20,6	2,63
80	44,5	988,6	19,9	2,65
81	45,2	989,2	20,3	2,68
82	45,8	988,6	19,7	2,71
83	46,5	989,2	20,1	2,75
84	47,2	988,6	19,4	2,77
85	33,9	989,8	30,6	4,38
86	34,6	990,4	31,2	4,42
87	35,2	989,8	30,6	4,51
88	35,9	990,4	32,8	4,43
89	36,6	989,8	32,3	4,46
90	37,2	990,4	32,8	4,42
91	37,9	989,8	32,2	4,47
92	38,5	990,4	31,1	4,82
93	39,2	989,8	30,5	4,74
94	39,9	990,4	31,0	4,80
95	40,5	989,8	30,4	4,91
96	41,2	990,4	25,7	4,76
97	41,9	989,8	25,0	4,70
98	42,5	990,4	21,9	4,53
99	43,2	989,8	21,2	4,40
100	43,9	990,4	21,7	2,63
101	44,5	989,8	21,0	2,65
102	45,2	990,4	21,5	2,68
103	45,8	989,8	20,8	2,72
104	46,5	990,4	21,3	2,75
105	47,2	989,8	20,6	2,78
106	33,9	991,0	28,4	4,31
107	34,6	991,6	34,0	4,34
108	35,2	991,0	33,4	4,38
109	35,9	991,6	34,0	4,36
110	36,6	991,0	33,4	4,39
111	37,2	991,6	32,3	4,63
112	37,9	991,0	31,7	4,69
113	38,5	991,6	34,0	4,32
114	39,2	991,0	33,4	4,78
115	39,9	991,6	32,2	4,73
116	40,5	991,0	24,6	4,80
117	41,2	991,6	25,1	4,72
118	41,9	991,0	22,6	4,64
119	42,5	991,6	23,1	4,55
120	43,2	991,0	22,4	3,22
121	43,9	991,6	22,9	2,63
122	44,5	991,0	22,2	2,65

123	45,2	991,6	22,7	2,68
124	45,8	991,0	22,0	2,71
125	46,5	991,6	22,5	2,75
126	47,2	991,0	21,8	2,78
127	33,9	992,2	29,5	4,25
128	34,6	992,8	33,5	4,31
129	35,2	992,2	29,6	4,46
130	35,9	992,8	35,2	4,29
131	36,6	992,2	34,6	4,32
132	37,2	992,8	35,2	4,36
133	37,9	992,2	32,9	4,69
134	38,5	992,8	35,2	4,24
135	39,2	992,2	32,8	4,80
136	39,9	992,8	33,4	4,69
137	40,5	992,2	25,7	4,78
138	41,2	992,8	26,2	4,68
139	41,9	992,2	27,4	4,65
140	42,5	992,8	24,3	4,57
141	43,2	992,2	23,6	2,62
142	43,9	992,8	24,0	2,63
143	44,5	992,2	23,4	2,65
144	45,2	992,8	23,8	2,68
145	45,8	992,2	23,1	2,71
146	46,5	992,8	23,6	2,75
147	47,2	992,2	22,9	2,79
148	33,9	993,3	30,7	4,25
149	34,6	993,9	31,3	4,28
150	35,2	993,3	30,8	4,38
151	35,9	993,9	36,4	4,23
152	36,6	993,3	35,8	4,25
153	37,2	993,9	36,4	4,29
154	37,9	993,3	35,8	4,30
155	38,5	993,9	36,4	4,17
156	39,2	993,3	35,8	4,19
157	39,9	993,9	34,6	4,66
158	40,5	993,3	34,0	4,73
159	41,2	993,9	32,7	4,69
160	41,9	993,3	28,5	4,63
161	42,5	993,9	25,4	4,58
162	43,2	993,3	24,7	2,62
163	43,9	993,9	25,2	2,63
164	44,5	993,3	24,5	2,65
165	45,2	993,9	25,0	2,68
166	45,8	993,3	24,3	2,72
167	46,5	993,9	24,8	2,75
168	47,2	993,3	24,1	2,79
169	33,9	994,5	37,0	3,99
170	34,6	995,1	32,5	4,22
171	35,2	994,5	31,9	4,31
172	35,9	995,1	37,6	4,17
173	36,6	994,5	37,0	4,19
174	37,2	995,1	35,9	4,40
175	37,9	994,5	37,0	4,24
176	38,5	995,1	37,5	4,19
177	39,2	994,5	36,9	4,13
178	39,9	995,1	37,5	4,08
179	40,5	994,5	31,6	4,62
180	41,2	995,1	33,9	4,65
181	41,9	994,5	29,7	4,61

182	42,5	995,1	26,6	3,81
183	43,2	994,5	25,9	2,62
184	43,9	995,1	26,4	2,63
185	44,5	994,5	25,7	2,65
186	45,2	995,1	26,2	2,68
187	45,8	994,5	25,5	2,72
188	46,5	995,1	25,9	2,76
189	47,2	994,5	25,3	2,80
190	33,9	995,7	33,1	4,17
191	34,6	996,3	33,7	4,23
192	35,2	995,7	38,2	4,16
193	35,9	996,3	37,1	4,29
194	36,6	995,7	38,2	4,22
195	37,2	996,3	37,1	4,33
196	37,9	995,7	38,1	4,19
197	38,5	996,3	38,7	4,15
198	39,2	995,7	38,1	4,07
199	39,9	996,3	33,4	4,52
200	40,5	995,7	32,8	4,60
201	41,2	996,3	33,3	4,59
202	41,9	995,7	30,9	4,59
203	42,5	996,3	27,7	3,83
204	43,2	995,7	27,1	2,62
205	43,9	996,3	27,5	2,63
206	44,5	995,7	26,8	2,65
207	45,2	996,3	27,3	2,68
208	45,8	995,7	26,6	2,72
209	46,5	996,3	27,1	2,76
210	47,2	995,7	26,4	2,79
211	33,9	996,9	39,3	3,89
212	35,2	996,9	39,4	3,79
213	36,6	996,9	39,4	4,16
214	37,9	996,9	39,3	4,14
215	39,2	996,9	35,8	4,59
216	40,5	996,9	39,3	3,99
217	41,9	996,9	28,4	4,33
218	43,2	996,9	28,2	2,62
219	44,5	996,9	28,0	2,65
220	45,8	996,9	27,8	2,72
221	47,2	996,9	27,6	2,79

VERIFICA DI STABILITÀ' PRE OPERAM – AEROGENERATORE WTG8

Analisi di stabilità dei pendii con: FELLENIUS (1936)

Lat./Long.	41,322318/15,180547
Calcolo eseguito secondo	NTC 2018
Numero di strati	3,0
Numero dei conci	10,0
Grado di sicurezza ritenuto accettabile	1,3
Coefficiente parziale resistenza	1,0
Parametri geotecnici da usare. Angolo di attrito:	Picco
Analisi	Condizione drenata
Superficie di forma circolare	

Maglia dei Centri

Ascissa vertice sinistro inferiore xi	25,71 m
Ordinata vertice sinistro inferiore yi	905,56 m
Ascissa vertice destro superiore xs	32,88 m
Ordinata vertice destro superiore ys	911,57 m
Passo di ricerca	10,0
Numero di celle lungo x	10,0
Numero di celle lungo y	10,0

Coefficienti sismici [N.T.C.]

Dati generali

Tipo opera:	2 - Opere ordinarie
Classe d'uso:	Classe II
Vita nominale:	50,0 [anni]
Vita di riferimento:	50,0 [anni]

Parametri sismici su sito di riferimento

Categoria sottosuolo:	C
Categoria topografica:	T1

S.L. Stato limite	TR Tempo ritorno [anni]	ag [m/s ²]	F0 [-]	TC* [sec]
S.L.O.	30,0	0,48	2,41	0,29
S.L.D.	50,0	0,59	2,49	0,33
S.L.V.	475,0	1,55	2,55	0,44
S.L.C.	975,0	2,04	2,57	0,46

Coefficienti sismici orizzontali e verticali

Opera:	Classe II
--------	-----------

S.L. Stato limite	amax [m/s ²]	beta [-]	kh [-]	kv [sec]
S.L.O.	0,72	1,0	0,0734	0,0367
S.L.D.	0,885	0,47	0,0424	0,0212
S.L.V.	2,2601	0,38	0,0876	0,0438
S.L.C.	2,8136	1,0	0,2869	0,1435

Coefficiente azione sismica orizzontale	0,0734
Coefficiente azione sismica verticale	0,0367

Vertici profilo

Nr	X (m)	y (m)
1	0,0	901,31
2	5,0	901,26
3	10,0	900,37
4	15,0	901,39
5	20,0	901,62
6	25,0	901,77
7	30,0	901,78
8	35,0	901,84
9	40,0	901,81
10	45,0	901,74
11	50,0	901,69
12	55,0	901,56

Vertici strato1

N	X (m)	y (m)
1	0,0	900,76
2	2,79	901,01
3	5,27	900,38
4	7,69	899,28
5	11,9	899,14
6	13,97	899,9
7	16,94	900,32
8	18,94	901,07
9	22,53	901,01
10	24,95	900,87
11	28,05	901,07
12	30,68	901,07
13	32,82	900,73
14	35,99	900,87
15	38,41	900,94
16	42,06	901,28
17	43,58	901,28
18	45,86	900,8
19	47,86	900,8
20	50,49	900,87
21	52,07	901,01
22	55,0	900,89

Vertici strato2

N	X (m)	y (m)
1	0,0	897,37
2	2,58	895,76
3	5,96	895,28
4	9,55	895,55
5	15,35	896,24
6	22,32	894,79
7	25,91	895,76
8	30,12	895,97
9	35,92	896,86
10	40,41	896,38
11	44,76	895,41
12	47,1	896,04
13	55,0	894,87

Coefficienti parziali azioni

Sfavorevoli: Permanentì, variabili	1,0	1,0
Favorevoli: Permanentì, variabili	1,0	1,0

Coefficienti parziali per i parametri geotecnici del terreno

Tangente angolo di resistenza al taglio	1,25
Coesione efficace	1,25
Coesione non drenata	1,4
Riduzione parametri geotecnici terreno	No

Stratigrafia

Descrizione Litologica	Materiale di Alterazione	Argilla grigia-azzurra con livelli di Marne e Calcarenti
	Superficiale	
Peso volume medio	$\gamma_m = 1,75-1,85 \text{ g/cm}^3$	$\gamma_m = 1,90 - 2,05 \text{ g/cm}^3$
Angolo di resistenza al taglio medio (tensioni efficaci, a lungo termine)	$\varphi_m = 18^\circ - 20^\circ$	$\varphi_m = 21^\circ - 26^\circ$
Coesione drenata media (tensioni efficaci, a lungo termine)	$C = 0,05 - 0,1 \text{ kg/cm}^2$	$C = 0,2 - 0,5 \text{ kg/cm}^2$
Coesione non drenata	$C_u = 0,5 - 0,8 \text{ kg/cm}^2$	$C_u = 0,8 - 1,0 \text{ kg/cm}^2$
Modulo di Poisson	$\nu = 0.25$	$\nu = 0.35$

Risultati analisi pendio

Fs minimo individuato	3,27
Ascissa centro superficie	25,71 m
Ordinata centro superficie	911,57 m
Raggio superficie	10,5 m

Numero di superfici esaminate...(221)

N°	Xo	Yo	Ro	Fs
1	25,7	905,6	4,6	3,35
2	26,1	905,9	4,8	3,45
3	26,4	905,6	4,5	3,59
4	26,8	905,9	4,7	3,67
5	27,1	905,6	4,4	3,70
6	27,5	905,9	10,0	5,85
7	27,9	905,6	8,4	5,88
8	28,2	905,9	8,6	5,90
9	28,6	905,6	6,9	5,92
10	28,9	905,9	9,9	5,60
11	29,3	905,6	9,6	5,78
12	29,7	905,9	8,5	5,83
13	30,0	905,6	9,5	6,03
14	30,4	905,9	9,8	6,17
15	30,7	905,6	9,5	6,16
16	31,1	905,9	8,3	6,13
17	31,4	905,6	8,0	6,29

18	31,8	905,9	9,7	6,30
19	32,2	905,6	9,4	6,21
20	32,5	905,9	5,3	6,15
21	32,9	905,6	7,9	6,18
22	25,7	906,2	5,2	3,36
23	26,1	906,5	5,4	3,44
24	26,4	906,2	5,1	3,53
25	26,8	906,5	5,3	3,63
26	27,1	906,2	5,0	3,80
27	27,5	906,5	10,6	5,79
28	27,9	906,2	10,3	5,85
29	28,2	906,5	10,6	5,64
30	28,6	906,2	10,3	5,87
31	28,9	906,5	7,7	5,90
32	29,3	906,2	10,2	5,74
33	29,7	906,5	9,1	5,95
34	30,0	906,2	10,1	5,99
35	30,4	906,5	10,4	6,01
36	30,7	906,2	10,1	6,12
37	31,1	906,5	8,9	6,04
38	31,4	906,2	8,6	6,17
39	31,8	906,5	6,0	6,20
40	32,2	906,2	10,0	6,15
41	32,5	906,5	8,8	6,21
42	32,9	906,2	5,5	6,24
43	25,7	906,8	5,8	3,33
44	26,1	907,1	6,0	3,44
45	26,4	906,8	5,7	3,55
46	26,8	907,1	5,9	3,64
47	27,1	906,8	5,5	3,72
48	27,5	907,1	11,2	5,72
49	27,9	906,8	5,4	3,72
50	28,2	907,1	5,7	3,72
51	28,6	906,8	10,9	5,70
52	28,9	907,1	9,7	5,79
53	29,3	906,8	9,4	5,81
54	29,7	907,1	11,1	5,87
55	30,0	906,8	10,7	5,95
56	30,4	907,1	11,0	6,03
57	30,7	906,8	9,3	6,12
58	31,1	907,1	9,5	6,14
59	31,4	906,8	9,2	6,16
60	31,8	907,1	9,4	6,17
61	32,2	906,8	6,2	6,12
62	32,5	907,1	10,8	6,30
63	32,9	906,8	6,1	6,21
64	25,7	907,4	6,4	3,32
65	26,1	907,7	6,6	3,42
66	26,4	907,4	6,3	3,53
67	26,8	907,7	6,5	3,61
68	27,1	907,4	6,1	3,68
69	27,5	907,7	11,8	5,64
70	27,9	907,4	6,0	3,69
71	28,2	907,7	6,3	3,67
72	28,6	907,4	11,5	5,61
73	28,9	907,7	10,3	5,66
74	29,3	907,4	10,0	5,97
75	29,7	907,7	10,3	5,99
76	30,0	907,4	11,3	5,91

77	30,4	907,7	10,2	5,99
78	30,7	907,4	9,9	6,14
79	31,1	907,7	10,1	6,19
80	31,4	907,4	9,8	6,12
81	31,8	907,7	10,0	5,99
82	32,2	907,4	6,8	6,04
83	32,5	907,7	11,4	6,26
84	32,9	907,4	9,6	6,22
85	25,7	908,0	7,0	3,32
86	26,1	908,3	7,2	3,42
87	26,4	908,0	6,8	3,52
88	26,8	908,3	7,1	3,58
89	27,1	908,0	6,7	3,66
90	27,5	908,3	7,0	3,67
91	27,9	908,0	6,6	3,69
92	28,2	908,3	6,9	3,63
93	28,6	908,0	12,0	5,55
94	28,9	908,3	12,3	5,62
95	29,3	908,0	12,0	5,78
96	29,7	908,3	10,8	5,99
97	30,0	908,0	9,1	5,90
98	30,4	908,3	10,8	5,92
99	30,7	908,0	10,4	5,95
100	31,1	908,3	12,1	6,20
101	31,4	908,0	10,4	6,12
102	31,8	908,3	10,6	6,08
103	32,2	908,0	7,4	6,06
104	32,5	908,3	12,0	6,22
105	32,9	908,0	11,7	6,10
106	25,7	908,6	7,6	3,31
107	26,1	908,9	7,8	3,38
108	26,4	908,6	7,4	3,49
109	26,8	908,9	7,7	3,57
110	27,1	908,6	7,3	3,65
111	27,5	908,9	7,6	3,78
112	27,9	908,6	7,2	3,66
113	28,2	908,9	7,4	3,67
114	28,6	908,6	7,1	3,63
115	28,9	908,9	12,9	5,54
116	29,3	908,6	12,6	5,79
117	29,7	908,9	10,0	5,90
118	30,0	908,6	11,1	5,94
119	30,4	908,9	11,4	5,86
120	30,7	908,6	11,0	6,01
121	31,1	908,9	11,3	6,15
122	31,4	908,6	12,4	6,11
123	31,8	908,9	12,7	6,00
124	32,2	908,6	10,9	5,95
125	32,5	908,9	11,2	6,14
126	32,9	908,6	7,9	5,77
127	25,7	909,2	8,1	3,30
128	26,1	909,5	8,4	3,41
129	26,4	909,2	8,0	3,49
130	26,8	909,5	8,3	3,56
131	27,1	909,2	7,9	3,66
132	27,5	909,5	8,1	3,74
133	27,9	909,2	7,8	3,65
134	28,2	909,5	8,0	3,64
135	28,6	909,2	7,7	3,63

136	28,9	909,5	13,5	5,49
137	29,3	909,2	13,2	5,68
138	29,7	909,5	10,6	5,83
139	30,0	909,2	11,7	5,91
140	30,4	909,5	12,0	5,90
141	30,7	909,2	11,6	5,97
142	31,1	909,5	11,9	6,09
143	31,4	909,2	13,0	6,06
144	31,8	909,5	11,8	6,06
145	32,2	909,2	11,5	6,01
146	32,5	909,5	11,8	6,03
147	32,9	909,2	8,5	6,06
148	25,7	909,8	8,7	3,30
149	26,1	910,1	9,0	3,38
150	26,4	909,8	8,6	3,47
151	26,8	910,1	8,9	3,54
152	27,1	909,8	8,5	3,62
153	27,5	910,1	8,7	3,70
154	27,9	909,8	8,4	3,65
155	28,2	910,1	8,6	3,65
156	28,6	909,8	8,3	3,64
157	28,9	910,1	14,1	5,45
158	29,3	909,8	13,8	5,60
159	29,7	910,1	14,0	5,80
160	30,0	909,8	12,3	5,88
161	30,4	910,1	12,6	5,90
162	30,7	909,8	12,2	5,95
163	31,1	910,1	12,5	6,04
164	31,4	909,8	13,6	6,00
165	31,8	910,1	13,9	6,05
166	32,2	909,8	12,1	5,99
167	32,5	910,1	12,3	5,94
168	32,9	909,8	9,1	6,02
169	25,7	910,4	9,3	3,30
170	26,1	910,7	9,6	3,39
171	26,4	910,4	9,2	3,46
172	26,8	910,7	9,4	3,54
173	27,1	910,4	9,1	3,65
174	27,5	910,7	9,3	3,70
175	27,9	910,4	9,0	3,67
176	28,2	910,7	9,2	3,64
177	28,6	910,4	8,9	3,66
178	28,9	910,7	14,7	5,41
179	29,3	910,4	14,4	5,67
180	29,7	910,7	14,6	5,76
181	30,0	910,4	12,9	5,86
182	30,4	910,7	13,2	5,91
183	30,7	910,4	12,8	5,93
184	31,1	910,7	13,1	6,01
185	31,4	910,4	14,2	5,94
186	31,8	910,7	14,5	5,99
187	32,2	910,4	12,7	5,97
188	32,5	910,7	12,9	6,05
189	32,9	910,4	9,7	5,99
190	25,7	911,0	9,9	3,29
191	26,1	911,3	10,2	3,37
192	26,4	911,0	9,8	3,44
193	26,8	911,3	10,0	3,53
194	27,1	911,0	9,7	3,63

195	27,5	911,3	9,9	3,68
196	27,9	911,0	9,6	3,67
197	28,2	911,3	9,8	3,63
198	28,6	911,0	9,5	3,65
199	28,9	911,3	9,7	3,58
200	29,3	911,0	15,0	5,66
201	29,7	911,3	15,2	5,73
202	30,0	911,0	14,9	5,85
203	30,4	911,3	13,8	5,90
204	30,7	911,0	13,4	5,92
205	31,1	911,3	13,7	5,98
206	31,4	911,0	14,8	5,88
207	31,8	911,3	15,1	6,06
208	32,2	911,0	13,3	6,06
209	32,5	911,3	13,5	6,03
210	32,9	911,0	10,2	5,97
211	25,7	911,6	10,5	3,27
212	26,4	911,6	10,4	3,43
213	27,1	911,6	10,3	3,64
214	27,9	911,6	10,2	3,67
215	28,6	911,6	10,0	3,65
216	29,3	911,6	15,6	5,65
217	30,0	911,6	14,1	5,92
218	30,7	911,6	14,0	5,90
219	31,4	911,6	13,9	5,98
220	32,2	911,6	13,9	6,07
221	32,9	911,6	13,8	5,89

VERIFICA DI STABILITÀ POST OPERAM – AEROGENERATORE WTG8

Analisi di stabilità dei pendii con: FELLENIUS (1936)

Lat./Long.	41,322318/15,180547
Calcolo eseguito secondo	NTC 2018
Numero di strati	3,0
Numero dei conci	10,0
Grado di sicurezza ritenuto accettabile	1,3
Coefficiente parziale resistenza	1,0
Parametri geotecnici da usare. Angolo di attrito:	Picco
Analisi	Condizione drenata
Superficie di forma circolare	

Maglia dei Centri

Ascissa vertice sinistro inferiore xi	29,19 m
Ordinata vertice sinistro inferiore yi	913,48 m
Ascissa vertice destro superiore xs	37,06 m
Ordinata vertice destro superiore ys	921,14 m
Passo di ricerca	10,0
Numero di celle lungo x	10,0
Numero di celle lungo y	10,0

Coefficienti sismici [N.T.C.]

Dati generali

Tipo opera:	2 - Opere ordinarie
Classe d'uso:	Classe II
Vita nominale:	50,0 [anni]
Vita di riferimento:	50,0 [anni]

Parametri sismici su sito di riferimento

Categoria sottosuolo:	C
Categoria topografica:	T1

S.L. Stato limite	TR Tempo ritorno [anni]	ag [m/s ²]	F0 [-]	TC* [sec]
S.L.O.	30,0	0,48	2,41	0,29
S.L.D.	50,0	0,59	2,49	0,33
S.L.V.	475,0	1,55	2,55	0,44
S.L.C.	975,0	2,04	2,57	0,46

Coefficienti sismici orizzontali e verticali

Opera:	Classe II
--------	-----------

S.L. Stato limite	amax [m/s ²]	beta [-]	kh [-]	kv [sec]
S.L.O.	0,72	1,0	0,0734	0,0367
S.L.D.	0,885	0,47	0,0424	0,0212
S.L.V.	2,2601	0,38	0,0876	0,0438
S.L.C.	2,8136	1,0	0,2869	0,1435

Coefficiente azione sismica orizzontale	0,0734
Coefficiente azione sismica verticale	0,0367

Vertici profilo

Nr	X (m)	y (m)
1	0,0	901,31
2	5,0	901,26
3	10,0	900,37
4	15,0	901,39
5	20,0	901,62
6	25,0	901,77
7	30,0	901,78
8	35,0	901,84
9	40,0	901,81
10	45,0	901,74
11	50,0	901,69
12	55,0	901,56

Vertici strato1

N	X (m)	y (m)
1	0,0	900,57
2	1,41	900,73
3	3,2	900,59
4	7,62	899,28
5	9,35	899,42
6	12,66	899,49
7	18,04	900,38
8	22,81	900,52
9	25,84	900,52
10	28,81	900,87
11	31,78	900,73
12	33,64	900,73
13	36,27	900,52
14	39,37	900,52
15	42,41	900,52
16	46,0	900,38
17	48,21	900,52
18	50,14	900,52
19	51,94	899,69
20	55,0	899,15

Vertici strato2

N	X (m)	y (m)
1	0,0	895,47
2	4,03	895,62
3	6,31	896,45
4	9,62	895,9
5	12,94	895,41
6	15,49	895,62
7	18,94	895,69
8	21,36	895,0
9	26,33	895,07
10	28,19	895,14
11	33,23	895,41
12	37,85	895,07
13	41,72	896,31
14	44,69	896,8
15	48,14	896,8

16	51,38	895,69
17	55,0	893,43

Coefficienti parziali azioni

Sfavorevoli: Permanenti, variabili	1,0	1,0
Favorevoli: Permanenti, variabili	1,0	1,0

Coefficienti parziali per i parametri geotecnici del terreno

Tangente angolo di resistenza al taglio	1,25
Coesione efficace	1,25
Coesione non drenata	1,4
Riduzione parametri geotecnici terreno	No

Stratigrafia

Descrizione Litologica	Materiale di Alterazione Superficiale	Argilla grigia-azzurra con livelli di Marne e Calcareni
<i>Peso volume medio</i>	$\gamma_m = 1,75-1,85 \text{ g/cm}^3$	$\gamma_m = 1,90 - 2,05 \text{ g/cm}^3$
<i>Angolo di resistenza al taglio medio (tensioni efficaci, a lungotermine)</i>	$\varphi_m = 18^\circ - 20^\circ$	$\varphi_m = 21^\circ - 26^\circ$
<i>Coesione drenata media (tensioni efficaci, a lungo termine)</i>	$C = 0,05 - 0,1 \text{ kg/cm}^2$	$C = 0,2 - 0,5 \text{ kg/cm}^2$
<i>Coesione non drenata</i>	$C_u = 0,5 - 0,8 \text{ kg/cm}^2$	$C_u = 0,8 - 1,0 \text{ kg/cm}^2$
<i>Modulo di Poisson</i>	$\nu = 0,25$	$\nu = 0,35$

Risultati analisi pendio

Fs minimo individuato	3,44
Ascissa centro superficie	33,91 m
Ordinata centro superficie	921,14 m
Raggio superficie	19,53 m

Numero di superfici esaminate....(221)

N°	Xo	Yo	Ro	Fs
1	29,2	913,5	16,1	5,34
2	29,6	913,9	17,8	5,45
3	30,0	913,5	17,4	5,44
4	30,4	913,9	17,8	5,41
5	30,8	913,5	17,3	5,40
6	31,2	913,9	17,7	5,48
7	31,6	913,5	15,8	5,62
8	31,9	913,9	13,2	5,06
9	32,3	913,5	12,8	4,61
10	32,7	913,9	13,1	3,47
11	33,1	913,5	12,7	3,47
12	33,5	913,9	13,0	3,51
13	33,9	913,5	12,6	3,51
14	34,3	913,9	12,9	3,62

15	34,7	913,5	12,5	3,60
16	35,1	913,9	12,8	3,65
17	35,5	913,5	12,3	3,72
18	35,9	913,9	12,5	3,83
19	36,3	913,5	12,0	3,93
20	36,7	913,9	16,4	6,18
21	37,1	913,5	13,1	6,02
22	29,2	914,2	16,8	5,27
23	29,6	914,6	17,2	5,43
24	30,0	914,2	18,2	5,42
25	30,4	914,6	18,5	5,36
26	30,8	914,2	18,1	5,29
27	31,2	914,6	18,4	5,43
28	31,6	914,2	16,6	5,59
29	31,9	914,6	14,0	5,05
30	32,3	914,2	13,5	4,63
31	32,7	914,6	13,9	3,49
32	33,1	914,2	13,4	3,47
33	33,5	914,6	13,8	3,52
34	33,9	914,2	13,3	3,52
35	34,3	914,6	13,7	3,60
36	34,7	914,2	13,2	3,60
37	35,1	914,6	13,4	3,65
38	35,5	914,2	12,9	3,73
39	35,9	914,6	13,1	3,84
40	36,3	914,2	12,6	3,98
41	36,7	914,6	14,2	5,57
42	37,1	914,2	13,7	3,91
43	29,2	915,0	17,6	5,28
44	29,6	915,4	17,9	5,39
45	30,0	915,0	18,9	5,40
46	30,4	915,4	19,3	5,32
47	30,8	915,0	18,9	5,14
48	31,2	915,4	19,2	5,39
49	31,6	915,0	17,3	5,57
50	31,9	915,4	14,7	5,04
51	32,3	915,0	14,3	4,65
52	32,7	915,4	14,6	3,49
53	33,1	915,0	14,2	3,47
54	33,5	915,4	14,5	3,53
55	33,9	915,0	14,1	3,52
56	34,3	915,4	14,4	3,60
57	34,7	915,0	13,9	3,60
58	35,1	915,4	14,1	3,66
59	35,5	915,0	13,6	3,74
60	35,9	915,4	13,8	3,88
61	36,3	915,0	18,9	6,13
62	36,7	915,4	14,8	3,86
63	37,1	915,0	14,3	3,93
64	29,2	915,8	18,3	5,26
65	29,6	916,2	18,7	5,36
66	30,0	915,8	19,7	5,38
67	30,4	916,2	20,0	5,23
68	30,8	915,8	19,6	5,25
69	31,2	916,2	20,0	5,35
70	31,6	915,8	18,1	5,59
71	31,9	916,2	15,5	5,04
72	32,3	915,8	15,1	4,67
73	32,7	916,2	15,4	3,50

74	33,1	915,8	15,0	3,48
75	33,5	916,2	15,3	3,52
76	33,9	915,8	14,8	3,53
77	34,3	916,2	15,0	3,64
78	34,7	915,8	14,5	3,59
79	35,1	916,2	14,7	3,66
80	35,5	915,8	14,2	3,74
81	35,9	916,2	19,9	5,98
82	36,3	915,8	15,3	5,54
83	36,7	916,2	15,5	3,88
84	37,1	915,8	15,0	3,94
85	29,2	916,5	19,1	5,24
86	29,6	916,9	20,9	5,26
87	30,0	916,5	20,4	5,36
88	30,4	916,9	20,8	5,25
89	30,8	916,5	20,4	5,36
90	31,2	916,9	20,7	5,43
91	31,6	916,5	20,3	5,56
92	31,9	916,9	16,2	5,03
93	32,3	916,5	15,8	3,47
94	32,7	916,9	16,1	3,49
95	33,1	916,5	15,7	3,49
96	33,5	916,9	16,0	3,52
97	33,9	916,5	15,5	3,52
98	34,3	916,9	15,7	3,55
99	34,7	916,5	15,2	3,60
100	35,1	916,9	15,4	3,66
101	35,5	916,5	14,9	3,78
102	35,9	916,9	16,4	5,56
103	36,3	916,5	15,9	3,81
104	36,7	916,9	16,1	3,90
105	37,1	916,5	15,6	3,94
106	29,2	917,3	21,3	5,22
107	29,6	917,7	21,6	5,20
108	30,0	917,3	21,2	5,27
109	30,4	917,7	21,6	5,28
110	30,8	917,3	21,1	5,37
111	31,2	917,7	21,5	5,42
112	31,6	917,3	16,7	5,19
113	31,9	917,7	17,0	5,05
114	32,3	917,3	16,6	3,48
115	32,7	917,7	16,9	3,50
116	33,1	917,3	16,5	3,50
117	33,5	917,7	16,6	3,51
118	33,9	917,3	16,2	3,52
119	34,3	917,7	16,3	3,54
120	34,7	917,3	15,9	3,60
121	35,1	917,7	16,1	3,67
122	35,5	917,3	21,0	5,88
123	35,9	917,7	17,1	3,84
124	36,3	917,3	16,6	3,82
125	36,7	917,7	16,8	3,89
126	37,1	917,3	16,3	3,96
127	29,2	918,1	20,6	5,21
128	29,6	918,5	22,4	5,08
129	30,0	918,1	22,0	5,30
130	30,4	918,5	22,3	5,30
131	30,8	918,1	21,9	5,38
132	31,2	918,5	22,2	5,42

133	31,6	918,1	17,4	5,21
134	31,9	918,5	17,8	5,06
135	32,3	918,1	17,3	3,49
136	32,7	918,5	17,6	3,50
137	33,1	918,1	17,1	3,49
138	33,5	918,5	17,3	3,48
139	33,9	918,1	16,8	3,53
140	34,3	918,5	17,0	3,53
141	34,7	918,1	16,5	3,59
142	35,1	918,5	22,1	5,95
143	35,5	918,1	17,6	5,41
144	35,9	918,5	17,7	3,85
145	36,3	918,1	17,2	3,81
146	36,7	918,5	17,4	3,89
147	37,1	918,1	16,9	3,96
148	29,2	918,8	21,4	5,20
149	29,6	919,2	21,7	5,27
150	30,0	918,8	22,7	5,14
151	30,4	919,2	23,1	5,39
152	30,8	918,8	22,7	5,40
153	31,2	919,2	23,0	5,42
154	31,6	918,8	18,2	5,21
155	31,9	919,2	18,5	5,06
156	32,3	918,8	18,1	3,49
157	32,7	919,2	18,3	3,50
158	33,1	918,8	17,8	3,47
159	33,5	919,2	18,0	3,45
160	33,9	918,8	17,5	3,50
161	34,3	919,2	17,7	3,52
162	34,7	918,8	17,2	3,58
163	35,1	919,2	18,7	5,38
164	35,5	918,8	18,2	4,63
165	35,9	919,2	18,4	3,73
166	36,3	918,8	17,9	3,80
167	36,7	919,2	18,1	3,86
168	37,1	918,8	17,6	3,95
169	29,2	919,6	23,5	5,25
170	29,6	920,0	22,5	5,25
171	30,0	919,6	23,5	5,13
172	30,4	920,0	23,8	5,25
173	30,8	919,6	23,4	5,40
174	31,2	920,0	23,8	5,42
175	31,6	919,6	18,9	5,22
176	31,9	920,0	19,2	3,50
177	32,3	919,6	18,8	3,48
178	32,7	920,0	18,9	3,47
179	33,1	919,6	18,5	3,46
180	33,5	920,0	18,7	3,45
181	33,9	919,6	18,2	3,48
182	34,3	920,0	18,4	3,50
183	34,7	919,6	23,2	5,75
184	35,1	920,0	19,4	4,81
185	35,5	919,6	18,9	3,71
186	35,9	920,0	19,1	3,75
187	36,3	919,6	18,6	3,80
188	36,7	920,0	18,7	3,89
189	37,1	919,6	18,2	3,99
190	29,2	920,4	24,3	5,21
191	29,6	920,8	23,2	5,23

192	30,0	920,4	22,8	5,30
193	30,4	920,8	24,6	5,23
194	30,8	920,4	24,2	5,41
195	31,2	920,8	20,1	5,27
196	31,6	920,4	19,7	5,24
197	31,9	920,8	19,9	3,48
198	32,3	920,4	19,4	3,47
199	32,7	920,8	19,6	3,45
200	33,1	920,4	19,1	3,46
201	33,5	920,8	19,3	3,46
202	33,9	920,4	18,8	3,46
203	34,3	920,8	19,0	3,47
204	34,7	920,4	19,9	5,36
205	35,1	920,8	20,0	3,67
206	35,5	920,4	19,5	3,73
207	35,9	920,8	19,7	3,76
208	36,3	920,4	19,2	3,82
209	36,7	920,8	19,4	3,91
210	37,1	920,4	18,9	3,99
211	29,2	921,1	25,1	5,18
212	30,0	921,1	23,6	5,27
213	30,8	921,1	23,5	5,38
214	31,6	921,1	20,4	4,25
215	32,3	921,1	20,1	3,46
216	33,1	921,1	19,8	3,44
217	33,9	921,1	19,5	3,44
218	34,7	921,1	20,5	4,98
219	35,5	921,1	20,2	3,76
220	36,3	921,1	19,9	3,83
221	37,1	921,1	19,6	4,02

VERIFICA DI STABILITA' PRE OPERAM – AEROGENERATORE WTG9

Analisi di stabilità dei pendii con: FELLENIUS (1936)

Lat./Long.	41,322318/15,180547
Calcolo eseguito secondo	NTC 2018
Numero di strati	3,0
Numero dei conci	10,0
Grado di sicurezza ritenuto accettabile	1,3
Coefficiente parziale resistenza	1,0
Parametri geotecnici da usare. Angolo di attrito:	Picco
Analisi	Condizione drenata
Superficie di forma circolare	

Maglia dei Centri

Ascissa vertice sinistro inferiore xi	30,61 m
Ordinata vertice sinistro inferiore yi	877,28 m
Ascissa vertice destro superiore xs	40,41 m
Ordinata vertice destro superiore ys	886,39 m
Passo di ricerca	10,0
Numero di celle lungo x	10,0
Numero di celle lungo y	10,0

Coefficienti sismici [N.T.C.]

Dati generali

Tipo opera:	2 - Opere ordinarie
Classe d'uso:	Classe II
Vita nominale:	50,0 [anni]
Vita di riferimento:	50,0 [anni]

Parametri sismici su sito di riferimento

Categoria sottosuolo:	C
Categoria topografica:	T1

S.L. Stato limite	TR Tempo ritorno [anni]	ag [m/s ²]	F0 [-]	TC* [sec]
S.L.O.	30,0	0,48	2,41	0,29
S.L.D.	50,0	0,59	2,49	0,33
S.L.V.	475,0	1,55	2,55	0,44
S.L.C.	975,0	2,04	2,57	0,46

Coefficienti sismici orizzontali e verticali

Opera:	Classe II
--------	-----------

S.L. Stato limite	amax [m/s ²]	beta [-]	kh [-]	kv [sec]
S.L.O.	0,72	1,0	0,0734	0,0367
S.L.D.	0,885	0,47	0,0424	0,0212
S.L.V.	2,2601	0,38	0,0876	0,0438
S.L.C.	2,8136	1,0	0,2869	0,1435

Coefficiente azione sismica orizzontale 0,0734

Coefficiente azione sismica verticale

0,0367

Vertici profilo

Nr	X (m)	y (m)
1	0,0	867,43
2	5,0	868,88
3	10,0	870,87
4	15,0	871,58
5	20,0	872,65
6	25,0	873,3
7	30,0	873,34
8	35,0	873,38
9	40,0	873,12
10	45,0	872,47
11	50,0	871,27
12	55,0	869,55

Vertici strato1

N	X (m)	y (m)
1	0,0	865,91
2	1,68	867,06
3	5,69	868,17
4	7,9	869,2
5	12,18	870,58
6	13,69	870,65
7	17,15	871,27
8	19,63	871,96
9	23,57	872,17
10	25,98	872,31
11	29,09	872,58
12	31,37	872,86
13	34,47	872,65
14	37,37	872,72
15	39,23	872,17
16	41,51	872,17
17	45,1	871,62
18	47,45	870,93
19	49,93	870,44
20	51,59	869,55
21	55,0	868,65

Vertici strato2

N	X (m)	y (m)
1	0,0	861,85
2	4,03	862,64
3	6,93	863,4
4	9,42	864,02
5	12,25	864,02
6	13,14	863,89
7	17,84	865,2
8	22,39	868,17
9	26,67	866,85
10	33,57	865,34
11	41,03	863,06
12	45,52	863,4
13	49,59	863,27

14	55,0	862,79
----	------	--------

Coefficienti parziali azioni

Sfavorevoli: Permanentì, variabili	1,0	1,0
Favorevoli: Permanentì, variabili	1,0	1,0

Coefficienti parziali per i parametri geotecnici del terreno

Tangente angolo di resistenza al taglio	1,25
Coesione efficace	1,25
Coesione non drenata	1,4
Riduzione parametri geotecnici terreno	No

Stratigrafia

Descrizione Litologica	Materiale di Alterazione Superficiale	Argilla grigia-azzurra con livelli di Marne e Calcareni
Peso volume medio	$\gamma_m = 1,75-1,85 \text{ g/cm}^3$	$\gamma_m = 1,90 - 2,05 \text{ g/cm}^3$
Angolo di resistenza al taglio medio (tensioni efficaci, a lungo termine)	$\varphi_m = 18^\circ - 20^\circ$	$\varphi_m = 21^\circ - 26^\circ$
Coesione drenata media (tensioni efficaci, a lungo termine)	$C = 0,05 - 0,1 \text{ kg/cm}^2$	$C = 0,2 - 0,5 \text{ kg/cm}^2$
Coesione non drenata	$C_u = 0,5 - 0,8 \text{ kg/cm}^2$	$C_u = 0,8 - 1,0 \text{ kg/cm}^2$
Modulo di Poisson	$\nu = 0.25$	$\nu = 0.35$

Risultati analisi pendio

Fs minimo individuato	3,41
Ascissa centro superficie	30,61 m
Ordinata centro superficie	886,39 m
Raggio superficie	13,45 m

Numero di superfici esaminate....(221)

N°	Xo	Yo	Ro	Fs
1	30,6	877,3	4,5	3,44
2	31,1	877,7	10,2	5,73
3	31,6	877,3	10,1	6,08
4	32,1	877,7	10,3	6,17
5	32,6	877,3	9,9	6,53
6	33,1	877,7	10,5	6,92
7	33,5	877,3	6,0	7,53
8	34,0	877,7	12,3	7,83
9	34,5	877,3	12,0	8,13
10	35,0	877,7	12,2	8,95
11	35,5	877,3	10,1	9,21
12	36,0	877,7	10,2	10,56
13	36,5	877,3	4,5	9,36
14	37,0	877,7	12,0	12,87
15	37,5	877,3	10,0	14,26
16	38,0	877,7	11,6	19,00

17	38,4	877,3	5,9	20,00
18	38,9	877,7	6,1	20,00
19	39,4	877,3	5,5	20,00
20	39,9	877,7	5,7	20,00
21	40,4	877,3	5,1	20,00
22	30,6	878,2	10,5	5,34
23	31,1	878,6	10,9	5,67
24	31,6	878,2	10,7	6,11
25	32,1	878,6	11,1	6,23
26	32,6	878,2	10,8	6,54
27	33,1	878,6	9,3	6,76
28	33,5	878,2	10,9	7,32
29	34,0	878,6	13,2	7,94
30	34,5	878,2	12,7	8,12
31	35,0	878,6	13,1	8,95
32	35,5	878,2	10,6	9,49
33	36,0	878,6	10,9	10,80
34	36,5	878,2	12,3	12,33
35	37,0	878,6	12,3	13,55
36	37,5	878,2	11,8	16,12
37	38,0	878,6	5,9	11,64
38	38,4	878,2	5,9	20,00
39	38,9	878,6	7,4	20,00
40	39,4	878,2	5,8	20,00
41	39,9	878,6	7,3	20,00
42	40,4	878,2	5,7	20,00
43	30,6	879,1	10,8	5,38
44	31,1	879,6	11,2	5,77
45	31,6	879,1	13,1	5,87
46	32,1	879,6	6,7	3,43
47	32,6	879,1	9,1	6,57
48	33,1	879,6	13,5	6,88
49	33,5	879,1	9,3	7,24
50	34,0	879,6	9,3	7,75
51	34,5	879,1	13,6	8,32
52	35,0	879,6	13,7	9,10
53	35,5	879,1	11,5	10,04
54	36,0	879,6	11,5	11,04
55	36,5	879,1	10,9	12,89
56	37,0	879,6	12,9	14,06
57	37,5	879,1	12,3	16,67
58	38,0	879,6	8,5	20,00
59	38,4	879,1	7,9	20,00
60	38,9	879,6	8,0	20,00
61	39,4	879,1	7,4	20,00
62	39,9	879,6	7,6	20,00
63	40,4	879,1	7,0	20,00
64	30,6	880,0	11,7	5,38
65	31,1	880,5	7,7	5,33
66	31,6	880,0	7,1	3,42
67	32,1	880,5	7,4	3,48
68	32,6	880,0	13,6	6,43
69	33,1	880,5	14,0	6,92
70	33,5	880,0	13,6	7,48
71	34,0	880,5	11,5	7,59
72	34,5	880,0	7,2	4,54
73	35,0	880,5	13,8	9,26
74	35,5	880,0	7,3	5,95
75	36,0	880,5	11,3	11,40

76	36,5	880,0	7,3	8,15
77	37,0	880,5	13,1	14,56
78	37,5	880,0	7,3	11,22
79	38,0	880,5	8,9	20,00
80	38,4	880,0	8,7	20,00
81	38,9	880,5	8,8	20,00
82	39,4	880,0	8,2	20,00
83	39,9	880,5	8,3	20,00
84	40,4	880,0	7,7	20,00
85	30,6	880,9	12,6	5,37
86	31,1	881,4	8,6	4,46
87	31,6	880,9	8,0	3,42
88	32,1	881,4	8,3	3,42
89	32,6	880,9	14,5	6,42
90	33,1	881,4	14,9	6,85
91	33,5	880,9	14,3	7,54
92	34,0	881,4	14,7	7,86
93	34,5	880,9	14,2	8,47
94	35,0	881,4	14,1	9,47
95	35,5	880,9	11,3	10,44
96	36,0	881,4	15,7	11,24
97	36,5	880,9	15,3	12,41
98	37,0	881,4	8,8	13,20
99	37,5	880,9	8,8	18,67
100	38,0	881,4	8,6	12,69
101	38,4	880,9	8,7	20,00
102	38,9	881,4	8,5	16,47
103	39,4	880,9	8,6	20,00
104	39,9	881,4	10,2	20,00
105	40,4	880,9	8,4	20,00
106	30,6	881,8	13,5	5,35
107	31,1	882,3	9,4	3,41
108	31,6	881,8	8,9	3,42
109	32,1	882,3	13,7	6,50
110	32,6	881,8	15,4	6,42
111	33,1	882,3	15,7	6,80
112	33,5	881,8	15,2	7,31
113	34,0	882,3	15,4	7,94
114	34,5	881,8	14,8	8,56
115	35,0	882,3	14,8	9,38
116	35,5	881,8	11,9	10,40
117	36,0	882,3	16,3	11,43
118	36,5	881,8	9,1	7,71
119	37,0	882,3	13,5	15,30
120	37,5	881,8	15,0	17,49
121	38,0	882,3	10,8	20,00
122	38,4	881,8	10,5	20,00
123	38,9	882,3	10,3	20,00
124	39,4	881,8	10,3	20,00
125	39,9	882,3	10,1	20,00
126	40,4	881,8	10,1	20,00
127	30,6	882,7	10,0	5,28
128	31,1	883,2	10,3	3,41
129	31,6	882,7	9,7	3,41
130	32,1	883,2	14,5	6,38
131	32,6	882,7	14,0	6,77
132	33,1	883,2	16,6	6,77
133	33,5	882,7	16,0	7,25
134	34,0	883,2	16,0	8,02

135	34,5	882,7	15,4	8,65
136	35,0	883,2	15,4	9,48
137	35,5	882,7	12,6	10,55
138	36,0	883,2	10,5	6,49
139	36,5	882,7	9,8	8,10
140	37,0	883,2	14,2	15,54
141	37,5	882,7	13,5	18,12
142	38,0	883,2	11,5	20,00
143	38,4	882,7	10,8	20,00
144	38,9	883,2	10,9	20,00
145	39,4	882,7	10,3	20,00
146	39,9	883,2	10,4	20,00
147	40,4	882,7	9,9	20,00
148	30,6	883,7	10,8	4,44
149	31,1	884,1	11,2	3,43
150	31,6	883,7	10,6	3,43
151	32,1	884,1	15,4	6,32
152	32,6	883,7	14,9	6,77
153	33,1	884,1	17,3	6,79
154	33,5	883,7	16,7	7,29
155	34,0	884,1	16,7	8,09
156	34,5	883,7	16,0	8,72
157	35,0	884,1	16,1	9,55
158	35,5	883,7	13,3	10,70
159	36,0	884,1	11,2	6,66
160	36,5	883,7	10,6	9,07
161	37,0	884,1	14,8	15,39
162	37,5	883,7	14,2	18,41
163	38,0	884,1	12,2	20,00
164	38,4	883,7	11,6	20,00
165	38,9	884,1	11,6	20,00
166	39,4	883,7	11,0	20,00
167	39,9	884,1	13,1	20,00
168	40,4	883,7	12,4	20,00
169	30,6	884,6	11,7	3,42
170	31,1	885,0	12,0	3,42
171	31,6	884,6	11,5	3,44
172	32,1	885,0	16,3	6,27
173	32,6	884,6	15,7	6,78
174	33,1	885,0	18,0	6,82
175	33,5	884,6	17,3	7,33
176	34,0	885,0	17,3	8,14
177	34,5	884,6	16,7	8,63
178	35,0	885,0	16,7	9,64
179	35,5	884,6	11,8	5,66
180	36,0	885,0	11,9	7,02
181	36,5	884,6	15,5	13,15
182	37,0	885,0	15,5	15,28
183	37,5	884,6	14,9	18,08
184	38,0	885,0	12,9	20,00
185	38,4	884,6	12,3	20,00
186	38,9	885,0	12,4	20,00
187	39,4	884,6	11,7	20,00
188	39,9	885,0	13,8	20,00
189	40,4	884,6	13,2	20,00
190	30,6	885,5	12,6	3,41
191	31,1	885,9	12,9	3,41
192	31,6	885,5	12,3	3,41
193	32,1	885,9	17,0	6,30

194	32,6	885,5	16,4	6,84
195	33,1	885,9	18,6	6,86
196	33,5	885,5	18,0	7,37
197	34,0	885,9	18,0	8,20
198	34,5	885,5	17,4	8,70
199	35,0	885,9	13,2	5,10
200	35,5	885,5	12,6	5,69
201	36,0	885,9	18,9	12,06
202	36,5	885,5	16,2	13,43
203	37,0	885,9	16,2	15,42
204	37,5	885,5	15,6	18,20
205	38,0	885,9	13,6	20,00
206	38,4	885,5	13,0	20,00
207	38,9	885,9	13,1	19,18
208	39,4	885,5	14,4	20,00
209	39,9	885,9	14,5	20,00
210	40,4	885,5	13,9	20,00
211	30,6	886,4	13,4	3,41
212	31,6	886,4	19,9	5,70
213	32,6	886,4	19,3	6,86
214	33,5	886,4	18,6	7,41
215	34,5	886,4	18,0	8,78
216	35,5	886,4	13,3	5,74
217	36,5	886,4	16,9	13,25
218	37,5	886,4	14,3	17,63
219	38,4	886,4	13,8	20,00
220	39,4	886,4	15,2	20,00
221	40,4	886,4	14,6	20,00

VERIFICA DI STABILITÀ POST OPERAM – AEROGENERATORE WTG9

Analisi di stabilità dei pendii con: FELLENIUS (1936)

Lat./Long.	41,322318/15,180547
Calcolo eseguito secondo	NTC 2018
Numero di strati	3,0
Numero dei conci	10,0
Grado di sicurezza ritenuto accettabile	1,3
Coefficiente parziale resistenza	1,0
Parametri geotecnici da usare. Angolo di attrito:	Picco
Analisi	Condizione drenata
Superficie di forma circolare	

Maglia dei Centri

Ascissa vertice sinistro inferiore xi	29,51 m
Ordinata vertice sinistro inferiore yi	890,5 m
Ascissa vertice destro superiore xs	39,32 m
Ordinata vertice destro superiore ys	899,61 m
Passo di ricerca	10,0
Numero di celle lungo x	10,0
Numero di celle lungo y	10,0

Coefficienti sismici [N.T.C.]

Dati generali

Tipo opera:	2 - Opere ordinarie
Classe d'uso:	Classe II
Vita nominale:	50,0 [anni]
Vita di riferimento:	50,0 [anni]

Parametri sismici su sito di riferimento

Categoria sottosuolo:	C
Categoria topografica:	T1

S.L. Stato limite	TR Tempo ritorno [anni]	ag [m/s ²]	F0 [-]	TC* [sec]
S.L.O.	30,0	0,48	2,41	0,29
S.L.D.	50,0	0,59	2,49	0,33
S.L.V.	475,0	1,55	2,55	0,44
S.L.C.	975,0	2,04	2,57	0,46

Coefficienti sismici orizzontali e verticali

Opera:	Classe II
--------	-----------

S.L. Stato limite	amax [m/s ²]	beta [-]	kh [-]	kv [sec]
S.L.O.	0,72	1,0	0,0734	0,0367
S.L.D.	0,885	0,47	0,0424	0,0212
S.L.V.	2,2601	0,38	0,0876	0,0438
S.L.C.	2,8136	1,0	0,2869	0,1435

Coefficiente azione sismica orizzontale	0,0734
Coefficiente azione sismica verticale	0,0367

Vertici profilo

Nr	X (m)	y (m)
1	0,0	867,43
2	5,0	868,88
3	10,0	870,87
4	15,0	871,58
5	20,0	872,65
6	25,0	873,3
7	30,0	873,34
8	35,0	873,38
9	40,0	873,12
10	45,0	872,47
11	50,0	871,27
12	55,0	869,55

Vertici strato1

N	X (m)	y (m)
1	0,0	865,91
2	1,68	867,06
3	5,69	868,17
4	7,9	869,2
5	12,18	870,58
6	13,69	870,65
7	17,15	871,27
8	19,63	871,96
9	23,57	872,17
10	25,98	872,31
11	29,09	872,58
12	31,37	872,86
13	34,47	872,65
14	37,37	872,72
15	39,23	872,17
16	41,51	872,17
17	45,1	871,62
18	47,45	870,93
19	49,93	870,44
20	51,59	869,55
21	55,0	868,65

Vertici strato2

N	X (m)	y (m)
1	0,0	861,85
2	4,03	862,64
3	6,93	863,4
4	9,42	864,02
5	12,25	864,02
6	13,14	863,89
7	17,84	865,2
8	22,39	868,17
9	26,67	866,85
10	33,57	865,34
11	41,03	863,06
12	45,52	863,4
13	49,59	863,27
14	55,0	862,79

Coefficienti parziali azioni

Sfavorevoli: Permanenti, variabili	1,0	1,0
Favorevoli: Permanenti, variabili	1,0	1,0

Coefficienti parziali per i parametri geotecnici del terreno

Tangente angolo di resistenza al taglio	1,25
Coesione efficace	1,25
Coesione non drenata	1,4
Riduzione parametri geotecnici terreno	No

Stratigrafia

Descrizione Litologica	Materiale di Alterazione	Argilla grigia-azzurra con livelli di Marne e Calcarenti
	Superficiale	
<i>Peso volume medio</i>	$\gamma_m = 1,75-1,85 \text{ g/cm}^3$	$\gamma_m = 1,90 - 2,05 \text{ g/cm}^3$
<i>Angolo di resistenza al taglio medio (tensioni efficaci, a lungo termine)</i>	$\varphi_m = 18^\circ - 20^\circ$	$\varphi_m = 21^\circ - 26^\circ$
<i>Coesione drenata media (tensioni efficaci, a lungo termine)</i>	$C = 0,05 - 0,1 \text{ kg/cm}^2$	$C = 0,2 - 0,5 \text{ kg/cm}^2$
<i>Coesione non drenata</i>	$C_u = 0,5 - 0,8 \text{ kg/cm}^2$	$C_u = 0,8 - 1,0 \text{ kg/cm}^2$
<i>Modulo di Poisson</i>	$\nu = 0.25$	$\nu = 0.35$

Risultati analisi pendio

Fs minimo individuato	3,41
Ascissa centro superficie	29,51 m
Ordinata centro superficie	892,33 m
Raggio superficie	19,16 m

Numero di superfici esaminate....(221)

N°	Xo	Yo	Ro	Fs
1	29,5	890,5	17,6	3,42
2	30,0	891,0	17,8	3,42
3	30,5	890,5	23,6	4,98
4	31,0	891,0	23,7	5,27
5	31,5	890,5	23,0	5,69
6	32,0	891,0	23,1	6,27
7	32,5	890,5	24,5	6,76
8	32,9	891,0	24,6	6,72
9	33,4	890,5	17,8	6,22
10	33,9	891,0	17,9	4,10
11	34,4	890,5	21,3	8,94
12	34,9	891,0	21,4	9,48
13	35,4	890,5	24,7	10,90
14	35,9	891,0	22,8	12,17
15	36,4	890,5	18,3	13,23
16	36,9	891,0	18,4	12,55
17	37,4	890,5	17,8	8,44

18	37,8	891,0	17,9	11,72
19	38,3	890,5	19,2	20,00
20	38,8	891,0	19,3	20,00
21	39,3	890,5	18,7	20,00
22	29,5	891,4	18,4	3,42
23	30,0	891,9	25,0	4,94
24	30,5	891,4	24,3	4,99
25	31,0	891,9	24,4	5,29
26	31,5	891,4	23,7	5,71
27	32,0	891,9	21,7	6,28
28	32,5	891,4	25,2	6,38
29	32,9	891,9	25,3	6,73
30	33,4	891,4	18,5	4,02
31	33,9	891,9	18,7	3,87
32	34,4	891,4	22,0	9,00
33	34,9	891,9	22,1	9,54
34	35,4	891,4	25,4	10,89
35	35,9	891,9	19,7	11,85
36	36,4	891,4	19,0	12,52
37	36,9	891,9	19,2	9,03
38	37,4	891,4	18,5	8,50
39	37,8	891,9	20,6	20,00
40	38,3	891,4	19,9	20,00
41	38,8	891,9	20,1	20,00
42	39,3	891,4	19,4	20,00
43	29,5	892,3	19,2	3,41
44	30,0	892,8	25,7	4,70
45	30,5	892,3	25,0	5,01
46	31,0	892,8	25,1	5,31
47	31,5	892,3	24,4	5,74
48	32,0	892,8	24,5	6,32
49	32,5	892,3	25,9	6,25
50	32,9	892,8	19,9	3,86
51	33,4	892,3	19,3	3,93
52	33,9	892,8	25,4	8,13
53	34,4	892,3	22,8	8,57
54	34,9	892,8	26,8	9,58
55	35,4	892,3	26,2	10,87
56	35,9	892,8	24,3	12,22
57	36,4	892,3	19,8	11,73
58	36,9	892,8	19,9	7,24
59	37,4	892,3	19,3	9,17
60	37,8	892,8	21,4	20,00
61	38,3	892,3	20,7	20,00
62	38,8	892,8	20,9	20,00
63	39,3	892,3	20,2	20,00
64	29,5	893,2	24,2	4,82
65	30,0	893,7	26,4	4,72
66	30,5	893,2	25,7	5,03
67	31,0	893,7	25,8	5,34
68	31,5	893,2	25,2	5,77
69	32,0	893,7	27,3	6,05
70	32,5	893,2	26,6	6,26
71	32,9	893,7	20,7	3,77
72	33,4	893,2	20,1	3,73
73	33,9	893,7	26,1	8,15
74	34,4	893,2	23,5	8,64
75	34,9	893,7	27,5	9,58
76	35,4	893,2	26,9	10,85

77	35,9	893,7	21,2	11,86
78	36,4	893,2	20,6	9,36
79	36,9	893,7	20,7	7,48
80	37,4	893,2	20,1	10,40
81	37,8	893,7	22,1	20,00
82	38,3	893,2	21,5	20,00
83	38,8	893,7	21,7	20,00
84	39,3	893,2	21,0	20,00
85	29,5	894,1	27,0	4,84
86	30,0	894,6	27,1	4,76
87	30,5	894,1	26,5	5,05
88	31,0	894,6	26,5	5,36
89	31,5	894,1	25,9	5,79
90	32,0	894,6	28,0	5,89
91	32,5	894,1	21,3	4,84
92	32,9	894,6	21,5	3,66
93	33,4	894,1	26,8	7,46
94	33,9	894,6	26,9	8,16
95	34,4	894,1	28,2	8,63
96	34,9	894,6	28,3	9,58
97	35,4	894,1	27,6	10,84
98	35,9	894,6	22,0	9,63
99	36,4	894,1	21,4	6,35
100	36,9	894,6	21,5	7,88
101	37,4	894,1	22,8	18,09
102	37,8	894,6	22,9	20,00
103	38,3	894,1	22,3	20,00
104	38,8	894,6	22,4	20,00
105	39,3	894,1	21,8	20,00
106	29,5	895,1	27,7	4,60
107	30,0	895,5	27,8	4,77
108	30,5	895,1	27,2	5,07
109	31,0	895,5	27,3	5,39
110	31,5	895,1	26,6	5,83
111	32,0	895,5	22,7	5,67
112	32,5	895,1	22,1	3,67
113	32,9	895,5	22,3	3,45
114	33,4	895,1	25,6	7,35
115	33,9	895,5	27,6	8,18
116	34,4	895,1	28,9	8,63
117	34,9	895,5	29,0	9,57
118	35,4	895,1	28,4	10,81
119	35,9	895,5	22,8	5,72
120	36,4	895,1	22,2	6,41
121	36,9	895,5	24,2	15,63
122	37,4	895,1	23,6	18,22
123	37,8	895,5	23,7	20,00
124	38,3	895,1	23,1	20,00
125	38,8	895,5	23,2	20,00
126	39,3	895,1	22,6	20,00
127	29,5	896,0	28,5	4,62
128	30,0	896,4	28,6	4,79
129	30,5	896,0	27,9	5,09
130	31,0	896,4	28,0	5,42
131	31,5	896,0	29,4	5,73
132	32,0	896,4	23,5	3,61
133	32,5	896,0	22,9	3,57
134	32,9	896,4	28,9	6,90
135	33,4	896,0	26,3	7,40

136	33,9	896,4	30,3	7,79
137	34,4	896,0	29,7	8,63
138	34,9	896,4	29,8	9,56
139	35,4	896,0	29,1	10,79
140	35,9	896,4	23,6	5,74
141	36,4	896,0	22,9	6,56
142	36,9	896,4	25,0	15,73
143	37,4	896,0	24,3	18,34
144	37,8	896,4	24,5	20,00
145	38,3	896,0	23,9	20,00
146	38,8	896,4	24,1	20,00
147	39,3	896,0	23,4	20,00
148	29,5	896,9	29,2	4,64
149	30,0	897,3	29,3	4,81
150	30,5	896,9	28,7	5,11
151	31,0	897,3	28,8	5,45
152	31,5	896,9	30,1	5,54
153	32,0	897,3	24,3	3,54
154	32,5	896,9	23,7	3,45
155	32,9	897,3	27,7	6,88
156	33,4	896,9	27,1	7,44
157	33,9	897,3	31,0	7,79
158	34,4	896,9	30,4	8,63
159	34,9	897,3	30,5	9,55
160	35,4	896,9	24,2	7,91
161	35,9	897,3	24,4	5,75
162	36,4	896,9	23,7	6,77
163	36,9	897,3	25,8	15,28
164	37,4	896,9	25,1	18,54
165	37,8	897,3	25,3	20,00
166	38,3	896,9	24,7	20,00
167	38,8	897,3	24,9	20,00
168	39,3	896,9	24,2	20,00
169	29,5	897,8	29,9	4,56
170	30,0	898,2	30,1	4,83
171	30,5	897,8	29,4	5,14
172	31,0	898,2	29,5	5,48
173	31,5	897,8	24,9	3,56
174	32,0	898,2	25,1	3,42
175	32,5	897,8	30,3	6,33
176	32,9	898,2	28,5	6,92
177	33,4	897,8	27,9	7,50
178	33,9	898,2	31,8	7,80
179	34,4	897,8	31,2	8,63
180	34,9	898,2	31,3	9,54
181	35,4	897,8	25,0	5,28
182	35,9	898,2	25,2	5,79
183	36,4	897,8	28,3	13,29
184	36,9	898,2	26,6	15,51
185	37,4	897,8	25,9	18,53
186	37,8	898,2	26,1	19,30
187	38,3	897,8	25,5	20,00
188	38,8	898,2	25,7	17,54
189	39,3	897,8	25,1	19,21
190	29,5	898,7	30,7	4,59
191	30,0	899,2	30,8	4,85
192	30,5	898,7	30,2	5,17
193	31,0	899,2	26,4	4,52
194	31,5	898,7	25,7	3,49

195	32,0	899,2	25,9	3,43
196	32,5	898,7	31,1	6,34
197	32,9	899,2	31,2	6,94
198	33,4	898,7	32,4	7,31
199	33,9	899,2	32,6	7,80
200	34,4	898,7	31,9	8,62
201	34,9	899,2	26,4	4,94
202	35,4	898,7	25,8	5,26
203	35,9	899,2	26,0	5,86
204	36,4	898,7	29,0	13,26
205	36,9	899,2	29,2	15,63
206	37,4	898,7	26,7	17,33
207	37,8	899,2	26,9	17,91
208	38,3	898,7	26,3	17,63
209	38,8	899,2	26,5	13,71
210	39,3	898,7	25,9	18,23
211	29,5	899,6	31,4	4,61
212	30,5	899,6	30,9	5,19
213	31,5	899,6	26,5	3,42
214	32,5	899,6	31,8	6,36
215	33,4	899,6	33,2	7,15
216	34,4	899,6	32,7	8,62
217	35,4	899,6	26,6	5,23
218	36,4	899,6	29,8	13,21
219	37,4	899,6	27,6	16,17
220	38,3	899,6	27,1	17,87
221	39,3	899,6	26,7	16,67

VERIFICA DI STABILITÀ PRE OPERAM – AEROGENERATORE WTG10

Analisi di stabilità dei pendii con: FELLENIUS (1936)

Lat./Long.	41,322318/15,180547
Calcolo eseguito secondo	NTC 2018
Numero di strati	3,0
Numero dei conci	10,0
Grado di sicurezza ritenuto accettabile	1,3
Coefficiente parziale resistenza	1,0
Parametri geotecnici da usare. Angolo di attrito:	Picco
Analisi	Condizione drenata
Superficie di forma circolare	

Maglia dei Centri

Ascissa vertice sinistro inferiore xi	19,49 m
Ordinata vertice sinistro inferiore yi	923,99 m
Ascissa vertice destro superiore xs	35,24 m
Ordinata vertice destro superiore ys	934,28 m
Passo di ricerca	10,0
Numero di celle lungo x	10,0
Numero di celle lungo y	10,0

Coefficienti sismici [N.T.C.]

Dati generali

Tipo opera:	2 - Opere ordinarie
Classe d'uso:	Classe II
Vita nominale:	50,0 [anni]
Vita di riferimento:	50,0 [anni]

Parametri sismici su sito di riferimento

Categoria sottosuolo:	C
Categoria topografica:	T1

S.L. Stato limite	TR Tempo ritorno [anni]	ag [m/s ²]	F0 [-]	TC* [sec]
S.L.O.	30,0	0,48	2,41	0,29
S.L.D.	50,0	0,59	2,49	0,33
S.L.V.	475,0	1,55	2,55	0,44
S.L.C.	975,0	2,04	2,57	0,46

Coefficienti sismici orizzontali e verticali

Opera:	Classe II
--------	-----------

S.L. Stato limite	amax [m/s ²]	beta [-]	kh [-]	kv [sec]
S.L.O.	0,72	1,0	0,0734	0,0367
S.L.D.	0,885	0,47	0,0424	0,0212
S.L.V.	2,2601	0,38	0,0876	0,0438
S.L.C.	2,8136	1,0	0,2869	0,1435

Coefficiente azione sismica orizzontale	0,0734
Coefficiente azione sismica verticale	0,0367

Vertici profilo

Nr	X (m)	y (m)
1	0,0	916,83
2	5,0	916,95
3	10,0	917,17
4	15,0	917,03
5	20,0	916,68
6	25,0	916,35
7	30,0	916,03
8	35,0	915,64
9	40,0	915,46
10	45,0	913,2
11	50,0	913,16
12	55,0	913,13
13	60,0	913,6
14	65,0	913,1
15	70,0	913,09
16	75,0	913,02
17	80,0	913,26
18	82,0	913,21

Vertici strato1

N	X (m)	y (m)
1	0,0	915,44
2	2,92	916,17
3	6,52	916,17
4	8,89	916,17
5	12,39	916,17
6	16,3	915,86
7	20,93	915,65
8	24,23	915,65
9	26,28	915,65
10	28,86	915,14
11	31,74	915,14
12	34,1	915,03
13	39,25	914,62
14	41,62	913,7
15	42,03	913,18
16	46,04	912,36
17	48,51	912,46
18	52,63	912,36
19	55,61	912,36
20	58,19	912,36
21	61,27	912,77
22	63,13	912,46
23	67,96	912,36
24	72,29	912,36
25	76,3	911,84
26	82,0	911,84

Vertici strato2

N	X (m)	y (m)
1	0,0	909,15
2	5,39	909,99
3	10,13	909,99

4	13,01	909,17
5	18,36	908,14
6	23,2	908,45
7	27,93	908,35
8	31,84	908,86
9	36,68	908,86
10	42,75	907,32
11	50,36	906,6
12	55,2	907,01
13	60,76	907,52
14	70,12	907,93
15	74,24	906,39
16	82,0	905,51

Coefficienti parziali azioni

Sfavorevoli: Permanenti, variabili	1,0	1,0
Favorevoli: Permanenti, variabili	1,0	1,0

Coefficienti parziali per i parametri geotecnici del terreno

Tangente angolo di resistenza al taglio	1,25
Coesione efficace	1,25
Coesione non drenata	1,4
Riduzione parametri geotecnici terreno	No

Stratigrafia

Descrizione Litologica	Materiale di Alterazione Superficiale	Argilla grigia-azzurra con livelli di Marne e Calcarenit
Peso volume medio	$\gamma_m = 1,75 - 1,85 \text{ g/cm}^3$	$\gamma_m = 1,90 - 2,05 \text{ g/cm}^3$
Angolo di resistenza al taglio medio (tensioni efficaci, a lungotermine)	$\varphi_m = 18^\circ - 20^\circ$	$\varphi_m = 21^\circ - 26^\circ$
Coesione drenata media (tensioni efficaci, a lungo termine)	$C = 0,05 - 0,1 \text{ kg/cm}^2$	$C = 0,2 - 0,5 \text{ kg/cm}^2$
Coesione non drenata	$C_u = 0,5 - 0,8 \text{ kg/cm}^2$	$C_u = 0,8 - 1,0 \text{ kg/cm}^2$
Modulo di Poisson	$\nu = 0.25$	$\nu = 0.35$

Risultati analisi pendio

Fs minimo individuato	12,01
Ascissa centro superficie	19,49 m
Ordinata centro superficie	930,16 m
Raggio superficie	21,75 m

Numero di superfici esaminate....(221)

N°	Xo	Yo	Ro	Fs
1	19,5	924,0	14,7	14,72
2	20,3	924,5	19,3	13,84

3	21,1	924,0	14,7	14,42
4	21,9	924,5	17,3	16,23
5	22,6	924,0	18,9	16,43
6	23,4	924,5	19,5	16,40
7	24,2	924,0	15,1	19,05
8	25,0	924,5	9,8	20,00
9	25,8	924,0	15,3	17,59
10	26,6	924,5	15,9	18,16
11	27,4	924,0	8,1	20,00
12	28,2	924,5	8,8	20,00
13	28,9	924,0	8,5	20,00
14	29,7	924,5	9,3	20,00
15	30,5	924,0	9,0	20,00
16	31,3	924,5	9,7	20,00
17	32,1	924,0	9,4	20,00
18	32,9	924,5	10,2	20,00
19	33,7	924,0	9,9	20,00
20	34,4	924,5	9,1	20,00
21	35,2	924,0	8,8	19,58
22	19,5	925,0	19,1	13,32
23	20,3	925,5	15,8	15,19
24	21,1	925,0	15,7	13,85
25	21,9	925,5	18,4	16,58
26	22,6	925,0	17,9	17,00
27	23,4	925,5	18,5	17,01
28	24,2	925,0	20,0	17,12
29	25,0	925,5	10,8	20,00
30	25,8	925,0	16,3	18,04
31	26,6	925,5	16,9	19,07
32	27,4	925,0	9,1	20,00
33	28,2	925,5	9,8	20,00
34	28,9	925,0	9,5	20,00
35	29,7	925,5	10,2	20,00
36	30,5	925,0	10,0	20,00
37	31,3	925,5	10,7	20,00
38	32,1	925,0	10,4	20,00
39	32,9	925,5	11,1	20,00
40	33,7	925,0	10,9	20,00
41	34,4	925,5	10,0	20,00
42	35,2	925,0	9,8	19,40
43	19,5	926,0	17,5	14,56
44	20,3	926,6	18,4	15,83
45	21,1	926,0	20,9	13,86
46	21,9	926,6	19,4	15,56
47	22,6	926,0	18,9	17,29
48	23,4	926,6	19,5	16,95
49	24,2	926,0	21,0	17,93
50	25,0	926,6	19,6	19,72
51	25,8	926,0	17,3	19,90
52	26,6	926,6	12,2	20,00
53	27,4	926,0	11,9	20,00
54	28,2	926,6	10,7	20,00
55	28,9	926,0	10,5	20,00
56	29,7	926,6	11,2	20,00
57	30,5	926,0	10,9	20,00
58	31,3	926,6	11,6	20,00
59	32,1	926,0	11,4	20,00
60	32,9	926,6	12,1	20,00
61	33,7	926,0	11,8	20,00

62	34,4	926,6	12,5	20,00
63	35,2	926,0	10,8	20,00
64	19,5	927,1	20,0	13,47
65	20,3	927,6	21,0	14,39
66	21,1	927,1	17,2	14,37
67	21,9	927,6	22,3	13,90
68	22,6	927,1	19,9	17,47
69	23,4	927,6	22,5	16,51
70	24,2	927,1	20,1	19,17
71	25,0	927,6	20,6	19,74
72	25,8	927,1	18,3	19,85
73	26,6	927,6	13,1	20,00
74	27,4	927,1	12,9	20,00
75	28,2	927,6	11,7	20,00
76	28,9	927,1	11,4	20,00
77	29,7	927,6	12,1	20,00
78	30,5	927,1	11,9	20,00
79	31,3	927,6	12,6	20,00
80	32,1	927,1	12,3	20,00
81	32,9	927,6	13,1	20,00
82	33,7	927,1	12,8	20,00
83	34,4	927,6	13,5	20,00
84	35,2	927,1	11,7	20,00
85	19,5	928,1	18,6	15,33
86	20,3	928,6	21,5	14,38
87	21,1	928,1	21,9	14,33
88	21,9	928,6	22,8	14,17
89	22,6	928,1	18,9	17,48
90	23,4	928,6	23,6	16,76
91	24,2	928,1	21,1	18,63
92	25,0	928,6	21,6	19,92
93	25,8	928,1	13,4	20,00
94	26,6	928,6	14,1	20,00
95	27,4	928,1	13,8	20,00
96	28,2	928,6	14,5	20,00
97	28,9	928,1	12,4	20,00
98	29,7	928,6	13,1	20,00
99	30,5	928,1	12,9	20,00
100	31,3	928,6	13,6	20,00
101	32,1	928,1	13,3	20,00
102	32,9	928,6	14,0	20,00
103	33,7	928,1	13,8	20,00
104	34,4	928,6	14,5	20,00
105	35,2	928,1	12,7	20,00
106	19,5	929,1	21,1	13,67
107	20,3	929,6	20,2	16,17
108	21,1	929,1	22,4	14,70
109	21,9	929,6	21,4	17,15
110	22,6	929,1	23,7	15,21
111	23,4	929,6	24,6	17,23
112	24,2	929,1	22,1	18,86
113	25,0	929,6	14,7	20,00
114	25,8	929,1	14,4	20,00
115	26,6	929,6	15,1	20,00
116	27,4	929,1	14,8	20,00
117	28,2	929,6	15,5	20,00
118	28,9	929,1	13,4	20,00
119	29,7	929,6	14,1	20,00
120	30,5	929,1	13,8	20,00

121	31,3	929,6	14,5	20,00
122	32,1	929,1	14,3	20,00
123	32,9	929,6	15,0	20,00
124	33,7	929,1	14,7	20,00
125	34,4	929,6	15,4	20,00
126	35,2	929,1	13,6	20,00
127	19,5	930,2	21,7	12,01
128	20,3	930,7	22,7	14,03
129	21,1	930,2	23,0	14,81
130	21,9	930,7	22,0	16,58
131	22,6	930,2	24,3	15,54
132	23,4	930,7	21,2	18,36
133	24,2	930,2	23,1	19,26
134	25,0	930,7	15,7	20,00
135	25,8	930,2	15,4	20,00
136	26,6	930,7	16,1	20,00
137	27,4	930,2	15,8	20,00
138	28,2	930,7	16,5	20,00
139	28,9	930,2	14,3	20,00
140	29,7	930,7	15,0	20,00
141	30,5	930,2	14,8	20,00
142	31,3	930,7	15,5	20,00
143	32,1	930,2	15,2	20,00
144	32,9	930,7	15,9	20,00
145	33,7	930,2	15,7	20,00
146	34,4	930,7	16,4	20,00
147	35,2	930,2	16,1	20,00
148	19,5	931,2	20,5	16,50
149	20,3	931,7	21,5	16,79
150	21,1	931,2	19,8	17,53
151	21,9	931,7	24,5	15,08
152	22,6	931,2	24,8	15,87
153	23,4	931,7	23,8	18,49
154	24,2	931,2	22,1	18,64
155	25,0	931,7	22,7	19,80
156	25,8	931,2	16,4	20,00
157	26,6	931,7	17,0	20,00
158	27,4	931,2	16,7	20,00
159	28,2	931,7	17,4	20,00
160	28,9	931,2	15,3	20,00
161	29,7	931,7	16,0	20,00
162	30,5	931,2	15,8	20,00
163	31,3	931,7	16,5	20,00
164	32,1	931,2	16,2	20,00
165	32,9	931,7	16,9	20,00
166	33,7	931,2	16,7	20,00
167	34,4	931,7	17,4	20,00
168	35,2	931,2	17,1	20,00
169	19,5	932,2	23,0	12,41
170	20,3	932,7	24,0	12,72
171	21,1	932,2	24,2	14,40
172	21,9	932,7	25,2	14,82
173	22,6	932,2	23,5	17,28
174	23,4	932,7	24,4	17,44
175	24,2	932,2	24,7	19,52
176	25,0	932,7	23,6	19,69
177	25,8	932,2	17,3	20,00
178	26,6	932,7	18,0	20,00
179	27,4	932,2	17,7	20,00

180	28,2	932,7	18,4	20,00
181	28,9	932,2	16,3	20,00
182	29,7	932,7	17,0	20,00
183	30,5	932,2	16,7	20,00
184	31,3	932,7	17,4	20,00
185	32,1	932,2	17,2	20,00
186	32,9	932,7	17,9	20,00
187	33,7	932,2	17,6	20,00
188	34,4	932,7	18,3	20,00
189	35,2	932,2	18,1	20,00
190	19,5	933,3	23,7	12,58
191	20,3	933,8	22,8	17,44
192	21,1	933,3	23,1	18,23
193	21,9	933,8	25,8	14,16
194	22,6	933,3	24,2	17,74
195	23,4	933,8	25,1	17,31
196	24,2	933,3	23,4	19,62
197	25,0	933,8	18,4	20,00
198	25,8	933,3	18,3	20,00
199	26,6	933,8	19,0	20,00
200	27,4	933,3	18,7	20,00
201	28,2	933,8	19,4	20,00
202	28,9	933,3	19,1	20,00
203	29,7	933,8	17,9	20,00
204	30,5	933,3	17,7	20,00
205	31,3	933,8	18,4	20,00
206	32,1	933,3	18,1	20,00
207	32,9	933,8	18,8	20,00
208	33,7	933,3	18,6	20,00
209	34,4	933,8	19,3	20,00
210	35,2	933,3	19,0	20,00
211	19,5	934,3	22,7	17,56
212	21,1	934,3	23,8	17,88
213	22,6	934,3	24,9	18,21
214	24,2	934,3	26,0	18,21
215	25,8	934,3	19,2	20,00
216	27,4	934,3	19,7	20,00
217	28,9	934,3	20,1	20,00
218	30,5	934,3	18,6	20,00
219	32,1	934,3	19,1	20,00
220	33,7	934,3	19,6	20,00
221	35,2	934,3	20,0	20,00

VERIFICA DI STABILITA' POST OPERAM – AEROGENERATORE WTG10

Analisi di stabilità dei pendii con: FELLENIUS (1936)

Lat./Long.	41,322318/15,180547
Calcolo eseguito secondo	NTC 2018
Numero di strati	3,0
Numero dei conci	10,0
Grado di sicurezza ritenuto accettabile	1,3
Coefficiente parziale resistenza	1,0
Parametri geotecnici da usare. Angolo di attrito:	Picco
Analisi	Condizione drenata
Superficie di forma circolare	

Maglia dei Centri

Ascissa vertice sinistro inferiore xi	23,81 m
Ordinata vertice sinistro inferiore yi	930,47 m
Ascissa vertice destro superiore xs	39,56 m
Ordinata vertice destro superiore ys	940,76 m
Passo di ricerca	10,0
Numero di celle lungo x	10,0
Numero di celle lungo y	10,0

Coefficienti sismici [N.T.C.]

Dati generali

Tipo opera:	2 - Opere ordinarie
Classe d'uso:	Classe II
Vita nominale:	50,0 [anni]
Vita di riferimento:	50,0 [anni]

Parametri sismici su sito di riferimento

Categoria sottosuolo:	C
Categoria topografica:	T1

S.L. Stato limite	TR Tempo ritorno [anni]	ag [m/s ²]	F0 [-]	TC* [sec]
S.L.O.	30,0	0,48	2,41	0,29
S.L.D.	50,0	0,59	2,49	0,33
S.L.V.	475,0	1,55	2,55	0,44
S.L.C.	975,0	2,04	2,57	0,46

Coefficienti sismici orizzontali e verticali

Opera:	Classe II
--------	-----------

S.L. Stato limite	amax [m/s ²]	beta [-]	kh [-]	kv [sec]
S.L.O.	0,72	1,0	0,0734	0,0367
S.L.D.	0,885	0,47	0,0424	0,0212
S.L.V.	2,2601	0,38	0,0876	0,0438
S.L.C.	2,8136	1,0	0,2869	0,1435

Coefficiente azione sismica orizzontale	0,0734
Coefficiente azione sismica verticale	0,0367

Vertici profilo

Nr	X (m)	y (m)
1	0,0	916,83
2	5,0	916,95
3	10,0	917,17
4	15,0	917,03
5	20,0	916,68
6	25,0	916,35
7	30,0	916,03
8	35,0	915,64
9	40,0	915,46
10	45,0	913,2
11	50,0	913,16
12	55,0	913,13
13	60,0	913,6
14	65,0	913,1
15	70,0	913,09
16	75,0	913,02
17	80,0	913,26
18	82,0	913,21

Vertici strato1

N	X (m)	y (m)
1	0,0	915,44
2	2,92	916,17
3	6,52	916,17
4	8,89	916,17
5	12,39	916,17
6	16,3	915,86
7	20,93	915,65
8	24,23	915,65
9	26,28	915,65
10	28,86	915,14
11	31,74	915,14
12	34,1	915,03
13	39,25	914,62
14	41,62	913,7
15	42,03	913,18
16	46,04	912,36
17	48,51	912,46
18	52,63	912,36
19	55,61	912,36
20	58,19	912,36
21	61,27	912,77
22	63,13	912,46
23	67,96	912,36
24	72,29	912,36
25	76,3	911,84
26	82,0	911,84

Vertici strato2

N	X (m)	y (m)
1	0,0	909,15
2	5,39	909,99
3	10,13	909,99
4	13,01	909,17

5	18,36	908,14
6	23,2	908,45
7	27,93	908,35
8	31,84	908,86
9	36,68	908,86
10	42,75	907,32
11	50,36	906,6
12	55,2	907,01
13	60,76	907,52
14	70,12	907,93
15	74,24	906,39
16	82,0	905,51

Coefficienti parziali azioni

Sfavorevoli: Permanenti, variabili	1,0	1,0
Favorevoli: Permanenti, variabili	1,0	1,0

Coefficienti parziali per i parametri geotecnici del terreno

Tangente angolo di resistenza al taglio	1,25
Coesione efficace	1,25
Coesione non drenata	1,4
Riduzione parametri geotecnici terreno	No

Stratigrafia

Descrizione Litologica	Materiale di Alterazione Superficiale	Argilla grigia-azzurra con livelli di Marne e Calcareni
Peso volume medio	$\gamma_m = 1,75 - 1,85 \text{ g/cm}^3$	$\gamma_m = 1,90 - 2,05 \text{ g/cm}^3$
Angolo di resistenza al taglio medio (tensioni efficaci, a lungotermine)	$\varphi_m = 18^\circ - 20^\circ$	$\varphi_m = 21^\circ - 26^\circ$
Coesione drenata media (tensioni efficaci, a lungo termine)	$C = 0,05 - 0,1 \text{ kg/cm}^2$	$C = 0,2 - 0,5 \text{ kg/cm}^2$
Coesione non drenata	$C_u = 0,5 - 0,8 \text{ kg/cm}^2$	$C_u = 0,8 - 1,0 \text{ kg/cm}^2$
Modulo di Poisson	$\nu = 0,25$	$\nu = 0,35$

Risultati analisi pendio

Fs minimo individuato	7,5
Ascissa centro superficie	37,98 m
Ordinata centro superficie	932,53 m
Raggio superficie	17,19 m

Numero di superfici esaminate....(221)

N°	Xo	Yo	Ro	Fs
1	23,8	930,5	21,3	18,67
2	24,6	931,0	21,9	19,50
3	25,4	930,5	15,6	20,00

4	26,2	931,0	16,3	20,00
5	27,0	930,5	16,0	20,00
6	27,8	931,0	16,6	20,00
7	28,5	930,5	16,4	20,00
8	29,3	931,0	15,2	20,00
9	30,1	930,5	15,0	20,00
10	30,9	931,0	15,7	20,00
11	31,7	930,5	15,4	20,00
12	32,5	931,0	16,1	20,00
13	33,3	930,5	15,9	20,00
14	34,0	931,0	16,6	20,00
15	34,8	930,5	16,3	20,00
16	35,6	931,0	15,5	20,00
17	36,4	930,5	15,2	12,10
18	37,2	931,0	15,7	8,96
19	38,0	930,5	15,1	7,57
20	38,8	931,0	15,6	7,74
21	39,6	930,5	16,6	20,00
22	23,8	931,5	24,0	18,42
23	24,6	932,0	22,9	19,41
24	25,4	931,5	16,6	20,00
25	26,2	932,0	17,2	20,00
26	27,0	931,5	16,9	20,00
27	27,8	932,0	17,6	20,00
28	28,5	931,5	17,3	20,00
29	29,3	932,0	16,2	20,00
30	30,1	931,5	15,9	20,00
31	30,9	932,0	16,6	20,00
32	31,7	931,5	16,4	20,00
33	32,5	932,0	17,1	20,00
34	33,3	931,5	16,8	20,00
35	34,0	932,0	17,5	20,00
36	34,8	931,5	17,3	20,00
37	35,6	932,0	18,0	20,00
38	36,4	931,5	16,2	12,59
39	37,2	932,0	16,7	9,10
40	38,0	931,5	16,2	7,51
41	38,8	932,0	16,7	7,82
42	39,6	931,5	17,7	20,00
43	23,8	932,5	24,6	18,84
44	24,6	933,0	17,6	20,00
45	25,4	932,5	17,5	20,00
46	26,2	933,0	18,2	20,00
47	27,0	932,5	17,9	20,00
48	27,8	933,0	18,6	20,00
49	28,5	932,5	18,3	20,00
50	29,3	933,0	17,1	20,00
51	30,1	932,5	16,9	20,00
52	30,9	933,0	17,6	20,00
53	31,7	932,5	17,3	20,00
54	32,5	933,0	18,1	20,00
55	33,3	932,5	17,8	20,00
56	34,0	933,0	18,5	20,00
57	34,8	932,5	18,3	20,00
58	35,6	933,0	19,0	20,00
59	36,4	932,5	17,2	12,68
60	37,2	933,0	17,7	9,42
61	38,0	932,5	17,2	7,50
62	38,8	933,0	17,7	7,79

63	39,6	932,5	18,7	20,00
64	23,8	933,6	25,2	17,72
65	24,6	934,1	18,4	20,00
66	25,4	933,6	18,4	20,00
67	26,2	934,1	19,2	20,00
68	27,0	933,6	18,9	20,00
69	27,8	934,1	19,6	20,00
70	28,5	933,6	19,3	20,00
71	29,3	934,1	18,1	20,00
72	30,1	933,6	17,9	20,00
73	30,9	934,1	18,6	20,00
74	31,7	933,6	18,3	20,00
75	32,5	934,1	19,0	20,00
76	33,3	933,6	18,8	20,00
77	34,0	934,1	19,5	20,00
78	34,8	933,6	19,2	20,00
79	35,6	934,1	19,9	20,00
80	36,4	933,6	18,1	12,63
81	37,2	934,1	18,8	9,70
82	38,0	933,6	18,2	7,60
83	38,8	934,1	18,7	7,86
84	39,6	933,6	19,7	20,00
85	23,8	934,6	25,9	17,63
86	24,6	935,1	19,2	20,00
87	25,4	934,6	19,2	20,00
88	26,2	935,1	20,1	20,00
89	27,0	934,6	19,9	20,00
90	27,8	935,1	20,5	20,00
91	28,5	934,6	20,3	20,00
92	29,3	935,1	20,9	20,00
93	30,1	934,6	18,8	20,00
94	30,9	935,1	19,5	20,00
95	31,7	934,6	19,3	20,00
96	32,5	935,1	20,0	20,00
97	33,3	934,6	19,7	20,00
98	34,0	935,1	20,4	20,00
99	34,8	934,6	20,2	20,00
100	35,6	935,1	20,9	20,00
101	36,4	934,6	19,1	12,18
102	37,2	935,1	19,8	9,97
103	38,0	934,6	19,3	7,76
104	38,8	935,1	19,7	7,85
105	39,6	934,6	20,7	20,00
106	23,8	935,6	26,6	17,97
107	24,6	936,1	27,5	19,24
108	25,4	935,6	20,0	20,00
109	26,2	936,1	20,9	20,00
110	27,0	935,6	20,8	20,00
111	27,8	936,1	21,5	20,00
112	28,5	935,6	21,2	20,00
113	29,3	936,1	21,9	20,00
114	30,1	935,6	19,8	20,00
115	30,9	936,1	20,5	20,00
116	31,7	935,6	20,2	20,00
117	32,5	936,1	20,9	20,00
118	33,3	935,6	20,7	20,00
119	34,0	936,1	21,4	20,00
120	34,8	935,6	21,1	20,00
121	35,6	936,1	21,9	20,00

122	36,4	935,6	21,6	20,00
123	37,2	936,1	20,8	9,86
124	38,0	935,6	20,3	7,93
125	38,8	936,1	20,8	7,91
126	39,6	935,6	21,8	20,00
127	23,8	936,6	27,3	18,31
128	24,6	937,2	28,2	19,53
129	25,4	936,6	20,9	20,00
130	26,2	937,2	21,7	20,00
131	27,0	936,6	21,7	20,00
132	27,8	937,2	22,5	20,00
133	28,5	936,6	22,2	20,00
134	29,3	937,2	22,9	20,00
135	30,1	936,6	20,8	20,00
136	30,9	937,2	21,5	20,00
137	31,7	936,6	21,2	20,00
138	32,5	937,2	21,9	20,00
139	33,3	936,6	21,7	20,00
140	34,0	937,2	22,4	20,00
141	34,8	936,6	22,1	20,00
142	35,6	937,2	22,8	20,00
143	36,4	936,6	22,6	20,00
144	37,2	937,2	21,7	9,27
145	38,0	936,6	21,3	8,04
146	38,8	937,2	21,8	7,89
147	39,6	936,6	22,8	20,00
148	23,8	937,7	29,8	17,92
149	24,6	938,2	28,9	19,82
150	25,4	937,7	21,7	20,00
151	26,2	938,2	22,5	20,00
152	27,0	937,7	22,6	20,00
153	27,8	938,2	23,4	20,00
154	28,5	937,7	23,2	20,00
155	29,3	938,2	23,9	20,00
156	30,1	937,7	21,7	20,00
157	30,9	938,2	22,4	20,00
158	31,7	937,7	22,2	20,00
159	32,5	938,2	22,9	20,00
160	33,3	937,7	22,6	20,00
161	34,0	938,2	23,3	20,00
162	34,8	937,7	23,1	20,00
163	35,6	938,2	23,8	20,00
164	36,4	937,7	23,5	20,00
165	37,2	938,2	24,2	20,00
166	38,0	937,7	22,3	8,23
167	38,8	938,2	22,8	7,94
168	39,6	937,7	23,8	20,00
169	23,8	938,7	30,6	17,14
170	24,6	939,2	29,7	18,89
171	25,4	938,7	22,5	20,00
172	26,2	939,2	23,4	20,00
173	27,0	938,7	23,4	20,00
174	27,8	939,2	24,2	20,00
175	28,5	938,7	24,1	20,00
176	29,3	939,2	24,8	20,00
177	30,1	938,7	24,5	20,00
178	30,9	939,2	23,4	20,00
179	31,7	938,7	23,1	20,00
180	32,5	939,2	23,8	20,00

181	33,3	938,7	23,6	20,00
182	34,0	939,2	24,3	20,00
183	34,8	938,7	24,0	20,00
184	35,6	939,2	24,8	20,00
185	36,4	938,7	24,5	20,00
186	37,2	939,2	25,2	20,00
187	38,0	938,7	23,4	8,35
188	38,8	939,2	23,9	7,96
189	39,6	938,7	24,9	20,00
190	23,8	939,7	29,5	18,16
191	24,6	940,2	30,4	19,10
192	25,4	939,7	25,1	20,00
193	26,2	940,2	24,2	20,00
194	27,0	939,7	24,2	20,00
195	27,8	940,2	25,0	20,00
196	28,5	939,7	25,1	20,00
197	29,3	940,2	25,8	20,00
198	30,1	939,7	25,5	20,00
199	30,9	940,2	24,4	20,00
200	31,7	939,7	24,1	20,00
201	32,5	940,2	24,8	20,00
202	33,3	939,7	24,6	20,00
203	34,0	940,2	25,3	20,00
204	34,8	939,7	25,0	20,00
205	35,6	940,2	25,7	20,00
206	36,4	939,7	25,5	20,00
207	37,2	940,2	26,2	20,00
208	38,0	939,7	24,4	8,32
209	38,8	940,2	24,9	7,95
210	39,6	939,7	25,9	20,00
211	23,8	940,8	32,0	16,21
212	25,4	940,8	26,0	20,00
213	27,0	940,8	25,0	20,00
214	28,5	940,8	25,9	20,00
215	30,1	940,8	26,5	20,00
216	31,7	940,8	25,1	20,00
217	33,3	940,8	25,5	20,00
218	34,8	940,8	26,0	20,00
219	36,4	940,8	26,4	20,00
220	38,0	940,8	25,3	7,68
221	39,6	940,8	26,9	20,00

VERIFICA DI STABILITA' PRE OPERAM – AEROGENERATORE WTG11

Analisi di stabilità dei pendii con: FELLENIUS (1936)

Lat./Long.	41,322318/15,180547
Calcolo eseguito secondo	NTC 2018
Numero di strati	3,0
Numero dei conci	10,0
Grado di sicurezza ritenuto accettabile	1,3
Coefficiente parziale resistenza	1,0
Parametri geotecnici da usare. Angolo di attrito:	Picco
Analisi	Condizione drenata
Superficie di forma circolare	

Maglia dei Centri

Ascissa vertice sinistro inferiore xi	22,12 m
Ordinata vertice sinistro inferiore yi	918,97 m
Ascissa vertice destro superiore xs	32,61 m
Ordinata vertice destro superiore ys	926,21 m
Passo di ricerca	10,0
Numero di celle lungo x	10,0
Numero di celle lungo y	10,0

Coefficienti sismici [N.T.C.]

Dati generali

Tipo opera:	2 - Opere ordinarie
Classe d'uso:	Classe II
Vita nominale:	50,0 [anni]
Vita di riferimento:	50,0 [anni]

Parametri sismici su sito di riferimento

Categoria sottosuolo:	C
Categoria topografica:	T1

S.L. Stato limite	TR Tempo ritorno [anni]	ag [m/s ²]	F0 [-]	TC* [sec]
S.L.O.	30,0	0,48	2,41	0,29
S.L.D.	50,0	0,59	2,49	0,33
S.L.V.	475,0	1,55	2,55	0,44
S.L.C.	975,0	2,04	2,57	0,46

Coefficienti sismici orizzontali e verticali

Opera:	Classe II
--------	-----------

S.L. Stato limite	amax [m/s ²]	beta [-]	kh [-]	kv [sec]
S.L.O.	0,72	1,0	0,0734	0,0367
S.L.D.	0,885	0,47	0,0424	0,0212
S.L.V.	2,2601	0,38	0,0876	0,0438
S.L.C.	2,8136	1,0	0,2869	0,1435

Coefficiente azione sismica orizzontale	0,0734
Coefficiente azione sismica verticale	0,0367

Vertici profilo

Nr	X (m)	y (m)
1	0,0	919,13
2	5,0	918,88
3	10,0	918,68
4	15,0	916,77
5	20,0	917,84
6	25,0	915,74
7	30,0	915,23
8	35,0	914,93
9	40,0	915,15
10	45,0	913,63
11	50,0	911,82
12	55,0	911,96

Vertici strato1

N	X (m)	y (m)
1	0,0	918,75
2	2,03	918,48
3	4,51	918,41
4	6,79	918,41
5	8,52	918,14
6	9,48	918,14
7	11,07	917,58
8	12,38	916,69
9	14,66	916,34
10	18,94	916,83
11	20,8	916,41
12	22,18	915,79
13	24,95	914,89
14	26,6	914,82
15	29,02	914,69
16	31,02	914,41
17	33,37	914,27
18	36,47	914,13
19	39,37	914,27
20	41,37	913,58
21	44,07	912,89
22	47,52	911,92
23	49,11	911,1
24	55,0	911,1

Vertici strato2

N	X (m)	y (m)
1	0,0	910,05
2	2,93	910,48
3	6,24	911,23
4	10,31	910,54
5	12,8	909,72
6	15,49	909,58
7	17,97	909,23
8	22,25	909,03
9	27,85	907,16
10	32,19	907,65
11	35,23	907,44
12	37,65	907,71

13	42,34	908,34
14	44,0	907,85
15	47,03	906,68
16	49,8	906,33
17	55,0	904,4

Coefficienti parziali azioni

Sfavorevoli: Permanenti, variabili	1,0	0,0
Favorevoli: Permanenti, variabili	1,0	0,0

Coefficienti parziali per i parametri geotecnici del terreno

Tangente angolo di resistenza al taglio	1,25
Coesione efficace	1,25
Coesione non drenata	1,4
Riduzione parametri geotecnici terreno	No

Stratigrafia

Descrizione Litologica	Materiale di Alterazione Superficiale	Argilla grigia-azzurra con livelli di Marne e Calcarenit
Peso volume medio	$\gamma_m = 1,75-1,85 \text{ g/cm}^3$	$\gamma_m = 1,90 - 2,05 \text{ g/cm}^3$
Angolo di resistenza al taglio medio (tensioni efficaci, a lungotermine)	$\varphi_m = 18^\circ - 20^\circ$	$\varphi_m = 21^\circ - 26^\circ$
Coesione drenata media (tensioni efficaci, a lungo termine)	$C = 0,05 - 0,1 \text{ kg/cm}^2$	$C = 0,2 - 0,5 \text{ kg/cm}^2$
Coesione non drenata	$C_u = 0,5 - 0,8 \text{ kg/cm}^2$	$C_u = 0,8 - 1,0 \text{ kg/cm}^2$
Modulo di Poisson	$\nu = 0.25$	$\nu = 0.35$

Risultati analisi pendio

Fs minimo individuato	12,74
Ascissa centro superficie	32,61 m
Ordinata centro superficie	918,97 m
Raggio superficie	8,97 m

Numero di superfici esaminate...(221)

N°	Xo	Yo	Ro	Fs
1	22,1	919,0	4,0	20,00
2	22,6	919,3	4,2	20,00
3	23,2	919,0	3,8	20,00
4	23,7	919,3	4,0	20,00
5	24,2	919,0	3,6	20,00
6	24,7	919,3	3,9	20,00
7	25,3	919,0	5,1	20,00
8	25,8	919,3	5,3	20,00
9	26,3	919,0	5,3	20,00
10	26,8	919,3	5,3	20,00
11	27,4	919,0	5,2	20,00

12	27,9	919,3	5,4	20,00
13	28,4	919,0	5,3	20,00
14	28,9	919,3	5,3	20,00
15	29,5	919,0	5,3	20,00
16	30,0	919,3	5,4	20,00
17	30,5	919,0	5,2	20,00
18	31,0	919,3	5,7	20,00
19	31,6	919,0	5,5	20,00
20	32,1	919,3	9,2	16,82
21	32,6	919,0	9,0	12,74
22	22,1	919,7	4,3	20,00
23	22,6	920,1	3,9	20,00
24	23,2	919,7	4,0	20,00
25	23,7	920,1	5,5	20,00
26	24,2	919,7	5,5	20,00
27	24,7	920,1	5,6	20,00
28	25,3	919,7	5,4	20,00
29	25,8	920,1	5,8	20,00
30	26,3	919,7	5,6	20,00
31	26,8	920,1	5,6	20,00
32	27,4	919,7	5,5	20,00
33	27,9	920,1	5,6	20,00
34	28,4	919,7	5,4	20,00
35	28,9	920,1	5,7	20,00
36	29,5	919,7	5,5	20,00
37	30,0	920,1	5,5	20,00
38	30,5	919,7	5,6	20,00
39	31,0	920,1	5,6	20,00
40	31,6	919,7	5,8	20,00
41	32,1	920,1	9,3	17,72
42	32,6	919,7	9,3	13,31
43	22,1	920,4	5,7	20,00
44	22,6	920,8	5,9	20,00
45	23,2	920,4	5,7	20,00
46	23,7	920,8	6,1	20,00
47	24,2	920,4	5,9	20,00
48	24,7	920,8	5,8	20,00
49	25,3	920,4	5,8	20,00
50	25,8	920,8	5,8	20,00
51	26,3	920,4	5,6	20,00
52	26,8	920,8	6,1	20,00
53	27,4	920,4	5,8	20,00
54	27,9	920,8	6,3	20,00
55	28,4	920,4	6,1	20,00
56	28,9	920,8	8,2	20,00
57	29,5	920,4	6,0	20,00
58	30,0	920,8	6,2	20,00
59	30,5	920,4	5,8	20,00
60	31,0	920,8	6,1	20,00
61	31,6	920,4	5,6	20,00
62	32,1	920,8	9,7	19,13
63	32,6	920,4	9,4	15,76
64	22,1	921,1	6,2	20,00
65	22,6	921,5	6,1	20,00
66	23,2	921,1	6,1	20,00
67	23,7	921,5	6,0	20,00
68	24,2	921,1	5,8	20,00
69	24,7	921,5	6,3	20,00
70	25,3	921,1	6,0	20,00

71	25,8	921,5	6,5	20,00
72	26,3	921,1	6,3	20,00
73	26,8	921,5	6,8	20,00
74	27,4	921,1	6,5	20,00
75	27,9	921,5	7,0	20,00
76	28,4	921,1	6,8	20,00
77	28,9	921,5	7,1	20,00
78	29,5	921,1	6,7	20,00
79	30,0	921,5	6,9	20,00
80	30,5	921,1	6,5	20,00
81	31,0	921,5	6,8	20,00
82	31,6	921,1	6,4	20,00
83	32,1	921,5	8,5	20,00
84	32,6	921,1	10,0	15,65
85	22,1	921,9	6,0	20,00
86	22,6	922,2	6,5	20,00
87	23,2	921,9	6,2	20,00
88	23,7	922,2	6,7	20,00
89	24,2	921,9	6,5	20,00
90	24,7	922,2	7,0	20,00
91	25,3	921,9	6,7	20,00
92	25,8	922,2	7,2	20,00
93	26,3	921,9	7,0	20,00
94	26,8	922,2	7,5	20,00
95	27,4	921,9	7,2	20,00
96	27,9	922,2	7,7	20,00
97	28,4	921,9	7,5	20,00
98	28,9	922,2	7,8	20,00
99	29,5	921,9	7,4	20,00
100	30,0	922,2	7,7	20,00
101	30,5	921,9	7,2	20,00
102	31,0	922,2	7,5	20,00
103	31,6	921,9	7,1	20,00
104	32,1	922,2	9,2	20,00
105	32,6	921,9	10,7	16,37
106	22,1	922,6	6,7	20,00
107	22,6	923,0	7,1	20,00
108	23,2	922,6	6,9	20,00
109	23,7	923,0	7,4	20,00
110	24,2	922,6	7,2	20,00
111	24,7	923,0	7,6	20,00
112	25,3	922,6	7,4	20,00
113	25,8	923,0	7,9	20,00
114	26,3	922,6	7,7	20,00
115	26,8	923,0	8,1	20,00
116	27,4	922,6	7,9	20,00
117	27,9	923,0	8,4	20,00
118	28,4	922,6	8,2	20,00
119	28,9	923,0	8,5	20,00
120	29,5	922,6	8,1	20,00
121	30,0	923,0	8,4	20,00
122	30,5	922,6	7,9	20,00
123	31,0	923,0	8,2	20,00
124	31,6	922,6	7,8	20,00
125	32,1	923,0	9,9	20,00
126	32,6	922,6	9,5	20,00
127	22,1	923,3	7,4	20,00
128	22,6	923,7	7,8	20,00
129	23,2	923,3	7,6	20,00

130	23,7	923,7	8,1	20,00
131	24,2	923,3	7,9	20,00
132	24,7	923,7	8,3	20,00
133	25,3	923,3	8,1	20,00
134	25,8	923,7	8,6	20,00
135	26,3	923,3	8,4	20,00
136	26,8	923,7	8,8	20,00
137	27,4	923,3	8,6	20,00
138	27,9	923,7	9,1	20,00
139	28,4	923,3	8,9	20,00
140	28,9	923,7	9,2	20,00
141	29,5	923,3	8,8	20,00
142	30,0	923,7	9,1	20,00
143	30,5	923,3	8,7	20,00
144	31,0	923,7	8,9	20,00
145	31,6	923,3	8,5	20,00
146	32,1	923,7	8,8	20,00
147	32,6	923,3	10,2	20,00
148	22,1	924,0	8,1	20,00
149	22,6	924,4	8,5	20,00
150	23,2	924,0	8,3	20,00
151	23,7	924,4	8,8	20,00
152	24,2	924,0	8,6	20,00
153	24,7	924,4	9,0	20,00
154	25,3	924,0	8,8	20,00
155	25,8	924,4	9,3	20,00
156	26,3	924,0	9,1	20,00
157	26,8	924,4	9,5	20,00
158	27,4	924,0	9,3	20,00
159	27,9	924,4	9,8	20,00
160	28,4	924,0	9,6	20,00
161	28,9	924,4	10,0	20,00
162	29,5	924,0	9,5	20,00
163	30,0	924,4	9,8	20,00
164	30,5	924,0	9,4	20,00
165	31,0	924,4	9,6	20,00
166	31,6	924,0	9,2	20,00
167	32,1	924,4	9,5	20,00
168	32,6	924,0	10,9	20,00
169	22,1	924,8	8,7	20,00
170	22,6	925,1	9,2	20,00
171	23,2	924,8	9,0	20,00
172	23,7	925,1	9,5	20,00
173	24,2	924,8	9,3	20,00
174	24,7	925,1	9,7	20,00
175	25,3	924,8	9,5	20,00
176	25,8	925,1	10,0	20,00
177	26,3	924,8	9,8	20,00
178	26,8	925,1	10,2	20,00
179	27,4	924,8	10,0	20,00
180	27,9	925,1	10,5	20,00
181	28,4	924,8	10,3	20,00
182	28,9	925,1	10,7	20,00
183	29,5	924,8	10,2	20,00
184	30,0	925,1	10,5	20,00
185	30,5	924,8	10,1	20,00
186	31,0	925,1	10,4	20,00
187	31,6	924,8	9,9	20,00
188	32,1	925,1	10,2	20,00

189	32,6	924,8	11,7	20,00
190	22,1	925,5	9,3	20,00
191	22,6	925,9	9,8	20,00
192	23,2	925,5	9,7	20,00
193	23,7	925,9	10,2	20,00
194	24,2	925,5	10,0	20,00
195	24,7	925,9	10,4	20,00
196	25,3	925,5	10,2	20,00
197	25,8	925,9	10,7	20,00
198	26,3	925,5	10,5	20,00
199	26,8	925,9	10,9	20,00
200	27,4	925,5	10,7	20,00
201	27,9	925,9	11,2	20,00
202	28,4	925,5	11,0	20,00
203	28,9	925,9	11,4	20,00
204	29,5	925,5	10,9	20,00
205	30,0	925,9	11,2	20,00
206	30,5	925,5	10,8	20,00
207	31,0	925,9	11,1	20,00
208	31,6	925,5	10,6	20,00
209	32,1	925,9	10,9	20,00
210	32,6	925,5	12,4	20,00
211	22,1	926,2	9,8	20,00
212	23,2	926,2	10,3	20,00
213	24,2	926,2	10,6	20,00
214	25,3	926,2	10,9	20,00
215	26,3	926,2	11,1	20,00
216	27,4	926,2	11,4	20,00
217	28,4	926,2	11,6	20,00
218	29,5	926,2	11,7	20,00
219	30,5	926,2	11,5	20,00
220	31,6	926,2	11,4	20,00
221	32,6	926,2	13,1	20,00

VERIFICA DI STABILITA' POST OPERAM – AEROGENERATORE WTG11

Analisi di stabilità dei pendii con: FELLENIUS (1936)

Lat./Long.	41,322318/15,180547
Calcolo eseguito secondo	NTC 2018
Numero di strati	3,0
Numero dei conci	10,0
Grado di sicurezza ritenuto accettabile	1,3
Coefficiente parziale resistenza	1,0
Parametri geotecnici da usare. Angolo di attrito:	Picco
Analisi	Condizione drenata
Superficie di forma circolare	

Maglia dei Centri

Ascissa vertice sinistro inferiore xi	21,84 m
Ordinata vertice sinistro inferiore yi	928,88 m
Ascissa vertice destro superiore xs	33,25 m
Ordinata vertice destro superiore ys	936,28 m
Passo di ricerca	10,0
Numero di celle lungo x	10,0
Numero di celle lungo y	10,0

Coefficienti sismici [N.T.C.]

Dati generali

Tipo opera:	2 - Opere ordinarie
Classe d'uso:	Classe II
Vita nominale:	50,0 [anni]
Vita di riferimento:	50,0 [anni]

Parametri sismici su sito di riferimento

Categoria sottosuolo:	C
Categoria topografica:	T1

S.L. Stato limite	TR Tempo ritorno [anni]	ag [m/s ²]	F0 [-]	TC* [sec]
S.L.O.	30,0	0,48	2,41	0,29
S.L.D.	50,0	0,59	2,49	0,33
S.L.V.	475,0	1,55	2,55	0,44
S.L.C.	975,0	2,04	2,57	0,46

Coefficienti sismici orizzontali e verticali

Opera:	Classe II
--------	-----------

S.L. Stato limite	amax [m/s ²]	beta [-]	kh [-]	kv [sec]
S.L.O.	0,72	1,0	0,0734	0,0367
S.L.D.	0,885	0,47	0,0424	0,0212
S.L.V.	2,2601	0,38	0,0876	0,0438
S.L.C.	2,8136	1,0	0,2869	0,1435

Coefficiente azione sismica orizzontale	0,0734
Coefficiente azione sismica verticale	0,0367

Vertici profilo

Nr	X (m)	y (m)
1	0,0	919,13
2	5,0	918,88
3	10,0	918,68
4	15,0	916,77
5	20,0	917,84
6	25,0	915,74
7	30,0	915,23
8	35,0	914,93
9	40,0	915,15
10	45,0	913,63
11	50,0	911,82
12	55,0	911,96

Vertici strato1

N	X (m)	y (m)
1	0,0	918,75
2	2,03	918,48
3	4,51	918,41
4	6,79	918,41
5	8,52	918,14
6	9,48	918,14
7	11,07	917,58
8	12,38	916,69
9	14,66	916,34
10	18,94	916,83
11	20,8	916,41
12	22,18	915,79
13	24,95	914,89
14	26,6	914,82
15	29,02	914,69
16	31,02	914,41
17	33,37	914,27
18	36,47	914,13
19	39,37	914,27
20	41,37	913,58
21	44,07	912,89
22	47,52	911,92
23	49,11	911,1
24	55,0	911,1

Vertici strato2

N	X (m)	y (m)
1	0,0	910,05
2	2,93	910,48
3	6,24	911,23
4	10,31	910,54
5	12,8	909,72
6	15,49	909,58
7	17,97	909,23
8	22,25	909,03
9	27,85	907,16
10	32,19	907,65
11	35,23	907,44
12	37,65	907,71

13	42,34	908,34
14	44,0	907,85
15	47,03	906,68
16	49,8	906,33
17	55,0	904,4

Coefficienti parziali azioni

Sfavorevoli: Permanenti, variabili	1,0	0,0
Favorevoli: Permanent, variabili	1,0	0,0

Coefficienti parziali per i parametri geotecnici del terreno

Tangente angolo di resistenza al taglio	1,25
Coesione efficace	1,25
Coesione non drenata	1,4
Riduzione parametri geotecnici terreno	No

Stratigrafia

Descrizione Litologica	Materiale di Alterazione Superficiale	Argilla grigia-azzurra con livelli di Marne e Calcareniti
<i>Peso volume medio</i>	$\gamma_m = 1,75 - 1,85 \text{ g/cm}^3$	$\gamma_m = 1,90 - 2,05 \text{ g/cm}^3$
<i>Angolo di resistenza al taglio medio (tensioni efficaci, a lungotermine)</i>	$\varphi_m = 18^\circ - 20^\circ$	$\varphi_m = 21^\circ - 26^\circ$
<i>Coesione drenata media (tensioni efficaci, a lungo termine)</i>	$C = 0,05 - 0,1 \text{ kg/cm}^2$	$C = 0,2 - 0,5 \text{ kg/cm}^2$
<i>Coesione non drenata</i>	$C_u = 0,5 - 0,8 \text{ kg/cm}^2$	$C_u = 0,8 - 1,0 \text{ kg/cm}^2$
<i>Modulo di Poisson</i>	$\nu = 0,25$	$\nu = 0,35$

Risultati analisi pendio

Fs minimo individuato	12,29
Ascissa centro superficie	33,16 m
Ordinata centro superficie	920,65 m
Raggio superficie	9,42 m

Numero di superfici esaminate....(221)

N°	Xo	Yo	Ro	Fs
1	21,8	919,9	4,2	20,00
2	22,3	920,3	5,7	20,00
3	22,9	919,9	4,0	20,00
4	23,5	920,3	5,6	20,00
5	24,0	919,9	5,5	20,00
6	24,6	920,3	5,8	20,00
7	25,2	919,9	5,6	20,00
8	25,7	920,3	5,7	20,00
9	26,3	919,9	5,7	20,00
10	26,9	920,3	5,6	20,00
11	27,5	919,9	5,5	20,00

				Slope
12	28,0	920,3	5,9	20,00
13	28,6	919,9	5,6	20,00
14	29,2	920,3	5,9	20,00
15	29,7	919,9	5,4	20,00
16	30,3	920,3	5,7	20,00
17	30,9	919,9	5,6	20,00
18	31,4	920,3	5,5	20,00
19	32,0	919,9	9,3	18,48
20	32,6	920,3	9,4	15,25
21	33,2	919,9	7,7	13,02
22	21,8	920,6	5,7	20,00
23	22,3	921,0	6,1	20,00
24	22,9	920,6	5,8	20,00
25	23,5	921,0	6,0	20,00
26	24,0	920,6	6,0	20,00
27	24,6	921,0	5,8	20,00
28	25,2	920,6	5,8	20,00
29	25,7	921,0	6,0	20,00
30	26,3	920,6	5,8	20,00
31	26,9	921,0	6,3	20,00
32	27,5	920,6	6,1	20,00
33	28,0	921,0	6,6	20,00
34	28,6	920,6	6,3	20,00
35	29,2	921,0	6,6	20,00
36	29,7	920,6	6,1	20,00
37	30,3	921,0	6,4	20,00
38	30,9	920,6	6,0	20,00
39	31,4	921,0	6,3	20,00
40	32,0	920,6	9,5	19,60
41	32,6	921,0	9,8	15,73
42	33,2	920,6	9,4	12,29
43	21,8	921,4	6,3	20,00
44	22,3	921,8	6,0	20,00
45	22,9	921,4	6,0	20,00
46	23,5	921,8	6,2	20,00
47	24,0	921,4	6,0	20,00
48	24,6	921,8	6,5	20,00
49	25,2	921,4	6,3	20,00
50	25,7	921,8	6,7	20,00
51	26,3	921,4	6,5	20,00
52	26,9	921,8	7,0	20,00
53	27,5	921,4	6,8	20,00
54	28,0	921,8	7,3	20,00
55	28,6	921,4	7,0	20,00
56	29,2	921,8	9,1	20,00
57	29,7	921,4	6,9	20,00
58	30,3	921,8	7,2	20,00
59	30,9	921,4	6,7	20,00
60	31,4	921,8	7,0	20,00
61	32,0	921,4	8,4	20,00
62	32,6	921,8	10,6	16,26
63	33,2	921,4	10,1	16,17
64	21,8	922,1	6,1	20,00
65	22,3	922,5	6,6	20,00
66	22,9	922,1	6,4	20,00
67	23,5	922,5	6,9	20,00
68	24,0	922,1	6,7	20,00
69	24,6	922,5	7,2	20,00
70	25,2	922,1	7,0	20,00

71	25,7	922,5	7,5	20,00
72	26,3	922,1	7,2	20,00
73	26,9	922,5	7,7	20,00
74	27,5	922,1	7,5	20,00
75	28,0	922,5	8,0	20,00
76	28,6	922,1	7,8	20,00
77	29,2	922,5	8,1	20,00
78	29,7	922,1	7,6	20,00
79	30,3	922,5	7,9	20,00
80	30,9	922,1	7,4	20,00
81	31,4	922,5	7,7	20,00
82	32,0	922,1	9,1	20,00
83	32,6	922,5	11,3	19,55
84	33,2	922,1	10,9	15,85
85	21,8	922,9	6,9	20,00
86	22,3	923,2	7,3	20,00
87	22,9	922,9	7,1	20,00
88	23,5	923,2	7,6	20,00
89	24,0	922,9	7,4	20,00
90	24,6	923,2	7,9	20,00
91	25,2	922,9	7,7	20,00
92	25,7	923,2	8,2	20,00
93	26,3	922,9	7,9	20,00
94	26,9	923,2	8,4	20,00
95	27,5	922,9	8,2	20,00
96	28,0	923,2	8,7	20,00
97	28,6	922,9	8,5	20,00
98	29,2	923,2	8,8	20,00
99	29,7	922,9	8,3	20,00
100	30,3	923,2	8,6	20,00
101	30,9	922,9	8,2	20,00
102	31,4	923,2	8,4	20,00
103	32,0	922,9	8,0	20,00
104	32,6	923,2	10,2	20,00
105	33,2	922,9	9,7	16,10
106	21,8	923,6	7,6	20,00
107	22,3	924,0	8,1	20,00
108	22,9	923,6	7,8	20,00
109	23,5	924,0	8,3	20,00
110	24,0	923,6	8,1	20,00
111	24,6	924,0	8,6	20,00
112	25,2	923,6	8,4	20,00
113	25,7	924,0	8,9	20,00
114	26,3	923,6	8,7	20,00
115	26,9	924,0	9,1	20,00
116	27,5	923,6	8,9	20,00
117	28,0	924,0	9,4	20,00
118	28,6	923,6	9,2	20,00
119	29,2	924,0	9,5	20,00
120	29,7	923,6	9,1	20,00
121	30,3	924,0	9,3	20,00
122	30,9	923,6	8,9	20,00
123	31,4	924,0	9,2	20,00
124	32,0	923,6	8,7	20,00
125	32,6	924,0	10,9	20,00
126	33,2	923,6	10,4	16,00
127	21,8	924,4	8,2	20,00
128	22,3	924,7	8,8	20,00
129	22,9	924,4	8,5	20,00

130	23,5	924,7	9,0	20,00
131	24,0	924,4	8,8	20,00
132	24,6	924,7	9,3	20,00
133	25,2	924,4	9,1	20,00
134	25,7	924,7	9,6	20,00
135	26,3	924,4	9,4	20,00
136	26,9	924,7	9,9	20,00
137	27,5	924,4	9,6	20,00
138	28,0	924,7	10,1	20,00
139	28,6	924,4	9,9	20,00
140	29,2	924,7	10,2	20,00
141	29,7	924,4	9,8	20,00
142	30,3	924,7	10,1	20,00
143	30,9	924,4	9,6	20,00
144	31,4	924,7	9,9	20,00
145	32,0	924,4	9,5	20,00
146	32,6	924,7	11,6	20,00
147	33,2	924,4	11,2	16,01
148	21,8	925,1	8,8	20,00
149	22,3	925,5	9,3	20,00
150	22,9	925,1	9,3	20,00
151	23,5	925,5	9,7	20,00
152	24,0	925,1	9,5	20,00
153	24,6	925,5	10,0	20,00
154	25,2	925,1	9,8	20,00
155	25,7	925,5	10,3	20,00
156	26,3	925,1	10,1	20,00
157	26,9	925,5	10,6	20,00
158	27,5	925,1	10,3	20,00
159	28,0	925,5	10,8	20,00
160	28,6	925,1	10,6	20,00
161	29,2	925,5	11,0	20,00
162	29,7	925,1	10,5	20,00
163	30,3	925,5	10,8	20,00
164	30,9	925,1	10,4	20,00
165	31,4	925,5	10,6	20,00
166	32,0	925,1	10,2	20,00
167	32,6	925,5	12,3	20,00
168	33,2	925,1	11,9	16,08
169	21,8	925,8	9,3	20,00
170	22,3	926,2	9,9	20,00
171	22,9	925,8	9,9	20,00
172	23,5	926,2	10,5	20,00
173	24,0	925,8	10,2	20,00
174	24,6	926,2	10,7	20,00
175	25,2	925,8	10,5	20,00
176	25,7	926,2	11,0	20,00
177	26,3	925,8	10,8	20,00
178	26,9	926,2	11,3	20,00
179	27,5	925,8	11,1	20,00
180	28,0	926,2	11,5	20,00
181	28,6	925,8	11,3	20,00
182	29,2	926,2	11,7	20,00
183	29,7	925,8	11,2	20,00
184	30,3	926,2	11,5	20,00
185	30,9	925,8	11,1	20,00
186	31,4	926,2	11,4	20,00
187	32,0	925,8	10,9	20,00
188	32,6	926,2	13,1	20,00

189	33,2	925,8	12,6	16,11
190	21,8	926,6	9,9	20,00
191	22,3	926,9	10,5	20,00
192	22,9	926,6	10,5	20,00
193	23,5	926,9	11,0	20,00
194	24,0	926,6	10,9	20,00
195	24,6	926,9	11,4	20,00
196	25,2	926,6	11,2	20,00
197	25,7	926,9	11,7	20,00
198	26,3	926,6	11,5	20,00
199	26,9	926,9	12,0	20,00
200	27,5	926,6	11,8	20,00
201	28,0	926,9	12,3	20,00
202	28,6	926,6	12,0	20,00
203	29,2	926,9	12,4	20,00
204	29,7	926,6	12,0	20,00
205	30,3	926,9	12,3	20,00
206	30,9	926,6	11,8	20,00
207	31,4	926,9	12,1	20,00
208	32,0	926,6	11,6	20,00
209	32,6	926,9	13,8	20,00
210	33,2	926,6	13,4	16,18
211	21,8	927,3	10,4	20,00
212	22,9	927,3	11,0	20,00
213	24,0	927,3	11,6	20,00
214	25,2	927,3	11,9	20,00
215	26,3	927,3	12,2	20,00
216	27,5	927,3	12,5	20,00
217	28,6	927,3	12,7	20,00
218	29,7	927,3	12,7	20,00
219	30,9	927,3	12,5	20,00
220	32,0	927,3	12,4	20,00
221	33,2	927,3	14,1	16,43

VERIFICA DI STABILITÀ PRE OPERAM – AEROGENERATORE WTG12

Analisi di stabilità dei pendii con: FELLENIUS (1936)

Lat./Long.	41,323396/15,162688
Calcolo eseguito secondo	NTC 2018
Numero di strati	3,0
Numero dei conci	10,0
Grado di sicurezza ritenuto accettabile	1,3
Coefficiente parziale resistenza	1,0
Parametri geotecnici da usare. Angolo di attrito:	Picco
Analisi	Condizione drenata
Superficie di forma circolare	

Maglia dei Centri

Ascissa vertice sinistro inferiore xi	31,64 m
Ordinata vertice sinistro inferiore yi	936,7 m
Ascissa vertice destro superiore xs	46,66 m
Ordinata vertice destro superiore ys	946,37 m
Passo di ricerca	10,0
Numero di celle lungo x	10,0
Numero di celle lungo y	10,0

Coefficienti sismici [N.T.C.]

Dati generali

Tipo opera:	2 - Opere ordinarie
Classe d'uso:	Classe II
Vita nominale:	50,0 [anni]
Vita di riferimento:	50,0 [anni]

Parametri sismici su sito di riferimento

Categoria sottosuolo:	C
Categoria topografica:	T2

S.L. Stato limite	TR Tempo ritorno [anni]	ag [m/s ²]	F0 [-]	TC* [sec]
S.L.O.	30,0	0,48	2,41	0,29
S.L.D.	50,0	0,6	2,48	0,33
S.L.V.	475,0	1,57	2,54	0,44
S.L.C.	975,0	2,08	2,55	0,46

Coefficienti sismici orizzontali e verticali

Opera:	Classe II
--------	-----------

S.L. Stato limite	amax [m/s ²]	beta [-]	kh [-]	kv [sec]
S.L.O.	0,864	1,0	0,0881	0,0441
S.L.D.	1,08	0,47	0,0518	0,0259
S.L.V.	2,7431	0,38	0,1063	0,0532
S.L.C.	3,4332	1,0	0,3501	0,1751

Coefficiente azione sismica orizzontale	0,088
Coefficiente azione sismica verticale	0,044

Vertici profilo

Nr	X (m)	y (m)
1	0,0	929,72
2	5,0	930,1
3	10,0	930,54
4	15,0	931,0
5	20,0	931,43
6	25,0	931,78
7	30,0	932,13
8	35,0	932,46
9	40,0	932,73
10	45,0	933,02
11	50,0	933,7
12	55,0	933,86
13	60,0	933,95
14	65,0	934,0
15	70,0	934,71
16	75,0	934,64
17	80,0	934,54
18	82,0	934,55

Vertici strato1

N	X (m)	y (m)
1	0,0	929,25
2	1,69	929,49
3	4,16	929,7
4	6,73	929,6
5	8,89	929,8
6	10,85	930,01
7	13,32	930,42
8	17,74	930,52
9	20,31	931,04
10	22,58	931,24
11	25,46	931,24
12	28,03	931,35
13	30,5	931,66
14	33,28	931,76
15	36,27	932,27
16	38,74	932,17
17	40,38	932,17
18	42,75	932,38
19	46,76	932,68
20	49,54	933,1
21	52,73	933,51
22	54,58	933,1
23	57,77	932,99
24	62,3	933,3
25	65,29	933,61
26	67,55	933,82
27	70,95	934,33
28	74,34	934,33
29	77,12	934,02
30	79,59	933,51
31	82,0	933,68

Vertici strato2

N	X (m)	y (m)
1	0,0	926,37
2	2,61	925,38
3	7,45	924,97
4	9,61	925,48
5	15,27	925,79
6	18,46	926,2
7	23,92	927,13
8	29,27	927,13
9	33,8	926,72
10	36,88	926,2
11	44,81	924,97
12	48,62	924,97
13	53,35	924,97
14	57,26	925,58
15	59,94	926,1
16	65,08	927,13
17	68,89	927,85
18	74,14	927,85
19	77,43	927,64
20	79,9	925,48
21	82,0	924,3

Coefficienti parziali azioni

Sfavorevoli: Permanenti, variabili	1,0	0,0
Favorevoli: Permanenti, variabili	1,0	0,0

Coefficienti parziali per i parametri geotecnici del terreno

Tangente angolo di resistenza al taglio	1,25
Coesione efficace	1,25
Coesione non drenata	1,4
Riduzione parametri geotecnici terreno	No

Stratigrafia

Descrizione Litologica	Materiale di Alterazione Superficiale	Argilla grigia-azzurra con livelli di Marne e Calcarenit
<i>Peso volume medio</i>	$\gamma_m = 1,75-1,85 \text{ g/cm}^3$	$\gamma_m = 1,90 - 2,05 \text{ g/cm}^3$
<i>Angolo di resistenza al taglio medio (tensioni efficaci, a lungotermine)</i>	$\varphi_m = 18^\circ - 20^\circ$	$\varphi_m = 21^\circ - 26^\circ$
<i>Coesione drenata media (tensioni efficaci, a lungo termine)</i>	$C = 0,05 - 0,1 \text{ kg/cm}^2$	$C = 0,2 - 0,5 \text{ kg/cm}^2$
<i>Coesione non drenata</i>	$C_u = 0,5 - 0,8 \text{ kg/cm}^2$	$C_u = 0,8 - 1,0 \text{ kg/cm}^2$
<i>Modulo di Poisson</i>	$\nu = 0.25$	$\nu = 0.35$

Risultati analisi pendio

Fs minimo individuato	1,9
Ascissa centro superficie	34,64 m
Ordinata centro superficie	946,37 m
Raggio superficie	14,07 m

Numero di superfici esaminate....(221)

N°	Xo	Yo	Ro	Fs
1	31,6	936,7	9,1	3,29
2	32,4	937,2	9,6	3,37
3	33,1	936,7	9,1	3,31
4	33,9	937,2	9,6	3,27
5	34,6	936,7	9,1	3,36
6	35,4	937,2	9,6	3,32
7	36,1	936,7	9,1	3,40
8	36,9	937,2	9,6	3,37
9	37,6	936,7	10,7	3,42
10	38,4	937,2	9,6	3,29
11	39,1	936,7	10,7	3,28
12	39,9	937,2	5,0	1,97
13	40,7	936,7	4,5	2,51
14	41,4	937,2	11,2	3,01
15	42,2	936,7	10,7	3,02
16	42,9	937,2	11,2	3,01
17	43,7	936,7	9,2	2,92
18	44,4	937,2	8,1	2,93
19	45,2	936,7	6,1	2,92
20	45,9	937,2	6,6	2,88
21	46,7	936,7	7,7	2,90
22	31,6	937,7	10,1	3,23
23	32,4	938,1	10,5	3,30
24	33,1	937,7	10,1	3,26
25	33,9	938,1	10,6	3,28
26	34,6	937,7	10,1	3,31
27	35,4	938,1	10,6	3,29
28	36,1	937,7	10,1	3,37
29	36,9	938,1	10,6	3,29
30	37,6	937,7	10,1	3,41
31	38,4	938,1	5,9	1,97
32	39,1	937,7	5,4	1,97
33	39,9	938,1	5,9	1,96
34	40,7	937,7	5,5	2,51
35	41,4	938,1	12,2	2,94
36	42,2	937,7	11,7	2,90
37	42,9	938,1	10,6	2,95
38	43,7	937,7	11,7	2,98
39	44,4	938,1	9,1	2,91
40	45,2	937,7	7,1	2,89
41	45,9	938,1	7,6	2,81
42	46,7	937,7	7,1	2,88
43	31,6	938,6	11,0	3,20
44	32,4	939,1	11,5	3,24
45	33,1	938,6	11,0	3,26
46	33,9	939,1	10,0	3,42
47	34,6	938,6	11,0	3,27

48	35,4	939,1	11,5	3,26
49	36,1	938,6	11,1	3,35
50	36,9	939,1	11,6	3,27
51	37,6	938,6	6,4	1,98
52	38,4	939,1	6,9	1,96
53	39,1	938,6	6,4	1,97
54	39,9	939,1	6,9	1,96
55	40,7	938,6	6,4	2,50
56	41,4	939,1	13,2	2,86
57	42,2	938,6	12,7	2,95
58	42,9	939,1	11,6	2,95
59	43,7	938,6	12,7	2,94
60	44,4	939,1	10,1	2,91
61	45,2	938,6	9,6	2,91
62	45,9	939,1	8,5	2,81
63	46,7	938,6	8,1	2,89
64	31,6	939,6	12,0	3,18
65	32,4	940,1	12,5	3,16
66	33,1	939,6	12,0	3,24
67	33,9	940,1	12,5	3,32
68	34,6	939,6	12,0	3,22
69	35,4	940,1	12,5	3,23
70	36,1	939,6	12,0	3,26
71	36,9	940,1	12,5	3,21
72	37,6	939,6	7,3	1,98
73	38,4	940,1	7,8	1,96
74	39,1	939,6	7,4	1,96
75	39,9	940,1	7,9	1,95
76	40,7	939,6	7,4	2,50
77	41,4	940,1	12,6	2,97
78	42,2	939,6	12,1	2,92
79	42,9	940,1	14,1	2,93
80	43,7	939,6	10,6	2,89
81	44,4	940,1	11,0	2,90
82	45,2	939,6	10,6	2,87
83	45,9	940,1	11,1	2,92
84	46,7	939,6	9,0	2,81
85	31,6	940,6	13,0	3,21
86	32,4	941,1	13,4	3,16
87	33,1	940,6	13,0	3,20
88	33,9	941,1	13,5	3,21
89	34,6	940,6	13,0	3,23
90	35,4	941,1	13,5	3,20
91	36,1	940,6	8,3	1,96
92	36,9	941,1	13,5	3,15
93	37,6	940,6	8,3	1,97
94	38,4	941,1	8,8	1,96
95	39,1	940,6	8,3	1,95
96	39,9	941,1	8,8	1,95
97	40,7	940,6	8,4	2,49
98	41,4	941,1	13,5	2,91
99	42,2	940,6	14,6	2,92
100	42,9	941,1	15,1	2,89
101	43,7	940,6	13,1	2,92
102	44,4	941,1	12,0	2,90
103	45,2	940,6	11,5	2,89
104	45,9	941,1	10,5	2,93
105	46,7	940,6	10,0	2,84
106	31,6	941,5	13,9	3,19

107	32,4	942,0	14,4	3,17
108	33,1	941,5	13,9	3,17
109	33,9	942,0	14,4	3,17
110	34,6	941,5	14,0	3,32
111	35,4	942,0	14,4	3,16
112	36,1	941,5	9,3	1,96
113	36,9	942,0	9,8	1,97
114	37,6	941,5	9,3	1,97
115	38,4	942,0	9,8	1,96
116	39,1	941,5	9,3	1,96
117	39,9	942,0	9,8	1,94
118	40,7	941,5	15,6	2,90
119	41,4	942,0	14,5	2,86
120	42,2	941,5	14,0	2,92
121	42,9	942,0	16,1	2,89
122	43,7	941,5	14,0	2,90
123	44,4	942,0	13,0	2,91
124	45,2	941,5	11,0	2,87
125	45,9	942,0	11,4	2,92
126	46,7	941,5	11,0	2,86
127	31,6	942,5	14,9	3,13
128	32,4	943,0	15,4	3,17
129	33,1	942,5	14,9	3,15
130	33,9	943,0	15,4	3,16
131	34,6	942,5	14,9	3,23
132	35,4	943,0	10,7	1,94
133	36,1	942,5	10,2	1,96
134	36,9	943,0	10,7	1,98
135	37,6	942,5	10,2	1,97
136	38,4	943,0	10,7	1,96
137	39,1	942,5	10,3	1,95
138	39,9	943,0	10,8	1,95
139	40,7	942,5	16,5	2,89
140	41,4	943,0	15,5	2,89
141	42,2	942,5	15,0	2,91
142	42,9	943,0	15,5	2,92
143	43,7	942,5	15,0	2,91
144	44,4	943,0	13,9	2,93
145	45,2	942,5	16,6	2,91
146	45,9	943,0	12,4	2,91
147	46,7	942,5	11,9	2,93
148	31,6	943,5	15,9	3,13
149	32,4	944,0	16,3	3,17
150	33,1	943,5	15,9	3,13
151	33,9	944,0	16,4	3,15
152	34,6	943,5	15,9	3,15
153	35,4	944,0	11,7	1,94
154	36,1	943,5	11,2	1,96
155	36,9	944,0	11,7	1,98
156	37,6	943,5	11,2	1,96
157	38,4	944,0	11,7	1,95
158	39,1	943,5	11,2	1,95
159	39,9	944,0	11,7	1,94
160	40,7	943,5	17,5	2,88
161	41,4	944,0	16,4	2,89
162	42,2	943,5	16,0	2,90
163	42,9	944,0	16,5	2,91
164	43,7	943,5	16,0	2,92
165	44,4	944,0	16,5	2,93

166	45,2	943,5	14,4	2,93
167	45,9	944,0	13,4	2,91
168	46,7	943,5	12,9	2,90
169	31,6	944,4	16,8	3,13
170	32,4	944,9	17,3	3,14
171	33,1	944,4	16,8	3,14
172	33,9	944,9	17,3	3,13
173	34,6	944,4	16,9	3,14
174	35,4	944,9	12,6	1,94
175	36,1	944,4	12,2	1,96
176	36,9	944,9	12,7	1,98
177	37,6	944,4	12,2	1,97
178	38,4	944,9	12,7	1,96
179	39,1	944,4	12,2	1,95
180	39,9	944,9	12,7	1,94
181	40,7	944,4	18,5	2,87
182	41,4	944,9	19,0	2,88
183	42,2	944,4	16,9	2,89
184	42,9	944,9	17,4	2,89
185	43,7	944,4	15,4	2,92
186	44,4	944,9	17,4	2,93
187	45,2	944,4	17,0	2,92
188	45,9	944,9	14,3	2,80
189	46,7	944,4	13,9	2,89
190	31,6	945,4	17,8	3,12
191	32,4	945,9	18,3	3,11
192	33,1	945,4	17,8	3,15
193	33,9	945,9	18,3	3,11
194	34,6	945,4	17,8	3,09
195	35,4	945,9	13,6	1,94
196	36,1	945,4	13,1	1,96
197	36,9	945,9	13,6	1,97
198	37,6	945,4	13,1	1,96
199	38,4	945,9	13,6	1,95
200	39,1	945,4	13,2	1,95
201	39,9	945,9	13,7	1,94
202	40,7	945,4	19,4	2,89
203	41,4	945,9	19,9	2,86
204	42,2	945,4	17,9	2,88
205	42,9	945,9	18,4	2,92
206	43,7	945,4	16,4	2,93
207	44,4	945,9	18,4	2,92
208	45,2	945,4	17,9	2,89
209	45,9	945,9	15,3	2,90
210	46,7	945,4	14,8	2,89
211	31,6	946,4	18,8	3,11
212	33,1	946,4	18,8	3,14
213	34,6	946,4	14,1	1,90
214	36,1	946,4	14,1	1,96
215	37,6	946,4	14,1	1,96
216	39,1	946,4	14,1	1,95
217	40,7	946,4	20,4	2,88
218	42,2	946,4	20,4	2,92
219	43,7	946,4	20,4	2,94
220	45,2	946,4	18,9	2,90
221	46,7	946,4	15,8	2,89

VERIFICA DI STABILITA' POST OPERAM – AEROGENERATORE WTG12

Analisi di stabilità dei pendii con: FELLENIUS (1936)

Lat./Long.	41,323396/15,162688
Calcolo eseguito secondo	NTC 2018
Numero di strati	3,0
Numero dei conci	10,0
Grado di sicurezza ritenuto accettabile	1,3
Coefficiente parziale resistenza	1,0
Parametri geotecnici da usare. Angolo di attrito:	Picco
Analisi	Condizione drenata
Superficie di forma circolare	

Maglia dei Centri

Ascissa vertice sinistro inferiore xi	34,93 m
Ordinata vertice sinistro inferiore yi	947,71 m
Ascissa vertice destro superiore xs	49,95 m
Ordinata vertice destro superiore ys	957,38 m
Passo di ricerca	10,0
Numero di celle lungo x	10,0
Numero di celle lungo y	10,0

Coefficienti sismici [N.T.C.]

Dati generali

Tipo opera:	2 - Opere ordinarie
Classe d'uso:	Classe II
Vita nominale:	50,0 [anni]
Vita di riferimento:	50,0 [anni]

Parametri sismici su sito di riferimento

Categoria sottosuolo:	C
Categoria topografica:	T2

S.L. Stato limite	TR Tempo ritorno [anni]	ag [m/s ²]	F0 [-]	TC* [sec]
S.L.O.	30,0	0,48	2,41	0,29
S.L.D.	50,0	0,6	2,48	0,33
S.L.V.	475,0	1,57	2,54	0,44
S.L.C.	975,0	2,08	2,55	0,46

Coefficienti sismici orizzontali e verticali

Opera:	Classe II
--------	-----------

S.L. Stato limite	amax [m/s ²]	beta [-]	kh [-]	kv [sec]
S.L.O.	0,864	1,0	0,0881	0,0441
S.L.D.	1,08	0,47	0,0518	0,0259
S.L.V.	2,7431	0,38	0,1063	0,0532
S.L.C.	3,4332	1,0	0,3501	0,1751

Coefficiente azione sismica orizzontale	0,088
---	-------

Coefficiente azione sismica verticale 0,044

Vertici profilo

Nr	X (m)	y (m)
1	0,0	929,72
2	5,0	930,1
3	10,0	930,54
4	15,0	931,0
5	20,0	931,43
6	25,0	931,78
7	30,0	932,13
8	35,0	932,46
9	40,0	932,73
10	45,0	933,02
11	50,0	933,7
12	55,0	933,86
13	60,0	933,95
14	65,0	934,0
15	70,0	934,71
16	75,0	934,64
17	80,0	934,54
18	82,0	934,55

Vertici strato1

N	X (m)	y (m)
1	0,0	929,25
2	1,69	929,49
3	4,16	929,7
4	6,73	929,6
5	8,89	929,8
6	10,85	930,01
7	13,32	930,42
8	17,74	930,52
9	20,31	931,04
10	22,58	931,24
11	25,46	931,24
12	28,03	931,35
13	30,5	931,66
14	33,28	931,76
15	36,27	932,27
16	38,74	932,17
17	40,38	932,17
18	42,75	932,38
19	46,76	932,68
20	49,54	933,1
21	52,73	933,51
22	54,58	933,1
23	57,77	932,99
24	62,3	933,3
25	65,29	933,61
26	67,55	933,82
27	70,95	934,33
28	74,34	934,33
29	77,12	934,02
30	79,59	933,51
31	82,0	933,68

Vertici strato2

N	X (m)	y (m)
1	0,0	926,37
2	2,61	925,38
3	7,45	924,97
4	9,61	925,48
5	15,27	925,79
6	18,46	926,2
7	23,92	927,13
8	29,27	927,13
9	33,8	926,72
10	36,88	926,2
11	44,81	924,97
12	48,62	924,97
13	53,35	924,97
14	57,26	925,58
15	59,94	926,1
16	65,08	927,13
17	68,89	927,85
18	74,14	927,85
19	77,43	927,64
20	79,9	925,48
21	82,0	924,3

Coefficienti parziali azioni

Sfavorevoli: Permanenti, variabili	1,0	0,0
Favorevoli: Permanenti, variabili	1,0	0,0

Coefficienti parziali per i parametri geotecnici del terreno

Tangente angolo di resistenza al taglio	1,25
Coesione efficace	1,25
Coesione non drenata	1,4
Riduzione parametri geotecnici terreno	No

Stratigrafia

Descrizione Litologica	Materiale di Alterazione	Argilla grigia-azzurra con livelli di Marne e Calcareniti
<i>Peso volume medio</i>	$\gamma_m = 1,75 - 1,85 \text{ g/cm}^3$	$\gamma_m = 1,90 - 2,05 \text{ g/cm}^3$
<i>Angolo di resistenza al taglio medio (tensioni efficaci, a lungotermine)</i>	$\varphi_m = 18^\circ - 20^\circ$	$\varphi_m = 21^\circ - 26^\circ$
<i>Coesione drenata media (tensioni efficaci, a lungo termine)</i>	$C = 0,05 - 0,1 \text{ kg/cm}^2$	$C = 0,2 - 0,5 \text{ kg/cm}^2$
<i>Coesione non drenata</i>	$C_u = 0,5 - 0,8 \text{ kg/cm}^2$	$C_u = 0,8 - 1,0 \text{ kg/cm}^2$
<i>Modulo di Poisson</i>	$\nu = 0.25$	$\nu = 0.35$

Risultati analisi pendio

Fs minimo individuato	1,89
Ascissa centro superficie	39,44 m
Ordinata centro superficie	957,38 m
Raggio superficie	25,15 m

Numero di superfici esaminate...(221)

N°	Xo	Yo	Ro	Fs
1	34,9	947,7	15,4	1,92
2	35,7	948,2	15,9	1,94
3	36,4	947,7	15,4	1,96
4	37,2	948,2	15,9	1,97
5	37,9	947,7	15,5	1,95
6	38,7	948,2	16,0	1,95
7	39,4	947,7	15,5	1,94
8	40,2	948,2	16,0	1,94
9	40,9	947,7	21,7	2,86
10	41,7	948,2	22,2	2,88
11	42,4	947,7	21,8	2,90
12	43,2	948,2	22,3	2,92
13	43,9	947,7	20,2	2,94
14	44,7	948,2	20,7	2,92
15	45,4	947,7	17,1	2,94
16	46,2	948,2	17,6	2,93
17	46,9	947,7	17,2	2,91
18	47,7	948,2	17,6	3,01
19	48,5	947,7	17,2	2,98
20	49,2	948,2	17,7	3,03
21	50,0	947,7	20,3	3,12
22	34,9	948,7	16,4	1,92
23	35,7	949,2	16,9	1,95
24	36,4	948,7	16,4	1,96
25	37,2	949,2	16,9	1,96
26	37,9	948,7	16,4	1,95
27	38,7	949,2	16,9	1,94
28	39,4	948,7	16,4	1,94
29	40,2	949,2	16,9	2,49
30	40,9	948,7	22,7	2,89
31	41,7	949,2	23,2	2,88
32	42,4	948,7	22,7	2,89
33	43,2	949,2	23,2	2,92
34	43,9	948,7	21,2	2,93
35	44,7	949,2	18,6	2,95
36	45,4	948,7	18,1	2,95
37	46,2	949,2	18,6	2,97
38	46,9	948,7	18,1	2,90
39	47,7	949,2	18,6	3,01
40	48,5	948,7	22,8	3,11
41	49,2	949,2	18,6	3,05
42	50,0	948,7	22,8	3,16
43	34,9	949,6	17,3	1,92
44	35,7	950,1	17,8	1,94
45	36,4	949,6	17,4	1,96
46	37,2	950,1	17,9	1,96
47	37,9	949,6	17,4	1,95

48	38,7	950,1	17,9	1,95
49	39,4	949,6	17,4	1,94
50	40,2	950,1	17,9	2,48
51	40,9	949,6	22,1	2,89
52	41,7	950,1	24,2	2,87
53	42,4	949,6	23,7	2,90
54	43,2	950,1	24,2	2,92
55	43,9	949,6	22,2	2,93
56	44,7	950,1	19,5	2,96
57	45,4	949,6	19,1	2,96
58	46,2	950,1	19,6	2,98
59	46,9	949,6	19,1	2,89
60	47,7	950,1	19,6	3,02
61	48,5	949,6	23,7	3,10
62	49,2	950,1	19,6	3,07
63	50,0	949,6	23,8	3,12
64	34,9	950,6	18,3	1,92
65	35,7	951,1	18,8	1,95
66	36,4	950,6	18,3	1,96
67	37,2	951,1	18,8	1,96
68	37,9	950,6	18,4	1,95
69	38,7	951,1	18,9	1,94
70	39,4	950,6	18,4	1,94
71	40,2	951,1	18,9	2,46
72	40,9	950,6	23,1	2,88
73	41,7	951,1	25,1	2,87
74	42,4	950,6	24,7	2,90
75	43,2	951,1	25,2	2,92
76	43,9	950,6	23,1	2,94
77	44,7	951,1	20,5	2,97
78	45,4	950,6	20,0	2,97
79	46,2	951,1	20,5	2,99
80	46,9	950,6	20,1	2,92
81	47,7	951,1	20,5	3,02
82	48,5	950,6	24,7	3,09
83	49,2	951,1	25,2	3,08
84	50,0	950,6	24,7	3,09
85	34,9	951,6	19,3	1,93
86	35,7	952,1	19,8	1,95
87	36,4	951,6	19,3	1,96
88	37,2	952,1	19,8	1,96
89	37,9	951,6	19,3	1,95
90	38,7	952,1	19,8	1,94
91	39,4	951,6	19,4	1,94
92	40,2	952,1	19,8	2,44
93	40,9	951,6	24,1	2,87
94	41,7	952,1	26,1	2,89
95	42,4	951,6	25,6	2,90
96	43,2	952,1	26,1	2,92
97	43,9	951,6	25,6	2,96
98	44,7	952,1	23,0	2,97
99	45,4	951,6	21,0	2,98
100	46,2	952,1	21,5	2,99
101	46,9	951,6	21,0	3,03
102	47,7	952,1	21,5	3,02
103	48,5	951,6	25,7	3,07
104	49,2	952,1	26,2	3,06
105	50,0	951,6	25,7	3,08
106	34,9	952,5	20,2	1,93

107	35,7	953,0	20,7	1,95
108	36,4	952,5	20,3	1,95
109	37,2	953,0	20,8	1,95
110	37,9	952,5	20,3	1,95
111	38,7	953,0	20,8	1,94
112	39,4	952,5	20,3	1,94
113	40,2	953,0	20,8	2,42
114	40,9	952,5	25,0	2,87
115	41,7	953,0	25,5	2,92
116	42,4	952,5	26,6	2,90
117	43,2	953,0	27,1	2,92
118	43,9	952,5	26,6	2,96
119	44,7	953,0	24,0	2,96
120	45,4	952,5	22,0	3,00
121	46,2	953,0	22,5	2,99
122	46,9	952,5	25,1	3,05
123	47,7	953,0	22,5	3,02
124	48,5	952,5	26,6	3,07
125	49,2	953,0	27,1	3,04
126	50,0	952,5	26,7	3,05
127	34,9	953,5	21,2	1,93
128	35,7	954,0	21,7	1,95
129	36,4	953,5	21,2	1,95
130	37,2	954,0	21,7	1,95
131	37,9	953,5	21,3	1,95
132	38,7	954,0	21,8	1,94
133	39,4	953,5	21,3	1,94
134	40,2	954,0	21,8	2,40
135	40,9	953,5	27,6	2,87
136	41,7	954,0	28,0	2,91
137	42,4	953,5	27,6	2,91
138	43,2	954,0	26,5	2,92
139	43,9	953,5	27,6	2,95
140	44,7	954,0	28,1	2,97
141	45,4	953,5	27,6	2,98
142	46,2	954,0	28,1	3,02
143	46,9	953,5	26,1	3,03
144	47,7	954,0	23,4	3,03
145	48,5	953,5	27,6	3,05
146	49,2	954,0	28,1	3,03
147	50,0	953,5	27,6	3,03
148	34,9	954,5	22,2	1,93
149	35,7	955,0	22,7	1,95
150	36,4	954,5	22,2	1,95
151	37,2	955,0	22,7	1,95
152	37,9	954,5	22,2	1,96
153	38,7	955,0	22,7	1,94
154	39,4	954,5	22,3	1,93
155	40,2	955,0	27,4	2,88
156	40,9	954,5	28,5	2,88
157	41,7	955,0	27,4	2,90
158	42,4	954,5	28,5	2,92
159	43,2	955,0	27,5	2,94
160	43,9	954,5	28,5	2,95
161	44,7	955,0	29,0	2,97
162	45,4	954,5	28,6	2,97
163	46,2	955,0	27,5	3,03
164	46,9	954,5	27,0	3,03
165	47,7	955,0	24,4	3,03

166	48,5	954,5	28,6	3,04
167	49,2	955,0	29,1	3,02
168	50,0	954,5	28,6	3,00
169	34,9	955,4	23,1	1,93
170	35,7	955,9	23,6	1,95
171	36,4	955,4	23,2	1,95
172	37,2	955,9	23,7	1,95
173	37,9	955,4	23,2	1,96
174	38,7	955,9	23,7	1,94
175	39,4	955,4	23,2	1,92
176	40,2	955,9	28,4	2,88
177	40,9	955,4	29,5	2,89
178	41,7	955,9	28,4	2,90
179	42,4	955,4	27,9	2,92
180	43,2	955,9	30,0	2,94
181	43,9	955,4	26,4	2,90
182	44,7	955,9	30,0	2,96
183	45,4	955,4	29,5	3,00
184	46,2	955,9	30,0	3,03
185	46,9	955,4	28,0	3,02
186	47,7	955,9	30,0	3,04
187	48,5	955,4	29,5	3,03
188	49,2	955,9	30,0	3,00
189	50,0	955,4	29,6	3,01
190	34,9	956,4	24,1	1,93
191	35,7	956,9	24,6	1,95
192	36,4	956,4	24,1	1,95
193	37,2	956,9	24,6	1,95
194	37,9	956,4	24,2	1,96
195	38,7	956,9	24,7	1,94
196	39,4	956,4	24,2	1,91
197	40,2	956,9	24,7	2,86
198	40,9	956,4	30,5	2,89
199	41,7	956,9	29,4	2,89
200	42,4	956,4	28,9	2,93
201	43,2	956,9	31,0	2,94
202	43,9	956,4	27,4	2,91
203	44,7	956,9	31,0	2,95
204	45,4	956,4	30,5	3,00
205	46,2	956,9	31,0	3,01
206	46,9	956,4	30,5	3,02
207	47,7	956,9	31,0	3,02
208	48,5	956,4	30,5	3,01
209	49,2	956,9	31,0	2,98
210	50,0	956,4	30,5	3,00
211	34,9	957,4	25,1	1,93
212	36,4	957,4	25,1	1,95
213	37,9	957,4	25,1	1,95
214	39,4	957,4	25,2	1,89
215	40,9	957,4	31,4	2,89
216	42,4	957,4	31,4	2,92
217	43,9	957,4	31,4	2,95
218	45,4	957,4	31,5	3,00
219	46,9	957,4	31,5	3,02
220	48,5	957,4	31,5	3,01
221	50,0	957,4	31,5	2,98

VERIFICA DI STABILITA' PRE OPERAM – AEROGENERATORE WTG13

Analisi di stabilità dei pendii con: FELLENIUS (1936)

Lat./Long.	41,323396/15,162688
Calcolo eseguito secondo	NTC 2018
Numero di strati	3,0
Numero dei conci	10,0
Grado di sicurezza ritenuto accettabile	1,3
Coefficiente parziale resistenza	1,0
Parametri geotecnici da usare. Angolo di attrito:	Picco
Analisi	Condizione drenata
Superficie di forma circolare	

Maglia dei Centri

Ascissa vertice sinistro inferiore xi	13,42 m
Ordinata vertice sinistro inferiore yi	910,13 m
Ascissa vertice destro superiore xs	22,06 m
Ordinata vertice destro superiore ys	918,26 m
Passo di ricerca	10,0
Numero di celle lungo x	10,0
Numero di celle lungo y	10,0

Coefficienti sismici [N.T.C.]

Dati generali

Tipo opera:	2 - Opere ordinarie
Classe d'uso:	Classe II
Vita nominale:	50,0 [anni]
Vita di riferimento:	50,0 [anni]

Parametri sismici su sito di riferimento

Categoria sottosuolo:	C
Categoria topografica:	T2

S.L. Stato limite	TR Tempo ritorno [anni]	ag [m/s ²]	F0 [-]	TC* [sec]
S.L.O.	30,0	0,48	2,41	0,29
S.L.D.	50,0	0,6	2,48	0,33
S.L.V.	475,0	1,57	2,54	0,44
S.L.C.	975,0	2,08	2,55	0,46

Coefficienti sismici orizzontali e verticali

Opera:	Classe II
--------	-----------

S.L. Stato limite	amax [m/s ²]	beta [-]	kh [-]	kv [sec]
S.L.O.	0,864	1,0	0,0881	0,0441
S.L.D.	1,08	0,47	0,0518	0,0259
S.L.V.	2,7431	0,38	0,1063	0,0532
S.L.C.	3,4332	1,0	0,3501	0,1751

Coefficiente azione sismica orizzontale 0,0881

Coefficiente azione sismica verticale 0,0441

Vertici profilo

Nr	X (m)	y (m)
1	0,0	907,38
2	5,0	906,98
3	10,0	906,7
4	15,0	906,24
5	20,0	905,79
6	25,0	905,24
7	30,0	904,66
8	35,0	904,21
9	40,0	903,61
10	45,0	902,99
11	50,0	902,32
12	55,0	901,5
13	60,0	900,78
14	65,0	899,84
15	70,0	899,24
16	75,0	898,68
17	80,0	897,86
18	82,0	896,74

Vertici strato1

N	X (m)	y (m)
1	0,0	905,83
2	2,1	906,22
3	6,11	905,91
4	9,41	906,01
5	11,57	906,01
6	13,83	905,4
7	17,12	905,4
8	20,73	904,88
9	24,12	904,78
10	27,21	904,57
11	29,06	903,96
12	31,33	903,54
13	33,59	903,54
14	39,15	902,93
15	42,85	902,72
16	44,7	902,31
17	47,17	901,38
18	49,34	901,49
19	53,04	901,07
20	56,03	900,46
21	59,73	899,94
22	62,71	899,43
23	66,93	898,6
24	71,46	897,88
25	75,27	897,78
26	77,12	896,75
27	79,59	896,65
28	82,0	896,14

Vertici strato2

N	X (m)	y (m)
1	0,0	894,43
2	8,17	893,77
3	11,67	892,43
4	18,05	892,33
5	26,8	892,02
6	30,09	893,15
7	35,85	893,05
8	40,9	893,15
9	46,15	893,36
10	49,03	892,63
11	52,83	892,02
12	57,88	892,12
13	61,27	892,12
14	65,7	892,12
15	68,89	892,12
16	71,77	892,74
17	76,09	892,74
18	78,77	892,63
19	82,0	891,94

Coefficienti parziali azioni

Sfavorevoli: Permanenti, variabili	1,0	1,0
Favorevoli: Permanent, variabili	1,0	1,0

Coefficienti parziali per i parametri geotecnici del terreno

Tangente angolo di resistenza al taglio	1,25
Coesione efficace	1,25
Coesione non drenata	1,4
Riduzione parametri geotecnici terreno	No

Stratigrafia

Descrizione Litologica	Materiale di Alterazione Superficiale	Argilla grigia-azzurra con livelli di Marne e Calcarenti
<i>Peso volume medio</i>	$\gamma_m = 1,75 - 1,85 \text{ g/cm}^3$	$\gamma_m = 1,90 - 2,05 \text{ g/cm}^3$
<i>Angolo di resistenza al taglio medio (tensioni efficaci, a lungotermine)</i>	$\varphi_m = 18^\circ - 20^\circ$	$\varphi_m = 21^\circ - 26^\circ$
<i>Coesione drenata media (tensioni efficaci, a lungo termine)</i>	$C = 0,05 - 0,1 \text{ kg/cm}^2$	$C = 0,2 - 0,5 \text{ kg/cm}^2$
<i>Coesione non drenata</i>	$C_u = 0,5 - 0,8 \text{ kg/cm}^2$	$C_u = 0,8 - 1,0 \text{ kg/cm}^2$
<i>Modulo di Poisson</i>	$\nu = 0,25$	$\nu = 0,35$

Risultati analisi pendio

Fs minimo individuato	14,89
Ascissa centro superficie	16,45 m
Ordinata centro superficie	910,54 m
Raggio superficie	13,7 m

Numero di superfici esaminate....(221)

N°	Xo	Yo	Ro	Fs
1	13,4	910,1	12,4	14,95
2	13,9	910,5	11,6	16,75
3	14,3	910,1	11,8	15,52
4	14,7	910,5	12,3	16,15
5	15,1	910,1	12,5	15,81
6	15,6	910,5	13,0	16,74
7	16,0	910,1	13,2	15,14
8	16,4	910,5	13,7	14,89
9	16,9	910,1	13,9	18,60
10	17,3	910,5	16,0	17,56
11	17,7	910,1	16,3	16,77
12	18,2	910,5	5,2	20,00
13	18,6	910,1	13,6	19,14
14	19,0	910,5	17,6	18,39
15	19,5	910,1	16,1	18,33
16	19,9	910,5	18,4	17,64
17	20,3	910,1	5,6	20,00
18	20,8	910,5	6,1	20,00
19	21,2	910,1	5,9	20,00
20	21,6	910,5	19,9	18,65
21	22,1	910,1	6,2	20,00
22	13,4	910,9	12,6	16,17
23	13,9	911,3	11,9	18,49
24	14,3	910,9	12,1	16,57
25	14,7	911,3	12,6	16,86
26	15,1	910,9	12,8	17,34
27	15,6	911,3	14,7	17,72
28	16,0	910,9	15,0	16,70
29	16,4	911,3	14,0	15,93
30	16,9	910,9	15,7	18,24
31	17,3	911,3	16,2	19,34
32	17,7	910,9	7,0	20,00
33	18,2	911,3	17,0	18,50
34	18,6	910,9	17,3	16,17
35	19,0	911,3	6,1	20,00
36	19,5	910,9	6,0	20,00
37	19,9	911,3	6,4	20,00
38	20,3	910,9	6,3	20,00
39	20,8	911,3	6,7	20,00
40	21,2	910,9	6,6	20,00
41	21,6	911,3	7,0	20,00
42	22,1	910,9	6,9	20,00
43	13,4	911,8	12,9	17,48
44	13,9	912,2	6,3	20,00
45	14,3	911,8	12,4	18,36

46	14,7	912,2	12,9	18,66
47	15,1	911,8	13,1	18,98
48	15,6	912,2	15,0	19,74
49	16,0	911,8	15,2	18,05
50	16,4	912,2	14,3	17,70
51	16,9	911,8	7,2	20,00
52	17,3	912,2	7,7	20,00
53	17,7	911,8	7,6	20,00
54	18,2	912,2	8,1	20,00
55	18,6	911,8	17,5	17,87
56	19,0	912,2	6,8	20,00
57	19,5	911,8	6,6	20,00
58	19,9	912,2	7,1	20,00
59	20,3	911,8	6,9	20,00
60	20,8	912,2	7,4	20,00
61	21,2	911,8	7,2	20,00
62	21,6	912,2	7,7	20,00
63	22,1	911,8	7,5	20,00
64	13,4	912,6	13,2	18,90
65	13,9	913,0	13,8	19,61
66	14,3	912,6	6,8	20,00
67	14,7	913,0	7,3	20,00
68	15,1	912,6	7,1	20,00
69	15,6	913,0	7,6	20,00
70	16,0	912,6	15,5	19,50
71	16,4	913,0	14,7	19,74
72	16,9	912,6	7,8	20,00
73	17,3	913,0	8,3	20,00
74	17,7	912,6	8,2	20,00
75	18,2	913,0	8,7	20,00
76	18,6	912,6	17,8	19,79
77	19,0	913,0	7,5	20,00
78	19,5	912,6	7,3	20,00
79	19,9	913,0	7,8	20,00
80	20,3	912,6	7,6	20,00
81	20,8	913,0	8,1	20,00
82	21,2	912,6	7,9	20,00
83	21,6	913,0	8,4	20,00
84	22,1	912,6	8,2	20,00
85	13,4	913,4	8,1	20,00
86	13,9	913,8	8,7	20,00
87	14,3	913,4	7,4	20,00
88	14,7	913,8	7,9	20,00
89	15,1	913,4	7,8	20,00
90	15,6	913,8	8,3	20,00
91	16,0	913,4	8,1	20,00
92	16,4	913,8	8,6	20,00
93	16,9	913,4	8,5	20,00
94	17,3	913,8	9,0	20,00
95	17,7	913,4	8,8	20,00
96	18,2	913,8	9,3	20,00
97	18,6	913,4	9,2	20,00
98	19,0	913,8	8,2	20,00
99	19,5	913,4	8,0	20,00
100	19,9	913,8	8,5	20,00
101	20,3	913,4	8,3	20,00
102	20,8	913,8	8,8	20,00

103	21,2	913,4	8,6	20,00
104	21,6	913,8	9,1	20,00
105	22,1	913,4	8,9	20,00
106	13,4	914,2	8,8	20,00
107	13,9	914,6	9,3	20,00
108	14,3	914,2	9,2	20,00
109	14,7	914,6	8,6	20,00
110	15,1	914,2	8,4	20,00
111	15,6	914,6	8,9	20,00
112	16,0	914,2	8,8	20,00
113	16,4	914,6	9,3	20,00
114	16,9	914,2	9,1	20,00
115	17,3	914,6	9,6	20,00
116	17,7	914,2	9,5	20,00
117	18,2	914,6	10,0	20,00
118	18,6	914,2	9,8	20,00
119	19,0	914,6	10,3	20,00
120	19,5	914,2	8,7	20,00
121	19,9	914,6	9,2	20,00
122	20,3	914,2	9,0	20,00
123	20,8	914,6	9,5	20,00
124	21,2	914,2	9,3	20,00
125	21,6	914,6	9,8	20,00
126	22,1	914,2	9,6	20,00
127	13,4	915,0	9,4	20,00
128	13,9	915,4	9,9	20,00
129	14,3	915,0	9,8	20,00
130	14,7	915,4	10,3	20,00
131	15,1	915,0	9,1	20,00
132	15,6	915,4	9,6	20,00
133	16,0	915,0	9,4	20,00
134	16,4	915,4	9,9	20,00
135	16,9	915,0	9,8	20,00
136	17,3	915,4	10,3	20,00
137	17,7	915,0	10,1	20,00
138	18,2	915,4	10,6	20,00
139	18,6	915,0	10,5	20,00
140	19,0	915,4	11,0	20,00
141	19,5	915,0	9,4	20,00
142	19,9	915,4	9,9	20,00
143	20,3	915,0	9,7	20,00
144	20,8	915,4	10,2	20,00
145	21,2	915,0	10,0	20,00
146	21,6	915,4	10,4	20,00
147	22,1	915,0	10,2	20,00
148	13,4	915,8	10,0	20,00
149	13,9	916,2	10,6	20,00
150	14,3	915,8	10,4	20,00
151	14,7	916,2	11,0	20,00
152	15,1	915,8	10,8	20,00
153	15,6	916,2	10,3	20,00
154	16,0	915,8	10,1	20,00
155	16,4	916,2	10,6	20,00
156	16,9	915,8	10,4	20,00
157	17,3	916,2	10,9	20,00
158	17,7	915,8	10,8	20,00
159	18,2	916,2	11,3	20,00

160	18,6	915,8	11,1	20,00
161	19,0	916,2	11,6	20,00
162	19,5	915,8	11,5	20,00
163	19,9	916,2	12,0	20,00
164	20,3	915,8	10,4	20,00
165	20,8	916,2	10,9	20,00
166	21,2	915,8	10,7	20,00
167	21,6	916,2	11,1	20,00
168	22,1	915,8	10,9	20,00
169	13,4	916,6	10,7	20,00
170	13,9	917,0	11,2	20,00
171	14,3	916,6	11,1	20,00
172	14,7	917,0	11,6	20,00
173	15,1	916,6	11,5	20,00
174	15,6	917,0	12,0	20,00
175	16,0	916,6	10,8	20,00
176	16,4	917,0	11,3	20,00
177	16,9	916,6	11,1	20,00
178	17,3	917,0	11,6	20,00
179	17,7	916,6	11,4	20,00
180	18,2	917,0	12,0	20,00
181	18,6	916,6	11,8	20,00
182	19,0	917,0	12,3	20,00
183	19,5	916,6	12,1	20,00
184	19,9	917,0	12,6	20,00
185	20,3	916,6	11,1	20,00
186	20,8	917,0	11,6	20,00
187	21,2	916,6	11,4	20,00
188	21,6	917,0	11,9	20,00
189	22,1	916,6	11,6	20,00
190	13,4	917,4	11,4	20,00
191	13,9	917,9	11,9	20,00
192	14,3	917,4	11,7	20,00
193	14,7	917,9	12,3	20,00
194	15,1	917,4	12,1	20,00
195	15,6	917,9	12,7	20,00
196	16,0	917,4	11,5	20,00
197	16,4	917,9	12,0	20,00
198	16,9	917,4	11,8	20,00
199	17,3	917,9	12,3	20,00
200	17,7	917,4	12,1	20,00
201	18,2	917,9	12,6	20,00
202	18,6	917,4	12,5	20,00
203	19,0	917,9	13,0	20,00
204	19,5	917,4	12,8	20,00
205	19,9	917,9	13,3	20,00
206	20,3	917,4	13,1	20,00
207	20,8	917,9	12,3	20,00
208	21,2	917,4	12,1	20,00
209	21,6	917,9	12,6	20,00
210	22,1	917,4	12,3	20,00
211	13,4	918,3	12,1	20,00
212	14,3	918,3	12,4	20,00
213	15,1	918,3	12,8	20,00
214	16,0	918,3	13,2	20,00
215	16,9	918,3	12,5	20,00
216	17,7	918,3	12,8	20,00

217	18,6	918,3	13,1	20,00
218	19,5	918,3	13,5	20,00
219	20,3	918,3	13,8	20,00
220	21,2	918,3	12,8	20,00
221	22,1	918,3	13,1	20,00

VERIFICA DI STABILITA' POST OPERAM – AEROGENERATORE WTG13

Analisi di stabilità dei pendii con: FELLENIUS (1936)

Lat./Long.	41,323396/15,162688
Calcolo eseguito secondo	NTC 2018
Numero di strati	3,0
Numero dei conci	10,0
Grado di sicurezza ritenuto accettabile	1,3
Coefficiente parziale resistenza	1,0
Parametri geotecnici da usare. Angolo di attrito:	Picco
Analisi	Condizione drenata
Superficie di forma circolare	

Maglia dei Centri

Ascissa vertice sinistro inferiore xi	13,42 m
Ordinata vertice sinistro inferiore yi	910,13 m
Ascissa vertice destro superiore xs	22,06 m
Ordinata vertice destro superiore ys	918,26 m
Passo di ricerca	10,0
Numero di celle lungo x	10,0
Numero di celle lungo y	10,0

Coefficienti sismici [N.T.C.]

Dati generali

Tipo opera:	2 - Opere ordinarie
Classe d'uso:	Classe II
Vita nominale:	50,0 [anni]
Vita di riferimento:	50,0 [anni]

Parametri sismici su sito di riferimento

Categoria sottosuolo:	C
Categoria topografica:	T2

S.L. Stato limite	TR Tempo ritorno [anni]	ag [m/s ²]	F0 [-]	TC* [sec]
S.L.O.	30,0	0,48	2,41	0,29
S.L.D.	50,0	0,6	2,48	0,33
S.L.V.	475,0	1,57	2,54	0,44
S.L.C.	975,0	2,08	2,55	0,46

Coefficienti sismici orizzontali e verticali

Opera: Classe II

S.L. Stato limite	amax [m/s ²]	beta [-]	kh [-]	kv [sec]
S.L.O.	0,864	1,0	0,0881	0,0441
S.L.D.	1,08	0,47	0,0518	0,0259
S.L.V.	2,7431	0,38	0,1063	0,0532
S.L.C.	3,4332	1,0	0,3501	0,1751

Coefficiente azione sismica orizzontale 0,0881
 Coefficiente azione sismica verticale 0,0441

Vertici profilo

Nr	X (m)	y (m)
1	0,0	907,38
2	5,0	906,98
3	10,0	906,7
4	15,0	906,24
5	20,0	905,79
6	25,0	905,24
7	30,0	904,66
8	35,0	904,21
9	40,0	903,61
10	45,0	902,99
11	50,0	902,32
12	55,0	901,5
13	60,0	900,78
14	65,0	899,84
15	70,0	899,24
16	75,0	898,68
17	80,0	897,86
18	82,0	896,74

Vertici strato1

N	X (m)	y (m)
1	0,0	905,83
2	2,1	906,22
3	6,11	905,91
4	9,41	906,01
5	11,57	906,01
6	13,83	905,4
7	17,12	905,4
8	20,73	904,88
9	24,12	904,78
10	27,21	904,57
11	29,06	903,96
12	31,33	903,54
13	33,59	903,54
14	39,15	902,93
15	42,85	902,72
16	44,7	902,31
17	47,17	901,38
18	49,34	901,49
19	53,04	901,07
20	56,03	900,46
21	59,73	899,94
22	62,71	899,43
23	66,93	898,6
24	71,46	897,88
25	75,27	897,78
26	77,12	896,75
27	79,59	896,65
28	82,0	896,14

Vertici strato2

N	X (m)	y (m)
1	0,0	894,43
2	8,17	893,77
3	11,67	892,43
4	18,05	892,33
5	26,8	892,02
6	30,09	893,15
7	35,85	893,05
8	40,9	893,15
9	46,15	893,36
10	49,03	892,63
11	52,83	892,02
12	57,88	892,12
13	61,27	892,12
14	65,7	892,12
15	68,89	892,12
16	71,77	892,74
17	76,09	892,74
18	78,77	892,63
19	82,0	891,94

Coefficienti parziali azioni

Sfavorevoli: Permanenti, variabili	1,0	1,0
Favorevoli: Permanent, variabili	1,0	1,0

Coefficienti parziali per i parametri geotecnici del terreno

Tangente angolo di resistenza al taglio	1,25
Coesione efficace	1,25
Coesione non drenata	1,4
Riduzione parametri geotecnici terreno	No

Stratigrafia

Descrizione Litologica	Materiale di Alterazione Superficiale	Argilla grigia-azzurra con livelli di Marne e Calcarenti
<i>Peso volume medio</i>	$\gamma_m = 1,75 - 1,85 \text{ g/cm}^3$	$\gamma_m = 1,90 - 2,05 \text{ g/cm}^3$
<i>Angolo di resistenza al taglio medio (tensioni efficaci, a lungotermine)</i>	$\varphi_m = 18^\circ - 20^\circ$	$\varphi_m = 21^\circ - 26^\circ$
<i>Coesione drenata media (tensioni efficaci, a lungo termine)</i>	$C = 0,05 - 0,1 \text{ kg/cm}^2$	$C = 0,2 - 0,5 \text{ kg/cm}^2$
<i>Coesione non drenata</i>	$C_u = 0,5 - 0,8 \text{ kg/cm}^2$	$C_u = 0,8 - 1,0 \text{ kg/cm}^2$
<i>Modulo di Poisson</i>	$\nu = 0,25$	$\nu = 0,35$

Risultati analisi pendio

Fs minimo individuato	13,50
Ascissa centro superficie	16,45 m
Ordinata centro superficie	910,54 m
Raggio superficie	13,7 m

Numero di superfici esaminate....(221)

N°	Xo	Yo	Ro	Fs
1	13,4	910,1	12,4	14,95
2	13,9	910,5	11,6	16,75
3	14,3	910,1	11,8	15,52
4	14,7	910,5	12,3	16,15
5	15,1	910,1	12,5	15,81
6	15,6	910,5	13,0	16,74
7	16,0	910,1	13,2	15,14
8	16,4	910,5	13,7	14,89
9	16,9	910,1	13,9	18,60
10	17,3	910,5	16,0	17,56
11	17,7	910,1	16,3	16,77
12	18,2	910,5	5,2	20,00
13	18,6	910,1	13,6	19,14
14	19,0	910,5	17,6	18,39
15	19,5	910,1	16,1	18,33
16	19,9	910,5	18,4	17,64
17	20,3	910,1	5,6	20,00
18	20,8	910,5	6,1	20,00
19	21,2	910,1	5,9	20,00
20	21,6	910,5	19,9	18,65
21	22,1	910,1	6,2	20,00
22	13,4	910,9	12,6	16,17
23	13,9	911,3	11,9	18,49
24	14,3	910,9	12,1	16,57
25	14,7	911,3	12,6	16,86
26	15,1	910,9	12,8	17,34
27	15,6	911,3	14,7	17,72
28	16,0	910,9	15,0	16,70
29	16,4	911,3	14,0	15,93
30	16,9	910,9	15,7	18,24
31	17,3	911,3	16,2	19,34
32	17,7	910,9	7,0	20,00
33	18,2	911,3	17,0	18,50
34	18,6	910,9	17,3	16,17
35	19,0	911,3	6,1	20,00
36	19,5	910,9	6,0	20,00
37	19,9	911,3	6,4	20,00
38	20,3	910,9	6,3	20,00
39	20,8	911,3	6,7	20,00
40	21,2	910,9	6,6	20,00
41	21,6	911,3	7,0	20,00
42	22,1	910,9	6,9	20,00
43	13,4	911,8	12,9	17,48
44	13,9	912,2	6,3	20,00
45	14,3	911,8	12,4	18,36

46	14,7	912,2	12,9	18,66
47	15,1	911,8	13,1	18,98
48	15,6	912,2	15,0	19,74
49	16,0	911,8	15,2	18,05
50	16,4	912,2	14,3	17,70
51	16,9	911,8	7,2	20,00
52	17,3	912,2	7,7	20,00
53	17,7	911,8	7,6	20,00
54	18,2	912,2	8,1	20,00
55	18,6	911,8	17,5	17,87
56	19,0	912,2	6,8	20,00
57	19,5	911,8	6,6	20,00
58	19,9	912,2	7,1	20,00
59	20,3	911,8	6,9	20,00
60	20,8	912,2	7,4	20,00
61	21,2	911,8	7,2	20,00
62	21,6	912,2	7,7	20,00
63	22,1	911,8	7,5	20,00
64	13,4	912,6	13,2	18,90
65	13,9	913,0	13,8	19,61
66	14,3	912,6	6,8	20,00
67	14,7	913,0	7,3	20,00
68	15,1	912,6	7,1	20,00
69	15,6	913,0	7,6	20,00
70	16,0	912,6	15,5	19,50
71	16,4	913,0	14,7	19,74
72	16,9	912,6	7,8	20,00
73	17,3	913,0	8,3	20,00
74	17,7	912,6	8,2	20,00
75	18,2	913,0	8,7	20,00
76	18,6	912,6	17,8	19,79
77	19,0	913,0	7,5	20,00
78	19,5	912,6	7,3	20,00
79	19,9	913,0	7,8	20,00
80	20,3	912,6	7,6	20,00
81	20,8	913,0	8,1	20,00
82	21,2	912,6	7,9	20,00
83	21,6	913,0	8,4	20,00
84	22,1	912,6	8,2	20,00
85	13,4	913,4	8,1	20,00
86	13,9	913,8	8,7	20,00
87	14,3	913,4	7,4	20,00
88	14,7	913,8	7,9	20,00
89	15,1	913,4	7,8	20,00
90	15,6	913,8	8,3	20,00
91	16,0	913,4	8,1	20,00
92	16,4	913,8	8,6	20,00
93	16,9	913,4	8,5	20,00
94	17,3	913,8	9,0	20,00
95	17,7	913,4	8,8	20,00
96	18,2	913,8	9,3	20,00
97	18,6	913,4	9,2	20,00
98	19,0	913,8	8,2	20,00
99	19,5	913,4	8,0	20,00
100	19,9	913,8	8,5	20,00
101	20,3	913,4	8,3	20,00
102	20,8	913,8	8,8	20,00

				Slope
103	21,2	913,4	8,6	20,00
104	21,6	913,8	9,1	20,00
105	22,1	913,4	8,9	20,00
106	13,4	914,2	8,8	20,00
107	13,9	914,6	9,3	20,00
108	14,3	914,2	9,2	20,00
109	14,7	914,6	8,6	20,00
110	15,1	914,2	8,4	20,00
111	15,6	914,6	8,9	20,00
112	16,0	914,2	8,8	20,00
113	16,4	914,6	9,3	20,00
114	16,9	914,2	9,1	20,00
115	17,3	914,6	9,6	20,00
116	17,7	914,2	9,5	20,00
117	18,2	914,6	10,0	20,00
118	18,6	914,2	9,8	20,00
119	19,0	914,6	10,3	20,00
120	19,5	914,2	8,7	20,00
121	19,9	914,6	9,2	20,00
122	20,3	914,2	9,0	20,00
123	20,8	914,6	9,5	20,00
124	21,2	914,2	9,3	20,00
125	21,6	914,6	9,8	20,00
126	22,1	914,2	9,6	20,00
127	13,4	915,0	9,4	20,00
128	13,9	915,4	9,9	20,00
129	14,3	915,0	9,8	20,00
130	14,7	915,4	10,3	20,00
131	15,1	915,0	9,1	20,00
132	15,6	915,4	9,6	20,00
133	16,0	915,0	9,4	20,00
134	16,4	915,4	9,9	20,00
135	16,9	915,0	9,8	20,00
136	17,3	915,4	10,3	20,00
137	17,7	915,0	10,1	20,00
138	18,2	915,4	10,6	20,00
139	18,6	915,0	10,5	20,00
140	19,0	915,4	11,0	20,00
141	19,5	915,0	9,4	20,00
142	19,9	915,4	9,9	20,00
143	20,3	915,0	9,7	20,00
144	20,8	915,4	10,2	20,00
145	21,2	915,0	10,0	20,00
146	21,6	915,4	10,4	20,00
147	22,1	915,0	10,2	20,00
148	13,4	915,8	10,0	20,00
149	13,9	916,2	10,6	20,00
150	14,3	915,8	10,4	20,00
151	14,7	916,2	11,0	20,00
152	15,1	915,8	10,8	20,00
153	15,6	916,2	10,3	20,00
154	16,0	915,8	10,1	20,00
155	16,4	916,2	10,6	20,00
156	16,9	915,8	10,4	20,00
157	17,3	916,2	10,9	20,00
158	17,7	915,8	10,8	20,00
159	18,2	916,2	11,3	20,00

160	18,6	915,8	11,1	20,00
161	19,0	916,2	11,6	20,00
162	19,5	915,8	11,5	20,00
163	19,9	916,2	12,0	20,00
164	20,3	915,8	10,4	20,00
165	20,8	916,2	10,9	20,00
166	21,2	915,8	10,7	20,00
167	21,6	916,2	11,1	20,00
168	22,1	915,8	10,9	20,00
169	13,4	916,6	10,7	20,00
170	13,9	917,0	11,2	20,00
171	14,3	916,6	11,1	20,00
172	14,7	917,0	11,6	20,00
173	15,1	916,6	11,5	20,00
174	15,6	917,0	12,0	20,00
175	16,0	916,6	10,8	20,00
176	16,4	917,0	11,3	20,00
177	16,9	916,6	11,1	20,00
178	17,3	917,0	11,6	20,00
179	17,7	916,6	11,4	20,00
180	18,2	917,0	12,0	20,00
181	18,6	916,6	11,8	20,00
182	19,0	917,0	12,3	20,00
183	19,5	916,6	12,1	20,00
184	19,9	917,0	12,6	20,00
185	20,3	916,6	11,1	20,00
186	20,8	917,0	11,6	20,00
187	21,2	916,6	11,4	20,00
188	21,6	917,0	11,9	20,00
189	22,1	916,6	11,6	20,00
190	13,4	917,4	11,4	20,00
191	13,9	917,9	11,9	20,00
192	14,3	917,4	11,7	20,00
193	14,7	917,9	12,3	20,00
194	15,1	917,4	12,1	20,00
195	15,6	917,9	12,7	20,00
196	16,0	917,4	11,5	20,00
197	16,4	917,9	12,0	20,00
198	16,9	917,4	11,8	20,00
199	17,3	917,9	12,3	20,00
200	17,7	917,4	12,1	20,00
201	18,2	917,9	12,6	20,00
202	18,6	917,4	12,5	20,00
203	19,0	917,9	13,0	20,00
204	19,5	917,4	12,8	20,00
205	19,9	917,9	13,3	20,00
206	20,3	917,4	13,1	20,00
207	20,8	917,9	12,3	20,00
208	21,2	917,4	12,1	20,00
209	21,6	917,9	12,6	20,00
210	22,1	917,4	12,3	20,00
211	13,4	918,3	12,1	20,00
212	14,3	918,3	12,4	20,00
213	15,1	918,3	12,8	20,00
214	16,0	918,3	13,2	20,00
215	16,9	918,3	12,5	20,00
216	17,7	918,3	12,8	20,00

217	18,6	918,3	13,1	20,00
218	19,5	918,3	13,5	20,00
219	20,3	918,3	13,8	20,00
220	21,2	918,3	12,8	20,00
221	22,1	918,3	13,1	20,00

VERIFICA DI STABILITA' PRE OPERAM – AEROGENERATORE WTG14

Analisi di stabilità dei pendii con: FELLENIUS (1936)

Calcolo eseguito secondo	NTC 2018
Numero di strati	3,0
Numero dei conci	10,0
Grado di sicurezza ritenuto accettabile	1,3
Coefficiente parziale resistenza	1,0
Parametri geotecnici da usare. Angolo di attrito:	Picco
Analisi	Condizione drenata
Superficie di forma circolare	

Maglia dei Centri

Ascissa vertice sinistro inferiore xi	28,65 m
Ordinata vertice sinistro inferiore yi	900,94 m
Ascissa vertice destro superiore xs	41,1 m
Ordinata vertice destro superiore ys	910,61 m
Passo di ricerca	10,0
Numero di celle lungo x	10,0
Numero di celle lungo y	10,0
Coefficiente azione sismica orizzontale	0,0881
Coefficiente azione sismica verticale	0,0441

Vertici profilo

Nr	X (m)	y (m)
1	0,0	895,25
2	5,0	894,68
3	10,0	894,16
4	15,0	893,67
5	20,0	893,19
6	25,0	892,82
7	30,0	892,43
8	35,0	892,02
9	40,0	891,81
10	45,0	891,52
11	50,0	889,1
12	55,0	888,81
13	60,0	888,75
14	65,0	888,69
15	70,0	888,53
16	75,0	888,92
17	80,0	887,8
18	82,0	887,58

Vertici strato1

N	X (m)	y (m)
1	0,0	893,45
2	2,72	893,94
3	6,01	893,63

4	10,44	893,12
5	14,04	893,12
6	17,84	892,81
7	22,06	892,09
8	25,46	891,99
9	31,53	891,37
10	38,32	890,86
11	43,26	890,34
12	46,66	889,72
13	49,64	887,87
14	56,23	887,25
15	59,94	887,67
16	64,98	887,77
17	71,05	887,77
18	74,65	887,67
19	78,97	886,64
20	82,0	886,64

Vertici strato2

N	X (m)	y (m)
1	0,0	882,52
2	7,24	882,52
3	12,39	881,49
4	15,58	881,18
5	20,62	880,98
6	29,37	881,18
7	34,52	881,18
8	38,22	881,59
9	46,25	881,7
10	53,14	882,62
11	60,45	882,21
12	66,11	881,39
13	73,01	879,54
14	77,64	879,33
15	82,0	879,68

Coefficienti parziali azioni

Sfavorevoli: Permanenti, variabili	1,0	1,0
Favorevoli: Permanenti, variabili	1,0	1,0

Coefficienti parziali per i parametri geotecnici del terreno

Tangente angolo di resistenza al taglio	1,25
Coesione efficace	1,25
Coesione non drenata	1,4
Riduzione parametri geotecnici terreno	No

Stratigrafia

Descrizione Litologica	Materiale di Alterazione Superficiale	Argilla grigia-azzurra con livelli di Marne e Calcareniti
Peso volume medio	$\gamma_m = 1,75 - 1,85 \text{ g/cm}^3$	$\gamma_m = 1,90 - 2,05 \text{ g/cm}^3$
<i>Angolo di resistenza al taglio medio (tensioni efficaci, a lungo termine)</i>	$\varphi_m = 18^\circ - 20^\circ$	$\varphi_m = 21^\circ - 26^\circ$
<i>Coesione drenata media (tensioni efficaci, a lungo termine)</i>	$C = 0,05 - 0,1 \text{ kg/cm}^2$	$C = 0,2 - 0,5 \text{ kg/cm}^2$
<i>Coesione non drenata</i>	$C_u = 0,5 - 0,8 \text{ kg/cm}^2$	$C_u = 0,8 - 1,0 \text{ kg/cm}^2$
<i>Modulo di Poisson</i>	$\nu = 0,25$	$\nu = 0,35$

Risultati analisi pendio

Fs minimo individuato	6,14
Ascissa centro superficie	37,99 m
Ordinata centro superficie	901,42 m
Raggio superficie	9,97 m

Numero di superfici esaminate....(221)

N°	Xo	Yo	Ro	Fs
1	28,7	900,9	18,8	13,79
2	29,3	901,4	19,3	15,04
3	29,9	900,9	18,9	14,97
4	30,5	901,4	19,4	15,04
5	31,1	900,9	16,8	15,45
6	31,8	901,4	17,4	15,62
7	32,4	900,9	16,9	15,00
8	33,0	901,4	17,4	15,65
9	33,6	900,9	15,0	15,07
10	34,3	901,4	15,5	15,05
11	34,9	900,9	15,1	15,70
12	35,5	901,4	13,6	15,19
13	36,1	900,9	9,2	8,06
14	36,7	901,4	9,8	6,96
15	37,4	900,9	9,4	6,30
16	38,0	901,4	10,0	6,14
17	38,6	900,9	9,6	6,23
18	39,2	901,4	10,2	6,52
19	39,9	900,9	9,8	6,80
20	40,5	901,4	10,3	7,13
21	41,1	900,9	10,0	7,44
22	28,7	901,9	19,7	16,04
23	29,3	902,4	20,3	16,19
24	29,9	901,9	19,8	15,83
25	30,5	902,4	20,4	16,49
26	31,1	901,9	17,8	15,64
27	31,8	902,4	16,2	15,17
28	32,4	901,9	17,9	15,96

				Slope
29	33,0	902,4	18,4	17,31
30	33,6	901,9	15,9	15,34
31	34,3	902,4	16,5	15,13
32	34,9	901,9	14,0	18,00
33	35,5	902,4	12,5	17,64
34	36,1	901,9	10,2	8,31
35	36,7	902,4	10,7	7,04
36	37,4	901,9	10,3	6,39
37	38,0	902,4	10,9	6,17
38	38,6	901,9	10,5	6,26
39	39,2	902,4	11,1	6,52
40	39,9	901,9	10,7	6,83
41	40,5	902,4	11,3	7,13
42	41,1	901,9	10,9	7,46
43	28,7	902,9	18,5	19,27
44	29,3	903,4	21,2	17,70
45	29,9	902,9	20,8	16,05
46	30,5	903,4	21,3	18,48
47	31,1	902,9	16,7	16,76
48	31,8	903,4	17,2	15,60
49	32,4	902,9	18,8	17,25
50	33,0	903,4	15,2	18,70
51	33,6	902,9	14,8	17,46
52	34,3	903,4	17,4	15,73
53	34,9	902,9	15,0	16,97
54	35,5	903,4	11,5	12,13
55	36,1	902,9	11,1	8,34
56	36,7	903,4	11,7	7,23
57	37,4	902,9	11,3	6,48
58	38,0	903,4	11,9	6,24
59	38,6	902,9	11,5	6,39
60	39,2	903,4	12,1	6,53
61	39,9	902,9	11,7	6,84
62	40,5	903,4	12,2	7,15
63	41,1	902,9	11,9	7,46
64	28,7	903,8	19,4	18,09
65	29,3	904,3	20,0	18,45
66	29,9	903,8	21,7	18,02
67	30,5	904,3	20,1	18,42
68	31,1	903,8	17,6	17,28
69	31,8	904,3	18,1	17,36
70	32,4	903,8	15,6	18,55
71	33,0	904,3	16,2	18,42
72	33,6	903,8	15,8	18,43
73	34,3	904,3	16,3	18,04
74	34,9	903,8	15,9	16,51
75	35,5	904,3	16,5	17,13
76	36,1	903,8	12,1	8,67
77	36,7	904,3	12,6	7,32
78	37,4	903,8	12,2	6,54
79	38,0	904,3	12,8	6,33
80	38,6	903,8	12,4	6,35
81	39,2	904,3	13,0	6,54
82	39,9	903,8	12,6	6,84
83	40,5	904,3	13,2	7,12
84	41,1	903,8	12,8	7,45
85	28,7	904,8	22,6	18,38

86	29,3	905,3	23,1	19,26
87	29,9	904,8	20,5	18,75
88	30,5	905,3	21,1	18,73
89	31,1	904,8	18,6	18,24
90	31,8	905,3	19,1	18,10
91	32,4	904,8	18,7	18,63
92	33,0	905,3	17,1	18,53
93	33,6	904,8	16,7	19,47
94	34,3	905,3	17,3	18,16
95	34,9	904,8	16,9	17,02
96	35,5	905,3	17,4	17,02
97	36,1	904,8	13,0	9,00
98	36,7	905,3	13,6	7,48
99	37,4	904,8	13,2	6,68
100	38,0	905,3	13,8	6,45
101	38,6	904,8	13,4	6,36
102	39,2	905,3	14,0	6,77
103	39,9	904,8	13,6	6,82
104	40,5	905,3	14,2	7,14
105	41,1	904,8	13,8	7,49
106	28,7	905,8	23,5	18,61
107	29,3	906,3	21,8	18,78
108	29,9	905,8	21,5	19,44
109	30,5	906,3	22,0	19,30
110	31,1	905,8	21,6	18,87
111	31,8	906,3	20,1	19,73
112	32,4	905,8	19,6	18,11
113	33,0	906,3	18,1	18,43
114	33,6	905,8	17,7	18,49
115	34,3	906,3	18,2	18,84
116	34,9	905,8	17,8	17,62
117	35,5	906,3	18,4	17,70
118	36,1	905,8	14,0	9,24
119	36,7	906,3	14,5	7,60
120	37,4	905,8	14,2	6,77
121	38,0	906,3	14,7	6,45
122	38,6	905,8	14,3	6,39
123	39,2	906,3	14,9	6,66
124	39,9	905,8	14,5	6,84
125	40,5	906,3	15,1	7,13
126	41,1	905,8	14,7	7,41
127	28,7	906,7	24,5	19,20
128	29,3	907,2	22,8	19,97
129	29,9	906,7	15,9	20,00
130	30,5	907,2	16,5	20,00
131	31,1	906,7	20,4	19,82
132	31,8	907,2	16,8	20,00
133	32,4	906,7	20,6	19,00
134	33,0	907,2	19,1	18,99
135	33,6	906,7	18,6	18,00
136	34,3	907,2	19,2	17,82
137	34,9	906,7	18,8	18,05
138	35,5	907,2	19,3	18,41
139	36,1	906,7	14,9	9,63
140	36,7	907,2	15,5	7,75
141	37,4	906,7	15,1	6,90
142	38,0	907,2	15,7	6,49

				Slope
143	38,6	906,7	15,3	6,41
144	39,2	907,2	15,9	6,65
145	39,9	906,7	15,5	6,79
146	40,5	907,2	16,1	7,10
147	41,1	906,7	15,7	7,36
148	28,7	907,7	16,4	20,00
149	29,3	908,2	17,1	20,00
150	29,9	907,7	16,8	20,00
151	30,5	908,2	17,4	20,00
152	31,1	907,7	17,1	20,00
153	31,8	908,2	17,7	20,00
154	32,4	907,7	17,4	20,00
155	33,0	908,2	17,9	20,00
156	33,6	907,7	19,6	18,67
157	34,3	908,2	20,2	17,92
158	34,9	907,7	19,7	19,13
159	35,5	908,2	20,3	19,40
160	36,1	907,7	15,9	9,90
161	36,7	908,2	16,4	7,88
162	37,4	907,7	16,1	6,99
163	38,0	908,2	16,6	6,55
164	38,6	907,7	16,2	6,48
165	39,2	908,2	16,8	6,61
166	39,9	907,7	16,4	6,81
167	40,5	908,2	17,0	7,09
168	41,1	907,7	16,6	7,33
169	28,7	908,7	17,3	20,00
170	29,3	909,2	18,0	20,00
171	29,9	908,7	17,7	20,00
172	30,5	909,2	18,3	20,00
173	31,1	908,7	18,0	20,00
174	31,8	909,2	18,6	20,00
175	32,4	908,7	18,3	20,00
176	33,0	909,2	18,9	20,00
177	33,6	908,7	20,6	18,93
178	34,3	909,2	21,1	18,11
179	34,9	908,7	20,7	18,14
180	35,5	909,2	19,2	20,00
181	36,1	908,7	16,8	10,18
182	36,7	909,2	17,4	8,05
183	37,4	908,7	17,0	7,05
184	38,0	909,2	17,6	6,59
185	38,6	908,7	17,2	6,52
186	39,2	909,2	17,8	6,62
187	39,9	908,7	17,4	6,99
188	40,5	909,2	18,0	7,08
189	41,1	908,7	17,6	7,35
190	28,7	909,6	18,3	20,00
191	29,3	910,1	18,9	20,00
192	29,9	909,6	18,6	20,00
193	30,5	910,1	19,2	20,00
194	31,1	909,6	18,9	20,00
195	31,8	910,1	19,5	20,00
196	32,4	909,6	19,2	20,00
197	33,0	910,1	19,8	20,00
198	33,6	909,6	19,4	20,00
199	34,3	910,1	22,1	18,95

200	34,9	909,6	21,7	18,29
201	35,5	910,1	20,2	20,00
202	36,1	909,6	17,8	10,46
203	36,7	910,1	18,3	8,20
204	37,4	909,6	18,0	7,09
205	38,0	910,1	18,5	6,65
206	38,6	909,6	18,1	6,56
207	39,2	910,1	18,7	6,65
208	39,9	909,6	18,3	6,93
209	40,5	910,1	18,9	7,05
210	41,1	909,6	18,5	7,33
211	28,7	910,6	19,0	20,00
212	29,9	910,6	19,5	20,00
213	31,1	910,6	19,8	20,00
214	32,4	910,6	22,3	19,37
215	33,6	910,6	20,4	20,00
216	34,9	910,6	22,6	18,62
217	36,1	910,6	18,7	11,05
218	37,4	910,6	18,9	7,20
219	38,6	910,6	19,1	6,62
220	39,9	910,6	19,3	6,89
221	41,1	910,6	19,5	7,31

VERIFICA DI STABILITA' POST OPERAM – AEROGENERATORE WTG14

Analisi di stabilità dei pendii con: FELLENIUS (1936)

Calcolo eseguito secondo	NTC 2018
Numero di strati	3,0
Numero dei conci	10,0
Grado di sicurezza ritenuto accettabile	1,3
Coefficiente parziale resistenza	1,0
Parametri geotecnicci da usare. Angolo di attrito:	Picco
Analisi	Condizione drenata
Superficie di forma circolare	

Maglia dei Centri

Ascissa vertice sinistro inferiore xi	28,44 m
Ordinata vertice sinistro inferiore yi	905,47 m
Ascissa vertice destro superiore xs	40,9 m
Ordinata vertice destro superiore ys	915,14 m
Passo di ricerca	10,0
Numero di celle lungo x	10,0
Numero di celle lungo y	10,0
Coefficiente azione sismica orizzontale	0,0881
Coefficiente azione sismica verticale	0,0441

Vertici profilo

Nr	X (m)	y (m)
1	0,0	895,25
2	5,0	894,68
3	10,0	894,16
4	15,0	893,67
5	20,0	893,19
6	25,0	892,82
7	30,0	892,43
8	35,0	892,02
9	40,0	891,81
10	45,0	891,52
11	50,0	889,1
12	55,0	888,81
13	60,0	888,75
14	65,0	888,69
15	70,0	888,53
16	75,0	888,92
17	80,0	887,8
18	82,0	887,58

Vertici strato1

N	X (m)	y (m)
1	0,0	893,45
2	2,72	893,94
3	6,01	893,63
4	10,44	893,12

5	14,04	893,12
6	17,84	892,81
7	22,06	892,09
8	25,46	891,99
9	31,53	891,37
10	38,32	890,86
11	43,26	890,34
12	46,66	889,72
13	49,64	887,87
14	56,23	887,25
15	59,94	887,67
16	64,98	887,77
17	71,05	887,77
18	74,65	887,67
19	78,97	886,64
20	82,0	886,64

Vertici strato2

N	X (m)	y (m)
1	0,0	882,52
2	7,24	882,52
3	12,39	881,49
4	15,58	881,18
5	20,62	880,98
6	29,37	881,18
7	34,52	881,18
8	38,22	881,59
9	46,25	881,7
10	53,14	882,62
11	60,45	882,21
12	66,11	881,39
13	73,01	879,54
14	77,64	879,33
15	82,0	879,68

Coefficienti parziali azioni

Sfavorevoli: Permanenti, variabili	1,0	1,0
Favorevoli: Permanent, variabili	1,0	1,0

Coefficienti parziali per i parametri geotecnici del terreno

Tangente angolo di resistenza al taglio	1,25
Coesione efficace	1,25
Coesione non drenata	1,4
Riduzione parametri geotecnici terreno	No

Stratigrafia

Descrizione Litologica	Materiale di Alterazione	Argilla grigia-azzurra con livelli di Marne e Calcareniti
	Superficiale	
<i>Peso volume medio</i>	$\gamma_m = 1,75 - 1,85 \text{ g/cm}^3$	$\gamma_m = 1,90 - 2,05 \text{ g/cm}^3$
<i>Angolo di resistenza al taglio medio (tensioni efficaci, a lungo termine)</i>	$\varphi_m = 18^\circ - 20^\circ$	$\varphi_m = 21^\circ - 26^\circ$
<i>Coesione drenata media (tensioni efficaci, a lungo termine)</i>	$C = 0,05 - 0,1 \text{ kg/cm}^2$	$C = 0,2 - 0,5 \text{ kg/cm}^2$
<i>Coesione non drenata</i>	$C_u = 0,5 - 0,8 \text{ kg/cm}^2$	$C_u = 0,8 - 1,0 \text{ kg/cm}^2$
<i>Modulo di Poisson</i>	$v = 0.25$	$v = 0.35$

Risultati analisi pendio

Fs minimo individuato	6,14
Ascissa centro superficie	37,99 m
Ordinata centro superficie	901,42 m
Raggio superficie	9,97 m

Numero di superfici esaminate....(221)

N°	Xo	Yo	Ro	Fs
1	28,7	900,9	18,8	13,79
2	29,3	901,4	19,3	15,04
3	29,9	900,9	18,9	14,97
4	30,5	901,4	19,4	15,04
5	31,1	900,9	16,8	15,45
6	31,8	901,4	17,4	15,62
7	32,4	900,9	16,9	15,00
8	33,0	901,4	17,4	15,65
9	33,6	900,9	15,0	15,07
10	34,3	901,4	15,5	15,05
11	34,9	900,9	15,1	15,70
12	35,5	901,4	13,6	15,19
13	36,1	900,9	9,2	8,06
14	36,7	901,4	9,8	6,96
15	37,4	900,9	9,4	6,30
16	38,0	901,4	10,0	6,14
17	38,6	900,9	9,6	6,23
18	39,2	901,4	10,2	6,52
19	39,9	900,9	9,8	6,80
20	40,5	901,4	10,3	7,13
21	41,1	900,9	10,0	7,44
22	28,7	901,9	19,7	16,04
23	29,3	902,4	20,3	16,19
24	29,9	901,9	19,8	15,83
25	30,5	902,4	20,4	16,49
26	31,1	901,9	17,8	15,64
27	31,8	902,4	16,2	15,17
28	32,4	901,9	17,9	15,96
29	33,0	902,4	18,4	17,31

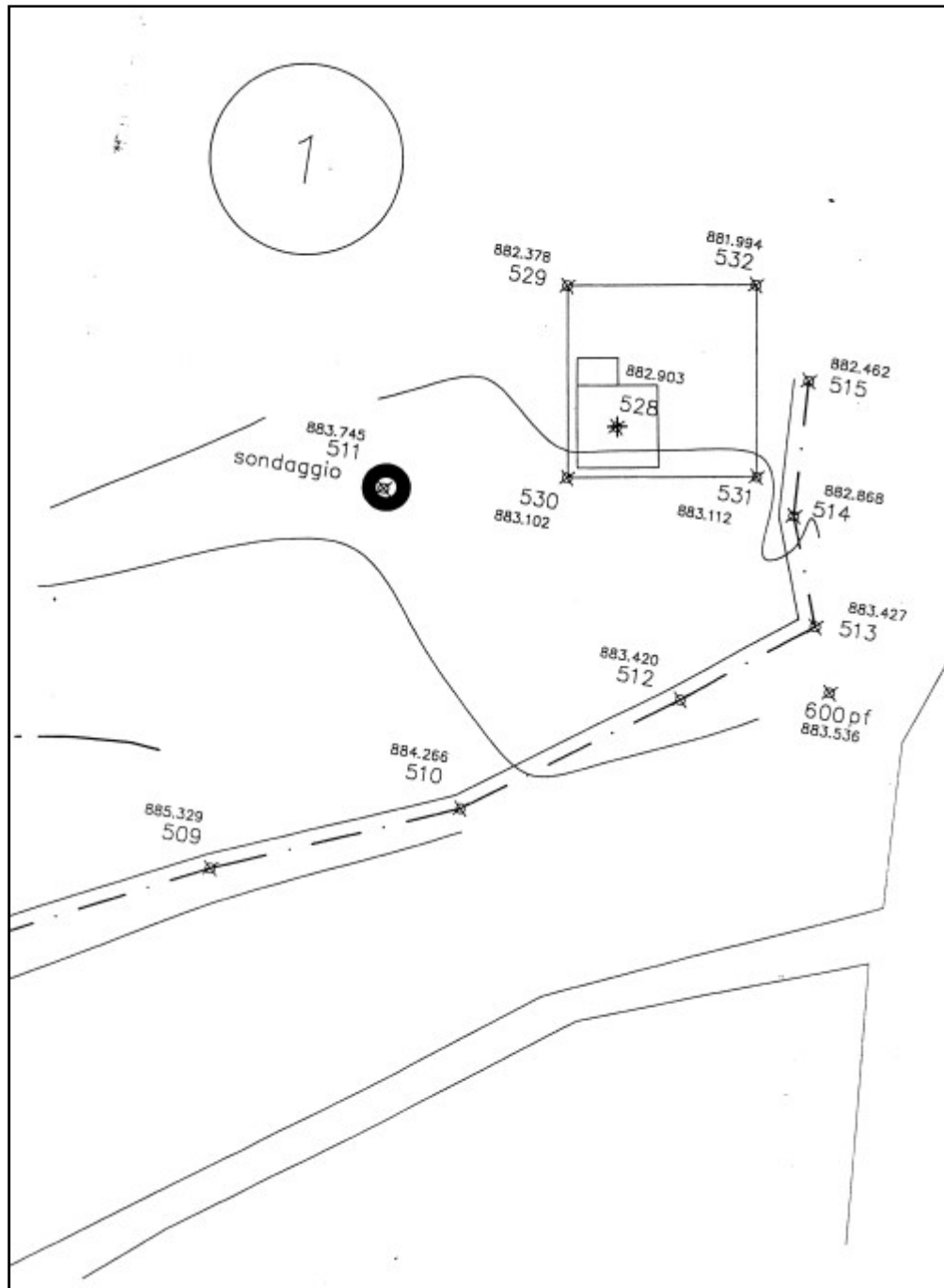
30	33,6	901,9	15,9	15,34
31	34,3	902,4	16,5	15,13
32	34,9	901,9	14,0	18,00
33	35,5	902,4	12,5	17,64
34	36,1	901,9	10,2	8,31
35	36,7	902,4	10,7	7,04
36	37,4	901,9	10,3	6,39
37	38,0	902,4	10,9	6,17
38	38,6	901,9	10,5	6,26
39	39,2	902,4	11,1	6,52
40	39,9	901,9	10,7	6,83
41	40,5	902,4	11,3	7,13
42	41,1	901,9	10,9	7,46
43	28,7	902,9	18,5	19,27
44	29,3	903,4	21,2	17,70
45	29,9	902,9	20,8	16,05
46	30,5	903,4	21,3	18,48
47	31,1	902,9	16,7	16,76
48	31,8	903,4	17,2	15,60
49	32,4	902,9	18,8	17,25
50	33,0	903,4	15,2	18,70
51	33,6	902,9	14,8	17,46
52	34,3	903,4	17,4	15,73
53	34,9	902,9	15,0	16,97
54	35,5	903,4	11,5	12,13
55	36,1	902,9	11,1	8,34
56	36,7	903,4	11,7	7,23
57	37,4	902,9	11,3	6,48
58	38,0	903,4	11,9	6,24
59	38,6	902,9	11,5	6,39
60	39,2	903,4	12,1	6,53
61	39,9	902,9	11,7	6,84
62	40,5	903,4	12,2	7,15
63	41,1	902,9	11,9	7,46
64	28,7	903,8	19,4	18,09
65	29,3	904,3	20,0	18,45
66	29,9	903,8	21,7	18,02
67	30,5	904,3	20,1	18,42
68	31,1	903,8	17,6	17,28
69	31,8	904,3	18,1	17,36
70	32,4	903,8	15,6	18,55
71	33,0	904,3	16,2	18,42
72	33,6	903,8	15,8	18,43
73	34,3	904,3	16,3	18,04
74	34,9	903,8	15,9	16,51
75	35,5	904,3	16,5	17,13
76	36,1	903,8	12,1	8,67
77	36,7	904,3	12,6	7,32
78	37,4	903,8	12,2	6,54
79	38,0	904,3	12,8	6,33
80	38,6	903,8	12,4	6,35
81	39,2	904,3	13,0	6,54
82	39,9	903,8	12,6	6,84
83	40,5	904,3	13,2	7,12
84	41,1	903,8	12,8	7,45
85	28,7	904,8	22,6	18,38
86	29,3	905,3	23,1	19,26

87	29,9	904,8	20,5	18,75
88	30,5	905,3	21,1	18,73
89	31,1	904,8	18,6	18,24
90	31,8	905,3	19,1	18,10
91	32,4	904,8	18,7	18,63
92	33,0	905,3	17,1	18,53
93	33,6	904,8	16,7	19,47
94	34,3	905,3	17,3	18,16
95	34,9	904,8	16,9	17,02
96	35,5	905,3	17,4	17,02
97	36,1	904,8	13,0	9,00
98	36,7	905,3	13,6	7,48
99	37,4	904,8	13,2	6,68
100	38,0	905,3	13,8	6,45
101	38,6	904,8	13,4	6,36
102	39,2	905,3	14,0	6,77
103	39,9	904,8	13,6	6,82
104	40,5	905,3	14,2	7,14
105	41,1	904,8	13,8	7,49
106	28,7	905,8	23,5	18,61
107	29,3	906,3	21,8	18,78
108	29,9	905,8	21,5	19,44
109	30,5	906,3	22,0	19,30
110	31,1	905,8	21,6	18,87
111	31,8	906,3	20,1	19,73
112	32,4	905,8	19,6	18,11
113	33,0	906,3	18,1	18,43
114	33,6	905,8	17,7	18,49
115	34,3	906,3	18,2	18,84
116	34,9	905,8	17,8	17,62
117	35,5	906,3	18,4	17,70
118	36,1	905,8	14,0	9,24
119	36,7	906,3	14,5	7,60
120	37,4	905,8	14,2	6,77
121	38,0	906,3	14,7	6,45
122	38,6	905,8	14,3	6,39
123	39,2	906,3	14,9	6,66
124	39,9	905,8	14,5	6,84
125	40,5	906,3	15,1	7,13
126	41,1	905,8	14,7	7,41
127	28,7	906,7	24,5	19,20
128	29,3	907,2	22,8	19,97
129	29,9	906,7	15,9	20,00
130	30,5	907,2	16,5	20,00
131	31,1	906,7	20,4	19,82
132	31,8	907,2	16,8	20,00
133	32,4	906,7	20,6	19,00
134	33,0	907,2	19,1	18,99
135	33,6	906,7	18,6	18,00
136	34,3	907,2	19,2	17,82
137	34,9	906,7	18,8	18,05
138	35,5	907,2	19,3	18,41
139	36,1	906,7	14,9	9,63
140	36,7	907,2	15,5	7,75
141	37,4	906,7	15,1	6,90
142	38,0	907,2	15,7	6,49
143	38,6	906,7	15,3	6,41

				Slope
144	39,2	907,2	15,9	6,65
145	39,9	906,7	15,5	6,79
146	40,5	907,2	16,1	7,10
147	41,1	906,7	15,7	7,36
148	28,7	907,7	16,4	20,00
149	29,3	908,2	17,1	20,00
150	29,9	907,7	16,8	20,00
151	30,5	908,2	17,4	20,00
152	31,1	907,7	17,1	20,00
153	31,8	908,2	17,7	20,00
154	32,4	907,7	17,4	20,00
155	33,0	908,2	17,9	20,00
156	33,6	907,7	19,6	18,67
157	34,3	908,2	20,2	17,92
158	34,9	907,7	19,7	19,13
159	35,5	908,2	20,3	19,40
160	36,1	907,7	15,9	9,90
161	36,7	908,2	16,4	7,88
162	37,4	907,7	16,1	6,99
163	38,0	908,2	16,6	6,55
164	38,6	907,7	16,2	6,48
165	39,2	908,2	16,8	6,61
166	39,9	907,7	16,4	6,81
167	40,5	908,2	17,0	7,09
168	41,1	907,7	16,6	7,33
169	28,7	908,7	17,3	20,00
170	29,3	909,2	18,0	20,00
171	29,9	908,7	17,7	20,00
172	30,5	909,2	18,3	20,00
173	31,1	908,7	18,0	20,00
174	31,8	909,2	18,6	20,00
175	32,4	908,7	18,3	20,00
176	33,0	909,2	18,9	20,00
177	33,6	908,7	20,6	18,93
178	34,3	909,2	21,1	18,11
179	34,9	908,7	20,7	18,14
180	35,5	909,2	19,2	20,00
181	36,1	908,7	16,8	10,18
182	36,7	909,2	17,4	8,05
183	37,4	908,7	17,0	7,05
184	38,0	909,2	17,6	6,59
185	38,6	908,7	17,2	6,52
186	39,2	909,2	17,8	6,62
187	39,9	908,7	17,4	6,99
188	40,5	909,2	18,0	7,08
189	41,1	908,7	17,6	7,35
190	28,7	909,6	18,3	20,00
191	29,3	910,1	18,9	20,00
192	29,9	909,6	18,6	20,00
193	30,5	910,1	19,2	20,00
194	31,1	909,6	18,9	20,00
195	31,8	910,1	19,5	20,00
196	32,4	909,6	19,2	20,00
197	33,0	910,1	19,8	20,00
198	33,6	909,6	19,4	20,00
199	34,3	910,1	22,1	18,95
200	34,9	909,6	21,7	18,29

201	35,5	910,1	20,2	20,00
202	36,1	909,6	17,8	10,46
203	36,7	910,1	18,3	8,20
204	37,4	909,6	18,0	7,09
205	38,0	910,1	18,5	6,65
206	38,6	909,6	18,1	6,56
207	39,2	910,1	18,7	6,65
208	39,9	909,6	18,3	6,93
209	40,5	910,1	18,9	7,05
210	41,1	909,6	18,5	7,33
211	28,7	910,6	19,0	20,00
212	29,9	910,6	19,5	20,00
213	31,1	910,6	19,8	20,00
214	32,4	910,6	22,3	19,37
215	33,6	910,6	20,4	20,00
216	34,9	910,6	22,6	18,62
217	36,1	910,6	18,7	11,05
218	37,4	910,6	18,9	7,20
219	38,6	910,6	19,1	6,62
220	39,9	910,6	19,3	6,89
221	41,1	910,6	19,5	7,31

APPENDICE 2
INDAGINI PREGRESSE



Dott. A. Giordano - Dott. M. Di Carlo EDISON S.p.A.
 Via Maselli
 ACCADIA (FG)
 0881/981349

Località: FAETO (FG) - Cantiere: CENTRALE EOLICA San Vito-Ciuccia

SCALA 1:50

Data 06/09/2000

Sondaggio n.

E1

Affacciatura e metode di perforazione:

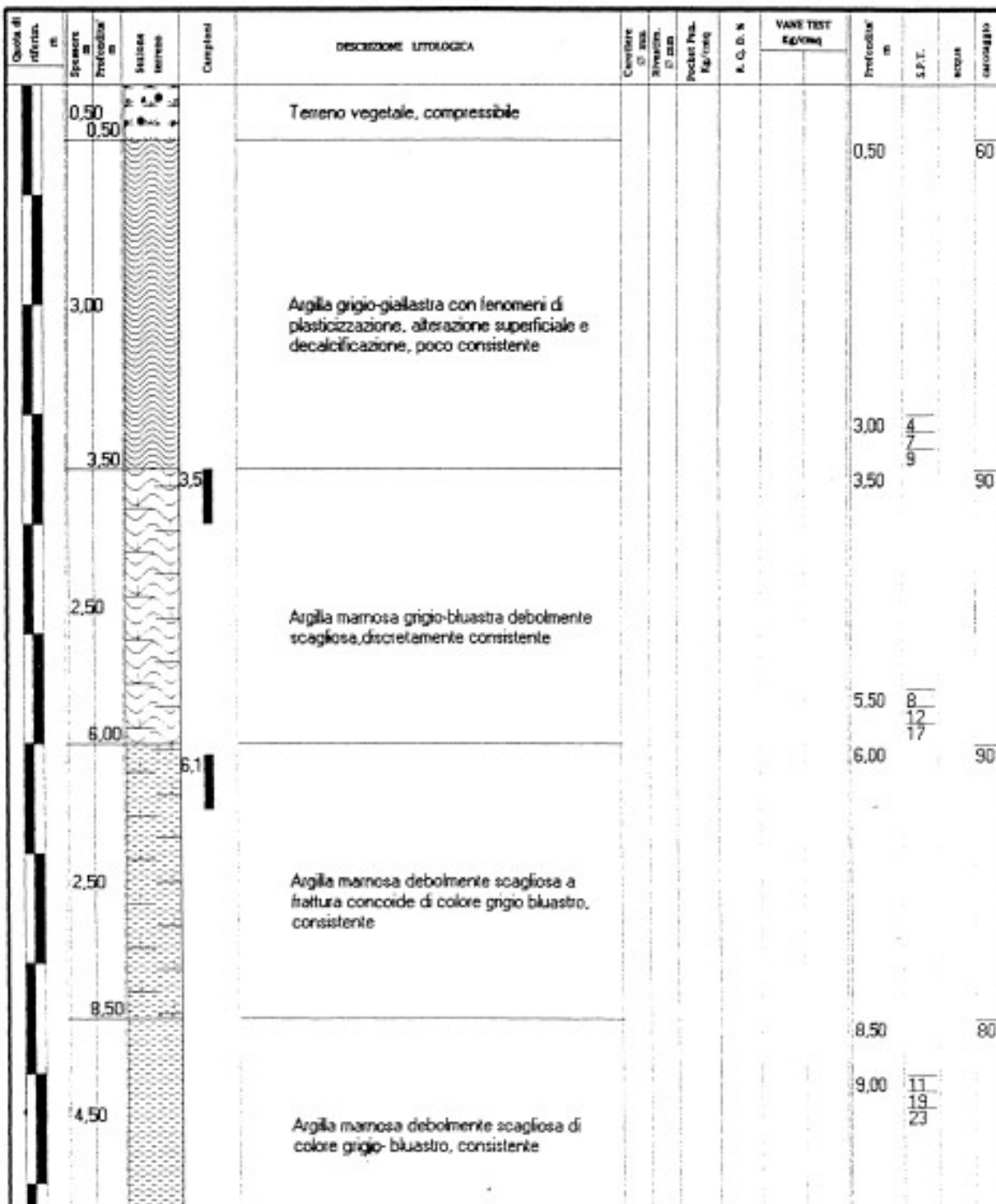
- Campione rimosseggiato
- Campione S.P.T.
- Campione da Vane Test

SONDA C.M.V. K 900

- Campione a perforazione
- Campione ind. a pressione
- Campione ind. rotativa

- LEFRANC
- Prova di permeabilità
- LUSON

UVELLI ACCORDI					
PROPOGGIATA	SECCA	MATTIMO			
Altezza m	Ferro	Data	m	Data	m



Dott.La. Giordano - Dott. M. Di Carlo EDISON S.p.A.
Via Maserelli
ACCADIA (FG)
0881/981349

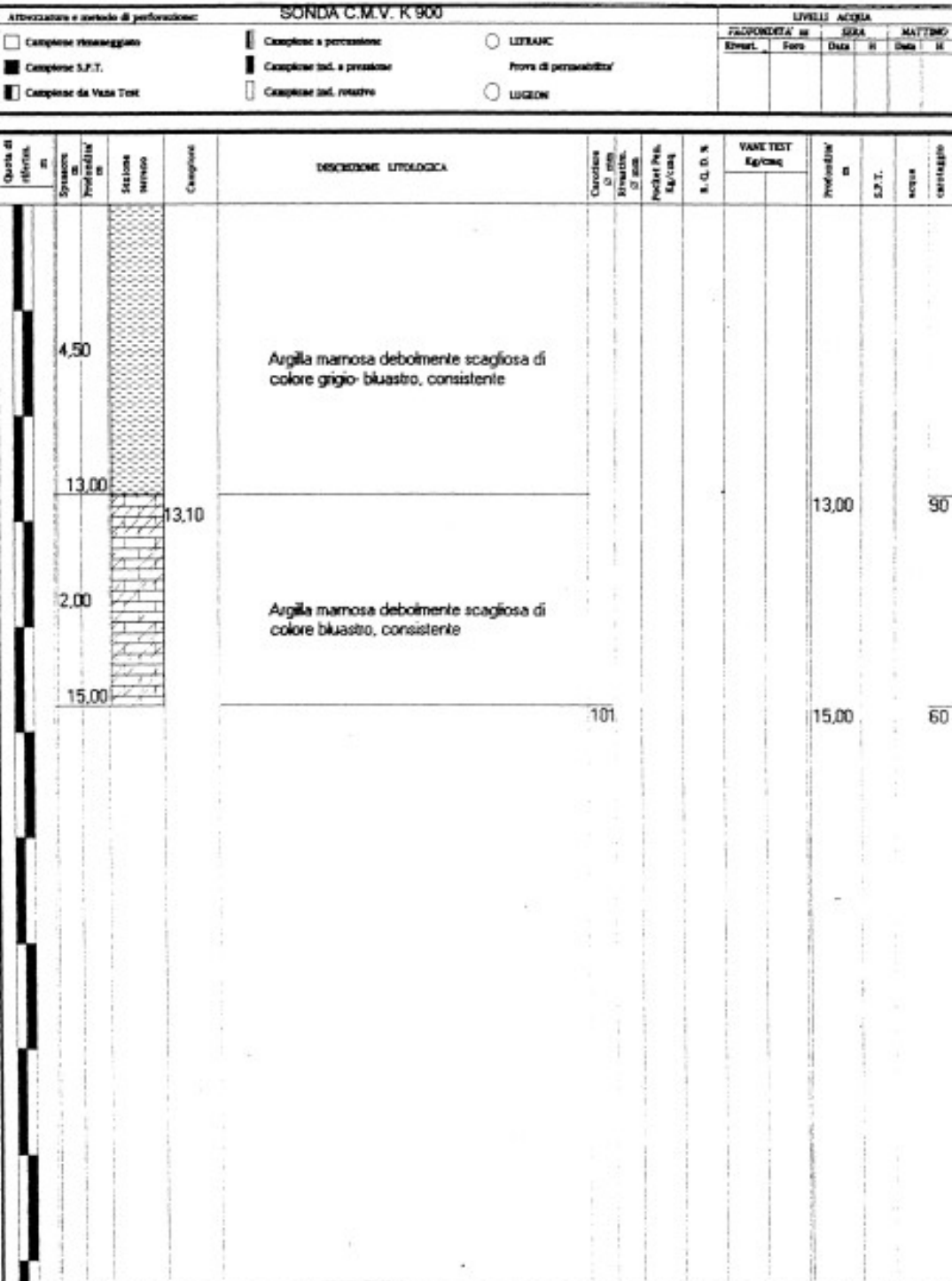
Località: FAETO (FG) - Cantiere: CENTRALE EOLICA San Vito-Ciuccia

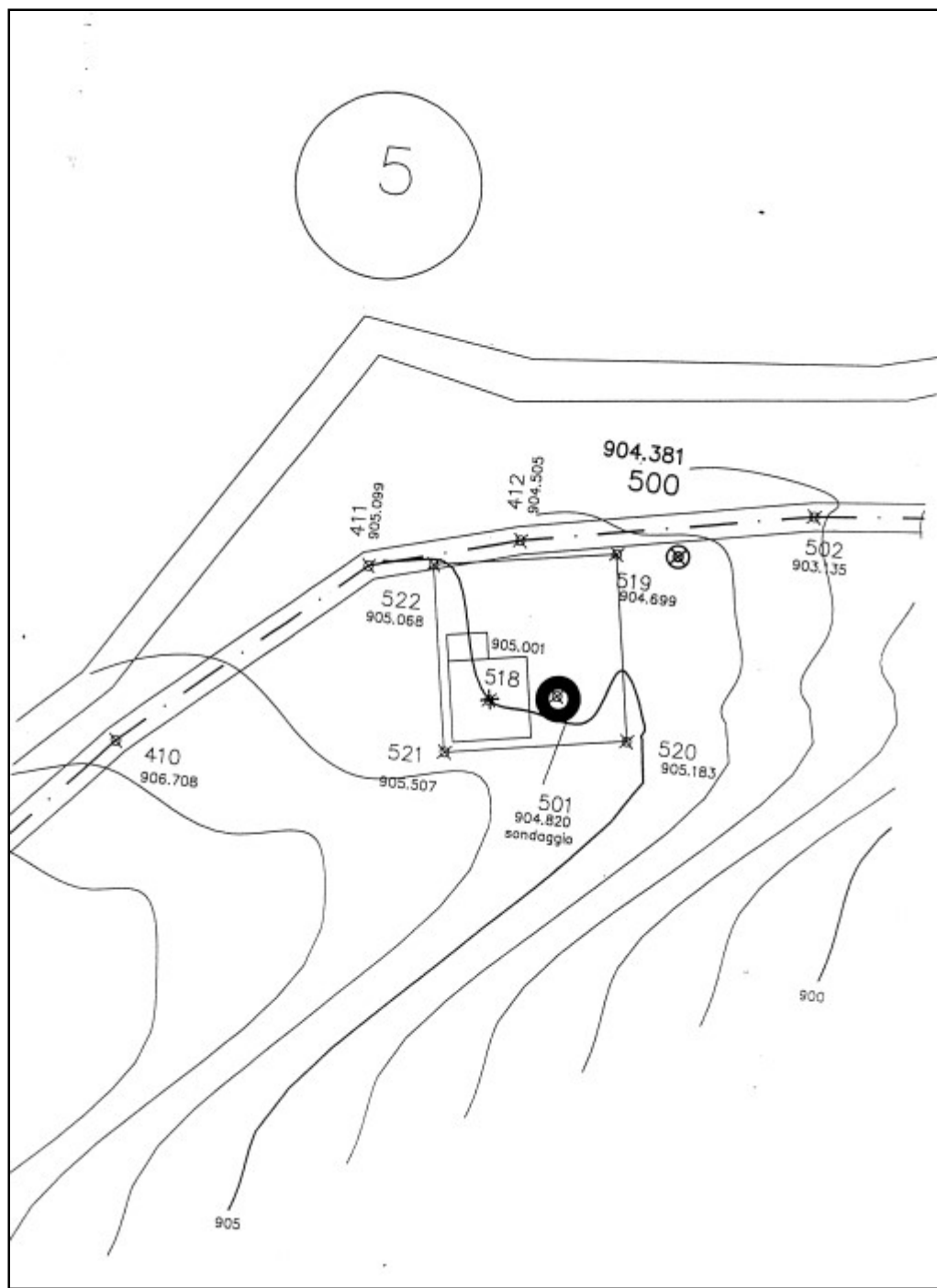
Scala: 1:50

Data: 06/09/2000

Sondaggio n.

E1





Dott. A. Giordano - Dott. M. Di Carlo EDISON S.p.A.
 Via Maselli
 ACCADIA (FG)
 0881/981349

Località: FAETO (FG) - Cantiere: CENTRALE EOLICA San Vito-Ciuccia

Scala: 1:50

Data: 06-07-09/2000

Sondaggio n.

E5

Attrezzature e metodo di perforazione:

SONDA C.M.V. K 900

- Compresa Hesemann
- Compresa S.P.T.
- Compresa da Vane Test

Compresa a perforazione

Compresa test. a perforazione

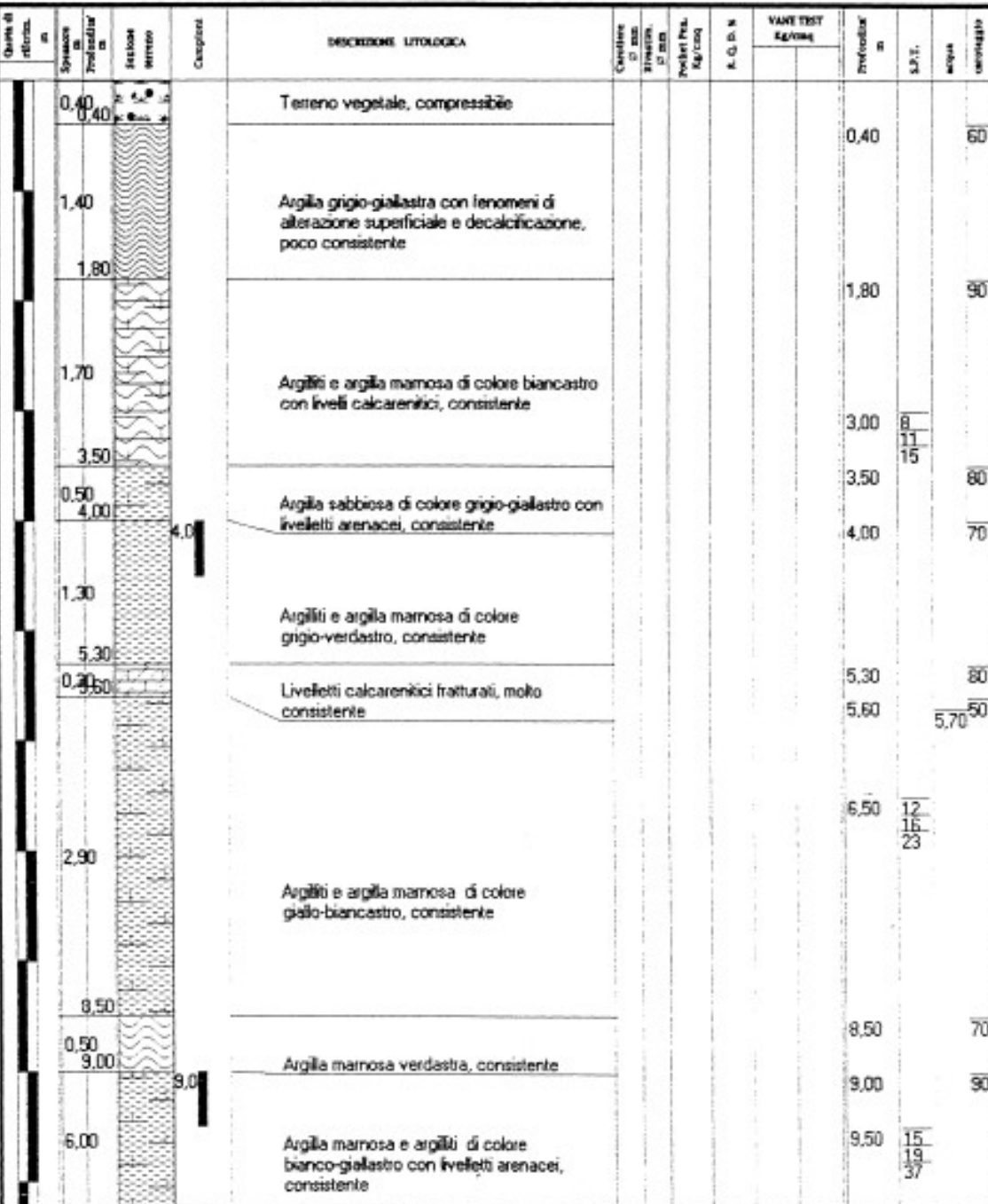
Compresa dell. rotativa

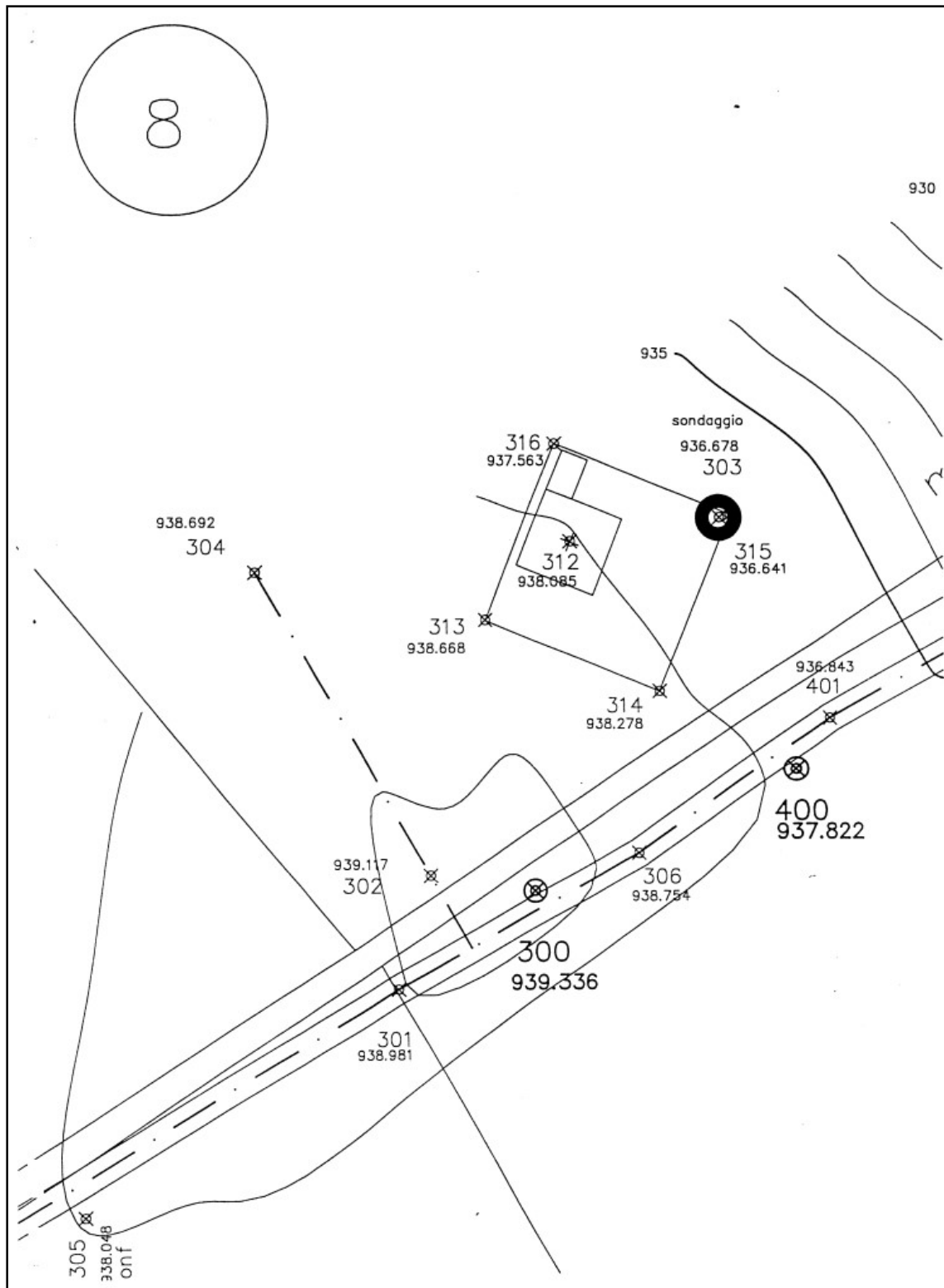
UFFICIALE

Non di perforazione

LUGARE

LEVELLI ACQUEA		
PROFONDITÀ m	SERA	MATTINO
Allest. + Fondo	Data H	Data H





Dott.A. Giordano - Dott. M. Di Carlo EDISON S.p.A.

Bettina Giordan
Via Maselli
ACCADIA (FG)
0881/981349

Località: FAETO (FG) - Cantiere: CENTRALE EOLICA San Vito-Ciuccia

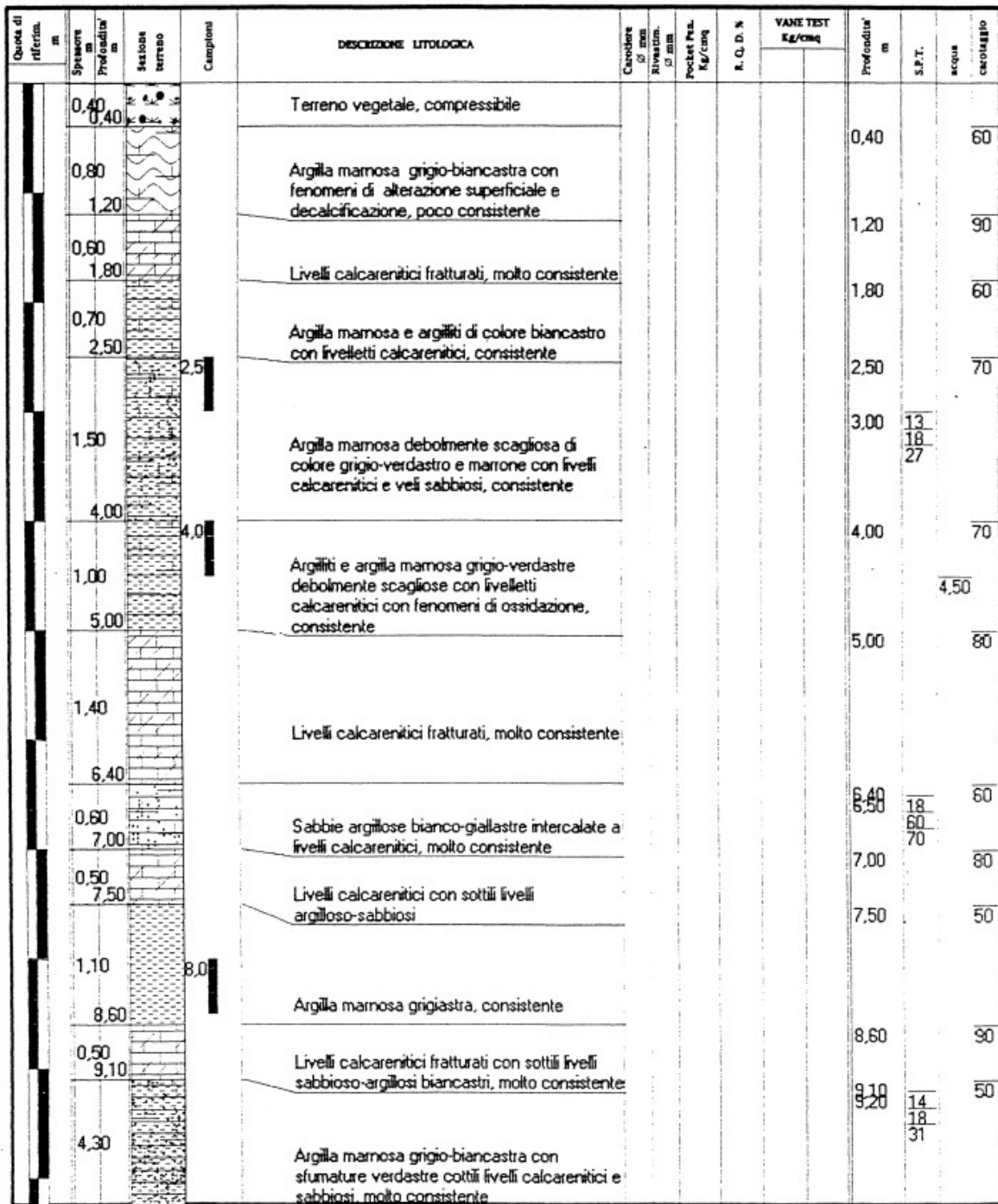
SCALA

07/09/2000

Standard 8

E8

Attrezzature e metodo di perforazione:	SONDA C.M.V. K 900	LIVELLI ACQUA				
		PROFONDITA' m		SERA	MATTINO	
		Rivest.	Foro	Data	H	Data
<input type="checkbox"/> Campione rimeseggiato	<input checked="" type="checkbox"/> Campione a percussione	<input type="radio"/>	LEFRANC			
<input checked="" type="checkbox"/> Campione S.P.T.	<input checked="" type="checkbox"/> Campione ind. a pressione		Prova di permeabilità'			
<input type="checkbox"/> Campione da Vane Test	<input checked="" type="checkbox"/> Campione ind. rotativo	<input type="radio"/>	LUGONI			



Dott.A. Giordano - Dott. M. Di Carlo EDISON S.p.A.
Via Maselli
ACCADIA (FG)
0881/981349

Località: FAETO (FG) - Cantiere: CENTRALE EOLICA San Vito-Ciuccia

SCALA 1:50

Date: 07/09/2000

Sondaggio n.

E8

Attrezzatura e metodo di performance-

- Campione riconsegnato
- Campione S.P.T.
- Campione da Vana Test

SONDA GM V K900

LEADER

Lesson

■ Compose a persuasive

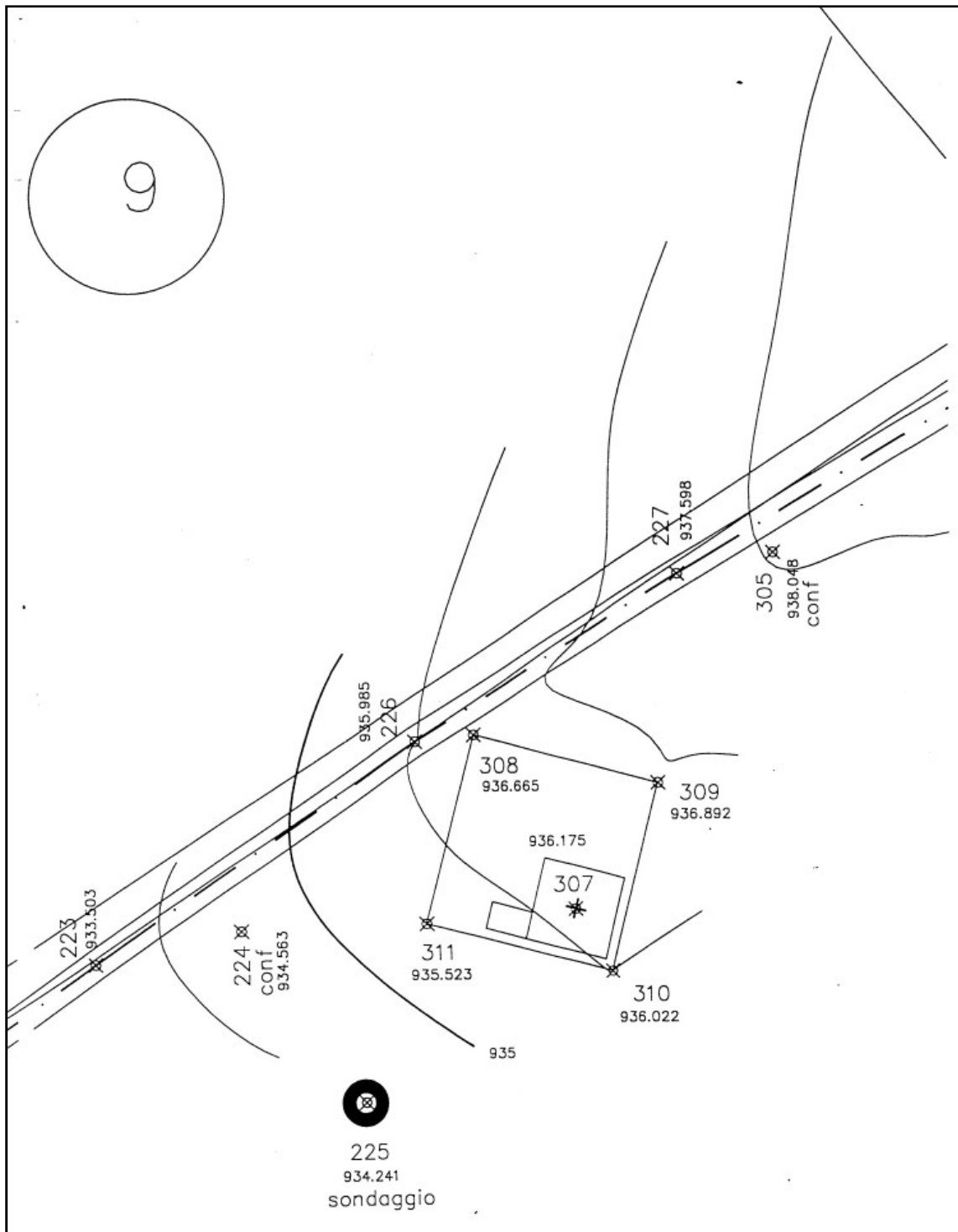
■ Composante Ind. a pression

Campione ind. rottamatore

LUIGEON

100

LIVELLI ACCIAI		MATTINO	
m	SEGA	ore	Data
	H		H



Dott.A. Giordano - Dott. M. Di Carlo EDISON S.p.A.
 Via Maselli
 ACCADIA (FG)
 0881/981349

Località: FAETO (FG) - Cantiere: CENTRALE EOLICA San Vito-Ciuccia

SCALA 1:50

Data 07-11-09/2000

Sondaggio n.

E9

Attoveratura e metodo di perforazione:

Campione rimosso
 Campione S.P.T.
 Campione da Vane Test

Campione a percussione
 Campione ind. a pressione
 Campione ind. rotativa

LEFRANC
 Prova di permeabilità
 LUGONI

SONDA C M V K 900

LIVELLI ACQUA

PROFOUNDITA' m

sera

notte

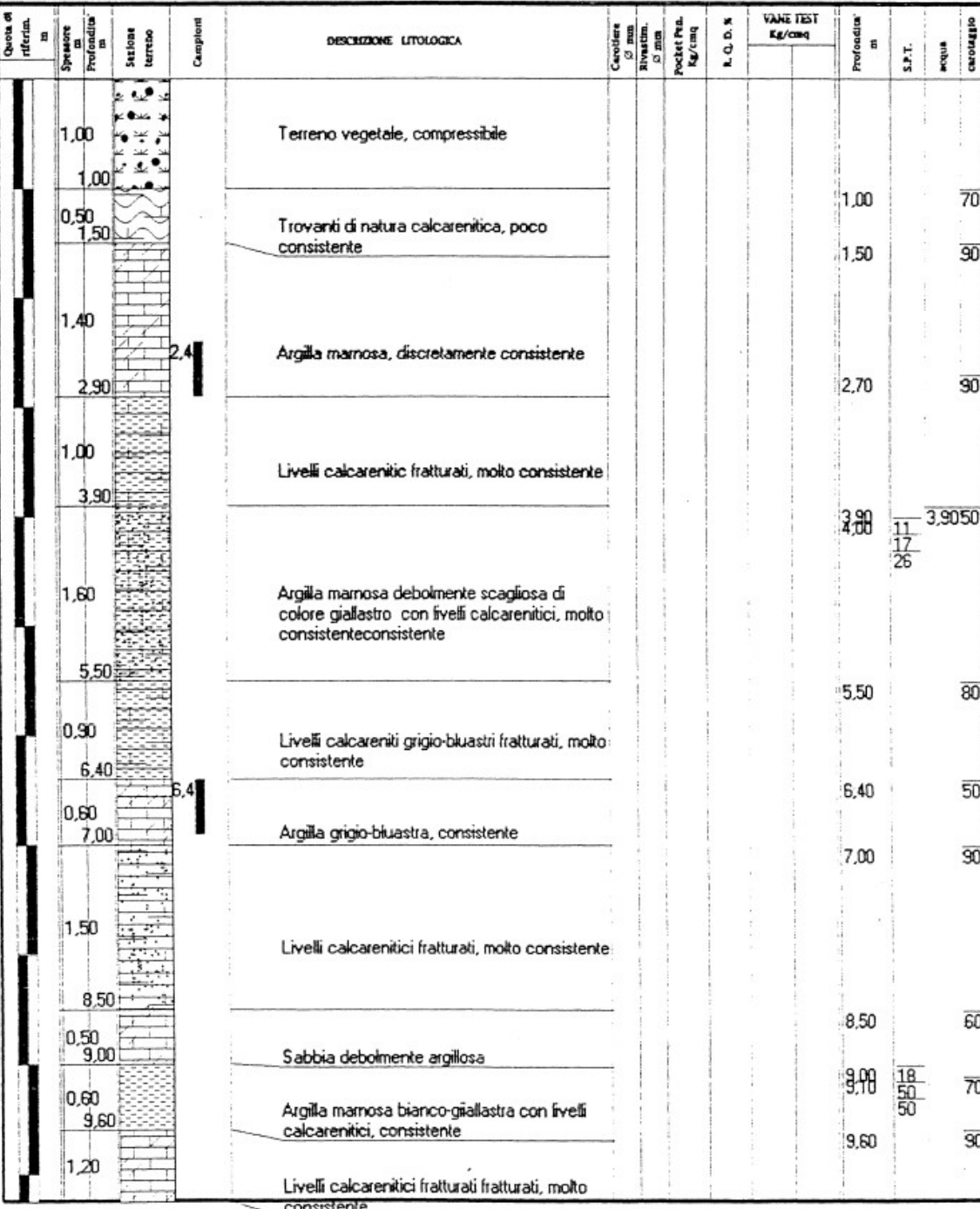
mattino

lunedì

venerdì

sabato

domenica



Dott.A. Giordano - Dott. M. Di Carlo EDISON S.p.A.
 Via Maselli
 ACCADIA (FG)
 0881/981349

Località: FAETO (FG) - Cantiere: CENTRALE EOLICA San Vito-Ciuccia

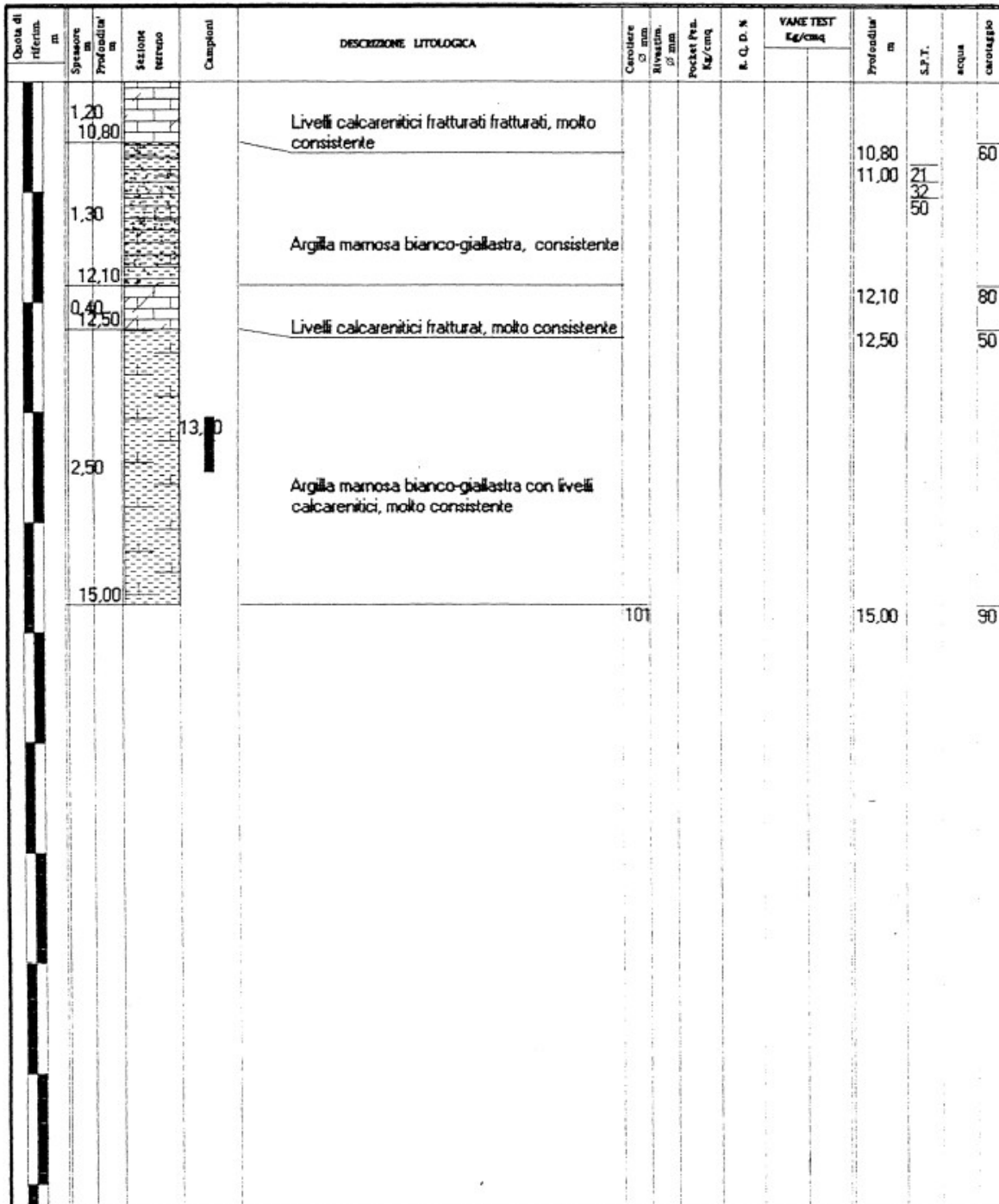
SCALA 1:50

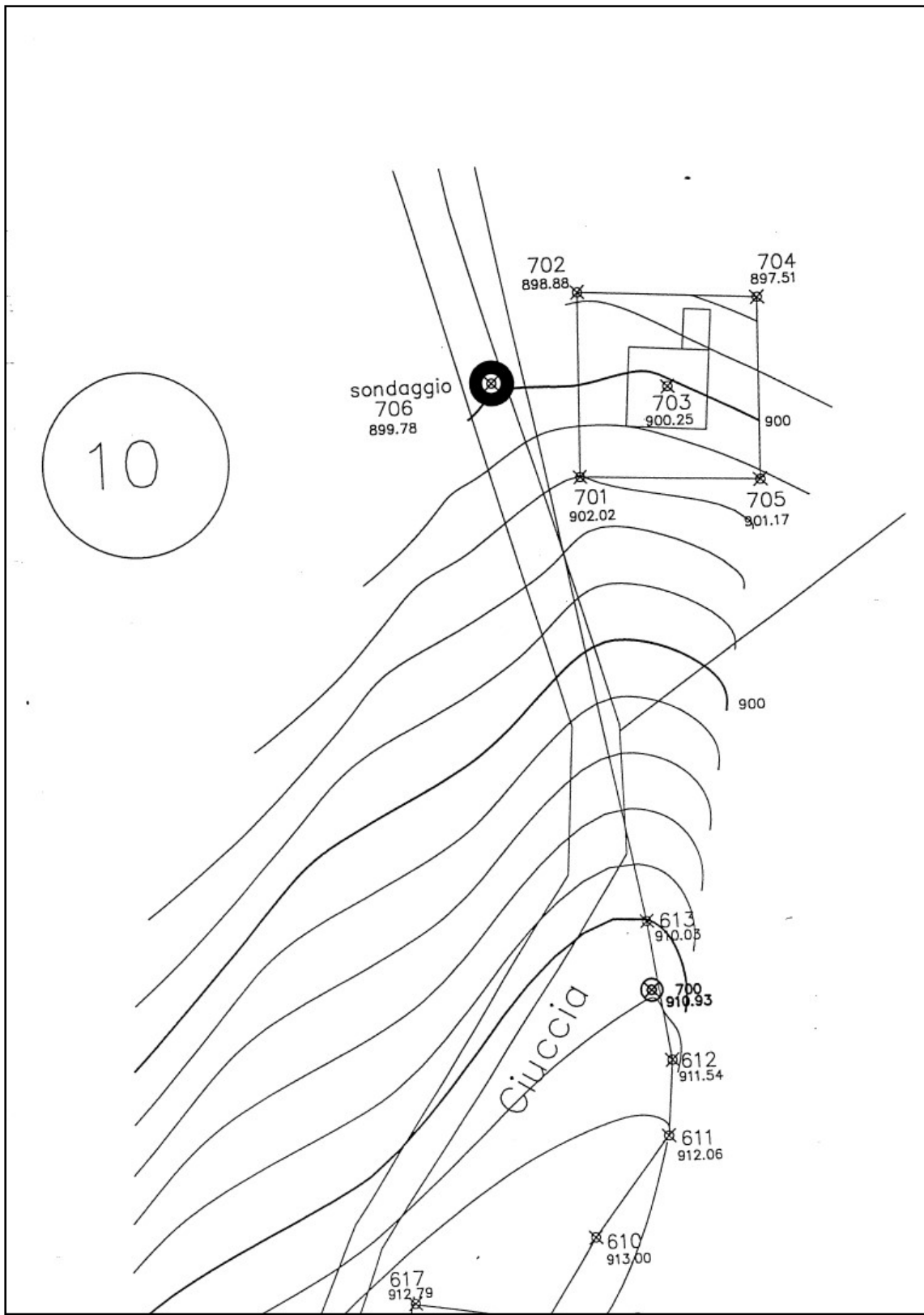
Data 07-11-09/2000

Sondaggio n.

E9

Attrezzatura e metodo di perforazione:			SONDA C.M.V. K 900		LIVELLI ACQUA			
					PROFONDITA' m	SERA	MATTINO	
			Rivest.	Foro	Data	H	Data	H
<input type="checkbox"/> Campione rimosseggiato	<input type="checkbox"/> Campione a percussione	<input type="checkbox"/> LEFRANC						
<input checked="" type="checkbox"/> Campione S.P.T.	<input type="checkbox"/> Campione ind. a pressione	Prova di permeabilità'						
<input type="checkbox"/> Campione da Vane Test	<input type="checkbox"/> Campione ind. rotativo	<input type="checkbox"/> LUGEON						





Dott.A. Giordano - Dott. M. Di Carlo EDISON S.p.A.
 Via Maselli
 ACCADIA (FG)
 0881/981349

Località: FAETO (FG) - Cantiere: CENTRALE EOLICA San Vito-Ciuccia

SCALA 1:50

Data 15/09/2000

Sondaggio n.

E10

Attrezzatura e metodo di perforazione:

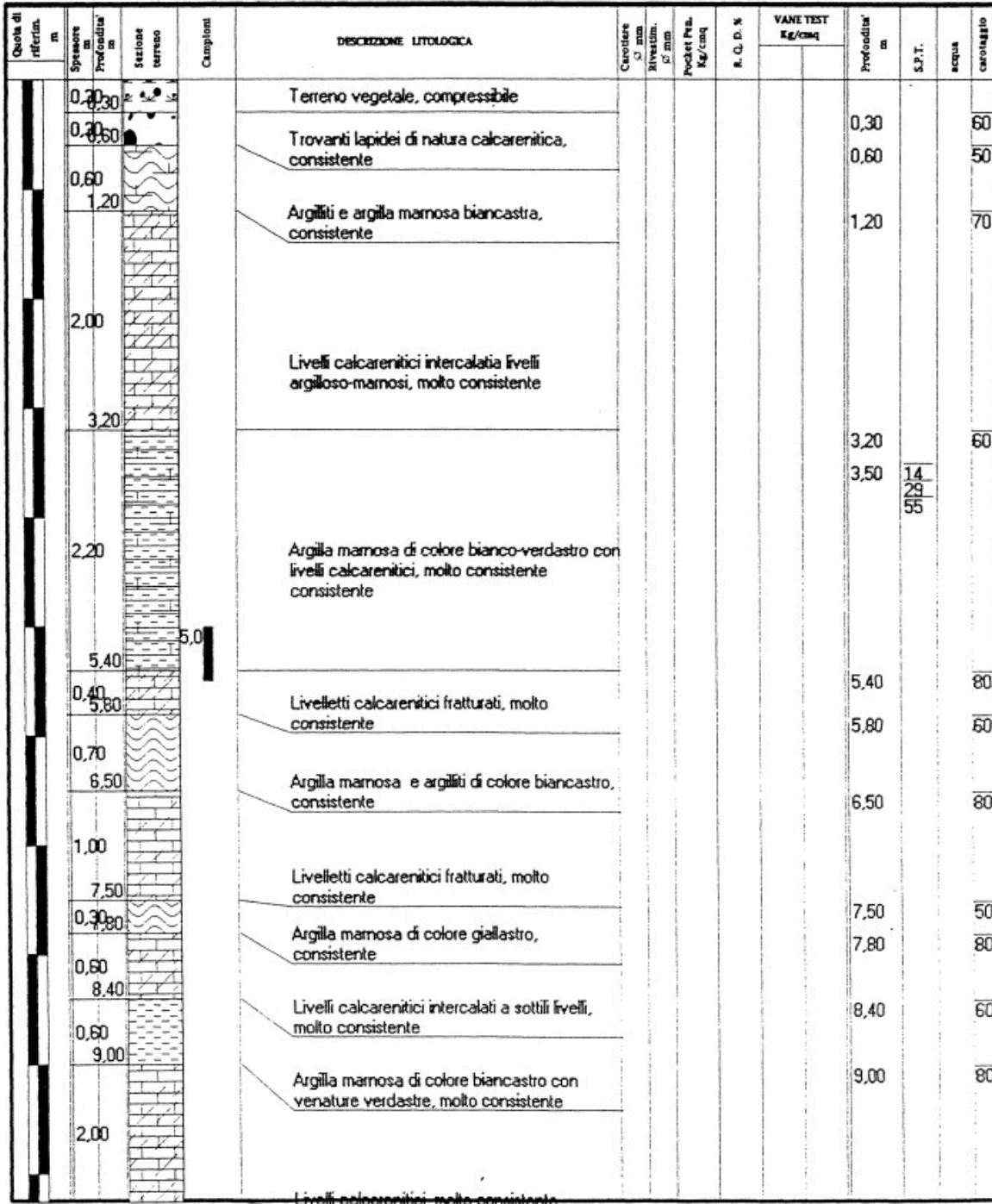
- Campione rimeseggiato
- Campione S.P.T.
- Campione da Vane Test

SONDA C.M.V. K 900

- Campione a percezione
- Campione Ind. a pressione
- Campione Ind. rotativo

- LEFRANC
- Prova di permeabilità'
- LUGON

LIVELLI ACQUA					
PROFONDITÀ' m		SERA	MATTINO		
livell.	foro	data	h	data	r



Dott.A. Giordano - Dott. M. Di Carlo EDISON S.p.A.
 Via Maselli
 ACCADIA (FG)
 0881/981349

Località: FAETO (FG) - Cantiere: CENTRALE EOLICA San Vito-Ciuccia

SCALA 1:50

Data 15/09/2000

Sondaggio n.

E10

Attrezzatura e metodo di perforazione:

- Campione riconnegliato
- Campione S.P.T.
- Campione da Vane Test

SONDA C.M.V. K 900

- Campione a percussione
- Campione Ind. a pressione
- Campione Ind. rotativo

LEFRANC

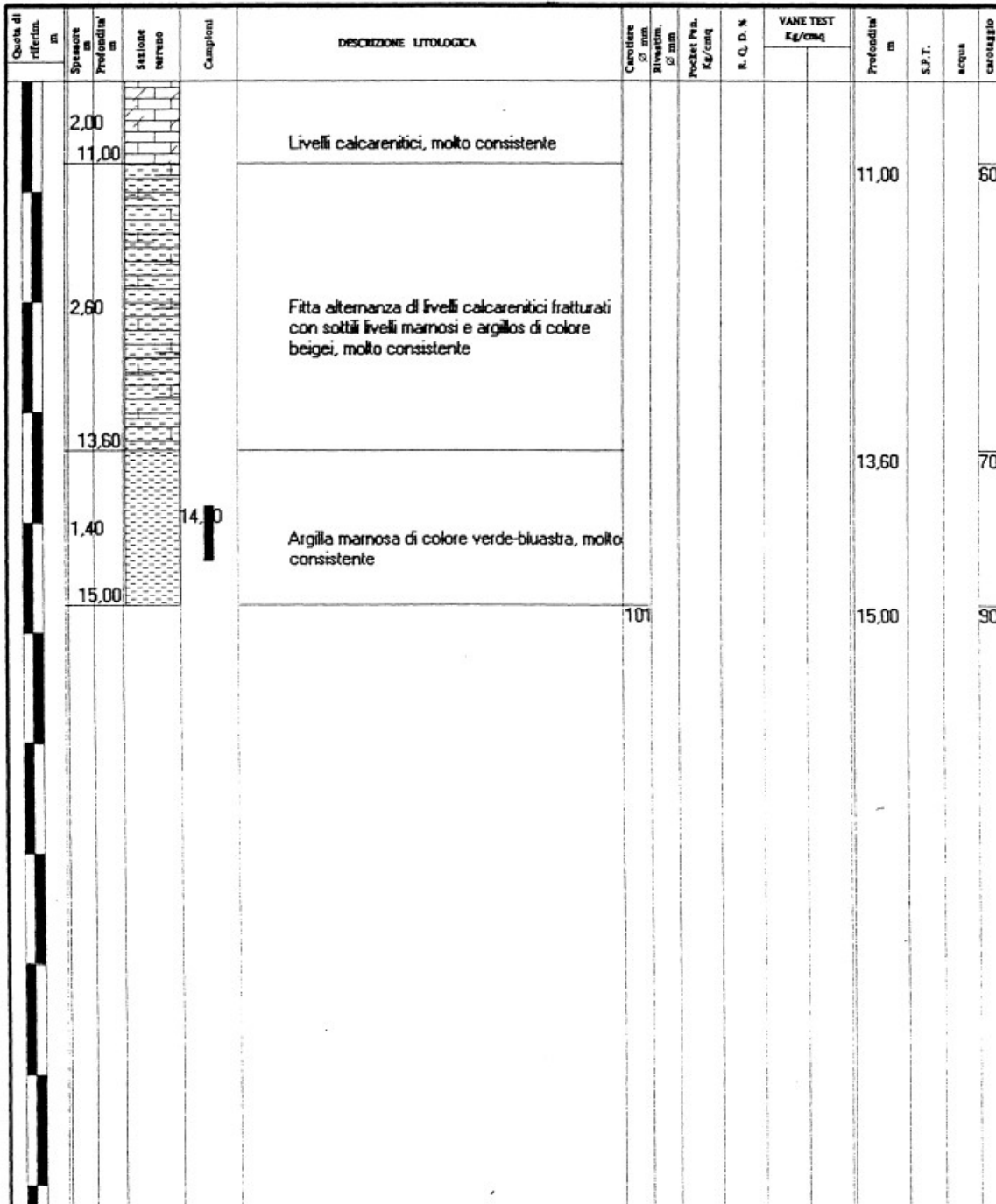
Prova di permeabilità'

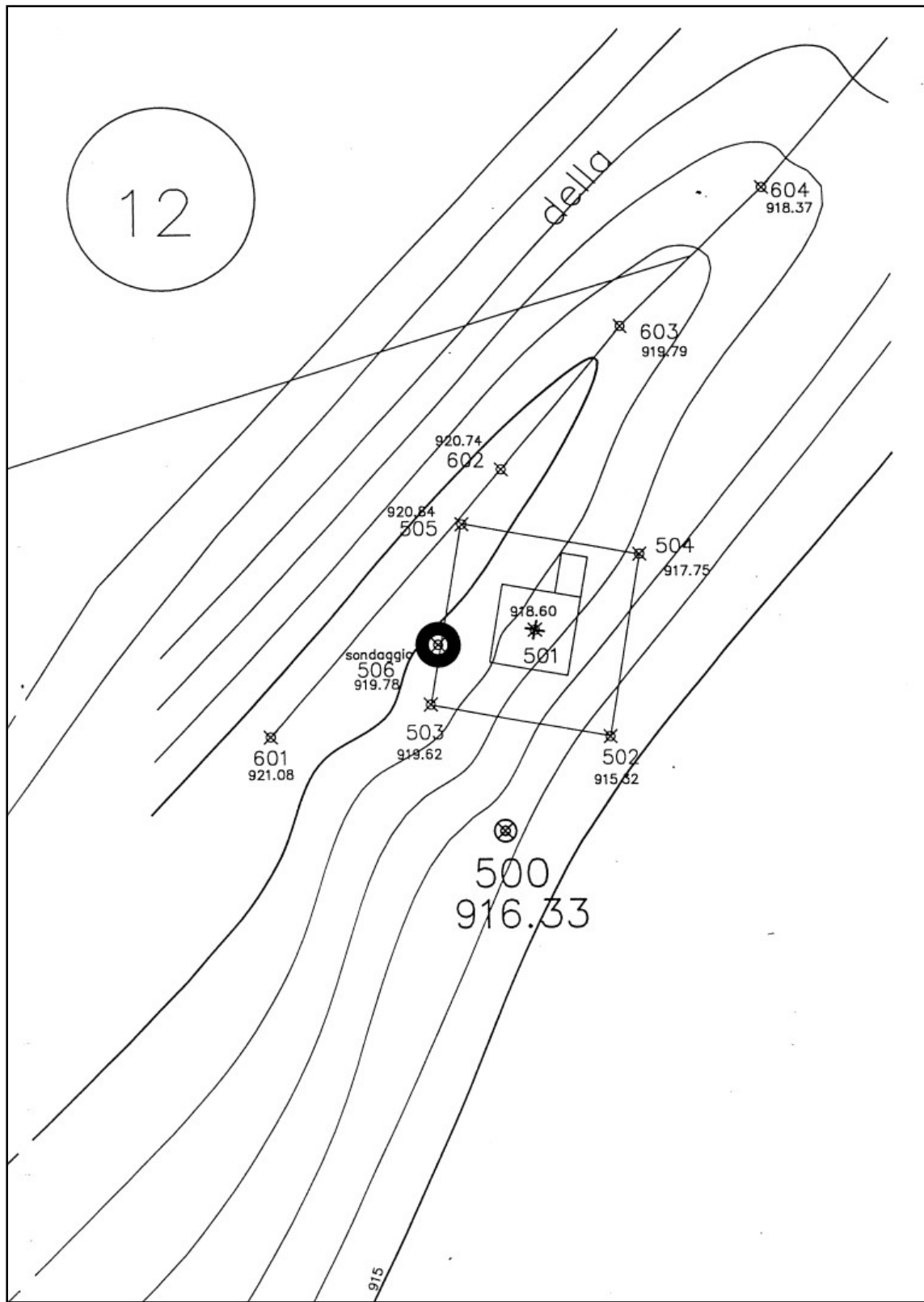
LUGON

LIVELLI ACQUA

PROFONDITÀ' m SERA MATTINO

Rivest. Fero Data H Data H





Dott.A. Giordano - Dott. M. Di Carlo EDISON S.p.A.
 Via Maselli
 ACCADIA (FG)
 0881/981349

Località: FAETO (FG) - Cantiere: CENTRALE EOLICA San Vito-Ciuccia

SCALA 1:50

Data 15/09/2000

Sondaggio n.

E12

Attrezzatura e metodo di perforazione:

Campione riconosciuto

SONDA C.M.V. K 900

Campione S.P.T.

Campione da Vana Test

Campione a percussione

Campione Ind. a pressione

Campione Ind. rottavore

LEFRANC

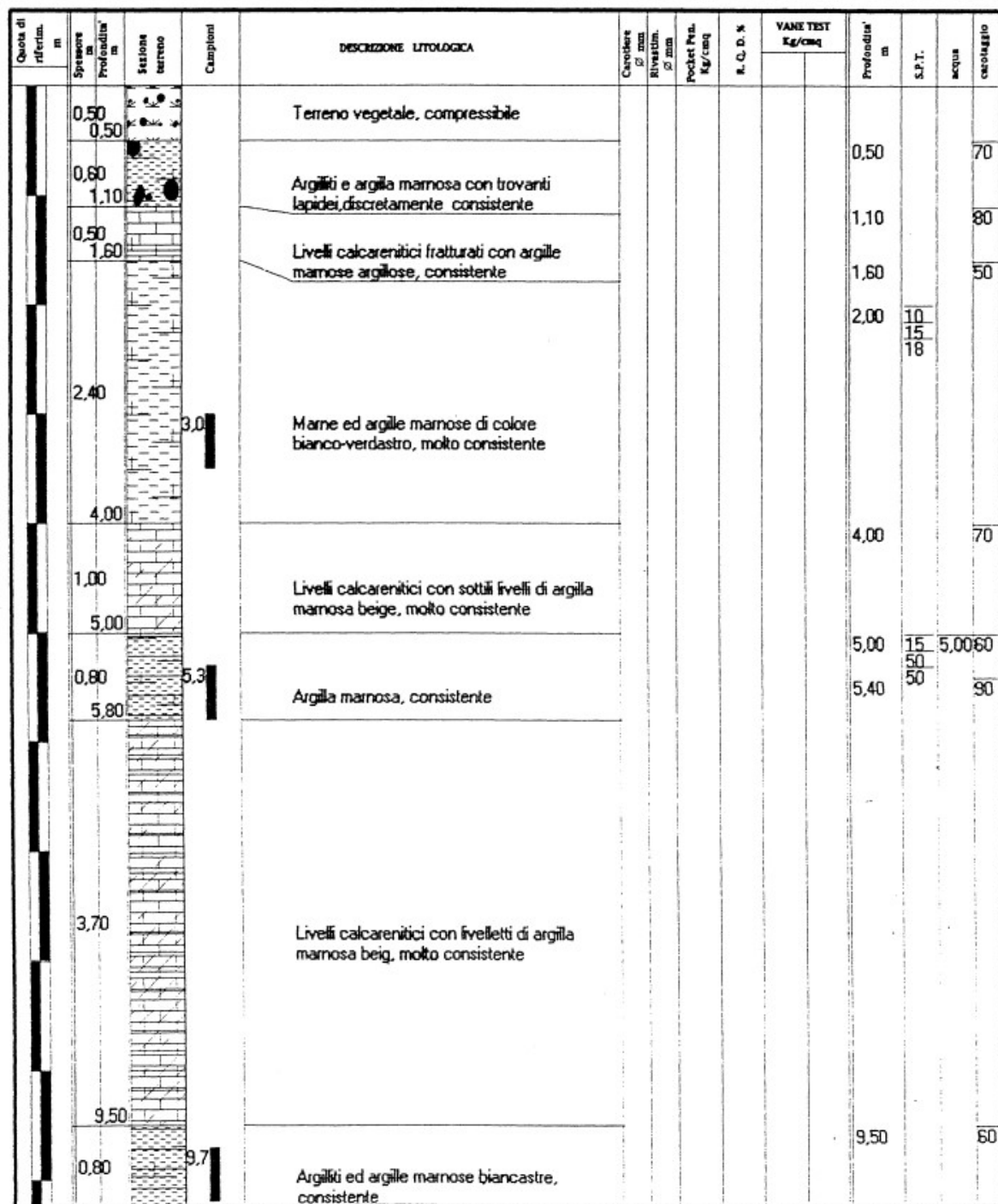
Prova di permeabilità*

LUGON

LIVELLI ACQUA

PROFOUNDITA' m SERA MATTINO

Rivest. Foro Data H Data H



Dott.A. Giordano - Dott. M. Di Carlo EDISON S.p.A.
Via Maselli Località: FAETC
ACCADIA (FG)
0881/981349

Località: FAETO (FG) - Cantiere: CENTRALE EOLICA San Vito-Ciuccia

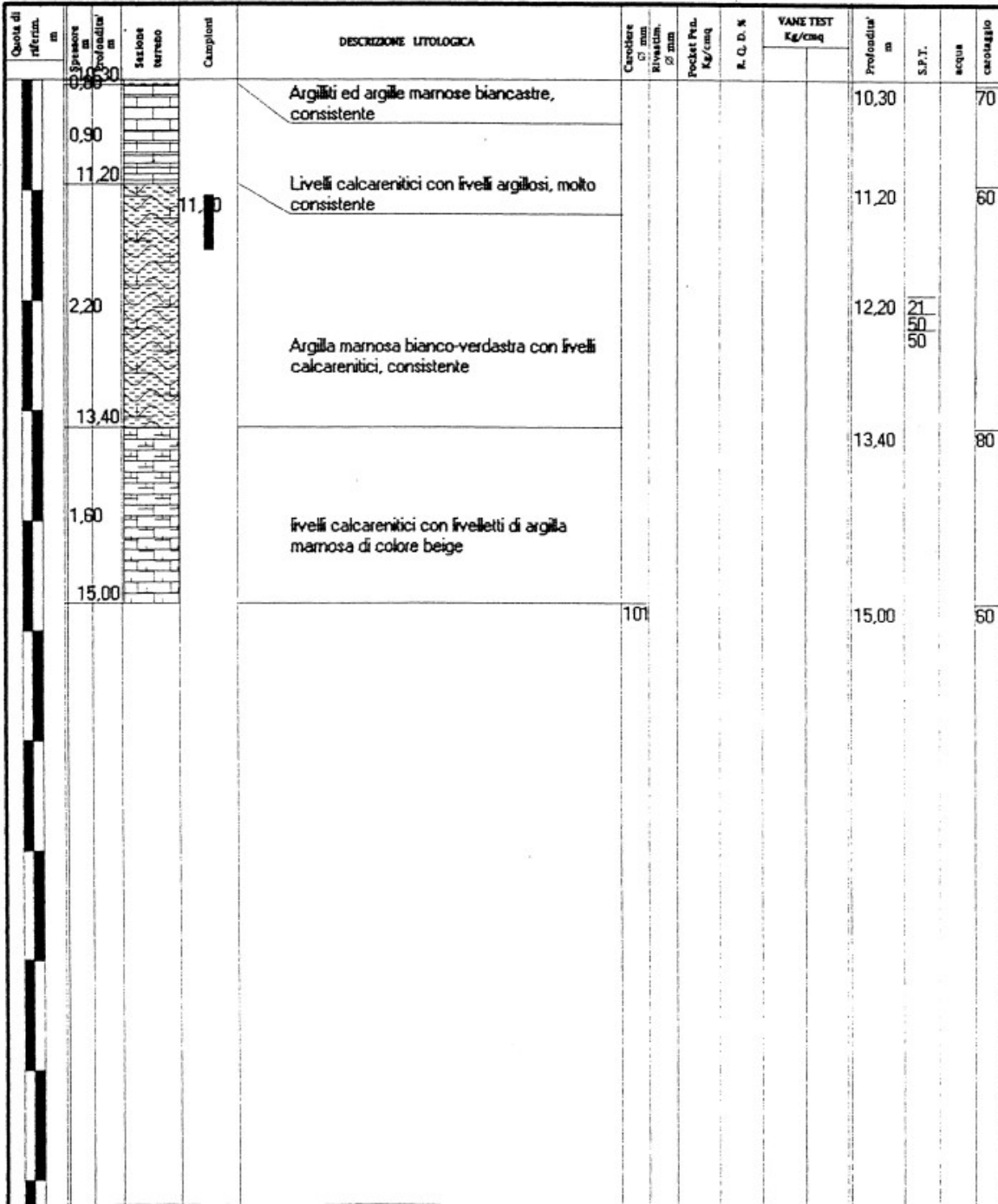
SCALA | 1:50

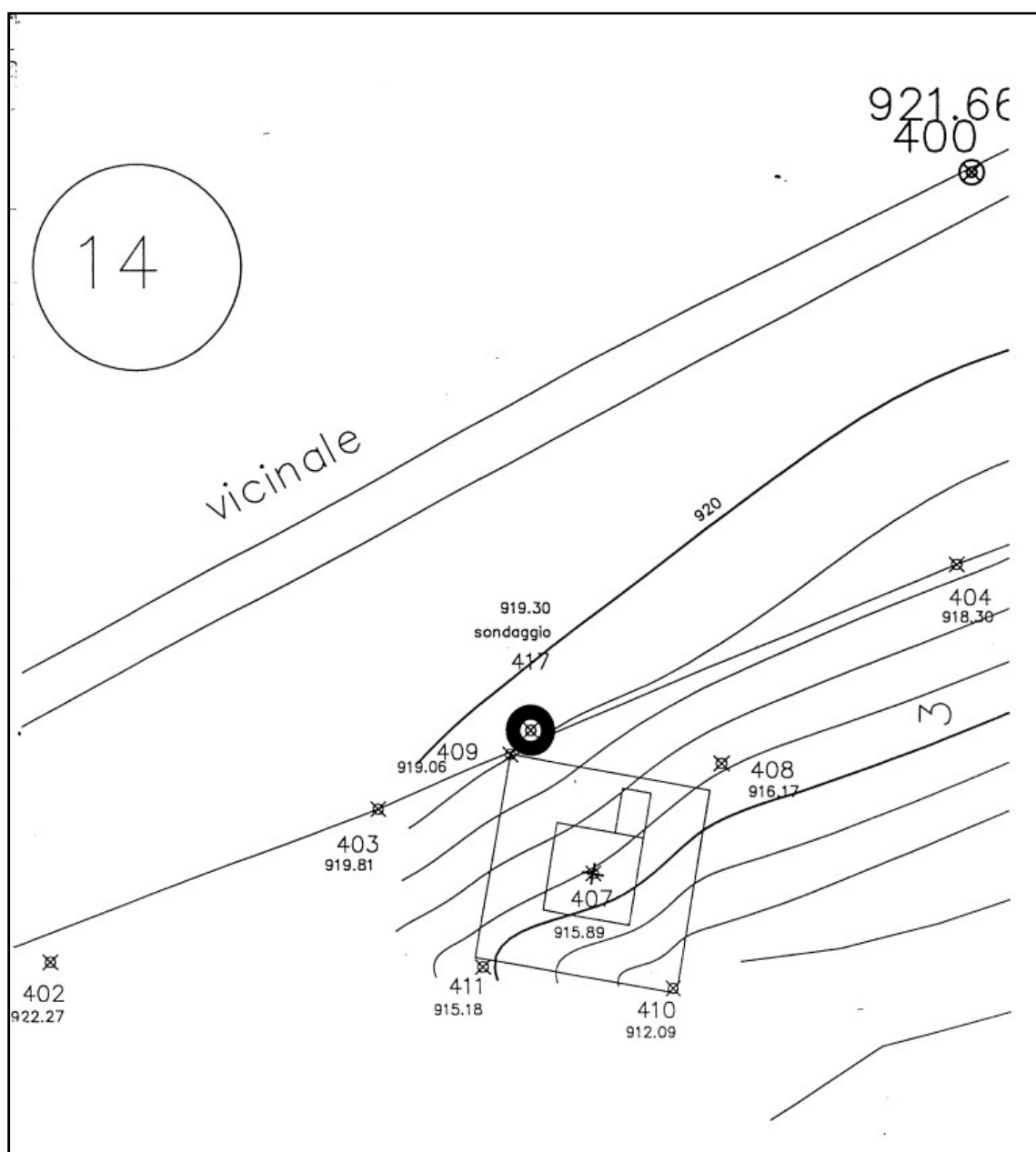
Dated 15/09/2000

Sordaggio s.

E12

Attrezzature e metodo di perforazione:	SONDA C.M.V. K 900			LIVELLI ACQUA					
				PROFONDITA' m		SERÀ		MATTINO	
	Elevat.	Foro	Data	H	Data	H			
<input type="checkbox"/> Campione riconiggiato	<input checked="" type="checkbox"/>	Campione a percussione	<input type="radio"/>	LEFRANC					
<input checked="" type="checkbox"/> Campione S.P.T.	<input checked="" type="checkbox"/>	Campione ind. a presione		Prova di permeabilità'					
<input checked="" type="checkbox"/> Campione da Vane Test	<input type="checkbox"/>	Campione ind. rottura	<input type="radio"/>	LUGONI					





Dott.A. Giordano - Dott. M. DI Carlo EDISON S.p.A.
 Via Maselli
 ACCADIA (FG)
 0881/981349

Località: FAETO (FG) - Cantiere: CENTRALE EOLICA San Vito-Ciuccia

SCALA 1:50

Data 14/09/2000

Sondaggio n.

E14

Attrezzatura e metodo di perforazione:

- Campione rimbuseggiato
- Campione S.P.T.
- Campione da Vane Test

- Campione a percussione
- Campione ind. a pressione
- Campione ind. rotativa

- LEFRANC
- Prova di permeabilità
- LUGON

LEVELLI ACQUA

PROFONDITÀ m

SEcca

MATTIMO

Rivest. Foro Data H Data H

Quota di riferim. m	Spessore m	Profondità m	Sistema terreno	Campioni	DESCRIZIONE LITOLOGICA	Carotatore Ø mm	Rivestim. Ø mm	Peclet Pen. Kg/cm²	N. Q. D. N.	VANE TEST Kg/cm²	Profondità m		S.P.T.	acqua	carreggio
											0,50	1,00			
0,50	0,50				Terreno vegetale, compressibile						0,50				
1,10					Argilliti e argilla marnosa alterata con trovanti lapidei, poco consistente						1,70			70	
1,60															80
2,30					Fitta alternanza di argilla marnosa bianco-verdastra con livelli calcarenici, consistente						2,50				
3,90												4,00			70
1,30					Livelli calcarenici fratturati alternati a livelli di argilla marnosa biancastra, molto consistente						5,20				
5,20															50
0,80					Argilliti e argilla marnosa biancastra, consistente						6,00			6.0080	
6,00															
0,70					Livelli calcarenici fratturati grigiastri con sottilissimi livelli argilloso-marnosi, molto consistente						6,70			50	
6,70															
1,80					Argilliti e argilla marnosa biancastra con livelli calcarenici, consistente						7,00			18	
8,00															50
8,50															50
1,50					Livelli calcarenici in parte fratturati, molto consistente						8,50			80	
10,00															
10,00					Argilla marnosa beige-giallastro con livelli calcarenici, consistente						10,00			60	

Dott.A. Giordano - Dott. M. Di Carlo EDISON S.p.A.
Via Maselli
ACCADIA (FG)
0881/981349

Località: FAETO (FG) - Cantiere: CENTRALE EOLICA San Vito-Ciuccia

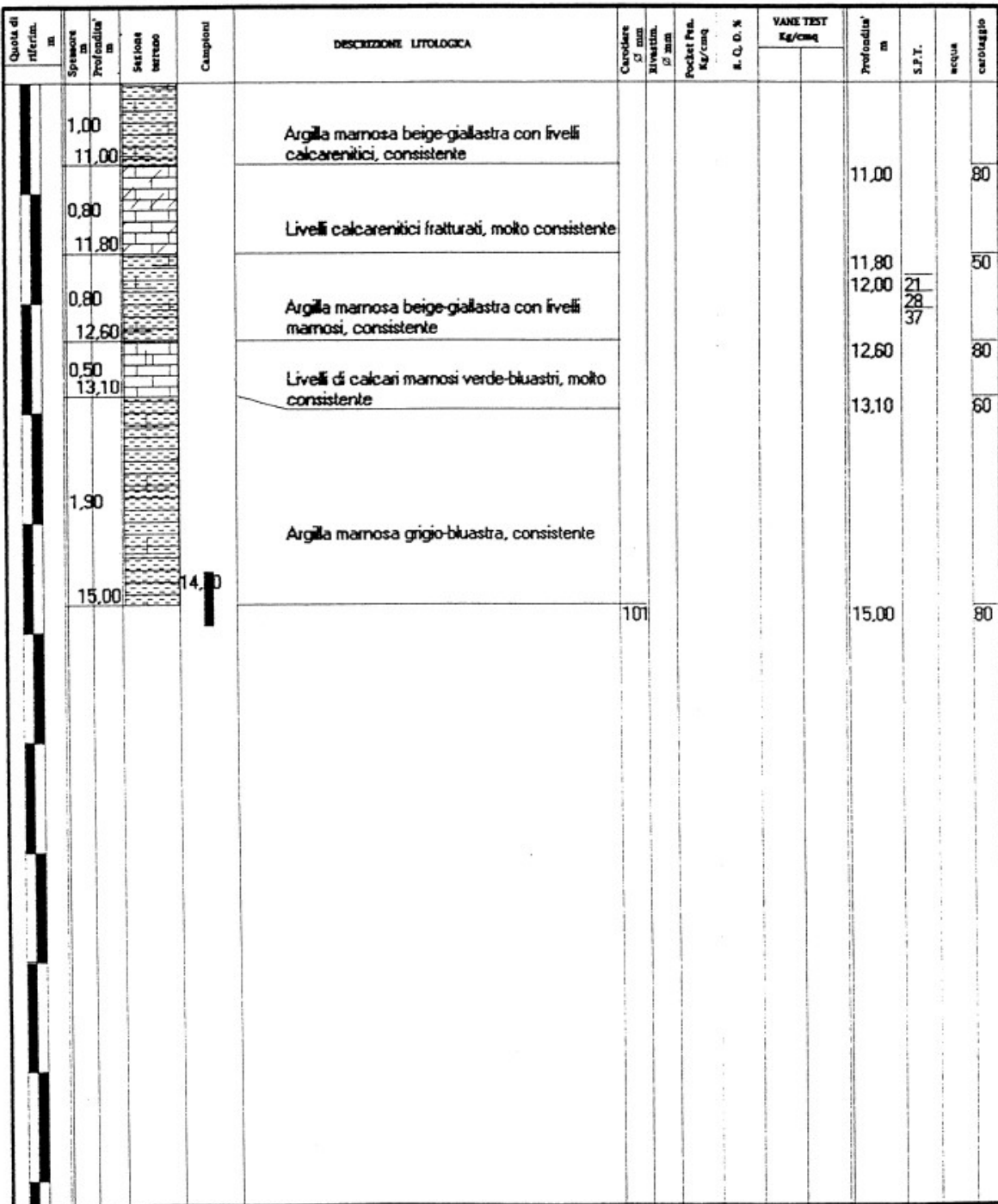
1:50

14/09/2000

Scandentia 2.

E14

Attrezzatura e metodo di perforazione:	SONDA C.M.V. K 900			LIVELLI ACQUA						
	PROFONDITA' m		SERA	MATTINO		Profondità m		SERA	MATTINO	
	Bass.	Foro	Data	H	Data	H	Bass.	Foro	Data	H
<input type="checkbox"/> Campione riconosciuto	<input checked="" type="checkbox"/>	Campione a percussione	<input type="radio"/>	LEFRANC						
<input checked="" type="checkbox"/> Campione S.P.T.	<input checked="" type="checkbox"/>	Campione ind. a pretesone			Prova di permeabilità'					
<input type="checkbox"/> Campione da Vane Test	<input type="checkbox"/>	Campione ind. rottavita	<input type="radio"/>	LUGON						



PROVE DI LABORATORIO

GeoSveva

**Laboratorio Analisi Geotecniche
del Dott. Geol. Matteo Di Carlo**

viale Virgilio c.n.
71036 LUCERA (FG)
tel. 0881 545447

COMMITTENTE : Parco Eolico Faeto S.r.l.

LOCALITA' : Faeto -C.da S. Vito-Ciuccia - (FG)

CANTIERE : Parco Eolico

SONDAGGIO : S E 1 CAMPIONE : C 1 PROFONDITA' : m. 3,50-4,00

Peso specifico dei grani γ_s = 2,703 gr/cm³

Peso di volume γ = 1,958 gr/cm³

Contenuto naturale in acqua w = 22,502 %

Peso secco γ_d = 1,598 gr/cm³

Indice dei pori e = 0,691

Porosità n = 40,868 %

Grado di saturazione Sr = 88,005 %

IL TECNICO del LABORATORIO
Dott. Geol. Stefano Finamore

IL DIRETTORE del LABORATORIO
Dott. Geol. Matteo Di Carlo

PROVA GRANULOMETRICA

COMMITTENTE : Parco Eolico Faeto S.r.l.

LOCALITA': Faeto -C.da S. Vito-Ciuccia - (FG)

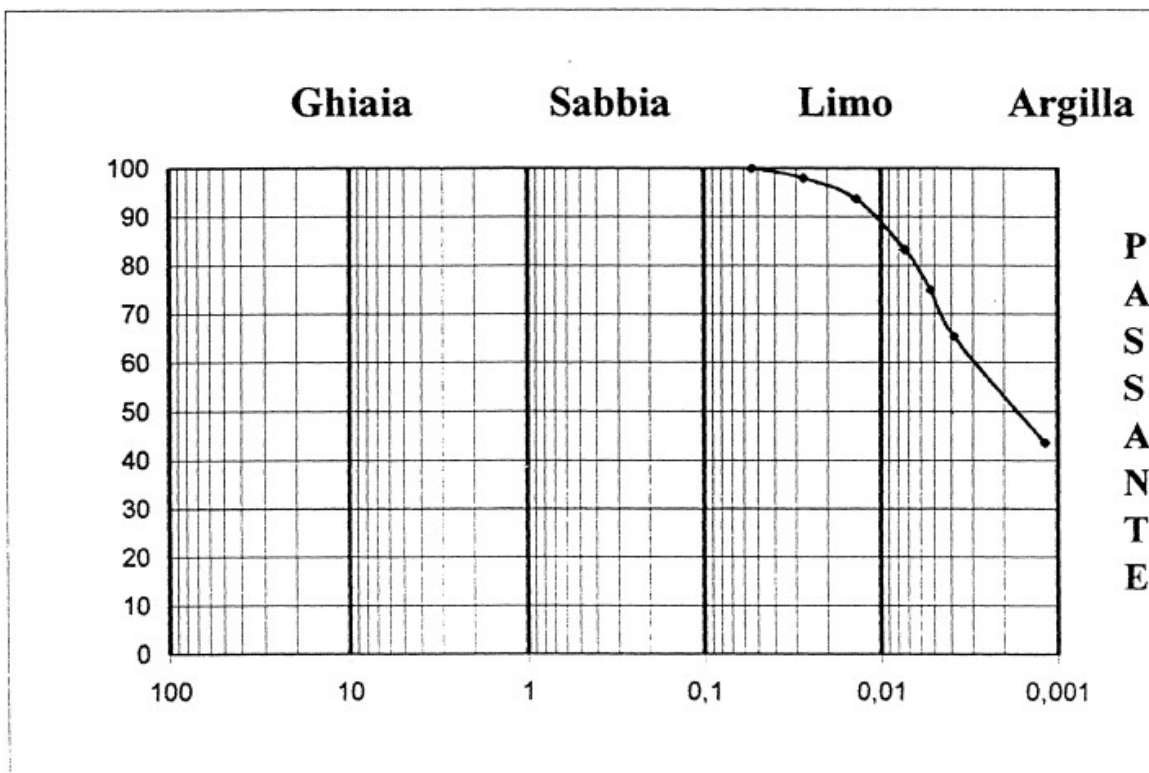
CANTIERE : Parco Eolico

Sondaggio N. E 1

Campione N.

1

Profondità m. 3,50-4,00



GHIAIA	SABBIA	LIMO	ARGILLA
W	W	46%	54%

DEFINIZIONE GRANULOMETRICA:

Argilla con Limo

IL TECNICO DEL LABORATORIO
Dott. Geol. Stefano Finamore

IL DIRETTORE del LABORATORIO
Dott. Geol. Matteo Di Carlo

LIMITI DI ATTERBERG

COMMITTENTE: Parco Eolico Facto S.r.l.
LOCALITA': Facto -C.da S. Vito-Ciuccia - (FG)
CANTIERE: Parco Eolico

Sondaggio: E 1 Campione: 1 Profondità: 3,50-4,00 m.

CONTENUTO NATURALE IN ACQUA = 22,5 %

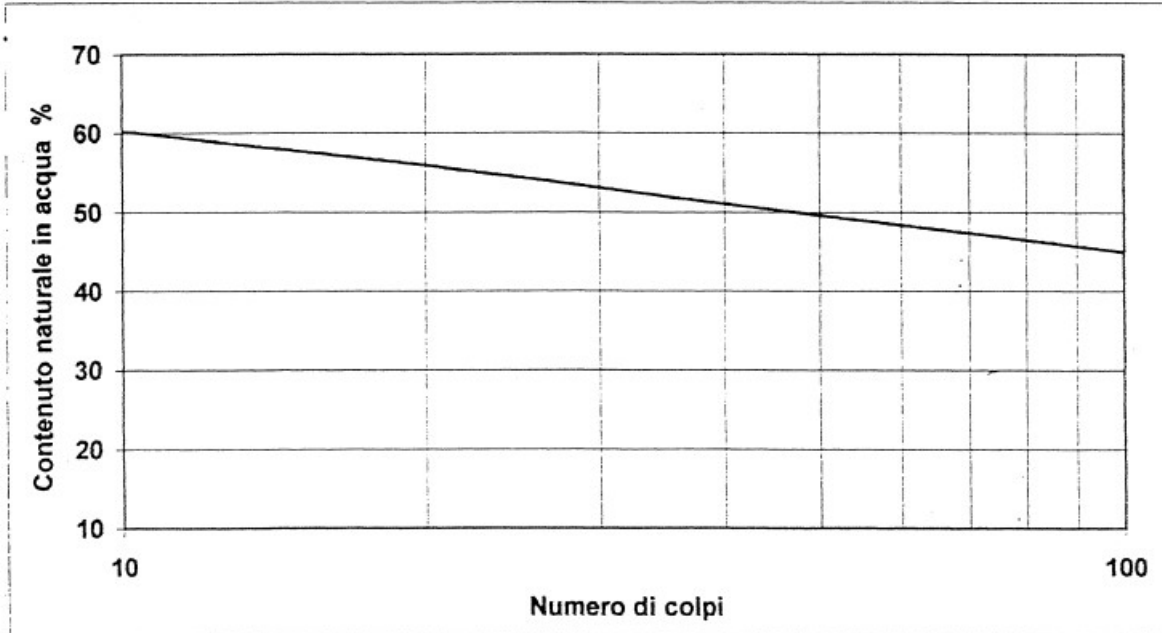
NUMERO CONTENITORE
 NUMERO DI COLPI
 PESO UMIDO + TARA (gr)
 PESO SECCO + TARA (gr)
 TARA (gr)
 CONTENUTO IN ACQUA (gr)
 PESO SECCO (gr)
 CONTENUTO IN ACQUA (%)

LIMITE LIQUIDO	
PROVINO n. 1	PROVINO n. 2
71	4
21	36
25,767	25,157
23,981	23,687
20,771	20,849
1,786	1,47
3,21	2,838
55,639	51,797

LIMITE PLASTICO	
1	
II	
24,266	
23,571	
20,772	
0,695	
2,799	
24,83	

RISULTATI

LIMITE LIQUIDO	(LL) =	54,614 %
LIMITE PLASTICO	(LP) =	24,83 %
INDICE DI PLASTICITA'	(IP) =	29,784
INDICE DI CONSISTENZA	(IC) =	1,078



IL TECNICO del LABORATORIO
Dott. Geol. Stefano Finamore

IL DIRETTORE del LABORATORIO
Dott. Geol. Matteo Di Carlo

PROVA ESPANSIONE LATERALE LIBERA

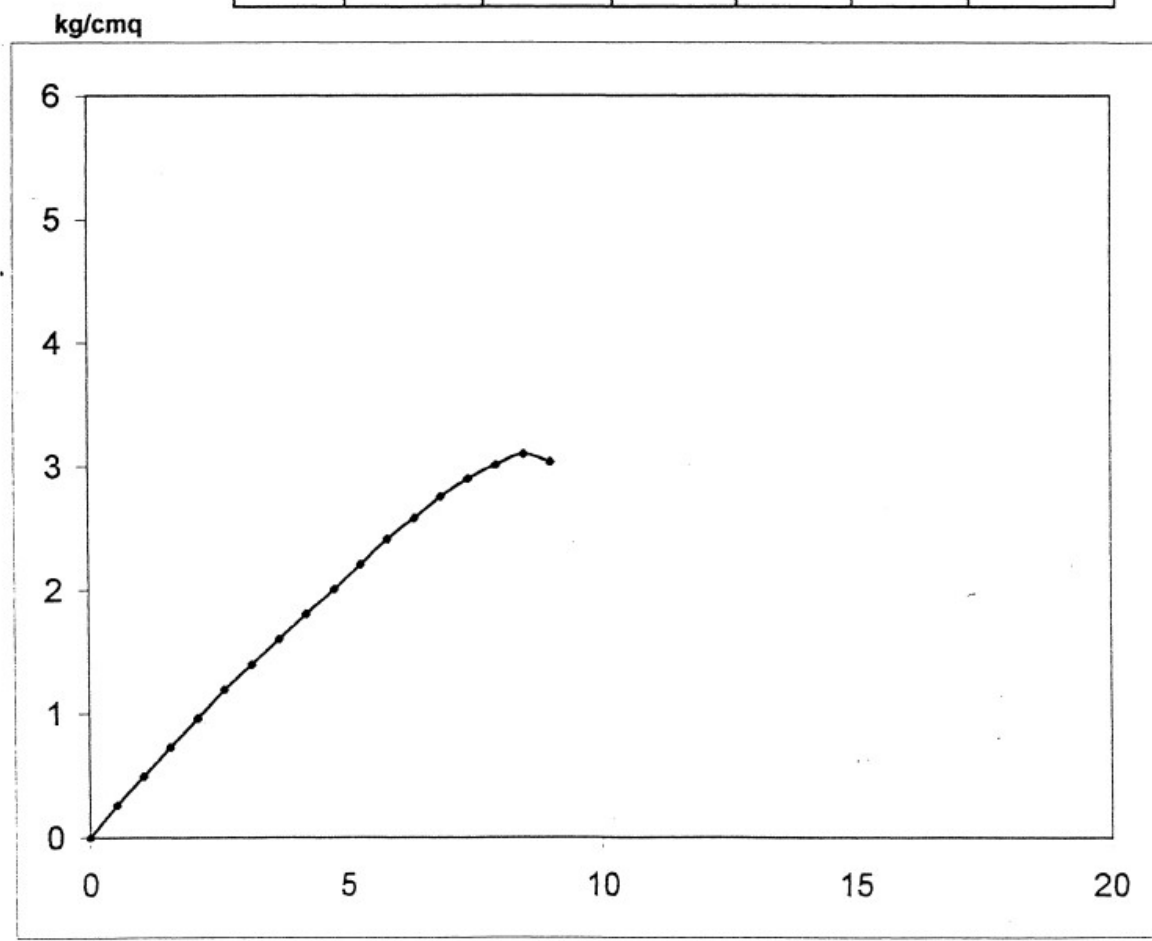
COMMITTENTE : Parco Eolico Faeto S.r.l.
LOCALITA' : Faeto -C.da S. Vito-Ciuccia - (FG)
CANTIERE : Parco Eolico

Sondaggio N. E 1 Campione N. 1 Profondità m. 3,50-4,00

Velocità della pressa = 1,270 mm/min.

Ef = Modulo di Young non drenato (secante a rottura)

Provino N	Dime nsioni			Fase di rottura		
	D cm	H cm	Ef kg/cmq	σ kg/cmq	δf %	Cu kg/cmq
1	8,6	18,9	36,61	3,099	8,47	1,55



IL TECNICO del LABORATORIO
 Dott. Geol. Stefano Finamore

IL DIRETTORE del LABORATORIO
 Dott. Geol. Matteo Di Carlo

PROVA DI COMPRESSIONE EDOMETRICA

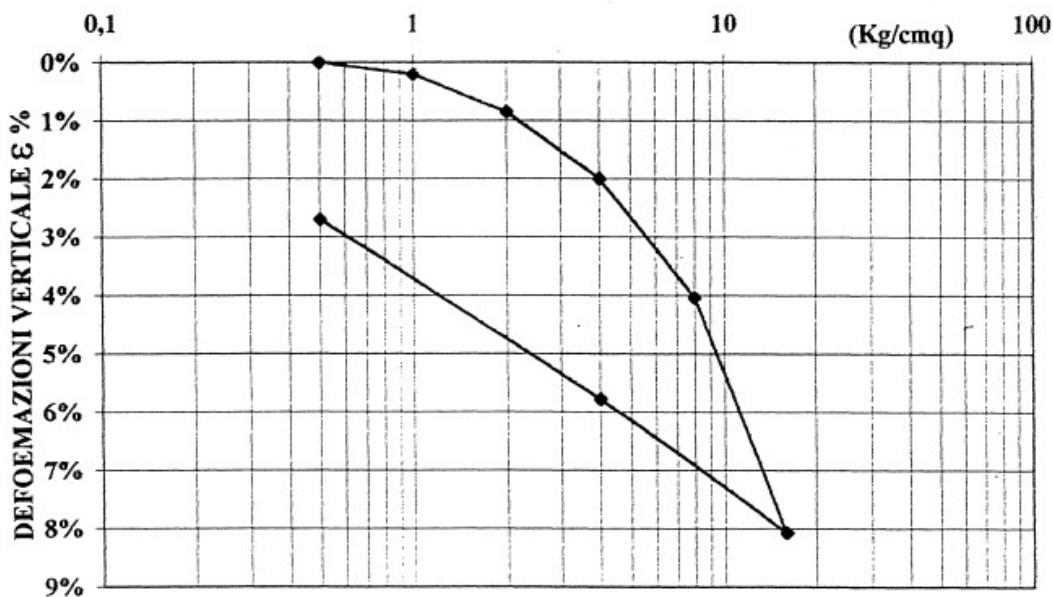
COMMITTENTE: Parco Eolico Faeto S.r.l.
LOCALITA': Faeto -C.da S. Vito-Ciuccia - (FG)
CANTIERE: Parco Eolico

Sondaggio: E 1 Campione: 1 Profondità: 3,50-4,00 m.

γ_s g/cm³	γ g/cm³	W %	e	H mm	D mm
2,703	1,958	22,5	0,691	20	50

Pressione Kg/cm²	Cedimenti mm	Cedimenti %	Ind. Pori	Mod Edom Kg/cm³
0,5	0	0	0,691	\
1	0,04	0,2	0,688	250
2	0,171	0,855	0,677	152,37
4	0,4	2	0,657	173,18
8	0,809	4,045	0,623	191,69
16	1,615	8,075	0,554	190,48

CURVA CEDIMENTI VERTICALI %-LOGARITMO DEI CARICHI



IL TECNICO del LABORATORIO
Dott. Geol. Stefano Finamore

IL DIRETTORE del LABORATORIO
Dott. Geol. Matteo Di Carlo

PROVA DI TAGLIO DIRETTO

COMMITTENTE : Parco Eolico Faeto S.r.l.

LOCALITA' : Faeto -C.da S. Vito-Ciuccia - (FG)

CANTIERE : Parco Eolico

Sondaggio N. E 1

Campione N. 1

Profondità m. 3,50-4,00

CARATTERISTICHE DELLA PROVA

Tipo di prova

CONSOLIDATA DRENATA

Velocità della prova

mm/min. 0,005

Costante micr. Cedimenti

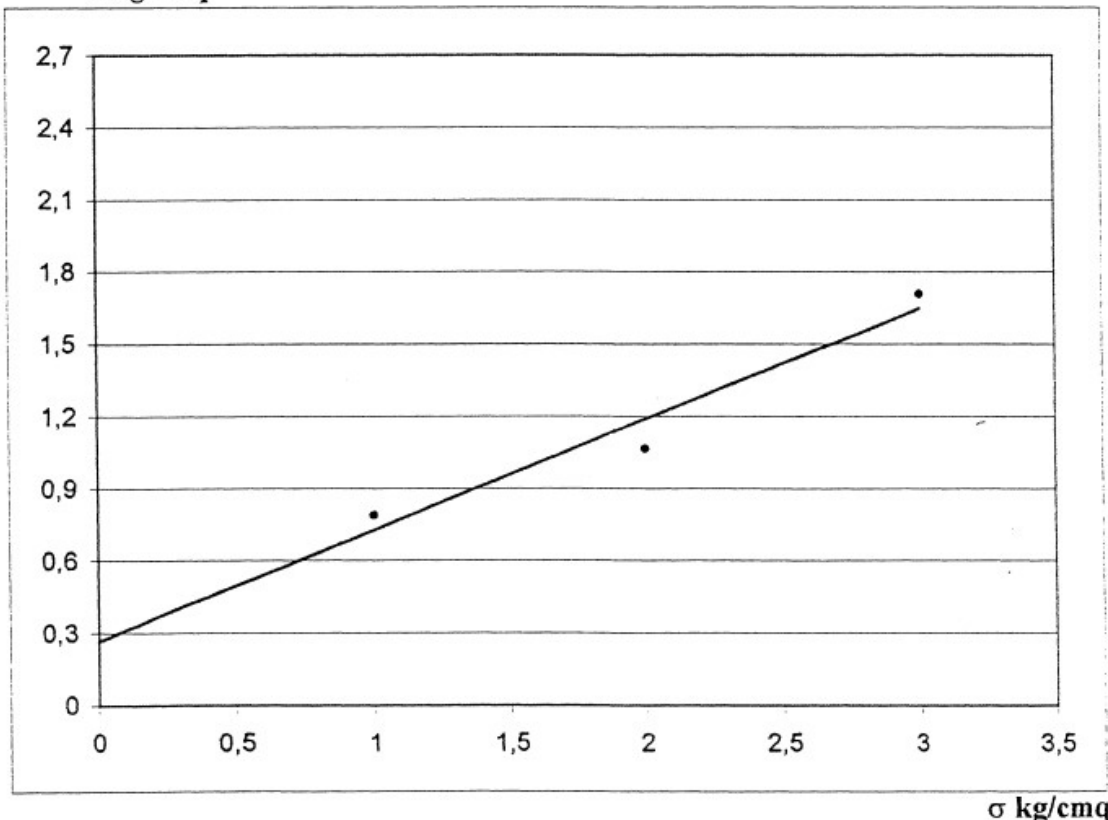
mm/segno 0,01

Provino N	Dimensioni		Consolidamento			Fase di rottura		
	H mm	D - L mm	σ kg/cmq	ΔH mm	T ore	σ kg/cmq	δf mm	τ kg/cmq
1	20	60	1	0,99	24	1	1,9	0,789
2	20	60	2	1,92	48	2	2,5	1,065
3	20	60	3	2,49	72	3	2,5	1,71

$$\Phi = 24,74^\circ$$

$$C = 0,2670 \text{ kg/cmq}$$

τ kg/cmq



IL TECNICO del LABORATORIO
Dott. Geol. Stefano Finamore

IL DIRETTORE del LABORATORIO
Dott. Geol. Matteo Di Carlo

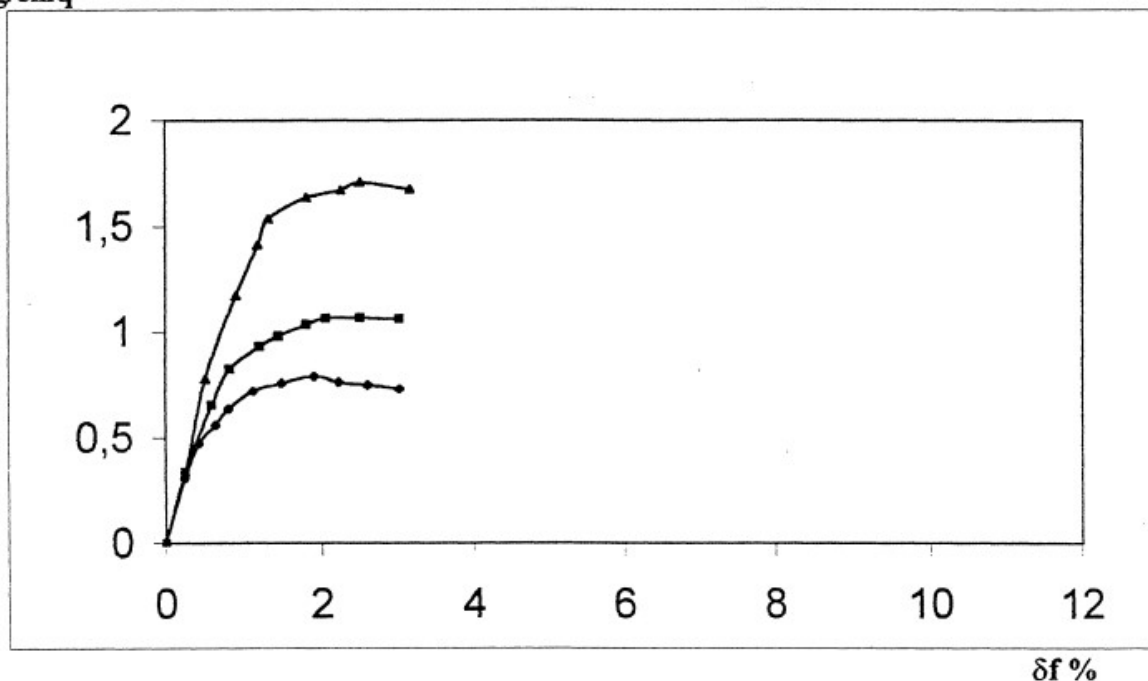
PROVA DI TAGLIO DIRETTO

COMMITTENTE : Parco Eolico Faeto S.r.l.
LOCALITA' : Faeto -C.da S. Vito-Ciuccia - (FG)
CANTIERE : Parco Eolico

Sondaggio N. E 1 Campione N. 1 Profondità m. 3,50-4,00

CURVE SFORZI/DEFORMAZIONI

kg/cm²



IL TECNICO del LABORATORIO
Dott. Geol. Stefano Finamore

IL DIRETTORE del LABORATORIO
Dott. Geol. Matteo Di Carlo

GeoSveva

**Laboratorio Analisi Geotecniche
del Dott. Geol. Matteo Di Carlo**

viale Virgilio c.n.
71036 LUCERA (FG)
tel. 0881 545447

COMMITTENTE : Parco Eolico Faeto S.r.l.

LOCALITA' : Faeto -C.da S. Vito-Ciuccia - (FG)

CANTIERE : Parco Eolico

SONDAGGIO : S E 1 CAMPIONE : C 2 PROFONDITA' : m. 5,00-5,50

Peso specifico dei grani γ_s = 2,689 gr/cm³

Peso di volume γ = 1,957 gr/cm³

Contenuto naturale in acqua w = 21,897 %

Peso secco γ_d = 1,605 gr/cm³

Indice dei pori e = 0,675

Porosità n = 40,296 %

Grado di saturazione Sr = 87,242 %

IL TECNICO del LABORATORIO
Dott. Geol. Stefano Finamore

IL DIRETTORE del LABORATORIO
Dott. Geol. Matteo Di Carlo

PROVA ESPANSIONE LATERALE LIBERA

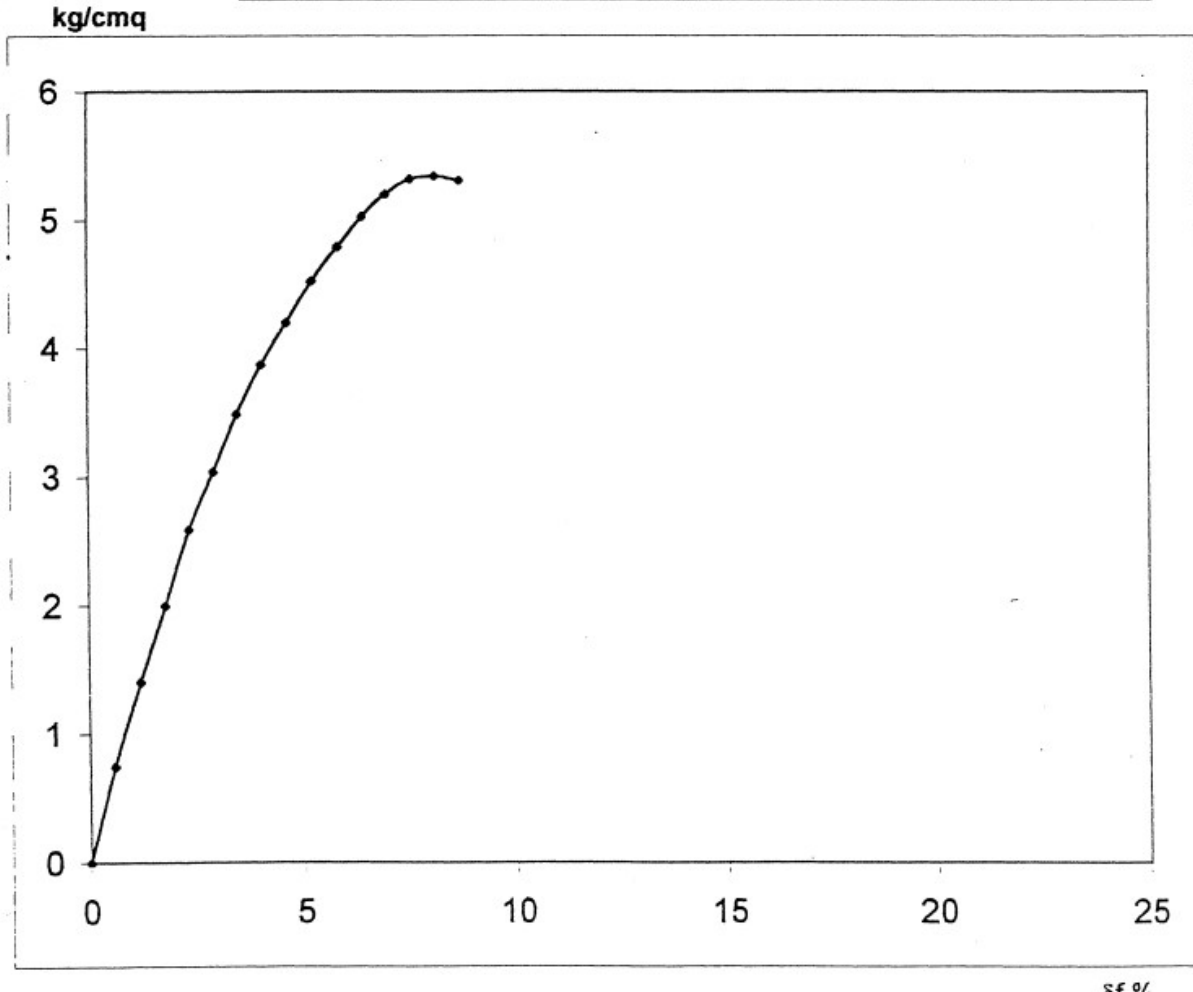
COMMITTENTE : Parco Eolico Faeto S.r.l.
LOCALITA' : Faeto -C.da S. Vito-Ciuccia - (FG)
CANTIERE : Parco Eolico

Sondaggio N. **E 1** Campione N. **2** Profondità m. **5,00-5,50**

Velocità della pressa = 1,270 mm/min.

E_f = Modulo di Young non drenato (secante a rottura)

Provino N	Dime nsioni			Fase di rottura		
	D cm	H cm	E_f kg/cmq	σ kg/cmq	δ_f %	Cu kg/cmq
1	8,5	17,2	65,65	5,343	8,14	2,67



IL TECNICO del LABORATORIO
Dott. Geol. Stefano Finamore

IL DIRETTORE del LABORATORIO
Dott. Geol. Matteo Di Carlo

PROVA DI TAGLIO DIRETTO

COMMITTENTE : Parco Eolico Faeto S.r.l.

LOCALITA' : Faeto -C.da S. Vito-Ciuccia - (FG)

CANTIERE : Parco Eolico

Sondaggio N. E 1 Campione N. 2 Profondità m. 5,00-5,50

CARATTERISTICHE DELLA PROVA

Tipo di prova

CONSOLIDATA DRENATA

Velocità della prova

mm/min. 0,005

Costante micr. Cedimenti

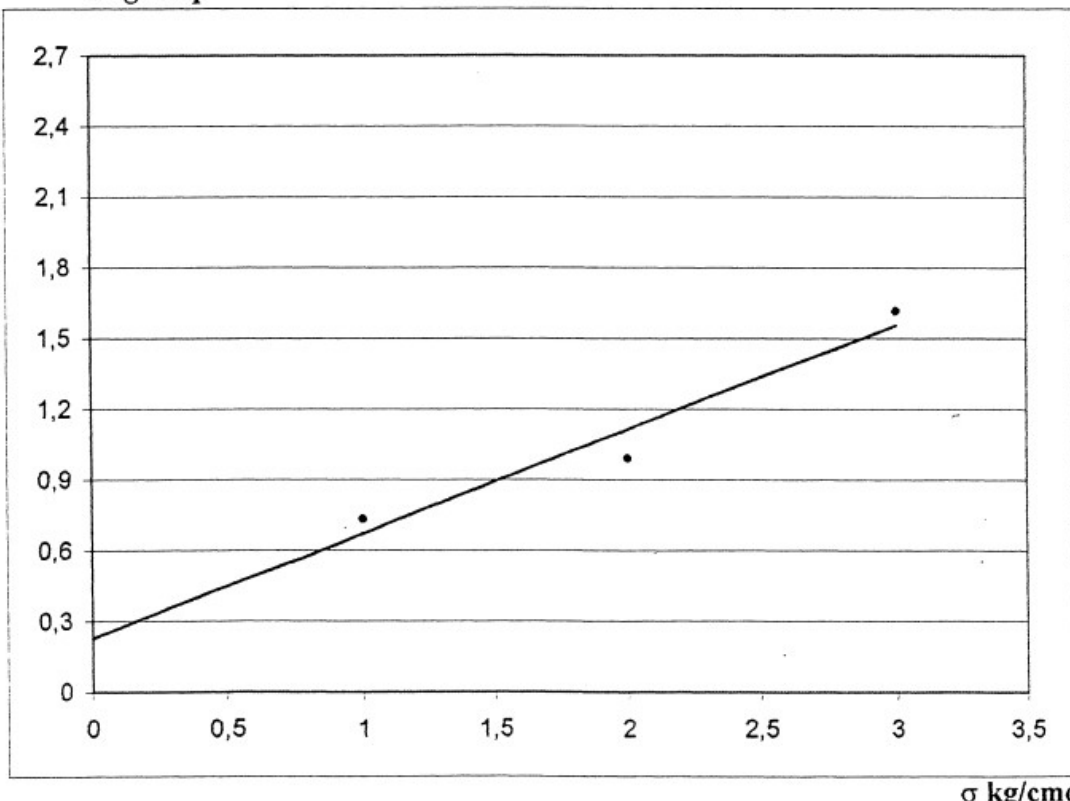
mm/segno 0,01

Provino N	Dimensioni		Consolidamento			Fase di rottura		
	H mm	D - L mm	σ kg/cmq	ΔH mm	T ore	σ kg/cmq	δf mm	τ kg/cmq
1	30	60	1	1,11	24	1	1,56	0,733
2	30	60	2	2,03	48	2	1,4	0,99
3	30	60	3	2,35	72	3	1,94	1,618

$$\Phi = 23,88^\circ$$

$$C = 0,2287 \text{ kg/cmq}$$

τ kg/cmq



IL TECNICO del LABORATORIO
Dott. Geol. Stefano Finamore

IL DIRETTORE del LABORATORIO
Dott. Geol. Matteo Di Carlo

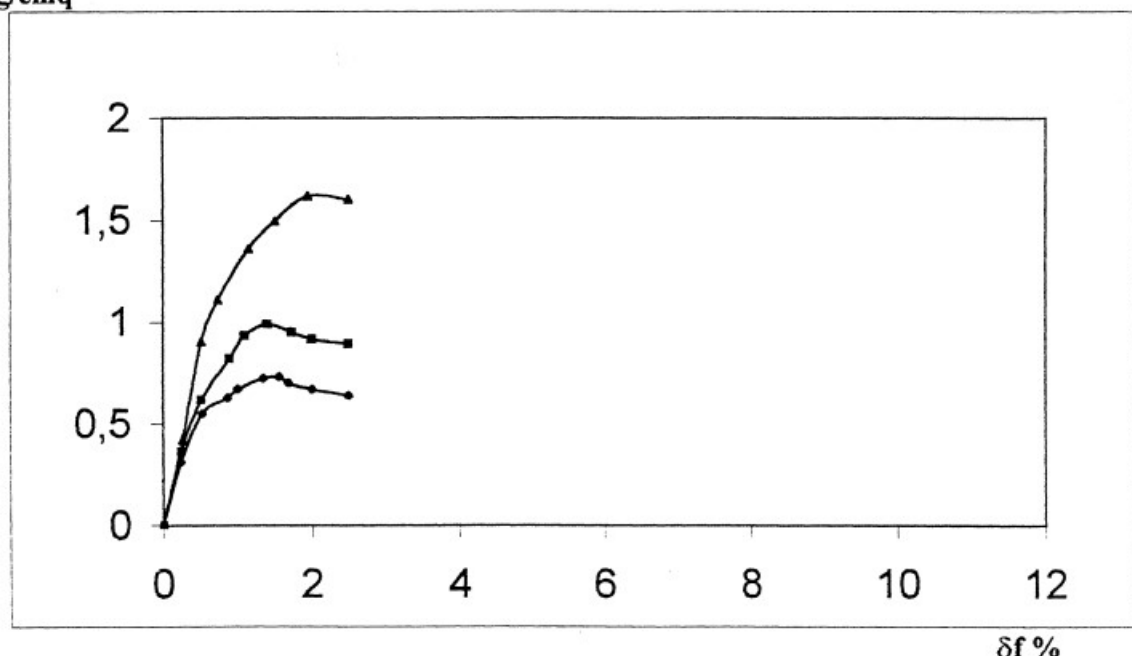
PROVA DI TAGLIO DIRETTO

COMMITTENTE : Parco Eolico Faeto S.r.l.
LOCALITA' : Faeto -C.da S. Vito-Ciuccia - (FG)
CANTIERE : Parco Eolico

Sondaggio N. E 1 Campione N. 2 Profondità m. 5,00-5,50

CURVE SFORZI/DEFORMAZIONI

kg/cmq



IL TECNICO del LABORATORIO
Dott. Geol. Stefano Finamore

IL DIRETTORE del LABORATORIO
Dott. Geol. Matteo Di Carlo

GeoSveva

**Laboratorio Analisi Geotecniche
del Dott. Geol. Matteo Di Carlo**

viale Virgilio c.n.
71036 LUCERA (FG)
tel. 0881 545447

COMMITTENTE : Parco Eolico Faeto S.r.l.

LOCALITA' : Faeto -C.da S. Vito-Ciuccia - (FG)

CANTIERE : Parco Eolico

SONDAGGIO : S E 1 CAMPIONE : C 3 PROFONDITA' : m. 13,10-13,60

Peso specifico dei grani γ_s = 2,701 gr/cm³

Peso di volume γ = 1,963 gr/cm³

Contenuto naturale in acqua w = 18,189 %

Peso secco γ_d = 1,661 gr/cm³

Indice dei pori e = 0,626

Porosità n = 38,508 %

Grado di saturazione Sr = 78,451 %

IL TECNICO del LABORATORIO
Dott. Geol. Stefano Finamore

IL DIRETTORE del LABORATORIO
Dott. Geol. Matteo Di Carlo

PROVA GRANULOMETRICA

COMMITTENTE : Parco Eolico Faeto S.r.l.

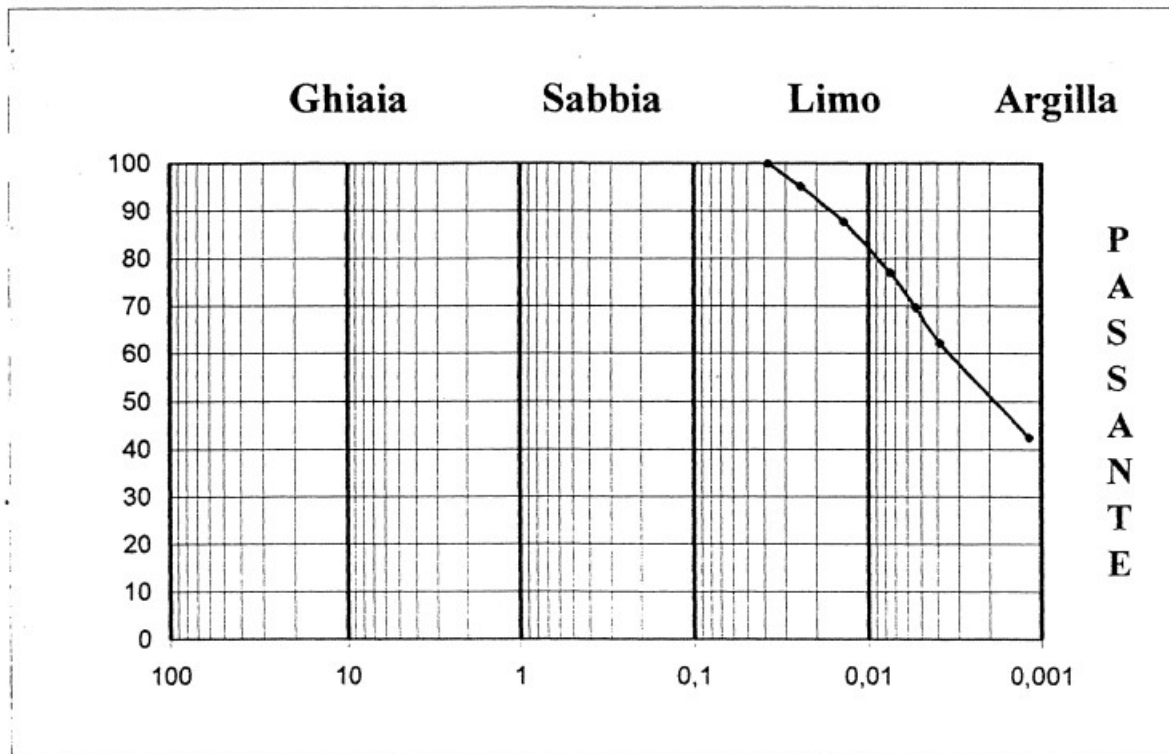
LOCALITA' : Faeto -C.da S. Vito-Ciuccia - (FG)

CANTIERE : Parco Eolico

Sondaggio N. E 1

Campione N. 3

Profondità m. 13,10-13,60



GHIAIA	SABBIA	LIMO	ARGILLA
W	W	48%	52%

DEFINIZIONE GRANULOMETRICA:

Argilla e Limo

IL TECNICO del LABORATORIO
Dott. Geol. Stefano Finamore

IL DIRETTORE del LABORATORIO
Dott. Geol. Matteo Di Carlo

LIMITI DI ATTERBERG

COMMITTENTE: Parco Eolico Faeto S.r.l.
LOCALITA': Faeto -C.da S. Vito-Ciuccia - (FG)
CANTIERE: Parco Eolico

Sondaggio: E 1 Campione : 3 Profondità : 13,10-13,60 m.

CONTENUTO NATURALE IN ACQUA = 18,19 %		
---------------------------------------	--	--

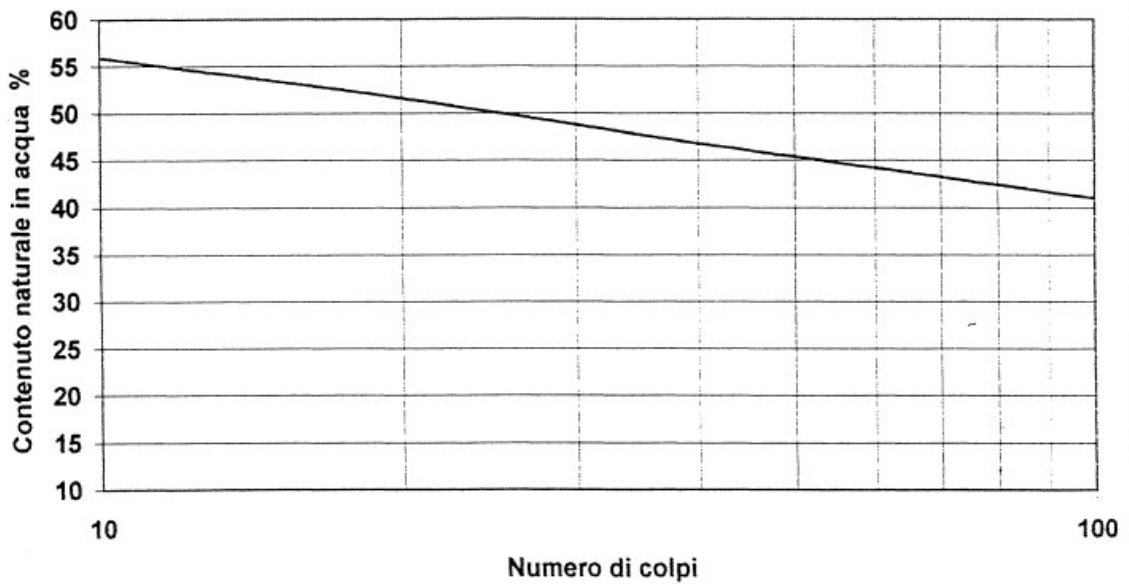
NUMERO CONTENITORE
 NUMERO DI COLPI
 PESO UMIDO + TARA (gr)
 PESO SECCO + TARA (gr)
 TARA (gr)
 CONTENUTO IN ACQUA (gr)
 PESO SECCO (gr)
 CONTENUTO IN ACQUA (%)

LIMITE LIQUIDO	LIMITE PLASTICO
PROVINO n. 1	PROVINO n. 2
4	6
19	40
24,773	24,908
23,559	23,707
21,222	21,141
1,214	1,201
2,337	2,566
51,947	46,804

LIMITE PLASTICO
5
//
26,076
24,906
20,694
1,17
4,212
27,778

RISULTATI

LIMITE LIQUIDO	(LL) =	50,478 %
LIMITE PLASTICO	(LP) =	27,778 %
INDICE DI PLASTICITA'	(IP) =	22,7
INDICE DI CONSISTENZA	(IC) =	1,422



IL TECNICO del LABORATORIO
 Dott. Geol. Stefano Finamore

IL DIRETTORE del LABORATORIO
 Dott. Geol. Matteo Di Carlo

PROVA DI COMPRESSIONE EDOMETRICA

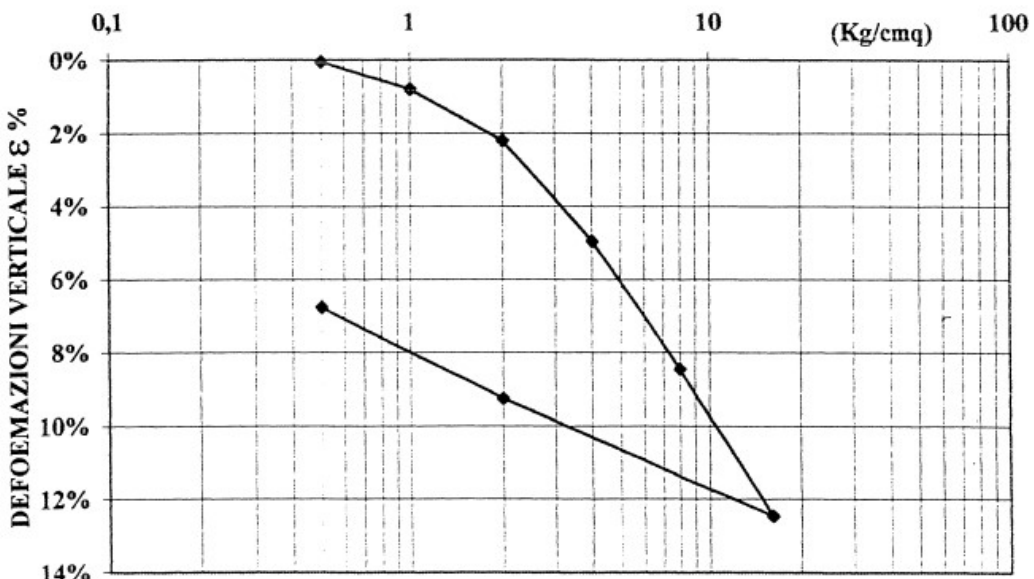
COMMITTENTE: Parco Eolico Faeto S.r.l.
 LOCALITA': Faeto -C.da S. Vito-Ciuccia - (FG)
 CANTIERE: Parco Eolico

Sondaggio: E 1 Campione: 3 Profondità: 13,10-13,60 m.

γ_s g/cm³	γ g/cm³	W %	e	H mm	D mm
2,701	1,963	18,19	0,626	20	50

Pressione Kg/cm²	Cedimenti mm	Cedimenti %	Ind. Pori	Mod Edom Kg/cm³
0,5	0,01	0,05	0,625	\
1	0,16	0,8	0,613	66,63
2	0,44	2,2	0,59	70,86
4	0,99	4,95	0,546	71,13
8	1,689	8,445	0,489	108,78
16	2,491	12,455	0,423	182,65

CURVA CEDIMENTI VERTICALI %-LOGARITMO DEI CARICHI



IL TECNICO DEL LABORATORIO
 Dott. Geol. Stefano Finamore

IL DIRETTORE del LABORATORIO
 Dott. Geol. Matteo Di Carlo

PROVA DI TAGLIO DIRETTO

COMMITTENTE : Parco Eolico Faeto S.r.l.
LOCALITA' : Faeto -C.da S. Vito-Ciuccia - (FG)
CANTIERE : Parco Eolico

Sondaggio N. **E 1** Campione N. **3** Profondità m. **13,10-13,60**

CARATTERISTICHE DELLA PROVA

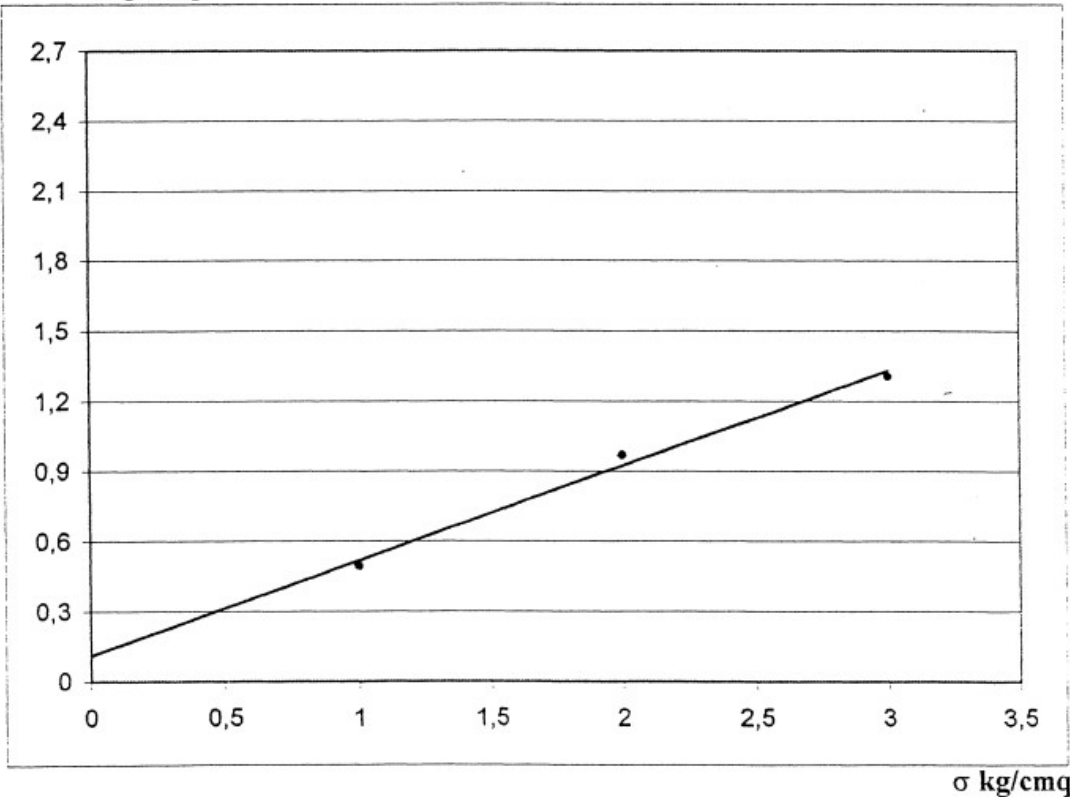
Tipo di prova	CONSOLIDATA DRENATA		
Velocità della prova	mm/min.	0,005	
Costante micr. Cedimenti	mm/segno	0,01	

Provino N	Dimensioni		Consolidamento			Fase di rottura		
	H mm	D - L mm	σ kg/cmq	ΔH mm	T ore	σ kg/cmq	δf mm	τ kg/cmq
1	30	60	1	1,15	24	1	0,9	0,494
2	30	60	2	1,68	48	2	1,64	0,969
3	30	60	3	1,89	72	3	1,65	1,306

$$\Phi = 22,11^\circ$$

$$C = 0,1110 \text{ kg/cmq}$$

τ kg/cmq



IL TECNICO del LABORATORIO
Dott. Geol. Stefano Finamore

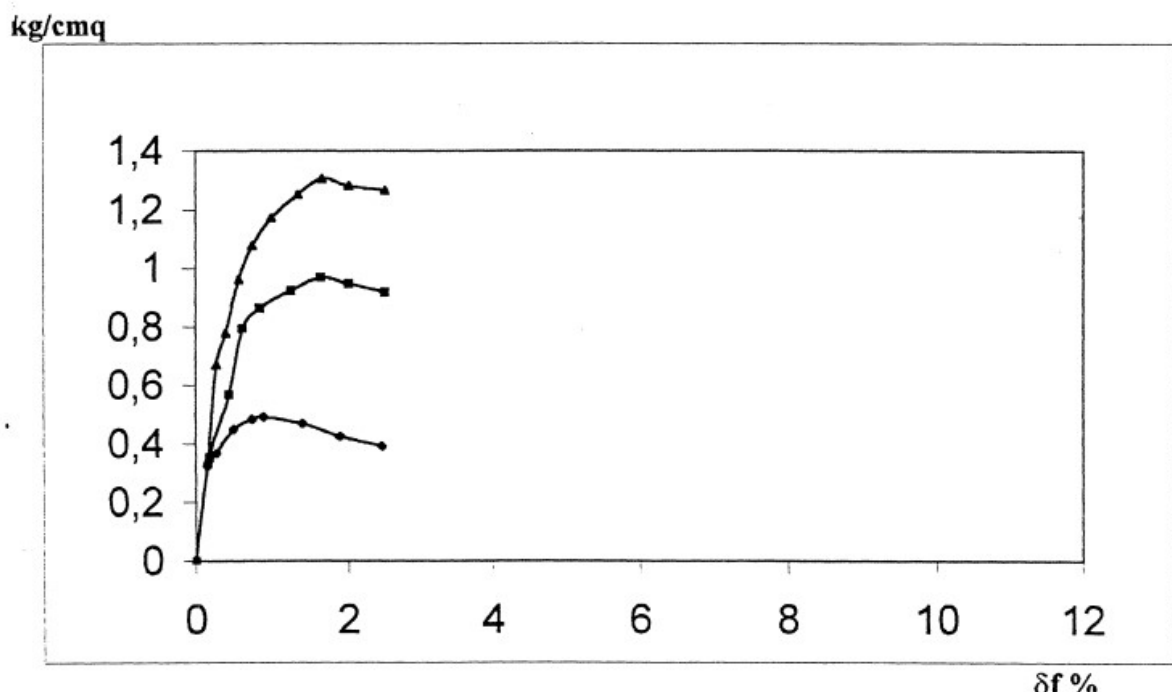
IL DIRETTORE del LABORATORIO
Dott. Geol. Matteo Di Carlo

PROVA DI TAGLIO DIRETTO

COMMITTENTE : Parco Eolico Faeto S.r.l.
LOCALITA' : Faeto -C.da S. Vito-Ciuccia - (FG)
CANTIERE : Parco Eolico

Iondaggio N. E 1 Campione N. 3 Profondità m. 13,10-13,60

CURVE SFORZI/DEFORMAZIONI



IL TECNICO del LABORATORIO
Dott. Geol. Stefano Finamore

IL DIRETTORE del LABORATORIO
Dott. Geol. Matteo Di Carlo

GeoSveva

**Laboratorio Analisi Geotecniche
del Dott. Geol. Matteo Di Carlo**

viale Virgilio c.n.
71036 LUCERA (FG)
tel. 0881 545447

COMMITTENTE : Parco Elico Faeto S.r.l.

LOCALITA' : Faeto -C.da S. Vito-Ciuccia - (FG)

CANTIERE : Parco Elico

SONDAGGIO : S E 5 CAMPIONE : C 1 PROFONDITA' : m. 4

Peso specifico dei grani	γ_s =	2,678	gr/cm ³
Peso di volume	γ =	1,942	gr/cm ³
Contenuto naturale in acqua	w =	16,146	%
Peso secco	γ_d =	1,672	gr/cm ³
Indice dei pori	e =	0,602	
Porosità	n =	37,564	%
Grado di saturazione	S _r =	71,868	%

IL TECNICO DEL LABORATORIO
Dott. Geol. Stefano Finamore

IL DIRETTORE del LABORATORIO
Dott. Geol. Matteo Di Carlo

PROVA DI COMPRESSIONE EDOMETRICA

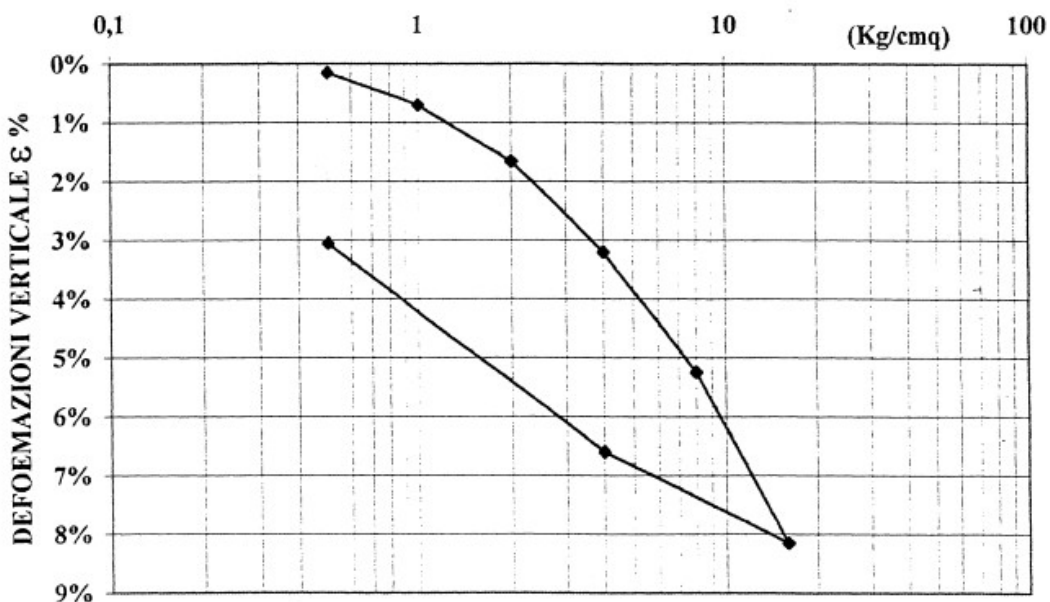
OMMITTENTE: Parco Eolico Faeto S.r.l.
OCALITA': Faeto -C.da S. Vito-Ciuccia- (FG)
CANTIERE: Parco Eolico

Sondaggio: E 5 **Campione :** 1 **Profondità :** 4 m.

γ_s g/cm³	γ g/cm³	W %	e	H mm	D mm
2,678	1,942	16,15	0,602	20	50

Pressione Kg/cm²	Cedimenti mm	Cedimenti %	Ind. Pori	Mod Edom Kg/cm³
0,5	0,03	0,15	0,6	111
1	0,14	0,7	0,591	90,77
2	0,331	1,655	0,575	103,98
4	0,64	3,2	0,551	127,31
8	1,05	5,25	0,518	188,88
16	1,63	8,15	0,471	261,38

CURVA CEDIMENTI VERTICALI %-LOGARITMO DEI CARICHI



IL TECNICO del LABORATORIO
 Dott. Geol. Stefano Finamore

IL DIRETTORE del LABORATORIO
 Dott. Geol. Matteo Di Carlo

PROVA DI TAGLIO DIRETTO

COMMITTENTE : Parco Eolico Faeto S.r.l.
LOCALITA' : Faeto -C.da S. Vito-Ciuccia - (FG)
CANTIERE : Parco Eolico

Sondaggio N. **E 5** Campione N. **1** Profondità m. **4**

CARATTERISTICHE DELLA PROVA

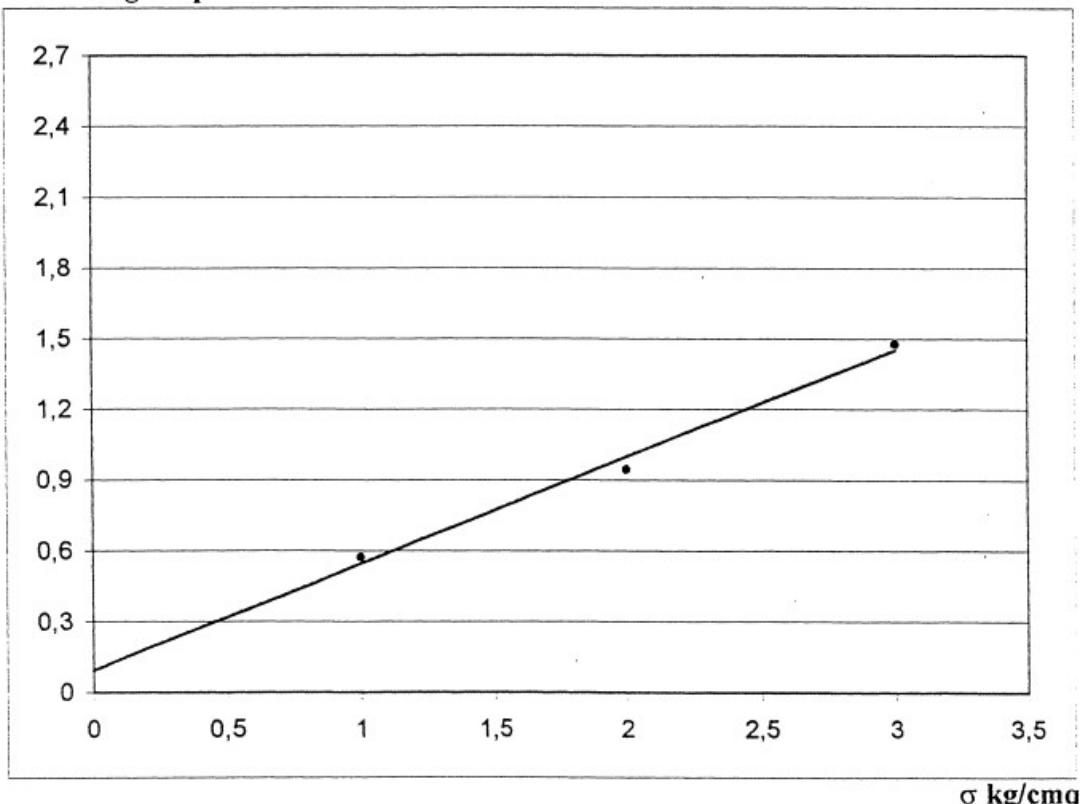
Tipo di prova	CONSOLIDATA DRENATA		
Velocità della prova	mm/min.	0,005	
Costante micr. Cedimenti	mm/segno	0,01	

Provino N	Dimensioni		Consolidamento			Fase di rottura		
	H mm	D - L mm	σ kg/cmq	ΔH mm	T ore	σ kg/cmq	δf mm	τ kg/cmq
1	30	60	1	0,97	24	1	4	0,5724
2	30	60	2	2,51	48	2	4,38	0,945
3	30	60	3	2,95	72	3	3,37	1,4778

$$\Phi = 24,37^\circ$$

$$C = 0,0930 \text{ kg/cmq}$$

τ kg/cmq



IL TECNICO del LABORATORIO
Dott. Geol. Stefano Finamore

IL DIRETTORE del LABORATORIO
Dott. Geol. Matteo Di Carlo

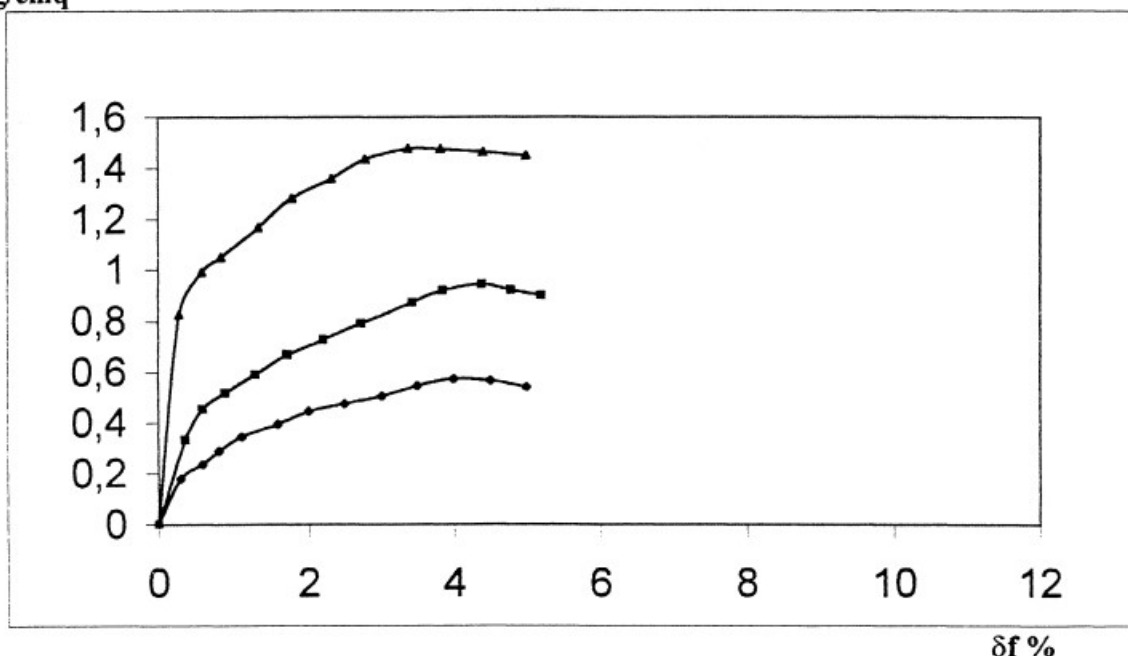
PROVA DI TAGLIO DIRETTO

COMMITTENTE : Parco Eolico Faeto S.r.l.
LOCALITA' : Faeto -C.da S. Vito-Ciuccia - (FG)
CANTIERE : Parco Eolico

Sondaggio N. E 5 Campione N. 1 Profondità m. 4

CURVE SFORZI/DEFORMAZIONI

kg/cmq



IL TECNICO del LABORATORIO
Dott. Geol. Stefano Finamore

IL DIRETTORE del LABORATORIO
Dott. Geol. Matteo Di Carlo

GeoSveva

**Laboratorio Analisi Geotecniche
del Dott. Geol. Matteo Di Carlo**

**viale Virgilio c.n.
71036 LUCERA (FG)
tel. 0881 545447**

COMMITTENTE : Parco Eolico Faeto S.r.l.

LOCALITA' : Faeto -C.da S. Vito-Ciuccia - (FG)

CANTIERE : Parco Eolico

SONDAGGIO : S E 5 CAMPIONE : C 2 PROFONDITA' : m. 9,00-9,50

Peso specifico dei grani γ_s = 2,681 gr/cmc

Peso di volume γ = 1,754 gr/cmc

Contenuto naturale in acqua w = 28,651 %

Peso secco γ_d = 1,363 gr/cmc

Indice dei pori e = 0,966

Porosità n = 49,147 %

Grado di saturazione Sr = 79,481 %

**IL TECNICO IN LABORATORIO
Dott. Geol. Stefano Finamore**

**IL DIRETTORE del LABORATORIO
Dott. Geol. Matteo Di Carlo**

PROVA DI COMPRESSIONE EDOMETRICA

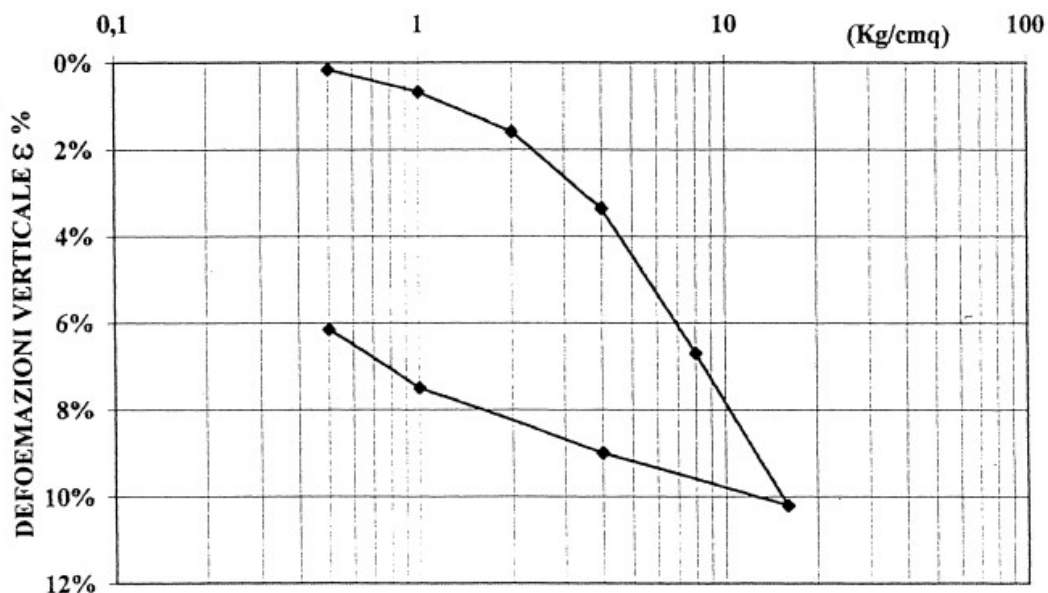
COMMITTENTE: Parco Eolico Faeto S.r.l.
LOCALITA': Faeto -C.da S. Vito-Ciuccia - (FG)
CANTIERE: Parco Eolico

Sondaggio: E 5 Campione : 2 Profondità : 9,00-9,50 m.

γ_s g./cmc	γ g./cmc	W %	e	H mm	D mm
2,681	1,754	28,65	0,966	20	50

Pressione Kg/cmq	Cedimenti mm	Cedimenti %	Ind. Pori	Mod Edom Kg/cmq
0,5	0,033	0,165	0,963	\
1	0,135	0,675	0,953	97,88
2	0,32	1,6	0,935	107,38
4	0,671	3,355	0,9	112,14
8	1,34	6,7	0,834	115,57
16	2,04	10,2	0,765	213,26

CURVA CEDIMENTI VERTICALI %-LOGARITMO DEI CARICHI



IL TECNICO del LABORATORIO
Dott. Geol. Stefano Finamore

IL DIRETTORE del LABORATORIO
Dott. Geol. Matteo Di Carlo

PROVA DI TAGLIO DIRETTO

COMMITTENTE : Parco Eolico Faeto S.r.l.
LOCALITA' : Faeto -C.da S. Vito-Ciuccia - (FG)
CANTIERE : Parco Eolico

Sondaggio N.	E 5	Campione N.	2	Profondità m.	9,00-9,50
--------------	-----	-------------	---	---------------	-----------

CARATTERISTICHE DELLA PROVA

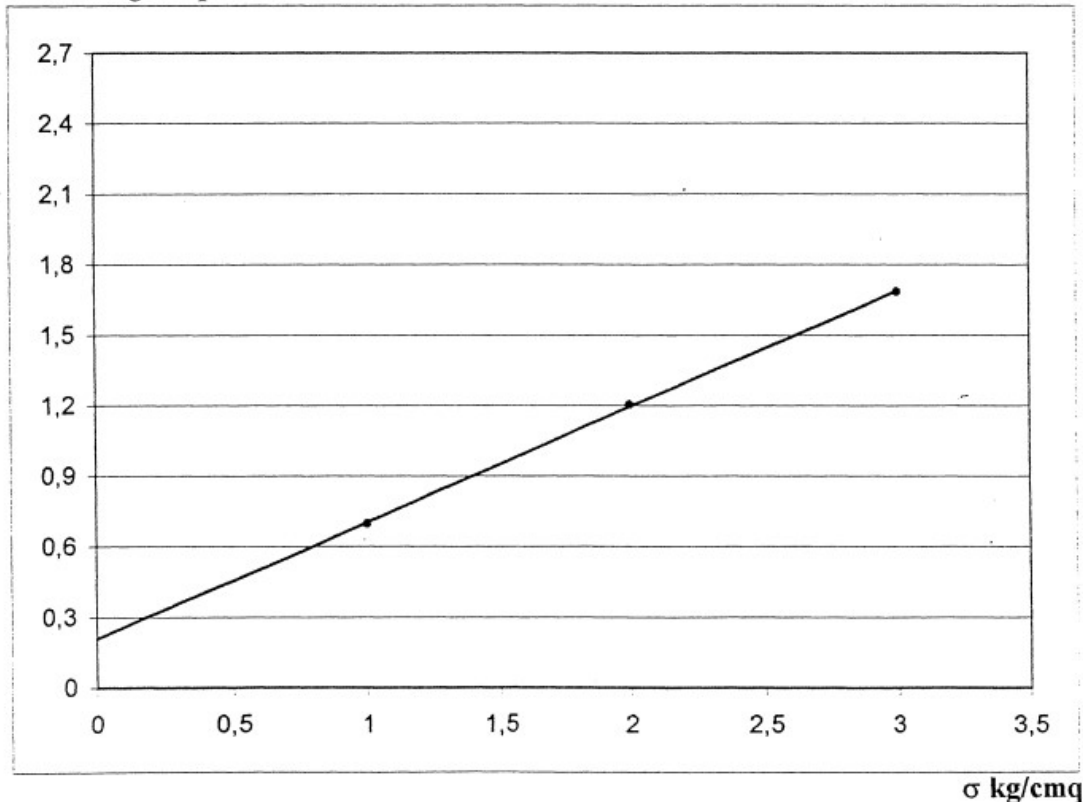
Tipo di prova	CONSOLIDATA DRENATA		
Velocità della prova	mm/min.	0,005	
-Costante micr. Cedimenti	mm/segno	0,01	

Provino N	Dimensioni		Consolidamento			Fase di rottura		
	H mm	D - L mm	σ kg/cmq	ΔH mm	T ore	σ kg/cmq	δf mm	τ kg/cmq
1	20	60	1	1,69	24	1	2,02	0,698
2	20	60	2	2,21	48	2	2,48	1,205
3	20	60	3	2,91	72	3	2,32	1,685

$$\Phi = 26,28^\circ$$

$$C = 0,2090 \text{ kg/cmq}$$

τ kg/cmq



IL TECNICO del LABORATORIO
Dott. Geol. Stefano Finamore

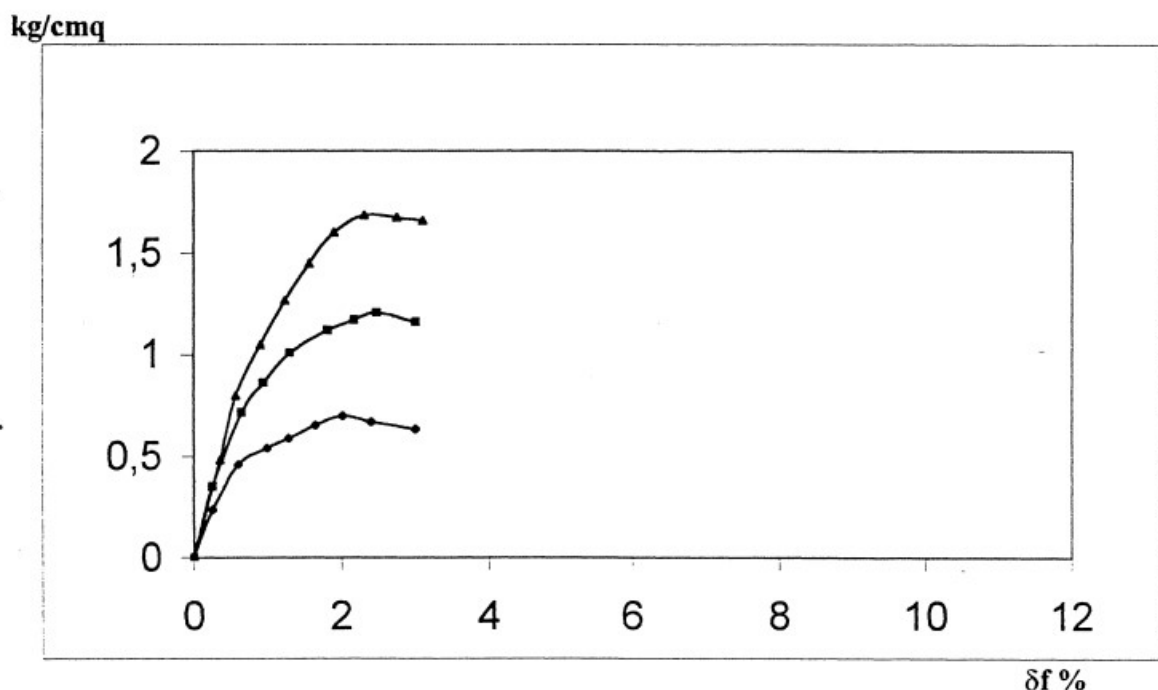
IL DIRETTORE del LABORATORIO
Dott. Geol. Matteo Di Carlo

PROVA DI TAGLIO DIRETTO

COMMITTENTE : Parco Eolico Faeto S.r.l.
LOCALITA' : Faeto -C.da S. Vito-Ciuccia - (FG)
CANTIERE : Parco Eolico

Sondaggio N. E 5 Campione N. 2 Profondità m. 9,00-9,50

CURVE SFORZI/DEFORMAZIONI



IL TECNICO del LABORATORIO
Dott. Geol. Stefano Finamore

IL DIRETTORE del LABORATORIO
Dott. Geol. Matteo Di Carlo

GeoSveva

**Laboratorio Analisi Geotecniche
del Dott. Geol. Matteo Di Carlo**

viale Virgilio c.n.
71036 LUCERA (FG)
tel. 0881 545447

COMMITTENTE : Parco Eolico Faeto S.r.l.

LOCALITA' : Faeto -C.da S. Vito-Ciuccia - (FG)

CANTIERE : Parco Eolico

SONDAGGIO : S E 8 CAMPIONE : C 1 PROFONDITA' : m. 4,00-4,50

Peso specifico dei grani γ_s = 2,689 gr/cm³

Peso di volume γ = 1,887 gr/cm³

Contenuto naturale in acqua w = 26,549 %

Peso secco γ_d = 1,491 gr/cm³

Indice dei pori e = 0,803

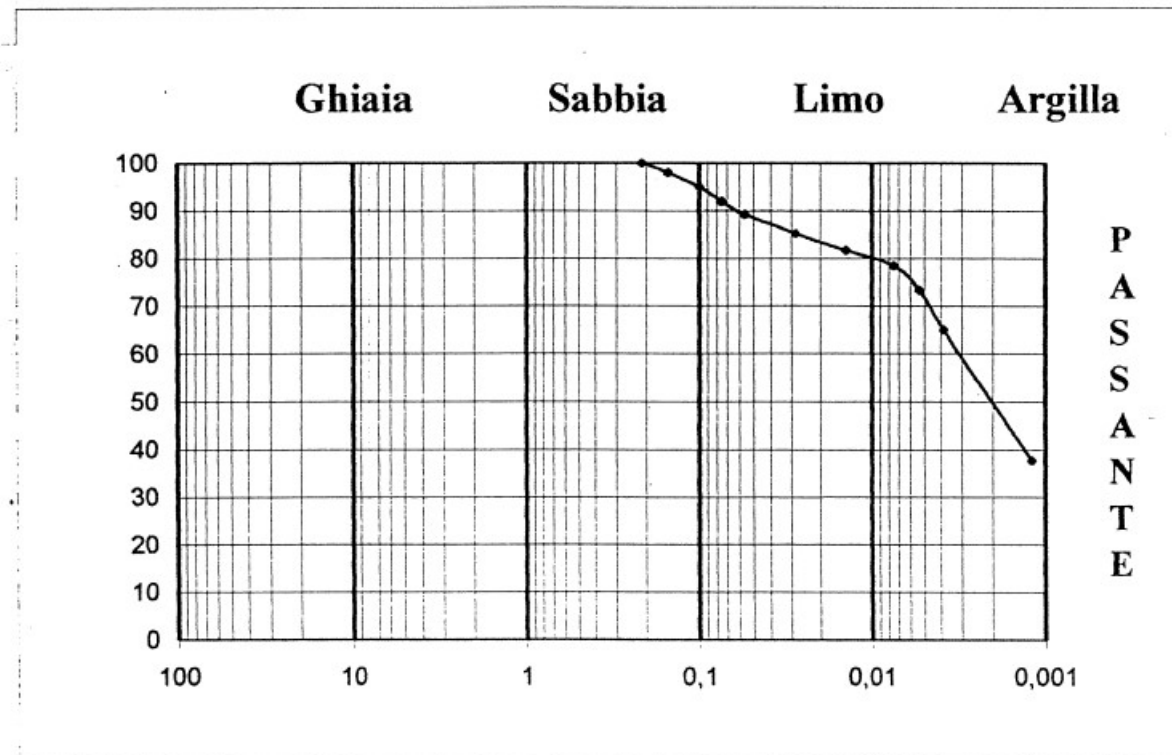
Porosità n = 44,547 %

Grado di saturazione Sr = 88,867 %

PROVA GRANULOMETRICA

COMMITTENTE : Parco Eolico Faeto S.r.l.
LOCALITA' : Faeto -C.da S. Vito-Ciuccia - (FG)
CANTIERE : Parco Eolico

Sondaggio N. E 8 Campione N. 1 Profondità m. 4,00-4,50



GHIAIA	SABBIA	LIMO	ARGILLA
W	10%	40%	50%

DEFINIZIONE GRANULOMETRICA:

Argilla con Limo deb. Sabbiosa

IL TECNICO del LABORATORIO
Dott. Geol. Stefano Finamore

IL DIRETTORE del LABORATORIO
Dott. Geol. Matteo Di Carlo

LIMITI DI ATTERBERG

COMMITTENTE: Parco Eolico Faeto S.r.l.
LOCALITA': Faeto -C.da S. Vito-Ciuccia - (FG)
CANTIERE: Parco Eolico

Sondaggio: **E 8** Campione : **1** Profondità : **4,00-4,50 m.**

CONTENUTO NATURALE IN ACQUA = 26,55 %

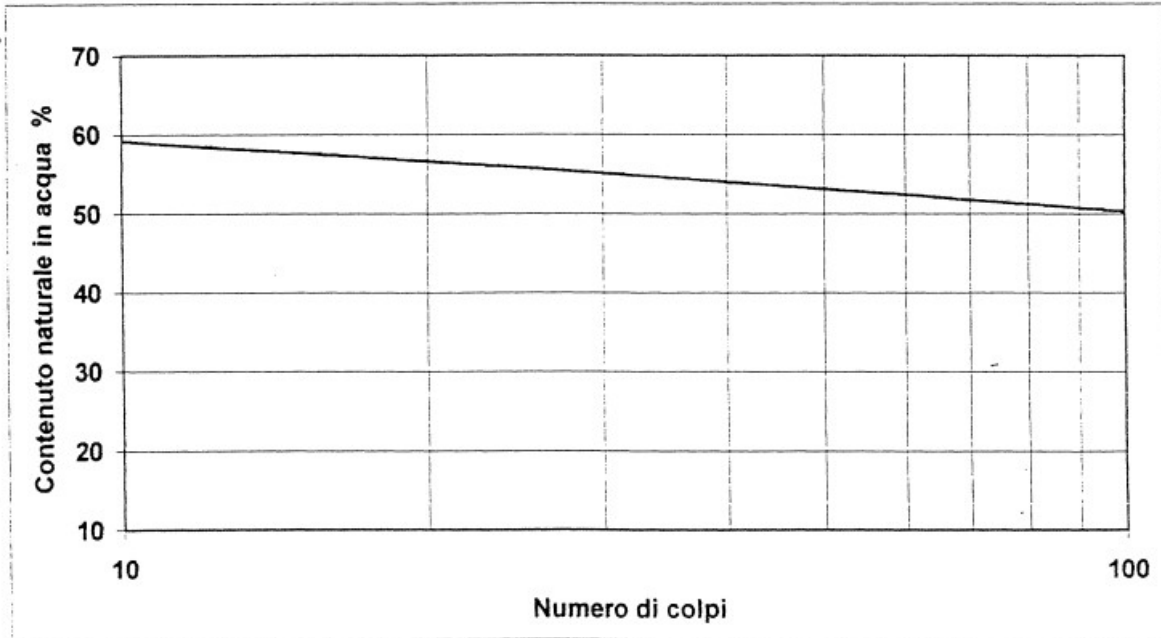
NUMERO CONTENITORE
 NUMERO DI COLPI
 PESO UMIDO + TARA (gr)
 PESO SECCO + TARA (gr)
 TARA (gr)
 CONTENUTO IN ACQUA (gr)
 PESO SECCO (gr)
 CONTENUTO IN ACQUA (%)

LIMITE LIQUIDO	
PROVINO n. 1	PROVINO n. 2
1	4
12	35
24,503	24,515
23,126	23,109
20,771	20,532
1,377	1,406
2,355	2,577
58,471	54,56

LIMITE PLASTICO
71
//
24,421
23,535
20,772
0,886
2,763
32,067

RISULTATI

LIMITE LIQUIDO	(LL) =	56,26 %
LIMITE PLASTICO	(LP) =	32,067 %
INDICE DI PLASTICITA'	(IP) =	24,194
INDICE DI CONSISTENZA	(IC) =	1,228



IL TECNICO del LABORATORIO
Dott. Geol. Stefano Finamore

IL DIRETTORE del LABORATORIO
Dott. Geol. Matteo Di Carlo

PROVA ESPANSIONE LATERALE LIBERA

COMMITTENTE : Parco Eolico Faeto S.r.l.
LOCALITA' : Faeto -C.da S. Vito-Ciuccia - (FG)
CANTIERE : Parco Eolico

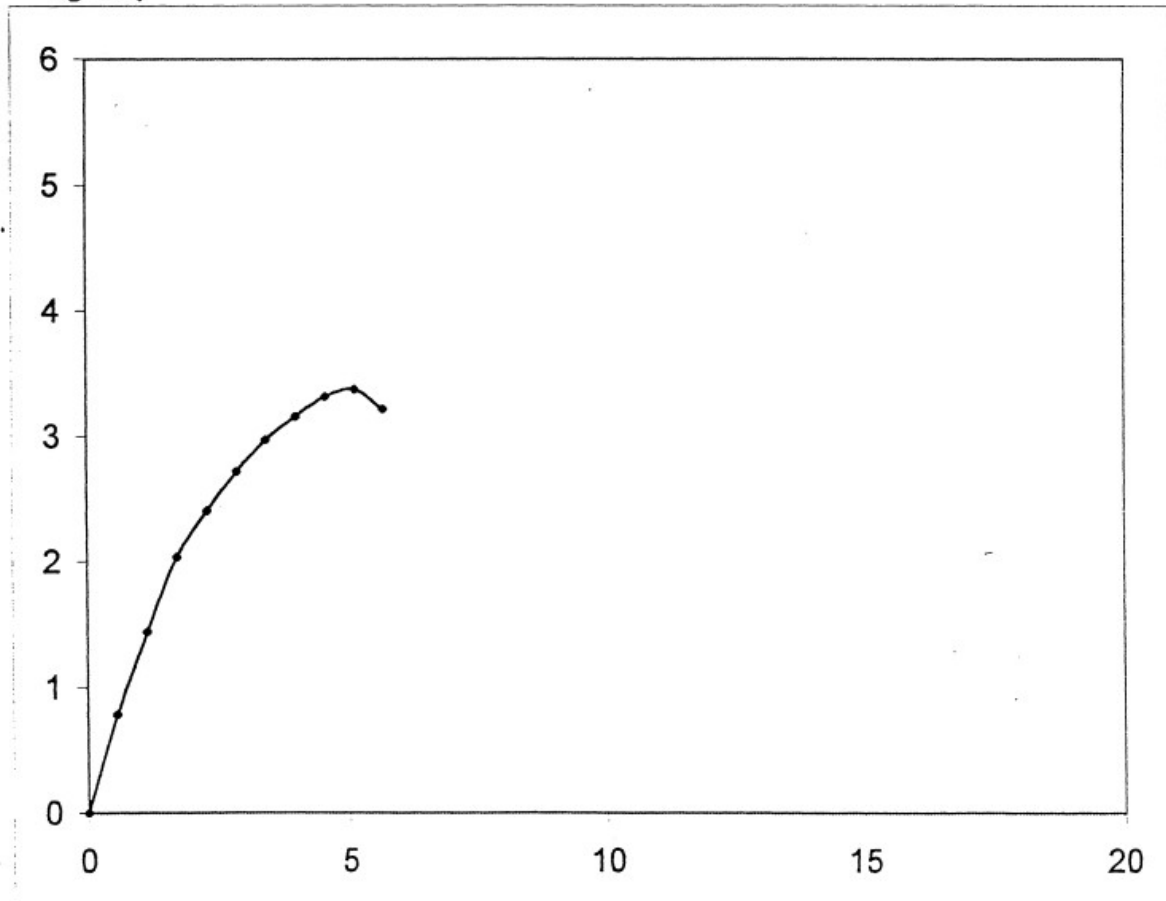
Sondaggio N. E 8 Campione N. 1 Profondità m. 4,00-4,50

Velocità della pressa = 1,270 mm/min.

Ef = Modulo di Young non drenato (secante a rottura)

Provino N	Dime nsioni			Fase di rottura		
	D cm	H cm	Ef kg/cmq	σ kg/cmq	δf %	Cu kg/cmq
1	8,3	17,5	65,57	3,372	5,14	1,69

kg/cmq



IL TECNICO del LABORATORIO
Dott. Geol. Stefano Finamore

IL DIRETTORE del LABORATORIO
Dott. Geol. Matteo Di Carlo

PROVA DI COMPRESSIONE EDOMETRICA

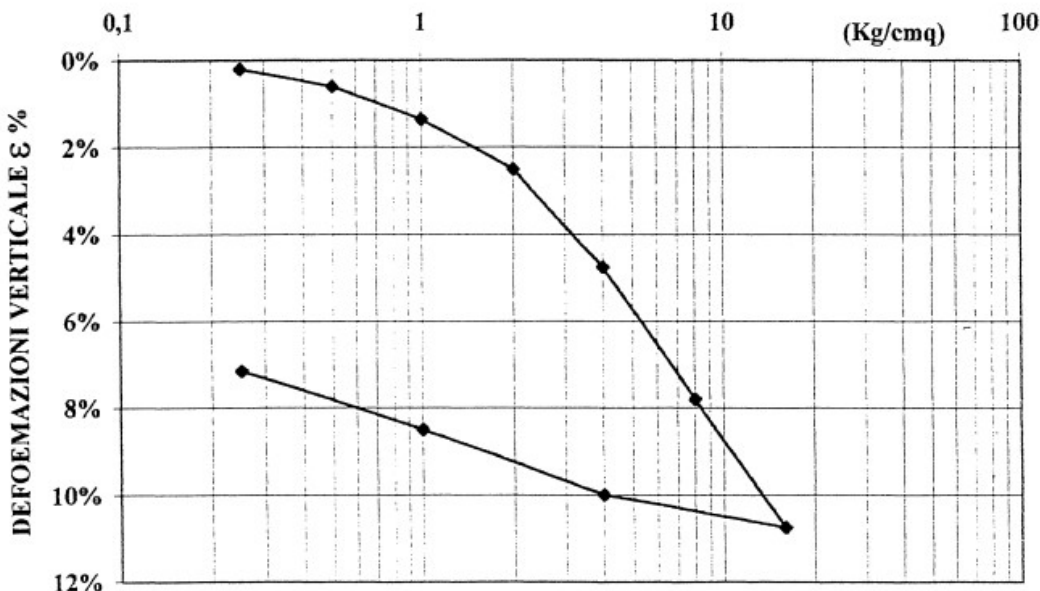
COMMITTENTE: Parco Eolico Faeto S.r.l.
LOCALITA': Faeto -C.da S. Vito-Ciuccia - (FG)
CANTIERE: Parco Eolico

Sondaggio: **E 8** Campione : **1** Profondità : **4,00-4,50 m.**

γ_s g./cmc	γ g./cmc	W %	e	H mm	D mm
2,689	1,887	26,55	0,803	20	50

Pressione Kg/cmq	Cedimenti mm	Cedimenti %	Ind. Pori	Mod Edom Kg/cmq
0,25	0,04	0,2	0,799	W
0,5	0,12	0,6	0,792	62,38
1	0,27	1,35	0,779	66,27
2	0,501	2,505	0,758	85,41
4	0,95	4,75	0,717	86,86
8	1,56	7,8	0,662	124,92
16	2,15	10,75	0,609	250,03

CURVA CEDIMENTI VERTICALI %-LOGARITMO DEI CARICHI



IL TECNICO del LABORATORIO
Dott. Geol. Stefano Finamore

IL DIRETTORE del LABORATORIO
Dott. Geol. Matteo Di Carlo

PROVA DI TAGLIO DIRETTO

COMMITTENTE : Parco Eolico Faeto S.r.l.
LOCALITA' : Faeto -C.da S. Vito-Ciuccia - (FG)
CANTIERE : Parco Eolico

Sondaggio N. **E 8** Campione N. **1** Profondità m. **4,00-4,50**

CARATTERISTICHE DELLA PROVA

Tipo di prova

CONSOLIDATA DRENATA

Velocità della prova

mm/min. **0,005**

Costante micr. Cedimenti

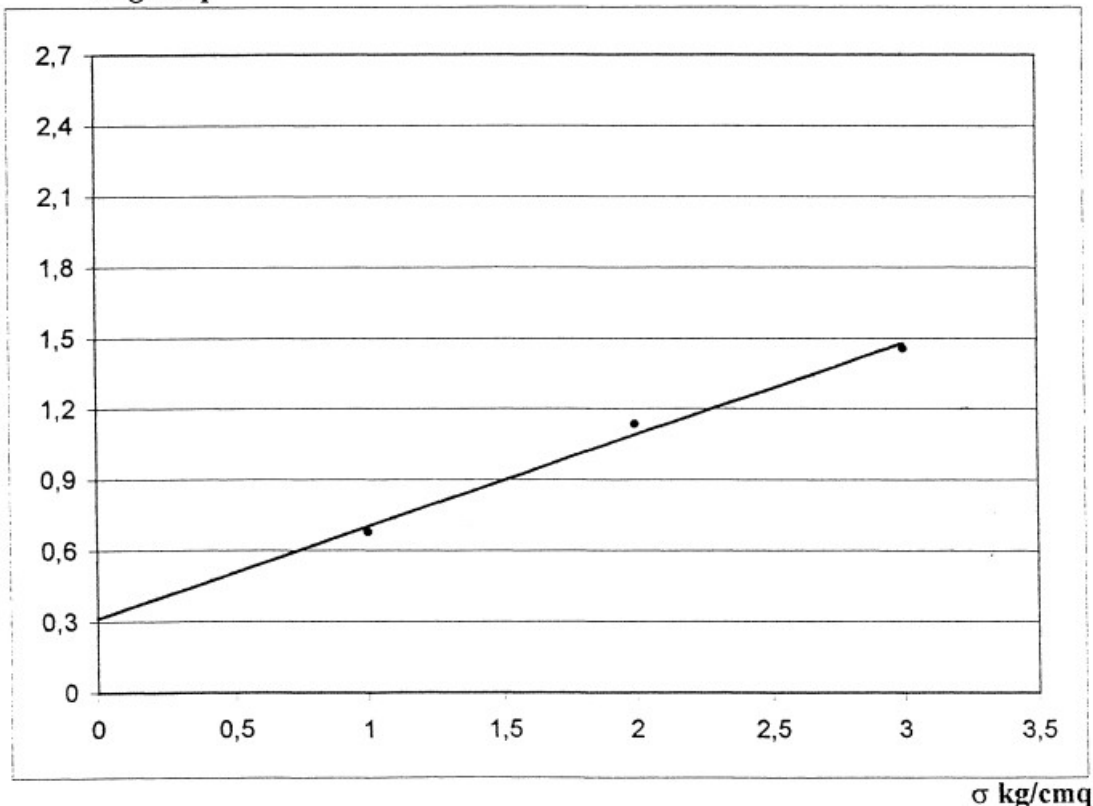
mm/segno **0,01**

Provino N	Dimensioni		Consolidamento			Fase di rottura		
	H mm	D - L mm	σ kg/cmq	ΔH mm	T ore	σ kg/cmq	δf mm	τ kg/cmq
1	20	60	1	1,35	24	1	2,6	0,68
2	20	60	2	1,73	48	2	1,56	1,137
3	20	60	3	2,03	72	3	2,21	1,457

$$\Phi = 21,24^\circ$$

$$C = 0,3143 \text{ kg/cmq}$$

τ kg/cmq



IL TECNICO del LABORATORIO
Dott. Geol. Stefano Finamore

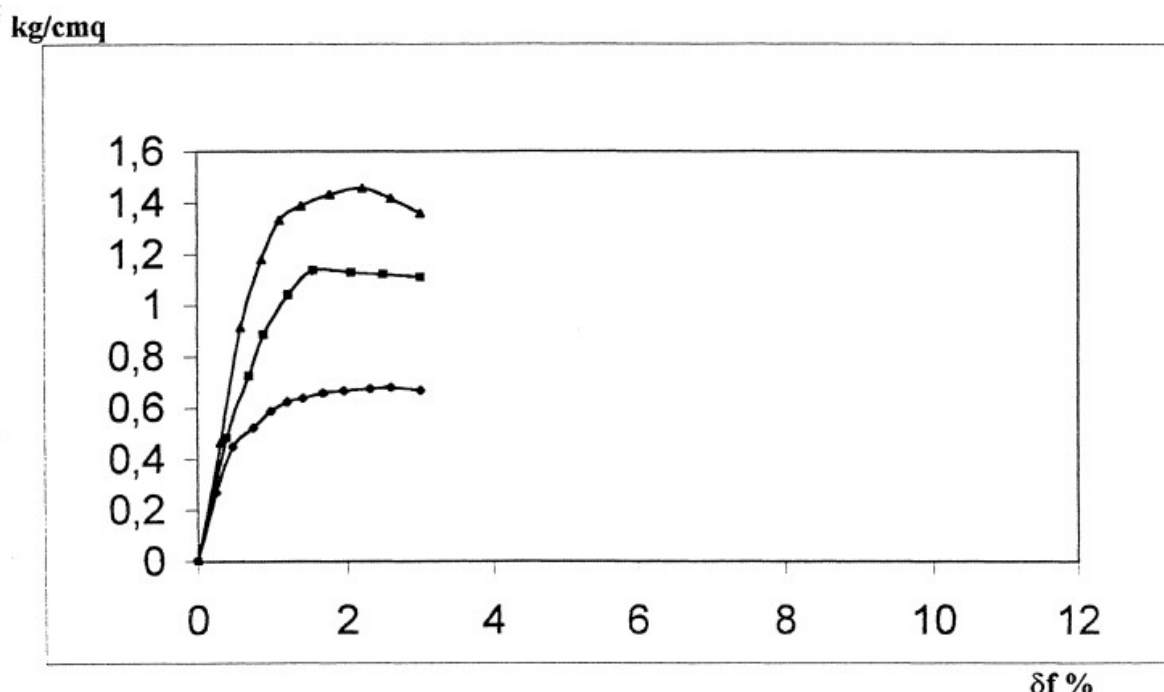
IL DIRETTORE del LABORATORIO
Dott. Geol. Matteo Di Carlo

PROVA DI TAGLIO DIRETTO

COMMITTENTE : Parco Eolico Faeto S.r.l.
LOCALITA' : Faeto -C.da S. Vito-Ciuccia - (FG)
CANTIERE : Parco Eolico

Sondaggio N. E 8 Campione N. 1 Profondità m. 4,00-4,50

CURVE SFORZI/DEFORMAZIONI



GeoSveva

**Laboratorio Analisi Geotecniche
del Dott. Geol. Matteo Di Carlo**

viale Virgilio c.n.
71036 LUCERA (FG)
tel. 0881 545447

COMMITTENTE : Parco Eolico Faeto S.r.l.

LOCALITA' : Faeto -C.da S. Vito-Ciuccia - (FG)

CANTIERE : Parco Eolico

SONDAGGIO : S E 8 CAMPIONE : C 2 PROFONDITA' : m. 8,00-8,50

Peso specifico dei grani γ_s = 2,682 gr/cm³

Peso di volume γ = 1,836 gr/cm³

Contenuto naturale in acqua w = 37,7 %

Peso secco γ_d = 1,333 gr/cm³

Indice dei pori e = 1,012

Porosità n = 50,286 %

Grado di saturazione Sr = 99,962 %

IL TECNICO del LABORATORIO
Dott. Geol. Stefano Finamore

IL DIRETTORE del LABORATORIO
Dott. Geol. Matteo Di Carlo

PROVA ESPANSIONE LATERALE LIBERA

COMMITTENTE : Parco Eolico Faeto S.r.l.
LOCALITA' : Faeto -C.da S. Vito-Ciuccia - (FG)
CANTIERE : Parco Eolico

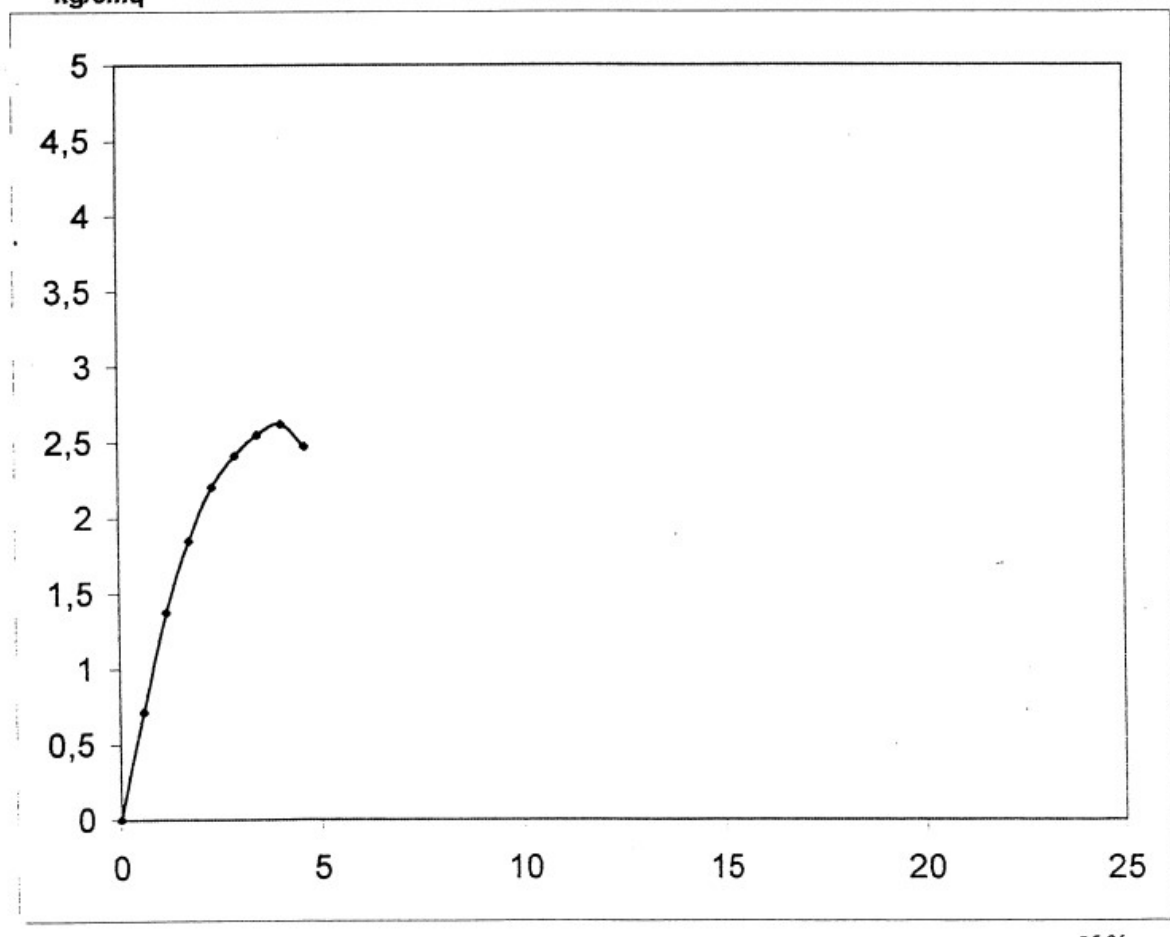
Sondaggio N. **E 8** Campione N. **2** Profondità m. **8,00-8,50**

Velocità della pressa = 1,270 mm/min.

E_f = Modulo di Young non drenato (secante a rottura)

Provino	Dime nsioni		Fase di rottura			
	N	D cm	H cm	E_f kg/cmq	σ kg/cmq	δ_f %
1		8,5	17,2	64,44	2,622	4,07
						1,31

kg/cmq



IL TECNICO del LABORATORIO
 Dott. Geol. Stefano Finamore

IL DIRETTORE del LABORATORIO
 Dott. Geol. Matteo Di Carlo

GeoSveva

Laboratorio Analisi Geotecniche
del Dott. Geol. Matteo Di Carlo

viale Virgilio c.n.

71036 LUCERA (FG)

tel. 0881 545447

COMMITTENTE : Parco Eolico Faeto S.r.l.

LOCALITA' : Faeto -C.da S. Vito-Ciuccia - (FG)

CANTIERE : Parco Eolico

SONDAGGIO : S E 8 CAMPIONE : C 3 PROFONDITA' : m. 12,50-13,00

Peso specifico dei grani γ_s = 2,686 gr/cm³

Peso di volume γ = 1,879 gr/cm³

Contenuto naturale in acqua w = 33,66 %

Peso secco γ_d = 1,406 gr/cm³

Indice dei pori e = 0,911

Porosità n = 47,662 %

Grado di saturazione Sr = 99,282 %

IL TECNICO del LABORATORIO
Dott. Geol. Stefano Finamore

IL DIRETTORE del LABORATORIO
Dott. Geol. Matteo Di Carlo

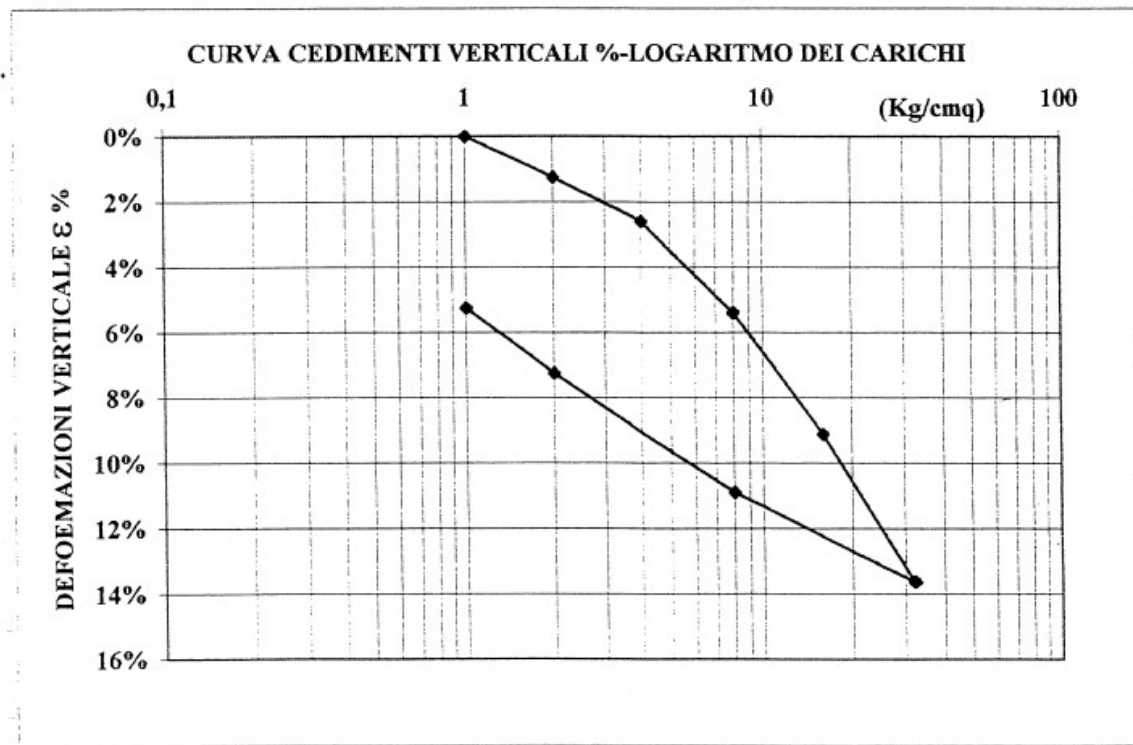
PROVA DI COMPRESSIONE EDOMETRICA

COMMITTENTE: Parco Eolico Faeto S.r.l.
 LOCALITA': Faeto -C.da S. Vito-Ciuccia - (FG)
 CANTIERE: Parco Eolico

Sondaggio: E 8 Campione: 3 Profondità: 12,50-13,00 m.

γ_s g/cm³	γ g/cm³	W %	e	H mm	D mm
2,685	1,916	26,94	0,779	20	50

Pressione Kg/cm²	Cedimenti mm	Cedimenti %	Ind. Pori	Mod Edom Kg/cm³
1	0	0	0,779	W
2	0,252	1,26	0,757	79,37
4	0,52	2,6	0,733	147,37
8	1,08	5,4	0,683	139,14
16	1,823	9,115	0,617	203,71
32	2,725	13,625	0,537	322,43



IL TECNICO del LABORATORIO
 Dott. Geol. Stefano Finamore

IL DIRETTORE del LABORATORIO
 Dott. Geol. Matteo Di Carlo

PROVA DI TAGLIO DIRETTO

COMMITTENTE :	Parco Eolico Faeto S.r.l.
LOCALITA' :	Faeto -C.da S. Vito-Ciuccia - (FG)
CANTIERE :	Parco Eolico

Sondaggio N.	E 8	Campione N.	3	Profondità m.	12,50-13,00
--------------	------------	-------------	----------	---------------	--------------------

CARATTERISTICHE DELLA PROVA

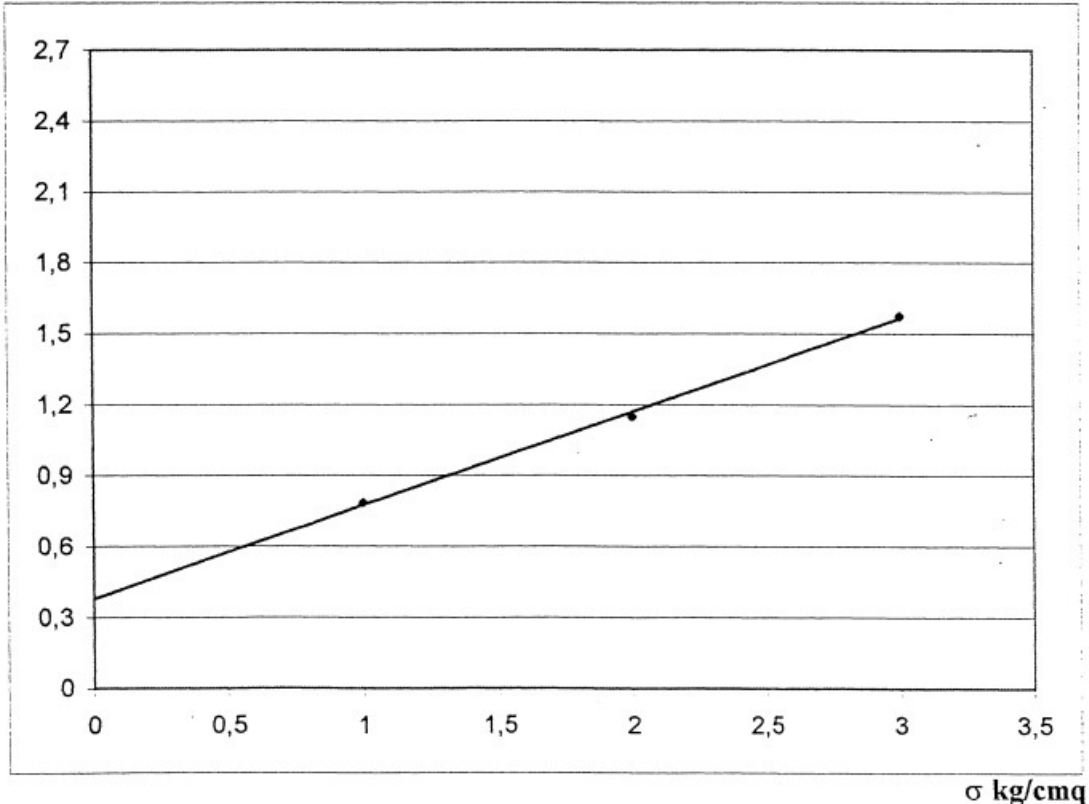
Tipo di prova	CONSOLIDATA DRENATA		
/ velocità della prova	mm/min.	0,005	
Costante micr. Cedimenti	mm/segno	0,01	

Provino N	Dimensioni		Consolidamento			Fase di rottura		
	H mm	D - L mm	σ kg/cmq	ΔH mm	T ore	σ kg/cmq	δf mm	τ kg/cmq
1	30	60	1	0,56	24	1	1,46	0,785
2	30	60	2	2,45	48	2	3	1,149
3	30	60	3	2,93	72	3	3,15	1,576

$$\Phi = 21,59^\circ$$

$$C = 0,3790 \text{ kg/cmq}$$

τ kg/cmq



IL TECNICO del LABORATORIO
Dott. Geol. Stefano Finamore

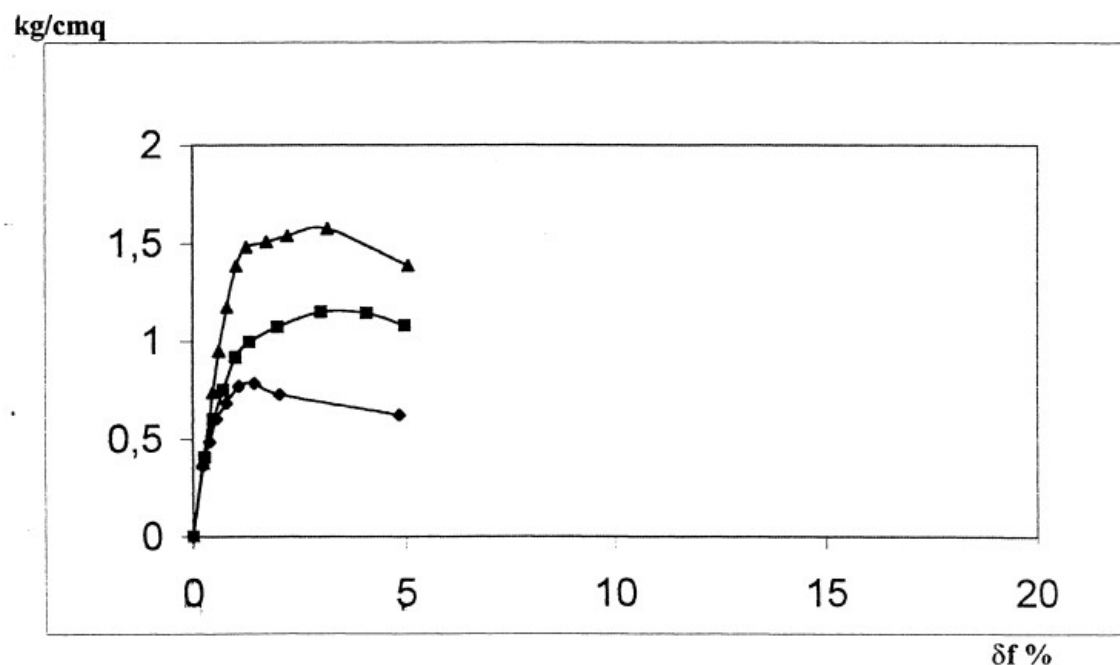
IL DIRETTORE del LABORATORIO
Dott. Geol. Matteo Di Carlo

PROVA DI TAGLIO DIRETTO

COMMITTENTE : Parco Eolico Faeto S.r.l.
LOCALITA' : Faeto -C.da S. Vito-Ciuccia - (FG)
CANTIERE : Parco Eolico

Sondaggio N. E 8 Campione N. 3 Profondità m. 12,50-13,00

CURVE SFORZI/DEFORMAZIONI



GeoSveva

**Laboratorio Analisi Geotecniche
del Dott. Geol. Matteo Di Carlo**

viale Virgilio c.n.
71036 LUCERA (FG)
tel. 0881 545447

COMMITTENTE : Parco Eolico Faeto S.r.l.

LOCALITA' : Faeto -C.da S. Vito-Ciuccia - (FG)

CANTIERE : Parco Eolico

SONDAGGIO : S E 9 CAMPIONE : C 1 PROFONDITA' : m. 2,40-2,90

Peso specifico dei grani γ_s = 2,678 gr/cm³

Peso di volume γ = 2,028 gr/cm³

Contenuto naturale in acqua w = 19,745 %

Peso secco γ_d = 1,694 gr/cm³

Indice dei pori e = 0,581

Porosità n = 36,759 %

Grado di saturazione Sr = 90,972 %

PROVA ESPANSIONE LATERALE LIBERA

COMMITTENTE :	Parco Eolico Faeto S.r.l.
LOCALITA' :	Faeto -C.da S. Vito-Ciuccia - (FG)
CANTIERE :	Parco Eolico

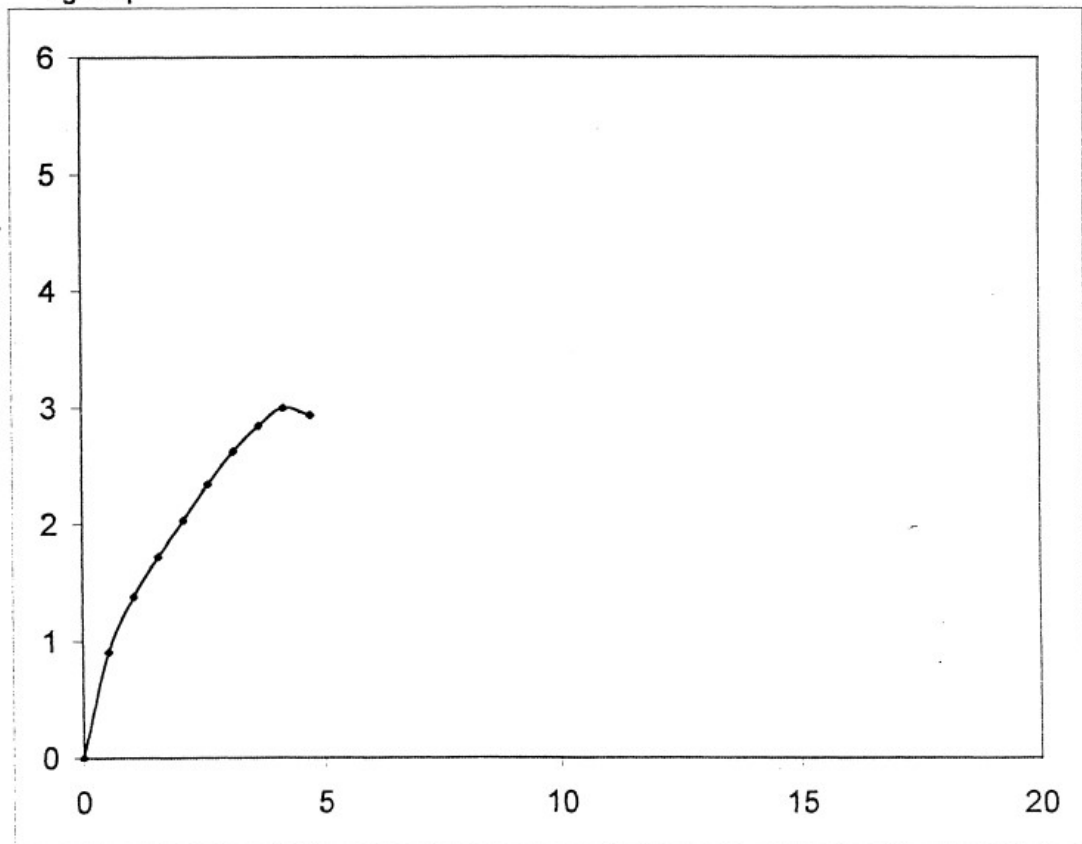
Sondaggio N. E 9	Campione N. 1	Profondità m. 2,40-2,90
------------------	---------------	-------------------------

Velocità della pressa = 1,270 mm/min.

Ef = Modulo di Young non drenato (secante a rottura)

Provino N	Dime nsioni			Fase di rottura		
	D cm	H cm	Ef kg/cmq	σ kg/cmq	δf %	Cu kg/cmq
1	8,3	19	71,24	2,999	4,21	1,5

kg/cmq



IL TECNICO del LABORATORIO
Dott. Geol. Stefano Finamore

IL DIRETTORE del LABORATORIO
Dott. Geol. Matteo Di Carlo

δf %

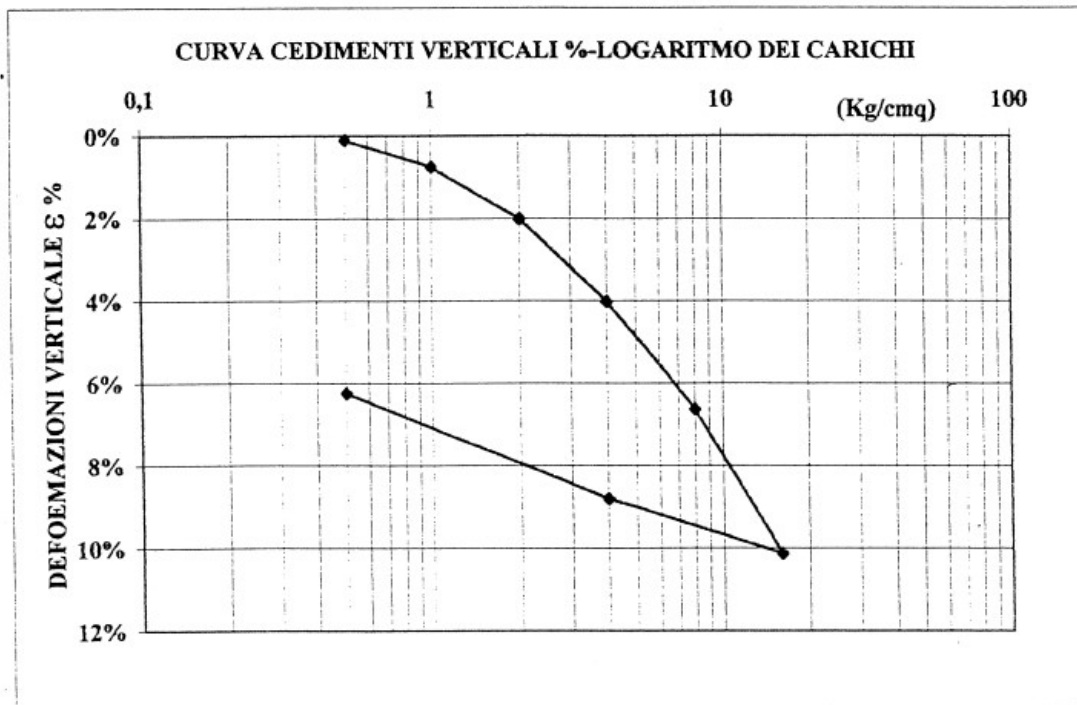
PROVA DI COMPRESSIONE EDOMETRICA

COMMITTENTE: Parco Eolico Faeto S.r.l.
LOCALITA': Faeto -C.da S. Vito-Ciuccia - (FG)
CANTIERE: Parco Eolico

Sondaggio: E 9 Campione: 1 Profondità: 2,40-2,90 m.

γ_s g/cm³	γ g/cm³	W %	e	H mm	D mm
2,678	2,028	19,74	0,581	20	50

Pressione Kg/cm²	Cedimenti mm	Cedimenti %	Ind. Pori	Mod Edom Kg/cm³
0,5	0,02	0,1	0,579	\\"
1	0,15	0,75	0,569	76,85
2	0,405	2,025	0,549	77,84
4	0,805	4,025	0,517	97,98
8	1,325	6,625	0,476	147,65
16	2,025	10,125	0,421	213,43



IL TECNICO del LABORATORIO
Dott. Geol. Stefano Finamore

IL DIRETTORE del LABORATORIO
Dott. Geol. Matteo Di Carlo

PROVA DI TAGLIO DIRETTO

COMMITTENTE : Parco Eolico Faeto S.r.l.
LOCALITA' : Faeto -C.da S. Vito-Ciuccia - (FG)
CANTIERE : Parco Eolico

Sondaggio N. **E 9** Campione N. **1** Profondità m. **2,40-2,90**

CARATTERISTICHE DELLA PROVA

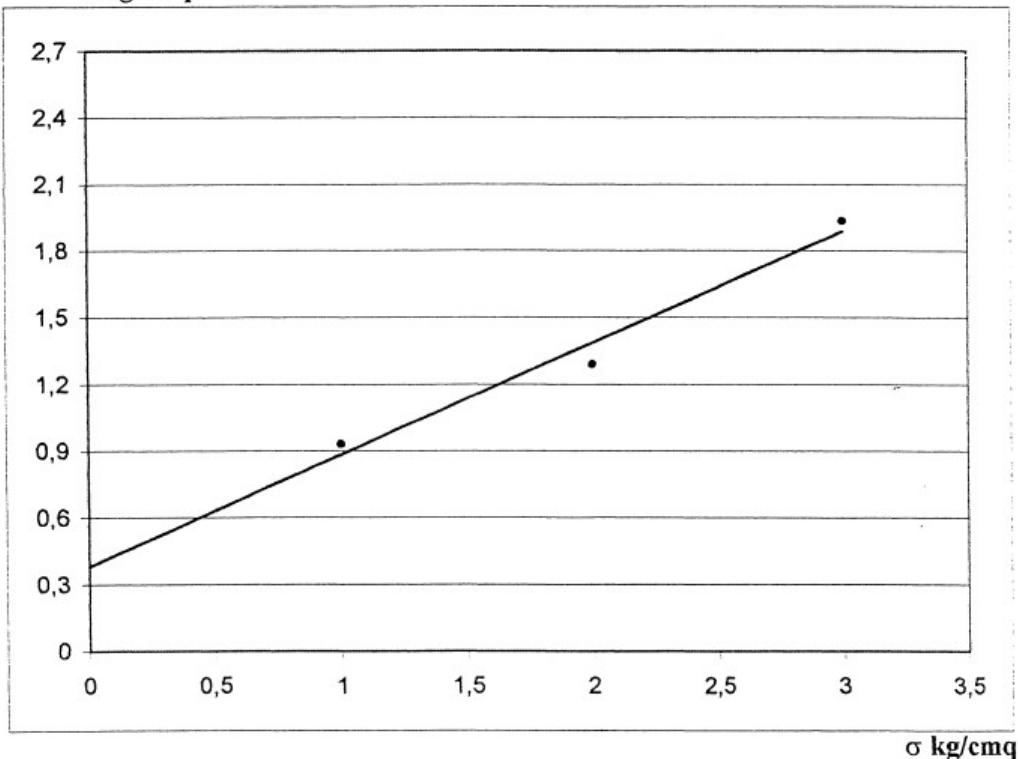
Tipo di prova	CONSOLIDATA DRENATA	
	mm/min.	0,005
Velocità della prova	mm/segno	0,01
Costante micr. Cedimenti		

Provino N	Dimensioni		Consolidamento			Fase di rottura		
	H mm	D - L mm	σ kg/cmq	ΔH mm	T ore	σ kg/cmq	δf mm	τ kg/cmq
1	30	60	1	0,75	24	1	2,77	0,93
2	30	60	2	1,94	48	2	3,75	1,29
3	30	60	3	2,46	72	3	2,9	1,936

$$\Phi = 26,72^\circ$$

$$C = 0,3793 \text{ kg/cmq}$$

τ kg/cmq



IL TECNICO del LABORATORIO
Dott. Geol. Stefano Finamore

IL DIRETTORE del LABORATORIO
Dott. Geol. Matteo Di Carlo

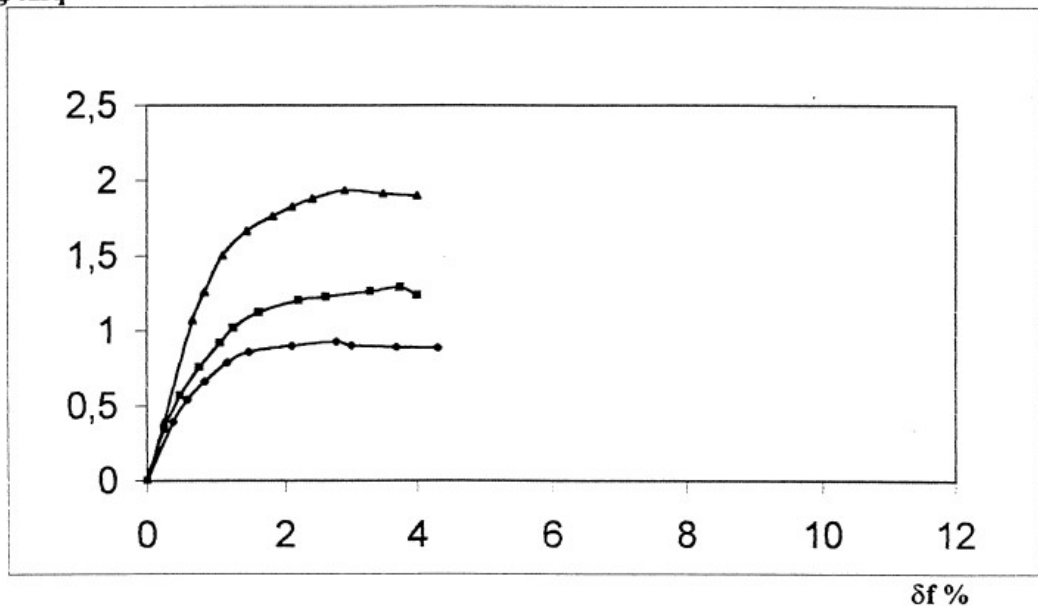
PROVA DI TAGLIO DIRETTO

COMMITTENTE : Parco Eolico Faeto S.r.l.
LOCALITA' : Faeto -C.da S. Vito-Ciuccia - (FG)
CANTIERE : Parco Eolico

Sondaggio N. E 9 Campione N. 1 Profondità m. 2,40-2,90

CURVE SFORZI/DEFORMAZIONI

kg/cm²



GeoSveva

**Laboratorio Analisi Geotecniche
del Dott. Geol. Matteo Di Carlo**

viale Virgilio c.n.
71036 LUCERA (FG)
tel. 0881 545447

COMMITTENTE : Parco Elico Faeto S.r.l.

LOCALITA' : Faeto -C.da S. Vito-Ciuccia - (FG)

CANTIERE : Parco Elico

SONDAGGIO : S E 10 CAMPIONE : C 1 PROFONDITA' : m. 5,00-5,50

Peso specifico dei grani γ_s = 2,689 gr/cmc

Peso di volume γ = 2,007 gr/cmc

Contenuto naturale in acqua w = 16,429 %

Peso secco γ_d = 1,724 gr/cmc

Indice dei pori e = 0,56

Porosità n = 35,894 %

Grado di saturazione Sr = 78,899 %

IL TECNICO del LABORATORIO
Dott. Geol. Stefano Finamore

IL DIRETTORE del LABORATORIO
Dott. Geol. Matteo Di Carlo

PROVA DI TAGLIO DIRETTO

COMMITTENTE : Parco Eolico Faeto S.r.l.
LOCALITA' : Faeto -C.da S. Vito-Ciuccia - (FG)
CANTIERE : Parco Eolico

Sondaggio N. **E 10** Campione N. **1** Profondità m. **5,00-5,50**

CARATTERISTICHE DELLA PROVA

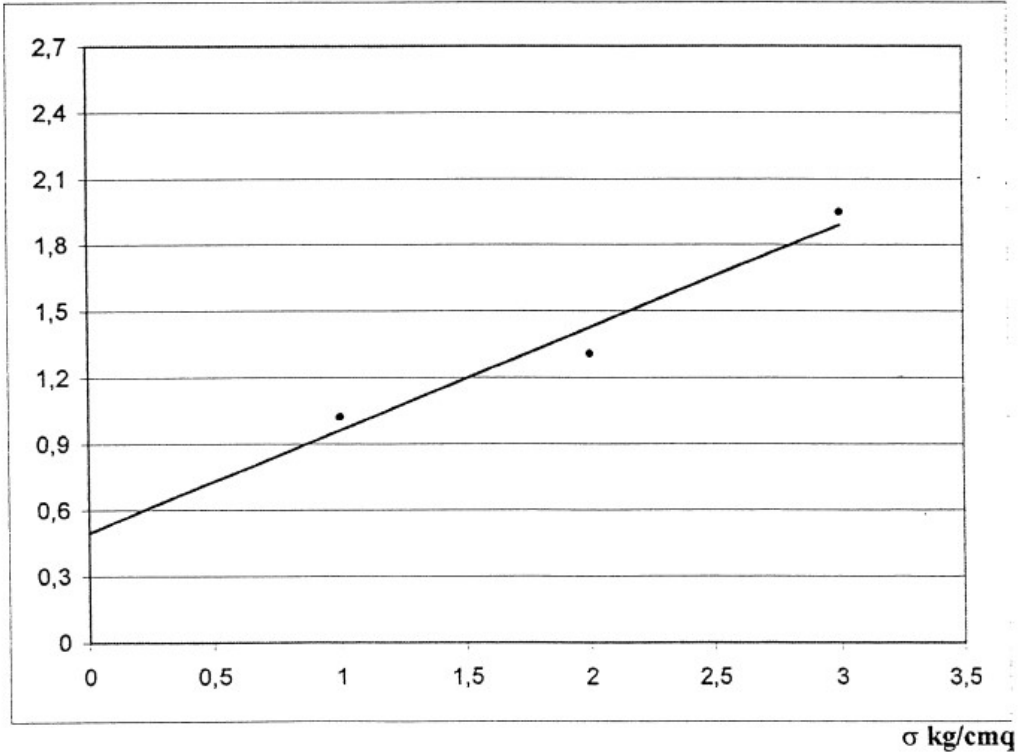
Tipo di prova		CONSOLIDATA DRENATA	
Velocità della prova		mm/min.	0,005
Costante micr. Cedimenti		mm/segno	0,01

Provino N	Dimensioni		Consolidamento			Fase di rottura		
	H mm	D - L mm	σ kg/cmq	ΔH mm	T ore	σ kg/cmq	δf mm	τ kg/cmq
1	30	60	1	0,35	24	1	2,64	1,021
2	30	60	2	1,58	48	2	2,4	1,307
3	30	60	3	2,83	72	3	3,4	1,95

$$\Phi = 24,93^\circ$$

$$C = 0,4970 \text{ kg/cmq}$$

τ kg/cmq



IL TECNICO del LABORATORIO
Dott. Geol. Stefano Finamore

IL DIRETTORE del LABORATORIO
Dott. Geol. Matteo Di Carlo

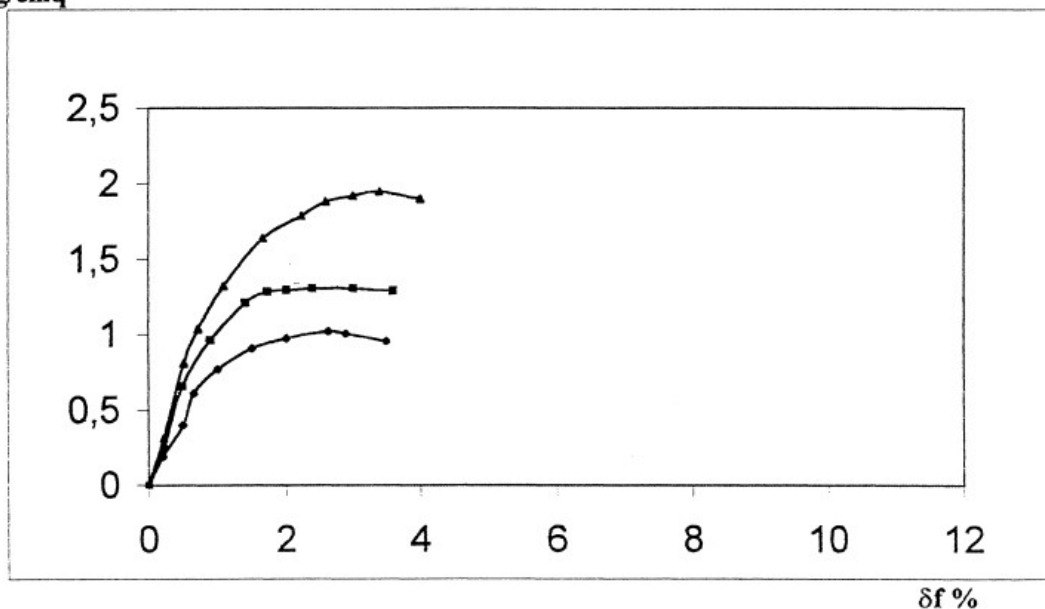
PROVA DI TAGLIO DIRETTO

COMMITTENTE : Parco Eolico Faeto S.r.l.
LOCALITA' : Faeto -C.da S. Vito-Ciuccia - (FG)
CANTIERE : Parco Eolico

Sondaggio N. E 10 Campione N. 1 Profondità m. 5,00-5,50

CURVE SFORZI/DEFORMAZIONI

kg/cm²



IL TECNICO del LABORATORIO
Dott. Geol. Stefano Finamore

IL DIRETTORE del LABORATORIO
Dott. Geol. Matteo Di Carlo

GeoSveva

Laboratorio Analisi Geotecniche
del Dott. Geol. Matteo Di Carlo

viale Virgilio c.n.
71036 LUCERA (FG)
tel. 0881 545447

COMMITTENTE : Parco Eolico Faeto S.r.l.

LOCALITA' : Faeto -C.da S. Vito-Ciuccia - (FG)

CANTIERE : Parco Eolico

SONDAGGIO : S E 10 CAMPIONE : C 2 PROFONDITA' : m. 14,00-14,50

Peso specifico dei grani γ_s = 2,685 gr/cmc

Peso di volume γ = 1,926 gr/cmc

Contenuto naturale in acqua w = 26,616 %

Peso secco γ_d = 1,521 gr/cmc

Indice dei pori e = 0,765

Porosità n = 43,347 %

Grado di saturazione Sr = 93,401 %

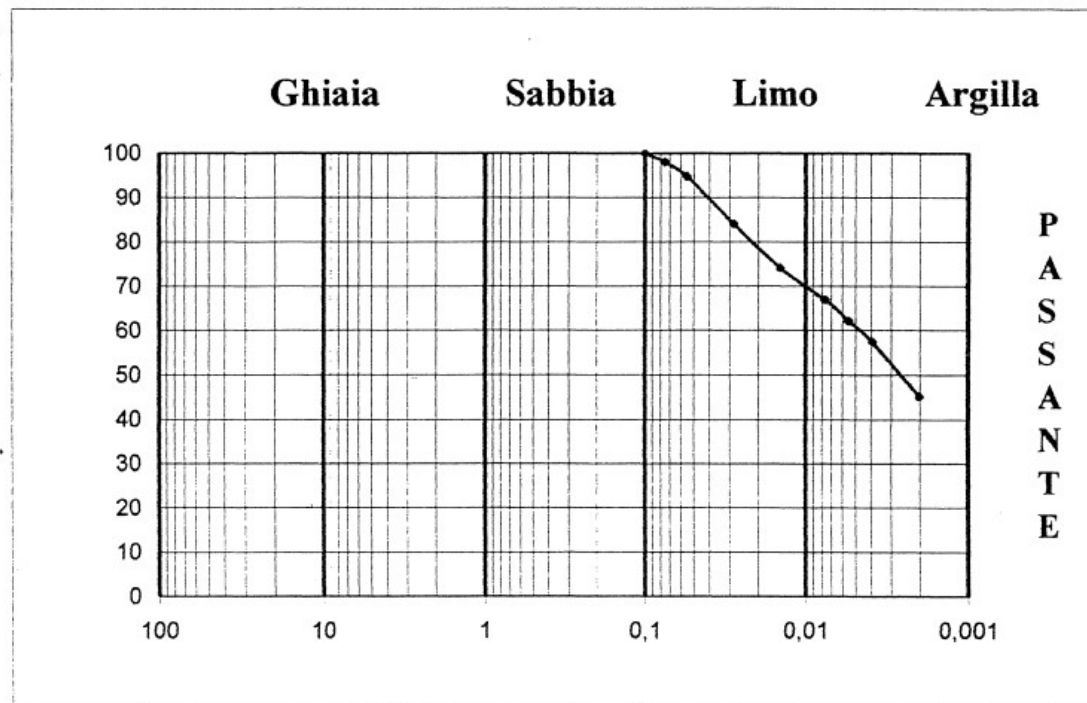
IL TECNICO del LABORATORIO
Dott. Geol. Stefano Finamore

IL DIRETTORE del LABORATORIO
Dott. Geol. Matteo Di Carlo

PROVA GRANULOMETRICA

COMMITTENTE : Parco Eolico Faeto S.r.l.
LOCALITA' : Faeto -C.da S. Vito-Ciuccia - (FG)
CANTIERE : Parco Eolico

Sondaggio N. E 10 Campione N. 2 Profondità m. 14,00-14,50



GHIAIA	SABBIA	LIMO	ARGILLA
W	5%	50%	45%

DEFINIZIONE GRANULOMETRICA: Limo con Argilla deb. Sabbiosa

IL TECNICO del LABORATORIO
Dott. Geol. Stefano Finamore

IL DIRETTORE del LABORATORIO
Dott. Geol. Matteo Di Carlo

PROVA ESPANSIONE LATERALE LIBERA

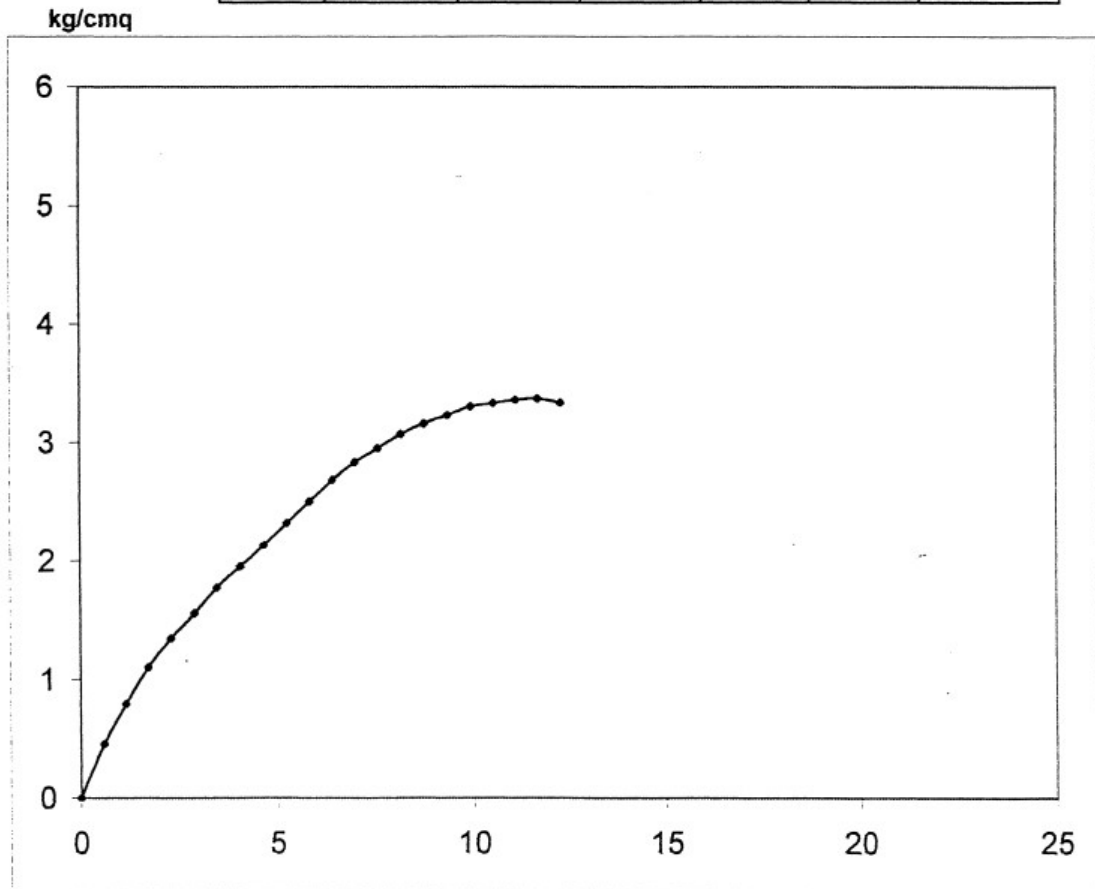
COMMITTENTE : Parco Eolico Faeto S.r.l.
LOCALITA' : Faeto -C.da S. Vito-Ciuccia - (FG)
CANTIERE : Parco Eolico

Sondaggio N. E 10 Campione N. 2 Profondità m. 14,00-14,50

Velocità della pressa = 1,270 mm/min.

Ef = Modulo di Young non drenato (secante a rottura)

Provino N	Dime nsioni		Fase di rottura			
	D cm	H cm	Ef kg/cmq	σ kg/cmq	δf %	Cu kg/cmq
1	8,4	17,1	28,8	3,368	11,7	1,68



IL TECNICO del LABORATORIO
Dott. Geol. Stefano Finamore

IL DIRETTORE del LABORATORIO
Dott. Geol. Matteo Di Carlo

PROVA DI TAGLIO DIRETTO

COMMITTENTE : Parco Eolico Faeto S.r.l.
LOCALITA' : Faeto -C.da S. Vito-Ciuccia - (FG)
CANTIERE : Parco Eolico

Sondaggio N. **E 10** Campione N. **2** Profondità m. **14,00-14,50**

CARATTERISTICHE DELLA PROVA

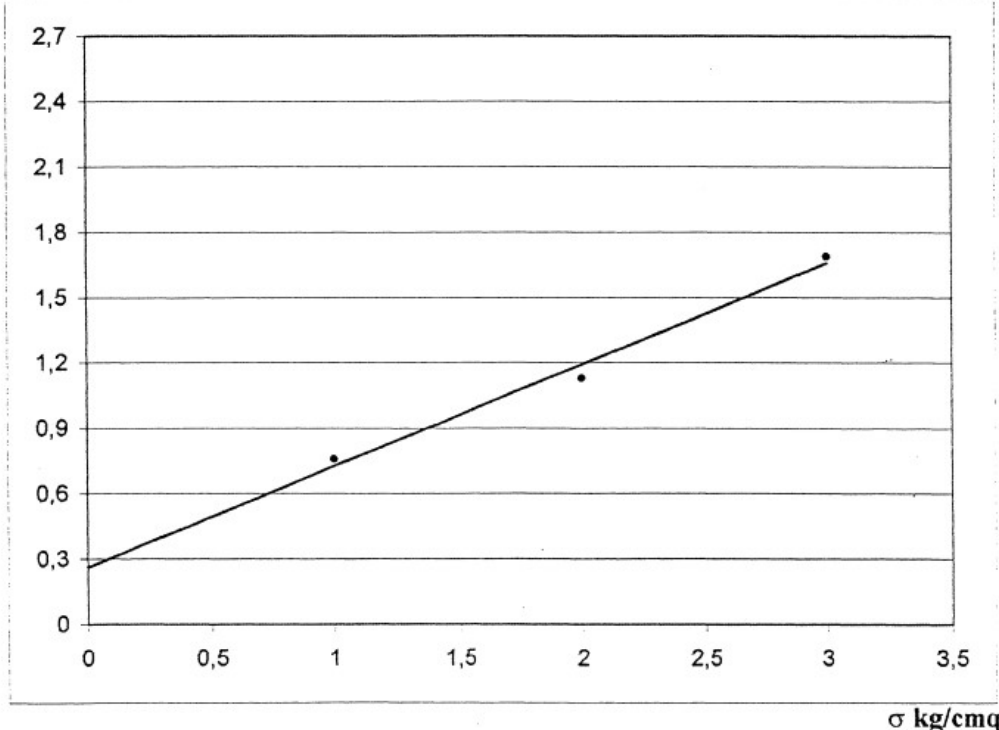
Tipo di prova	CONSOLIDATA DRENATA		
	mm/min.	0,005	
		mm/segno	0,01
Velocità della prova			
Costante micr. Cedimenti			

Provino N	Dimensioni		Consolidamento			Fase di rottura		
	H mm	D - L mm	σ kg/cmq	ΔH mm	T ore	σ kg/cmq	δf mm	τ kg/cmq
1	30	60	1	1,13	24	1	3,5	0,758
2	30	60	2	1,8	48	2	3,46	1,129
3	30	60	3	2,1	72	3	3,3	1,688

$$\Phi = 24,95^\circ$$

$$C = 0,2617 \text{ kg/cmq}$$

τ kg/cmq



IL TECNICO del LABORATORIO
Dott. Geol. Stefano Finamore

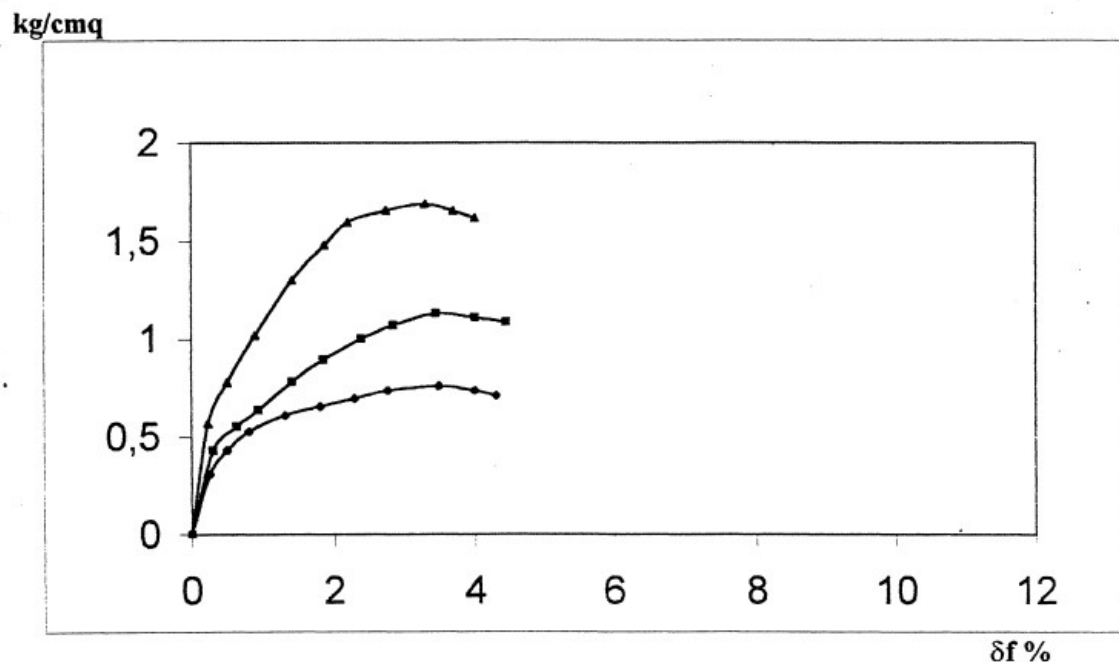
IL DIRETTORE del LABORATORIO
Dott. Geol. Matteo Di Carlo

PROVA DI TAGLIO DIRETTO

COMMITTENTE : Parco Eolico Faeto S.r.l.
LOCALITA' : Faeto -C.da S. Vito-Ciuccia - (FG)
CANTIERE : Parco Eolico

Sondaggio N. E 10 Campione N. 2 Profondità m. 14,00-14,50

CURVE SFORZI/DEFORMAZIONI



IL TECNICO del LABORATORIO
Dott. Geol. Stefano Finamore

IL DIRETTORE del LABORATORIO
Dott. Geol. Matteo Di Carlo

GeoSveva

**Laboratorio Analisi Geotecniche
del Dott. Geol. Matteo Di Carlo**

viale Virgilio c.n.
71036 LUCERA (FG)
tel. 0881 545447

COMMITTENTE : Parco Eolico Faeto S.r.l.

LOCALITA' : Faeto -C.da S. Vito-Ciuccia - (FG)

CANTIERE : Parco Eolico

SONDAGGIO : S E 12 CAMPIONE : C 1 PROFONDITA' : m. 5,30-5,80

Peso specifico dei grani γ_s = 2,671 gr/cm³

Peso di volume γ = 1,896 gr/cm³

Contenuto naturale in acqua w = 23,517 %

Peso secco γ_d = 1,535 gr/cm³

Indice dei pori e = 0,74

Porosità n = 42,53 %

Grado di saturazione Sr = 84,878 %

IL TECNICO del LABORATORIO
Dott. Geol. Stefano Finamore

IL DIRETTORE del LABORATORIO
Dott. Geol. Matteo Di Carlo

PROVA GRANULOMETRICA

COMMITTENTE : Parco Eolico Faeto S.r.l.

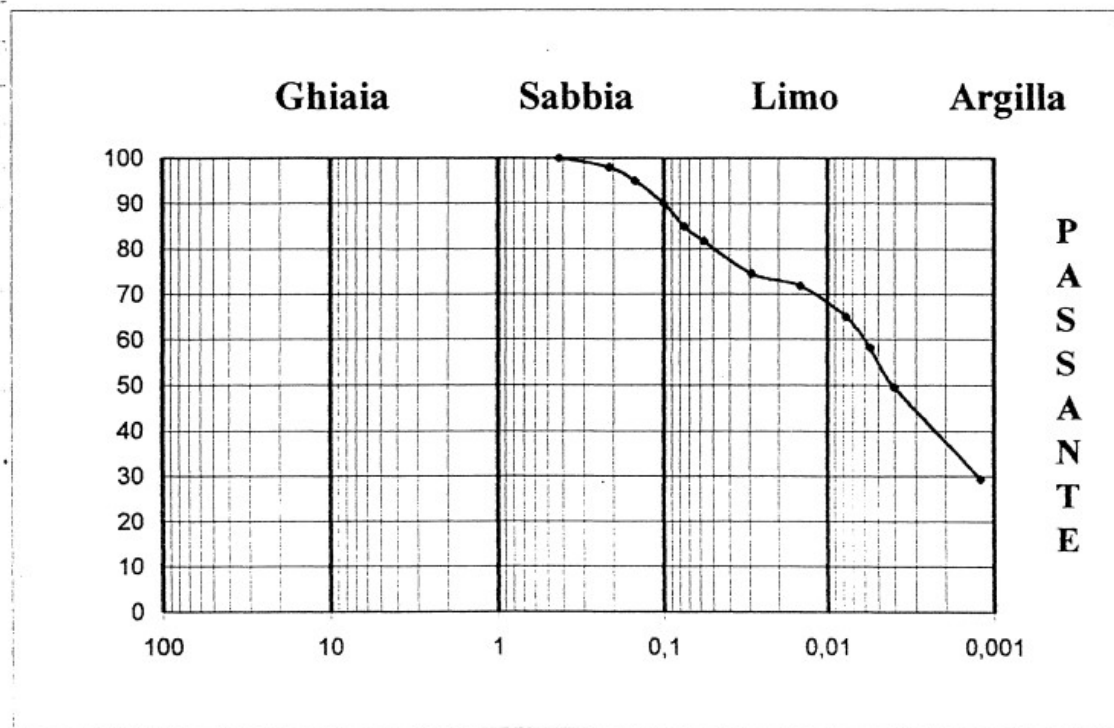
LOCALITA' : Faeto -C.da S. Vito-Ciuccia - (FG)

CANTIERE : Parco Eolico

Sondaggio N. E 12

Campione N. 1

Profondità m. 5,30-5,80



GHIAIA	SABBIA	LIMO	ARGILLA
W	18%	44%	38%

DEFINIZIONE GRANULOMETRICA:

Limo con Argilla Sabbiosa

IL TECNICO del LABORATORIO
Dott. Geol. Stefano Finamore

IL DIRETTORE del LABORATORIO
Dott. Geol. Matteo Di Carlo

LIMITI DI ATTERBERG

COMMITTENTE: Parco Eolico Faeto S.r.l.
LOCALITA': Faeto -C.da S. Vito-Ciuccia - (FG)
CANTIERE: Parco Eolico

Sondaggio: E 12 Campione: 1 Profondità: 5,30-5,80 m.

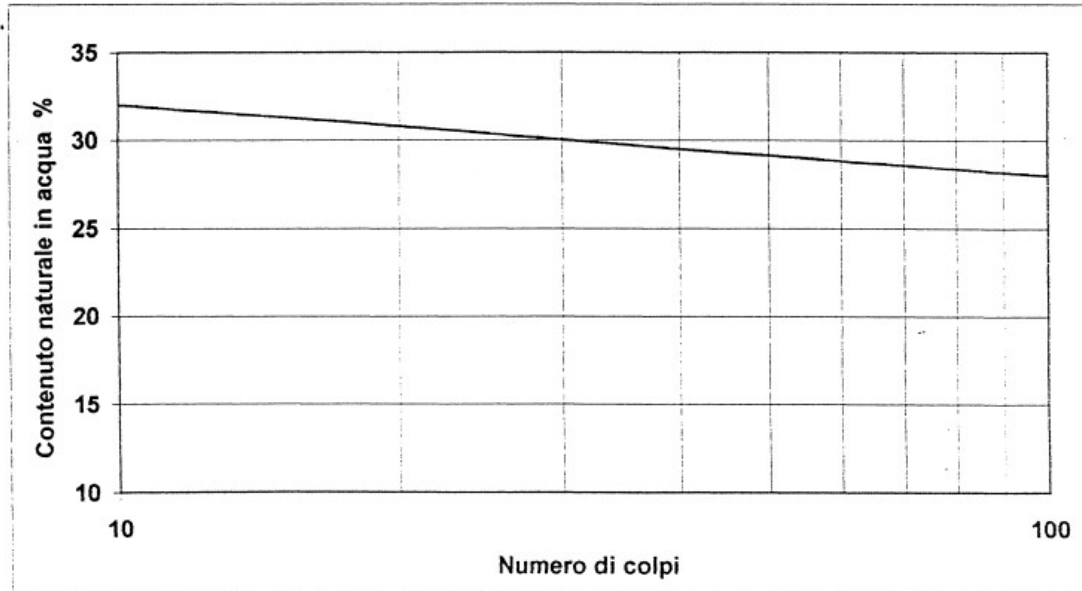
CONTENUTO NATURALE IN ACQUA =	23,52	%
-------------------------------	-------	---

NUMERO CONTENITORE
 NUMERO DI COLPI
 PESO UMIDO + TARA (gr)
 PESO SECCO + TARA (gr)
 TARA (gr)
 CONTENUTO IN ACQUA (gr)
 PESO SECCO (gr)
 CONTENUTO IN ACQUA (%)

PROVINO n. 1	LIMITE LIQUIDO	PROVINO n. 2	LIMITE PLASTICO
	3		24,992
11	6	19	24,315
19	39	25,714	20,934
25,714	24,751	24,716	0,677
24,716	23,931	21,484	3,381
21,484	21,155	0,998	0,666
0,998	0,82	3,232	
3,232	2,776	30,879	
30,879	29,539		20,024

RISULTATI

LIMITE LIQUIDO	(LL) =	30,477 %
LIMITE PLASTICO	(LP) =	20,024 %
INDICE DI PLASTICITA'	(IP) =	10,453
INDICE DI CONSISTENZA	(IC) =	0,666



IL TECNICO del LABORATORIO
 Dott. Geol. Stefano Finamore

IL DIRETTORE del LABORATORIO
 Dott. Geol. Matteo Di Carlo

PROVA DI COMPRESSIONE EDOMETRICA

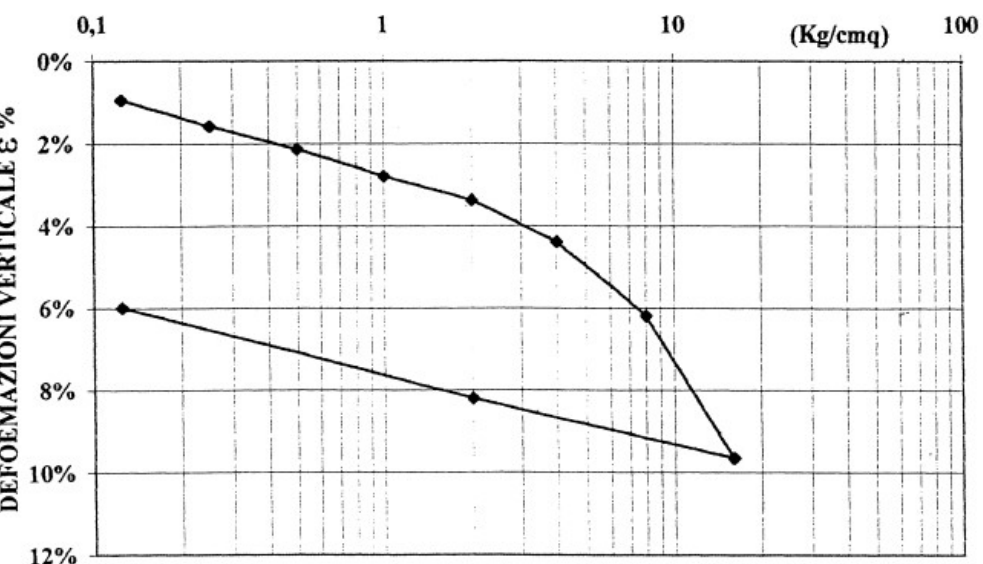
COMMITTENTE: Parco Eolico Faeto S.r.l.
LOCALITA': Faeto -C.da S. Vito-Ciuccia - (FG)
CANTIERE: Parco Eolico

Sondaggio: **E 12** Campione : **1** Profondità : **5,30-5,80 m.**

γ_s g./cmc	γ g./cmc	W %	e	H mm	D mm
2,671	1,896	23,52	0,74	20	50

Pressione Kg/cmq	Cedimenti mm	Cedimenti %	Ind. Pori	Mod Edom Kg/cmq
0,125	0,19	0,95	0,723	13,16
0,25	0,315	1,575	0,713	19,81
0,5	0,429	2,145	0,703	43,17
1	0,56	2,8	0,691	74,7
2	0,675	3,375	0,681	169,04
4	0,88	4,4	0,663	188,54
8	1,24	6,2	0,632	212,44
16	1,93	9,65	0,572	217,51

CURVA CEDIMENTI VERTICALI %-LOGARITMO DEI CARICHI



IL TECNICO del LABORATORIO
Dott. Geol. Stefano Finamore

IL DIRETTORE del LABORATORIO
Dott. Geol. Matteo Di Carlo

PROVA DI TAGLIO DIRETTO

COMMITTENTE : Parco Eolico Faeto S.r.l.
LOCALITA' : Faeto -C.da S. Vito-Ciuccia - (FG)
CANTIERE : Parco Eolico

Sondaggio N. E 12 Campione N. 1 Profondità m. 5,30-5,80

CARATTERISTICHE DELLA PROVA

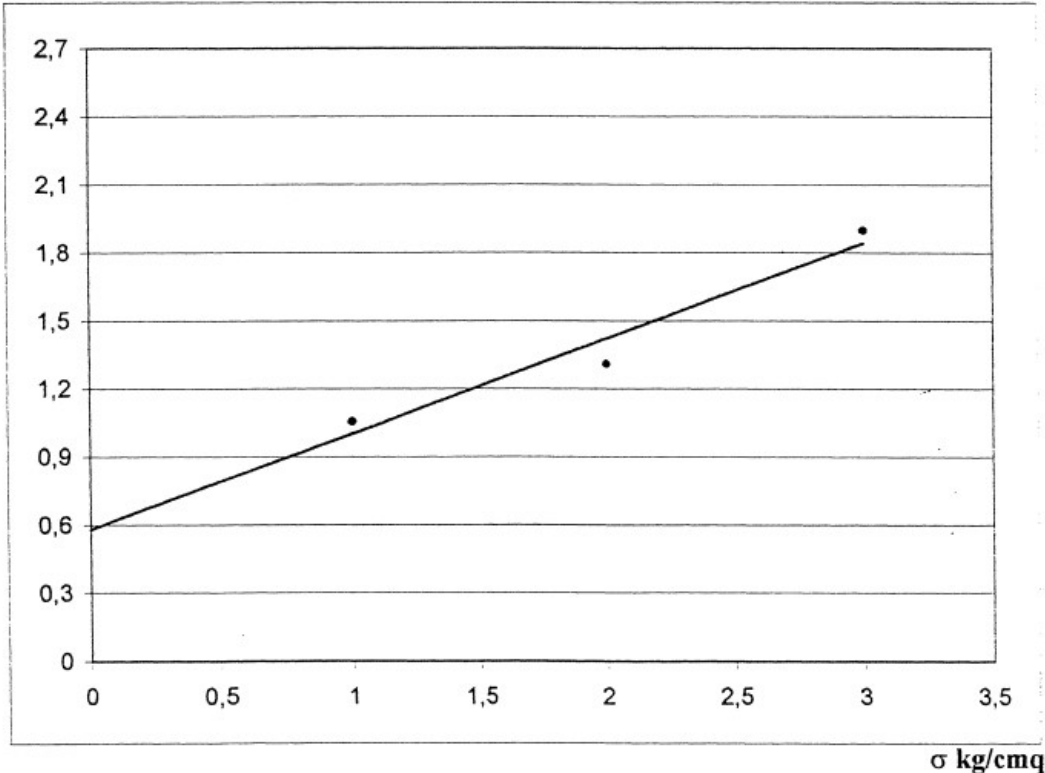
Tipo di prova	CONSOLIDATA DRENATA	
Velocità della prova	mm/min.	0,005
Costante micr. Cedimenti	mm/segno	0,01

Provino N	Dimensioni		Consolidamento			Fase di rottura		
	H mm	D - L mm	σ kg/cmq	ΔH mm	T ore	σ kg/cmq	δf mm	τ kg/cmq
1	30	60	1	1,09	24	1	2,5	1,057
2	30	60	2	1,85	48	2	2,5	1,309
3	30	60	3	3,13	72	3	3,5	1,898

$$\Phi = 22,82^\circ$$

$$C = 0,5803 \text{ kg/cmq}$$

τ kg/cmq



IL TECNICO DEL LABORATORIO
Dott. Geol. Stefano Finamore

IL DIRETTORE del LABORATORIO
Dott. Geol. Matteo Di Carlo

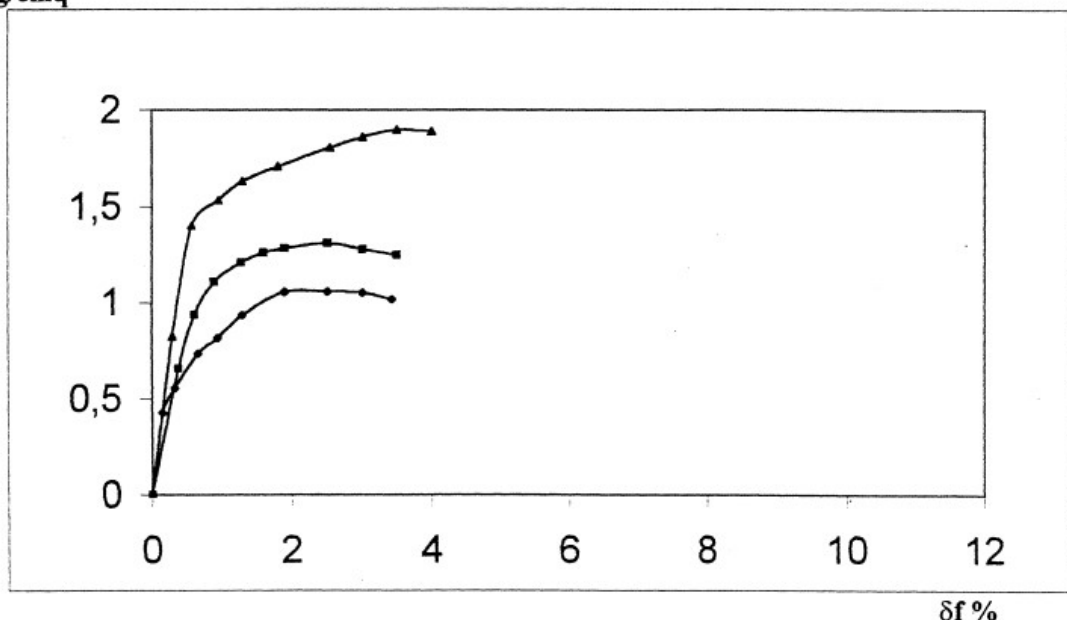
PROVA DI TAGLIO DIRETTO

COMMITTENTE : Parco Eolico Faeto S.r.l.
LOCALITA' : Faeto -C.da S. Vito-Ciuccia - (FG)
CANTIERE : Parco Eolico

Sondaggio N. E 12 Campione N. 1 Profondità m. 5,30-5,80

CURVE SFORZI/DEFORMAZIONI

kg/cm²



IL TECNICO del LABORATORIO
Dott. Geol. Stefano Finamore

IL DIRETTORE del LABORATORIO
Dott. Geol. Matteo Di Carlo

GeoSveva

**Laboratorio Analisi Geotecniche
del Dott. Geol. Matteo Di Carlo**

viale Virgilio c.n.
71036 LUCERA (FG)
tel. 0881 545447

COMMITTENTE : Parco Eolico Faeto S.r.l.

LOCALITA' : Faeto -C.da S. Vito-Ciuccia - (FG)

CANTIERE : Parco Eolico

SONDAGGIO : S E 12 CAMPIONE : C 2 PROFONDITA' : m. 10,00-10,50

Peso specifico dei grani γ_s = 2,667 gr/cmc

Peso di volume γ = 1,845 gr/cmc

Contenuto naturale in acqua w = 13,216 %

Peso secco γ_d = 1,63 gr/cmc

Indice dei pori e = 0,637

Porosità n = 38,897 %

Grado di saturazione Sr = 55,37 %

IL TECNICO del LABORATORIO
Dott. Geol. Stefano Finamore

IL DIRETTORE del LABORATORIO
Dott. Geol. Matteo Di Carlo

PROVA ESPANSIONE LATERALE LIBERA

COMMITTENTE : Parco Eolico Faeto S.r.l.
LOCALITA' : Faeto -C.da S. Vito-Ciuccia - (FG)
CANTIERE : Parco Eolico

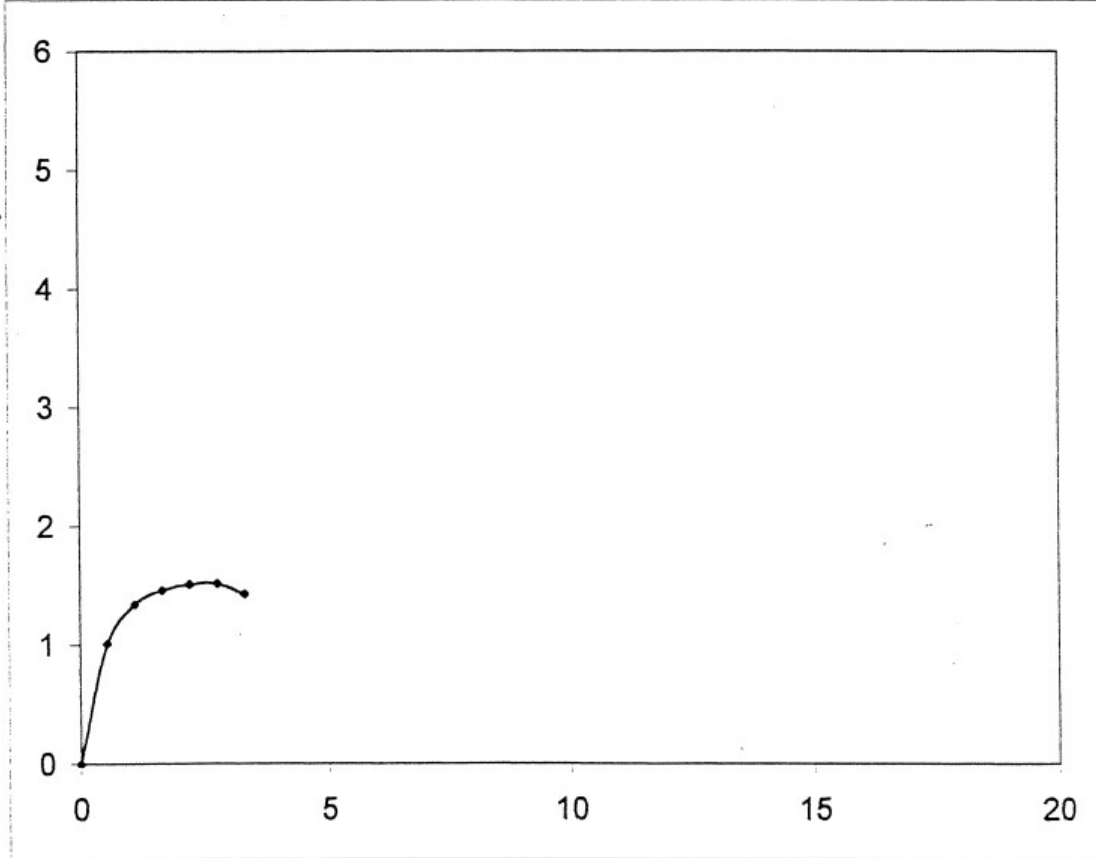
Sondaggio N. E 12 Campione N. 2 Profondità m. 10,00-10,50

Velocità della pressa = 1,270 mm/min.

Ef = Modulo di Young non drenato (secante a rottura)

Provino N	Dime nsioni			Fase di rottura		
	D cm	H cm	Ef kg/cmq	σ kg/cmq	δ_f %	Cu kg/cmq
1	8,5	18	54,72	1,52	2,78	0,76

kg/cmq



δ_f %

IL TECNICO del LABORATORIO
Dott. Geol. Stefano Finamore

IL DIRETTORE del LABORATORIO
Dott. Geol. Matteo Di Carlo

GeoSveva

**Laboratorio Analisi Geotecniche
del Dott. Geol. Matteo Di Carlo**

viale Virgilio c.n.
71036 LUCERA (FG)
tel. 0881 545447

COMMITTENTE : Parco Eolico Faeto S.r.l.

LOCALITA' : Faeto -C.da S. Vito-Ciuccia - (FG)

CANTIERE : Parco Eolico

SONDAGGIO : S E 12 CAMPIONE : C 3 PROFONDITA' : m. 12,30-12,80

Peso specifico dei grani γ_s = 2,673 gr/cm³

Peso di volume γ = 1,802 gr/cm³

Contenuto naturale in acqua w = 28,834 %

Peso secco γ_d = 1,399 gr/cm³

Indice dei pori e = 0,911

Porosità n = 47,673 %

Grado di saturazione Sr = 84,597 %

IL TECNICO del LABORATORIO
Dott. Geol. Stefano Finamore

IL DIRETTORE del LABORATORIO
Dott. Geol. Matteo Di Carlo

PROVA DI TAGLIO DIRETTO

COMMITTENTE : Parco Eolico Faeto S.r.l.
LOCALITA' : Faeto - C.da S. Vito-Ciuccia - (FG)
ANTIERE : Parco Eolico

Condaggio N. **E 12** Campione N. **3** Profondità m. **12,30-12,80**

CARATTERISTICHE DELLA PROVA

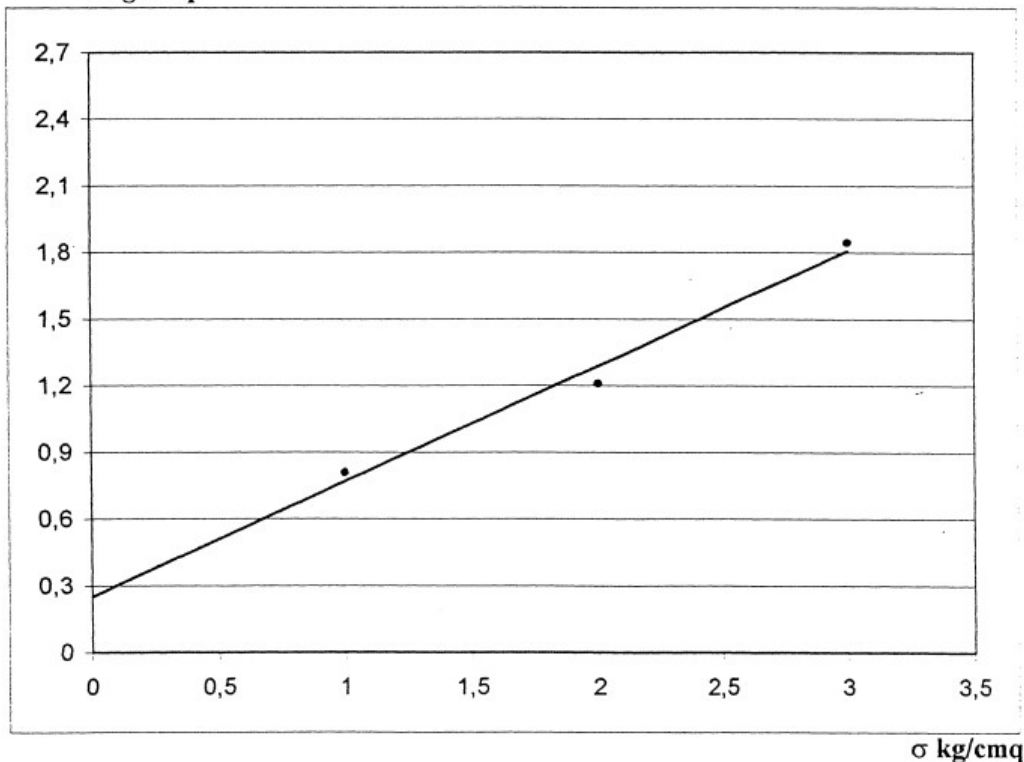
Tipo di prova		CONSOLIDATA DRENATA	
/velocità della prova		mm/min.	0,005
Costante micr. Cedimenti		mm/segnò	0,01

Provino N	Dimensioni		Consolidamento			Fase di rottura		
	H mm	D - L mm	σ kg/cmq	ΔH mm	T ore	σ kg/cmq	δf mm	τ kg/cmq
1	30	60	1	1,91	24	1	3,39	0,8082
2	30	60	2	2,15	48	2	2,94	1,2105
3	30	60	3	2,62	72	3	4,4	1,845

$$\Phi = 27,42^\circ$$

$$C = 0,2511 \text{ kg/cmq}$$

τ kg/cmq



IL TECNICO del LABORATORIO
Dott. Geol. Stefano Finamore

IL DIRETTORE del LABORATORIO
Dott. Geol. Matteo Di Carlo

ALLEGATO 3

PALI DI FONDAZIONE

NORMATIVE DI RIFERIMENTO

NTC2018 - Aggiornamento delle «Norme tecniche per le costruzioni» - D.M. 17 gennaio 2018

NTC2008 - Norme tecniche per le costruzioni - D.M. 14 Gennaio 2008.

CIRCOLARE 2 febbraio 2009, n. 617 - Istruzioni per l'applicazione delle 'Nuove norme tecniche per le costruzioni' di cui al decreto ministeriale 14 gennaio 2008. (GU n. 47 del 26-2-2009 - Suppl. Ordinario n.27)

Eurocodice 7: Progettazione geotecnica – Parte 1: Regole generali.

Eurocodice 8: Indicazioni progettuali per la resistenza sismica delle strutture - Parte 5: Fondazioni, strutture di contenimento ed aspetti geotecnici.

Carico limite verticale

Il carico limite verticale è stato calcolato con le formule statiche, che esprimono il medesimo in funzione della geometria del palo, delle caratteristiche del terreno e dell'interfaccia palo-terreno. A riguardo, poiché la realizzazione di un palo, sia esso infisso o trivellato, modifica sempre le caratteristiche del terreno nell'intorno dello stesso, si propone di assumere un angolo di resistenza a taglio pari a:

$$\phi' = \frac{3}{4}\phi + 10 \quad \text{nei pali infissi}$$

$$\phi' = \phi - 3^\circ \quad \text{nei pali trivellati}$$

dove ϕ è l'angolo di resistenza a taglio prima dell'esecuzione del palo. Di seguito indicheremo con ϕ il parametro di resistenza scelto.te.

Ai fini del calcolo, il carico limite Q_{lim} viene convenzionalmente suddiviso in due aliquote, la resistenza alla punta Q_p e la resistenza laterale Q_l .

Resistenza unitaria alla punta

Formula di Terzaghi

La soluzione proposta da Terzaghi assume che il terreno esistente al disopra della profondità raggiunta dalla punta del palo possa essere sostituito da un sovraccarico equivalente pari alla tensione verticale efficace (tralasciando pertanto il fatto che l'interazione tra palo e terreno di fondazione possa modificare tale valore) e riconduce l'analisi al problema di capacità portante di una fondazione superficiale.

La formula di *Terzaghi* può essere scritta:

$$Q_p = c \cdot N_c \cdot s_c + \gamma \cdot L \cdot N_q + 0.5 \cdot \gamma \cdot D \cdot N_\gamma \cdot s_\gamma$$

dove:

$$N_q = \frac{a^2}{2 \cos^2(45 + \phi/2)}$$

$$a = e^{(0.75\pi - \phi/2)\tan\phi}$$

$$N_c = (N_q - 1) \cot\phi$$

$$N_\gamma = \frac{\tan\phi}{2} \left(\frac{K_{py}}{\cos^2\phi} - 1 \right)$$

Metodo di Berezantzev

Fondamentalmente *Berezantzev* fa riferimento ad una superficie di scorrimento "alla Terzaghi" che si arresta sul piano di posa (punta del palo); tuttavia egli considera che il cilindro di terreno coassiale al palo ed avente

diametro pari all'estensione in sezione della superficie di scorrimento, sia in parte "sostenuto" per azione tangenziale dal rimanente terreno lungo la superficie laterale. Ne consegue un valore della pressione alla base inferiore a γD , e tanto minore quanto più questo "effetto silo" è marcato, cioè quanto più grande è il rapporto D/B; di ciò tiene conto il coefficiente N_q , che quindi è funzione decrescente di D/B.

La resistenza unitaria Q_p alla punta, per il caso di terreno dotato di attrito (ϕ) e di coesione (c), è data dall'espressione:

$$Q_p = c \cdot N_c + \gamma \cdot L \cdot N_q$$

Avendo indicato con:

γ peso unità di volume del terreno;

L lunghezza del palo;

N_c e N_q sono i fattori di capacità portante già comprensivi dell'effetto forma (circolare);

Metodo di Vesic

Vesic ha assimilato il problema della rottura intorno alla punta del palo a quello di espansione di una cavità cilindrica in mezzo elasto-plastico, in modo da tener conto anche della compressibilità del mezzo.

Secondo Vesic i coefficienti di capacità portante N_q e N_c si possono calcolare come segue:

$$N_q = \frac{3}{3 - \sin \phi} \left\{ \exp \left[\left(\frac{\pi}{2} - \phi \right) \tan \phi \right] \tan^2 \left(45 + \frac{\phi}{2} \right) I_{rr}^{(4 \sin \phi) / [3(1 + \sin \phi)]} \right\}$$

L'indice di rigidezza ridotto I_{rr} nella precedente espressione viene calcolato a partire dalla deformazione volumetrica ε_v .

L'indice di rigidezza I_r si calcola utilizzando il modulo di elasticità tangenziale G' e la resistenza a taglio s del terreno.

Quando si hanno condizioni non drenate o il suolo il suolo si trova in uno stato addensato, il termine ε_v può essere assunto pari a zero e si ottiene $I_{rr}=I_r$

E' possibile fare una stima di I_r con i valori seguenti:

TERRENO	Ir
Sabbia	75-150
Limo	50-75
Argilla	150-250

Il termine N_c della capacità portante viene calcolato:

$$N_c = (N_q - 1) \cot \phi \quad (a)$$

Quando $\phi = 0$ (condizioni non drenate)

$$N_c = \frac{4}{3} (\ln I_{rr} + 1) + \frac{\pi}{2} + 1$$

Metodo di Janbu

Janbu calcola N_q (con l'angolo ψ espresso in radianti) come segue:

$$N_q = \left(\tan \phi + \sqrt{1 + \tan^2 \phi} \right)^2 \exp(2\psi \tan \phi)$$

N_c si può ricavare dalla (a) quando $\phi > 0$.

Per $\phi = 0$ si usa $N_c = 5.74$

Formula di Hansen

La formula di Hansen vale per qualsiasi rapporto D/B , quindi sia per fondazioni superficiali che profonde, ma lo stesso autore introduce dei coefficienti per meglio interpretare il comportamento reale della fondazione, senza di essi, infatti, si avrebbe un aumento troppo forte del carico limite con la profondità.

Per valori $L/D > 1$:

$$d_c = 1 + 0.4 \tan^{-1} \frac{L}{D}$$

$$d_q = 1 + 2 \tan \phi (1 - \sin \phi)^2 \tan^{-1} \frac{L}{D}$$

Nel caso $\phi = 0$

D/B	0	1	1.1	2	5	10	20	100
d'_c	0	0.40	0.33	0.44	0.55	0.59	0.61	0.62

Nei fattori seguenti le espressioni con apici ('') valgono quando $\phi = 0$.

Fattore di forma:

$$s_c' = 0.2 \cdot \frac{D}{L}$$

$$s_c = 1 + \frac{N_q}{N_c} \cdot \frac{D}{L}$$

$$s_q = 1 + \frac{D}{L} \cdot \tan \phi$$

$$s_q = 1 + \frac{D}{L} \cdot \tan \phi$$

$$s_\gamma = 1 - 0.4 \cdot \frac{D}{L}$$

Fattore di profondità:

$$d'_c = 0.4 \cdot k$$

$$d_c = 1 + 0.4k$$

$$d_q = 1 + 2 \tan \phi \cdot (1 - \sin \phi) \cdot k$$

$$d_\gamma = 1 \text{ per qualsiasi } k$$

$$k = \tan^{-1} \frac{L}{D} \text{ se } \frac{L}{D} > 1$$

Resistenza del fusto

Il metodo utilizzato per il calcolo della capacità portante laterale è il metodo α , proposto da Tomlinson (1971); la resistenza laterale viene calcolata nel seguente modo:

$$Q_1 = (\alpha c + \sigma K \tan \delta) \cdot A_l \cdot f_w$$

A_l = superficie laterale del palo;

f_w = fattore di correzione legato alla tronco-conicità del palo, ossia la diminuzione percentuale del diametro del palo con

c = valore medio della coesione (o della resistenza a taglio in condizioni non drenate);

σ = pressione verticale efficace del terreno;

K = coefficiente di spinta orizzontale, dipendente dalla tecnologia di esecuzione del palo e dal precedente stato di addensamento, viene calcolato come segue:

Per pali infissi

$$K = 1 - \tan^2 \phi$$

o, nel caso specifico, è possibile assegnare i seguenti valori proposti in tabella:

Palo	K	
	Terreno sciolto	Terreno denso
Acciaio	0.5	1
Calcestr. Pref.	1	2
Legno	1	3

Per pali trivellati

$$K = 1 - \sin \phi$$

δ = attrito palo-terreno funzione della scabrezza della superficie del palo;

Per pali infissi

$$\delta = 3/4 \tan \phi$$

Per pali trivellati

$$\delta = \tan \phi$$

α = coefficiente d'adesione ricavato come di seguito riportato:

Pali trivellati:

$$Caquot - Kerisel \quad \alpha = \frac{100 + c^2}{100 + 7c^2}$$

Meyerhof - Murdock (1963)

$$\begin{aligned} \alpha &= 1 - 0.1 \cdot c \quad \text{per } c < 5 \text{ t/m}^2 \\ \alpha &= 0.525 - 0.005 \cdot c \quad \text{per } c \geq 5 \text{ t/m}^2 \end{aligned}$$

Whitaker - Cooke (1966)

$$\begin{aligned} \alpha &= 0.9 \text{ per } c < 2.5 \text{ t/m}^2 \\ \alpha &= 0.8 \text{ per } 2.5 \leq c < 5 \text{ t/m}^2 \\ \alpha &= 0.6 \text{ per } 5 \leq c \leq 7.5 \text{ t/m}^2 \\ \alpha &= 0.9 \text{ per } c > 7.5 \text{ t/m}^2 \end{aligned}$$

Woodward (1961)

$$\begin{aligned} \alpha &= 0.9 \text{ per } c < 4 \text{ t/m}^2 \\ \alpha &= 0.6 \text{ per } 4 \leq c < 8 \text{ t/m}^2 \\ \alpha &= 0.5 \text{ per } 8 \leq c < 12 \text{ t/m}^2 \\ \alpha &= 0.4 \text{ per } 12 \leq c \leq 20 \text{ t/m}^2 \\ \alpha &= 0.20 \text{ per } c > 20 \text{ t/m}^2 \end{aligned}$$

Pali infissi

Coefficiente α per palo infisso	
$2.5 \leq c < 5 \text{ t/m}^2$	$\alpha = 1.00$
$5 \leq c < 10$	$\alpha = 0.70$
$10 \leq c < 15$	$\alpha = 0.50$
$15 \leq c < 20$	$\alpha = 0.40$
$c \geq 20$	$\alpha = 0.30$

Attrito negativo

Quando un palo viene infisso o passa attraverso uno strato di materiale compressibile prima che si sia esaurito il processo di consolidazione, il terreno si muoverà rispetto al palo facendo insorgere sforzi attritivi tra palo e terreno che inducono al cosiddetto fenomeno dell'attrito negativo. L'effetto dell'attrito negativo è quello di aumentare il carico assiale sul palo, con conseguente aumento del cedimento, dovuto all'accorciamento elastico del palo stesso per effetto dell'aumento di carico. La forza che nasce per effetto dell'attrito negativo è stimata pari alla componente attrittiva della resistenza laterale (vedi Resistenza del fusto) lungo la superficie laterale a contatto con lo strato in cui si genera tale fenomeno, ma di verso opposto all'attrito positivo. La risultante così determinata non viene detratta dal carico limite, ma da quello di esercizio.

Fattore di correzione in condizioni sismiche.

Criterio di Vesic

Secondo questo autore per tenere conto del fenomeno della dilatanza nel calcolo della capacità portante è sufficiente diminuire di 2° l'angolo d'attrito degli strati di fondazione. Il limite di questo suggerimento è nel fatto che non tiene conto dell'intensità della sollecitazione sismica (espressa attraverso il parametro dell'accelerazione sismica orizzontale massima). Questo criterio pare però trovare conferma nelle osservazioni fatte in occasione di diversi eventi sismici.

Criterio di Sano

L'autore propone di diminuire l'angolo d'attrito degli strati portanti di una quantità data dalla relazione:

$$\Delta\phi = \arctg\left(\frac{a_{max}}{\sqrt{2}}\right)$$

dove a_{max} è l'accelerazione sismica orizzontale massima.

Questo criterio, rispetto a quello di **Vesic**, ha il vantaggio di prendere in considerazione anche l'intensità della sollecitazione sismica. L'esperienza però dimostra che l'applicazione acritica di questa relazione può condurre a valori eccessivamente cautelativi di ***Qlim***.

Le correzioni di **Sano** e di **Vesic** si applicano esclusivamente a terreni incoerenti ben addensati. È errato applicarle a terreni scolti o mediamente addensati, dove le vibrazioni sismiche producono il fenomeno opposto a quello della dilatanza, con aumento del grado di addensamento e dell'angolo d'attrito.

Cedimenti metodo di Davis-Poulos

Il cedimento verticale è stato calcolato con il metodo di *Davis-Poulos*, secondo il quale il palo viene considerato rigido (indeformabile) immerso in un mezzo elastico, semispazio o strato di spessore finito.

Si ipotizza che l'interazione palo-terreno sia costante a tratti lungo n superfici cilindriche in cui viene suddivisa la superficie laterale del palo.

Il cedimento della generica superficie i per effetto del carico trasmesso dal palo al terreno lungo la superficie j -esima può essere espresso:

$$W_{i,j} = (\tau_j / E) \cdot B \cdot I_{i,j}$$

Avendo indicato con:

τ_j = Incremento di tensione relativo al punto medio della striscia

E = Modulo elastico del terreno

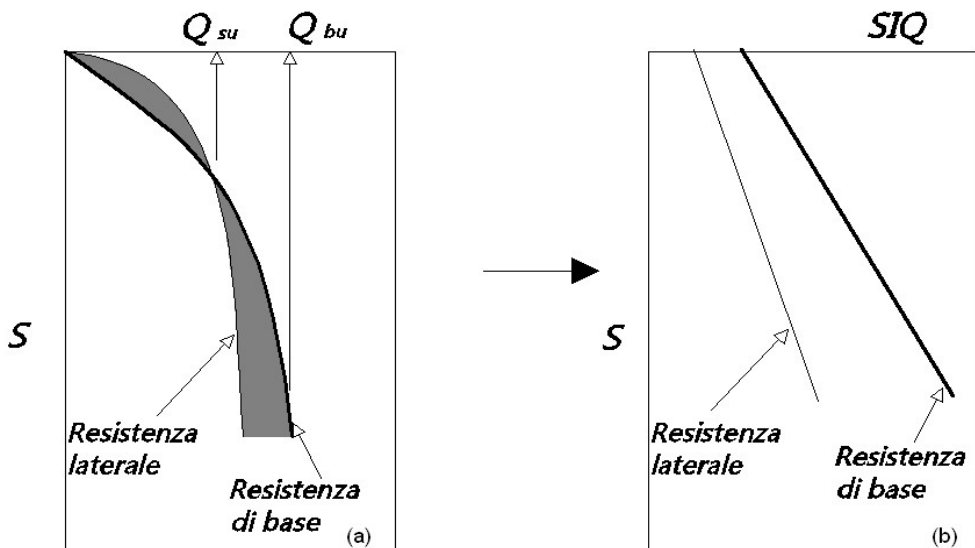
B = Diametro del palo

$I_{i,j}$ = Coefficiente di influenza

Il cedimento complessivo si ottiene sommando $W_{i,j}$ per tutte le j aree

Cedimento Metodo Iperbolico

Il metodo iperbolico modificato rappresenta uno sviluppo dello studio di Chin (1970,1972,1983) che consente di stimare il cedimento di pali singoli partendo dall'idea che il diagramma carico-cedimento, per il corpo di un palo e la sua base, abbia un andamento iperbolico. I valori del *carico ultimo laterale* (Q_{su}) e la *resistenza di base ultima* (Q_{bu}) rappresentano i termini asintotici della curva (figura a) (Terzaghi, 1943). Sotto queste ipotesi è possibile giungere ad una rappresentazione linearizzata del problema considerando la variazione della quantità S/Q rispetto allo spostamento S (figura b).



Grafici cedimento iperbolico (a) e linearizzato (b).

Grafici cedimento iperbolico (a) e linearizzato (b)

Lo studio di *Fleming* ha dimostrato che gli spostamenti totali stimati col metodo di *Chin* erano distorti dall'*accorciamento elastico* del corpo del palo e suggerì una tecnica semplificata per la quale la deformazione elastica del palo può essere determinata, con sufficiente accuratezza, sottraendo alla stima di *Chin* l'accorciamento del palo.

Considerando lo schema in figura l'accorciamento elastico del palo dipende dal carico applicato Q in rapporto all'attrito laterale ultimo Q_{su} . In particolare se $Q \leq Q_{su}$ la deformazione elastica del corpo del palo corrisponde alla somma dell'accorciamento elastico lungo la zona ad *attrito basso o nullo* e quello che si sviluppa lungo la parte *attiva* del fusto:

$$S_e = \frac{4}{\pi} \frac{Q(L_o + K_e L_a)}{d_s^2 E_c}$$

Se, invece, si ha che $Q > Q_{su}$ bisogna considerare un ulteriore accorciamento legato alla parte attiva del palo che deve essere aggiunta alla deformazione elastica:

$$S_e = \frac{4}{\pi} \frac{1}{d_s^2 E_c} [Q(L_o + L_a) - L_a Q_{su}(1 - k_e)]$$

I parametri della formula sono:

- d_s : diametro testa del palo.
- E_c : modulo di elasticità del materiale del palo il cui valore può essere ricavato da una interpolazione lineare tra i valori di $E_c = 26 \cdot 10^6$ kN/m² per calcestruzzo con forza specifica di 20 N/mm² e il valore di $E_c = 40 \cdot 10^6$ kN/m² per calcestruzzo da 40 N/mm².
- L_o : lunghezza del palo ad attrito basso o nullo.
- L_a : lunghezza attiva del palo.
- k_e : rapporto della lunghezza equivalente del fusto del palo rispetto alla lunghezza attiva L_a . Si può considerare un valore di 0.5 quando si ha un attrito che si sviluppa uniformemente lungo L_a oppure quando il palo è inserito in sabbia o ghiaia. Per pali in argilla caratterizzati da uno sforzo che cresce in profondità si può usare un valore di 0.45.

Lo spostamento del *palo rigido* può essere calcolato sapendo che la somma dell'attrito laterale e della resistenza di base corrisponde al carico totale applicato alla testa del palo.

$$Q = Q_s + Q_b$$

Considerando il palo rigido lo spostamento totale in testa è uguale a quello che si ottiene lungo il fusto ed è uguale a quello misurato alla base del palo:

$$S_t = S_s = S_b$$

Dal grafico linearizzato si può vedere che lo spostamento lungo il fusto del palo può essere calcolato come:

$$S_s = \frac{M_s d_s Q_s}{Q_{su} - Q_s}$$

In cui

- M_s : fattore adimensionale di flessibilità terreno/fusto.
- d_s : diametro testa.
- Q_s : attrito.
- Q_{su} : attrito ultimo determinato col metodo statico (condizione drenata)

L'equazione dello spostamento alla base del palo ricavata da Fleming è:

$$S_b = \frac{0.6 Q_{bu} Q_b}{d_b E_b (Q_{bu} - Q_b)}$$

dove

- d_b : diametro della base del palo.
- Q_b : resistenza alla base.
- Q_{bu} : resistenza ultima alla base
- E_b : modulo di taglio corrispondente a $Q_{bu}/4$

Infine, ponendo la condizione di uguaglianza $S_s = S_b$ e considerando il carico totale applicato Q si ottiene lo spostamento totale di un palo rigido considerando solo i valori positivi della relazione:

$$S_t = \frac{-g \pm \sqrt{g^2 - 4fh}}{2f}$$

In cui le variabili sono così definite:

- $f = \eta(Q - \alpha) - \beta$
- $g = Q(\delta + \lambda\eta) - \alpha\delta - \beta\lambda$
- $h = \lambda\delta Q$
- $\alpha = Q_{su}$
- $\beta = d_b E_b Q_b$
- $\lambda = M_s d_s$
- $\delta = 0.6 Q_{bu}$

- $\eta = d_b E_b$

Lo spostamento complessivo del palo comprende la componente di spostamento rigido e quella di accorciamento elastico.

Il modulo elastico del terreno E_b al di sotto della base del palo è legato alle caratteristiche del terreno ed è fortemente influenzato dalla tecnica di costruzione del palo. Fleming sostiene che è consigliabile che questo parametro di progetto sia determinato da un insieme accurato di prove in cui i pali sono caricati fino al punto in cui viene mobilitata una sostanziale quota della resistenza di punta. In mancanza di questi dati si può scegliere, cautelativamente, il valore di E_b da range di valori relativi al tipo di terreno e alla tecnica di costruzione del palo.

CARICO LIMITE ORIZZONTALE

Il carico limite orizzontale è stato calcolato secondo la teoria sviluppata da Broms il quale assume che il comportamento dell'interfaccia palo-terreno sia di tipo rigido perfettamente plastico, e cioè che la resistenza del terreno si mobiliti interamente per un qualsiasi valore non nullo dello spostamento a rimanga costante al crescere dello spostamento stesso.

Si assume che il comportamento flessionale del palo sia di tipo rigido-perfettamente plastico, vale a dire che le rotazioni elastiche del palo sono trascurabili finché il momento flettente non raggiunge il valore M_y di plasticizzazione.

Per i terreni coesivi Broms propone di adottare una reazione del terreno costante con la profondità pari a:

$$p = 9 \cdot c_u \cdot B$$

con reazione nulla fino alla profondità di 1.5 d; avendo indicato con:

c_u = Coesione non drenata,

B = Diametro del palo

p = Reazione del terreno per unità di lunghezza del palo.

Per i terreni incoerenti si assume che la resistenza vari linearmente con la profondità secondo la legge:

$$p = 3K_p \gamma z \cdot B$$

avendo indicato con:

p = Reazione del terreno per unità di lunghezza del palo;

K_p = Coefficiente di spinta passiva;

γ = Peso unità di volume del terreno;

z = Profondità;

B = Diametro del palo.

Palo in condizioni d'esercizio

Analisi del palo in condizioni di esercizio: **Metodo degli elementi finiti**.

Il metodo degli elementi finiti modella il palo di fondazione, sottoposto a carichi trasversali, in modo realistico in quanto fa uso sia degli spostamenti che delle rotazioni ai nodi per definire la linea elastica del palo, pertanto rappresenta il metodo più razionale ed efficace attualmente disponibile per analizzare questo tipo di strutture.

Di seguito si richiamano i fondamenti teorici del metodo indicando con \mathbf{P} la matrice delle forze nodali esterne, con \mathbf{F} quella delle forze interne e con \mathbf{A} la matrice dei coefficienti di influenza che, per l'equilibrio tra forze esterne ed interne, lega le prime due secondo la ben nota forma:

$$\mathbf{P} = \mathbf{AF}$$

Gli spostamenti interni \mathbf{e} (traslazioni e rotazioni) dell'elemento nel generico nodo sono legati agli spostamenti esterni \mathbf{X} (traslazioni e rotazioni) applicati ai nodi, dalla seguente relazione:

$$\mathbf{e} = \mathbf{BX}$$

dove la matrice \mathbf{B} è dimostrato essere la trasposta della matrice \mathbf{A} .

D'altra parte, le forze interne \mathbf{F} sono legate agli spostamenti interni \mathbf{e} dalla seguente espressione:

$$\mathbf{F} = \mathbf{Se}$$

Applicando le consuete sostituzioni, si ottiene:

$$\mathbf{F} = \mathbf{S}\mathbf{A}^T\mathbf{X}$$

e quindi

$$\mathbf{P} = \mathbf{A}\mathbf{F} = \mathbf{A}\mathbf{S}\mathbf{A}^T\mathbf{X}$$

Pertanto, calcolando l'inversa della matrice $\mathbf{A}\mathbf{S}\mathbf{A}^T$ si ricava l'espressione degli spostamenti esterni \mathbf{X} :

$$\mathbf{X} = (\mathbf{A}\mathbf{S}\mathbf{A}^T)^{-1}\mathbf{P}$$

Noti, quindi, gli spostamenti \mathbf{X} è possibile ricavare le forze interne \mathbf{F} necessarie per il progetto della struttura. La matrice $\mathbf{A}\mathbf{S}\mathbf{A}^T$ è nota come matrice di rigidezza globale in quanto caratterizza il legame tra spostamenti e forze esterni nodali.

Il metodo ad elementi finiti ha, tra l'altro, il vantaggio di consentire di mettere in conto, come condizioni al contorno, rotazioni e spostamenti noti.

Le reazioni nodali delle molle che schematizzano il terreno vengono considerate come forze globali legate al modulo di reazione e all'area d'influenza del nodo. Nella soluzione ad elementi finiti per pali soggetti a carichi trasversali, il modulo di reazione viene considerato nella forma:

$$k_s = A_s + B_s Z^n$$

o, non volendo far crescere illimitatamente il k_s con la profondità, nella forma:

$$k_s = A_s + B_s \tan^{-1}(Z/B)$$

nella quale Z è la profondità e B è il diametro del palo.

I valori di A_s e $B_s Z^n$ sono ottenuti dall'espressione della capacità portante (Bowles) con fattori correttivi s_i , d_i , e i_i pari a 1:

$$k_s = q_{ult}/\Delta H = C(cN_c + 0.5\gamma BN_\gamma)$$

$$BsZn = C(\gamma N_q Z^1)$$

Dove $C = 40$ è ottenuto in corrispondenza di un cedimento massimo di 25 mm.

Momenti cinematici

In presenza dell'azione sismica la risposta del palo è il risultato di una complessa interazione terreno-palo, resa di difficile interpretazione a causa dei fenomeni di non linearità nel terreno e degli effetti cinematici associati al moto del terreno.

Generalmente, alle sollecitazioni trasmesse dalla sovrastuttura si aggiungono, applicando il principio di sovrapposizione degli effetti, quelle derivanti dall'interazione cinematica che produce nei pali sollecitazioni aggiuntive dipendenti principalmente dalla rigidezza relativa palo-terreno.

Dalla letteratura esistente in merito a questo tipo di studi, emerge che nel caso di palo immerso in terreni stratificati, la sollecitazione flettente subisce un pronunciato incremento in prossimità dell'interfaccia fra strati di differente rigidezza e tale incremento è tanto maggiore quanto più elevato è il contrasto di rigidezza. In alcuni casi il valore del momento prodotto da questo effetto potrebbe superare quello che insorge nei pali in testa in presenza di incastro.

Da un'analisi di numerosi risultati, *Nikolaou et al. 2001*, ha proposto una relazione che consente di calcolare, in maniera approssimata, il momento flettente massimo in corrispondenza dell'interfaccia tra due strati di differente rigidezza, in condizioni di moto stazionario con frequenza prossima alla frequenza fondamentale del deposito in cui è immerso il palo:

$$M = 0.042 \cdot \tau_c \cdot d^3 \cdot \left(\frac{L}{d}\right)^{0.30} \cdot \left(\frac{E_p}{E_1}\right)^{0.65} \cdot \left(\frac{E_p}{E_1}\right)^{0.65} \left(\frac{V_{s2}}{V_1}\right)^{0.50}$$

in cui $\tau_c = a_{\max} \rho_1 H_1$; a_{\max} accelerazione sismica, ρ_1 densità del terreno, H_1 spessore dello strato, V_{s1} e V_{s2} , rispettivamente, la velocità delle onde di taglio nei due strati; E_1 è modulo di rigidezza dello strato superiore di terreno, E_p modulo di elasticità del palo, d diametro del palo, L lunghezza del palo.

Dati generali

Calcolo eseguito secondo	NTC 2018
Numero di strati	2,0
Numero dei conci	10,0
Grado di sicurezza ritenuto accettabile	1,3
Coefficiente parziale resistenza	1,0
Parametri geotecnici da usare. Angolo di attrito:	Picco

Diametro punta	1,00 m
Lunghezza	15,00 m
Tipo	Trivellato
Portanza di punta calcolata con:	Terzaghi
Calcestruzzo tipo	1
Acciaio tipo	1

Coefficienti sismici [N.T.C.]**Dati generali**

Tipo opera:	2 - Opere ordinarie
Classe d'uso:	Classe II
Vita nominale:	50,0 [anni]
Vita di riferimento:	50,0 [anni]

Parametri sismici su sito di riferimento

Categoria sottosuolo:	C
Categoria topografica:	T1

S.L. Stato limite	TR Tempo ritorno [anni]	ag [m/s ²]	F0 [-]	TC* [sec]
S.L.O.	30,0	0,48	2,41	0,29
S.L.D.	50,0	0,59	2,49	0,33
S.L.V.	475,0	1,55	2,55	0,44
S.L.C.	975,0	2,04	2,57	0,46

Coefficienti sismici orizzontali e verticali

Opera: Opere di sostegno

S.L. Stato limite	amax [m/s ²]	beta [-]	kh [-]	kv [sec]
S.L.O.	0,72	1,0	0,0734	0,0367
S.L.D.	0,885	0,47	0,0424	0,0212
S.L.V.	2,2601	0,38	0,0876	0,0438
S.L.C.	2,8136	1,0	0,2869	0,1435

Coefficiente azione sismica orizzontale 0,0119
Coefficiente azione sismica verticale 0,0059**Archivio materiali****Conglomerati**

Nr.	Classe Calcestruzzo	fck,cubi [Kg/cm ²]	Ec [Kg/cm ²]	fck [Kg/cm ²]	fcd [Kg/cm ²]	fctd [Kg/cm ²]	fctm [Kg/cm ²]
1	C20/25	250	299600	200	113,3	10,1	22,1
2	C25/30	300	314750	250	141,6	11,4	25,6
3	C28/35	350	323080	280	158,6	12,6	27,6
4	C40/50	500	352200	400	226,6	16,3	35

Acciai:

Nr.	Classe Acciaio	Es [Kg/cm ²]	fyk [Kg/cm ²]	fyd [Kg/cm ²]	ftk [Kg/cm ²]	ftd [Kg/cm ²]	ep_tk	epd_ult	$\beta_1 * \beta_2$ in.	$\beta_1 * \beta_2$ fin.
1	B450C	2000000	4500	3913	4500	3913	.075	.0675	1	0,5
2	B450C*	2000000	4500	3913	5400	4500	.075	.0675	1	0,5
3	B450C**	2000000	4500	3913	4582	3985	.012	.01	1	0,5

4	S235H	2141370	2447,28	2128,11	3670,92	2128,11	0,012	0,01	1	0,5
5	S275H	2141370	2855,16	2482,97	4384,71	2482,97	0,012	0,01	1	0,5
6	S355H	2141370	3670,92	3191,66	5200,47	3670,92	0,012	0,01	1	0,5

Stratigrafia

Nr.: Numero dello strato. Hs: Spessore dello strato. Fi: Angolo di attrito. c: Coesione Alfa: Coefficiente adesione attrito laterale. Vs: Velocità onde di taglio.

Descrizione Litologica	Materiale di Alterazione Superficiale	Argilla grigia-azzurra con livelli di Marne e Calcareni
<i>Peso volume medio</i>	$\gamma_m = 1,75 - 1,85 \text{ g/cm}^3$	$\gamma_m = 1,90 - 2,05 \text{ g/cm}^3$
<i>Angolo di resistenza al taglio medio (tensioni efficaci, a lungo termine)</i>	$\varphi_m = 18^\circ - 20^\circ$	$\varphi_m = 21^\circ - 26^\circ$
<i>Coesione drenata media (tensioni efficaci, a lungo termine)</i>	$C = 0,05 - 0,1 \text{ kg/cm}^2$	$C = 0,2 - 0,5 \text{ kg/cm}^2$
<i>Coesione non drenata</i>	$C_u = 0,5 - 0,8 \text{ kg/cm}^2$	$C_u = 0,8 - 1,0 \text{ kg/cm}^2$
<i>Modulo di Poisson</i>	$\nu = 0,25$	$\nu = 0,35$

Strat. 1**Carico limite**

Stratigrafia	Nq	Nc	Fi/C strato punta Palo (°)/[kg/cm ²]	Peso palo [kg]	Carico limite punta [kg]	Carico limite laterale [kg]	Carico limite [kg]	Attrito negativo [kg]	Carico limite orizzonta le [kg]
A1+M1+R3	27,16	38,78	34/0,00	19634,95	0,00	92708,34	73073,39	--	--

RESISTENZA DI PROGETTO CARICHI ASSIALI

Resistenza caratteristica carichi assiali. Nome combinazione:

Numero verticali di indagine	1
Fattore correlazione verticale indagate media (x_{i3})	1,00
Fattore correlazione verticale indagate minima (x_{i4})	1,00

	Rc, Min [kg]	Rc, Media [kg]	Rc, Max [kg]
Base	--	--	--
Laterale	92708,34	92708,34	92708,34
Totale	73073,39	73073,39	73073,39

Coefficiente parziale resistenza caratteristica Laterale	R3 2,50
Resistenza di progetto laterale	37083,34 kg
Resistenza di progetto	17448,38 kg

Cedimento (Poulos e Davis 1968)

Carico applicato	100,00 kg
Coefficiente influenza	0,15
Cedimento	0,00 cm

Modello ad elementi finiti

Max spostamento lineare del terreno	0,013 cm
Tipo analisi	Lineare
Massimo numero di iterazioni	1,00
Fattore di riduzione molla fondo scavo	1,00
Numero di elementi	9,00

Nodo sulla superficie del terreno [$< n^{\circ}$ nodi]
Modulo di reazione Ks

1,00
Bowles

ANALISI AD ELEMENTI FINITI [Stratigrafia di riferimento...1]

El. No	Lunghezza [m]	Ks [kg/cm ³]	Sforzo normale [kg]	Momento [kgm]	Taglio [kg]	Reazione terreno [kg]	Rotazione (°)	Spostamento [m]	Pressione terreno [kg/cm ²]
1	1,67	0	0	0	0	0	0	0	0
2	1,67	0,087	3272,49	0	0	0	0	0	0
3	1,67	11,566	6544,98	0	0	0	0	0	0
4	1,67	11,566	9817,48	0	0	0	0	0	0
5	1,67	11,566	13089,97	0	0	0	0	0	0
6	1,67	11,566	16362,46	0	0	0	0	0	0
7	1,67	11,566	19634,95	0	0	0	0	0	0
8	1,67	11,566	22907,45	0	0	0	0	0	0
9	1,67	11,566	26179,94	0	0	0	0	0	0
10		11,566	29452,43	0	0	0	0	0	0

ARMATURE

Nodo	Z [m]	Nd [kg]	Md [kgm]	Td [kg]	Nr. Barre Diametro	Nu [kg]	Mu [kgm]	Cond. Verifica Flessione	Ver. Presso-Flessione	Def. Max Cls	Def. Max Fe	Asse Neutro [cm]	Passo Staffe [cm]	Res. Taglio [kg]	Sicurezza taglio	Cond. Verifica Taglio
1	0	--	--	--	12Ø16	-0,55	28648,91	2864,89	Verificata	5,79E-04	-1,96E-03	27,16	--	--	--	Verificata
2	1,67	3272,49	--	--	12Ø16	3272,50	29770,87	2977,09	Verificata	6,02E-04	-1,96E-03	26,47	--	--	--	Verificata
3	3,33	6544,98	--	--	12Ø16	6544,62	30883,53	3088,35	Verificata	6,24E-04	-1,96E-03	25,80	--	--	--	Verificata
4	5	9817,48	--	--	12Ø16	9816,79	31986,31	3198,63	Verificata	6,46E-04	-1,96E-03	25,17	--	--	--	Verificata
5	6,67	13089,97	--	--	12Ø16	13090,52	33080,22	3308,02	Verificata	6,68E-04	-1,96E-03	24,55	--	--	--	Verificata
6	8,33	16362,46	--	--	12Ø16	16362,46	34164,72	3416,47	Verificata	6,89E-04	-1,96E-03	23,96	--	--	--	Verificata
7	10	19634,95	--	--	12Ø16	19634,10	35240,39	3524,04	Verificata	7,10E-04	-1,96E-03	23,38	--	--	--	Verificata
8	11,67	22907,45	--	--	12Ø16	22907,31	36307,91	3630,79	Verificata	7,30E-04	-1,96E-03	22,83	--	--	--	Verificata
9	13,33	26179,94	--	--	12Ø16	26179,39	37366,50	3736,65	Verificata	7,50E-04	-1,96E-03	22,29	--	--	--	Verificata
10	15	29452,43	--	--	12Ø16	29451,47	38416,62	3841,66	Verificata	7,70E-04	-1,96E-03	21,77	--	--	--	Verificata